

ا. سوکولوف، ا. تیرنوف، ف. جوکوفسکی

# المیکانیکا الکوانتية

ترجمة

الدكتور حسن سلمان



دار «میر» موسكو

## القسم الأول

# الميكانيكا الكوانتية اللانسبية

### البند ١ - المدخل

أ ( النظرية التقليدية ( الكلاسيكية ) . من المعلوم أن تطور الالكتروديناميكا ( علم التحريك الكهربائي ) التقليدية تتوج بنظرية ماكسويل - لورنتز والميكانيكا التقليدية التي أخذت بعين الاعتبار التأثيرات النسبية .

وتعتبر النظرية التقليدية الضوء موجات توصف ميزاتها بمعادلات من النوع التالي :

$$\frac{1}{c^2} \frac{\partial^2 \varphi}{\partial t^2} - \nabla^2 \varphi = 0 \quad (1.1)$$

ومن المفروض ان تحقق المعادلة (1.1) أيضا مركبات متجهي ( شعاعي ) الشدتين الكهربائية والمغناطيسية لمجال ( حقل ) الموجة الضوئية المنتشرة بالسرعة  $c$  . أما الالكترونات فتعتبرها النظرية التقليدية جسيمات نقطية تتحرك وفقا لقوانين الميكانيكا بتأثير قوة لورنتز ، وتوصف حركتها إما بمعادلة نيوتن وإما بمعادلة لاغرانج وإما بمعادلة هاميلتون أو معادلة هاميلتون - جاكوبي ، إذ تؤدي المعادلات المذكورة كلها إلى نتيجة واحدة ( لأنها من حيث الجوهر تعدّ أشكالاً مختلفة لمعادلة نيوتن ) ولذا يمكن تعميمها بسهولة على الحالة النسبية أيضا .

تتميز العملية ( الظاهرة ) الموجية بترددتها ( بتواترها )  $v$  وطول موجتها  $\lambda$  اللذين يرتبطان ببعضهما البعض بالعلاقة  $v\lambda = c$  . وعليه فإن في أبسط الحالات ، أى في حالة الموجة المستوية المنتشرة بامتداد المحور  $x$  سيكون حل المعادلة (1.1) بالشكل التالي :

$$\varphi = Ae^{-2\pi i \left( vt - \frac{x}{\lambda} \right)} \quad (1.2)$$

لكن ، غالبا ما يعوض عن التردد  $v$  بتردد زاوى ( دائرى )  $\omega = 2\pi v$  وعن  $\lambda$  بالشعاع الموجى  $k$  ، وبأخذ ذلك بعين الاعتبار سيكون لدينا في حالة الموجة المستوية المنتشرة في الاتجاه  $k$  ما يلى :

$$\varphi = Ae^{-i(\omega t - kr)} \quad (1.3)$$

وبتبديل (1.3) فى (1.1) نجد أن :

$$\omega = ck \quad (1.4)$$

أى أن معامل ( القيمة المطلقة ) المتجه الموجى مرتبط بطول الموجة  $\lambda$  بالعلاقة التالية :

$$\frac{2\pi}{\lambda} = k \quad (1.5)$$

ان الحركة الحرة للألكترون ، باعتباره جسما نقطيا ، تتميز بطاقته  $E$  واندفاعه  $p$  المرتبطين فى الحالة اللانسية بالعلاقة :

$$E = \frac{p^2}{2m_0} \quad (1.6)$$

أما فى الحالة النسبية فتصبح العلاقة (1.6) من الشكل التالى :

$$E^{rel} = \sqrt{c^2 p^2 + m_0^2 c^4} \quad (1.7)$$

وإذا انعدمت كتلة سكون الجسيم فإن (1.7) تصبح كما يلى :

$$E^{rel} = cp \quad (1.8)$$

وعند الانتقال إلى الحالة اللانسية (  $p \ll m_0 c$  ) أى

: نجد من (1.7) أن  $(\beta^2 = (\frac{v}{c})^2 \ll 1)$  ،

$$E = E^{rel} - m_0 c^2 = \frac{p^2}{2m_0} \quad (1.9)$$

وإذا عوضنا عن كتلة السكون  $m_0$  بالمقدار التالي :

$$m = \frac{m_0}{\sqrt{1 - \beta^2}} \quad (1.10)$$

عندئذ يمكن كتابة (1.7) بالشكل التالي \* :

$$E^{rel} = mc^2, \quad p = mv \quad (1.11)$$

(ب) النظرية الكوانتية للضوء . لقد لوحظت الخواص الجسيمية للضوء للمرة الأولى عند دراسة ما يسمى بالأشعاع المتوازن الذي يتولد داخل تجويف محاط بحواجز مسخنة عند درجة حرارة معينة وثابتة أو الذي يسمى عادة بأشعاع الجسم المطلق السواد . ولندرس الكثافة الطيفية  $p(\omega)$  للأشعاع المتوازن المرتبطة بكثافة المجال الكهرطيسي العادية

$$u_{rad} = \frac{1}{8\pi} (\mathcal{E}^2 + \mathcal{H}^2) \quad \text{بالعلاقة الآتية :}$$

$$u_{rad} = \int_0^{\infty} \rho(\omega) d\omega \quad (1.12)$$

حيث  $E$  ،  $H$  - شدتنا المجالين (الحقلين) الكهرطيسي والمغناطيسي على الترتيب . وبما أن الكثافة الطيفية لا تتعلق بالضرورة بمادة الحواجز وإنما بدرجة حرارتها فقط ، لذا عند تعيين  $p(\omega)$  نستطيع أن نختار أبسط نموذج للحواجز ونحسبه بشكل تقريبي بجمع الذبذبات التوافقية . وتبين أنه في إطار النظرية التقليدية لا يمكن بناء نظرية معقولة للأشعاع المتوازن ، ولذلك اقترح بلانك عام ١٩٠٠ فرضية جديدة تماما تتناقض مع المفاهيم الأساسية للفيزياء التقليدية ، جوهرها يتخلص في أنه يمكن أن لا تأخذ طاقة الجسيمات

\* سنهمل كتابة الرمز rel في المستقبل عند كتابة طاقة الاكترون لأن القارىء سيفهم من سياق الكلام ، عن أى من الطاقين نتحدث .

المجهرية ( الذرات ، الجزيئات ) قيمة مستمرة فقط بل ومنقطعة أيضا . فإذا أخذنا الهزاز كحالة خاصة ، فإن طاقته يجب أن تكون مضاعفات للطاقة الصغرى  $\hbar\omega$  ، حيث  $\omega$  - تردد اهتزازات الهزاز و  $\hbar$  - مقدار ثابت ، أى أن :

$$E_n = n\hbar\omega \quad (1.13)$$

حيث  $n = 0,1,2,3,\dots$  لنلاحظ أن بلانك كتب العلاقة (1.13) بشكل آخر هو :

$$E_n = nh\nu \quad (1.13 a)$$

وهذا يكافئ تماما (1.13) ، إذا اعتبرنا أن التردد العادى ( وليس الدائرى ) هو  $\nu = \omega/2\pi$  وأن  $\hbar = 2\pi\hbar$  . وسنرى فيما بعد أن الهدف من استعمال  $\omega$  و  $\hbar$  بدلا من  $\nu$  و  $\hbar$  هو التبسيط فقط . ولقد حصل بلانك ، انطلاقا من العلاقة (1.13 a) على معادلة الكثافة الطيفية للاشعاع المتوازن التالية :

$$\rho(\omega) = \frac{\hbar\omega^3}{\pi^2 c^3 (e^{\hbar\omega/k_B T} - 1)} \quad (1.14)$$

حيث  $k_B$  - ثابت بولسمان . ونستطيع من معادلة بلانك الحصول على معادلة كثافة الاشعاع التالية :

$$u_{rad} = \int_0^{\infty} \rho(\omega) d\omega = \frac{\pi^2 k_B^4}{15c^3 \hbar^3} T^4 = \frac{4\sigma}{c} T^4 \quad (1.15)$$

التي تسمى بقانون ستيفان - بولسمان الذى اكتشف تجريبيا قبل ظهور علاقة بلانك ؛ ومنها أيضا نحصل على قانون العالم فين للازاحة :

$$\lambda_{max} T = \frac{2\pi c \hbar}{4.965 k_B} = b \quad (1.16)$$

الذى يحدد أكبر طول للموجة  $\lambda_{max}$  المقابلة للاشعاع الأعظم عند الانتقال من الكثافة  $\rho(\omega)$  إلى الكثافة  $\rho(\lambda)$  . وبما أن كلا من ثابتى ستيفان - بولسمان ( $\sigma = 5.67 \cdot 10^{-8} \text{ g} \cdot \text{s}^{-3} \cdot \text{deg}^{-4}$ ) وفين ( $b = 0.29 \text{ cm} \cdot \text{deg}$ ) كانا

تجريبيا فلقد تمكن بلانك من حساب القيمة العددية للثابت  
 (  $h = 6,626 \cdot 10^{-27} \text{ erg} \cdot \text{s}$  ) ، الذى سمي بثابت بلانك\* والقيمة العددية  
 لثابت بولسمان (  $k_B = 1,38 \cdot 10^{-16} \text{ erg} \cdot \text{deg}^{-1}$  ) ، مع العلم أن  $k_B$  كان  
 معلوما من تجارب سابقة ( مثلا من الفيزياء الاحصائية التقليدية لأنه يدخل  
 فى دالة توزع ماكسويل - بولسمان (  $f = Ae^{-E/k_B T}$  ) .

ان تاريخ اكتشاف ثابت بلانك ( ١٩٠٠ ) يعتبر بحق يوم ميلاد النظرية  
 الكوانتية الحديثة . ويجب أن نشير إلى أنه عند الانتقال من النظرية الكوانتية  
 إلى التقليدية ينبغى علينا أن نفترض أن  $\hbar = 0$  . وعندئذ تتحول علاقة  
 بلانك إلى علاقة ريلى - جينس المعروفة :

$$\rho(\omega) = \frac{\omega^2}{\pi^2 c^3} k_B T \quad (1.17)$$

التي تعطى قيمة لانهاية لكثافة الاشعاع الكلية ، أى أن :

$$u_{\text{class}} = \int_0^{\infty} \rho(\omega) d\omega = \frac{k_B T}{\pi^2 c^3} \int_0^{\infty} \omega^2 d\omega = \infty$$

وهذا يعنى أنه بالرغم من كل المعطيات التجريبية ، تنص النظرية التقليدية  
 أنه لا يمكن بلوغ التوازن الترموديناميكى بين الجسم الساخن والاشعاع .  
 وبصورة عامة فإن علاقة ريلى - جينس تعين منحنى التوزع الطيفى بدقة  
 فى مجال التواترات ( الترددات ) المنخفضة فقط (  $\hbar\omega \ll k_B T$  ) . أما فى  
 مجال التواترات الكبيرة (  $\hbar\omega \gg k_B T$  ) فهي تعطى نتيجة غير معقولة  
 اطلاقا . وهذا ما سماه ارنفست « الكارثة فوق البنفسجية » . ولم تختف هذه  
 الكارثة إلا بعد ظهور نظرية بلانك الكوانتية .

لقد افترض بلانك عند استخلاص دستورهِ أن لطاقة الهزاز التوافقى قيما  
 متقطعة فقط غير أن هذه الخاصة الجديدة للهزاز بقيت بدون مدلول فيزيائى

---

\* أما الثابت  $\hbar = h/2\pi$  الذى يسمى أيضا بثابت بلانك فيساوى  $\hbar = 1,055 \cdot 10^{-27} \text{ erg} \cdot \text{s}$  .

( وبصورة أدق فإن بلانك نفسه أعطى هذه الصفات الخاصة ، للأجسام المسخنة أى للهزازات التوافقية وليس للإشعاع الكهرطيسى ) .

أما الخطوة الهامة الثانية على طريق نظرية الكوانتات ، فقد خطاها أينشتين الذى اقترح فرضية جديدة اعتبر فيها أن كمات طاقة الهزاز مرتبطة ارتباطا وثيقا بتلك الحقيقة التى تنص على أن الإشعاع الكهرطيسى نفسه يتألف من جسيمات منفصلة عن بعضها البعض هى فوتونات تحمل الطاقة  $h\nu$  . وطبقا لفرضية أينشتين يمكن تصوّر المجال الكهرطيسى كجملة من الجسيمات - الفوتونات كتلة سكونها معدومة وطاقتها تتحدد بالشكل التالى :

$$e = h\nu \quad (1.18)$$

وعندئذ نحصل على علاقة اندفاع الفوتون التالية :

$$p = k^0 \frac{h\nu}{c} = k^0 \frac{h}{\lambda} = hk \quad (1.19)$$

حيث  $k = \frac{2\pi k^0}{\lambda}$  الشعاع الموجى ، و  $k^0$  - شعاع الواحدة فى اتجاه اندفاع الفوتون و  $k = \frac{2\pi}{\lambda}$  - العدد الموجى . وقد صاغ أينشتين ، انطلاقا من هذه التصورات ، النظرية الكمية للفعل الكهرضوئى الذى أكتشفه هرتز عام ١٨٨٧ ودرسه بالتفصيل الفيزيائى الروسى ستوليتوف . ويتجلى تأثير الفعل الكهرضوئى عند دراسة العلاقة بين ظهور الشرارة وفرق الكمون ( الجهد ) ، إذ تظهر الشرارة بوجود ضوء كبير التردد ( التواتر ) عند فرق من الكمون أقل مما هو عليه فى غياب الضوء . ولتعليل هذه الظاهرة اقترح أينشتين المعادلة البسيطة التالية :

$$\frac{m_0 v^2}{2} = h\nu - W$$

التي تعبر عن توازن الطاقة ، وتعنى أن طاقة الالكترون المتطاير الحركية  $\frac{m_0 v^2}{2}$  يجب أن تساوى الفرق بين طاقة الفوتون الممتص والعمل ( الشغل ) اللازم لانتزاع  $W$  الالكترون من المعدن . ومن الواضح أن

الالكترونات لا تستطيع الخروج من المعدن عندما  $\hbar\omega < W$  وهي تنزع فقط في الحالة التي تكون فيها طاقة الفوتونات أكبر من  $W$ .

وقد أكد التحقيق التجريبي لنظرية أينشتاين في الفعل الكهروضوئي أن طاقة الالكترونات المتطايرة تتعلق فقط بتواتر ( لا بشدة ) الضوء الوارد بحيث أن الالكترونات الضوئية ( الالكترونات الخارجة بالتأثير الضوئي ) تبدأ بالاقلاع عندما يتجاوز تردد الضوء  $\omega$  القيمة الحدية ، أي أن :

$$\omega > \frac{W}{\hbar}$$

لقد تأكدت تجريبيا بشكل قاطع نتائج نظرية الفوتونات في عام ١٩٢٣ عند دراسة تبدد ( تشتت ) أشعة رونتجن بالالكترونات الحرة ( ظاهرة كومبتون ) لذا فانها تستدعي الاهتمام ليس بسبب تحقيقها لقانون مصونية الطاقة فحسب ، بل بسبب تحقيقها لقانون مصونية الدفع ( كمية الحركة ) أيضا .

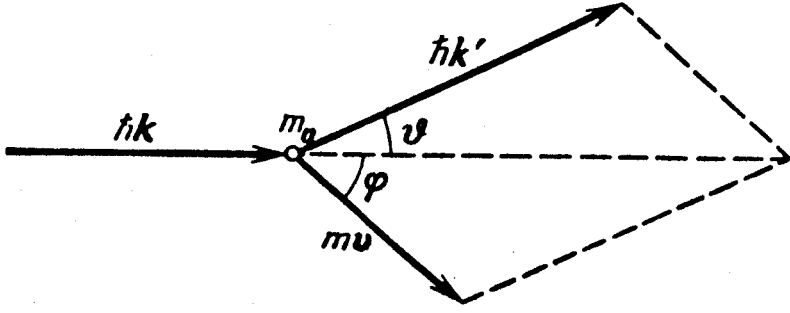
فمن المعلوم في النظرية التقليدية أن تواتر الضوء لا يتغير عند تشتته بالالكترونات الحرة ( $\omega' = \omega$ ) ، ولكن يمكن أن تتناقص شدة الحزمة الضوئية الواردة لأن قسما من طاقتها يضيع على تهييج الالكترونات . أما في النظرية الكوانتية فإن قسما من طاقة الفوتون  $e = \hbar\omega$  يقم للالكترون ، ولذلك فان طاقة الفوتون المتشتت  $e' = \hbar\omega'$  وبالتالي تواتره يجب أن يكونا أقل ( $e' < e, \omega' < \omega$ ) .

ولحساب تابعية التواتر لزاوية التبدد نكتب قانوني مصونية الطاقة والدفع معتبرين الالكترونات والفوتونات جسيمات ( انظر الشكل ١ - ١ ) ، أي أن :

$$\hbar\omega - \hbar\omega' = c^2(m - m_0), \quad \hbar k - \hbar k' = mv \quad (1.20)$$

حيث  $m_0$  ،  $m = m_0/\sqrt{1 - \beta^2}$  . كتلتنا الالكترون قبل ( عند سكونه )





الشكل ١.١ - تشتت (تأثر) الضوء على الكترون حر (ظاهرة كومبتون) .

الاصطدام وبعده على الترتيب و  $v$  - سرعته و  $B = v/c$  أما  
 فهما دفعا الفوتون قبل التبدد وبعده .  $\hbar k' = \hbar \omega'/c$  ،  $\hbar k = \hbar \omega/c$

لنكتب المعادلة (1.20) بالشكل التالي :

$$\omega - \omega' = \frac{v^2}{c^2} (m - m_0), \quad k - k' = \frac{mv}{c} \quad (1.21)$$

وبتربيع هاتين المعادلتين وطرح الأولى من الثانية نجد أن :

$$\omega \omega' (1 - \cos \theta) = \frac{m_0 c}{h} (c\omega - c\omega') \quad (1.22)$$

وبما أن  $\lambda = 2\pi c/\omega$  ،  $\lambda' = 2\pi c/\omega'$  نجد بعد تقسيم (1.22) على  $\omega \omega'$  ،  
 صيغة لحساب الزيادة في طول موجة الضوء المتبدد ، أي أن :

$$\Delta \lambda = \lambda' - \lambda = 2\lambda_0 \sin^2 \frac{\theta}{2} \quad (1.23)$$

حيث  $\lambda_0$  - الطول الكومبتوني لموجة للإلكترون

$$\lambda_0 = \frac{2\pi \hbar}{m_0 c} = \frac{h}{m_0 c} = 2,4 \cdot 10^{-10} \text{ cm} \quad (1.24)$$

وعليه نجد ، من وجهة نظر التصورات الكوانتية أن طول موجة الضوء  
 المتناثر  $\lambda'$  يجب أن تكون أكبر من  $\lambda$  ( $\lambda' > \lambda$ ) لأن  $\omega' < \omega$  وهو يزداد بازدياد  
 زاوية التبدد  $\theta$  . وبما أن الطول الكومبتوني  $\lambda_0$  مقدار صغير ، فإن التبدد  
 الكومبتوني يلاحظ تجريبيا عند الموجات القصيرة ( أشعة رونتجن ،

الكوانتات - جاما ) أما إذا حسبنا  $\frac{\Delta \lambda}{\lambda}$  للضوء المرئى (  $\lambda \sim 10^{-5} \text{ cm}$  ) نجد أن :

$$\frac{\Delta \lambda}{\lambda} \sim \frac{\lambda_0}{\lambda} \sim 10^{-5} = 10^{-3} \% \quad (1.25)$$

أما من أجل أشعة رونتجن (  $\lambda \sim 10^{-8} \div 10^{-9} \text{ cm}$  ) فنجد أن :

$$\frac{\lambda_0}{\lambda} \sim 10^{-1} = 10 \% \quad (1.26)$$

ج) الخواص الموجية للإلكترونات . طبقا لفرضية دوبرويل يجب أن تكون لتيار الإلكترونات ذات الطاقة  $E$  والدفع  $p$  المرتبطين فيما بينهما بالعلاقين (1.7) و (1.11) خواص موجية . وأن التواتر وطول الموجة يجب أن يساويا

$$E = \hbar \omega, \quad \lambda = \frac{h}{p} \quad (1.27)$$

وقد سميت  $\lambda$  لحزمة الإلكترونات ، بالطول الدوبرويلي للموجة وهكذا تعميم علاقتنا أينشتين المصاغتان للفوتونات على الإلكترونات ولذلك نكتبها للحالتين بالشكل التالى :

$$E = \hbar \omega, \quad p = \hbar k \quad (1.28)$$

لنعين أولا القيمة التقريبية للطول الدوبرويلي ، الذى يمكن أن يكون عمليا لحزمة من الإلكترونات . ولكى ندرس الخواص الموجية للإلكترونات من الضرورى أولا الحصول على حزمة الكترونية وحيدة اللون ( من حيث السرعة ) ويتحقق ذلك بواسطة جهاز يسمى « بالمدفع الإلكتروني » ، حيث تسرع الإلكترونات فى الفراغ ثم تمر بين قطبين كهربائيين مختلفي الكمون ، ولذلك نستطيع حساب سرعتها من العلاقة التالية :

$$\frac{m_0 v^2}{2} = \frac{e_0 \Phi}{300} \quad (1.29)$$

حيث  $\Phi$  - فرق الكمون بين الكاتود والشبكة الأنودية ، يقاس بالفولط ،

و  $e_0$  - شحنة الالكترون . وبتطبيق ( 1.27 ) نحصل على الطول الدوبرويلي للموجة ، أى أن :

$$\lambda = \frac{h}{m_0 v} = \frac{h \sqrt{150}}{\sqrt{m_0 e_0 \Phi}} = \frac{1.2 \cdot 10^{-7}}{\sqrt{\Phi}} \text{ cm} \quad (1.30)$$

مع العلم أن  $\Phi$  يجب أن لا تكون أصغر من ( 15-20 V ) ، إذ أن هذا الكمون يجب أن يعطى للالكترونات طاقة أكبر من طاقة الحركة العشوائية فى المعدن ولهذا سيكون الطول الدوبرويلي للموجة  $\lambda = 10^{-8}$  cm أى ما يعادل الطول الموجي لأشعة رونتجن اللينة . لقد اكتشف العالمان دافيدسون وجرمور الخواص الموجية للالكترونات عام ١٩٢٧ فى تجاربهما المكرسة لدراسة انعراج الالكترونات . وبما أى الطول الدوبرويلي للحزم الالكترونية هو من رتبة  $10^{-8}$  cm ، لذا اختيرت شبكة الانعراج بشكل بلورات معامل شبكتها صغير بالنسبة للطول الدوبرويلي للموجة  $\lambda$  ، وعم تارتاكوفسكى وتومسون ( ١٩٢٨ ) الطريقة التى ابتكرها ديباى وشيرير لدراسة أشعة رونتجن على الموجات الالكترونية ، إذ مررا خلال صفيحة بلورية حزمة من الالكترونات مشابهة لحزمة أشعة رونتجن ، ولذلك حصلنا على ما يسمى بالصورة الالكترونية التى لاقت تطبيقا هاما عند دراسة بنية البلورات .

ويلاحظ أخيرا أن علاقة دوبرويل لا تنطبق على الالكترونات فحسب ، وإنما على الجسيمات الأخرى كالبروتونات والنترونات وحتى على الذرات المعقدة والجزيئات . وفى الحقيقة يكون الطول الدوبرويلي للموجة لها صغيرا جدا بسبب كتلتها الكبيرة . وقد استطاع شتيرن وستيرمان مشاهدة انعراج ذرات الهليوم وجزيئات الهيدروجين عند انعكاسها عن بلورات LiF

ان طريقة دراسة بنية المادة على أساس انعراج النترونات ناجعة جدا ،

فالنترونات التي لا تحمل أى شحنة تستطيع حتى عند الطاقة الصغيرة ( تسمى بالنترونات الحرارية ) أن تخترق المادة ، عندما لا يندم طول موجة دوبرويلي عمليا . وبناء على الحقائق المذكورة نستطيع أن نستخلص أن الخواص الموجية يجب أن تلازم كل الجسيمات مبدئيا .

لقد وضعت فرضية دوبرويل أسس فرع فيزيائى جديد هو الضوء الالكترونى ، الذى يدرس الخواص الموجية للحزم الالكترونية . ولقد كان أهم تطبيق لهذا الفرع هو اختراع المجهر الالكترونى ، الذى تفوق قوة تكبيره المجاهر العادية بكثير\* . إذ أن قوة تكبير أى مجهر تتعين طبقا لطول موجة الضوء ، ولكى نزيد من التكبير ينبغى أن نصغر طول موجة الضوء الوارد إلى أصغر ما يمكن . ولكن هذا التصغير يقف عند حد معين : فمثلا لا يمكن بناء مجهر رونتجنى بسبب عدم وجود عدسات ملائمة ، بينما يمكن تجميع الحزم الالكترونية بسهولة فى محرق ( بؤرة ) بواسطة الحقول الكهريطيسية ( عدسات كهربائية ومغناطيسية ) ، ولقد طبق هذا المبدأ فى المجاهر الالكترونية .

( د ) السرعة الطورية ( الصفحية ) . من المعلوم أنه يمكن وصف حركة الموجة المستوية وحيدة اللون باتجاه المحور  $x$  بالدالة التالية :

$$\varphi = Ae^{-i(\omega t - kx)} \quad (1.31)$$

وتحسب سرعة انتشار الموجة كسرعة انتقال طور ثابت ، أى أن :

$$\omega t - kx = \text{const} \quad (1.32)$$

\* أن المجاهر الضوئية الحديثة تعطى تكبيرا يقارب ١٠٠٠ - ٢٠٠٠ مرة أما المجهر الالكترونى فيسمح بتكبير يعادل مليون مرة . وبالإضافة إلى المجهر الالكترونى يستعمل الآن المجهر البروتونى الذى يتفوق على الأول فى مجال قوة التكبير .

فإذا ازداد الزمن بمقدار  $\Delta t$  بحيث يتحقق الشرط السابق (1.32) فإن الاحداثى يجب أن يزداد بمقدار  $\Delta x$  الذى يمكن حسابه من العلاقة

$$\omega (t + \Delta t) - k (x + \Delta x) = \omega t - kx$$

أى أن :

$$\omega \Delta t - k \Delta x = 0 \quad (1.33)$$

ومن هنا نحسب سرعة انتشار طور ثابت تسمى بالسرعة الطورية أو الصفحية ، أى أن :

$$u = \frac{\Delta x}{\Delta t} = \frac{\omega}{k} \quad (1.34)$$

فَلِضوء ، كما للالكترونات\* ( انظر 1.7 ) نجد أن :

$$\omega = \frac{E}{\hbar} = \frac{c \sqrt{p^2 + m_0^2 c^2}}{\hbar}, \quad k = \frac{p}{\hbar} \quad (1.35)$$

أى أن السرعة الطورية للفوتونات ( $m_0 = 0$ ) تكون مساوية لسرعة الضوء :

$$u = \frac{\omega}{k} = c \quad (1.36)$$

ولحساب السرعة الطورية ، فى حالة الالكترونات المتحركة بالسرعة  $v$

نكتب عوضا عن (1.35) ، ( انظر 1.11 ) ، ما يلى :

$$\omega = \frac{E}{\hbar} = \frac{mc^2}{\hbar}, \quad k = \frac{mv}{\hbar} \quad (1.37)$$

وعندئذ نجد أن السرعة الطورية يجب أن تساوى :

$$u = \frac{c^2}{v} > c \quad (1.38)$$

أى أنها أكبر من سرعة الضوء طالما أن  $v < c$  وهذا يعنى أنه لا يمكن للسرعة الطورية أن تكون مناسبة لحركة أى جسيم أو لنقل أى طاقة .

\* عند دراسة السرعتين الطورية والزمنية سنكتب للطاقة  $E$  العبارة النسبية وعندئذ فإن علاقتها مع الدفع  $p$  ستكون صحيحة فى حالة الالكترونات والفوتونات أيضا .

هـ) السرعة الرزمية والرزيم الموجية . طبقا لمبدأ التراكب يجب أن يكون مجموع ( أو تكامل ) الحلول الخاصة  $\varphi_i(x, t)$  ( أو أى تركيب خطى لها ) حلا للمعادلة الموجية ، أى أن :

$$\varphi(x, t) = \sum_i C_i \varphi_i(x, t) \quad (1.39)$$

حيث  $C_i$  - عوامل ثابتة يمكن أن نعتبرها مساوية الواحد ( $C_i = 1$ ) دون الاخلال بالحالة العامة .

يطبق مبدأ التراكب على المعادلات الموجية الخطية فقط كمعادلات الالكتروديناميكا التقليدية التى تدرس انتشار الأمواج الكهروضيية فى الفراغ أو معادلة شرودينجر التى تصف حركة الالكترونات . بينما لا يطبق المبدأ المذكور على المعادلات غير الخطية ، كمعادلة أينشتين مثلا فى حقل الجاذبية أو معادلات الضوء غير الخطية ، أما موجات دوبرويل فتتفرض خطية وبالتالي يطبق عليها مبدأ التراكب .

لنشرح الآن مفهوم السرعة الرزمية . من المعلوم أن العملية الموجية لا يمكن أن تكون وحيدة الرين تماما ( $k = \text{const}$ ) لأنها تملك دائما عرضا ما ، فهى تتألف من زمرة الموجات المتقاربة فى أعدادها الموجية وفى تواترها . ونستطيع بواسطة هذه الزمرة أن نركب ما يسمى بالرزمة الموجية التى تختلف سعتها عن الصفر فى مجال صغير من الفراغ يمكن ربطه بموقع الجسم . ولنحسب سرعة انتشار السعة العظمى للرزمة الموجية ، والتى تسمى بالسرعة الرزمية . وكمثال على ذلك ، تجمع الرزمة الموجية من زمرة موجات مستوية عددها الموجى محصور بين  $k_0 - \frac{\Delta k}{2}$  و  $k_0 + \frac{\Delta k}{2}$  . ولتبسيط المسألة ، نفرض أن لكل موجة من هذه الموجات سعة ثابتة ( $A/\Delta k = \text{const}$ ) . عندئذ ، نجد طبقا لمبدأ التراكب (1.39) أن التابع ( الدالة ) الموجى العام يساوى مجموع هذه الموجات المستوية أو تكاملها ، أى أن :

$$\varphi(x, t) = \frac{A}{\Delta k} \int_{k_0 - \frac{\Delta k}{2}}^{k_0 + \frac{\Delta k}{2}} e^{-i(\omega t - kx)} dk \quad (1.40)$$

حيث يعتبر  $\omega$  في هذه المسألة تابعا للعدد الموجي  $k$  . وبإبقاء التابع في حيز التجريد ، نستطيع أن ننشر التواتر  $\omega$  في سلسلة تايلور ، أى أن :

$$\omega(k) = \omega(k_0) + (k - k_0) \omega'(k_0) + \frac{(k - k_0)^2}{2} \omega''(k_0) + \dots \quad (1.41)$$

أو

$$\omega(k) = \omega_0 + \omega_1 + \omega_2 + \dots$$

وبإهمال الحدود اللامتناهية فى الصغر من المرتبة الثانية وما بعد ، نجد أن :

$$\omega(k) = \omega_0 + (k - k_0) \omega'_0 + \dots \quad (1.42)$$

مع العلم أن الحد المهمل الذى يعين دقة هذا النشر يساوى

$$\omega_2 = \frac{(k - k_0)^2}{2} \omega''_0 \sim (\Delta k)^2 \omega''_0 \quad (1.43)$$

وبتعويض (1.42) فى (1.40) نجد أن :

$$\varphi(x, t) = B e^{-i(\omega_0 t - k_0 x)} \quad (1.44)$$

بحيث يحدد المعامل  $B$  بالشكل التالى :

$$B = \frac{A}{\Delta k} \int_{k_0 - \frac{\Delta k}{2}}^{k_0 + \frac{\Delta k}{2}} e^{-i(k - k_0)(\omega'_0 t - x)} dk = A \frac{\sin \xi}{\xi} \quad (1.45)$$

حيث

$$\xi = \frac{\Delta k}{2} (x - \omega'_0 t) \quad (1.46)$$

ومن هنا نجد ، أنظر (1.33) ، أن السعة  $B$  تنتشر فى الفراغ بالسرعة التالية

$$\bar{u} = \omega'_0 = \left( \frac{d\omega}{dk} \right)_{k=k_0} \quad (1.47)$$

وهي ما تسمى بالسرعة الرزمية .

وإذا استخدمنا العلاقة (1.35) نجد أن السرعة الرزمية تساوى :

$$\bar{u} = \frac{dE}{dp} \quad (1.48)$$

وللفوتونات ( $m_0 = 0$ ) كحالة خاصة نرى أن سرعتين الرزمية والطورية تساويان سرعة الضوء في الخلاء ، أى أن :

$$\bar{u} = u = c \quad (1.49)$$

أما بالنسبة للموجات الدوبرويلية ، فبعد أن نأخذ بعين الاعتبار (1.37) ، نجد أن :

$$\bar{u} = \frac{c^2 p}{E} = v \quad (1.50)$$

أى أن السرعة الرزمية تتطابق مع سرعة الجسيم . ولندرس الآن التوزع الفراغى للرزمة الموجية ، مفترضين أن  $t = 0$  ، فنجد طبقا لـ (1.46) أن :

$$\xi = \frac{\Delta k}{2} x \quad (1.51)$$

وأن مربع سعة الرزمة الموجية يساوى :

$$B^2 = A^2 \frac{\sin^2 \xi}{\xi^2} \quad (1.52)$$

وأن قيمته الرئيسية العظمى هي فى النقطة  $\xi = 0$  أى أن :

$$B^2(0) = A^2 \quad (1.53)$$

أما النهايات العظمى الباقية لـ  $B^2$  (عندما  $\xi = \pm \frac{3\pi}{2}$  ؛  $\pm \frac{5\pi}{2}$  . . .

فستصغر بحدة ، أى أن :

$$B^2 \left( \pm \frac{3\pi}{2} \right) = \frac{4}{9\pi^2} A^2 \sim \frac{1}{20} A^2$$

$$B^2 \left( \pm \frac{5\pi}{2} \right) = \frac{4}{25\pi^2} A^2 \sim \frac{1}{60} A^2$$



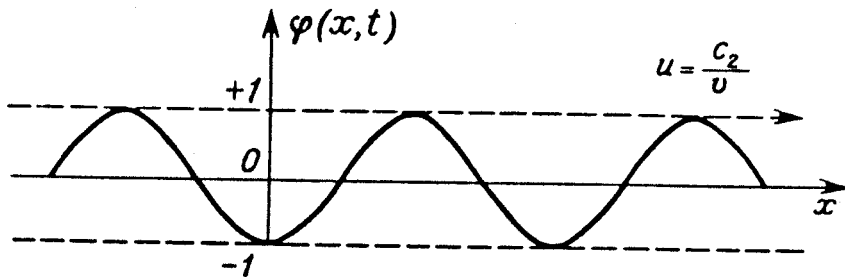
وتتعدم السعة في النقاط (  $\xi = \pm\pi, \pm 2\pi$  ) . فإذا أخذنا كل ذلك بعين الاعتبار ، نجد أن منطقة تمركز الجزء الأساسي للرزمة الموجية  $\Delta x$  تقع بجوار النهاية الرئيسية العظمى ولا تكون هذه المنطقة عمليا ، أصغر من نصف البعد بين الصفرين الأوليين للدالة  $\xi(\pm\pi)$  أى أن  $\Delta\xi = \pi$  . وعندئذ نجد ، طبقا لـ (1.51) ، أن :

$$\frac{\Delta k \cdot \Delta x}{2} \geq \pi \quad (1.54)$$

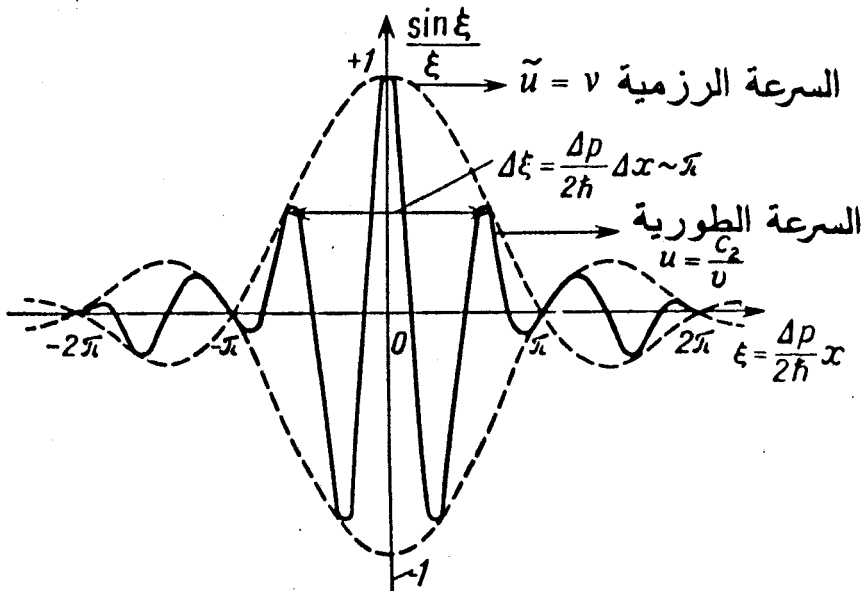
ويعنى ذلك أن عرض الرزمة الموجية مرتبط بمجال الأعداد  $\Delta x$  الموجية  $\Delta k$  بالعلاقة التالية :

$$\Delta k \cdot \Delta x \geq 2\pi \quad (1.55)$$

ولزيادة الايضاح نرسم الخط البياني للأموج الدوبرولية ، عندما  $t = 0$  ، للموجة وحيدة اللون ( الشكل ٢ - ١ ) ثم لزمرة من الموجات ( الرزمية الموجية ) ( الشكل ٣ - ١ ) . لقد اعتبرنا للتسهيل أن  $A = 1$  . وبما أنه للموجة وحيدة اللون  $\frac{\sin \xi}{\xi} = 1$  ،  $\Delta k = 0$  ، انظر الشكل ٢ - ١ ، لذا اعتبرنا محور الفواصل هو المحور  $x$  . أما السرعة الطورية فتساوى  $u$  . وأما للرزمة الموجية فقد اعتبرنا محور الفواصل هو المحور  $\xi$  ورسمنا السعة  $\frac{\sin \xi}{\xi}$  (  $\xi = \frac{\Delta k}{2} x$  ) بخط منقطع والتابع ( الدالة ) الموجى بخط متصل . ومنه يتبين أن التابع الموجى متمركز ضمن النهاية الرئيسية



الشكل ٢ - ١ . شكل الموجة وحيدة اللون عندما  $t = 0$  . السعة مبينة بخط منقطع والموجة بخط متصل .



الشكل ٣-١ . شكل الرزمة الموجية عندما  $t = 0$  للموجات الدوبرويلية  $(\Delta k = \frac{\Delta p}{\hbar})$  . السعة  $\frac{\sin \xi}{\xi}$  مبنية بخط منقطع والموجة بخط متصل .

العظمى  $(\Delta \xi \sim \pi)$  وينتشر بالسرعة الطورية  $u = \frac{c^2}{v}$  وسعته بالسرعة الرزمية  $\bar{u} = v$  .

وبنفس الطريقة يمكننا أن ندرس التمرکز المؤقت للرزمة الموجية ، فإذا فرضنا ، في (1.46) أن  $x = 0$  ، نجد أن :

$$\xi = -\frac{\Delta k}{2} \frac{d\omega}{dk} t = -\frac{\Delta \omega}{2} t \quad (1.56)$$

وبدراسة شبيهة بالسابقة ، نحصل من (1.56) على العلاقة التالية :

$$\Delta \omega \cdot \Delta t \geq 2\pi \quad (1.57)$$

ان العلاقتين (1.54) و (1.57) صحيحتان لجميع الظواهر الموجية (الخطية) فالعلاقة (1.57) المعروفة جيدا في علم الضوء تربط عرض الخط الطيفي بمدة الاشعاع . ان الحد ذا الدرجة الثانية من الصغر ، انظر (1.43) ، المهمل في عملية النشر (1.41) يحدد زمن غموض الرزمة الموجية ؛ لأنه عندما يصبح المقدار  $\omega_2 t$  من الرتبة  $\pi/2$  فان النشر الخطي

(1.42) الذي يدخل ضمن  $\sin \epsilon$  يفقد معناه . فإذا تشكلت الرزمة الموجية في اللحظة  $t = 0$  ، عندئذ يكون  $t = \Delta t$  ، حيث أن المقدار  $\Delta t$  هو زمن الغموض المعنى ، وعليه نجد من (1.43) أن :

$$(\Delta k)^2 \frac{d^2 \omega}{dk^2} \Delta t \sim 2\pi$$

أي أن :

$$\Delta t \sim \frac{2\pi}{(\Delta k)^2 \frac{d^2 \omega}{dk^2}} \quad (1.58)$$

أما إذا استعملنا العلاقة (1.55) فنجد أن :

$$\Delta t \sim \frac{(\Delta x)^2}{2\pi \frac{d^2 \omega}{dk^2}} \quad (1.59)$$

وعليه نستطيع بواسطة المعادلة (1.35) أن نكتب المعادلات (1.55) ، (1.57) ، (1.59) ، التي تحققها أمواج دوبرويل لحزمة من الألكترونات ، بشكل آخر أي أن :

$$\Delta p \cdot \Delta x \geq h \quad (1.60)$$

$$\Delta E \cdot \Delta t \geq h \quad (1.61)$$

$$\Delta t \sim \frac{(\Delta x)^2}{2\pi h \frac{d^2 E}{dp^2}} \quad (1.62)$$

تسمى العلاقة (1.60) بعلاقة هايزنبرج للاتعيين التي تبين أنه كلما كانت  $\Delta p$  أضيق كانت  $\Delta x$  أوسع . وعندما تكون الموجة مستوية  $\Delta p = 0$  نجد أن  $\Delta x = \infty$  ، انظر الشكل (1.2) ، إذ لا تتغير السعة في كل نقاط الفراغ ؛ أي أنه يوجد نفس الاحتمال لموقع الجسيم في كل الفراغ ( حالة البعد الواحد ) . ومن السهل تعميم العلاقة (1.60) على حالة الفراغ ثلاثي الأبعاد ، وعندئذ ستكون صحيحة لا للاحداثي  $x$  فحسب بل وللأحداثيين  $y$  و  $z$  أيضا ( ثلاث علاقات ) . وفيما يلي ، سنستخلص علاقات الاتعيين بدقة أعلى . لقد سميت العلاقة (1.61) بعلاقة الاتعيين الرابعة . لندرس

أخيرا زمن غموض الرزمة الموجية المعين بالمساواة (1.62) ، ففي الحالة الخاصة أى للفوتونات  $E = cp$  ، لذا  $\frac{d^2E}{dp^2} = 0'$  وعليه فإن زمن غموض الرزمة الموجية يسعى إلى اللانهاية ( $\Delta t \rightarrow \infty$ ) أى أن الرزمة الموجية فى الحقيقة غير غامضة . أما من أجل الموجات الدوبرويلية ، أى للجسيمات التى لا تنعدم كتلتها الساكنة فنجد من (1.35) أن :

$$\frac{dE}{dp} = \frac{c^2 p}{E} = \frac{c^2 p}{mc^2} = \frac{p}{m}$$

وإذا اقتصرنا على الحالة النسبية ( $m = m_0$ ) ، نجد أن :

$$\frac{d^2E}{dp^2} = \frac{1}{m_0} \quad (1.63)$$

وعندئذ نجد أن زمن غموض الرزمة الموجية يساوى :

$$\Delta t \sim \frac{m_0}{h} (\Delta x)^2 \quad (1.64)$$

وعندما يكون الجسيم مرئيا (مجهريا) وكتلته 1g مثلا وبعده حوالى  $\Delta x \sim 0,1 \text{ cm}$  ، نجد أن زمن الغموض سيكون كبيرا جدا ، أى أن :

$$\Delta t \sim 10^{26} \text{ s} \quad (1.65)$$

أما للألكترون ذى الكتلة  $\Delta x \sim 10^{-8} \text{ cm}$   $m_0 \sim 10^{-27} \text{ g}$  (أبعاد الذرة) فإن الرزمة الموجية عمليا تغمض بشكل مفاجيء لأن :

$$\Delta t \sim 10^{-17} \text{ s} \quad (1.66)$$

ولذلك لا بد لنا عند دراسة الإلكترون فى الذرة من استعمال المعادلة الموجية . وتؤكد كل الظواهر ، التى مرّ ذكرها سابقا ، على الخواص الموجية للإلكترونات .

بعد أن درسنا الناحية الكيفية للعلاقة بين الخواص الجسيمية والموجية للإلكترونات ننتقل الآن إلى إيجاد المعادلات الدقيقة لوصف الخواص الموجية لها . وسندرس فى البنود اللاحقة من هذا القسم معادلة شرودينجر الموجية التى يمكن بواسطتها دراسة حركة الإلكترونات عند السرعات اللانسبية .

البند ٢ - معادلة شرودينجر

أ ( معادلة هاملتون - جاكوبى . من المعلوم فى الميكانيكا التقليدية أنه يمكن دراسة حركة جسيم باختيار تابع ( دالة ) هاملتون  $H = H(r, p, t)$  وحل المعادلات القياسية المناسبة باعتماد الشروط الابتدائية . وإذا كان  $H$  مستقلا عن الزمن ، أى  $\partial H/\partial t = 0$  فإن المعادلات القياسية تملك تكاملا يسمى بتكامل الطاقة :

$$H = E \quad (2.1)$$

حيث  $E$  - طاقة الجسيم ، أما تابع هاملتون فبتواجد الطاقة الكامنة  $V(r)$  يساوى :

$$H = \frac{p^2}{2m_0} + V(r) \quad (2.2)$$

(  $p$  - اندفاع الجسيم ،  $m_0$  - كتلته ) . ويقابل التابع (2.2) الحالة اللانسيبية ، أى عندما تكون سرعة الجسيم  $v = p/m_0$  أصغر بكثير من سرعة الضوء ( $v \ll c$ ) . ومن جهة أخرى يمكن استعمال معادلة هاملتون - جاكوبى لدراسة حركة الجسيم ، وذلك بدراسة تابع وضعه النهائى فى المكان  $r$  والزمان  $t$  ، أى أن :

$$S(r, t) = \int_0^t L dt \quad (2.3)$$

حيث  $L = L(r, v, t)$  - تابع لاغرانج للجسيم ( $L = vp - H$ ) . وعندئذ تحدد المشتقات الجزئية للتابع  $S(r, t)$  المعروف سابقا ، بالشكل التالى :

$$\nabla S = p \quad (2.4)$$

$$\frac{\partial S}{\partial t} = -H \quad (2.5)$$

وبالتعويض فى تابع هاملتون (2.2) قيمة الاندفاع من (2.4) نجد أن (2.5)

تصبح على النحو التالي :

$$-\frac{\partial S(r, t)}{\partial t} = \frac{1}{2m_0} (\nabla S(r, t))^2 + V \quad (2.6)$$

وتسمى هذه المعادلة التفاضلية من أجل  $S$  ، بمعادلة هاملتون - جاكوبى .  
 فى الحالة الخاصة : عندما تكون الطاقة  $V$  مستقلة عن الزمن يكون  
 للمعادلة (2.6) حل من الشكل الآتى :

$$S(r, t) = -Et + S(r) \quad (2.7)$$

وبتعويض  $S(r, t)$  من المعادلة (2.6) نستخلص من أجل تعيين التابع  $S(r)$   
 المعادلة التالية :

$$E = \frac{1}{2m_0} (\nabla S(r))^2 + V(r) \quad (2.8)$$

التي تسمى معادلة هاملتون - جاكوبى المستقرة .

ب) المعادلة الموجية للالكترونات . لكى ندرس الخواص الموجية  
 للالكترونات ، التي تتسم بطول الموجة الدوبرويلية  $\lambda$  ، يجب أن نعمم معادلة  
 هاملتون - جاكوبى معتمدين على معادلة شرودينجر . رغم ذلك يبقى استنتاج  
 المعادلة السابقة غير دقيق ، لذا يجب اعتبارها بديهية :

$$-\frac{\hbar}{i} \frac{\partial \psi}{\partial t} = -\frac{\hbar^2}{2m_0} \nabla^2 \psi + V\psi \quad (2.9)$$

حيث  $\psi$  - التابع الموجى الذى سنوضح معناه الفيزيائى فيما بعد . أما المعادلة  
 المرافقة عقديا لمعادلة شرودينجر فهي :

$$\frac{\hbar}{i} \frac{\partial \psi^*}{\partial t} = -\frac{\hbar^2}{2m_0} \nabla^2 \psi^* + V\psi^* \quad (2.10)$$

ويجب أن تحقق معادلة شرودينجر عدة شروط حدية فهي قبل كل شئ  
 يجب أن تتحول إلى معادلة هاملتون - جاكوبى عندما  $\hbar \rightarrow 0$  ، وهذا يعنى  
 اختفاء الخواص الموجية للالكترونات ويمكن التحقق من ذلك إذا بدلنا التابع  
 الموجى  $\psi$  بالتابع  $S$  عن طريق العلاقة

$$\psi(r, t) = A e^{i(1/\hbar)S(r, t)} \quad (2.11)$$

وإذا أخذنا بعين الاعتبار المعادلات التالية :

$$\nabla\psi = \frac{i}{\hbar} (\nabla S) \psi$$

$$\nabla^2\psi = -\frac{1}{\hbar^2} (\nabla S)^2 \psi + \frac{i}{\hbar} (\nabla^2 S) \psi \quad (2.12)$$

$$\frac{\partial\psi}{\partial t} = \frac{i}{\hbar} \left( \frac{\partial S}{\partial t} \right) \psi$$

نستطيع أن نحول (2.9) إلى شكل آخر . وبما أن التابع  $\psi$  سيدخل في جميع الحدود عند إجراء التحويل السابق كمضروب فقط لذا يمكن اختصاره ، وعليه نجد أن :

$$-\frac{\partial S}{\partial t} = \frac{1}{2m_0} (\nabla S)^2 - \frac{i\hbar}{2m_0} \nabla^2 S + V \quad (2.13)$$

وإذا اعتبرنا في المعادلة الأخيرة أن  $\hbar \rightarrow 0$  ، نحصل على معادلة هاملتون - جاكوبى (2.6) . ان المعادلة (2.13) مكافئة تماما لمعادلة شرودينجر وإذا استطعنا حل المعادلة (2.13) بدقة ، سنجد التابع الموجى أيضا . ولندرس الآن حالة حدية ثانية مبنية على أساس المعادلة (2.9) ألا هي حالة الحركة الحرة ، فمن الممكن ايجاد حل دقيق للمعادلة (2.9) إذا انعدمت الطاقة الكامنة ( $V=0$ ) لذا فان التابع الموجى فى هذه الحالة يساوى :

$$\psi = Ae^{-i(\hbar)(Et-pr)} \quad (2.14)$$

وإذا بدلنا (2.14) فى (2.9) فإننا بذلك نستخلص العلاقة التقليدية المعروفة بين طاقة الجسيم ودفعه فى حالة انعدام القوى الخارجية :

$$E = \frac{p^2}{2m_0} \quad (2.15)$$

وعندما نوجه المحور  $x$  باتجاه الدفع  $p$  نحصل على العلاقة التالية :

$$\psi = Ae^{-i(\hbar)(Et-pr)}$$

وإذا لاحظنا أن الموجة المستوية توصف بالعلاقة الآتية :

$$\psi = Ae^{-i(\omega t - kx)} = Ae^{-2\pi i \left( \nu t - \frac{x}{\lambda} \right)} \quad (2.16)$$

فسنجد بالمقارنة أن :

$$E = \hbar\omega = hv, \quad p = \hbar k$$

ومنه نحصل ، من أجل الحركة الأحادية البعد ، على طول موجة دوبرويل المعروفة :

$$\lambda = \frac{h}{p} = \frac{h}{m_0 v} \quad (2.17)$$

ان الانتقال من معادلة شرودينجر إلى معادلة هاملتون - جاكوبى يكافىء فى علم الضوء الانتقال من المعادلة الموجية إلى المعادلة الشعاعية ( الضوء الهندسى ) . ونرى مما سبق أن معادلة الموجة للفوتونات تحوى على المشتقة الثانية بالنسبة للزمن ، أما فى معادلة شرودينجر فلا توجد سوى المشتقة الأولى بالنسبة للزمن . وسبب ذلك هو أن الأخيرة تصف حركة الجسيمات اللانسبية ، أما الفوتونات فتعتبر جسيمات نسبية دائما . وعندما ننطلق من العلاقات النسبية بين الطاقة والدفع ، انظر (1.7) ، نرى أن المعادلة الموجية تأخذ شكلا آخر ( الجسيم الحر ) :

$$-\hbar^2 \frac{\partial^2 \psi}{c^2 \partial t^2} = -\hbar^2 \nabla^2 \psi + \hbar^2 m_0^2 c^2 \psi$$

إذا فرضنا أن  $m_0 = 0$  نحصل على المعادلة الموجية للفوتونات ، كما نحصل على معادلة شرودينجر إذا فرضنا أن  $E^{rel} = E + m_0 c^2$  و  $p \ll m_0 c$  ، أى يمكن اهمال الحدود اللامتناهية فى الصغر من المرتبة الثانية  $\left(\frac{v}{c}\right)^2$  وهكذا ، تحقق معادلة شرودينجر الشروط الحدية الضرورية ،  $\hbar = 0$  ، أى عندما نستطيع اهمال طول موجة دوبرويل ، وتتحول عندئذ إلى معادلة هاملتون - جاكوبى . أما الحركة الحرة للإلكترونات فهى حركة موجية يتعين طول موجتها بعلاقة دوبرويل . وأما إذا كانت الطاقة الكامنة لا تتعلق بالزمن ، فنستطيع أن نجرى فى معادلة شرودينجر التحويل التالى :

$$\psi(r, t) = e^{-i(\hbar)^{-1} E t} \psi(r) \quad (2.18)$$



وعندئذ يخضع التابع الموجى  $\psi(r)$  لمعادلة شرودينجر المستقرة التالية :

$$E\psi(r) = -\frac{\hbar^2}{2m_0} \nabla^2 \psi(r) + V\psi(r) \quad (2.19)$$

التي تتحول إلى معادلة هاملتون - جاكوبى المستقرة عندما  $\hbar \rightarrow 0$  ، انظر (2.8) .

(ج) المعنى الفيزيائى للتابع الموجى  $\psi$  . لكى نبين المعنى الفيزيائى للتابع الموجى  $\psi$  ، أو بتعبير أوضح ، لكى نفهم مدلوله أو ما يقصد به ، نحسب كثافة الشحنة  $\rho$  وغزارة التيار  $j$  المرتبطين ببعضهما البعض بمعادلة الاستمرارية\* التالية :

$$\frac{\partial \rho}{\partial t} + \text{div } j = 0 \quad (2.20)$$

نضرب معادلتى شرودينجر (2.9) و (2.10) بالتابعين الموجيين  $\psi^*$  و  $\psi$  على الترتيب ثم نطرح احدهما من الأخرى فنجد :

$$\frac{\partial \psi^* \psi}{\partial t} + \frac{i\hbar}{2m_0} \nabla \cdot (\psi \nabla \psi^* - \psi^* \nabla \psi) = 0 \quad (2.21)$$

حيث يكون  $\psi$  تابعا للاحداثيين  $r$  و  $t$  . لنكتب المعادلة (2.21) بالشكل التالى :

$$\frac{\partial \psi^* \psi}{\partial t} + \frac{i\hbar}{2m_0} \text{div} (\psi \text{grad } \psi^* - \psi^* \text{grad } \psi) = 0 \quad (2.22)$$

وإذا ضربنا (2.22) بعنصر الحجم  $d^3x$  وكاملناها فى كل نقاط الفراغ نجد أن :

\* تعبر معادلة الاستمرارية عن قانون مصونية الشحنة . فإذا ضربنا (2.20) بـ  $d^3x$  وكاملنا الناتج بالنسبة للفراغ كله نجد أن :

$$\frac{d}{dt} \int \rho d^3x = - \int \text{div } j d^3x = - \oint j \cdot dS$$

حيث يمتد السطح  $S$  إلى اللانهاية حتى يحيط بالحجم كله . وإذا فرضنا ان التيارات تنعدم فى اللانهاية نجد أن الشحنة الكلية تبقى ثابتة ، أى أن :

$$\int \rho d^3x = e = \text{const}$$

$$\frac{d}{dt} \int \psi^* \psi d^3x = 0 \quad (2.23)$$

$$\int \psi^* \psi d^3x = \text{const} \quad (2.24)$$

وبما أن معادلة شرودينجر خطية ، لذا فإن التابع الموجى  $\psi$  يتعين بدقة تصل حتى معامل عددي ثابت ، يمكن اختياره بحيث يصبح التكامل ( 2.24 ) مساويا للواحد\* ، أى أن :

$$\int \psi^* \psi d^3x = 1 \quad (2.25)$$

وتبقى لدينا بعد ذلك أعمال أخرى ، مثلا ضرب التابع الموجى بالمضروب الطورى الذى طوليلته تساوى الواحد ، أى أن :

$$\psi \rightarrow \psi' = e^{i\alpha} \psi, \quad \psi^* \rightarrow \psi'^* = e^{-i\alpha} \psi^*$$

حيث  $\alpha$  عدد حقيقى ثابت (  $|e^{i\alpha}| = 1$  ) . وإذا بدلنا  $\psi$  بـ  $\psi' = e^{i\alpha} \psi$  و  $\psi^*$  بـ  $e^{-i\alpha} \psi^*$  ، نجد أن المساواة ( 2.22 ) تبقى صحيحة ولا تتغير قيمة التكامل ( 2.25 ) . وبمقارنة المعادلتين ( 2.22 ) و ( 2.20 ) وبفرض أن  $e$  هى شحنة الالكترون نستخلص من أجل كثافة الشحنة وغازارة التيار العلاقتين التاليتين :

$$\begin{aligned} \rho &= e\psi^* \psi \\ j &= \frac{i\hbar e}{2m_0} (\psi \text{ grad } \psi^* - \psi^* \text{ grad } \psi) \end{aligned} \quad (2.26)$$

وهكذا تحقق التراكيب التربيعية للتابعين  $\psi$  و  $\psi^*$  معادلة الاستمرارية ( 2.26 ) المعروفة فى الفيزياء التقليدية ، رغم اختلاف مدلولها فى الفيزياء التقليدية والكوانتية ، ففى الفيزياء التقليدية يمكن دراسة حركة الجسيمات طالما أن مدارها معلوم ، ولهذا نفهم  $p$  و  $j$  فى المعادلة ( 2.20 ) ككثافة

---

\* المعادلة ( 2.25 ) صحيحة من أجل الطيف المنقطع عندما ينعدم التابع الموجى فى اللانهاية . أما عندما يكون الطيف مستمرا فلا بد من وضع شروط حدية خاصة على التابع الموجى مثل تلك التى تؤدى إلى العلاقة ( 2.25 ) حتى ولو لم ينعدم التابع الموجى فى اللانهاية . وقد تتواجد معايير أخرى لمثل هذه الحالة ( انظر ذلك بالتفصيل فى البند ٤ ) .

الجسيمات وغزارة تيار المادة على الترتيب . ولكن لا يمكن تحديد مكان الجسيم واندفاعه معا في الفيزياء الكوانتية وبدقة في كل لحظة من الزمن  $t$  ، ولذا يرتبط عدم التعيين هذا بعلاقات اللا تعيين ( الشك ) ، وعليه اقترح بورن التأويل الاحتمالي للتابع الموجى  $\psi$  الذى يصف حالة الجسيم ( أو المجموعة الكوانتية فى الحالة العامة ) ؛ وبناء على ذلك فإن الجداء  $\psi^*(r)\psi(r)$  يمثل الكثافة الاحتمالية لوجود الجسيم فى نقطة من الفراغ محددة بمتجه الموضع  $r$  ، وهذا يعنى أن الميكانيكا الكوانتية علم يبنى على الأسس النظرية الاحتمالية حتى ولو لجسيم واحد . فإذا ضربنا المقدار  $\psi^*\psi = |\psi|^2$  بـ  $d^3x$  نجد أن  $|\psi|^2 d^3x$  يمثل احتمال ظهور الجسيم فى عنصر الحجم  $d^3x$  حول النقطة  $r$  . وتعنى المساواة ( 2.25 ) عندئذ أن الجسيم يجب أن يتواجد فى نقطة ما من الفراغ ولهذا فإن الاحتمال الكلى ، لوجوده فى كل نقاط الفراغ ، يساوى الواحد .

( د ) المؤثرات الخطية فى نظرية شرودينجر . لندخل الآن مفهوم المؤثرات الخطية التى سنكتب بواسطتها معادلة شرودينجر . قبل كل شىء يجب أن تحقق المؤثرات الخطية عند تأثيرها على تابع عادى ما  $f(r)$  الخواص التالية :

$$M(f_1 + f_2) = Mf_1 + Mf_2, \quad MCf = CMf \quad (2.27)$$

حيث  $C$  عدد ثابت . ويمكن أن نأخذ مثلا على هذه المؤثرات : عملية التفاضل\* ( أو عملية الضرب بتابع عادى\*\* ) .

إذا قارنا المعادلة التقليدية ، أنظر ( 2.1 ) و ( 2.2 ) ، بمعادلة شرودينجر الموجية ، انظر ( 2.9 ) ، نجد أنه عند الانتقال من المعادلة التقليدية إلى

\* سنرمز للمؤثرات المرتبطة بالتفاضل بحروف قائمة .  
\*\* سنرمز للتوابع العادية بحروف مائلة .

الطاقة  $E$  أى أن :

المعادلة الموجية ينبغي تبديل الطاقة  $E$  بمؤثر

$$E \rightarrow \hat{E} = -\frac{\hbar}{i} \frac{\partial}{\partial t} \quad (2.28)$$

والدفع  $p$  بمؤثر الدفع :

$$p \rightarrow \hat{p} = \frac{\hbar}{i} \nabla \quad (2.29)$$

وبتعويض ذلك فى المعادلة التقليدية نجد أن :

$$E = \frac{1}{2m_0} p^2 + V(r) \quad (2.30)$$

وليس للمؤثرات نفسها ، أى لرمز التفاضل فى مثالنا ، أى محتوى فيزيائى .  
ولذلك ، لكى يصبح للعلاقة (2.30) معنى فيزيائى يجب أن نؤثر على التابع  
الموجى  $\psi$  بالمؤثرات . عندئذ بدلا من (2.30) نحصل على معادلة من أجل  
 $\psi$  أى أن :

$$E\psi = H\psi \quad (2.31)$$

حيث يعطى مؤثر تابع هاملتون بالعلاقة :

$$H = \frac{p^2}{2m_0} + V(r) = -\frac{\hbar^2}{2m_0} \nabla^2 + V(r) \quad (2.32)$$

فإذا بدلنا المؤثرات (2.28) و (2.29) بقيمتها فى (2.31) نحصل على  
معادلة شرودينجر (2.9) من جديد . ولنلاحظ أخيرا أن لتبديل الطاقة  
والدفع بالمؤثرات المقابلة لها طابع عام ، يمكن بواسطته الحصول على  
المعادلة الموجية فى حالة وجود الحقل المغناطيسى وكذلك فى الحالة  
النسبية . فمثلا نستطيع أن نحصل على المعادلة الموجية اللانسبية لجسيم  
شحنته  $e$  ، يقع ضمن حقل كهرومغناطيسى كمونه المتجهى  $A$  وكمونه العدى  
 $\Phi$  ، من معادلة شرودينجر للحالة الحرة وذلك بتبديل المؤثرين  $E$  و  $p$   
بالشكل التالى :  $E \rightarrow E - e\Phi$  ،  $p \rightarrow p - \frac{e}{c} A$  وعندئذ نستخلص المعادلة  
المطلوبة :

$$E\psi = \left[ \frac{1}{2m_0} \left( p - \frac{e}{c} A \right)^2 + e\Phi \right] \psi \quad (2.33)$$

وإذا أثرنا بمؤثر الطاقة على الموجة المستوية (2.18) المقابلة للتابع الموجي للحركة الحرة فإننا نلاحظ أن الموجة المذكورة تحقق المعادلة التالية :

$$E\psi = E\psi \quad (2.34)$$

حيث  $E$  القيمة الخاصة لمؤثر الطاقة . وبنفس الطريقة نرى ، في حالة الحركة الحرة أيضا ، أن التابع الموجي (2.18) يحقق المعادلة التالية :

$$p\psi = p\psi \quad (2.35)$$

حيث  $p$  القيمة الخاصة لمؤثر الدفع . وهكذا نرى أن العلاقات المستنتجة سابقا تثبت صحة اختيار (2.28) و (2.29) كمؤثرين للطاقة والدفع .

### البند ٣ - حل معادلة شرودينجر

أ ( الحالة المستقرة . لنكتب معادلة شرودينجر المستقرة (2.19) من أجل الحالة التي لا تتعلق الطاقة الكامنة فيها بالزمن بالشكل التالي :

$$\nabla^2\psi + \frac{2m_0}{\hbar^2} (E - V(r))\psi = 0 \quad (3.1)$$

حيث يعبر عن الطاقة الكامنة  $V(r)$  بدلالة تابع الاحداثيات . وعلينا الآن حساب الطاقة  $E$  والتابع الموجي  $\psi$  ولذلك يجب أن نضيف إلى التابع الموجي والحل ، الذي يطابق حل معادلة من الدرجة الثانية من نوع شتورم - ليوفيل ، الشروط التالية : يجب أن يكون التابع ومشتقته مستمرين ، وهذا يؤدي بدوره إلى وجوب استمرارية الشحنة وغزارة التيار ، انظر (2.26) . عدا ذلك يجب أن يكون التابع الموجي محددًا ووحيد القيمة في كل الفراغ ويحقق شروطا حدية معينة . أما في اللانهاية ( $r \rightarrow \infty$ ) فيجب أن ينتهي إلى الصفر ( $\psi \rightarrow 0$ ) وذلك عندما يكون الطيف متقطعًا ويكون  $V > E$  . وعليه ، نرى أن المعادلة (3.1) لا تقبل حلولًا إلا من أجل قيم

معينة للوسيط الذى هو الطاقة  $E$  فى هذه الحالة ، أما قيمته المحتملة التى تسمى بالقيم الخاصة فتعيّن سوياً طاقة الجملة ، أى أن :

$$E_1, E_2, E_3, \dots, E_n, \dots \quad (3.2)$$

عندئذ فإن حلول المعادلة الموجية المقابلة لهذه القيم ستكون :

$$\psi_1, \psi_2, \psi_3, \dots, \psi_n, \dots \quad (3.3)$$

التي تسمى بالتتابع الخاصة . أما ترقيمها  $n$  فيسمى بالأعداد الكوانتية . وترقم التتابع والقيم الخاصة بنفس الرقم الكوانتى فى حالة الحركة الأحادية البعد ( مثال ذلك الحركة على المحور  $x$  ) . ويتعلق التابع الموجى  $\psi$  فى الحالة الثلاثية البعد بثلاثة أعداد كوانتية . وكذلك يمكن أن تتعلق القيم الخاصة للطاقة  $E$  بثلاثة أعداد أو بعددين أو حتى بعدد واحد فى بعض الحالات . عندئذ تكون الجملة منطبقة ، إذ تقابل قيمة واحدة للطاقة عدة توابع موجية ، وكذلك قد تعنى  $n$  ، فى الحالة العامة عدة أعداد كوانتية . وترتبط القيم الخاصة والتتابع الخاصة ، طبقاً لـ (3.1) ، بالمعادلة التالية :

$$\nabla^2 \psi_n + \frac{2m_0}{\hbar^2} (E_n - V) \psi_n = 0 \quad (3.4)$$

أو

$$(E_n - H) \psi_n = 0 \quad (3.5)$$

حيث يتعين مؤثر هاملتون  $H$  بالعلاقة (2.32) . وان تعيين القيم الخاصة للطاقة  $E$  يعنى تكميم طيف الطاقة الذى أشار إلى أهميته بلانك لأول مرة ، انظر (1.13) . ويجرى التكميم فى نظرية بور شبه التقليدية على أساس فرضية الحالات المستقرة ، بينما نحصل على طيف الطاقة بصورة آلية تماماً انطلاقاً من معادلة شرودينجر . وبمعرفة طيف الطاقة نستطيع حساب تواتر الاشعاع الناتج عن الانتقال من الحالة  $n$  إلى الحالة  $(E_n < E_n')$  ، فإذا

اعتبرنا الفوتون جسما طاقته  $\hbar\omega$  نستطيع أن نكتب قانون مصونية الطاقة بالشكل التالي :

$$\hbar\omega = E_n - E_{n'}$$

ومنه نجد تواتر ( تردد ) الاشعاع :

$$\omega = \omega_{nn'} = \frac{E_n - E_{n'}}{\hbar} \quad (3.6)$$

ان (3.6) عبارة عن فرضية بور الثانية التي تسمى بشرط التواترات ( الترددات ) والتي تستخرج في الميكانيكا الكوانتية بشكل الى اعتمادا على نظرية الاشعاع الكوانتية . ومن المهم هنا تعيين الاحتمالات الكوانتية للانتقالات أو شدة الاشعاع التي تتعلق بالقيم الخاصة للتتابع الموجية  $\psi_n$  .

( ب ) الحل العام . بعد حساب القيم الخاصة  $E_n$  والتتابع الخاصة  $\psi_n$  نستطيع ايجاد الحلول الخاصة لمعادلة شرودينجر (2.9) و (2.10) التي ستكون من الشكل \*

$$\psi_n(r, t) = e^{-i(E_n/\hbar)t} \psi_n(r), \quad \psi_n^*(r, t) = e^{i(E_n/\hbar)t} \psi_n^*(r) \quad (3.7)$$

وبما أن معادلة شرودينجر خطية لذا يمكن تطبيق مبدأ التراكب عليها ، ذلك المبدأ الذي ينص على أن الحل العام هو مجموع ، أو بتعبير أصح ، تركيب خطي للحلول الجزئية ، أي أن :

$$\psi = \sum_n C_n e^{-i(E_n/\hbar)t} \psi_n \quad (3.8)$$

$$\psi^* = \sum_n C_n^* e^{i(E_n/\hbar)t} \psi_n^* \quad (3.9)$$

\* بصورة عامة يجب أن يكون التابع الموجي  $\psi$  متعلقا لا بالاحداثيات  $r$  فقط وإنما بالزمن  $t$  أيضا وفي الحالة المستقرة يمكن تقسيم التابع الموجي إلى قسمين الأول فراغي يرتبط ب  $r$  فقط والثاني زمني يتبع  $t$  وفق قانون أسي . وعندما تكون العلاقة صريحة سنهمل المتحولات .

حيث  $C_n$  و  $C_n^*$  - ثابتان اختياريان . وللتأكد من صحة الحل (3.8) نعوضه في معادلة شرودينجر (2.9) فنجد أن :

$$(E - H) \psi = \sum_n C_n e^{-i(H) E_n t} (E_n - H) \psi_n = 0$$

لقد استندنا على العلاقة (3.4) أثناء استنتاجنا للمعادلة السابقة . فإذا بدلنا (3.8) و (3.9) في شرط المعايرة (2.25) وغيّرنا في المعادلة (3.9) الرقم  $n$  بالرقم  $n'$  سنجد أن :

$$\sum_{n, n'} C_n^* C_n e^{-i(H) t (E_n - E_{n'})} \int \psi_n^* \psi_n d^3x = 1 \quad (3.10)$$

ولكى تعمم المعادلة (3.10) على الجملة اللانمطبة ، التي تقابل فيها كل قيمة  $E_n$  للطاقة قيمة واحدة  $\psi_n$  يجب ان تحقق التوابع الموجية الخاصة بشرط التعامد ، أى أن :

$$\int \psi_n^* \psi_{n'} d^3x = 0 \quad , \quad n' \neq n \quad (3.11)$$

وان لم يتحقق ذلك ، فسيعلق الطرف الأيسر من (3.10) بالزمن وعندئذ لن تكون هذه المعادلة صحيحة من أجل الثوابت الاختيارية  $C_n$  . وعلى ضوء المحاكمة السابقة نستطيع ، عندما  $n = n'$  يكون الطرف الأيسر من (3.10) مستقلا عن الزمن ، اختيار التوابع الموجية بحيث تتحقق المعادلة التالية :

$$\int \psi_n^* \psi_n d^3x = 1 \quad (3.12)$$

وبادخال دلتا - رمز كرونكر - فايرشتراس ، التالى

$$\delta_{nn'} = \begin{cases} 1 & \text{و } n = n' \\ 0 & \text{و } n \neq n' \end{cases} \quad (3.13)$$

يمكننا أن نوحده العلاقتين (3.11) و (3.12) في علاقة واحدة تسمى بشرط التعامد والمعايرة

$$\int \psi_n^* \psi_n d^3x = \delta_{nn'} \quad (3.14)$$



أما في حالة التطابق عندما تتقابل قيمة واحدة للطاقة  $E_n$  بعدة توابع موجية، على سبيل المثال بتابعين  $\psi'_n$  و  $\psi''_n$  غير متعامدين فيما بينهما ، أى أن :

$$\int \psi_n'^* \psi_n'' d^3x = B \neq 0$$

فيمكن تشكيل تراكيب خطية ( اثنين في مثالنا ) متعامدة ، مثلا عندما يكون  $B$  عددا حقيقيا سيكون لدينا التركيبان الآتيان :

$$\psi_{n1} = \frac{\psi_n' + \psi_n''}{\sqrt{2(1+B)}}, \quad \psi_{n2} = \frac{\psi_n' - \psi_n''}{\sqrt{2(1-B)}}$$

ولهذا نستطيع دائما في حالة التطابق اختيار التوابع الموجية بحيث يكون شرط التعامد والمعايرة من النوع التالي :

$$\int \psi_{n'm}^* \psi_{nm} d^3x = \delta_{nn'} \delta_{mm'} \quad (3.15)$$

مع العلم أن  $m$  في مثالنا البسيط يساوى 1 و 2 . وباستخدام شرط المعايرة والتعامد (3.14) نستطيع أن نكتب (3.10) بالشكل التالي :

$$\sum_n C_n^* C_n = 1 \quad (3.16)$$

وعليه ، نستطيع أن نفسر الثوابت  $C_n$  بالشكل التالي : ان مربع القيمة المطلقة  $C_n^* C_n = |C_n|^2$  يجب أن يميز احتمال مكان الجسيم في الحالة  $n$  . فمثلا ، عندما يكون الجسيم بالاحتمال الكامل في الحالة الكوانتية  $n$  يمكننا أن نفترض أن  $C_n = 1$  ، وأن الثوابت الأخرى  $C_{n'}$  ( $n' \neq n$ ) تساوى الصفر ( $C_{n'} = 0$ ) . وعندئذ نجد أن للتابع الموجى حلا خاصا (3.7) ، مع العلم أنه حسب مقترحات العالم بورن ( انظر البند - ٢ ، الفقرة ج ) يجب أن يفسر المقدار

$$\psi_n^* \psi_n = |\psi_n|^2 \quad (3.17)$$

ككثافة لاحتمال توزع ( انتشار ) الالكترون الواقع في الحالة الكوانتية  $\psi_n$  في الفراغ .

ج) الجوقات الكوانتية . يمكننا أن نستخدم فى الميكانيكا الكوانتية مفهوم الجوقات الكوانتية وهى تلك التى تضم جملة من الجسيمات المتشابهة المنفردة ( الالكترونات أو الفوتونات مثلا ) التى توصف بتابع موجى واحد . فإذا فرضنا أن احتمال وجود الكترنين فى حالتين كوانتيتين  $n_1$  و  $n_2$  لا يساوى الصفر ، فإن التابع الموجى العام لهما يجب أن يكون تركيباً خطياً لتابعى حالتيهما ويكتب طبقاً لـ (3.8) بالشكل التالى :

$$\psi = C_{n_1} e^{-i(E_{n_1} t / \hbar)} \psi_{n_1} + C_{n_2} e^{-i(E_{n_2} t / \hbar)} \psi_{n_2} \quad (3.18)$$

والعلاقة (3.18) هى نتيجة منطقية لمبدأ التراكب الذى تخضع له معادلة شرودينجر لكونها الخطية . وعليه ، فإنه لحساب كثافة احتمال توزع الالكترون فى الفراغ نجد أن :

$$\begin{aligned} \psi^* \psi = & C_{n_1}^* C_{n_1} \psi_{n_1}^* \psi_{n_1} + C_{n_2}^* C_{n_2} \psi_{n_2}^* \psi_{n_2} + C_{n_2}^* C_{n_1} e^{-i(E_{n_1} - E_{n_2}) t / \hbar} \psi_{n_2}^* \psi_{n_1} + \\ & + C_{n_1}^* C_{n_2} e^{i(E_{n_1} - E_{n_2}) t / \hbar} \psi_{n_1}^* \psi_{n_2} \quad (3.19) \end{aligned}$$

وتسمى الجوقة التى توصف بتتابع موجية يمكن جمعها كما فى (3.18) بالجوقة النقية ( الكوانتية ) . وفى الحالة المذكورة يتناسب الحدان المختلطان طردياً مع جداء  $C_{n_1}^* C_{n_2}$  و  $C_{n_2}^* C_{n_1}$  ، ونجد ان الرابطة الاحصائية بين الالكترنين المنفردين الواقعين فى حالتين كوانتيتين مختلفتين ، التى تعد سبباً لحدوث ظاهرتى تداخل وانعطاف الأمواج الدوريلية . ويمكن أن تتواجد الجوقات النقية المرتبطة بمبدأ التراكب فى عملية موجية ، وفى الضوء الموجى مثلاً ، هى التى تشكل النور المرصوص أو المتماسك . وبالإضافة إلى الجوقات النقية قد نجد الجوقات المختلطة ، التى نصادفها غالباً فى النظرية التقليدية ، عند تجميع الاحتمالات وليس التتابع الموجية ، أى أن :

$$|C|^2 = |C_1|^2 + |C_2|^2 \quad (3.20)$$

عندئذ لا تظهر رابطة احصائية بين الحالات المختلفة ولهذا يجب أن تختفى الظواهر الموجية كالتداخل والانعطاف . أما فى العمليات الموجية فإن

الجوقة المختلطة تتولد عند غياب الحدود المتناسبة مع  $C_2C_1$  ،  $C_1C_2$  وهذا أمر جازم عندما يتغير الطور أو فرق الصفحة بين الحالات الكوانتية المختلفة بسرعة مع الزمن . أما في الضوء الموجي فإن وضعاً مشابهاً لتلك الحالة ينشأ من أجل ما يسمى بالنور غير المرصوص الصادر من منبعين ضوئيين ( أو عدة منابع ضوئية ) مستقلين .

( د ) التفسير الإحصائي للتابع الموجي . ينتج مما سبق أن الخواص الموجية للالكترونات والفوتونات ترتبط بالتفسير الإحصائي للتابع الموجي . وليس من الصعب فهم هذا التفسير عندما يتواجد عدد كبير من الالكترونات ، إذ يمكن اعتبار المقدار  $r = |\Psi|^2$  في هذه الحالة تابعاً للتوزيع الإحصائي . أما لوحة الانعطاف فتفسر كما يلي : يتساقط على البقع المضئية أكبر ما يمكن من الالكترونات وهذا يقابل النهاية الحدية العظمى للتابع  $r$  ، وعلى العكس من ذلك ، يكون احتمال حركة الالكترونات باتجاه البقع المظلمة أصغر ما يمكن .

غير أن صعوبة التفسير الإحصائي للتابع الموجي تظهر عند دراسة حركة الكترون واحد ، حيث لا تستطيع الميكانيكا الكوانتية أن تحدد بدقة الاتجاه الذي سيسير فيه الالكترون بعد مروره من ثقب الانعطاف . عندئذ ، من الخطأ أن نفترض الالكترون جسيماً وموجة على حد سواء ، فلو كان كل الكترون موجة لا تجزؤه الأول في اتجاه والجزء الثاني في اتجاه آخر . أما في الحقيقة ، فإن الالكترون جسيم في غاية الصغر لم تحدد أبعاده حتى الآن . ولكن التجارب التي أجريت في هذا المجال تدل على أن نصف القطر الالكتروني\* أصغر من  $10^{-16}$  cm . ولهذا فعندما يمر الكترون واحد

\* تدل التجارب التي أجريت على الالكترونات السريعة ، التي تكون طاقتها أكبر بألف مرة من طاقة السكون ، أنه عند مرورها عبر البروتونات والنيوترونات يمكن تحديد أبعاد هذه الأخيرة ، إذ تبين أنها من الرتبة  $10^{-13}$  cm ، كما يمكن معرفة توزيع الشحنات العزوم المغناطيسية في هذه الجسيمات .

عبر ثقب الانعطاف سنجد نقطة واحدة فقط على الشاشة . ولكن عند الاستمرار فى عملية تمرير الالكترونات المنفردة ، فإن النقاط المنفردة على الشاشة ستبصل مشكلة لوحة الانعطاف الشبيهة بتلك التى تشكلت عند تمرير الكترونات كثيرة وهذا يذكرنا إلى حد ما بما يحدث عند التصويب على هدف ، حيث نعتبر إصابة كل طلقة بمثابة علامة خاضعة لقوانين الصدفة . إذا كانت العلامات كثيرة فإنها قد تسمح لنا بوضع قانون ما للتصويب والفرق بين الطلقتين المجاورتين يكمن فى اعتبار الطلقات هنا جوقة مختلطة ( تقليدية ) قد تكون نهايتها العظمى فى المركز ( منحنى غاوس ) . أما جملة الالكترونات فتعتبر جوقة نقية ( كوانتية ) ، ولذا نجد عوضاً عن منحنى غاوس لوحة الانعطاف المعروفة ، أى أننا نجد إلى جانب النهاية العظمى الرئيسية الموجودة فى المركز مجموعة أخرى من النهايات العظمى النسبية تتعلق المسافة بينها بأبعاد ثقب الانعطاف والطول الدويرولى للموجة . وسوف تتكرر اللوحة إذا بدلنا الالكترونات بالفوتونات المنفردة . وعليه ، يجب علينا الآن أن نعيد النظر فى مبدأ السببية عند دراسة حركة الجسيمات النقطية ، فإذا استطعنا فى الميكانيكا الكلاسيكية أن نتنبأ بمسار جسيم وسرعته عندما نعرف القوى المؤثرة عليه والشروط الابتدائية فإننا نستطيع فى الميكانيكا الكوانتية التنبؤ فقط باحتمال اتجاه حركة الالكترتون وسرعته واندفاعه ، مع العلم أن هذا التنبؤ محدد بعلاقات اللاتعيين ( الشك ) ، انظر ( 1.60 ) ، أى أن :

$$\Delta p_x \cdot \Delta x \geq \hbar \quad (3.21)$$

رغم أن هذا الاستنتاج قد أثار مناقشات حامية ونذكر أن إحدى محاولات فهم حرية ، سلوك الجسيمات مبنية على ما يسمى مبدأ الاتمام ( بور ، هايزينبيرج ) . وطبقاً لهذا المبدأ ، يكمن سبب علاقات الشك فى

أن تأثير المراقب على الموضوع الذى يدرسه لا يمكن أن يكون معدوماً .  
 ولشرح المبدأ السابق تورد المثال التالى : لتفرض أننا نريد تعيين مكان  
 الكترون بواسطة مجهر دقيق جداً ، فإذا انتقل الالكترتون مسافة ما من عدسه  
 المجهر ، بحيث تتكون الزاوية  $\varphi$  بين الحزمتين الساقطة والمنتشرة بطول  
 للموجة  $\lambda$  ، فإنه طبقاً لقوانين الضوء ، يمكن قياس إحداثى الالكترتون  $x$  فى  
 اتجاه ما مواز لمستوى عدسة المجهر ، بدقة  $\Delta x$  تتحدد بالشكل التالى :

$$\Delta x \sim \frac{\lambda}{\sin \varphi} \quad (3.22)$$

بما أن الفوتونات تملك اندفاعاً  $p = \frac{h}{\lambda}$  ينتقل جزئياً إلى الالكترتون ( ظاهره  
 كمبتون ) فإن اندفاع الالكترتون على المحور  $x$  سيحدد بدقه  $\Delta p_x$  من  
 المرتبة التالية :

$$\Delta p_x \sim \frac{h}{\lambda} \sin \varphi \quad (3.23)$$

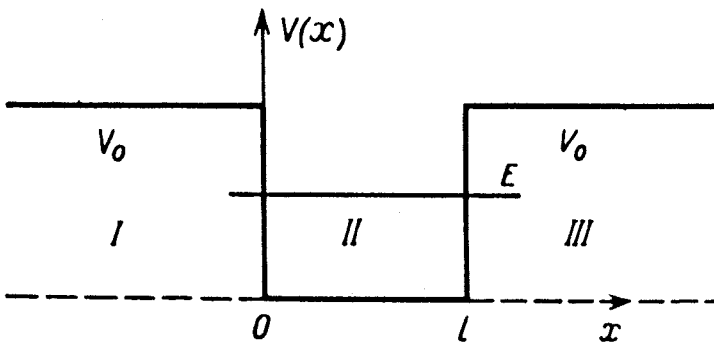
علماً أنه إذا ضربنا  $\Delta x$  بـ  $\Delta p_x$  نحصل على علاقة الشك (3.21) . رغم  
 ذلك ، يعتبر تفسير ظهور الطابع الاحتمالى فى نظرية حركة الالكترتون  
 بإدخال تأثير المراقب أمراً غير مقبول ، لأنه لا يمكننا من فهم جميع  
 استنتاجات الميكانيكا الكوانتية . فالطابع الاحتمالى فى النظرية الكوانتية  
 ( استحالة التنبؤ بنتيجة واحدة معينة فى التجارب التى تجرى على مجموعة  
 كوانتية ) يشهد فقط على حصر أو محدودية استخدام الحتمية\* اللابلاسية  
 وهذا ما يبرهن أنه طابع موضوعى . وعليه ، فإن الميكانيكا الكوانتية ،  
 بغض النظر عن أجهزة القياس وطرائقه ، يجب أن تصف القوانين  
 الموضوعية الأعم التى تفعل فعلها فى عالم الجسيمات الدقيقة .

\* هناك مقولة مشهورة للعالم لابلاس : . اعطنى الموضع الابتدائى للكون ، وسأنتبأ لك  
 بسمتقبله . .  
 ( المترجم )

البند ٤ - طيفا معادلة شرودينجر المنقطع والمستمر

أ) الحفرة الكمونية (الجهدية) . لنحصر دراستنا في المسائل الأحادية البعد ( الحركة تتم على المحور  $x$  فقط ) ، نختار لذلك تابعا كمونيا يتعلق بالبعد  $x$  من أجل الحفرة الكمونية المستطيلة، انظر الشكل ٤ - ١ ، أو المحددة بالشكل التالي :

$$V(x) = \begin{cases} V_0 , & -\infty < x < 0 \text{ (المجال الأول)} \\ 0 , & 0 \leq x \leq l \text{ (المجال الثاني)} \\ V_0 , & l < x < \infty \text{ (المجال الثالث)} \end{cases} \quad (4.1)$$



الشكل ٤ - ١ . حركة الجسم في الحفرة الكمونية .

ففي المجال II ، عندما يكون الطيف متقطعاً ينبغي أن تكون الطاقة  $E$  أصغر من الكمون  $V$  في اللانهاية  $E < V_0$  ؛ وعليه نكتب معادلة شرودينجر المستقرة (3.1) في المجال II كما يلي :

$$\psi'' + k^2\psi = 0 \quad (4.2)$$

حيث

$$\nabla^2\psi = \frac{d^2\psi}{dx^2} = \psi'' \quad \text{و}$$

$$k = \frac{\sqrt{2m_0E}}{\hbar} = \frac{p}{\hbar} \quad (4.3)$$

عندئذ يكون الحل العام للمعادلة (4.2) (حفرة كمونية) ، أى أن :

$$\psi = A_2 \sin(kx + \delta) \quad (4.4)$$

حيث  $A_2$  و  $\delta$  - ثابتان اختياريان . أما فى المجالين  $I, III$  ، فيمكن كتابة معادلة شرودينجر بالشكل التالى :

$$\psi'' - \kappa^2\psi = 0 \quad (4.5)$$

حيث :

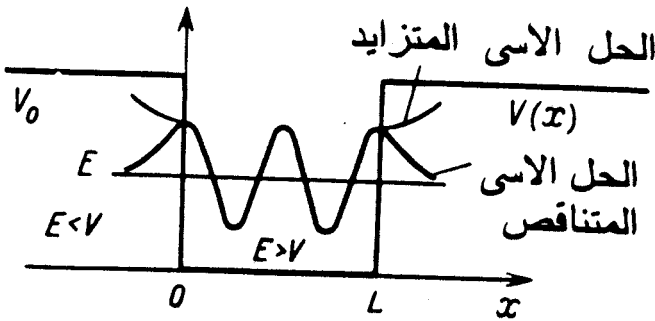
$$\kappa = \frac{\sqrt{2m_0(V_0 - E)}}{\hbar} = \frac{|p|}{\hbar} \quad (4.6)$$

أما حل المعادلة (4.5) (والحاجز الكمونى  $V_0 > E$ ) فيكون من الشكل

التالى :

$$\psi_{1,3} = A_{1,3}e^{\kappa x} + B_{1,3}e^{-\kappa x} \quad (4.7)$$

حيث  $A_{1,3}$  و  $B_{1,3}$  - ثابتان اختياريان . وهذا الحل يتألف من قسمين ، الأول : أسى متناقص والآخر أسى متزايد ، انظر الشكل ٤ - ٢ . ونحصل على القيم الخاصة لطاقة الالكترون انطلاقاً من الشروط الحدية التى تشترط



الشكل ٤ - ٢ . التابع الموجى عند قيمة ما  $E$  ، حيث اعتبرت سوية الطاقة محورا للفواصل من أجل التابع الموجى .

أن يكون الحل المتزايد مساويًا للصفر ، لذا يجب أن نشترط أن  $A_1 = A$  و  $B_1 = 0$  في المجال الأول و  $B_3 = Be^{\kappa l}$  ،  $A_3 = 0$  في المجال الثالث ، وعليه يكون لدينا :

$$\psi_1 = Ae^{\kappa x} = Ae^{-\kappa x} = , x < 0 \quad (4.8)$$

و

$$\psi_3 = Be^{-\kappa(x-l)} , x > l \quad (4.9)$$

فإذا دمجنا التابعين الموجبين  $\psi_1$  و  $\psi_2$  في النقطة  $x = 0$  والتابعين  $\psi_2$  و  $\psi_3$  في النقطة  $x = l$  (يعنى بالدمج تساوى التوابع الموجية ومشتقاتها في النقطتين المذكورتين) نجد ، من أجل النقطة  $x = 0$  ، أن

$$A_2 \sin \delta = A \quad (4.10)$$

$$A_2 k \cos \delta = \kappa A$$

ومنه :

$$\text{tg } \delta = \frac{k}{\kappa} \quad (4.11)$$

وبالطريقة نفسها نجد ، من أجل النقطة  $x = l$  ، أن :

$$\text{tg}(kl + \delta) = -\frac{k}{\kappa} \quad (4.12)$$

وبناء على (4.11) و (4.12) نستخلص أن :

$$\sin \delta = \frac{k}{\kappa_0} , \sin(kl + \delta) = -\frac{k}{\kappa_0} \quad (4.13)$$

حيث

$$\kappa_0 = \sqrt{2m_0 V_0} / \hbar$$

أى أن :

$$\kappa = \sqrt{\kappa_0^2 - k^2}$$



وبحذف المقدار  $\delta$  من المعادلتين (4.13) نحصل لحساب القيم الخاصة على المعادلة التالية :

$$kl = n\pi - 2 \arcsin \frac{k}{x_0} \quad (4.14)$$

حيث  $n = 1, 2, 3, \dots$  - أعداد صحيحة موجبة . وبما أن  $k > 0$  ، انظر (4.3) ، و  $\frac{k}{x_0} = \sqrt{\frac{E}{V_0}} < 1$  ، لذا يمكننا دائماً (باعتبار  $n$  - عدد صحيح) أن نعتبر الزاوية  $\arcsin \frac{k}{x_0}$  محصورة بين 0 و  $\frac{\pi}{2}$  . أما في الحالة العامة فتحل المعادلة (4.14) بيانياً . ولندرس بالتفصيل الحالة\*  $V_0 \gg E$  ، عندما تكون الحفرة الكمونية محدّدة بجدارين عاليين ( $\frac{k}{x_0} = 0$ ) ، وعندئذ نجد من (4.14) أن :

$$k = \frac{\pi n}{l} \quad (4.15)$$

ومنه نحسب  $E_n$  (القيم الخاصة) والتوابع المقابلة (التوابع الخاصة)

$$E_n = \frac{\pi^2 \hbar^2 n^2}{2m_0 l^2} \quad (4.16)$$

$$\psi_n = A_n \sin \pi n \frac{x}{l} \quad (4.17)$$

وفقاً لـ (4.13) ينعدم الطور  $\delta$  في هذه الحالة أما المعادلة من أجل التابع الموجي (4.17) داخل الحفرة  $0 \leq x \leq l$  فتكون صحيحة ، وأما  $\psi_n$  فيساوى الصفر في حدود الحاجز الكموني ( $x \rightarrow \infty$ ) . ولحساب  $A_n$  نستخدم شرط المعايرة :

$$\int_0^l \psi_n^2 dx = A_n^2 \int_0^l \sin^2 \pi n \frac{x}{l} dx = \frac{l}{2} A_n^2 = 1 \quad (4.18)$$

ومنه نستخلص التوابع الخاصة :

$$\psi_n = \sqrt{\frac{2}{l}} \sin \pi n \frac{x}{l} \quad (4.19)$$

\* سندرس الحالة  $V_0 < E$  في مثال أبسط ، عندما يكون طيف الطاقة مستمرا .

التي تحقق شروط المعايرة والتعامد :

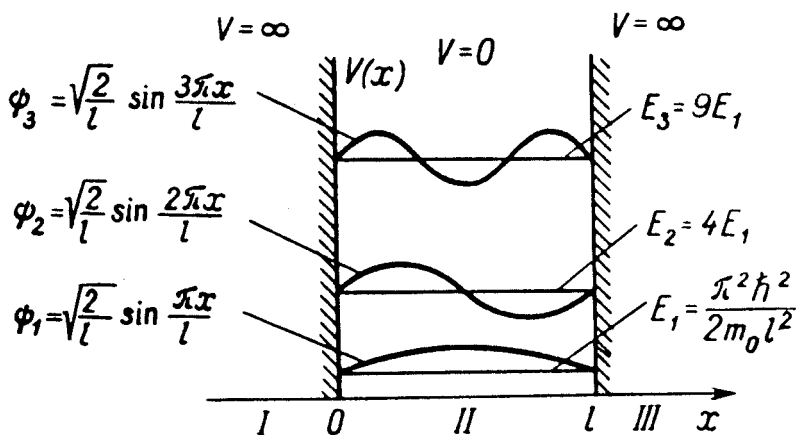
$$\int_0^l \psi_{n'} \psi_n dx = 0 \quad (n' \neq n) \quad (4.20)$$

وليس من الصعب التأكد من ذلك بتبديل  $\psi_n$  ،  $\psi_{n'}$  بقيمتها من (4.19) .  
ولنكتب الآن الشكل النهائي للقيم الخاصة  $E_n$  والتوابع الموجية المقابلة لأصغر الأعداد الكوانتية  $n = 1, 2, 3$  ، أى أن :

$$\begin{aligned} E_1 &= \frac{\pi^2 \hbar^2}{2m_0 l^2}, & \psi_1 &= \sqrt{\frac{2}{l}} \sin \frac{\pi x}{l} & (n=1) \\ E_2 &= 4E_1, & \psi_2 &= \sqrt{\frac{2}{l}} \sin \frac{2\pi x}{l} & (n=2) \\ E_3 &= 9E_1, & \psi_3 &= \sqrt{\frac{2}{l}} \sin \frac{3\pi x}{l} & (n=3) \end{aligned} \quad (4.21)$$

وقد مثلت هذه الحلول بيانياً على الشكل ٤ - ٣ وهى تشبه كثيراً حلول اهتزازات الوتر التي تشكل أمواجاً مستقرة . إذ تقابل الحالة  $n = 1$  النغمة الأساسية والحالة  $n = 2$  - الإيقاع الأول ، إلى آخره .

لنحسب أخيراً كثافة الشحنة وغازة التيار عند حركة الجسيمات فى الحفرة الكمونية ، نلاحظ قبل كل شيء أن غازة التيار وفقاً لـ (2.26)



الشكل ٤ - ٣ . الجسيم فى حفرة كمونية جدارها عالين إلى ما لا نهاية .

تساوى الصفر عندما تكون التوابع حقيقية ( $j_x = 0$ ) . وهذه نتيجة طبيعية ، لأن الاهتزازات السابقة تمثل أمواجاً مستقرة لا تشكل تدفقات من الجسيمات . ونحسب كثافة الشحنة بالعلاقة ( 2.26 ) فنجد أن القيم :

$$\rho = \frac{2e}{l} \sin^2 \frac{n\pi x}{l} \quad (4.22)$$

التي هي بطون الاهتزازات ( $\rho = \frac{2e}{l}$ ) وعقدتها ( $\rho = 0$ ) . فمثلاً عندما  $n = 1$  نجد بطناً واحداً فى النقطة  $x = \frac{l}{2}$  ، أى فى الوسط ، وبصورة عامة يحدد العدد  $n$  عدد البطون .

ب ) الطيف المستمر . نقتصر دراستنا للطيف المستمر فى حالة حركة الجسيم الحرة ، إذ يمكن كتابة معادلة شرودينجر ، فى أبسط حالات الحركة أحادية البعد حيث تنعدم الطاقة الكامنة ( $V = 0$ ) فى المجال ( $-\infty < x < \infty$ ) كله بالشكل التالى :

$$\psi'' + k^2\psi = 0 \quad (4.23)$$

حيث

$$k = \frac{p}{\hbar} \quad (4.24)$$

ويكون حلها بالشكل التالى :

$$\psi = Ae^{ikx} + Be^{-ikx} \quad (4.25)$$

ومنه نلاحظ أن الحل الأول  $Ae^{-i(\omega t - kx)}$  يصف حركة الموجة فى اتجاه واحد من  $x$  وأما الثانى  $Be^{-i(\omega t + kx)}$  فيصفها بالاتجاه المعاكس ؛ وبما أن العدد الموجى  $k$  يأخذ قيماً موجبة وسالبة على حد سواء ، لذا يمكن لأحد الحلين أن يصف الحالتين معاً . فإذا اقتصرنا على دراسة حركة موجة واحدة

منتشرة بامتداد المحور  $x$  ، أو بعكسه ، فإنه يمكن كتابة الجزء المستقر من التابع الموجى بالشكل التالى :

$$\psi = Ae^{ikx} \quad (4.26)$$

عندئذ ، من السهل التأكد من تباعد التكامل التالى :

$$\int_{-\infty}^{+\infty} \psi^* \psi d^3x \rightarrow \infty$$

لذا يجب إعادة النظر فى القاعدة النموجية ، انظر ( 2.25 ) . وثمة طريقتان لمعايرة التوابع الموجية هما طريقة بورن وطريقة استخدام تابع ديراك  $\delta$  .

**ج ) طريقة بورن .** وتعتمد على تبديل الشروط الحدية المضافة للتابع الموجى بشرط الدورية . ففى الحالة أحادية البعد مثلا ، بإدخال طول دورية بورن  $L$  الذى قد يكون لانهائياً عند الضرورة ( $L \rightarrow \infty$ ) طالما أنه يحذف من النتيجة النهائية ، نستطيع أن نضيف إلى التابع الموجى شرط الدورية التالى :

$$\psi(x) = \psi(x + L) \quad (4.27)$$

أو

$$Ae^{ikx} = Ae^{ik(x+L)}$$

ومنه نجد أن :

$$e^{ikL} = 1 \quad (4.28)$$

أى أن

$$k = \frac{2\pi n}{L} = \frac{p}{h} \quad (4.29)$$

حيث يمكن للعدد الكوانتى  $n$  أن يأخذ قيماً موجبة وسالبة بما فيها الصفر أى أن :

$$n = 0, \pm 1, \pm 2, \pm 3, \dots \quad (4.30)$$

وعندئذ نحصل من ( 4.24 ) على طيف الطاقة ( الحركة الحرة )

$$E_n = \frac{p^2}{2m_0} = \frac{\hbar^2 k^2}{2m_0} = \frac{2\pi^2 \hbar^2 n^2}{m_0 L^2} \quad (4.31)$$

فإذا فرضنا أن الجسم يقع في المجال  $-\frac{L}{2} \leq x \leq \frac{L}{2}$  فإننا نجد من شرط المعايرة أن :

$$\int_{-L/2}^{L/2} \psi^* \psi dx = 1 \quad (4.32)$$

ومنه

$$A = \frac{1}{\sqrt{L}}$$

ولهذا يكتب التابع الموجي المعيار بالشكل التالي :

$$\psi_n = \frac{1}{\sqrt{L}} e^{ikx} = \frac{1}{\sqrt{L}} e^{i \frac{2\pi n}{L} x} \quad (4.33)$$

ومن السهل البرهان أن التتابع الموجية لا تحقق شرط المعايرة فقط وإنما شرط التعامد أيضًا ، وليس من الصعب التأكد من ذلك مباشرة بحساب التكامل التالي :

$$\int_{-L/2}^{L/2} \psi_{n'}^* \psi_n dx = \frac{1}{L} \int_{-L/2}^{L/2} e^{i \frac{2\pi}{L} (n-n') x} dx = \frac{\sin \pi (n-n')}{\pi (n-n')} = \delta_{nn'} \quad (4.34)$$

وهكذا استطعنا بواسطة المفهوم المذكور ( طول الدورية ) أن نجعل من الطيف المستمر طيفًا متقطعًا ، الذي يتحول من جديد إلى طيف مستمر عندما ينتهي  $L$  ، الذي ليس له معنى فيزيائي ، إلى اللانهاية . وفي الحقيقة نجد من ( 4.31 ) عند حساب  $\Delta E$  بين سويتين متجاورتين أن :

$$\Delta E = \frac{2\pi^2 \hbar^2 2n}{m_0 L^2} \Delta n. \quad (4.35)$$

فإذا اعتبرنا أن  $\Delta n = 1$  و  $p = m_0 v = \frac{2\pi \hbar n}{L}$  نجد أن :

$$\Delta E = \frac{2\pi \hbar}{L} v \quad (4.36)$$

ومنه نجد أنه عندما  $L \rightarrow \infty$  فإن  $\Delta E \rightarrow 0$  أى أن طيف الطاقة سيكون مستمرًا . ولنعمم هذه المسألة على حركة الجسيم الحرة والثلاثية الأبعاد ، وعندئذ تأخذ معادلة شرودينجر الشكل التالى :

$$\left( \frac{\partial^2}{\partial x^2} + \frac{\partial^2}{\partial y^2} + \frac{\partial^2}{\partial z^2} + k^2 \right) \psi = 0 \quad (4.37)$$

حيث

$$k^2 = \frac{2m_0}{\hbar^2} E \quad (4.38)$$

فإذا طبقنا على التابع الموجى شرط الدورية من أجل المحاور الاحداثية الثلاثة ، نجد أن :

$$\begin{aligned} \psi(x, y, z) &= \psi(x + L, y, z) \\ \psi(x, y, z) &= \psi(x, y + L, z) \\ \psi(x, y, z) &= \psi(x, y, z + L) \end{aligned} \quad (4.39)$$

وعليه ، يكون الحل العام :

$$\psi(r) = \frac{1}{L^{3/2}} e^{i(kr)} \quad (4.40)$$

حيث

$$k_x = k_1 = \frac{2\pi n_1}{L}, \quad k_y = \frac{2\pi n_2}{L}, \quad k_z = \frac{2\pi n_3}{L} \quad (4.41)$$

ويمكن أن تكون كل من  $n_1, n_2, n_3$  أعدادا صحيحة موجبة أو سالبة بما فيها الصفر ، كما يحقق الحل الناتج شرط التعامد والمعايرة ( $d^3x = dx dy dz$ ) ، وعليه يكون لدينا :

$$\int \psi_{n'_1 n'_2 n'_3}^* \psi_{n_1 n_2 n_3} d^3x = \delta_{n_1 n'_1} \delta_{n_2 n'_2} \delta_{n_3 n'_3} \quad (4.42)$$

وعندئذ يساوى التابع الموجى المتعلق بالاحداثيات والزمن ما يلى :

$$\psi = \frac{1}{L^{3/2}} e^{-i(\hbar)(Et - pr)} \quad (4.43)$$

حيث

$$p = \hbar k, \quad E = \frac{p^2}{2m_0} = \frac{2\pi^2\hbar^2}{m_0L^2} (n_1^2 + n_2^2 + n_3^2) \quad (4.44)$$

د) طريقة دلتا - تابع ديراك . من الضروري التوقف عند أهم خواص التابع دلتا قبل أن نشرح طريقة المعايرة بواسطته ، فهو يمثل تعميماً لرمز كرونكر - فايرشتراس على التتابع المستمرة . ولنفترض أننا ننشر التابع  $f(x)$  في جملة كاملة من التتابع المتعامدة والمعايرة  $\psi_n(x)$

$$f(x) = \sum_n f_n \psi_n(x) \quad (4.45)$$

حيث تخضع التتابع  $\psi_n(x)$  لشرط التعامد والمعايرة :

$$\int \psi_n^*(x) \psi_n(x) dx = \delta_{nn'} \quad (4.46)$$

الذي يمثل متجهات الوحدة في الفراغ اللانهائي البعد المسمى بفراغ هيلبرت . ونذكر ، في هذا السياق أن التتابع الخاجبة لمعادلة شرودينجر تخضع للعلاقة (4.46) . لنضرب (4.45) بـ  $\psi_n^*(x)$  وبعد إجراء عملية التكامل في كل الفراغ نستخلص معاملات فورييه المعممة  $f_n$  :

$$f_n = \int f(x') \psi_n^*(x') dx' \quad (4.47)$$

ثم نعوض (4.47) في (4.45) فنجد أن :

$$f(x) = \sum_n \int dx' f(x') \psi_n^*(x') \psi_n(x) \quad (4.48)$$

ويجب أولاً إجراء التكامل بالنسبة لـ  $dx'$  ثم حساب المجموع وفق  $n$

$$\sum_n \psi_n^*(x') \psi_n(x) \quad (4.49)$$

بسبب تباعده ولكن إذا أدخلنا مضروباً « قاطعاً » مثل  $e^{-\alpha|x|}$  ( $\alpha \geq 0$ ) بحيث يتقارب المجموع :

$$\sum_n e^{-\alpha|x|} \psi_n^*(x') \psi_n(x) \quad (4.50)$$

فإنه يمكن كتابة ( 4.48 ) كما يلي :

$$f(x) = \lim_{\alpha \rightarrow +0} \int dx' f(x') \sum_n e^{-\alpha |n|} \psi_n^*(x') \psi_n(x) \quad (4.51)$$

وعندئذ يصبح المقدار

$$\sum_n e^{-\alpha |n|} \psi_n^*(x') \psi_n(x) = \delta(x' - x, \alpha) \quad (4.52)$$

غامضًا ، مع العلم أنه يمكن اختيار مضروب آخر يجعل المجموع ( 4.52 ) متقاربًا ، وبما أنه في نهاية المطاف (أى بعد إجراء عملية التكامل) ، سنفترض أن المضروب  $\alpha$  يساوى الصفر ، لذا فإن إدخال المضروب يمكن أن يتم بطرائق مختلفة . ويسمى المقدار ( 4.52 ) بالتابع - دلنا الغامض أما التابع - دلنا نفسه فيمكن اعتباره مساويًا المقدار التالي :

$$\delta(x' - x) = \sum_n \psi_n^*(x') \psi_n(x) \quad (4.53)$$

ولندرس الصيغة الملموسة لتابع ديراك  $\delta$  عندما تكون الحركة حرة ، حيث يمكن كتابة متجهات الواحدة في فراغ هيلبرت ، انظر ( 4.33 ) ، بالشكل التالي :

$$\psi_n(x) = \frac{1}{\sqrt{L}} e^{\frac{2\pi n i}{L} x} \quad (4.54)$$

ومن ( 4.54 ) ينتج شرط التعامد والمعايرة :

$$\frac{1}{L} \int_{-L/2}^{L/2} e^{\frac{2\pi i}{L} x(n-n')} dx = \frac{\sin \pi (n-n')}{\pi (n-n')} \quad (4.55)$$

عندئذ ، يكون التابع  $\delta$  طبقاً لـ ( 4.53 ) بالشكل التالي :

$$\delta(x' - x) = \frac{1}{L} \sum_{n=-\infty}^{\infty} e^{\frac{2\pi n i}{L} (x-x')} \quad (4.56)$$



ولندخل متغيرًا جديدًا  $k = \frac{2\pi n}{L}$  بعد أن نعتبر أن :

$$\Delta k = \left(\frac{2\pi}{L}\right) \Delta n = \frac{2\pi}{L} \quad (4.57)$$

لأن  $\Delta n = 1$  .

وعندما ينتهي طول الدورية  $L$  إلى اللانهاية ( $\Delta k \rightarrow 0$ ) فإن المجموع (4.56) يتحول إلى التكامل التالي :

$$\delta(x' - x) = \frac{1}{2\pi} \int_{-\infty}^{+\infty} dk e^{ik(x-x')} = \frac{1}{\pi} \int_0^{\infty} dk \cos k(x' - x) \quad (4.58)$$

أما بالنسبة للتابع  $f(x)$  فسنجد عوضًا عن (4.45) العلاقة الآتية :

$$f(x) = \frac{1}{\pi} \int_0^{\infty} dk \int dx' f(x') \cos k(x' - x) \quad (4.59)$$

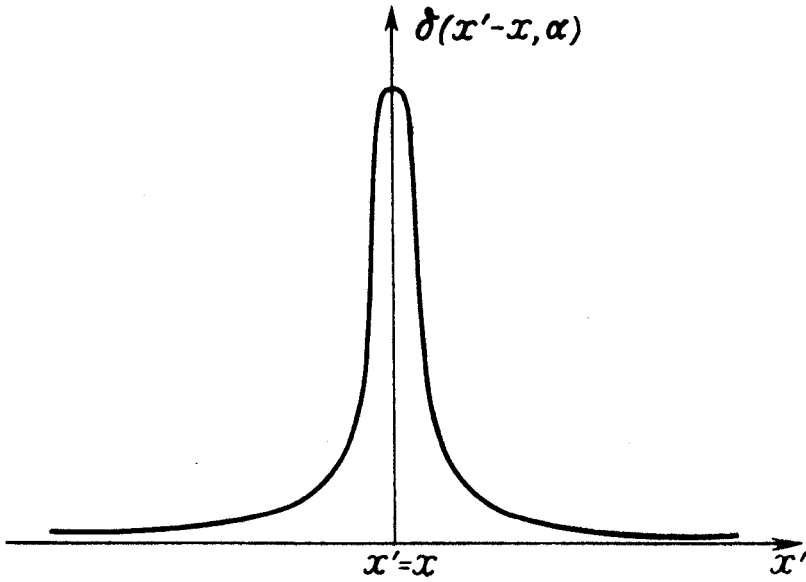
إن للترتيب في عملية العلاقة السابقة أهمية كبيرة فيجب أولاً إجراء التكامل بالنسبة لـ  $x'$  ومن ثم بالنسبة لـ  $k$  . أما إذا أردنا تغيير ترتيب عملية التكامل فيجب استعمال التابع - دلنا الغامض ( $\alpha > 0$ ) :

$$\delta(x' - x, \alpha) = \frac{1}{\pi} \int_0^{\infty} dk e^{-\alpha k} \cos k(x' - x) \quad (4.60)$$

وعندئذ نستطيع كتابة المساواة (4.59) كما يلي :

$$f(x) = \lim_{\alpha \rightarrow 0} \int dx' f(x') \frac{1}{\pi} \int_0^{\infty} dk e^{-\alpha k} \cos k(x' - x) \quad (4.61)$$

فإذا حسبنا التكامل (4.60) نجد للتابع  $\delta$  الغامض ، أنظر الشكل ٤ - ٤ ، صيغة بالشكل التالي :



الشكل ٤ - ٤ . التابع - دلتا الغامض .

$$\delta(x' - x, \alpha) = \frac{1}{\pi} \frac{\alpha}{\alpha^2 + (x' - x)^2} \quad (4.62)$$

وعندما  $x = x'$  يكون لدينا :

$$\delta(x' - x, \alpha) = \frac{1}{\pi} \frac{1}{\alpha} \rightarrow \infty, \quad (\alpha \rightarrow 0) \quad (4.63)$$

أما عندما  $x \neq x'$  فيكون لدينا :

$$\delta(x' - x, \alpha) = \frac{1}{\pi} \frac{\alpha}{(x' - x)^2} = 0, \quad (\alpha \rightarrow 0)$$

وعليه نجد أن التابع - دلتا يتمتع بالخاصة التالية :

$$\delta(x' - x) = \begin{cases} \infty, & (x' = x) \\ 0, & (x' \neq x) \end{cases} \quad (4.64)$$

أما في حالة تكامل فورييه فإن التابع - دلتا يساوى :

$$\delta(x' - x) = \frac{1}{2\pi} \int_{-\infty}^{\infty} dk e^{ik(x' - x)} = \frac{1}{\pi} \int_0^{\infty} dk \cos k(x' - x) \quad (4.65)$$

أى أننا نحصل على العبارة (4.58) نفسها والتي هي نتيجة للانتقال النهائى لسلسلة فورييه (4.56). وبما أن نتيجة التكامل مستقلة عن طريقة الغموض فقد اقترح ديرك كتابة التكامل (4.59) بالشكل التالى :

$$f(x) = \frac{1}{\pi} \int dx' f(x') \int_0^{\infty} dk \cos k(x' - x) \quad (4.66)$$

مفترضاً إياه بمثابة انتقال نهائى ، انظر (4.61). وإذا قارنا العلاقتين (4.65) و (4.66) ، حيث يوجد التابع - دلنا تحت التكامل فسنجد أن

$$\int \delta(x' - x) f(x') dx' = f(x) \quad (4.67)$$

وبالطريقة نفسها إذا درسنا (4.64) فإننا نجد باعتبار ( $b > a$ ) أن :

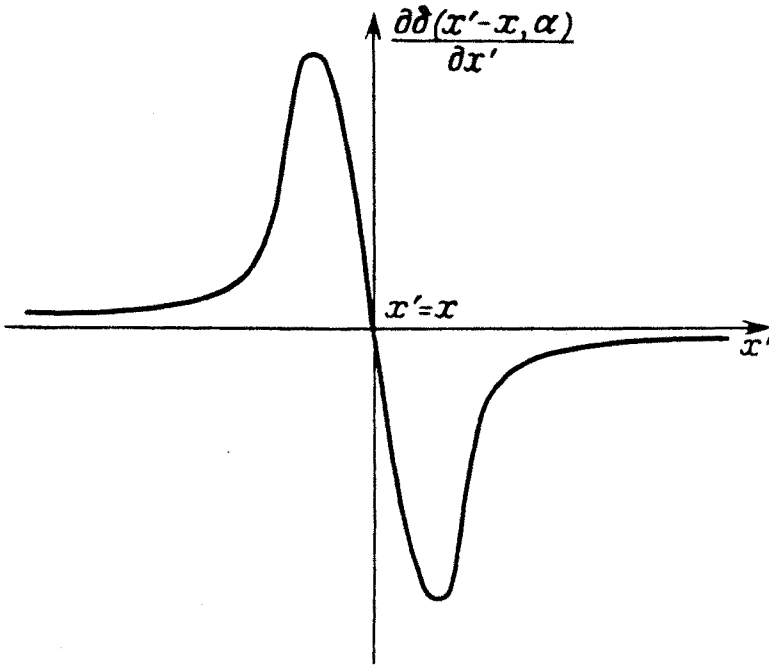
$$\begin{aligned} \int_a^b f(x') \delta(x' - x) dx' &= - \int_b^a f(x') \delta(x' - x) dx' = \\ &= \begin{cases} f(x), & (b > x > a) \\ 0, & (x > b \text{ أو } x < a) \end{cases} \end{aligned} \quad (4.68)$$

أى لكى تكون النتيجة مختلفة عن الصفر يجب أن يقع  $x$  فى مجال عملية التكامل  $a < x < b$ . وبالرغم من الخواص الغريبة للتابع - دلنا يمكن التعامل معه كتابع عادى ؛ أى حساب مشتقته أو اعتباره مشتقة لتابع منقطع. ومن الأسهل لذلك أن نأخذ التابع - دلنا الغامض (4.62) ، جاعلين وسيط الغموض  $\alpha$  منتهياً إلى الصفر فى النتيجة النهائية. وعندئذ نرى أن مشتقة التابع - دلنا الغامض هي :

$$\frac{\partial \delta(x' - x, \alpha)}{\partial x'} = - \frac{2\alpha(x' - x)}{\pi(\alpha^2 + (x' - x)^2)^2} \quad (4.69)$$

ويمثل الشكل ٤ - ٥ خطأ بيانياً لمشتقة التابع - دلنا الغامض. أما التكامل الحاوى مشتقة التابع - دلنا فيكتب بالشكل التالى :

$$\int \delta'(x' - x) f(x') dx' = - f'(x) \quad (4.70)$$



الشكل ٤ - ٥ . مشتقة التابع - دلتا ( الغامض ) .

وبالطريقة نفسها نستطيع أن نبرهن أن التابع  $\delta$  هو مشتقة لتابع منقطع ولهذا نندخل التابع الغامض التالي :

$$\gamma(x' - x, \alpha) = \frac{1}{\pi} \int_0^{\infty} e^{-\alpha k} \frac{\sin k(x' - x)}{k} dk = \frac{1}{\pi} \operatorname{arctg} \frac{x' - x}{\alpha} \quad (4.71)$$

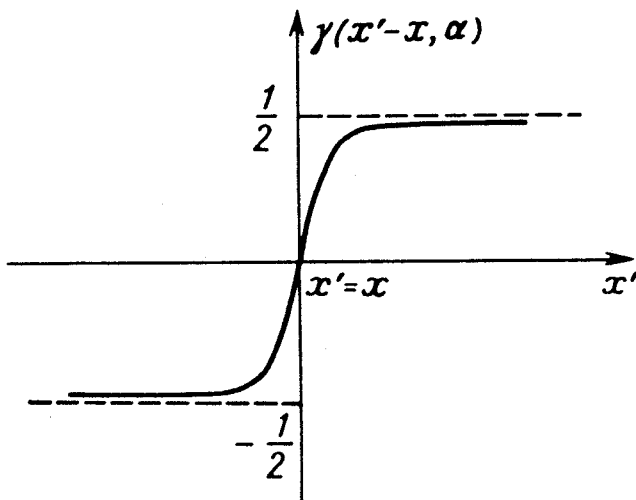
الذي ينقطع عندما  $\alpha \rightarrow 0$  أى أن :

$$\begin{aligned} \gamma(x' - x) &= \lim_{\alpha \rightarrow 0} \gamma(x' - x, \alpha) = \frac{1}{\pi} \int_0^{\infty} \frac{\sin k(x' - x)}{k} dk = \\ &= \begin{cases} -1/2, & (x' < x) \\ 0, & (x' = x) \\ 1/2, & (x' > x) \end{cases} \quad (4.72) \end{aligned}$$

ويمثل التابع - دلتا  $\gamma$  الغامض على الشكل ٤ - ٦ بخط متصل أما قيمته

العظمى ( النهائية ) فممثلة بالخط المنقطع . وباشتقاق التابع  $\gamma(x' - x)$  نحصل على التابع - دلنا ، أى أن :

$$\delta(x' - x) = \gamma'(x' - x) = \frac{1}{\pi} \int_0^{\infty} \cos k(x' - x) dk \quad (4.73)$$



الشكل ٤ - ٦ . التابع ( فى النهاية منقطع ) الذى مشتقته تساوى التابع - دلنا .

ويعنى ذلك أن التابع - دلنا يخولنا بوصف مشتقة التابع المنقطع . نأخذ تابعاً ما  $f(x)$  ، يساوى إلى  $f_1(x)$  عندما  $x < x_0$  وإلى  $f_2(x)$  عندما  $x > x_0$  ، منقطعاً فى النقطة  $x = x_0$  ، أى أن :

$$f_2(x_0) - f_1(x_0) = a \quad (4.74)$$

ويمكن كتابة هذا التابع كما يلى :

$$f(x) = f_1(x) \left( \frac{1}{2} - \gamma(x - x_0) \right) + f_2(x) \left( \frac{1}{2} + \gamma(x - x_0) \right) \quad (4.75)$$

أما مشتقته فتساوى :

$$f'(x) = a\delta(x - x_0) + \begin{cases} f'_1(x), & (x < x_0) \\ f'_2(x), & (x > x_0) \end{cases} \quad (4.76)$$

ولنكتب بعض الصيغ المفيدة التي تبين خواص التابع - دلتا ، فنلاحظ أن :

$$\delta(x) = \delta(-x)$$

أى أن التابع دلتا تابع زوجى ،

$$\delta'(x) = -\delta'(-x) \quad (4.77)$$

وأن مشتقة التابع - دلتا تابع فردى . وكذلك نجد أن :

$$\delta(ax) = \frac{\delta(x)}{|a|} \quad (4.78)$$

$$\delta(\varphi(x)) = \sum_j \frac{\delta(x - x_j)}{|\varphi'(x_j)|} \quad (4.79)$$

حيث  $x_j$  - الجذور البسيطة للمعادلة  $\varphi(x) = 0$  ضمن المجال المدروس . ولاستنتاج المعادلة الأخيرة ينبغي أن نعتبر أن للتابع - دلتا نقطة شاذة  $\varphi(x) = 0$  ، ولهذا يمكن كتابة التابع  $\varphi(x)$  فى جوار النقطة  $x_j$  بالشكل التالى :

$$\varphi(x) = (x - x_j) \varphi'(x_j)$$

واستخدام المعادلة (4.78) بعد ذلك . وبصورة خاصة ينتج من (4.79) أن :

$$\delta(x^2 - a^2) = \frac{\delta(x - a) + \delta(x + a)}{2a} \quad (4.80)$$

إذ يمكن اعتبار  $a > 0$  .

هـ) معايرة الطيف المستمر بواسطة التابع - دلتا . سنقتصر دراستنا على حالة الحركة الحرة عندما يعطى التابع الموجى بالعلاقة ( انظر (4.26) ) :

$$\psi(p, x) = A e^{(i/\hbar) p x} \quad (4.81)$$

فإذا عايرنا (4.81) بواسطة التابع - دلنا فإنه يمكن حساب  $A$  من العلاقة .

$$\begin{aligned} \int \psi^*(p', x) \psi(p, x) dx &= A^2 \int e^{i(p-p') \frac{x}{\hbar}} dx = \\ &= A^2 \hbar 2\pi \frac{1}{2\pi} \int e^{i(p-p') \xi} d\xi = \delta(p' - p) \quad (4.82) \end{aligned}$$

وإذا لاحظنا أن :

$$\frac{1}{2\pi} \int e^{i(p'-p) \xi} d\xi = \delta(p' - p) \quad (4.83)$$

نجد قيمة معامل المعايرة  $A$  تساوى :

$$A = \frac{1}{\sqrt{2\pi\hbar}} \quad (4.84)$$

أى أن المعايرة بالتابع - دلنا تأخذ الشكل التالى :

$$\psi(p, x) = \frac{1}{\sqrt{2\pi\hbar}} e^{(i/\hbar) p x} \quad (4.85)$$

مع العلم أن :

$$\int \psi^*(p', x) \psi(p, x) dx = \delta(p' - p) \quad (4.86)$$

وإذا قارنا الآن عملية معايرة الطيف المنقطع بواسطة رمز كرونيجر - فايرشتراس ، أى

$$\int \psi_{n'}^*(x) \psi_n(x) dx = \delta_{nn'} \quad (4.87)$$

مع معايرة الطيف المستمر بواسطة التابع - دلتا ، انظر ( 4.86 ) ، فإنه يمكن أن نكتب شرطى المعايرة بالشكل الآتى :

عندما يكون الطيف متقطعاً :

$$\sum_{n'=n_1}^{n_2} \delta_{nn'} = \begin{cases} 1 , & ( n_1 \leq n \leq n_2 ) \\ 0 , & ( n < n_1 \text{ أو } n > n_2 ) \end{cases} \quad (4.88)$$

أما عندما يكون الطيف مستمرًا فنجد

$$\int_{p_1}^{p_2} \delta(p' - p) dp' = \begin{cases} 1 , & ( p_1 < p < p_2 ) \\ 0 , & ( p < p_1 \text{ أو } p > p_2 ) \end{cases} \quad (4.88a)$$

ويجب الانتباه إلى أن الحالة الأخيرة تتطلب دراسة خاصة عندما  $p = p_1$  أو  $p = p_2$  تتعلق بطريقة غموض التابع - دلتا . أما فى الحالة ثلاثية الأبعاد وعندما تكون الحركة مسائرة لاتجاه الاندفاع  $p$  فيجب أن نضع بدلا من ( 4.85 ) التابع :

$$\psi(p, r) = \frac{1}{(2\pi\hbar)^{3/2}} e^{i(h)(pr)} \quad (4.89)$$

وتتم عملية المعايرة فى هذه الحالة\*

\* سنعتبر أن حدود التكاملات غير المحدودة من  $-\infty$  إلى  $+\infty$  أما عدد التكاملات فيتحدد بعدد التفاضلات ، مثلا :

$$\int d^3x = \int_{-\infty}^{+\infty} dx \int_{-\infty}^{+\infty} dy \int_{-\infty}^{+\infty} dz$$



$$\int \psi^*(p', r) \psi(p, r) d^3x = \delta(p' - p) \quad (4.90)$$

حيث يكون التابع ثلاثى الأبعاد - دلنا بالشكل التالى :

$$\delta(p' - p) = \delta(p'_1 - p_1) \delta(p'_2 - p_2) \delta(p'_3 - p_3) = \frac{1}{8\pi^3} \int e^{i(p' - p) \cdot \xi} d^3\xi \quad (4.91)$$

( و ) حل معادلة بواصون من أجل شحنة نقطية . من المعلوم أن معادلة بواصون تكتب بالشكل التالى :

$$\nabla^2 \Phi(r) = -4\pi\rho(r) \quad (4.92)$$

وعليه ، يمكن دراسة كثافة الشحنة النقطية بواسطة التابع ثلاثى الأبعاد - دلنا ، أى أن :

$$\rho(r) = \delta(r) = \frac{1}{8\pi^3} \int e^{ihr} d^3k \quad (4.93)$$

حيث اعتمدنا أن الشحنة الكلية تساوى الواحد\* . فإذا عوضنا ( 4.93 ) فى ( 4.92 ) نحصل من أجل حساب الكمون على الصيغة التالية :

$$\nabla^2 \Phi = -\frac{1}{2\pi^2} \int e^{ihr} d^3k \quad (4.94)$$

عندئذ يكون حل المعادلة ( 4.94 ) بالشكل التالى :

$$\Phi = \frac{1}{2\pi^2} \int \frac{e^{ihr}}{k^2} d^3k \quad (4.95)$$

\* فى الحقيقة ، تنعدم الكثافة  $\delta(r)$  فى كل النقاط ( $r \neq 0$ ) وتصبح لا نهائية فى النقطة ( $r = 0$ ) . عدا ذلك عند التكامل فى كل نقاط الفراغ نجد أن الشحنة الكلية تساوى الواحد

$$\int \delta(r) d^3x = 1$$

وللتأكد من ذلك يجب التأثير بمؤثر لابلاس  $\nabla^2$  على التابع (4.95) ومنه واستنادا على العلاقة :

$$\nabla^2 e^{ikr} = -k^2 e^{ikr}$$

نبرهن أن الحل (4.95) يحقق المعادلة (4.94) . ويمكن كتابة التكامل (4.95) بشكل آخر بواسطة الاحداثيات الكروية للمتجه  $k$  ، أى أن :

$$d^3k = k^2 dk \sin \theta d\theta d\varphi$$

وبتوجيه المحور  $k_z = k_3$  باتجاه المتجه  $r$  نستطيع كتابة (4.95) كما يلي :

$$\Phi = \frac{1}{2\pi^2} \int_0^\infty dk \int_0^\pi e^{ikr \cos \theta} \sin \theta d\theta \int_0^{2\pi} d\varphi \quad (4.96)$$

وبعد إجراء التكامل (4.96) بالنسبة للزاويتين  $\theta$  و  $\varphi$  نجد أن :

$$\Phi = \frac{2}{\pi r} \int_0^\infty \frac{\sin kr}{k} dk \quad (4.97)$$

وبما أن :

$$\int_0^\infty \frac{\sin kr}{k} dk = \frac{\pi}{2}$$

لذا فإن قيمة الكمون  $\Phi$  تساوى :

$$\Phi = \frac{1}{r} \quad (4.98)$$

ومنه نجد أن :

$$\nabla^2 \frac{1}{r} = -4\pi\delta(r) \quad (4.99)$$

وستستخدم هذه العلاقة كثيرا في المستقبل مثلا عند حساب قوى التماس .

البند ٥ - بعض الطرائق التقريبية لحل معادلة شرودينجر

أ) طريقة التقريب شبه التقليدى . لقد ذكرنا فى البند ٢ أن معادلة شرودينجر للتابع الموجى تكتب بالشكل التالى :

$$\psi = A e^{i(h/\hbar)S} \quad (5.1)$$

وهى مكافئة للمعادلة التى يحققها التابع  $S$  ، انظر ( 2.13 ) ، أى أن :

$$\frac{1}{2m_0} (\text{grad } S)^2 + V - E - \frac{i\hbar}{2m_0} \nabla^2 S = 0 \quad (5.2)$$

وبمقارنة هذه المعادلة مع معادلة هاملتون - جاكوبى لتابع التأثير  $S$

$$\frac{1}{2m_0} (\text{grad } S)^2 + V - E = 0 \quad (5.3)$$

نجد أن الحد الأخير فى المعادلة الكوانتية ( 5.2 ) يتناسب طرذاً مع معامل بلانك  $\hbar$  ويدخل تعديلاً صغيراً على المعادلة ( 5.3 ) عندما يتحقق الشرط التالى :

$$(\text{grad } S)^2 \gg \hbar |\nabla^2 S| \quad (5.4)$$

ويسمى التقريب المعرف بالمعادلة ( 5.4 ) ، بالتقريب شبه التقليدى . وبما أن  $p = \text{grad } S$  لذا يمكن كتابة المعادلة الأخيرة كما يلى :

$$\frac{\hbar}{p^2} |\text{div } p| \ll 1$$

أما للحالة أحادية البعد فسيكون لدينا :

$$\frac{\hbar}{p^2} \left| \frac{dp}{dx} \right| = \left| \frac{d(\hbar/p)}{dx} \right| = \left| \frac{d\lambda}{2\pi dx} \right| \ll 1 \quad (5.5)$$

ويستنتج منه أن التقريب شبه التقليدى يكون أكثر دقة بقدر ما يكون الطول الدوبرولى للموجة مقداراً ثابتاً أو طفيف التغير ولنوضح ذلك بمثال ملموس ، بما أن :

$$p = \sqrt{2m_0(E - V)} \quad (5.6)$$

لذا يمكن كتابة الشرط (5.5) كما يلي :

$$\frac{\hbar}{p^2} \left| \frac{dp}{dx} \right| = \left| \frac{m_0 F \hbar}{p^3} \right| \ll 1 \quad (5.7)$$

حيث  $F = -\frac{\partial V}{\partial x}$  القوة المؤثرة على الجسم . ومنه ، نستنتج ترتيباً التقريب شبه التقليدي عندما يكون الاندفاع صغيراً ، وخاصة في تلك النقاط التي يجب أن يسكن طبقاً للنظرية التقليدية ، الجسم فيها  $(E = V, p = 0)$  . ويحدث ذلك عندما يقع الجسم في الحفرة الكمومية ويصطدم بجدرانها مغيراً اتجاه حركته ( نقطة انعطاف ) . ويمكن تفسير كل ذلك ببساطة إذا لاحظنا أن طول موجه دو برويل ينتهي إلى اللانهاية عندما  $p = 0$  أي عندما تبرز الخواص الموجية للجسيم بشدة .

ب ) طريقة وينتسل - كراميرس - بريليون *Wentzel - Kramers*

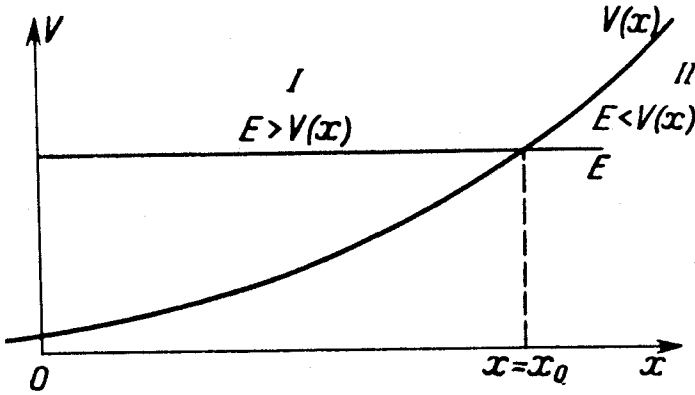
- *Brillouin (W.K.B.)*

لقد لاحظنا سابقاً تكافؤ المعادلة (5.2) مع معادلة شرودينجر ، ولهذا سنحاول على أساس النظرية الموجية ، دراسة المعادلة (5.2) معتبرين أن الحد المتناسب مع  $\hbar$  طاقة كامنة كوانتية إضافية في معادلة هاملتون - جاكوبي ، أي أن :

$$V^{qu} = -\frac{i\hbar}{2m_0} \nabla^2 S \quad (5.8)$$

وبما أن حل المعادلة غير الخطية (5.2) في الحالة العامة أصعب من حل معادلة شرودينجر الخطية ، لذا لقد فشلت المحاولات العديدة لتطوير النظرية الكوانتية بإيجاد حل دقيق للمعادلة (5.2) . إلا أن *(W.K.B.)* نجحوا في إيجاد حل تقريبي للمعادلة (5.2) وذلك بإبقاء الحدود من المرتبة  $\hbar$  ، وقد تبين فيما بعد أن حلهم كان ملائماً ومناسباً لدراسة مجموعة أخرى من المسائل في الميكانيكا الكوانتية ، ولذلك تسمى هذه الطريقة ، المطبقة في حل المسائل أحادية البعد ، بطريقة *(W.K.B.)* التقريبية .

سنعتبر أن الطاقة الكامنة تابع (دالة) أملس بالنسبة للمتغير  $x$  ، انظر الشكل ٥ - ١ ، وإذا فرضنا أن  $E$  هي طاقة الجسيم فيمكن تقسيم مجال



الشكل ٥ - ١ . توضيح حل المعادلة الموجية بطريقة W.K.B.

تغيره إلى قسمين : الأول I ( $x < x_0$ ) حيث تكون الطاقة  $E$  أكبر من الطاقة الكامنة  $V$  ، أي  $E > V$  والثاني II إذ تكون فيه ( $x > x_0$ ) و  $E < V$  ، أما على الحد بين هاتين المنطقتين فستكون ( $x = x_0$ ) و  $E = V(x_0)$  ، لذا تكتب المعادلة الأساسية (5.2) في الحالة أحادية البعد بالشكل التالي :

$$S'^2 - i\hbar S'' = 2m_0(E - V) = p^2 \quad (5.9)$$

ولنبحث الآن عن حل هذه المعادلة في المنطقة الأولى ( $E > V$ ) ، حيث يلعب المقدار  $p^2 > 0$  دور مربع الاندفاع التقليدي ، ولنكتبه بهذا الشكل :

$$S = S_0 + S_1 + S_2 + \dots \quad (5.10)$$

حيث لا يتعلق المقدار  $S_0$  بـ  $\hbar$  أما  $S_1$  فتتناسب طردياً مع  $\hbar$  و  $S_2$  مع  $\hbar^2$  . . . وهكذا ، ولنعوض السلسلة (5.10) في المعادلة (5.9) بعد إهمال الحدود المتناسبة مع  $\hbar^2$  فما فوق فنجد أن :

$$S_0'^2 + 2S_0'S_1' - i\hbar S_0'' = p^2 \quad (5.11)$$

ومن تساوى الحدود المستقلة عن  $\hbar$  فى طرفى المعادلة ، ثم المتناسبة مع  $\hbar$  ( ولهذا من الضرورى اعتبار المقدار  $S_1$  متناسبا مع  $\hbar$  ) نجد أن :

$$S_0'^2 = p^2, \quad 2S_0'S_1' = i\hbar S_0'' \quad (5.12)$$

ومنه نستخلص أن :

$$S_0 = \pm \int_x^{x_0} p dx, \quad S_1 = i\hbar \ln \sqrt{p} \quad (5.13)$$

وعند الاقتصار على الحدود من المرتبة  $\hbar$  سيكون لدينا :

$$S = S_0 + S_1 = \pm \int_x^{x_0} p dx + i\hbar \ln \sqrt{p} \quad (5.14)$$

وإذا عوضنا (5.14) فى (5.1) نجد من أجل التابع الموجى فى المنطقة I ( $x < x_0$ ) العبارة التالية :

$$\psi_{x < x_0} \simeq \frac{1}{\sqrt{p}} [a \sin(z + \gamma) + b \cos(z + \gamma')] \quad (5.15)$$

$$z = \frac{1}{\hbar} \int_x^{x_0} p dx > 0, \quad p = \sqrt{2m_0(E - V)} \quad \text{حيث :}$$

وبالطريقة نفسها نجد فى المنطقة II ( $x > x_0$ ) عندما  $p^2 < 0$  أن :

$$\psi_{x > x_0} \simeq \frac{1}{\sqrt{|p|}} (Ae^{-|z|} + Be^{|z|}) \quad (5.16)$$

حيث\* :

$$|z| = \frac{1}{\hbar} \int_{x_0}^x |p| dx > 0, \quad |p| = \sqrt{2m_0(V - E)} \quad (5.17)$$

ولا تعتبر الثوابت  $a, b, A, B$  والطوران  $\gamma, \gamma'$  اختيارية لأنها ترتبط فيما بينها ، كما سنرى فيما بعد ، بعلاقات ناتجة عن شرط تلمح الحلين فى النقطة  $x = x_0$  حيث يتم الانتقال من المنطقة I إلى المنطقة II ، ولذلك تعتبر

\* عندما يكون الحاجز الكمونى على يسار النقطة الخاصة ( المميزة ) يجب تبديل حدى التكامل عند حساب  $z$  و  $|z|$  بحيث يكون الحد الأسفل أصغر من الحد الأعلى . وعليه يكون المقداران  $z$  و  $|z|$  موجبين .

المعادلتان (5.15) و (5.16) الحلين التقريبيين بطريقة *W.K.B.* ومنهما نرى أن التابع الموجى يتغير عندما  $E > V$  ، كما يتغير فى الحفرة الكمونية ، انظر (4.4) ، أى بقانونى جيبى أو تجيبى ، كما يتغير عندما  $E < V$  كما لو كان الجسم على الحاجز الكمونى بقانون أسي ، انظر (4.7) . وبمقارنة الحلول التى حصلنا عليها عندما  $V_0 = \text{const}$  مع الحلول عندما تكون الطاقة الكامنة تابعاً لـ  $x$  نرى أنه يمكن استنتاج الأولى من الأخرى باستبدال مساحة الحاجز المستطيل المتكوّن بين المحور  $x$  والمحور الذى قيس عليه المقدار

$$x = \frac{\sqrt{2m_0(V_0 - E)}}{\hbar} = \frac{|p|}{\hbar}$$

بالمساحة المقابلة التى تعتبر  $V$  والتابعة لـ  $x$  ويمكن تمثيل ذلك شكلياً كما يلى :

$$\frac{|p|}{\hbar} x \rightarrow \frac{1}{\hbar} \int_0^x |p| dx$$

ويمكن إجراء انتقال مشابه فى حالة الحفرة الكمونية أيضاً . وهكذا نرى أن شكل تابع الطاقة الكامنة لا يغير من طبيعة الحل الذى يتحدد بالفرق بين  $E$  و  $V$  . إذ يعطى الحلان (5.15) و (5.16) تقريباً جيداً فقط فى المناطق البعيدة جداً عن النقطة الخاصة (المميزة)  $x_0$  . حيث تكون  $p^2$  كبير جداً أما بالقرب من  $x - x_0$  فيكون  $p^2 - 0$  ولهذا ينتهى المخرج (المقام) فى (5.15) و (5.16) إلى الصفر ويتباعد الحلان . وسيكون التقريب المذكور كافياً لمسائل كثيرة لو استطعنا التعبير عن الثابتين  $A, B$  بدلالة  $a, b$  لأن المجال  $|x - x_0| - 0$  ضيق جداً . ولكننا لا نستطيع معرفة العلاقة بين هذه الثوابت إلا بدمج التوابع ، ذلك الدمج الذى يتحقق على الحدود فقط ، أى عندما  $x = x_0$  ( ونعنى بكلمة دمج تساوى التوابع الموجية ومشتقاتها الأولى فى النقطة  $x = x_0$  ) . ولهذا كان من الضرورى كتابة الحل

التقريبى لـ  $\psi$  بحيث تحقق ( 5.15 ) عندما يكون المقدار  $p^2$  كبيراً ، أما عندما فنكتب

$$p^2 = - (x - x_0) 2m_0 V' (x_0) = - \alpha \hbar^2 (x - x_0)$$

وعندئذ يحقق الحل التقريبى المعادلة التالية :

$$\psi'' - \alpha (x - x_0) \psi = 0 \quad (5.19)$$

حيث فرضنا

$$\alpha = \frac{2m_0}{\hbar^2} V' (x_0)$$

بإدخال متغير جديد  $\xi$  بدلا من  $x$  بحيث يكون

$$\xi = \alpha^{1/2} (x - x_0) \quad (5.20)$$

يمكننا أن نكتب ، عوضا عن المعادلة ( 5.19 ) ، المعادلة التالية :

$$\frac{d^2 \psi}{d\xi^2} - \xi \psi = 0 \quad (5.21)$$

ويمثل الحل المستقل للمعادلة ( 5.21 ) خطياً بأحد التابعين  $U(\xi)$  و  $V(\xi)$  اللذين يكتبان بشكل تكاملين هما :

$$U(\xi) = \frac{1}{\sqrt{\pi}} \int_0^{\infty} [e^{t\xi - 1/3 t^3} + \sin(t\xi + 1/3 t^3)] dt \quad (5.22)$$

$$V(\xi) = \frac{1}{\sqrt{\pi}} \int_0^{\infty} \cos(t\xi + 1/3 t^3) dt \quad (5.23)$$

ويمكن التأكد بسهولة أن هذين التكاملين يحققان المعادلة ( 5.21 ) . فمثلا عندما نضع التكامل الثانى ( 5.23 ) فى المعادلة ( 5.21 ) ونغير ترتيب التفاضل نحصل على أن :

$$\begin{aligned} \left( -\frac{\partial^2}{\partial \xi^2} + \xi \right) \int_0^{\infty} \cos(t\xi + 1/3 t^3) dt &= \\ &= \int_0^{\infty} (t^2 + \xi) \cos(t\xi + 1/3 t^3) dt = \int_0^{\infty} d[\sin(t\xi + 1/3 t^3)] = 0 \end{aligned} \quad (5.24)$$

ويجب فهم التكامل الأخير كقيمة نهائية ، أى أن :

$$\lim_{\delta \rightarrow 0} \int_0^{\infty} d[e^{-\delta t} \sin(t\xi + 1/3 t^3)] = 0 \quad (5.25)$$



وبتبديل مشابه للتكامل (5.22) في المعادلة (5.21) نرى أنها تتحقق أيضاً\* ، أما العبارتان المقاربتان ، للتابعين  $V(\xi)$  و  $U(\xi)$  عندما  $|\xi| \gg 1$  و  $\xi > 0$  فهما :

$$V(\xi) \simeq \frac{1}{2} \xi^{-1/4} e^{-2/3 \xi^{3/2}} \quad (5.26)$$

$$U(\xi) \simeq \xi^{-1/4} e^{2/3 \xi^{3/2}} \quad (5.27)$$

وهكذا يكون التابع  $V(\xi)$  أسياً متناقصاً مع تزايد  $\xi$  والتابع  $U(\xi)$  أسياً متزايداً أما من أجل القيم السالبة الكبيرة ( $\xi < 0$ ) فيكون التابعان  $V$  و  $U$  اهتزازيين (مذبذبين) ، أى أن :

$$V(-|\xi|) \simeq |\xi|^{-1/4} \sin\left(\frac{2}{3}|\xi|^{3/2} + \frac{\pi}{4}\right) \quad (5.28)$$

$$U(-|\xi|) \simeq |\xi|^{-1/4} \cos\left(\frac{2}{3}|\xi|^{3/2} + \frac{\pi}{4}\right) \quad (5.29)$$

وبحساب قيم  $|z|$  و  $z$  فى المساواتين (5.15) و (5.16) ، عندما  $x - x_0 + 0$  و  $x - x_0 - 0$  ، نجد على الترتيب أن :

$$z = \frac{1}{h} \int_x^{x_0} p dx \simeq \frac{2}{3} |\xi|^{3/2}, \quad x \rightarrow x_0 - 0$$

$$|z| = \frac{1}{h} \int_{x_0}^x |p| dx \simeq \frac{2}{3} \xi^{3/2}, \quad x \rightarrow x_0 + 0$$

وبما أن الحلين (5.26) - (5.29) يجب أن يتطابقا مع الحلين (5.15) و (5.16) فى مناطق تعيينها ، فإننا نجد من تساوى الحلين التقاربيين أن العلاقات تربط الثوابت فيما بينها بالشكل التالى :

$$A = \frac{a}{2}, \quad B = b, \quad \gamma = \gamma' = \frac{\pi}{4} \quad (5.30)$$

وبفرض أن  $b = 0$  و  $a \neq 0$  فى المعادلتين (5.15) و (5.16) ، نستخلص الزوج الأول من الحلول المنتمجة ، أى :

\* نلاحظ أن التابعين  $V$  و  $U$  يرتبطان مع تابع بيسيل  $K_{1/3}$  من المرتبة  $1/3$  للوسيط العفدى (عندما  $\xi > 0$ ) أو بتابع بيسيل العادى  $J_{1/3}$  (عندما  $\xi < 0$ ) .

$$\psi_{x < x_0} \simeq \frac{a}{\sqrt{p}} \sin\left(z + \frac{\pi}{4}\right) \quad (5.31)$$

$$\psi_{x > x_0} \simeq \frac{a}{2\sqrt{|p|}} e^{-|z|} \quad (5.32)$$

حيث يمثل الحل المتناقص (5.32) ، في المجال  $x > x_0$  ، استمرارًا تحليليًا للحل الجببي (5.31) في المجال  $x < x_0$  . ولكي نعيّن الاستمرار التحليلي للحل الأسّي المتزايد عندما  $x > x_0$  ينبغي علينا أن نفترض :

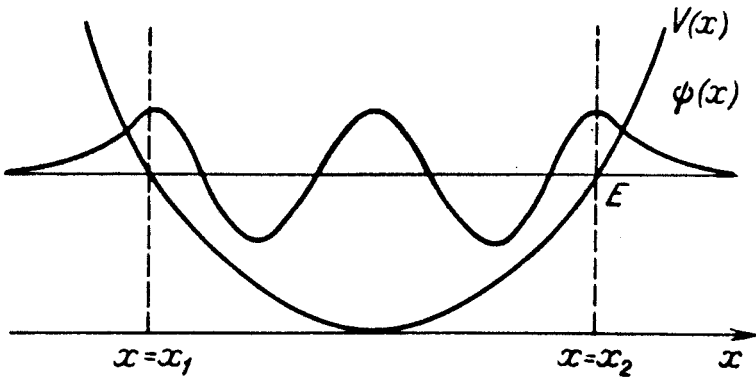
$$a = 0, \quad b \neq 0 \quad (5.33)$$

وعندئذ نستخلص الزوج الثاني من الحلول المندمجة ، أي :

$$\psi_{x < x_0} \simeq \frac{b}{\sqrt{p}} \cos\left(z + \frac{\pi}{4}\right) \quad (5.34)$$

$$\psi_{x > x_0} \simeq \frac{b}{\sqrt{|p|}} e^{z} \quad (5.35)$$

ج) تكميم الحفرة الكمونية بالتقريب شبه التقليدي . تسمح العلاقات السابقة بإجراء تكميم ( أي إيجاد سويات الطاقة ) لجسيم واقع في حفرة كمونية بطريقة *W.K.B.* التقريبية ، ولهذا نفترض أن لدينا حفرة كمونية اختيارية لمساء الشكل ، انظر الشكل ٥ - ٢ .



الشكل ٥ - ٢ . تكميم الحفرة الكمونية بطريقة *W.K.B.*

إن التكميم بطريقة W.K.B. يعنى إيجاد تلك الشروط التى من أجلها ينتهى الحل من جهتى الحاجز الكمونى ( $x < x_1, x > x_2$ ) إلى الصفر . إذ يكون التابع الموجى طبقاً لـ (5.31) فى منطقة الحفرة الكمونية المتاخمة للحاجز ( $x - x_2$ ) بالشكل التالى :

$$\psi_{x < x_1} \simeq \frac{a'}{\sqrt{\rho}} \sin \left( \frac{1}{h} \int_x^{x_1} p dx + \frac{\pi}{4} \right) \quad (5.36)$$

وبالطريقة نفسها نجد فى منطقة الحفرة الكمونية المجاورة لحد حاجز آخر  $x = x_1$  أن :

$$\psi_{x > x_1} \simeq \frac{a''}{\sqrt{\rho}} \sin \left( \frac{1}{h} \int_{x_1}^x p dx + \frac{\pi}{4} \right) \quad (5.37)$$

ويجب أن يتطابق هذان الحلان فى كل نقطة من الحفرة الكمونية  $x < x_1 < x_2$  تبعد بعداً كافياً عن حدى الحاجز الكمونى . وإذا دمجتا التابعين (5.36) و (5.37) فى أية نقطة من الحفرة الكمونية فاصلتها  $x$  ، أى تساوى التابعين ومشتقاتهما فى هذه النقطة ، نجد أن :

$$a' \sin \left( \frac{1}{h} \int_x^{x_1} p dx + \frac{\pi}{4} \right) - a \sin \left( \frac{1}{h} \int_{x_1}^x p dx + \frac{\pi}{4} \right) = 0$$

$$a' \cos \left( \frac{1}{h} \int_x^{x_1} p dx + \frac{\pi}{4} \right) + a \cos \left( \frac{1}{h} \int_{x_1}^x p dx + \frac{\pi}{4} \right) = 0$$

ولكى يكون حلها مخالفاً للصفر يجب أن ينعدم معين أمثالهما وعليه نجد أن :

$$\sin \left( \frac{1}{h} \int_{x_1}^x p dx + \frac{\pi}{2} \right) = 0$$

وإذا لاحظنا أن التكامل  $\int_{x_1}^{x_2} p dx$  لا يمكن أن يكون سالباً ، لأن

$$: \text{ نجد أن } , \quad \rho = \sqrt{2m_0(E - V)} \geq 0$$

$$\frac{1}{h} \int_{x_1}^{x_2} p dx + \frac{\pi}{2} = (n+1)\pi, \quad n=0, 1, 2, \dots \quad (5.38)$$

ومنه نكتب قانون التكميم المستنتج بطريقة *W.K.B.* التقريبية ، بدقة تتناسب مع الحدود ذات المرتبة  $h$  بالشكل التالي :

$$\oint p dx = 2\pi h (n + 1/2) = h (n + 1/2) \quad (5.39)$$

لقد وضع بور هذه الفرضية قبل ظهور الميكانيكا الكوانتية ، ولكنها لم تحتو عندئذ على الحد  $1/2h$  ، وهى معروفة كقانون تكميم بور - زميرفيلد ( فرضية الحالات المستقرة ) . ومن الممكن إهمال الحد  $1/2h$  فى شرط التكميم شبه التقليدى فى حالات عالية التهيج أعدادها الكوانتية  $n \gg 1$  ولكنه يصبح مهما عندما يتعلق الأمر بالسوية الأساسية  $n = 0$  . فعند حل مسألة الهزاز التوافقى مثلا ، انظر البند ٧ ، نرى أنه من الضروى ألا تنعدم طاقة السوية الأساسية - طاقة الصفر - وهى تساوى فعلا  $1/2h$  ؛ ومع ذلك فإن إهمال هذا الحد لا يؤثر على طيف الطاقة لأن طيفها ، كما سنرى فى البند ٩ يتعين بفرق طاقتى السويتين المرتبطين فى حالة الهزاز التوافقى ، ولا تتعارض هذه النتيجة الكوانتية مع فرضية بور الثانية أى مع شرط التواترات . ولحساب معامل المعايرة فى التوابع الموجية شبه التقليدية يكفى أن نحصر التكامل فى المجال  $x_1 < x < x_2$  ( الحفرة الكمونية ) لأن التابع الموجى يتناقص أسيا خارجها ، أى يمكن اعتباره معدوماً ، وعندئذ نجد أن :

$$a^2 \int_{x_1}^{x_2} \frac{dx}{p} \sin^2 \left[ \frac{1}{h} \int_{x_1}^x p dx + \frac{\pi}{4} \right] = 1$$

وبما أن الجيب تابع سريع التذبذب لذا يمكننا بدرجة كافية من الدقة تبديله بـ  $1/2$  وعندئذ نكتب ( 5.40 ) بالشكل التالى :

$$1/2 a^2 \int_{x_1}^{x_2} \frac{dx}{p} = 1 \quad (5.41)$$

وبما أن دور الاهتزاز  $\tau = \frac{2\pi}{\omega}$  يساوى إلى

$$\tau = \frac{2\pi}{\omega} = 2 \int_{x_1}^{x_2} \frac{dx}{v} = 2m_0 \int_{x_1}^{x_2} \frac{dx}{p}$$

حيث  $v = \frac{p}{m_0}$  سرعة الجسيم . ومنه نجد من أجل معامل المعايرة  
الدستور التالى :

$$a = \sqrt{\frac{2\omega m_0}{\pi}}$$

ومنه نستطيع كتابة التابع الخاص  $\psi$  فى ( 5.37 ) بطريقة *W.K.B.* كما يلى :

$$\psi \simeq \sqrt{\frac{2\omega}{\pi v}} \sin \left( \frac{1}{h} \int_{x_1}^x p dx + \frac{\pi}{4} \right) \quad (5.42)$$

( د ) مرور الجسيم عبر الحاجز الكمونى ( ظاهرة النفق ) . طبقاً  
للنظرية التقليدية لا يمكن لأى جسيم أن يتواجد إلا فى المناطق التى تكون  
فيها طاقته الكامنة  $V$  أصغر من طاقته الكلية  $E$  لأن طاقته الحركية تساوى

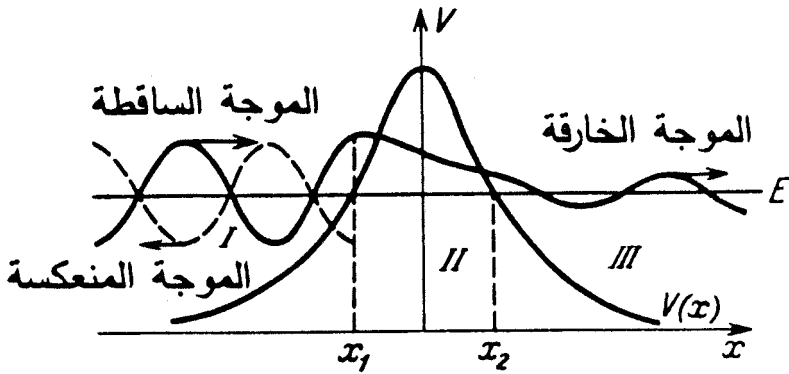
$$\frac{p^2}{2m_0} = E - V$$

وتكون موجبة دوماً . أما فى المجال  $V > E$  . الحاجز الكمونى . فتكون  
للاندفاع قيمة تخيلية ويستحيل طبقاً للنظرية التقليدية تواجد الجسيم هناك ،  
غير أنه فى الحالة عندما يقسم الحاجز الفراغ إلى منطقتين بحيث تكون فى  
إحدهما ( خارج الحاجز )  $E > V$  وفى الأخرى ( داخل الحاجز )  $E < V$  ،  
فلا يمكن وفقاً للنظرية التقليدية للجسيم أن ينفذ من إحدهما إلى الأخرى عبر  
الحاجز الكمونى . أما فى النظرية الموجبة فكل ما فى الأمر أن التابع  
الموجى يكون أسياً متناقصاً عندما يكون الاندفاع تخيلياً . وبما أن التابع  
الموجى لا ينعدم ضمن الحاجز الكمونى لذا يمكن للجسيم أن يخترق هذا  
الحاجز . وقد لوحظت وهى الظاهرة للجسيمات المجهرية أيضاً . وتسمى  
عملية مرور الجسيمات عبر الحاجز الكمونى بظاهرة النفق ، وهى ظاهرة

فريدة تتواجد في النظرية الموجية وليس لها مثل في الميكانيكا التقليدية .  
ولندرس حاجزًا كمونيًا أملس  $V(x)$  ، انظر الشكل ٥ - ٣ ، فإذا كانت قيمة  
الطاقة لا تتجاوز ارتفاع الحاجز الكموني فيمكن تقسيم مناطق تغير الطاقة  
الكامنة إلى ثلاث هي :  $-\infty < x < x_1$  و  $x_2 < x < \infty$  ( $V(x) < E$ )  
و  $x_1 \leq x \leq x_2$  ( $V(x) > E$ ) ، حيث أن بداية الحاجز  $x_1$  و نهايته  $x_2$  تتحددان  
من الشرط التالي :

$$V(x_1) = V(x_2) = E$$

وللحصول على احتمال مرور الجسم عبر الحاجز الكموني  $V(x)$  ندرس  
الشكل الصريح للتابع الموجي الذي حصلنا عليه في التقريب شبه التقليدي  
(5.31) - (5.35) . ففي المجال  $I$  ، ( $-\infty < x < x_1$ ) (الشكل ٥ - ٣) حيث



الشكل ٥ - ٣ . مخطط حاجز كموني أملس الشكل . الموجتان الساقطة والخارقة ممثلتان بمنحنيين متصلين ، أما الموجة المنعكسة فبمنحنى منقطع .

$E > V(x)$  نجد موجتين : الموجة الساقطة على الحاجز والموجة المنعكسة  
عنه . ولهذا يكون الحل العام لمعادلة شرودينجر طبقاً لـ (5.31) و (5.34)  
بالشكل التالي :

$$\begin{aligned} \Psi_I &= \frac{a}{\sqrt{p}} \sin\left(z_1 + \frac{\pi}{4}\right) + \frac{b}{\sqrt{p}} \cos\left(z_1 + \frac{\pi}{4}\right) = \\ &= \frac{e^{-i\left(z_1 + \frac{\pi}{4}\right)}}{\sqrt{p}} + \frac{B_1}{\sqrt{p}} e^{i\left(z_1 + \frac{\pi}{4}\right)} \quad (5.43) \end{aligned}$$

حيث تساوى قيمة  $z_1$  كما رأينا سابقاً إلى :

$$z_1 = \frac{1}{h} \int_x^{x_1} p dx$$

أما الثابتان الاختياريان  $a, b$  فقد اخترناهما بحيث يؤول المعامل الموجود أمام الموجة الساقطة إلى الواحد ( وهذا ممكن لأن ما يهمنا هو قسمة التدفقين وليس الاحتمال ) بحيث يكون المعامل  $B_1$  أمام الموجة المنعكسة اختيارياً ، أى أن :

$$a = i(B_1 - 1), \quad b = 1 + B_1 \quad (5.44)$$

أما فى المجال II أى عندما  $(x_1 \leq x \leq x_2)$  حيث  $E < V(x)$  فيمكن أن يحوى الحل جزءاً أسياً متزايداً أو متناقصاً بسبب عرض الحاجز المحدود ، لذا نجد طبقاً لـ (5.32) و (5.35) و (5.44) أن :

$$\psi_{II} = \frac{a}{2\sqrt{|p|}} e^{-|z_1|} + \frac{b}{\sqrt{|p|}} e^{z_1} = \frac{i(B_1 - 1)}{2\sqrt{|p|}} e^{-|z_1|} + \frac{B_1 + 1}{\sqrt{|p|}} e^{z_1} \quad (5.45)$$

حيث

$$|z_1| = \frac{1}{h} \int_{x_1}^x |p| dx \quad (5.46)$$

وإذا استخدمنا المعادلة :

$$|z_1| + |z_2| = \int_{x_1}^x |p| dx + \int_x^{x_2} |p| dx = \int_{x_1}^{x_2} |p| dx \equiv \gamma \quad (5.47)$$

فيمكن كتابة  $\psi_{II}$  كما يلى :

$$\psi_{II} = \frac{i(B_1 - 1)}{2\sqrt{|p|}} e^{-\gamma} e^{z_2} + \frac{B_1 + 1}{\sqrt{|p|}} e^{\gamma} e^{-z_2} \quad (5.48)$$

وأما فى المجال III أى عندما  $(x_2 < x < \infty)$  و  $E > V(x)$  ، حيث يمكن للموجة الخارقة فقط أن تنتشر فنجد أن :

$$\psi_{III} = \frac{A_3}{\sqrt{\rho}} e^{i(z_2 + \frac{\pi}{4})} \quad (5.49)$$

حيث

$$z_2 = \frac{1}{h} \int_x^x p dx \quad (5.50)$$

وبعد أن نعتبر المعامل الموجود أمام الموجة المنعكسة مساوياً للصفر . أما سعة الموجة الخارقة فليست اختيارية لأن الحل الجببي ، وفقاً لـ (5.31) و (5.32) و (5.34) و (5.35) ، يعد استمراراً تحليلياً للحل (5.48) في المجال II وبالتالي يكون :

$$A_3 = \frac{i}{2} (B_1 - 1) e^{-\gamma} \quad (5.51)$$
$$\frac{iA_3}{2} = (B_1 + 1) e^{\gamma}$$

أما حلها المشترك فيكون بالشكل التالي :

$$B_1 = \frac{1/4 e^{-\gamma} - e^{\gamma}}{e^{\gamma} + 1/4 e^{-\gamma}} , \quad A_3 = \frac{1}{i (e^{\gamma} + 1/4 e^{-\gamma})} \quad (5.52)$$

ولوصف ظاهرة النفق ندخل معامل شفافية الحاجز الذي قيمته المطلقة تساوي نسبة غزارة تيار الجسيمات الخارقة للحاجز إلى غزارة تيار الجسيمات الساقطة عليه ، أي أن :

$$D = \left| \frac{j_{tr}}{j_{inc}} \right| \quad (5.53)$$

ولحساب تيار الجسيمات نستخدم المعادلة التالية :

$$j = \frac{i\hbar e}{2m_0} \left( \frac{\partial \psi^*}{\partial x} \psi - \psi^* \frac{\partial \psi}{\partial x} \right) \quad (5.54)$$

وإذا بدلنا حلى معادلة شرودينجر (5.43) و (5.49) في هذه العلاقة نحصل على معامل الشفافية D التالي :

$$D = \frac{|j_{tr}|}{|j_{inc}|} = |A_3|^2 = \frac{1}{(e^{\gamma} + 1/4 e^{-\gamma})^2} \quad (5.55)$$

وفي الحالة الخاصة عندما تكون قيمة  $\gamma$  كبيرة جداً ( الحالة تستدعي الاهتمام من الناحية العملية ) فإن معامل الشفافية (5.55) يساوى إلى :



$$D \simeq e^{-2\gamma} = \exp \left[ -\frac{2}{\hbar} \int_{x_1}^{x_2} \sqrt{2m_0(V-E)} dx \right] \quad (5.56)$$

وإذا عرفنا معامل الانعكاس بالعلاقة التالية :

$$R = \frac{|i_{ref}|}{|i_{inc}|} \quad (5.57)$$

حيث  $r_{ref}$  زيار الموجة المنعكسة المعطى في (5.43) ، يمكن التعبير عن  $R$  بدلالة  $B_1$  كما يلي :

$$R = |B_1|^2 = \left( \frac{1/4 e^{-\gamma} - e^{\gamma}}{e^{\gamma} + 1/4 e^{-\gamma}} \right)^2 \quad (5.58)$$

ونجد ، عندما  $1 \gg \alpha$  ، أن :

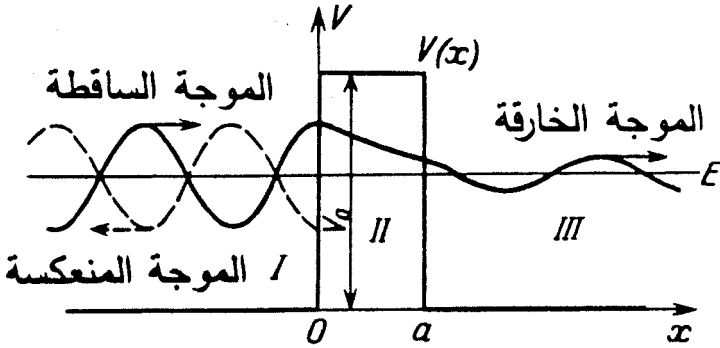
$$R \simeq 1 - e^{-2\gamma} \quad (5.59)$$

وبمقارنة عبارتي  $D$  و  $R$  نلاحظ أن مجموع معاملي الشفافية والانعكاس يساوى الواحد ، أى أن :

$$D + R = 1 \quad (5.60)$$

وكذلك نلاحظ من (5.56) و (5.59) أن معامل الشفافية يساوى الصفر وأن معامل الانعكاس يساوى الواحد عند الانتقال إلى النهاية الكلاسيكية ( $\hbar \rightarrow 0$  ،  $\alpha \rightarrow \infty$ ) إذ لا يستطيع الجسيم عندئذ عبور الحاجز الكمونى . أما فى الميكانيكا الكوانتية حيث  $\neq \infty$  لا فيمكن فهم حركة الجسيمات ضمن الحاجز الكمونى كنتيجة طبيعية للخواص الموجية للجسيمات الدقيقة . وتلاحظ مثيلة هذه الظاهرة فى إطار النظرية الموجية للضوء أيضًا ، مثلا فى ظواهر الانعكاس الداخلى الكلى المعروفة التى يمكن ملاحظتها عند انعكاس الضوء عن وسط كثافته أقل .

هـ) حالة الحاجز المستطيل . لندرس حاجزًا كمونياً مستطيل الشكل ارتفاعه  $V_0$  وعرضه  $a$  ( الشكل ٥ - ٤ ) . أن مثل هذا الحاجز يستدعى الاهتمام بسبب إمكانية الحصول على حل دقيق وبسيط فى هذه الحالة ، يمكن بواسطته دراسة ما يسمى بالانعكاس فوق الحاجز أى عندما تكون طاقة



الشكل ٥ - ٤ . مرور الجسيم عبر حاجز كموني مستطيل الشكل .

الجسيم  $E$  أكبر من ارتفاع الحاجز الكموني ( $E > V_0$ ) فالجسيم الذي طاقته أصغر من ارتفاع الحاجز  $E < V_0$  يتحرك بالاتجاه الموجب للمحور  $x$  . وعندئذ سيكون حل معادلة شرودينجر في كل المجالات ، أنظر ( 4.26 ) و ( 4.7 ) بالشكل التالي :

$$\begin{aligned} \psi_I &= e^{ikx} + B_1 e^{-ikx} & x < 0 & \text{( المجال الأول )} \\ \psi_{II} &= A_2 e^{-\kappa x} + B_2 e^{\kappa x} & 0 < x < a & \text{( المجال الثاني )} \\ \psi_{III} &= A_3 e^{ik(x-a)} & x > a & \text{( المجال الثالث )} \end{aligned} \quad (5.61)$$

حيث

$$k^2 = \frac{2m_0 E}{\hbar^2}, \quad \kappa^2 = \frac{2m_0}{\hbar^2} (V_0 - E) \quad (5.62)$$

مع أننا اعتبرنا المعامل الموجود أمام  $e^{ikx}$  يساوى الواحد بسبب المعايرة المناسبة وأن  $B_1 e^{-ikx}$  يصف الموجة المنعكسة . أما على يمين الحاجز ( $x > a$ ) فلانجد سوى الموجة الخارقة  $A_3 e^{ik(x-a)}$  ولحساب المعاملات المجهولة في الحلول ( 5.61 ) نستخدم شروط استمرارية التتابع الموجية مع مشتقاتها على حدود الحاجز ، أى عندما  $x = 0$  نجد أن :

$$\begin{aligned} 1 + B_1 &= A_2 + B_2 \\ ik(1 - B_1) &= \kappa(B_2 - A_2) \end{aligned} \quad (5.63)$$

وعندما  $x = a$  يكون لدينا :

$$\begin{aligned} A_2 e^{-\kappa a} + B_2 e^{\kappa a} &= A_3 \\ A_2 e^{-\kappa a} - B_2 e^{\kappa a} &= -i \frac{k}{\kappa} A_3 \end{aligned} \quad (5.64)$$

ومن المعادلتين الأخيرتين نستخلص أن :

$$A_2 = \frac{1 - i \frac{k}{\kappa}}{2} e^{\kappa a} A_3 \quad (5.65)$$

$$B_2 = \frac{1 + i \frac{k}{\kappa}}{2} e^{-\kappa a} A_3$$

وإذا بدلنا  $A_2$  و  $B_2$  بقيمتها في المعادلتين (5.63) ، بعد أن نحذف منهما  $B_1$  ، نجد أن :

$$A_3 = \frac{2}{2 \operatorname{ch} \kappa a + i \left( \frac{\kappa}{k} - \frac{k}{\kappa} \right) \operatorname{sh} \kappa a} \quad (5.66)$$

ويمكن حساب معامل الاختراق  $D$  من العلاقة العامة (5.53) بعد أخذ (5.66) بعين الاعتبار ، أى أن :

$$D = \frac{|I_{tr}|}{|I_{inc}|} = |A_3|^2 = \frac{4k^2 \kappa^2}{(k^2 + \kappa^2)^2 \operatorname{sh}^2 \kappa a + 4k^2 \kappa^2} \quad (5.67)$$

وعندما يكون عرض الحاجز كبيراً بحيث تتحقق المتراجحة  $\kappa a \gg 1$  نجد من المعادلة الدقيقة (5.67) ، العلاقة التقريبية التالية :

$$D \simeq \frac{16k^2 \kappa^2}{(k^2 + \kappa^2)^2} e^{-2\kappa a} = D_0 e^{-2\kappa a} \quad (5.68)$$

ويمكن الحصول على قيمة المضروب الأسى للحاجز مستطيل الشكل ، الذى يلعب دوراً رئيسياً من المعادلة (5.56) للحاجز الأملس ، والاختلاف يكمن فى ظهور المعامل  $D_0$  الذى تقترب قيمته من الواحد . وإذا بدلنا  $\kappa$  بقيمتها من (5.62) فى (5.68) يمكن كتابة  $\kappa a \gg 1$  كما يلى :

$$D = D_0 e^{-\frac{2a}{\hbar} \sqrt{2m_0(V_0 - E)}} \quad (5.69)$$

وهكذا نرى أن العلاقة (5.69) تتطابق تقريباً ، بالتقريب إلى المعامل  $D_0$  ذى المرتبة الأولى ، مع النتيجة المستخلصة بطريقة *W.K.B.* من

العلاقة\* (5.56) أى أن :

$$\frac{2a}{\hbar} \sqrt{2m_0(V_0 - E)} = \frac{2}{\hbar} \int_0^a \sqrt{2m_0(V_0 - E)} dx \quad (5.70)$$

فإذا فرضنا الآن أن طاقة الجسيم أكبر من ارتفاع حاجز الكمون ، سيكون لحلى معادلة شرودينجر  $\psi_{II}$  و  $\psi_I$  خارج الحاجز الذى حصلنا عليه عندما  $E < V_0$  ، ولذلك يمكن كتابتهما بالعلاقتين (5.61) . أما فى المجال  $II$  ، أى على الحاجز بالذات ، فيمكن الحصول على الحل  $\psi_{III}$  من (5.61) بعد إجراء التبديل التالى :

$$\kappa = ik_1, \quad k_1 = \sqrt{\frac{2m_0}{\hbar^2}(E - V_0)} \quad (5.71)$$

لأن  $E > V_0$  ، ويمكن أن يحتوى الحل على موجة ساقطة وأخرى منعكسة عن حد الحاجز ( $x = a$ ) . وإذا دمجنا التابعين الموجبين ومشتقاتهما على حدود الحاجز ، تمامًا كما فعلنا عندما  $E < V_0$  ، نحصل على صيغة معامل الانعكاس . أى أن :

$$R = |B_1|^2 = \frac{|r_{ref}|}{|i_{inc}|} = \frac{(k^2 - k_1^2)^2 \sin^2 k_1 a}{4k^2 k_1^2 + (k^2 - k_1^2)^2 \sin^2 k_1 a} \quad (5.72)$$

ويمكن الحصول على هذه النتيجة من العلاقة (5.67) التى تعطى المعامل  $D$  بإجراء التبديل (5.71) واستخدام العلاقة التالية :

$$R = 1 - D \quad (5.73)$$

وعندما  $k_1 = k$  ، أى عندما ينعدم ارتفاع الحاجز الكمونى ( $V_0 = 0$ ) ، نجد أن  $D = 1$  و  $R = 0$  ، ويعنى ذلك أن الموجة المنعكسة تضمحل ولذلك سيتحرك الجسيم حرًا بامتداد المحور  $x$  ، انظر (4.26) ، وعليه نرى فى الميكانيكا الكوانتية أن الموجة المقابلة لجسيم طاقته أعلى من ارتفاع الحاجز

\* تبين هذه العلاقة أنه من أجل الحاجز الأملس يكون المعامل  $D_0 = 1$  تقريباً (التقريب شبه التقليدى بطريقة W.K.B.) .

الكموني تنعكس جزئياً ، وتسمى هذه الظاهرة بظاهرة الانعكاس فوق الحاجزى .

( و ) انتزاع الالكترونات من المعدن . الإصدار البارد . أن لنظرية ظاهرة النفق تطبيقات هامة جداً فى نظرية المعادن وفى الفيزياء النووية ، فبواسطتها نستطيع تفسير مجموعة من الظواهر لم تستطع الفيزياء التقليدية تعيلها ، منها ظاهرة الإصدار البارد ، وهى عبارة عن انتزاع الكترونات من المعدن تحت تأثير حقل كهربائى وظهور فرق تماسى فى الكمون . ولشرح ذلك نتكلم قليلا عن نظرية « الغاز الالكترونى » التى تعتمد عليها النظرية الالكترونية لناقلية (لموصلية) المعادن ، فمثلا تعنى الناقلية الكهربائية العالية للمعادن أن الالكترونات تستطيع الانتقال بحرية تقريبا ضمن شبكتها البلورية . ولكن الصعوبة تكمن فى خروج الالكترونات من المعدن إلى الفراغ إذ لا بد لذلك من صرف مقدار ما من الطاقة يسمى بشغل الخروج . وهذا يقودنا إلى التفكير بنموذج مبسط للمعدن أى اعتبار الالكترونات فيه غازاً طليقاً يتحرك ضمن حفرة كمونية ينعدم الكمون داخلها ( أى داخل المعدن )  $V = 0$  أما خارجها فى الفراغ فإن  $V = V_0 > 0$  . ويمكننا هذا النموذج المبسط من شرح ظواهر كثيرة فى المعادن ، ولهذا يمكن اعتباره فى بعض الأحيان معقولاً تماماً ؛ ولقد أدخل هذا النموذج فى النظرية التقليدية من قبل ( نظرية درودى ولورينز وغيرهما ) ، إذ درست الالكترونات بطريقة ماكسويل - بولتزمان الإحصائية التقليدية التى فسرت ظواهر كثيرة فى النظرية الحركية للغازات . ولقد لاقى نموذج « الغاز الالكترونى » صعوبات كبيرة فى النظرية التقليدية أثناء صياغة نظرية السعة الحرارية . وفى الحقيقة ، طبقاً للنظرية المعروفة فى الميكانيكا الإحصائية والناصة على أن الطاقة تتوزع بانتظام على درجات الحرية يمكننا أن نكتب طاقة الالكترون الحركية الوسطية بالشكل التالى :

$$E_{av} = \frac{1}{2} k_B T \quad (5.74)$$

حيث  $k_B$  - ثابت بولسمان . ومن هنا نرى أن حصة كل الكترون في السعة الحرارية الكلية تعادل حصة الذرة الحرة ، أى أن :

$$c_V^{cl} = \frac{\partial E_{av}}{\partial T} = \frac{3}{2}k_B.$$

وهذا ما يناقض النتائج التجريبية التى تؤكد أن السعة الحرارية للمعدن أحادى الذرة تتحدد فقط بالسعة الحرارية لذراته فى البلورة أى يمكن إهمال دور الالكترونات الحرة فى تحديد السعة الحرارية للمعدن بالتقريب الأولى ، إلا أن هذا التناقض اختفى على يد العالم زمرفيلد الذى اقترح دراسة الالكترونات لا بالطريقة الإحصائية التقليدية باستخدام تابع التوزيع :

$$f = Ae^{-E/k_B T}$$

وإنما بالطريقة الإحصائية الكوانتية ( طريقة فيرمى - ديراك ) باستخدام تابع التوزيع :

$$f_{F.-D.} = \frac{1}{\frac{1}{A} e^{E/k_B T} + 1}$$

وتعتمد طريقة فيرمى - ديراك الإحصائية الكوانتية على مبدأ باولى ، الذى يقول أنه لا يتواجد سوى الكترونين فقط فى كل سوية ( حالتين كوانتيتين تختلفان باتجاه المغزليين ) . وإذا كانت الحفرة كمونية ثلاثية الأبعاد مكعبة الشكل وطول حرفها  $L$  ، فإن مركبات الاندفاع  $p = \hbar k$  ترتبط ، وفقاً لـ (4.41) ، مع الأعداد الصحيحة  $n_1, n_2, n_3$  الواصفة لسوية الطاقة بالعلاقات التالية :

$$p_x = \frac{2\pi\hbar n_1}{L}, \quad p_y = \frac{2\pi\hbar n_2}{L}, \quad p_z = \frac{2\pi\hbar n_3}{L}$$

وإذا أخذنا بعين الاعتبار أن مجال الواحدة للأعداد الكوانتية  $(\Delta n_1 = \Delta n_2 = \Delta n_3 = 1)$

$$\Delta n_1 \cdot \Delta n_2 \cdot \Delta n_3 = \frac{L^3}{8\pi^3 \hbar^3} d^3 p \quad (5.75)$$

نحصل على سوية طاقة واحدة فقط يمكن أن يقع عليها الكترونان فقط فإننا نجد أنه في وحدة الحجم تتواجد  $\rho_0$  الكترونات ، ويمكن حساب الاندفاع الأعظمي الذي يحصل عليه الالكترون في درجة الصفر المطلق ( $T = 0$ ) من العلاقة التالية :

$$\rho_0 = \frac{2}{L^3} \sum \Delta n_1 \cdot \Delta n_2 \cdot \Delta n_3 = \frac{2 \cdot 4\pi}{8\pi^3 \hbar^3} \int_0^{\rho_{\max}} p^2 dp = \frac{\rho_{\max}^3}{3\pi^2 \hbar^3} \quad (5.76)$$

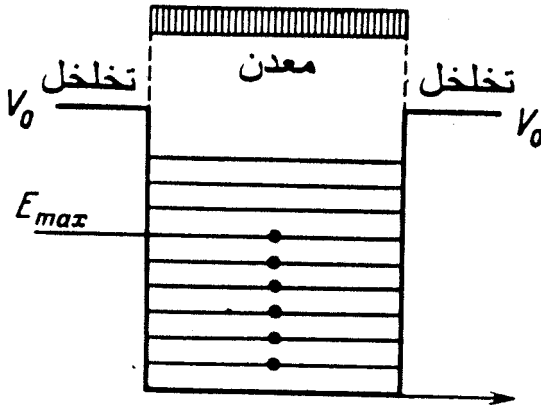
أو

$$P = \rho_{\max} = \hbar (3\pi^2 \rho_0)^{1/3} \quad (5.77)$$

أما الطاقة العظمي للالكترونات فتساوي

$$E_{\max} = E_F = \frac{p_{\max}^2}{2m_0} = \frac{\hbar^2}{2m_0} (3\pi^2 \rho_0)^{2/3} \quad (5.78)$$

وتسمى هذه الطاقة العظمي في الدرجة  $T = 0$  بسوية فيرمي أو طاقة فيرمي . ويبين الشكل ٥ . ٥ مخططا للسويات الالكترونية المشغولة في



الشكل ٥ . ٥ . نموذج الحفرة الكمونية لمعدن .  $E_{\max}$  - الحد الأعلى للسويات المشغولة عندما  $T = 0$  ( طاقة فيرمي ) .

المعدن . ولنحسب مثلا طاقة فيرمي لمعدن الفضة التي كثافتها 10,5 ووزنها الذري 107,9 ، بعد أن تعتبر أن عدد الكترونات الحرة يساوى عدد ذرات الفضة فى وحدة الحجم ، أى أن :

$$\rho_0 = \frac{10,5}{107,9} 6,02 \cdot 10^{23} = 5,8 \cdot 10^{22}$$

حيث استعملنا عدد افوكادرو ، أى عدد الذرات فى ذرة غرامية واحدة ، وهو يساوى  $6,02 \times 10^{23}$  . ومنه نجد بواسطة العلاقة ( 5.78 ) أن :

$$E_F = 8,5 \cdot 10^{-12} \text{erg} = 5,3 \text{eV}$$

وبما أن شغل الخروج يساوى  $W = 3,7 \text{eV}$  لذا فإن عمق الحفرة الكمونية للفضة يساوى  $9 \text{eV}$  . وإذا طبقنا تعريف القيمة الوسطى لحساب الطاقة الوسطى للالكترتون فى المعدن عند الدرجة  $T = 0$  نجد العبارة التالية :

$$E_{\text{av}}^0 = \frac{2}{\rho_0} \int_0^{p_{\text{max}}} \frac{p^2}{2m_0} \frac{d^3p}{8\pi^3 h^3} = \frac{3}{5} E_F \quad (5.79)$$

وقد برهنت الحسابات الدقيقة من أجل درجة الحرارة المنخفضة جدًا أن  $(k_B T \ll E_F)$  وأن السعة الحرارية للغاز الالكترونى هى من رتبة  $k_B (k_B T/E_F)$  وتعطى قسطا ضئيلا جدا فى السعة الحرارية الكلية. ونجد من النموذج المدروس ، انظر الشكل 5 - 5 ، أنه لانتزاع الالكترتون من المعدن يجب إمداده بطاقة لا تقل عن شغل الخروج

$$W = V_0 - E_{\text{max}}$$

وعند دراستنا للفعل الضوئى الخارجى تبين أنه بعد أن يأخذ الالكترتون من الفوتون الممتص الطاقة  $\hbar\omega$  يستطيع الإقلاع من المعدن بطاقة حركية (معادلة أينشتين) قدرها :

$$\frac{1}{2} m_0 v^2 = \hbar\omega - W \quad (5.81)$$

ومنه نلاحظ أن شغل الخروج هو أصغر طاقة يحتاجها الالكترتون لكى تكون طاقته أعلى من ارتفاع الحاجز الكمونى . فإذا كانت درجة حرارة الكترونات



المعدن ( الغاز الالكترونى ) أعلى من الصفر المطلق فإن قسما منها سيملؤ سوياى أعلى من سوية فيرمى . وإذا استطعنا زيادة الطاقة الحركية للغاز الالكترونى بتسخين المعدن فإن طاقة جزء من الالكترونات ستتجاوز طاقة الحاجز الكمونى ولذلك ستخرج الالكترونات على شكل تيار من المعدن ، وقد سميت هذه الظاهرة بالإصدار الحرارى الالكترونى وتستخدم فى الحصول على حزمة الكترونات فى المصابيح الالكترونية . ولكن ظهور تيار الالكترونات أمر جائز حتى فى الدرجات المنخفضة تحت تأثير حقل كهربائى خارجى ثابت ، شدته  $\mathcal{E}$  ، يطبق على سطح المعدن باتجاه عمودى عليه . وفى هذه الحالة تكون طاقة الكمون لإلكترون شحنته  $e_0$  ، انظر الشكل ٥ - ٦ ، مساوية إلى :

$$V(x) = V_0 - e_0 \mathcal{E} x \quad (5.82)$$

حيث تؤثر على الالكترون قوة أخرى تضاف إلى قوة الحقل الكهربائى الخارجى تسمى بقوة الخيال الكهربائى ، فالالكترون الذى شحنته  $e_0$  يولد فى المعدن شحنة محرّضة  $e_0$  ، انظر الشكل ٥ - ٧ ، ولهذا نكتب القوة الكلية المؤثرة على الالكترون كما يلى :

$$F(x) = e_0 \mathcal{E} - \frac{e_0^2}{4x^2} \quad (5.83)$$

أما الطاقة الكامنة الفعالة التى تأخذ بعين الاعتبار قوى الخيال الكهربائى فنكتبها كما يلى :

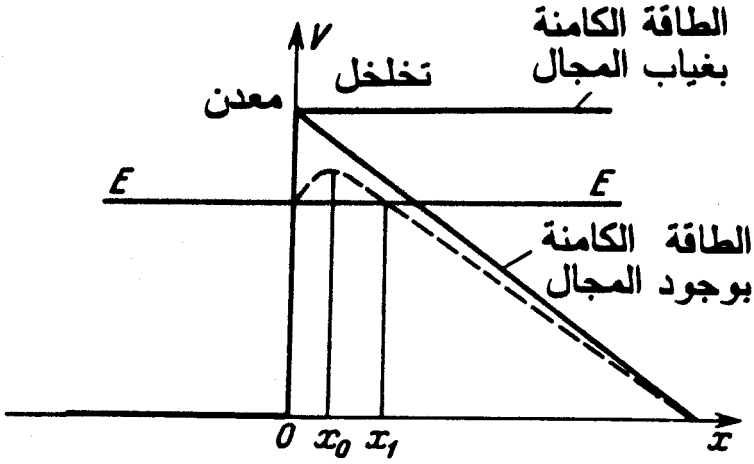
$$V_{eff} = V_0 - e_0 \mathcal{E} x - \frac{e_0^2}{4x} \quad (5.84)$$

وتبلغ نهايتها العظمى ، فى النقطة  $x_0$  ، التى تحسب من المعادلة التالية :

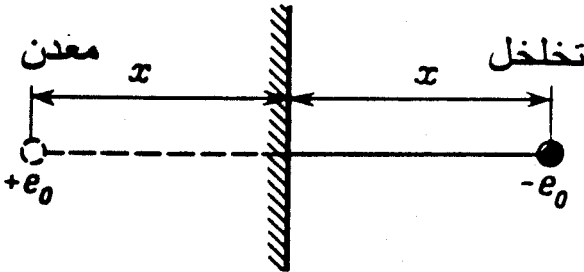
$$\frac{\partial V_{eff}}{\partial x} = -e_0 \mathcal{E} + \frac{e_0^2}{4x_0^2} = 0 \quad (5.85)$$

ومنه نجد أن :

$$x_0 = \frac{1}{2} \sqrt{\frac{e_0}{\mathcal{E}}}$$



الشكل ٥ - ٦ . الطاقة الكامنة لالكترون في المعدن بوجود حقل كهربائي خارجي وبغيابه ، إذ يبين الخط المنقطع طبيعة المنحنى الكموني بوجود قوى الخيال الكهربائي .



الشكل ٥ - ٧ . قوى الخيال الكهربائي : إذ يخضع الالكترون خارج المعدن لقوى جانبية بالشحنة المحرصة .

والقيمة العظمى لـ  $V_{eff}$  أصغر من  $V_0$  لأن

$$V_{max} = V_0 - \sqrt{e_0^3 \mathcal{E}} \quad (5.86)$$

ويتضح من ذلك أن شغل الخروج يتناقص بوجود حقل خارجي لقوى الخيال الكهربائي ، أي أن :

$$W' = W - \sqrt{e_0^3 \mathcal{E}} \quad (5.87)$$

ولكن قوى الخيال الكهربائي غير كافية لتفسير الإصدار البارد ، فمثلا حساب أعظم تيار لمعدن التنغستين عندما  $W^1 = 0$  يعطى القيمة التالية :

$$\mathcal{E} = \frac{W^2}{e_0^3} \simeq 2 \cdot 10^8 \text{ V/cm} \quad (5.88)$$

بينما تؤكد التجارب ظهور تيار قوى عندما  $\mathcal{E} = 4 \cdot 10^6 \text{ V/cm}$  ( تجربة ميليكان ) . وهكذا لا نستطيع من وجهة نظر النظرية التقليدية تفسير الناحية الكمية لظاهرة الإصدار البارد ، أما فى النظرية الكوانتية حيث تستطيع الالكترونات المرور عبر الحاجز الكمونى فيمكن اعتبار الطاقة الكامنة هى تلك المعطاة بالعلاقة ( 5.82 ) دون حساب قوى الخيال الكهربائي لأن هذه القوى لا تغير كثيراً من النتيجة النهائية ، ويمكن أن نلاحظ من الخط البياني ( الشكل ٥ - ٦ ) للطاقة الكامنة أنها تخلق كمونا ذا عرض محدود ، ولذلك يستطيع الالكترون التغلب على هذا الحاجز بسبب ظاهرة النفق ، علماً أن معامل الشفافية يساوى :

$$D = \exp \left[ -\frac{2}{\hbar} \sqrt{2m_0} \int_0^{x_1} \sqrt{V(x) - E} dx \right] \quad (5.89)$$

حيث يحسب التكامل بامتداد عرض الحاجز من النقطة  $x = 0$  حتى النقطة  $x = x_1$  التى تتحدّد من العلاقة التالية :

$$V_0 - e_0 \mathcal{E} x_1 = E, \quad x_1 = \frac{V_0 - E}{e_0 \mathcal{E}} \quad (5.90)$$

وعندئذ يكون لدينا :

$$\begin{aligned} \int_0^{x_1} \sqrt{V(x) - E} dx &= \int_0^{x_1} \sqrt{V_0 - e_0 \mathcal{E} x - E} dx = \\ &= \sqrt{e_0 \mathcal{E}} \int_0^{x_1} \sqrt{x_1 - x} dx = \frac{2}{3} \sqrt{e_0 \mathcal{E}} x_1^{3/2} \end{aligned} \quad (5.91)$$

وأخيراً نحصل لحساب  $D$  على العلاقة التالية :

$$D = \exp \left[ -\frac{1}{3} \sqrt{2m_0} \frac{(V_0 - E)^{3/2}}{e_0 \hbar \mathcal{E}} \right] = \exp \left( -\frac{\mathcal{E}_0}{\mathcal{E}} \right) \quad (5.92)$$

حيث يتعلق المقدار  $j_0$  بشغل خروج الالكترونات الحرة من المعدن . أما تيار الإصدار البارد فيتناسب مع معامل الشفافية حسب العلاقة التالية :

$$i = j_0 D = j_0 \exp\left(-\frac{\mathcal{E}_0}{\mathcal{E}}\right) \quad (5.93)$$

ومنه نستنتج أن الإصدار البارد يلاحظ عندما تكون شدة الحقل الكهربائي  $\mathcal{E} \sim 10^6$  V/cm وهذا ما يتوافق مع المعطيات التجريبية جيداً .

ز) التفكك ( الانشطار ) - ألفا . لقد وجدت ظاهرة النفق تطبيقاً هاماً لها في نظرية النواة الذرية إذ يعتبر الانشطار ألفا أحد أنواع التحولات التلقائية التي تطرأ على النواة المشعة ، إذ تطلق النواة خلاله جسيماً يسمى بالجسيم - ألفا أى نواة ذرة الهليوم المولفة من بروتونين ونيوترونين وتتحول إلى نواة فتيّة جديدة شحنتها أقل بوحدين من شحنة النواة الأصلية ، ولقد أصبحت مسألة الانشطار - ألفا ، كمنظريّة اختراق الجسيمات عبر الحاجز الكموي ، إحدى المسائل التقليدية في ميكانيكا شرودينجر الكوانتية . ولقد أثبتت الأبحاث التجريبية لهذه الظاهرة أنها ناتجة عن الخواص الداخلية للنواة فقط ، ولهذا كان من الطبيعي أن نفترض عدد النوى المنشطرة  $dN$  خلال الزمن  $dt$  يتناسب طردياً مع الفترة الزمنية ومع عدد النوى  $N$  في اللحظة  $t$  أى أن :

$$dN = -\lambda N dt \quad (5.94)$$

وبمكاملة هذه المعادلة نحصل على قانون كورى للانشطار الإشعاعي ، أى أن :

$$N = N_0 e^{-\lambda t} \quad (5.95)$$

ان لثابت الانشطار الإشعاعي ، الموجود في العبارة السابقة ، معنى الاحتمال لأنه يرتبط بدور نصف الانشطار  $T_{1/2}$  ، وهو الزمن الذي ينشطر خلال نصف كمية المادة الأصلية . فإذا رمزنا لكمية النوى الأصلية الرمز  $N_0$  نحصل

من أجل  $T_{1/2}$  على العلاقة التالية :

$$N_0 e^{-\lambda T_{1/2}} = \frac{1}{2} N_0 = N_0 e^{-\ln 2} \quad (5.96)$$

ومنه نجد أن :

$$T_{1/2} = \frac{\ln 2}{\lambda} = \frac{0.693}{\lambda} \quad (5.97)$$

لقد وضع قانون كورى فى البداية على أسس تجريبية ، ولم يغدُ التفسير النظرى للانشطار - ألفا جائزاً إلا بظهور الميكانيكا الكوانتية . ولندرس مباشرة ، وبغض النظر عن آلية تشكل الجسيم - ألفا فى عملية انشطار النواة ، الجملة المؤلفة من النواة الفتية والجسيم - ألفا . أن الطاقة الكامنة للتأثير المتبادل ، بين الجسيم - ألفا ( ذى الشحنة  $2e_0$  ) والنواة الفتية [ ذات الشحنة  $(Z-2)e_0$  ] ، تتألف من الطاقة الكامنة لقوى التنافر ( قوى كولون )

$$V = \frac{2(Z-2)e_0^2}{r} \quad (5.98)$$

ومن الطاقة الكامنة لقوى الجاذبية النووية التى تفعل فعلها عند المسارات الصغيرة  $r \leq R$  أو عند المسافات من المرتبة  $10^{-12} - 10^{-13}$  cm . ويمكن من أجل التقديرات التقريبية صياغة الطاقة الكامنة بالشكل التالى :

$$V = \frac{2(Z-2)e_0^2}{r} , \quad (r > R) \quad (5.99)$$

$$V = 0 \quad , \quad (r < R) \quad (5.100)$$

ويعتبر الانشطار - ألفا من وجهة نظر الميكانيكا الكوانتية ظاهرة نموذجية على اختراق الجسيمات للحاجز الكمونى ( 1928 غاموف ، كوندون ، هيرنى ) .

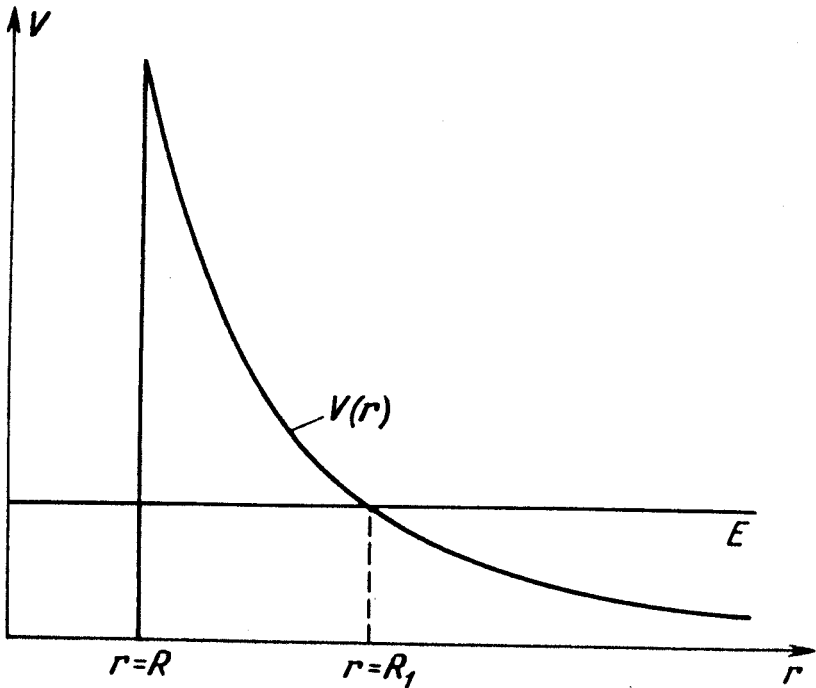
ولبناء نظرية الانشطار - ألفا لا بد أولاً من ربط ثابت الانشطار

الإشعاعي  $\lambda$  بمعامل شفافية الحاجز ، انظر ( 5.56 ) ، أى أن :

$$D = \exp\left(- (2/\hbar) \sqrt{2M} \int_R^{R_1} \sqrt{V-E} dr\right) \quad (5.101)$$

حيث  $M$  كتلة الجسيم - ألفا ، أما  $R$  و  $R_1$  - فهما بداية الحاجز الكموني ونهايته ، انظر الشكل ٥ - ٨ . وبما أن معامل الشفافية يمثل احتمال اختراق الجسيم للحاجز الكموني أثناء كل ضربة على جدار الحاجز ، لذا يمكن كتابة قانون الانشطار كما يلي :

$$dN = -\lambda N dt = -n DN dt \quad (5.102)$$



الشكل ٥ - ٨ . مخطط الطاقة الكامنة للجسيم - ألفا في مجال النواة المشعة .

حيث  $n$  عدد الضربات في الثانية الواحدة ، ومن السهل تقدير  $n$  من الاعتبارات التالية : لنفترض أن الجسيم - ألفا متحرك ضمن حفرة كمونية

نصف قطرها  $R$  ، عندها من الواضح أن  $n \sim v_0/R$  حيث  $v_0$  سرعة الجسيم . ألفا ضمن النواة ( $r < R$ ) . وبسهولة نستطيع أن نربط القيم الأخيرة ببعضها ، فطبقاً لعلاقات اللاتعيين يرتبط اندفاع الجسيم  $Mv_0$  ومكان وجوده  $R$  بالعلاقة  $Mv_0R \approx \hbar$  ولهذا يكون لدينا :

$$n \approx \frac{\hbar}{MR^2} \quad (5.103)$$

وإذا اعتمدنا هذه الملاحظات نرى أن العلاقة بين ثابت الانشطار الإشعاعي

$\lambda$  ومعامل الشفافية  $D$  تتعين بالمعادلة التالية :

$$\lambda = nD = \frac{\hbar}{MR^2} \exp\left(-\left(\frac{2}{\hbar}\right) \sqrt{2M} \int_R^{R_1} \sqrt{V-E} dr\right) \quad (5.104)$$

وإذا أخذنا لوغاريتم الطرفين نجد أن :

$$\ln \lambda = \ln \frac{\hbar}{MR^2} - \frac{2}{\hbar} \sqrt{2m} I \quad (5.105)$$

حيث

$$I = \int_R^{R_1} \sqrt{V-E} dr \quad (5.106)$$

و  $R$  - نصف قطر النواة ، أما  $R_1$  فيحسب من شرط تساوى الطاقة الكامنة مع الكلية ، أى أن

$$\frac{2(Z-2)}{R_1} e_0^2 = E \quad (5.107)$$

وإذا عوضنا العبارة  $V = \frac{FR_1}{r}$  بقيمتها فى التكامل (5.106) نجد أن :

$$I = \sqrt{E} \int_R^{R_1} \sqrt{\frac{R_1}{r} - 1} dr \quad (5.108)$$

وبتبديل المتحول  $r = R_1 x^2$  نحصل على أن :

$$I = 2R_1 \sqrt{E} \int_{\sqrt{\frac{R}{R_1}}}^1 \sqrt{1-x^2} dx \quad (5.109)$$

وبإجراء تبديلين آخرين  $x = \sin \varphi$  و  $\sin \varphi_0 = \sqrt{\frac{R}{R_1}}$  نكتب التكامل السابق بالشكل التالي :

$$I = 2R_1 \sqrt{E} \int_{\varphi_0}^{\pi/2} \cos^2 \varphi d\varphi \quad (5.110)$$

وبمكاملته نحصل :

$$I = \frac{R_1 \sqrt{E}}{2} (\pi - 2\varphi_0 - \sin 2\varphi_0) \quad (5.111)$$

فإذا فرضنا أيضًا أن  $\frac{R}{R_1} \ll 1$  يمكننا كتابة  $\varphi_0$  و  $I$  بالشكل التالي :

$$\varphi_0 \approx \sin \varphi_0 = \sqrt{\frac{R}{R_1}}, \quad I = R_1 \sqrt{E} \left\{ \frac{\pi}{2} - 2\sqrt{\frac{R}{R_1}} \right\} \quad (5.112)$$

ويحذف  $R_1$  باستخدام العلاقة (5.107) والرمزين التاليين :

$$B = \ln \frac{h}{MR^2} + \frac{8e_0}{h} \sqrt{MR(Z-2)} - \ln \ln 2 \quad (5.113)$$

$$A = \frac{2\pi(Z-2)e_0^2}{h} \sqrt{2M} \quad (5.114)$$

نستخلص لحساب نصف الدور  $T_{1/2}$  العلاقة التالية :

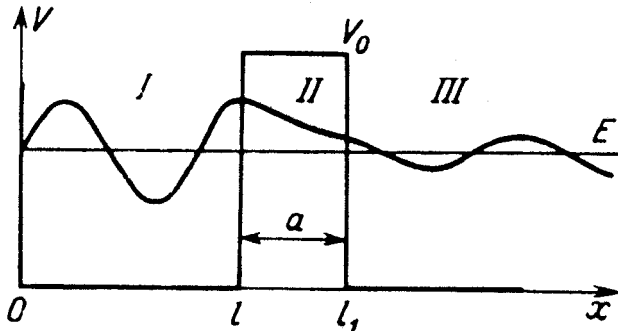
$$\ln T_{1/2} = \frac{A}{\sqrt{E}} - B \quad (5.115)$$

التي تربط بين نصف دور الانشطار  $T_{1/2}$  وطاقة الجسيمات - ألفا المنطلقة ، والتي تعتبر شكلا معاصرا لقانون غايغر - نوتال المعروف ، قبل ظهور الميكانيكا الكوانتية والمستخلص بطريقة تجريبية بحتة . ويبين قانون غايغر - نوتال أنه بقدر ما تكون الطاقة  $E$  ( طاقة انطلاق الجسيمات - ألفا من النواة ) كبيرة يصغر نصف الدور ، علما أنه ثمة ازدياد طفيف في الطاقة ، مثلا من 4MeV حتى 9MeV ( القيمة التقريبية للطاقات القصوى لانطلاق الجسيم - ألفا في فصيلة اليورانيوم المشعة ) ، يؤدي إلى نقصان شديد في متوسط العمر من عدة مليارات من السنين إلى عدة عشرات ملايين



جزء من الثانية ، وبالرغم من أن تغير الطاقة لا يغير كثيراً من مساحة الحاجز الكموني ، إلا أن قيمة تغير المساحة تدخل في الأس الذي يحدد زمن العمر الوسطى .

( د ) مفهوم أشباه السويات ( أشباه الأطياف ) . لقد رأينا في المسألة السابقة عند دراسة الانشطار - ألفا أن ثابت الانشطار  $\lambda$  مرتبط مع معامل شفافية الحاجز  $D$  وأن الجسيم باختراقه للحاجز الكموني ينتقل من حالة مقيدة داخل الحفرة الكمونية إلى حالة طليقة خارجها . أما في الحقيقة فإن الجسيم داخل الحفرة قد لا يكون مقيداً تماماً ، ولذلك فإن طيف الطاقة  $E$  لن يكون منقطعاً عندما  $(\lambda \neq 0)$  . وإذا كان احتمال اختراق الجسيم للحاجز صغيراً ، أى أن يكون ثابت الانشطار  $D \sim \lambda$  صغيراً أيضاً فإن تغير الطيف سيكون طفيفاً ، وفي هذه الحالة نحصل على ما يسمى بالطيف شبه المنقطع المؤلف من أشباه سويات . ولإيجاد أشباه السويات هذه ، ندرس كمثال بسيط حفرة كمونية عرضها  $a$  ومحدودة بإحدى الجهات بجدار لانهاى الارتفاع  $(x = 0)$  ومن الجهة الأخرى  $(x = l)$  بحاجز كموني ارتفاعه  $V_0$  وعرضه  $l_1 - l$  ، انظر الشكل ٥ - ٩ ، وعليه يمكننا أن نكتب التابع الموجى فى المجالات الثلاثة  $I (0 < x < l)$  و  $II (l < x < l_1)$  و  $III (x > l_1)$  كما يلى :



الشكل ٥ - ٩ . أشباه السويات .

$$\begin{aligned}\psi_I &= A_1 \sin kx, \\ \psi_{II} &= A_2 e^{-\kappa(x-l)} + B_2 e^{\kappa(x-l)} \\ \psi_{III} &= A_3 e^{ik(x-l)}\end{aligned}\quad (5.116)$$

حيث

$$\begin{aligned}k^2 &= \frac{2m_0 E}{\hbar^2} \\ \kappa^2 &= \frac{2m_0}{\hbar^2} (V_0 - E) > 0\end{aligned}$$

إذ تم اختيار الحل  $\psi_I$  في المجال الأول بحيث ينعدم ، ( عندما  $x = 0$  ) ، ثم اختيار الحل  $\psi_{III}$  في المجال الثالث بحيث يتألف من موجة واحدة تبتعد عن الحاجز مما يكفل ظهور أشباه السويات في الجملة . ومن شرط استمرار التابع الموجي على حدود الحاجز نجد أنه :

عندما  $x = l$

$$\begin{aligned}A_1 \sin kl &= A_2 + B_2 \\ A_1 \cos kl &= \frac{\kappa}{k} (B_2 - A_2)\end{aligned}\quad (5.117)$$

وعندما  $x = l_1$

$$\begin{aligned}A_2 e^{-\kappa a} + B_2 e^{\kappa a} &= A_3 \\ A_2 e^{-\kappa a} - B_2 e^{\kappa a} &= -\frac{i\kappa}{\kappa} A_3\end{aligned}\quad (5.118)$$

ومن المعادلتين الأخيرتين نحصل العلاقتين التاليتين :

$$\begin{aligned}A_2 &= \frac{1 - i \frac{k}{\kappa}}{2} e^{\kappa a} A_3 \\ B_2 &= \frac{1 + i \frac{k}{\kappa}}{2} e^{-\kappa a} A_3\end{aligned}\quad (5.119)$$

وبتدليلهما في (5.117) نجد أن :

$$\begin{aligned}A_1 \left( \sin kl + \frac{k}{\kappa} \cos kl \right) &= \left( 1 + i \frac{k}{\kappa} \right) e^{-\kappa a} A_3 \\ A_1 \left( \sin kl - \frac{k}{\kappa} \cos kl \right) &= \left( 1 - i \frac{k}{\kappa} \right) e^{\kappa a} A_3\end{aligned}\quad (5.120)$$

وحتى يكون لهاتين المعادلتين حل غير الصفر يجب أن ينعدم معين أمثالهما ، وعليه نكتب لحساب سويات الطاقة المعادلة التالية :

$$\frac{1 + i \frac{k}{\alpha}}{1 - i \frac{k}{\alpha}} e^{-2\alpha a} = \frac{\operatorname{tg} kl + \frac{k}{\alpha}}{\operatorname{tg} kl - \frac{k}{\alpha}} \quad (5.121)$$

وبما أن سعة الموجة المبتعدة  $A_3$  أصغر بكثير من سعة الموجة الواردة  $A_1$  في الحفرة

$$|A_3| \sim A_1 e^{-\alpha a} \quad (5.122)$$

لذا ينعدم الحل في المجال III عندما ( $a \rightarrow \infty$  و  $A_3 = 0$ ) وعندئذ نجد من (5.120) معادلة لتعيين سويات الطاقة المتقطعة في الحفرة الكمونية في المجال I

$$\operatorname{tg} k_0 l = -k_0 / \alpha_0 \quad (5.123)$$

حيث يرمز للدليل « 0 » لـ  $\alpha$  و  $k$  عندما  $a \rightarrow \infty$ . ولنبرهن أنه عندما تكون الحدود الأسية صغيرة من المرتبة  $e^{-2\alpha a}$  وعندما يتحقق الشرطان  $\alpha a \gg 1$  و  $\alpha l \gg 1$  فإن حل المعادلة (5.121) سيصف أشباه السويات ، لذا نغزل في المقدار  $k$  جزءاً عقدياً صغيراً  $k'$  ونهمل في القسم الحقيقي الحدود الصغيرة جداً لعدم أهميتها ، وعليه يكون لدينا :

$$k = k_0 - ik' \quad (5.124)$$

حيث ترتبط  $k_0$  مع طيف الطاقة المتقطع بالعلاقة التالية :

$$E_0 = \frac{\hbar^2 k_0^2}{2m_0} = \frac{m_0 v^2}{2} \quad (5.125)$$

وبتبديل العلاقة (5.124) في المعادلة (5.121) وملاحظة المساواة (5.123) والشرط  $\alpha l \gg 1$  ، نجد أن

$$k'l = + \frac{4 \left( \frac{k_0}{\kappa_0} \right)^2}{\left[ 1 + \left( \frac{k_0}{\kappa_0} \right)^2 \right]^2} e^{-2\kappa a} \quad (5.126)$$

وعندئذ نعبر عن الطاقة بالصيغة التالية :

$$E = E_0 - \frac{1}{2} i\hbar\lambda \quad (5.127)$$

حيث

$$\lambda = D_0 \frac{v}{2l} \exp \left[ -2a \sqrt{\frac{2m_0}{\hbar^2} (V_0 - E_0)} \right] \quad (5.128)$$

أما المقدار  $D_0$  فيساوى

$$D_0 \simeq \frac{16 \left( \frac{k_0}{\kappa_0} \right)^2}{\left[ 1 + \left( \frac{k_0}{\kappa_0} \right)^2 \right]^2} \quad (5.129)$$

إن وجود القسم العقدي ( المركب ) في صيغة الطاقة ( 5.127 ) يشهد على أن التابع الموجي في الحفرة الكمونية سيتناقص بالنسبة للزمن وفق قانون أسي . أما في الواقع فإننا نحصل من أجل مربع القيمة المطلقة للتابع الموجي ، انظر ( 5.95 ) ، على ما يلي :

$$|\psi|^2 = \text{const } e^{-\lambda t} \quad (5.130)$$

أي أن  $\lambda$  - ثابت الانشطار سيفصف احتمال وجود الجسيم داخل الحفرة الكمونية . أما في خارج الحفرة ، كما نرى من  $\psi_{III}$  في المساواة ( 5.116 ) فيجب أن يتزايد الحل عند الابتعاد عن الحفرة (  $x \rightarrow \infty$  ) على حساب التصحيح العقدي الصغير الذي أدخل على العدد الموجي  $k'$  ، انظر ( 5.126 ) وعليه يكون لدينا :

$$|\psi_{III}|^2 = \text{const } e^{2k'x} \quad (5.131)$$

ولهذا يتباعد تكامل المعايير للتابع  $\psi$  عند قيم  $x$  الكبيرة ولكن هذا الازدياد

يحدث عندما  $x \rightarrow \infty$  ويعوض بالتناقص الأسي عندما  $t \rightarrow \infty$  طبقاً للمساواة (5.130) وهذا ما يكفل تحقيق معادلة الاستمرارية (2.20). ولبرهان ذلك نحسب تيار الموجة المارة  $III$  طبقاً لـ (5.54) فنجد أن :

$$j = \frac{\hbar}{2m_0} (k + k^*) |\psi_{III}|^2 = \frac{\hbar k_0}{m_0} \rho = \rho v$$

حيث  $\rho = |\psi_{III}|^2$  الكثافة الاحتمالية ، وعليه وبناء على (5.131) نجد أيضاً أن :

$$\frac{\partial j}{\partial x} = v \frac{\partial \rho}{\partial x} = 2v k' \rho$$

وينتج من (5.130) أن :

$$\frac{\partial \rho}{\partial t} = -\lambda \rho$$

وإذا أخذنا بعين الاعتبار (5.126) و (5.128) نجد أن :

$$\frac{\partial \rho}{\partial t} + \frac{\partial j}{\partial x} = (-\lambda + 2k'v) \rho = 0$$

وبالتالي تتحقق معادلة الاستمرارية وهذا ما توقعناه . فيما تمكنا العلاقة (5.128) من أجل الثابت  $\lambda$  من حساب معامل شفافية الحاجز  $D$  . في الحقيقة توجد علاقة بين  $\lambda$  و  $D$  هي تلك التي استخرجت في مسألة الانشطار - ألفا ، أي أن :

$$\lambda = \frac{v}{2l} D \quad (5.132)$$

حيث  $\frac{v}{2l}$  هي عدد الضربات على الحاجز في وحدة الزمن ، ومنه نجد لحساب  $D$  العبارة التالية :

$$D \simeq D_0 \exp[-2(a/\hbar) \sqrt{2m_0(V_0 - E_0)}] \quad (5.133)$$

ولقد حصلنا على هذه القيمة سابقاً بطريقة أخرى عند حل مسألة الاختراق عبر حاجز مستطيل ، انظر (5.69) .

## البند ٦ . الطبيعة الإحصائية للميكانيكا الكوانتية

أ ) القيم الوسطية للمؤثرات . من المعلوم فى النظرية الكلاسيكية أن حركة أية نقطة مادية تتعين تمامًا بمعرفة تغيّر أحداثياتها بالنسبة للزمن . ويتم تحديد هذه الحركة بشكل متباين بتطبيق قانون نيوتن الأساسى :

$$m_0 \ddot{r} = - \text{grad } V(r) \quad (6.1)$$

ومعرفة الشروط الابتدائية . وعندما نحسب  $r$  بدلالة الزمن نستطيع معرفة كل من اندفاع النقطة المادية وطاقتها. وقد يتغير الأمر بعض الشيء عند دراسة حركة جسيمات كثيرة ، فى النظرية الحركية للغازات مثلا ، حيث تظهر قانونية إحصائية ناتجة عن عدد الجسيمات الضخم . وفى هذه الحالة يبدو أن للجسيمات قانون توزع معين ، سواء فى الفراغ الاحداثى أو فى فراغ الاندفاع . ولذلك نستطيع التحدث عن احتمال هذه القيمة أو تلك للاحداثى أو للاندفاع ، ويعنى ذلك أنه يوجد تابع التوزع  $r$  الذى يمكننا من حساب القيمتين الوسطيتين لكل منهما بالشكل التالى :

$$\bar{x} = \int x f d^3x d^3p, \quad \bar{p}_x = \int p_x f d^3x d^3p \quad (6.2)$$

أو حساب متوسطى مربعى هذين المقدارين :

$$\overline{x^2} = \int x^2 f d^3x d^3p \dots \text{etc} \dots$$

الذين يجب أن يتطابقا ، حسب قانون الأعداد الكبيرة للجسيمات ، مع القيمتين المقابلتين تجريبياً . ولندرس إحدى خواص القانونية الإحصائية التى تظهر فى النظرية الكلاسيكية نتيجة حساب القيمة الوسطى لما يسمى بالوسيط المستتر الذى يحدد حركة كل جسيم بدقة طبقاً لمعادلة نيوتن ، علماً أن الوسطاء المستترة لا تدخل فى النتيجة النهائية . وتسمح النظرية

الكلاسيكية نظرياً على الأقل (ولو كان هذا معقداً جداً من الناحية الرياضية) ، بمعرفة سبب انحراف احداثيات واندفاعات كل جسيم عن القيمة الوسطى فى كل لحظة من الزمن أما فى العالم المجهرى فيوصف سلوك الجسيمات الدقيقة بتابع  $\psi(r,t)$  خواصه احتمالية أيضاً ، حتى عند وصف حركة جسيم وحيد . ولهذا فإنه فى الميكانيكا الكوانتية يتم حساب القيم الوسطى للمقادير الفيزيائية سواء لجسيم واحد أو لعدة جسيمات . وينبغى التأكيد أننا لا نستطيع ، ضمن حدود الميكانيكا الكوانتية ، من حيث المبدأ تفسير انحراف القيم التجريبية عن القيم الوسطية\* ، وعليه فإن القيم الوسطى فى الميكانيكا الكوانتية تحسب بطريقة مشابهة لما فى النظرية الإحصائية ، أى بالعلاقة التالية :

$$\bar{M} = \int \psi^*(t) M \psi(t) d^3x \quad (6.3)$$

حيث يمكن أن يكون  $M$  أى مؤثر ( أو أى عدد ) ، ويمثل المقدار  $\psi^*(t)\psi(t)$  تابع التوزيع  $f$  .

وبناء على ذلك تكتب المتوسطات فى الميكانيكا الكوانتية بواسطة أقواس زاوية وهذا ما سنفعله نحن من الآن فصاعداً ، وعليه نكتب (6.3) بالشكل التالى :

$$\langle M \rangle = \int \psi^*(t) M \psi(t) d^3x \quad (6.4)$$

وعندما يتعلق الأمر بالمتوسط التقليدى سنرمز له بخط صغير فقط .

إن القيم الوسطى للاحداثيات والاندفاعات هى أعداد يمكن حسابها بقانون واحد ، أى أن :

---

\* لقد برهن فون نيومان أنه لا توجد وسطاء مستترة فى أسس القانونية الاحصائية للميكانيكا الكوانتية ، إلا أن برهانه هذا بقى فى حيز الميكانيكا الكوانتية ذاتها ، ولم يقد معمما أو مطلقاً .

$$\langle x \rangle = \int \psi^*(t) x \psi(t) d^3x$$

$$\langle p_x \rangle = \int \psi^*(t) \frac{\hbar}{i} \frac{\partial}{\partial x} \psi(t) d^3x \quad (6.5)$$

وتلك بالرغم من أن  $x$  عدد و  $\frac{\partial}{\partial x}$  مؤثر اشتقاق . وعليه يكون  $\langle x \rangle$  احدائيات مركز ثقل الرزمة الموجية و  $\langle p_x \rangle$  اندفاع هذا المركز . ولكي تقابل المتوسطات السابقة مقادير فيزيائية ينبغي أن تكون قبل كل شيء أعداداً حقيقية

$$\langle M \rangle^* = \langle M \rangle \quad (6.6)$$

أى أن :

$$\int \psi^* M \psi d^3x = \left( \int \psi^* M \psi d^3x \right)^* \quad (6.7)$$

وهذا ما يفرض على المؤثر نفسه تحقيق شروط أخرى لا بد لشرحها من تعريف المؤثر الهرميتى\* المقترن ، ولذلك ندرس التكامل المتقارب التالي :

$$\int \chi^* M \varphi d^3x \quad (6.8)$$

حيث  $\chi$  و  $\varphi$  - تابعان اختياريان يحققان شروط حدية حسب نوع المؤثر  $M$  . ولنعرف المؤثر الهرميتى المقترن  $M^+$  بالمعادلة التالية :

$$\int \chi^* M \varphi d^3x = \int (M^+ \chi)^* \varphi d^3x \quad (6.9)$$

وعندما يتطابق المؤثر  $M$  مع المؤثر الهرميتى المقترن فإن  $M^+ (M = M^+)$

$$\int \chi^* M \varphi d^3x = \int (M \chi)^* \varphi d^3x \quad (6.10)$$

\* هيرميتى ، نسبة للعالم هيرميت ، وتعنى هذه الصفة أن المؤثر لا نهائى البعد فى التحويلات الخطية . . المراجع . .



ويسمى المؤثر  $M$  عندئذ بالمقترن ذاتيًا ( أو بالهيرميتي ) . وإذا وضعنا في المساواة الأخيرة  $\bar{\psi} = \chi = \varphi$  نحصل على الشرط (6.7) . وعليه نستنتج أنه إذا كان المؤثر هرميتيًا ، أي

$$M = M^+ \quad (6.11)$$

فإن القيم الوسطية ، كما ينتج من المعادلتين (6.7) و (6.6) ستكون مقادير حقيقية . ولنبرهن الآن أن المؤثر  $p_x$  يحقق الشرط (6.7) أو (6.11) بالرغم من أن شكله الخارجي عقدي خالص . ولذلك سنبرهن نظرية هامة ، سنستعملها فيما بعد ، تتعلق « بنقل » المشتقة وتتلخص فيما يلي : إذا كان لدينا التكامل

$$G = \int_{-\infty}^{\infty} u v^{(n)} dx \quad (6.12)$$

حيث  $v^{(n)} = d^n v / dx^n$  ، وإذا انعدمت الحدود التي من الشكل :

$$[u v^{(n-1)}]_{-\infty}^{\infty}, [u^{(1)} v^{(n-2)}]_{-\infty}^{\infty}, \dots, [u^{(n-1)} v]_{-\infty}^{\infty} \quad (6.13)$$

فإن نتيجة التكامل  $G$  لا تتغير إذا « نقلنا » الاشتقاق من التابع  $v$  إلى التابع  $u$  ووضعنا المضروب  $(-1)^n$  أمام التكامل ، أي

$$\int_{-\infty}^{\infty} u v^{(n)} dx = (-1)^n \int_{-\infty}^{\infty} u^{(n)} v dx \quad (6.14)$$

وفي الحقيقة ، إذا أجرينا التكامل (6.12)  $n$  مرة بالتجزئة مع ملاحظة القيم الصفرية (6.13) فإننا سنحصل على العلاقة (6.14) . وتحقق العلاقة (6.13) دائمًا في حالة الطيف المنقطع لأن التابع الموجي يتناقص في اللانهاية بقانون أسي ، أما في حالة الحركة الطليقة (الطيف المستمر) فتتعدم (6.13) بسبب شرط الدورية . وعليه فإن المعنى الفيزيائي لـ (6.13) هو أنه لا توجد في اللانهاية أية جسيمات أو تيارات .

لنعد الآن إلى برهان الاقتران الذاتي للمؤثر  $p_x = -i\hbar \partial / \partial x$  ولهذا نفترض في المعادلة (6.14) أن :

$$u = \psi^*(t), \quad v = -i\hbar\psi(t), \quad n = 1$$

ومنه نستنتج أن :

$$\langle p_x \rangle = - \int \psi^*(t) i\hbar \frac{\partial}{\partial x} \psi(t) dx = \int \psi(t) i\hbar \frac{\partial}{\partial x} \psi^*(t) dt = \langle p_x \rangle^*$$

إذن ، فالمؤثر  $p_x$  يحقق الشرط الهرميتي ، بينما نرى ، على العكس من ذلك أن المؤثر الحقيقي  $\partial/\partial x$  ليس هرميتياً وليس لقيمته الوسطى أى معنى فيزيائى . وإذا كانت للمؤثر  $M$  قيمة خاصة واحدة  $\lambda$  ( وتابع خاص واحد  $\psi$  ) فمن السهل البرهان أن  $\lambda$  تتطابق مع القيمة الوسطى لهذا المؤثر ، وفى الحقيقة إذا لاحظنا التعريف العام (6.12) للقيمة الوسطى للمؤثر واعتبرنا أن :

$$M\psi = \lambda\psi \quad (6.15)$$

نجد أن :

$$\langle M \rangle = \int \psi^* M \psi d^3x = \lambda \int \psi^* \psi d^3x = \lambda$$

وإذا فرضنا الآن أن للمؤثر  $M$  فى المعادلة (6.15) عددا من القيم الخاصة  $\lambda_1, \lambda_2, \dots, \lambda_n, \dots$  مقابلة للتتابع الموجية  $\psi_1, \psi_2, \dots, \psi_n, \dots$  فسنبقى أنه فى الميكانيكا الكوانتية يمكننا أن نحصل على القيم الخاصة  $\lambda_n$  للمؤثر  $M$  عند إجراء القياسات الدقيقة للمقدار الفيزيائى المقابل .

لنفترض أن الجملة الكوانتية تقع فى حالة ما موصوفة بالتابع الموجى  $\psi$  ، فما هو احتمال الحصول على إحدى القيم الخاصة  $\lambda_n$  عند قياس المقدار الفيزيائى  $M$  ؟ وللإجابة على هذا السؤال يجب نشر التابع الموجى  $\psi$  وفق سلسلة من التتابع الخاصة  $\psi_n$  للمؤثر  $M$  ، أى أن :

$$\psi = \sum_n C_n \psi_n \quad (6.16)$$

وهذا مشابه للنشر وفق سلسلة فورييه حيث تكون التوابع  $\psi_n$  توابع خاصة لمؤثر الاندفاع . عادة ما يفترض فى الميكانيكا الكوانتية ، أن التوابع الخاصة لأى مؤثر تكفل صحة النشر السابق لأى تابع اختياري ، ويمكن أن نبرهن هذه الخاصة ، التى تسمى بخاصة الاكتمال ، بدقة رياضياً . ان لعوامل النشر  $\psi_n$  فى (6.16) معنى فيزيائياً محددا لأن مربعاتها أى  $|C_n|^2$  تتناسب مع احتمال القيمة الخاصة  $\lambda_n$  عند القياس . ومن السهل البرهان على أن التوابع الموجية للمؤثرات الهرميتية المقابلة للقيم الخاصة المختلفة ستكون متعامدة ، ( لقد فعلنا ذلك لمؤثر هاملتون فى البند ٣ )

$$M\psi_n = \lambda_n \psi_n, \quad M\psi_{n'} = \lambda_{n'} \psi_{n'} \quad (6.17)$$

حيث  $\lambda_n \neq \lambda_{n'}$  . ومن أجل المؤثر الهرميتى  $M = M^+$  يمكننا أن نكتب ( أنظر (6.9) و (6.10) ) ما يلى :

$$\int \psi_n^* M \psi_{n'} d^3x = \int (M \psi_n) \psi_{n'} d^3x$$

وبالاستناد إلى (6.17) نجد أن :

$$(\lambda_n - \lambda_{n'}) \int \psi_n^* \psi_{n'} d^3x = 0$$

وبما أن  $\lambda_n \neq \lambda_{n'}$  ، إذن :

$$\int \psi_n^* \psi_{n'} d^3x = 0 \quad n \neq n'$$

وإذا عايرنا التوابع الخاصة على الواحد فيمكن كتابة شرط التعامد والمعايرة بواسطة رمز كرونكر كما يلى :

$$\int \psi_n^* \psi_{n'} d^3x = \delta_{nn'} \quad (6.18)$$

وطبقاً لهذا الشرط ستكون قيمة تكامل مربع القيمة المطلقة للتابع الموجى  $\psi$  المنشور بالعلاقة (6.16) كالتالى :

$$\int |\psi|^2 d^3x = \sum_n |C_n|^2$$

وعندما يكون التابع : معياراً على الواحد سنجد أن :

$$\sum_n |C_n|^2 = 1$$

وهذا ما يقابل الاحتمال الكلى لوجود الجملة في الحالات  $\psi_n$  ، وعليه فإن  $|C_n|^2$  يمثل احتمال للقياسات الممكنة للمقدار الفيزيائي المساوية لـ  $\lambda_n$  . فإذا حسبنا الآن القيمة الوسطى للمقدار  $M$  في الحالة  $\psi$  ، فإننا سنحصل ، طبقاً للعلاقة العامة (6.4) وبملاحظة النشر (6.16) والشروط (6.18) ، على ما يلي :

$$\langle M \rangle = \int \psi^* M \psi d^3x = \sum_n \lambda_n |C_n|^2 \quad (6.19)$$

وتثبت هذه المساواة مرة أخرى صحة الطبيعة الاحتمالية للعوامل  $C_n$  في النشر (6.16) .

ب) استنتاج علاقات اللاتعيين (الشك) . لقد بينا في الفقرة السابقة أن القيم الفيزيائية الملموسة ، أى تلك التى يمكن قياسها ، هى التى تتميز رياضياً بقيمة وسطية يمكن أن تحسب بالعلاقة (6.4) . ولنبرهن أولاً أنه إذا تواجد مقداران فيزيائيان مقابلان لمؤثرين غير تبديليين فإنهما لا يمكن أن يقاسا معاً بدقة فى أطر الميكانيكا الكوانتية . وإن أهم شىء فى الموضوع هو حساب الانحراف عن القيم الوسطية للمؤثرين المقترنين قانونياً : الاحداثى  $x$  والاندفاع  $p_x$  . وسنقتصر دراستنا على الحالة المستقرة ( أى عندما لا يتعلق التابع الموجى بالزمن ) ، لذلك نستطيع حساب القيمتين الوسطيتين للاحداثى والاندفاع من العلاقاتين :

$$\langle x \rangle = \int \psi^* x \psi d^3x \quad (6.20)$$

$$\langle p_x \rangle = \int \psi^* \frac{\hbar}{i} \frac{\partial \psi}{\partial x} d^3x$$

وبالرغم من أن الخطأ الوسطى ، أو الانحراف عن القيمة الوسطية ، يساوى الصفر أى :

$$\langle \Delta x \rangle = \int \psi^* (x - \langle x \rangle) \psi d^3x = \langle x \rangle - \langle x \rangle = 0 \quad (6.21)$$

هذا لا يعنى عدم إمكانية تواجد الجسيم فى أمكنة مختلفة عن  $\langle x \rangle$  ، لأن الانحرافات بالنسبة لمركز الثقل  $\langle x \rangle$  يمكن أن تحدث بإشارتين مختلفتين ولذلك يمكن أن يكون مجموعها مساوياً للصفر . ولهذا يجب تمييز الانحراف عن القيمة الوسطى بحساب متوسط مربع الخطأ الذى ستكون إشارته موجبة فى أى انحراف ، ويمكن حساب متوسط مربع الخطأ فى الاحداثى ( تشتت ) بالعلاقة التالية :

$$\begin{aligned} \langle (\Delta x)^2 \rangle &= \int \psi^* (x - \langle x \rangle)^2 \psi d^3x = \\ &= \langle x^2 \rangle - 2 \langle x \rangle^2 + \langle x \rangle^2 = \langle x^2 \rangle - \langle x \rangle^2 \end{aligned} \quad (6.22)$$

ويعنى انعدام متوسط مربع الخطأ  $\langle (\Delta x)^2 \rangle = 0$  أن احتمال تواجد الالكترون يساوى الصفر فى كل الفراغ ما عدا النقطة  $x = \langle x \rangle$  . وفى هذه الحالة تتساوى القيمة الوسطى مع القيمة الصحيحة ، أى أن الاحتمال المقابل لوجود الجسيم سيوصف بالتابع  $\delta$  . وبالطريقة نفسها يحسب متوسط مربع الخطأ فى الاندفاع ، أى أن :

$$\langle (\Delta p_x)^2 \rangle = \int \psi^* (p_x - \langle p_x \rangle)^2 \psi d^3x = \langle p_x^2 \rangle - \langle p_x \rangle^2 \quad (6.23)$$

ولكى نستخلص العلاقة بين  $\langle (\Delta x)^2 \rangle$  و  $\langle (\Delta p_x)^2 \rangle$  يمكننا ، حتى فى الحالة العامة ، اختيار جملة إحصائية مركزها فى مركز ثقل الرزمة الموجية  $\langle x \rangle = 0$  بحيث تتحرك مع هذا الأخير  $\langle p_x \rangle = 0$  وفى هذه الحالة يكون لدينا :

$$\begin{aligned} \langle (\Delta x)^2 \rangle &= \langle x^2 \rangle = \int \psi^* x^2 \psi d^3x, \\ \langle (\Delta p_x)^2 \rangle &= \langle p_x^2 \rangle = \int \psi^* \left( -i\hbar \frac{\partial}{\partial x} \right)^2 \psi d^3x. \end{aligned} \quad (6.24)$$

ثم نحسب التكامل

$$I(\alpha) = \int \left( \alpha x \psi^* + \frac{\partial \psi^*}{\partial x} \right) \left( \alpha x \psi + \frac{\partial \psi}{\partial x} \right) d^3x \quad (6.25)$$

حيث  $\alpha$  - ثابت اختياري حقيقي لا يتعلق بـ  $x$  . كما يمكن كتابة التكامل للسابق أيضا بالشكل التالي :

$$I(\alpha) = A\alpha^2 - B\alpha + C \quad (6.26)$$

حيث

$$\begin{aligned} A &= \int \psi^* x^2 \psi d^3x = \langle x^2 \rangle > 0 \\ B &= - \int \left( \frac{\partial \psi^*}{\partial x} x \psi + x \psi^* \frac{\partial \psi}{\partial x} \right) d^3x = \\ &= - \int x \frac{\partial \psi^* \psi}{\partial x} d^3x = \int \psi^* \psi d^3x = 1 \quad (6.27) \\ C &= \int \frac{\partial \psi^*}{\partial x} \frac{\partial \psi}{\partial x} d^3x = \frac{1}{\hbar^2} \int \psi^* \left( -i\hbar \frac{\partial}{\partial x} \right)^2 \psi d^3x = \frac{\langle p_x^2 \rangle}{\hbar^2} > 0 \end{aligned}$$

وبما أن العبارة الخاصة للتكامل في (6.25) موجبة أو معدومة لذا يكون لدينا :

$$I(\alpha) \geq 0 \quad (6.28)$$

ان الشرط (6.28) يستلزم قيودًا أخرى على العوامل  $A, B, C$  ، وبالفعل إذا تحققت (6.28) من أجل القيمة  $\alpha = \alpha_0$  الموافقة للنهاية الصغرى للتابع  $I(\alpha)$  فإنها ستتحقق مهما كانت القيمة الحقيقية لـ  $\alpha$  ، أما  $\alpha_0$  نفسها فتحسب من الشرط

$$I'(\alpha_0) = 2A\alpha_0 - B = 0, \quad \alpha_0 = \frac{B}{2A}$$

$$I''(\alpha_0) = 2A > 0$$

وعليه ، فإن القيمة الصغرى لـ  $I(\alpha)$  هي :

$$I_{\min} = I(\alpha_0) = -\frac{B^2}{4A} + C \geq 0 \quad (6.29)$$

ومن هنا ينتج أن المتراجحة (6.28) تتحقق من أجل كل القيم الحقيقية لـ  $\alpha$  إذا تحقق الشرط التالي :

$$B^2 \leq 4AC$$

فإذا بدلنا  $A, B, C$  بقيمتهم في (6.27) وأخذنا بعين الاعتبار (2.24) ، نجد العلاقة التي تربط بين  $\langle (\Delta p_x)^2 \rangle$  و  $\langle (\Delta x)^2 \rangle$  أي أن :

$$\langle (\Delta x)^2 \rangle \langle (\Delta p_x)^2 \rangle \geq \frac{\hbar^2}{4} \quad (6.30)$$

وتعتبر هذه المتراجحة عن علاقة اللاتعيين (الشك) . وإذا لاحظنا أن  $p_x x - x p_x = -i\hbar$  يمكن كتابة العلاقة الأخيرة بالشكل التالي :

$$\langle (\Delta x)^2 \rangle \langle (\Delta p_x)^2 \rangle \geq \frac{1}{4} \langle |p_x x - x p_x|^2 \rangle \quad (6.31)$$

وبتعميم النتيجة الأخيرة نستطيع القول بصورة عامة أنه عندما يتواجد مؤثران غير تبديليين  $M_1, M_2$  ، لا بد أن تتحقق دائماً العلاقة التالية :

$$\langle (\Delta M_1)^2 \rangle \langle (\Delta M_2)^2 \rangle \geq \frac{1}{4} \langle |M_1 M_2 - M_2 M_1|^2 \rangle \quad (6.32)$$

حيث

$$\langle (\Delta M_i)^2 \rangle = \int \psi^* (M_i - \langle M_i \rangle)^2 \psi d^3x, \quad (i = 1, 2) \quad (6.33)$$

أن علاقة اللاتعيين (الشك) هي نتيجة للنظرة الازدواجية الجسيمية

\* يمكن البرهان على أن المؤثرين  $p_x, x$  غير تبديليين بواسطة المساواة التالية :

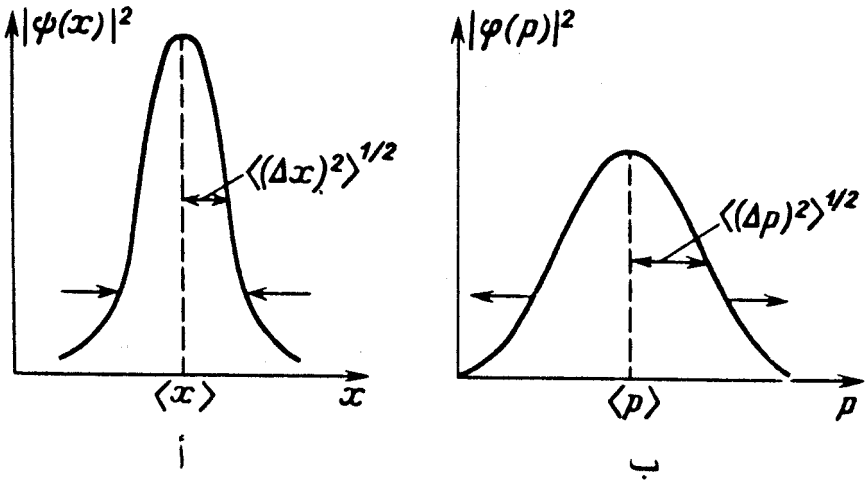
$$x p_x \psi = -i\hbar x \frac{\partial \psi}{\partial x}, \quad p_x x \psi = -i\hbar \frac{\partial x \psi}{\partial x} = -i\hbar \left(1 + x \frac{\partial}{\partial x}\right) \psi$$

ومنه نجد أن  $(p_x x - x p_x) \psi = -i\hbar \psi$  أو بصيغة المؤثرات :

$$p_x x - x p_x = -i\hbar \quad (6.30a)$$

الموجية الموجودة في أساس الميكانيكا الكوانتية ، ومستقلة عن المجرّب وملاحظاته ، لأن التجارب يمكن أن تثبت النتائج النظرية فقط .

إن معنى علاقة الشك يتلخص في أن توزيعات الكثافة بالنسبة لمتغيرين يقابلان مؤثرين غير تبديلين ، لا يستطيعان من حيث المبدأ أن يأخذا شكل التابع  $\delta$  ، انظر الشكل ( ٦ - ١ ) أضف إلى ذلك أنه بقدر ما يقترب التوزيع الاحتمالي في فراغ أحد المتغيرين من التابع  $\delta$  ، يتسع هذا التوزيع في فراغ المتغير الآخر . وفي الحالة عندما يأخذ التوزيع في الفراغ الاحداثي  $x$  ، أي  $|\psi(x)|^2$  ، شكل التابع  $\delta$  أي  $\langle (\Delta x)^2 \rangle = 0$  يصبح التوزيع في الفراغ الاندفاعي  $p_x$  ، أي  $|\varphi(p_x)|^2$  ، مقداراً ثابتاً من أجل كل قيم  $p_x$  أي  $\langle (\Delta p_x)^2 \rangle = \infty$



الشكل ٦ - ١ . توزيع كثافة الاحتمال في الفراغين الاحداثي ( أ ) ، والاندفاعي ( ب ) :

$$\langle (\Delta x)^2 \rangle \langle (\Delta p)^2 \rangle^{1/2} = \frac{\hbar}{2}$$

وعليه ، إذا تضيق التوزيع في الفراغ الاحداثي ( a ) فإن التوزيع في الفراغ الاندفاعي ( b ) سيتسع .



ج) أقواس بواسون الكلاسيكية والكوانتية . من المعلوم في الميكانيكا الكلاسيكية أن حالة الجملة المادية تتعين بما يسمى بالمتغيرات الديناميكية لجملة موصوفة بتابع هاملتون  $H(x_i, p_i, t)$  ، تتعلق عادة بالاحداثيات  $x_i$  والاندفاعات  $p_i$  والزمن  $t$  أى  $f = f(x_i, p_i, t)$  . وعند ذلك يحقق كل من المتغيرات  $p_i, x_i$  معادلات هاملتون القانونية :

$$x_i = \frac{\partial H}{\partial p_i}, \quad p_i = -\frac{\partial H}{\partial x_i} \quad (6.34)$$

ويحسب تغير المقدار  $f$  بالنسبة للزمن استنادًا إلى (6.34) بالعلاقة التالية :

$$\frac{df}{dt} = \frac{\partial f}{\partial t} + \{H, f\}_{cl} \quad (6.35)$$

حيث تسمى العبارة

$$\{H, f\}_{cl} = \sum_i \left( \frac{\partial H}{\partial p_i} \frac{\partial f}{\partial x_i} - \frac{\partial H}{\partial x_i} \frac{\partial f}{\partial p_i} \right) \quad (6.36)$$

بأقواس بواسون الكلاسيكية . وإذا كان التابع  $f$  مستقلًا عن الزمن بصورة صريحة فإن  $\frac{\partial f}{\partial t} = 0$  ، عندئذ يتحدد تغير  $f$  تمامًا بواسطة أقواس بواسون ، أى أن :

$$\frac{df}{dt} = \{H, f\}_{cl} \quad (6.37)$$

وعندما تنعدم هذه الأخيرة ( $\{H, f\}_{cl} = 0$ ) يكون المقدار  $f$  مستقلًا عن الزمن ، ويعنى ذلك أنه سيكون مصونًا ، أى أن :

$$f = \text{const} \quad (6.38)$$

فمثلًا عندما تكون الطاقة مستقلة عن الزمن بصورة صريحة ، تكون  $\partial H / \partial t = 0$  ، وعليه فإن  $\{H, H\}_{cl} = 0$  ولذلك سيكون تابع هاملتون ( أى الطاقة فى حالتنا هذه ) مقدارًا ثابتًا ( $H = \text{const}$ ) . ولنلاحظ أيضًا أنه إذا بدلنا  $f$  فى (6.37) بالاحداثى  $x_i$  ثم بالاندفاع  $p_i$  فإننا نحصل على

المساواة (6.34) أو على معادلات هاملتون القانونية من جديد . لنعمم أقواس بواصون الكلاسيكية على الحالة الكوانتية ، ولذلك نلاحظ قبل كل شيء أن القيم الوسطى للمؤثرات فقط هي التي تملك معنى فيزيائياً في الميكانيكا الكوانتية ، بينما ذلك في الفقرة ( أ ) ، ولذلك سنحسب تغير هذه القيم بالنسبة للزمن . فالقيمة الوسطى لأي مؤثر  $f$  في الحالة العامة يمكن أن تحسب بالمعادلة (6.3) التي يدخل فيها الزمن كبارامتر فقط وباستنادنا إليها نستطيع حساب المشتقة الكلية ( $f$ ) بالنسبة للزمن كما يلي :

$$\begin{aligned} \frac{d\langle f \rangle}{dt} &= \frac{d}{dt} \int \psi^*(t) f \psi(t) d^3x = \int \psi^*(t) \frac{\partial f}{\partial t} \psi(t) d^3x + \\ &+ \int \frac{\partial \psi^*(t)}{\partial t} f \psi(t) d^3x + \int \psi^*(t) f \frac{\partial \psi(t)}{\partial t} d^3x \quad (6.39) \end{aligned}$$

وإذا عوضنا عن  $\frac{\partial \psi(t)}{\partial t}$  و  $\frac{\partial \psi^*(t)}{\partial t}$  بقيمتيهما على الترتيب من معادلة شرودينجر ، أى بالعبارتين  $\frac{i}{\hbar} (H\psi)^*$  و  $-\frac{i}{\hbar} H\psi$  يمكننا أن نكتب العلاقة (6.39) بالشكل التالي :

$$\begin{aligned} \frac{d\langle f \rangle}{dt} &= \int \psi^*(t) \frac{\partial f}{\partial t} \psi(t) d^3x + \\ &+ \frac{i}{\hbar} \int [(H\psi(t))^* (f\psi(t)) - \psi^*(t) f (H\psi(t))] d^3x \quad (6.40) \end{aligned}$$

حيث

$$H = \frac{p^2}{2m_0} + V \quad (6.41)$$

وبالاستفادة من الشرط الهيرميتي للمؤثر  $H$  ، انظر (6.10) ، نجد أن :

$$\int (H\psi(t))^* (f\psi(t)) d^3x = \int \psi^*(t) H f \psi(t) d^3x \quad (6.42)$$

وعليه نعيّن تغير ( $f$ ) بالنسبة للزمن من العلاقة التالية :

$$\begin{aligned} \frac{d\langle f \rangle}{dt} &= \left\langle \frac{\partial f}{\partial t} \right\rangle + \frac{i}{\hbar} \int \psi^*(t) (Hf - fH) \psi(t) d^3x = \\ &= \left\langle \frac{\partial f}{\partial t} \right\rangle + \langle \{H, f\}_{qu} \rangle \quad (6.43) \end{aligned}$$

حيث تمثل العبارة

$$\{H, f\}_{qu} = \frac{i}{\hbar} (Hf - fH) = \frac{i}{\hbar} [H, f] \quad (6.44)$$

تعميمًا لأقواس بواسون التقليدية (6.36) ، على الحالة الكوانتية ولهذا تسمى بأقواس بواسون الكوانتية ، أما المقدار المرتبط بها

$$[H, f] = Hf - fH$$

فيسمى بمبدل المؤثرين H و f ويكتب بصورة عامة للمؤثرين B, A

$$[A, B] = AB - BA$$

وعندما يكون  $\langle \frac{\partial f}{\partial t} \rangle = 0$  ( أى المؤثر f لا يحوى الزمن بصورة صريحة ) تصبح المعادلة (6.43) من الشكل التالى :

$$\frac{d\langle f \rangle}{dt} = \langle \{H, f\}_{qu} \rangle = \frac{i}{\hbar} \langle [H, f] \rangle \quad (6.45)$$

ومنه ينتج أن تغير  $\langle f \rangle$  بالنسبة للزمن يتحدد تمامًا بواسطة أقواس بواسون الكوانتية . وعند تبديل المؤثر f مع مؤثر هاملتون H فإن المقدار الفيزيائى  $\langle f \rangle$  المقابل للمؤثر f سيكون مصونا . ويمكن البرهان على ذلك انطلاقًا من (6.45) ، أى أن طاقة الجسم المتحرك فى الحقل الكمونى  $V(r)$  المستقل عن الزمن مصونة ، لأن العبارة

$$\{H, H\}_{qu} = \frac{i}{\hbar} (HH - HH)$$

تتعدم فى هذه الحالة ، ولهذا نجد طبقًا لـ (6.45) ، أن :

$$\langle H \rangle = \text{const}$$

لكن طبقًا لمعادلة شريدنجر يكون  $H\psi_n = E_n\psi_n$  ولهذا عندما

نستطيع أن نحسب  $\langle H \rangle$  بالشكل التالى :

$$\psi = \psi(t) = \sum_n C_n \psi_n(t)$$

$$\langle H \rangle = \int \psi^* H \psi d^3x = \sum_n |C_n|^2 E_n = E \quad (6.46)$$

ويعنى ذلك أن العلاقة (6.46) تعبر عن قانون مصونية الطاقة ( $E = \text{const}$ ) لجسيم يتحرك فى حقل قوى مستقل عن الزمن . ولنلاحظ أنه بمساواة  $H$  للصفر مع أى مؤثر تعنى وجود تناظر ما فى الجملة ، وللبرهان على ذلك ، نعتبر أن الطاقة الواقعة فى الحالة  $\psi$  طاقة تتعين بالعلاقة التالية :

$$E = \langle H \rangle = \int \psi^* H \psi d^3x$$

ولنعوض عن  $\psi$  و  $\psi^*$  بتابعين جديدين هما :

$$\psi' = F\psi , \quad \psi'^* = \psi^* F^+$$

حيث  $F$  - مؤثر ما و  $F^+$  - مؤثر هيرميت الاقترانى . ومنه نجد من أجل الحالة الموصوفة للتابع  $\psi'$  أن :

$$\begin{aligned} E' &= \int \psi'^* H \psi' d^3x / \int \psi'^* \psi' d^3x = \\ &= \int \psi^* F^+ H F \psi d^3x / \int \psi^* F^+ F \psi d^3x \end{aligned}$$

وستتطابق الطاقة  $E'$  مع  $E$  إذا تحقق ما يلى :

$$F^+ F = I , \quad F^+ H F = H \quad (6.47)$$

حيث  $I$  - مؤثر الوحدة . وبما أنه من المساواة الأولى ينتج أن المؤثر العكسى  $F^{-1}$  يساوى  $F^+$  لذا يمكن كتابة المساواة الثانية بالشكل التالى :

$$H F = F H \quad (6.48)$$

وعليه ، فإن تحويل التابع الموجى بواسطة المؤثر ( $F(F^+ = F^{-1})$  التبدلى مع الهاملتونيان  $H$  ، لا يغير من طاقة الجملة ، وهذا ما يدل على وجود التناظر فيها . وإذا كان التحويل  $F = F(\alpha)$  مستمراً وتابعاً لبارامتر

حقيقي  $\alpha$  ، بحيث يكون  $F(0) = I$  تحويلًا مطابقًا ، فإننا نجد عند القيم الصغيرة لـ  $\alpha$  أن :

$$\psi' = F\psi \approx \psi + \alpha \frac{i}{\hbar} f\psi$$

حيث  $f = (i/\hbar)H$  - مؤثر التحويل اللامتناهي في الصغر . وفي هذه الحالة يؤدي الشرطان (6.47) و (6.48) بتقريب خطي إلى  $\alpha$  إلى المساواتين التاليتين :

$$f = f^+ , Hf = fH$$

أي أن المؤثر  $f$  يجب أن يكون هرميتيًا وتبديليًا مع  $H$  . وكمثال على ذلك يمكن أن ندرس مؤثر الاندفاع  $p_x = -(\hbar) \partial / \partial x$  الذي يعطى الانتقال بامتداد المحور  $x$  أي أن :

$$\psi(x + \alpha) \approx \psi(x) + \alpha \frac{\partial \psi}{\partial x} = \psi(x) + \alpha \frac{i}{\hbar} p_x \psi$$

وبالطريقة نفسها وبدوران لامتناه في الصغر حول المحور  $z$  نحصل عندما  $\alpha \ll 1$  على أن :

$$\psi(\varphi + \alpha) \approx \psi(\varphi) + \alpha \frac{\partial \psi}{\partial \varphi} = \psi(\varphi) + \alpha \frac{i}{\hbar} L_z \psi$$

حيث  $L_z = -(\hbar) \partial / \partial \varphi$  مؤثر مسقط عزم الاندفاع  $L_z$  على المحور  $z$  . وعليه فإن الخاصة التبديلية للمؤثرين  $p_x$  أو  $L_z$  مع الهاملتونيان  $H$  تعنى تناظر الجملة بالنسبة للانتقال بامتداد المحور  $x$  أو الدوران حول المحور  $z$  على الترتيب ، بحيث يبقى الاندفاع  $p_x$  أو عزمه  $L_z$  طبقًا لـ (6.45) مصونا .

(د) نظرية هرينفست . لنبحث عن المعادلات الكوانتية المشابهة للمعادلات الكلاسيكية للحركة (6.34) ، ولهذا نستعمل أقواس بواسون الكوانتية . فإذا لاحظنا أن كلا من  $x$  و  $p_x$  لا يحوى الزمن بصورة صريحة نستطيع أن نستخدم (6.45) لحساب المشتقات مفترضين أن  $f = x$  و  $f = p_x$  على الترتيب ، أي أن :

و  $f = p_x$  على الترتيب ، أى أن :

$$\frac{d}{dt} \langle x \rangle = \langle \{H, x\}_{qu} \rangle = \frac{i}{\hbar} \langle Hx - xH \rangle \quad (6.49)$$

$$H = \frac{p_x^2}{2m_0} + V(x) \quad \text{حيث}$$

وإذا اعتبرنا  $x$  و  $V(x)$  مقدارين تبدليين فيمكن تحويل (6.49) إلى الشكل التالي :

$$\frac{d}{dt} \langle x \rangle = \frac{i}{2m_0\hbar} \langle p_x^2 x - x p_x^2 \rangle$$

وبإضافة العبارة  $(p_x x p_x - p_x x p_x)$  التى تساوى الصفر إلى طرفى المعادلة السابقة نجد أن :

$$\frac{d}{dt} \langle x \rangle = \frac{i}{2m_0\hbar} \langle p_x (p_x x - x p_x) + (p_x x - x p_x) p_x \rangle \quad (6.50)$$

وبالاستناد إلى (6.30a) نحصل على العلاقة التالية :

$$\frac{d}{dt} \langle x \rangle = \frac{\langle p_x \rangle}{m_0} \quad (6.51)$$

ولحساب تغير الاندفاع بالنسبة للزمن يجب أن نعوض عن المؤثر  $f$  فى (6.45) بمؤثر الاندفاع  $p_x$  ، وإذا لاحظنا أن  $p_x p_x^2 - p_x^2 p_x = 0$  فإننا سنجد أن :

$$\frac{d}{dt} \langle p_x \rangle = \langle \{H, p_x\}_{qu} \rangle = \frac{i}{\hbar} \langle V p_x - p_x V \rangle = - \left\langle \frac{\partial V}{\partial x} \right\rangle \quad (6.52)$$

ومنه طبقاً لـ (6.51) ، نستخلص أن

$$m_0 \frac{d^2}{dt^2} \langle x \rangle = - \left\langle \frac{\partial V}{\partial x} \right\rangle = \langle F(x) \rangle \quad (6.53)$$

ان المعادلتين (6.51) و (6.53) تعبران عن ما يسمى بنظرية هيرينغست التى تبين أنه لتعميم المعادلات الأساسية فى الميكانيكا التقليدية على الحالة الكوانتية يجب أن نعوض عن المقادير الموجودة فى العلاقات التقليدية المقابلة بالقيم الوسطى للمؤثرات .

٥) الانتقال من المعادلات الكوانتية للحركة إلى المعادلات الكلاسيكية . لنفانر المعادلة الكوانتية للحركة ( 6.53 ) مع نظيرتها التقليدية التالية :

$$m_0 \ddot{x} = F(x) \quad (6.54)$$

ونلاحظ أن المقدار  $\langle x \rangle$  يلعب دور الاحداثى الكلاسيكى فى الميكانيكا الكوانتية ، ولهذا يمكننا أن نعتبر أن المعادلة الكوانتية تتطابق مع الكلاسيكية ، إذا وضعنا عوضاً عن ( 6.53 ) ، المعادلة التالية :

$$m_0 \frac{d^2}{dt^2} \langle x \rangle = F(\langle x \rangle) \quad (6.55)$$

أى إذا بدلنا  $x$  فى العلاقة التقليدية التى تربط بين القوة والاحداثى بقيمته الوسطى  $\langle x \rangle$  ، إلا أن معادلة الحركة الكوانتية تحوى متوسط القوة  $F$  أيضاً أى  $\langle F(x) \rangle$  . ولهذا كى ننقل المعادلة الكوانتية إلى المعادلة التقليدية ينبغى إيجاد العلاقة بين  $\langle F(x) \rangle$  و  $F(\langle x \rangle)$  . ولذلك ، نكتب مؤثر القوة  $F(x)$  بالشكل التالى :

$$F(x) = F(\langle x \rangle + \Delta x) \quad (6.56)$$

حيث  $\Delta x = x - \langle x \rangle$  ، وبنشر  $F(x)$  بسلسلة تايلور فى جوار النقطة  $x = \langle x \rangle$  نحصل على :

$$F(x) = F(\langle x \rangle) + (\Delta x) F'(\langle x \rangle) + \frac{(\Delta x)^2}{2} F''(\langle x \rangle) + \dots \quad (6.57)$$

وإذا أخذنا متوسط هذه العلاقة طبقاً لـ ( 6.3 ) ولاحظنا أن  $\langle \Delta x \rangle = \langle x - \langle x \rangle \rangle = 0$  نجد أن :

$$\langle F(x) \rangle = F(\langle x \rangle) + \frac{\langle (\Delta x)^2 \rangle}{2} F''(\langle x \rangle) + \dots \quad (6.58)$$

ولهذا تتحول المعادلة الكوانتية ( 6.53 ) إلى الشكل التالى :

$$m_0 \frac{d^2}{dt^2} \langle x \rangle = F(\langle x \rangle) + \frac{\langle (\Delta x)^2 \rangle}{2} F''(\langle x \rangle) \quad (6.59)$$

حيث يعتبر المقدار  $\frac{\langle(\Delta x)^2\rangle}{2} F''(\langle x \rangle)$  تصحيحًا كوانتيًا داخلا على معادلة نيوتن . ومنه نستخلص أن معيار الانتقال من المعادلات الكوانتية إلى الكلاسيكية هو المتراحة التالية :

$$\langle(\Delta x)^2\rangle \ll 2 \left| \frac{F(\langle x \rangle)}{F''(\langle x \rangle)} \right| \quad (6.60)$$

بالرغم من أن تحقق هذا الشرط لا يعنى إمكانية تطبيق كل المفاهيم الكلاسيكية لوصف حركات الجسيمات الدقيقة فى الميكانيكا الكوانتية لأن متوسط الطاقة الحركية  $\langle T \rangle$  فى الميكانيكا الكوانتية يتعين بالعلاقة التالية :

$$\langle T(p_x) \rangle = \frac{\langle p_x^2 \rangle}{2m_0} = \frac{\langle p_x \rangle^2}{2m_0} + \frac{\langle (\Delta p_x)^2 \rangle}{2m_0} \quad (6.61)$$

حيث  $\langle \Delta p_x \rangle = 0$  ،  $\Delta p_x = p_x - \langle p_x \rangle$  فيما تمثل الطاقة الحركية الكلاسيكية بالمقدار :

$$T(\langle p_x \rangle) = \frac{\langle p_x \rangle^2}{2m_0} \quad (6.62)$$

ومن هنا ينتج شرط الانتقال من العبارة الكوانتية للطاقة الحركية ( 6.61 ) إلى العبارة الكلاسيكية ( 6.62 ) ، أى أن :

$$\langle(\Delta p_x)^2\rangle \ll \langle p_x \rangle^2 = 2m_0 T(\langle p_x \rangle) \quad (6.63)$$

وإذا ضربنا المتراحة ( 6.63 ) بـ ( 6.60 ) نحصل على الشرط العام لامكانية تطبيق التقريب الكلاسيكى فى العالم المجهرى ( عالم الجسيمات الدقيقة ) ، أى أن :

$$\langle(\Delta x)^2\rangle \langle(\Delta p_x)^2\rangle \ll 4m_0 T(\langle p_x \rangle) \left| \frac{F(\langle x \rangle)}{F''(\langle x \rangle)} \right| \quad (6.64)$$

وإذا أضفنا إلى ذلك علاقات الشك ( 6.30 ) نستطيع كتابة الشرط الأخير بالشكل النهائى التالى :

$$m_0 T(\langle p_x \rangle) \left| \frac{F(\langle x \rangle)}{F''(\langle x \rangle)} \right| \gg \frac{\hbar^2}{16} \quad (6.65)$$



## البند ٧ - الهزاز التوافقي الخطى

تعتبر مسألة الهزاز ( النواس ) التوافقي أحادى البعد من أهم مسائل الفيزياء النظرية ، لأنها تستخدم لبناء أبسط نظرية للاهتزاز تلك التى تملك أهمية كبرى فى مختلف فروع الفيزياء ( فى الميكانيكا والالكتروديناميكا الكلاسيكية والالكترونيات والضوء والفيزياء الذرية وغيرها ) . وقد أختبرت صحة النظريات الجديدة التى ظهرت مؤخرًا فى الفيزياء الذرية على مجموعة مسائل بسيطة من بينها بناء نظرية الهزاز التوافقي .

غالبًا ما يبدو جائزًا تحويل دراسة حركة جمل معقدة إلى دراسة مجموعة اهتزازات عادية مكافئة لذبذبات الهزازات التوافقية . ويعتبر بناء نظرية الهزاز التوافقي أمرًا مهمًا بالنسبة لنا أيضًا لأسباب منهجية ، إذ يمكن حل هذه المسألة بصورة دقيقة من شرح تطبيق معادلة شرودينجر فى دراسة مسائل معينة بواسطة مثال بسيط . وتلعب مسألة الهزاز التوافقي دورًا هامًا عند إنشاء نظرية الحقل الكوانتية ( التكميم الثانوى ) وعند دراسة ما يسمى بالطاقة الصفريّة للتحليل الكهرطيسى . وقد لاقت نظرية الهزاز التوافقي تطبيقًا ملموسًا لها فى نظرية الإشعاع المتوازن ، وكذلك عند بناء نظرية الأطياف ونظرية السعة الحرارية للجزيئات ثنائية الذرة .

أ ( الهزاز التوافقي فى النظرية الكلاسيكية بتقريب *W.K.B.* لندرس أولاً النظرية الكلاسيكية للهزاز التوافقي الخطى\* ، ولهذا نفترض أن نقطة مادية كتلتها  $m_0$  تخضع لتأثير القوة المرنة التالية :

$$F = - kx \quad (7.1)$$

\* يندرس فى هذا البند حالة الحركة أحادية البعد فقط وسنكتب للاختصار بدلا من عبارة « الهزاز التوافقي الخطى » ، عبارة « الهزاز التوافقي » .

حيث  $k$  معامل المرونة ، وعليه نكتب المعادلة الكلاسيكية لحركة الهزاز التوافقي بالشكل التالي :

$$m_0 \ddot{x} = -kx \quad (7.2)$$

وهى التى تصف أبسط عملية اهتزازية . إن حل هذه المعادلة التفاضلية هو من النوع :

$$x = a \cos \omega t \quad (7.3)$$

حيث  $\omega = \frac{2\pi}{T} = \sqrt{\frac{k}{m_0}}$  التردد الدائرى و  $a$  - سعة الاهتزاز ، ونرى من (7.3) أن التسارع

$$\omega = \ddot{x} = -a\omega^2 \cos \omega t \quad (7.4)$$

لا يساوى الصفر ، وبالتالي يجب أن يرافق اهتزاز الجسم المشحون إشعاع بحسب شدته (متوسط الطاقة المشعة فى الثانية الواحدة) طبقاً لقوانين الالكتروديناميكا الكلاسيكية وباعتبار (7.4) ، وبالعلاقة التالية :

$$W^{cl} = \frac{2e^2}{3c^3} \ddot{x}^2 = \frac{e^2 a^2 \omega^4}{3c^3} \quad (7.5)$$

لقد أخذنا بعين الاعتبار عند استنتاج (7.5) أن متوسط  $\cos^2 \omega t$  هو :

$$\frac{1}{T} \int_0^T \cos^2 \omega t dt = \frac{1}{2} \quad (7.6)$$

ولنعبر الآن عن شدة الإشعاع  $W^{cl}$  بدلالة الطاقة الكلية  $E = T + V$  للهزاز التوافقي وذلك باستخدام العبارتين المعروفتين للطاقة الكامنة

$$V(x) = - \int_0^x F(x) dx = \frac{m_0 \omega^2 x^2}{2} = \frac{m_0 \omega^2 a^2}{2} \cos^2 \omega t \quad (7.7)$$

والطاقة الحركية :

$$T = \frac{m_0 \dot{x}^2}{2} = \frac{m_0 \omega^2 a^2}{2} \sin^2 \omega t \quad (7.8)$$

وعليه نجد أن :

$$E = V(x) + T = \frac{m_0 \omega^2 a^2}{2} = \text{const} \quad (7.9)$$

وبحذف  $a^2$  من (7.5) وباستخدام (6.9) نجد أن :

$$W_{cl} = \frac{2e^2 \omega^2 E}{3m_0 c^3} \quad (7.10)$$

بعندئذ نعين شدة الإشعاع وتردده بواسطة النظرية الكلاسيكية ، وبالإضافة إلى ذلك نرى أن تردد هذا الإشعاع يتطابق مع التردد الميكانيكي للهاز التوافقي ، أما طاقة الهاز التوافقي فيمكن أن تأخذ أى قيمة مستمرة . غير أنه ، طبقاً للميكانيكا الكوانتية ، يجب أن تكون سويات الطاقة للهاز التوافقي متقطعة . ويمكن حساب أبسط طيف للطاقة بطريقة *W.K.B.* بواسطة قاعدة بور - زومرفيلد للتكميم (5.39) :

$$\oint p_x dx = 2\pi\hbar (n + 1/2) \quad (7.11)$$

حيث يساوى العدد الكوانتى ،  $n = 0, 1, 2, 3, \dots$  . أما الاندفاع  $p_x$  فيساوى

$$p_x = \sqrt{2m_0(E - V(x))} \quad (7.12)$$

وبما أن  $V(x) = m_0 \omega^2 x^2 / 2$  لذا نحسب التكامل (7.11) كما يلي :

$$\oint p_x dx = 2 \int_{x_1}^{x_2} \sqrt{2m_0 E - m_0^2 \omega^2 x^2} dx = \frac{2\pi E}{\omega_0}$$

حيث نحسب  $x_1$  و  $x_2$  من العلاقة :

$$V(x_1) = V(x_2) = E$$

وبتبديل هذا التكامل فى شرط التكميم (7.11) نجد أن طيف الطاقة للهاز يكتب بالشكل التالى :

$$E_n = \hbar\omega (n + 1/2) \quad (7.13)$$

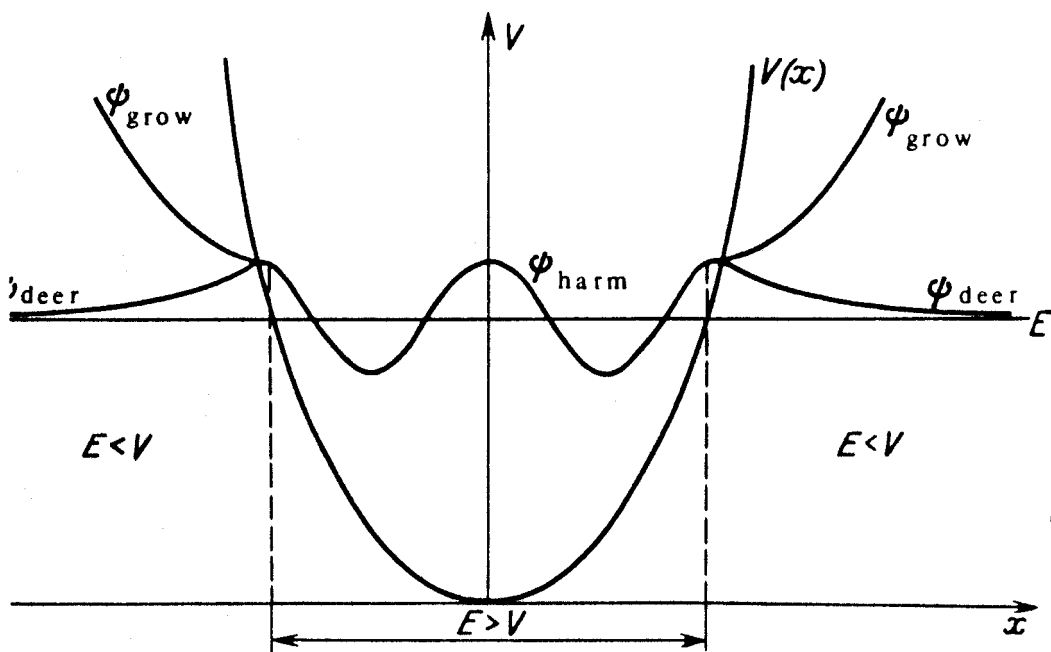
ونلاحظ أن النتيجة التى حصلنا عليها دقيقة تماماً بالرغم من أننا استخدمنا

علاقة التقريب (7.11) لاستنتاجها . أما عند استعمال مبدأ تكميم بور فنحصل على نتيجة غير دقيقة تختلف عن (7.13) بالحد  $1/2$  .

( ب ) التوابع الخاصة والقيم الخاصة للطاقة . لتحديد طبيعة التابع الموجي  $\psi$  في مسألة الهزاز التوافقي نرسم قبل كل شيء ، الخط البياني الذي يبين تبعية الطاقة الكامنة للمتغير  $x$  ( انظر الشكل ٧ - ١ ) من

$$V = \frac{m_0 \omega^2 x^2}{2}$$

ويبدو من هذا الشكل أن الحل يجب أن يكون تابعاً لطبيعته توافقية ضمن الحفرة الكمونية حيث تكون طاقة الهزاز التوافقي  $E$  أكبر من  $V$  ( $E > V$ ) ، أما في مجال الحفرة ( $E < V$ ) فيتألف الحل من فرعين : متناقص ومتزايد ، انظر الشكل ٧ - ١ ، ومن الواضح أن حل المسألة سيؤول إلى



الشكل ٧ - ١ . التابع الموجي للهزاز التوافقي عند قيمة اختيارية للطاقة .

إيجاد الشروط التي من أجلها ينعدم الحل المتزايد ، وهذا غير ممكن ، كما رأينا عند دراسة الحفرة الكمونية المستطيلة ذات العمق اللانهائي ( انظر البند ٤ ) عندما تأخذ الطاقة قيمة متقطعة ، سنحسبها الآن . بما أن الطاقة الكامنة للهزاز التوافقي تتعلق بالاحداثيات فقط ، لذا يمكن كتابة معادلة شرودينجر بالشكل التالي :

$$\frac{d^2\psi}{dx^2} + \frac{2m_0}{\hbar^2} \left( E - \frac{m_0\omega^2 x^2}{2} \right) \psi = 0 \quad (7.14)$$

فإذا فرضنا أن :

$$\alpha = \frac{2m_0E}{\hbar^2}, \quad \beta = \frac{1}{x_0^2} = \frac{m_0\omega}{\hbar}, \quad \frac{\alpha}{\beta} = \lambda = \frac{2E}{\hbar\omega}$$

ثم أدخلنا متغيرًا جديدًا :

$$\xi = x \sqrt{\beta} = \frac{x}{x_0} \quad (7.15)$$

نحصل على المعادلة التالية :

$$\psi'' + (\lambda - \xi^2) \psi = 0 \quad (7.16)$$

حيث

$$\psi'' = \frac{d^2\psi}{d\xi^2} \quad (7.17)$$

ولنبحث أولاً عن الطبيعة التقريبية للتابع الموجي عندما  $\xi \rightarrow \pm \infty$  ، إذ يمكن إهمال المقدار الثابت  $\lambda$  بالمقارنة مع  $\xi^2$  وعليه يكون لدينا :

$$\psi'' - \xi^2 \psi = 0 \quad (7.18)$$

ونجد أن حل هذه المعادلة يكتب بالشكل التالي :

$$\psi_\infty = e^{e\xi^2} \quad (7.19)$$

وإذا اعتبرنا أن

$$\psi'' = (4e^2\xi^2 + 2e) e^{e\xi^2} \approx 4e^2\xi^2 e^{e\xi^2}$$

نجد أن :

$$\varepsilon = \pm 1/2 \quad (7.20)$$

وبالتالى نستخلص أن :

$$\psi_{\infty} = C_1 e^{-1/2 \xi^2} + C_2 e^{1/2 \xi^2} \quad (7.21)$$

وبما أن التابع الموجى يجب أن يكون محدودًا فى اللانهاية لذا يمكن اعتبار المعامل  $C_2$  مساويًا للصفر ، أما المعامل  $C_1$  فيمكن اعتباره مساويًا الواحد لأن التابع الموجى لا يعد معيارًا ، وهكذا يمكننا أن نعبر عن الطبيعة التقريبية للتابع الموجى  $\psi$  كما يلى :

$$\psi_{\infty} = e^{-1/2 \xi^2} \quad (7.21a)$$

أما الحل العام من أجل التابع الموجى فسنبحث عنه بالشكل التالى\* :

$$\psi = \psi_{\infty} u = e^{-1/2 \xi^2} u \quad (7.22)$$

إن هذا الحل يتلاءم مع طبيعة التابع فى اللانهاية ، فإذا بدلنا العبارة الأخيرة فى (7.16) واعتبرنا أن :

$$(e^{-1/2 \xi^2} u)'' = [u'' - 2\xi u' + (\xi^2 - 1)u] e^{-1/2 \xi^2}$$

فإننا نجد لتعيين  $u$  المعادلة التفاضلية التالية :

$$u'' - 2\xi u' + (\lambda - 1)u = 0 \quad (7.23)$$

التي سنبحث عن حلها بشكل سلسلة :

$$u = \sum_{\kappa=0}^{\infty} b_{\kappa} \xi^{\kappa} \quad (7.24)$$

وإذا بدلنا عبارة  $u$  الأخيرة فى المعادلة (7.23) نجد أن :

$$\sum_{\kappa=0}^{\infty} b_{\kappa} [\kappa(\kappa - 1) \xi^{\kappa-2} - (2\kappa + 1 - \lambda) \xi^{\kappa}] = 0$$

---

\* نلاحظ أن التحويل (7.22) عند أية قيمة اختيارية للتابع  $u(x)$  لا يمكن أن يستثنى أى حلول ولكى لا تعود المركبة الأسية المتزايدة للظهور مرة أخرى يكفي أن نضع شروطًا أخرى على التابع  $u(x)$  ، أى أن الحل  $u(x)$  على شكل كثير حدود من الدرجة  $n$  .

ولنغير وسيط الجمع بحيث نجمع الحدود التي لها الأس نفسه فنجد أن :

$$\sum_{\kappa=0}^{\infty} \xi^{\kappa} [b_{\kappa+2}(\kappa+2)(\kappa+1) - b_{\kappa}(2\kappa+1-\lambda)] = 0$$

ومن هنا نحصل ، بإعدام أمثال الحدود  $\xi^{\kappa}$  ، على العلاقة التكرارية للعوامل  $b_{\kappa}$  أى أن :

$$b_{\kappa+2} = b_{\kappa} \frac{(2\kappa+1-\lambda)}{(\kappa+2)(\kappa+1)} \quad (7.25)$$

إذ تربط هذه العلاقة العوامل  $b_{\kappa}$  مع  $b_{\kappa+2}$  وبالطريقة نفسها يمكن حساب العلاقة التي تربط ما بين العوامل  $b_{\kappa+1}$  و  $b_{\kappa+3}$  وهلمجرى . وبهذا نحصل على حلين مستقلين لتعيين السلسلة (7.24) حيث يربط الحل المستقل الأول العوامل ذات الأس الزوجى ل  $\xi$  ، بينما يربط الحل الآخر ، على العكس من ذلك ، العوامل ذات الأس الفردى . ونرى من العلاقة (7.25) أنه يمكن قطع أحد الحلين ( أى جعله كثير حدود ) عند حد ما  $n$  ( حيث  $n$  - عدد صحيح موجب قد يكون الصفر أيضاً ) . ولهذا يجب أن نفترض أن :

$$\lambda = 2n + 1 \quad (7.26)$$

وباعتبار أن  $b_n \neq 0$  وأن

$$b_{n+2} = b_{n+4} = b_{n+6} = \dots = 0 \quad (7.27)$$

ومن (7.26) و (7.14) نكتب علاقة الطيف المتقطع لقيم الطاقة الممكنة بالشكل التالى :

$$E_n = \hbar\omega (n + 1/2) \quad (7.28)$$

حيث  $n = 0, 1, 2, 3, \dots$

ونرى ، خلافاً لنظرية بور ، أن طاقة الصفر ( $n = 0$ ) لا تنعدم وإنما

تساوى :

$$E_0 = 1/2 \hbar\omega \quad (7.28a)$$

ولذلك فإن ظهور طاقة الصفر مرتبط مع علاقة اللا تعيين (الشك) أى مع الخواص الموجية للجسيمات ، وهى تؤثر على تردد الإشعاع . ولا نستطيع طبقاً للشرط (7.26) قطع السلسلة الثانية ذات العوامل  $b_{n+1}$  و  $b_{n+3}$  التى تشكل الحل الثانى المستقل ؛ لأن نسبة كل عاملين متتاليين فى هذه السلسلة ، طبقاً لـ (7.25) عندما  $s \rightarrow \infty$  تنتهى إلى الحد التالى :

$$\frac{b_{n+3+2s}}{b_{n+1+2s}} = \frac{1}{s} \quad (7.29)$$

وهى كالتابع  $e^{\xi}$  المنشور فى السلسلة ، أى أن

$$e^{\xi} = \sum_{s=0, 1, \dots} \frac{1}{s!} \xi^{2s} \quad (7.29a)$$

ولهذا نرى أن  $u \rightarrow e^{\xi}$  عندما  $\xi \rightarrow \pm \infty$  أى أننا نحصل من جديد على حل متباعد  $e^{1/2\xi} - \psi_{\infty}$  يحبذ إهماله\* . ويجب أن يمثل الحل الأول ، أنظر (7.24) ، كثير حدود من الحدود  $n$  . وإذا فرضنا أن معامل درجة أعلى عند  $k_{\max} = n$  يساوى\*\* .

$$b_n = 2^n \quad (7.30)$$

نجد أن بقية المعاملات ستكون كما يلى :

$$b_{n-2} = -2^{n-2} \frac{n(n-1)}{1!}$$

$$b_{n-4} = 2^{n-4} \frac{n(n-1)(n-2)(n-3)}{2!} \dots \quad (7.31)$$

وإذا اقتصرنا دراستنا على الحدود الأولى  $n$  من السلسلة الأسية للتابع  $u$  فإننا بذلك نحصل على ما يسمى بكثير حدود هرميت الذى يكتب بالشكل التالى :

\* إذا لم نضع على الوسيط  $\lambda$  الشرط (7.26) فإن كلا الحلين سيكونان متباعدين  $\xi \rightarrow \pm \infty$  .  
\*\* نلاحظ أن هذا المعامل يبقى اختياريًا لأننا لم نعين بعد ثابت معايرة التابع الموجى .



$$u = H_n(\xi) = (2\xi)^n - \frac{n(n-1)}{1!} (2\xi)^{n-2} + \frac{n(n-1)(n-2)(n-3)}{2!} (2\xi)^{n-4} + \dots + \begin{cases} b_1 \xi & \text{عندما يكون } n \text{ عدداً فردياً} \\ b_0 & \text{عندما يكون } n \text{ عدداً زوجياً} \end{cases} \quad (7.32)$$

ومنه نجد أن :

$$H_0(\xi) = 1, \quad H_1(\xi) = 2\xi, \quad H_2(\xi) = 4\xi^2 - 2 \\ H_3(\xi) = 8\xi^3 - 12\xi \quad (7.33)$$

كما يمكن كتابة كثير حدود هرميت بشكله المغلق :

$$H_n(\xi) = (-1)^n e^{\xi^2} \frac{d^n e^{-\xi^2}}{d\xi^n} \quad (7.34)$$

ملاحظة : ليرهان ذلك ندخل التابع  $v = e^{-\xi^2}$  الذي يحقق المعادلة

$$v' + 2\xi v = 0$$

فإذا اشتقينا المعادلة الأخيرة (  $n + 1$  ) مرة باستخدام صيغة لينيزر نحصل على :

$$(yz)^{(n)} = y^{(n)}z + ny^{(n-1)}z' + \frac{n(n-1)}{2!} y^{(n-2)}z'' + \dots \quad (7.34a)$$

وعليه نجد أن

$$v^{(n+2)} + 2\xi v^{(n+1)} + 2(n+1)v^{(n)} = 0$$

فإذا فرضنا أن

$$v^{(n)} = e^{-\xi^2} w$$

نرى أن التابع  $w$  يحقق المعادلة ( 7.35 ) أى يتناسب طرذاً مع كثير حدود هرميت :

$$w = e^{\xi^2} \frac{d^n e^{-\xi^2}}{d\xi^n} = A_n H_n$$

حيث يمكن حساب  $A_n$  من تساوى أمثال  $\xi^n$  فى الطرفين ونتيجة ذلك نرى أن  $A_n = (-1)^n$  وعليه

نحصل على العلاقة ( 7.34 ) .

ونرى من ( 7.32 ) أن  $H_n(\xi)$  يحقق المعادلة ( 7.23 ) وذلك عندما يكون

فى الأخيرة  $\lambda = 2n + 1$  ، أى أن :

$$H_n'' - 2\xi H_n' + 2nH_n = 0 \quad (7.35)$$

أما أن حل معادلة شرودينجر للهزاز التوافقي ، طبقاً لـ (7.22) و (7.32) ، يكتب بالشكل التالي :

$$\psi_n = C_n e^{-1/2 \xi^2} H_n(\xi) \quad (7.36)$$

بالإضافة إلى أن المتغير  $\xi$  مرتبط بالاحداثي  $x$  بالعلاقة (7.15) . كما يمكن حساب  $C_n$  من شرط المعايرة ، ولهذا ندرس التكامل التالي :

$$I_{nn'} = \int_{-\infty}^{\infty} \psi_n \psi_{n'} dx = x_0 C_n C_{n'} \int_{-\infty}^{\infty} e^{-\xi^2} H_n(\xi) H_{n'}(\xi) d\xi \quad (7.37)$$

علماً أن  $n \geq n'$  ، وإذا أدخلنا هنا كثير الحدود  $H_n(\xi)$  بالشكل (7.34) نحصل بعد  $n$  مرة من المكاملة بالتجزئة على ما يلي :

$$I_{nn'} = (-1)^n x_0 C_n C_{n'} \int_{-\infty}^{\infty} H_{n'} \frac{d^n e^{-\xi^2}}{d\xi^n} d\xi = x_0 C_n C_{n'} \int_{-\infty}^{\infty} e^{-\xi^2} \frac{d^n H_{n'}}{d\xi^n} d\xi \quad (7.38)$$

وإذا كانت  $n > n'$  فإن تفاضل التابع ( كثير حدود هرميت  $(H_n)$  ) ،  $n$  مرة يؤول إلى الصفر أي  $I_{nn'} = 0$  وهكذا نكون قد برهننا تعامد التابعين  $\psi_{n'}$  ،  $\psi_n$  عندما  $n \neq n'$  أما عندما  $n = n'$  فنجد ، طبقاً لـ (7.32) ، أن :

$$\frac{d^n e^{-\xi^2}}{d\xi^n} H_n(\xi) = 2^n n! \int_{-\infty}^{\infty} e^{-\xi^2} d\xi = \sqrt{\pi} \quad (7.39)$$

ثم وعندما تكون التوابع  $\psi_n$  معايرة على الواحد ( $I_{nn} = 1$ ) نجد أن :

$$C_n = \frac{1}{\sqrt{2^n n!} \sqrt{\pi} x_0} \quad (7.40)$$

وعليه فإن التوابع الموجية

$$\psi_n(x) = \frac{1}{\sqrt{2^n n!} \sqrt{\pi} x_0} e^{-1/2 \left(\frac{x}{x_0}\right)^2} H_n\left(\frac{x}{x_0}\right) \quad (7.41)$$

ستكون متعامدة ومعايرة ، أي أن :

$$\int_{-\infty}^{\infty} \psi_{n'}^* \psi_n dx = \delta_{n'n}$$

ملاحظة : يلاحظ من ( 7.32 ) أن العدد الكوانتي  $n$  يميز زوجية التابع الموجي بالإضافة إلى أنه يميز الطاقة ، فعندما يكون  $n$  زوجياً فإن كثير حدود هرميت  $H_n$  ومعه التابع الموجي  $\psi_n$  ، يكونان زوجيين ، أى لا تتغير إشارتهما عند تبديل  $x$  بـ  $(-x)$  أى أن

$$\psi_n(-x) = \psi_n(x) \quad (7.42)$$

أما عندما يكون  $n$  فردياً فإن التابع  $\psi_n(x)$  يكون فردياً أيضاً:

$$\psi_n(-x) = -\psi_n(x) \quad (7.43)$$

ونلاحظ أنه إذا لم تحقق  $\lambda$  ، فى المعادلة ( 7.16 ) الشرط ( 7.26 ) فلا يمكن التعبير عن الحل بكثير حدود هرميت وعندئذ نفترض  $z = \sqrt{2}\xi$  و  $\lambda = 2\nu + 1$  فنحصل على حل المعادلة ( 7.16 ) المستقل خطياً بالشكل التالى :

$$\psi = C_1 D_\nu(z) + C_2 D_\nu(-z)$$

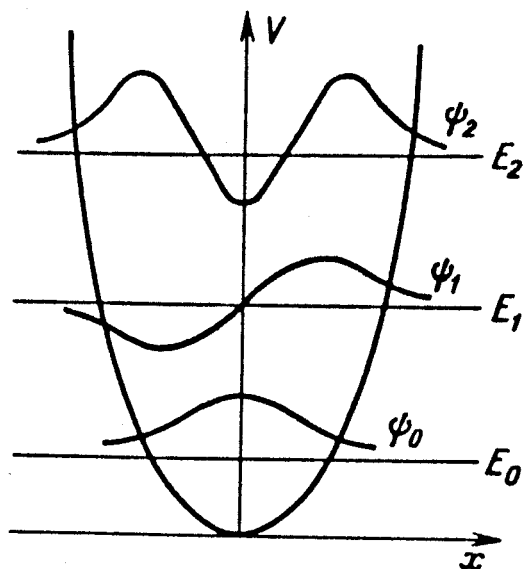
والذى يكتب بواسطة التوابع الأسطوانية المكافئة ( توابع ويبير - هرميت  $D_\nu(z)$  و  $D_\nu(-z)$  . بحيث  $\nu = n = 0, 1, 2, \dots$  والتوابع  $D_\nu(\pm z)$  تكتب بواسطة كثير حدود هرميت  $H_n(z/\sqrt{2})$  .  
نحصل من جديد على الحل ( 7.41 ) .

أما فى مجال الأعداد الكوانتية الصغيرة ، مثلا عندما  $n = 0, 1, 2$  ، فنجد

أن

$$\begin{aligned} E_0 &= \frac{1}{2} \hbar \omega, & \psi_0 &= C_0 e^{-1/2 \xi^2} \\ E_1 &= \frac{3}{2} \hbar \omega, & \psi_1 &= C_1 \cdot 2\xi e^{-1/2 \xi^2} \\ E_2 &= \frac{5}{2} \hbar \omega, & \psi_2 &= C_2 \cdot (4\xi^2 - 2) e^{-1/2 \xi^2} \end{aligned} \quad (7.44)$$

وقد مثلنا بيانا على الشكل ٧ - ٢ كل من القيم الخاصة والتوابع الخاصة للهزاز ، ونرى أن هذا الشكل يشبه المنحنيات التى حصلنا عليها من أجل الحفرة الكمونية ( انظر الشكل ٤ - ٣ ) ويقابل التابع  $\psi_0$  القيمة الأساسية ، أما  $\psi_1$  فيقابل الأولى ( التوافقى الأول ) وأما  $\psi_2$  فيقابل الثانية وهكذا .  
دواليك .



الشكل ٧ - ٢ . الخط البياني للقيم الخاصة والتوابع الخاصة للهِزاز ( عندما  $n = 0, 1, 2$  ) .

ج) الحالات المنسجمة . لقد رأينا سابقاً أن أصغر طاقة للهِزاز التوافقي تختلف عن الصفر ، بينما تساوى الصفر طبقاً للنظرية الكلاسيكية ونظرية بور . ولذلك علينا أن نبرهن الآن أن السوية الأساسية لطاقة الهزاز  $E_0 = \frac{\hbar\omega}{2}$  ترتبط بعلاقة اللاتعيين ، أى أن :

$$\langle (\Delta x)^2 \rangle \langle (\Delta p)^2 \rangle \geq \frac{\hbar^2}{4} \quad (7.45)$$

ويمكن أثناء دراستنا للهِزاز التوافقي فى الحالة المستقرة تبديل  $\langle (\Delta x)^2 \rangle$  بـ  $\langle x^2 \rangle$  و  $\langle (\Delta p)^2 \rangle$  بـ  $\langle p^2 \rangle$  لأن التوابع الموجية  $\psi_n$  حقيقية وتكون إما زوجية وإما فردية ، وبسبب فردية التابعين  $-i\hbar\psi_n^* d\psi_n/dx$  ،  $\psi_n^* x \psi_n$  نجد أن

$$\langle x \rangle = \int \psi_n^* x \psi_n dx = 0, \quad \langle p \rangle = \int \psi_n^* \left( \frac{\hbar}{i} \frac{d\psi_n}{dx} \right) dx = 0$$

ومنه يكون لدينا :

$$\langle (\Delta x)^2 \rangle = \langle x^2 \rangle - \langle x \rangle^2 = \langle x^2 \rangle$$

$$\langle (\Delta p)^2 \rangle = \langle p^2 \rangle - \langle p \rangle^2 = \langle p^2 \rangle$$

وإذا عوضنا قيمة  $\langle p^2 \rangle$  من (7.45) في عبارة الطاقة الكلية

$$E = \langle H \rangle = \frac{\langle p^2 \rangle}{2m_0} + \frac{m_0 \omega^2 \langle x^2 \rangle}{2}$$

سنحصل بذلك على أن :

$$E \geq \frac{\hbar^2}{8m_0 \langle x^2 \rangle} + \frac{m_0 \omega^2 \langle x^2 \rangle}{2}$$

وإذا اعتبرنا أن مشتقة  $E$  بالنسبة  $\langle x^2 \rangle$  تساوى الصفر نجد أن أصغر قيمة

$E$  تساوى :

$$E \geq E_{\min} = \frac{\hbar \omega}{2} \quad \text{و} \quad \langle x^2 \rangle = \frac{1}{2} x_0^2$$

وعليه فإن قيمة الطاقة  $E_{\min}$  تتطابق مع القيمة  $E_0$  التي حصلنا عليها بالنظرية الموجية ، أنظر (7.28a) ، ومنه نستخلص أن تواجد الطاقة الصفرية المحدودة للهزاز التوافقي هو أحد مظاهر الخواص الموجية للجسيمات ، وبهذا الصدد فقد كانت للتأكيدات التجريبية بوجود الاهتزازات الصفرية أهمية كبرى في الميكانيكا الكوانتية . وقد اكتشفت الطاقة الصفرية  $E_0$  لأول مرة في تجارب رونتجن أثناء دراسته لتبديد الأشعة على البلورات في درجات الحرارة المنخفضة . فعند غياب الاهتزاز في البلورة في هذه الدرجات ( $E_0 = 0$ ) ، كما ينتج مثلا من نظرية بور ، لن يكون هناك أى تأثير متبادل وبالتالي أى تبديد للأشعة على الشبكة البلورية ، وبالعكس إذا اختلفت أصغر طاقة عن الصفر  $E_0 \neq 0$  فيجب أن يتواجد مقطع عرضي فعال تنتهي قيمة الطاقة فيه أثناء التبديد في درجات الحرارة المنخفضة ، إلى قيمة حدية لا تساوى الصفر . ولقد برهنت التجارب صحة هذه الفرضية ، أى أنها أكدت صحة نتائج نظرية شرودينجر الموجية . والهام في الأمر أنه

في الحالة الرئيسية للهزاز ذي الطاقة الصغرى  $E_0 = \hbar\omega/2$  نجد أنه إذا كان  $\langle x^2 \rangle = \frac{x_0^2}{2}$  فإنه سيكون لدينا :  $\langle p^2 \rangle = 2m_0 E_0 - m_0^2 \omega^2 \langle x^2 \rangle = \frac{m_0 \hbar \omega}{2}$  ، أي أن جداء اللاتعيين (7.45) يأخذ قيمته الصغرى ، أي أن :

$$\langle (\Delta x)^2 \rangle \langle (\Delta p)^2 \rangle = \frac{\hbar^2}{4} \quad (7.46)$$

أما التوزيع بالنسبة للاحداثيات في هذه الحالة  $n = 0$  فيكون كما يتبين من (7.44) على شكل توزع غاوس ، أي أن :

$$|\psi_0|^2 = \frac{1}{\sqrt{\pi} x_0} e^{-\left(\frac{x}{x_0}\right)^2}$$

ولننسى الآن تابعاً موجياً أعم يصف حالة الجسيم ، بحيث يأخذ جداء اللاتعيين من أجل  $x$  و  $p$  قيمته الصغرى (7.46) . ولذلك نأخذ عوضاً عن التابع  $\psi_0$  التابع  $\psi_\alpha$  الذي حصلنا عليه من  $\psi_0$  باستبدال المتغير  $x$  إلى  $x - x_0 \alpha \sqrt{2}$  ، حيث  $\alpha$  عدد عقدي اختياري ، وبالنتيجة نحصل على التابع المعايير على الواحد بالشكل التالي :

$$\psi_\alpha = \frac{1}{\sqrt{\sqrt{\pi} x_0}} e^{i/2 (\alpha^2 - \alpha \alpha^*)} e^{-1/2 \left( \frac{x}{x_0} - \sqrt{2} \alpha \right)^2} \quad (7.47)$$

وعندئذ يأخذ التوزيع بالنسبة للاحداثيات شكل توزع غاوس أيضاً ، أي أن :

$$|\psi_\alpha|^2 = \frac{1}{\sqrt{\pi} x_0} e^{-\left( \frac{x}{x_0} - \sqrt{2} \operatorname{Re} \alpha \right)^2}$$

حيث  $\operatorname{Re} \alpha$  القسم الحقيقي من  $\alpha = \operatorname{Re} \alpha + i \operatorname{Im} \alpha$  وينتج من المساواة الأخيرة أن الحالة (7.47) تقودنا إلى القيمة الوسطى :

$$\langle x \rangle = x_0 \sqrt{2} \operatorname{Re} \alpha$$

التي تختلف عن الصفر في الحالة العامة . أما من أجل القيمة الوسطى لـ  $p$  في الحالة (7.47) فنحصل على :

$$\langle p \rangle = \int \psi_\alpha^* \frac{i\hbar}{x_0} \left( \frac{x}{x_0} - \sqrt{2} \alpha \right) \psi_\alpha dx = \sqrt{2} \frac{\hbar}{x_0} \operatorname{Im} \alpha$$

ومن السهل التأكد من أن تشتت الاحداثى  $x$  فى الحالة  $\psi_\alpha$  يساوى إلى :

$$\langle (\Delta x)^2 \rangle = \langle x^2 \rangle - \langle x \rangle^2 = \frac{1}{2} x_0^2$$

أى أنه يتطابق مع نفس قيمته فى الحالة  $\psi_0$  أما متوسط  $p^2$  فنحسبه بالشكل التالى :

$$\begin{aligned} \langle p^2 \rangle &= \int \psi_\alpha^* \left( -\hbar^2 \frac{\partial^2}{\partial x^2} \right) \psi_\alpha dx = \\ &= \int \psi_\alpha^* \frac{2\hbar^2}{x_0^2} \left| \frac{x}{x_0 \sqrt{2}} - \text{Re } \alpha - i \text{Im } \alpha \right|^2 \psi_\alpha dx = \frac{\hbar^2}{x_0^2} \langle (\Delta x)^2 \rangle + \langle p \rangle^2 \end{aligned}$$

ومن هنا نجد أن تشتت الاندفاع يساوى :

$$\langle (\Delta p)^2 \rangle = \frac{1}{2} \frac{\hbar^2}{x_0^2}$$

أما جداء اللاتعيين فيساوى قيمته الوسطى (7.46) . ومنه نجد أن الحالة التى حصلنا عليها  $\psi_\alpha$  (7.47) يمكن أن تصاغ بشكل نشر من طاقم للتتابع الموجية للهزاز (7.41) أى أن :

$$\psi_\alpha(x) = \sum_n C_n \psi_n(x)$$

ولحساب عوامل النشر  $C_n$  يجب تكرار نفس ما فعلناه عند حساب تكامل المعاييرة (7.37) أى استعمال الشكل المغلق (7.34) لكثير حدود هرميت  $H_n$  ، أى أن :

$$C_n = \int_{-\infty}^{\infty} \psi_n^* \psi_\alpha dx = \frac{(-1)^n x_0}{\sqrt{\sqrt{\pi} x_0 n! 2^n}} \int_{-\infty}^{\infty} \psi_\alpha e^{1/2 \xi^2} \frac{d^n e^{-\xi^2}}{d\xi^n} d\xi$$

حيث  $\xi = \frac{x}{x_0}$  ، وإذا بدلنا هنا قيمة  $\psi_\alpha$  (7.47) واستعملنا  $n$  مرة بالتجزئة نجد أن :

$$C_n = \alpha^n (n!)^{-1/2} e^{-1/2 \alpha^2}$$

وعليه يكون لدينا :

$$\psi_{\alpha}(x) = e^{-1/2 |\alpha|^2} \sum_n \frac{\alpha^n}{(n!)^{1/2}} \psi_n(x)$$

ومن هنا ينتج أن للتوزيع بالاعداد الكوانتية  $n$  في الحالة (7.48) شكل توزع بواسون نفسه

$$|C_n|^2 = \frac{|\alpha|^{2n}}{n!} e^{-|\alpha|^2}$$

ذى القيمة الوسطى  $\langle n \rangle = |\alpha|^2$ . أما إذا انتقلنا من (7.48) إلى التتابع الموجية المتعلقة بالزمن  $\psi_n(x, t) = e^{-iE_n t/\hbar} \psi_n(x)$  ، نحصل على الحل التالي :

$$\psi_{\alpha}(x, t) = e^{-1/2 |\alpha|^2} e^{-i\omega t/2} \sum_n \frac{(ae^{-i\omega t})^n}{(n!)^{1/2}} \psi_n(x) \quad (7.48a)$$

الذى يحقق معادلة شرودينجر المتعلقة بالزمن للهزاز التوافقى ، ويبدو أن اختلاف  $\psi_{\alpha}(x, t)$  عن  $\psi_{\alpha}(x)$  ، إذا أهملنا المضروب الطورى العام  $e^{-i\omega t/2}$  ، يتمثل فى تبديل  $\alpha$  بـ  $\alpha e^{-i\omega t}$  ، ولهذا تتغير القيمة الوسطى لكل من  $x$  و  $p$  بالنسبة للزمن فى الحالة (7.48a) ، بالشكل التالى :

$$\langle x \rangle = \sqrt{2} x_0 \operatorname{Re}(ae^{i\omega t}), \quad \langle p \rangle = \sqrt{2} \frac{\hbar}{x_0} \operatorname{Im}(ae^{i\omega t})$$

أى طبقاً لقوانين الميكانيكا الكلاسيكية . ان تراكب الحلول المستقرة ، من الشكل (7.48a) للهزاز ، يصف ما يسمى بالحالات المنسجمة ويمثل رزماً موجية ضيقة لها القيمة الأصغر فى علاقة الشك . وقد استخرجها شرودينجر للمرة الأولى عام ١٩٢٦ من أجل حالات أقرب للحالات الكلاسيكية وتستخدم الآن بشكل واسع لدراسة الخواص المنسجمة للإشعاع الكهرطيسى فى النظرية الكوانتية للحقل ( غلاوبير - ١٩٦٣ ) .



د) مبادئ (عناصر) التمثيل (التصورات) في الميكانيكا الكوانتية . يتعلق التابع الموجي في نظرية شرودينجر التي درسناها سابقاً بالاحداثيات الفراغية ، وطبقاً للطبيعة الإحصائية للتابع الموجي ، يرتبط مربع القيمة المطلقة للتابع باحتمال تواجد الجسم في نقطة من الفراغ احداثياتها  $r, r + dr$  ويقال في هذه الحالة أن التابع الموجي ( وكافة المؤثرات الأخرى ) يعطى بالتمثيل الاحداثي أو بدلالة الاحداثيات ، ويكون

هذا التمثيل ملائماً من أجل حل عدد من المسائل . هذا ويوجد في الميكانيكا الكوانتية التمثيل الاندفاعي والتمثيل المصفوفي ( الطاقوي ) وتمثيلات أخرى غيرها . ولتوضيح المسألة بشكل مفصل نأخذ كمثال الهزاز التوافقي . فنكتب تابع هاملتون لهذا الهزاز مع الحفاظ على الارتباط بالاندفاع والاحداثي ، الموجود في النظرية الكلاسيكية أي أن :

$$H = \frac{p^2}{2m_0} + \frac{m_0\omega^2 x^2}{2} \quad (7.49)$$

ولكننا الآن نفرض أن  $x$  و  $p$  ليست مقادير عادية متبادل فيما بينها ( ليست ما يسمى بالاعداد  $c$  ) وإنما هي مؤثرات ( الاعداد  $q$  ) تحقق القانون البادلي التالي :

$$px - xp = \frac{\hbar}{i} \quad (7.50)$$

ويمكن أن نتحقق العلاقة الأخيرة بعدة طرائق تقابل كل منها نوعاً من التمثيل في الميكانيكا الكوانتية وتختلف هذه الطرائق فيما بينهما باختلاف تبعية التابع الموجي للاحداثيات أو للاندفاعات ، ولندرس التمثيلات الأساسية المختلفة التي يمكن أن تنشأ في الميكانيك الكوانتية ونقيم العلاقة بينها .

## ١ - التمثيل الاحداثى ( التمثيل - x )

إذا فرضنا أن الاندفاع هو مؤثر ( العدد  $q$  ) فإننا نحصل على :

$$p = \frac{\hbar}{i} \frac{\partial}{\partial x} \quad (7.51)$$

واعتبرنا فى نفس الوقت الاحداثى  $x$  عددًا عاديًا  $c$  ، عندئذ يكون المقدار  $\hbar/i$  ، بمثابة قيمة خاصة للمؤثر ( 7.50 ) عند تأثيره على تابع موجى  $\psi(x)$  متعلق بالاحداثى  $x$  .

$$(px - xp) \psi(x) = \frac{\hbar}{i} \psi(x) \quad (7.52)$$

وإذا بدلنا ( 7.51 ) فى المعادلة ( 7.49 ) نجد أن الهاملتونيان يصبح مؤثرًا أيضًا

$$H = -\frac{\hbar^2}{2m_0} \frac{d^2}{dx^2} + \frac{m_0\omega^2}{2} x^2 \quad (7.53)$$

بينما تؤول مسألة حساب القيم الخاصة إلى معادلة شرودينجر ( التمثيل  $x$  ) للهزاز التوافقى ، أى أن :

$$(E - Ax^2 + B \frac{d^2}{dx^2}) \psi(x) = 0 \quad (7.54)$$

حيث

$$A = \frac{m_0\omega^2}{2}, \quad B = \frac{\hbar^2}{2m_0} \quad (7.55)$$

وبإدخال المقدار

$$\lambda = \frac{E}{\sqrt{AB}} = \frac{2E}{\hbar\omega} \quad (7.56)$$

وبافتراض أن

$$x_0 = \sqrt[4]{\frac{B}{A}} = \sqrt{\frac{\hbar}{m_0\omega}} \quad (7.57)$$

نجد أن القيم الخاصة ، أنظر ( 7.26 ) و ( 7.28 ) ، للثابت تساوى :

$$\lambda_n = 2n + 1 \quad (7.58)$$

ومنه نحصل على :

$$E_n = \hbar\omega (n + 1/2) \quad (7.59)$$

حيث  $n = 0, 1, 2, 3, \dots$  . أما التوابع الموجية فتعين بالمساواة ( 7.41 ) أى أن :

$$\psi_n(x) = \frac{1}{\sqrt{2^n n!} \sqrt{\pi} x_0} e^{-1/2 \left(\frac{x}{x_0}\right)^2} H_n \left(\frac{x}{x_0}\right) \quad (7.60)$$

وتخضع لشرط المعايرة التالي :

$$\int_{-\infty}^{+\infty} |\psi_n(x)|^2 dx = 1 \quad (7.61)$$

وطبقاً للمبادئ الأساسية للنظرية ، تكون المقادير الملاحظة في التجربة متوسطات للمؤثرات المقابلة لهذه المقادير ، أما التابع الموجى فيلعب دوراً مساعداً فقط ، وفي نظرية الهزاز التوافقى تلعب العناصر المصفوفية للاحدائى وللاندفاع دوراً هاماً أيضاً أى أن :

$$x_{n'n} = \int_{-\infty}^{+\infty} \psi_n^* x \psi_n dx \quad (7.62)$$

و

$$p_{n'n} = \int_{-\infty}^{+\infty} \psi_n^* \frac{\hbar}{i} \frac{\partial}{\partial x} \psi_n dx \quad (7.63)$$

هما اللذان يصفان عملية الإشعاع ، سنفرح ذلك فيما بعد . ولحساب التكاملين السابقين سنستخدم علاقيتين تحققهما التوابع الموجية للهزاز التوافقى ، أى أن :

$$x\psi_n = x_0 \left( \sqrt{\frac{n}{2}} \psi_{n-1} + \sqrt{\frac{n+1}{2}} \psi_{n+1} \right) \quad (7.64)$$

$$\frac{\hbar}{i} \frac{\partial \psi_n}{\partial x} = -im_0\omega x_0 \left( \sqrt{\frac{n}{2}} \psi_{n-1} - \sqrt{\frac{n+1}{2}} \psi_{n+1} \right) \quad (7.65)$$

ولتحقق من صحة هاتين العلاقتين نحسب مشتقة كثير حدود هرميت ، أى  
 لن :

$$H'_n = 2n \left[ (2\xi)^{n-1} - \frac{(n-1)(n-2)}{1!} (2\xi)^{n-3} + \dots \right] = 2nH_{n-1} \quad (7.66)$$

ومن السهل البرهان بنفس الطريقة أن  $H'_n = 2n2(n-1)H_{n-2}$  . فإذا بدلنا  
 قيم هاتين المشتقتين فى ( 7.35 ) وأجرينا التغيير  $n-n+1$  نجد العلاقة  
 التكرارية بين كثيرات حدود هرميت ، أى أن :

$$\xi H_n = nH_{n-1} + \frac{1}{2} H_{n+1} \quad (7.67)$$

ومن السهل التأكد من صحة العلاقتين ( 7.67 ) ، ( 7.66 ) باستخدام العلاقتين  
 ( 7.65 ) ، ( 7.64 ) ، ( 7.64 ) ويأخذ ( 7.41 ) بعين الاعتبار فإذا عوضنا ( 7.64 )  
 و ( 7.65 ) على الترتيب فى المساواتين ( 7.62 ) و ( 7.63 ) واعتبرنا شرط  
 التعامد والمعايرة نجد قيم العناصر المصفوفية للاحداثيات التى تختلف عن  
 الصفر أى أن :

$$x_{n-1, n} = x_0 \sqrt{\frac{n}{2}}, \quad x_{n+1, n} = x_0 \sqrt{\frac{n+1}{2}} \quad (7.68)$$

أما العناصر المصفوفية للاندفاعات التى تختلف عن الصفر فنكتب بالشكل  
 التالى :

$$p_{n-1, n} = -im_0\omega x_{n-1, n}, \quad p_{n+1, n} = im_0\omega x_{n+1, n} \quad (7.69)$$

## ٢ - التمثيل الاندفاعى ( التمثيل - p )

نحصل على هذا التمثيل إذا اعتبرنا فى علاقة المؤثرات ( 7.50 )  
 الاندفاع  $p$  عددًا عادياً مثلاً العدد -  $c$  والاحداثى مؤثرًا ( العدد  $q$  ) ، أى  
 لن :

$$x = -\frac{\hbar}{i} \frac{\partial}{\partial p} \quad (7.69a)$$

ويمكن التأكد بسهولة من أنه عند تأثير هذا المؤثر على التابع الموجى المتعلق الآن بالاندفاع  $p^*$  يجب أن تتحقق العلاقة التالية :

$$(px - xp)\varphi(p) = \frac{\hbar}{i}\varphi(p) \quad (7.70)$$

ولنقوم الآن ببناء نظرية الهزاز التوافقى فى التمثيل الاندفاعى . لذا نبذل قيمة المؤثر (7.69a) فى المعادلة (7.49) فنجد أن :

$$(E - A_1 p^2 + B_1 \frac{d^2}{dp^2})\varphi(p) = 0 \quad (7.71)$$

حيث

$$A_1 = \frac{1}{2m_0}, \quad B_1 = \frac{m_0 \omega^2 \hbar^2}{2} \quad (7.72)$$

ومن هنا نرى أنه من أجل الهزاز التوافقى ، عند الانتقال من التمثيل -  $x$  إلى التمثيل -  $p$  ، تتحول المعادلة الموجية بعد إدخال مقاييس جديدة إلى الشكل التالى :

$$\lambda_1 = \frac{E}{\sqrt{A_1 B_1}} = \frac{2E}{\hbar \omega} \quad (7.73)$$

$$p_0 = \sqrt[4]{\frac{B_1}{A_1}} = \sqrt{m_0 \omega \hbar} = \frac{\hbar}{x_0}, \quad \eta = \frac{p}{p_0}$$

الذى يطابق شكلها الأولى تمامًا ، أى

$$\varphi'' + (\lambda_1 - \eta^2)\varphi = 0 \quad (7.74)$$

حيث يتم الاشتقاق بالنسبة لـ  $\eta$  . وباستخدام الحلين (7.28) و (7.41) نكتب فى التمثيل -  $p$  ما يلى :

$$E_n = \frac{\lambda_1 \hbar \omega}{2} = \hbar \omega (n + 1/2) \quad (7.75)$$

---

\* لنلاحظ أن مربع التابع الموجى فى فراغ الاندفاعات يعتبر كثافة لاحمال وجود جسيم اندفاعه محصور بين  $p$  و  $d + dp$  .  
 \*\* سنبين أهمية إدخال المضروب  $(-i)^n$  ، الذى مربع قيمته المطلقة يساوى الواحد فيما بعد .  
 انظر (7.82) مثلا .

ونكتب التابع الموجي كما يلي :

$$\varphi_n(p) = \frac{(-i)^n}{\sqrt{2^n n!} \sqrt{\pi} p_0} e^{-1/2 \left(\frac{p}{p_0}\right)^2} H_n\left(\frac{p}{p_0}\right) \quad (7.76)$$

حيث أن التابع الموجي  $\varphi_n(p)$  يجب أن يحقق شرط التعامد والمعايرة :

$$\int_{-\infty}^{+\infty} dp \varphi_{n'}^*(p) \varphi_n(p) = \delta_{n'n} \quad (7.77)$$

ويمكن التأكد في هذه الحالة من أن  $\varphi(p)$  سيكون نموذج فورييه

للتابع  $\Psi(x)$

$$\psi(x) = \frac{1}{\sqrt{2\pi\hbar}} \int \varphi(p) e^{i \frac{p}{\hbar} x} dp \quad (7.78)$$

$$\varphi(p) = \frac{1}{\sqrt{2\pi\hbar}} \int \psi(x) e^{-i \frac{p}{\hbar} x} dx \quad (7.79)$$

ولما كانت

$$\psi(x) = \frac{1}{2\pi\hbar} \int dx' \psi(x') \int dp e^{i \frac{p}{\hbar} (x-x')} \quad (7.80)$$

لأن

$$\frac{1}{2\pi\hbar} \int dp e^{i \frac{p}{\hbar} (x-x')} = \delta(x-x')$$

وعليه نحصل على العلاقة (7.76) بواسطة تحويلات فورييه (7.79) .

وبتعويض قيمة  $\psi_n(x)$  من (7.41) نجد أن :

$$\begin{aligned} \varphi_n(p) &= \frac{1}{\sqrt{2\pi\hbar}} \frac{1}{\sqrt{2^n n!} \sqrt{\pi} x_0} \int_{-\infty}^{+\infty} dx e^{-1/2 \left(\frac{x}{x_0}\right)^2} e^{-i \frac{p}{\hbar} x} H_n\left(\frac{x}{x_0}\right) = \\ &= \frac{1}{\sqrt{2\pi}} \frac{\sqrt{x_0}}{\sqrt{2^n n!} \sqrt{\pi} \hbar} \int_{-\infty}^{+\infty} d\xi e^{-1/2 \xi^2} e^{-i \frac{p x_0}{\hbar} \xi} H_n(\xi) \quad (7.81) \end{aligned}$$

من المعلوم أن نموذج فورييه للتابع (7.60) يتحول إلى نفسه ، لكن

بمضروب آخر  $\sqrt{2\pi} (-i)^n$  أي أن :

$$\varphi_n(p) = \frac{(-i)^n}{\sqrt{2^n n!} \sqrt{\pi} p_0} H_n\left(\frac{p}{p_0}\right) e^{-\frac{1}{2}\left(\frac{p}{p_0}\right)^2} \quad (7.82)$$

وهذا ما يبرر إدخال المضروب  $(-i)^n$  فى التابع الموجى (7.76) .  
ويتعيين التابع الموجى  $\varphi_n(p)$  فى فراغ الاندفاع نستطيع حساب المصفوفية  
للاحداثى أى :

$$x_{n'n} = \int \varphi_n^* \left(-\frac{\hbar}{i} \frac{\partial}{\partial p}\right) \varphi_n dp \quad (7.83)$$

وكذلك للاندفاع :

$$p_{n'n} = \int \varphi_n^* p \varphi_n dp \quad (7.84)$$

فنحصل على نفس القيم التى وجدناها سابقاً فى التمثيل الاحداثى ( انظر  
(7.68) و (7.69) ) .

### ٣ . التمثيل المصفوفى

نستطيع الوصول إلى العلاقات التبادلية (7.50) فى الميكانيكا الكوانتية  
إذا عبرنا عن المؤثرين الاندفاعى والاحداثى بمصفوفات لا تبادلية مع  
بعضها البعض ، فإذا رمزنا للمقادير المصفوفية بأقواس صغيرة فيمكن كتابة  
(7.50) وهاملتونيان الهزاز التوافقى (7.49) بالشكل التالى :

$$(px) - (xp) = \frac{\hbar}{i} I \quad (7.85)$$

$$(H) = \frac{(p)^2}{2m_0} + \frac{m_0 \omega^2}{2} (x)^2 \quad (7.86)$$

حيث  $I$  مصفوفة الواحدة (الوحدة) . وبالمناسبة . إن قوانين الميكانيكا  
الكوانتية صيغت من قبل هايزنبرج لأول مرة بواسطة معادلات مصفوفية  
تعطى كلا من  $(x)$  ،  $(p)$  و  $(H)$  . وتوخى للاختصار بنستعمل نفس العناصر  
المصفوفية التى حسبناها فى حالة الهزاز التوافقى وسنبرهن أنها تحقق  
العلاقة (7.85) ، ثم سنحسب طيف الطاقة بواسطة (7.86) . إذ يبدو أن

حل المعادلة (7.85) هو عبارة عن مصفوفات مؤلفة من العناصر المصفوفية للاحدائى والاندفاع التى حصلنا عليها فى التمثيل -  $x$  والتمثيل -  $p$ . فيما نؤلف العناصر المصفوفية (7.68) و (7.69) مصفوفتين\* لا متناهيين شبه قطريتين :

$$(x) = \begin{pmatrix} x_{00} & x_{01} & x_{02} & \dots \\ x_{10} & x_{11} & x_{12} & \dots \\ x_{20} & x_{21} & x_{22} & \dots \\ \dots & \dots & \dots & \dots \end{pmatrix} = x_0 \begin{pmatrix} 0 & \sqrt{1/2} & 0 & 0 & 0 & \dots \\ \sqrt{1/2} & 0 & \sqrt{3/2} & 0 & 0 & \dots \\ 0 & \sqrt{2/2} & 0 & \sqrt{3/2} & 0 & \dots \\ \dots & \dots & \dots & \dots & \dots & \dots \end{pmatrix} \quad (7.87)$$

$$(p) = \begin{pmatrix} p_{00} & p_{01} & p_{02} & \dots \\ p_{10} & p_{11} & p_{12} & \dots \\ p_{20} & p_{21} & p_{22} & \dots \\ \dots & \dots & \dots & \dots \end{pmatrix} = m_0 \omega x_0 \begin{pmatrix} 0 & -i\sqrt{1/2} & 0 & 0 & 0 & \dots \\ i\sqrt{1/2} & 0 & -i\sqrt{3/2} & 0 & 0 & \dots \\ 0 & i\sqrt{2/2} & 0 & -i\sqrt{3/2} & 0 & \dots \\ \dots & \dots & \dots & \dots & \dots & \dots \end{pmatrix} \quad (7.88)$$

وهاتان المصفوفتان هيرميتيتان لأنهما تحققان العلاقة :

$$p_{n'n} = p_{nn}^*$$

ولما كانت العناصر المصفوفية لجداء مصفوفتين تساوى مجموع جداء السطر فى العمود ، أى أن :

$$(px)_{n'n} = \sum_{\kappa=0}^{\infty} p_{n'\kappa} x_{\kappa n} \quad (7.89)$$

ونجد بالاستناد إلى (7.87) و (7.88) أن

$$(px)_{n'n} - (xp)_{n'n} = \sum_{\kappa} (p_{n'\kappa} x_{\kappa n} - x_{n'\kappa} p_{\kappa n}) = \frac{\hbar}{i} \delta_{nn'} \quad (7.90)$$

أى أن القسم الأيمن من هذه المساواة يشكل مصفوفة الواحدة مضروبة

\* نلاحظ أن معرفة جملة العناصر المصفوفية

$$F_{n'n} = \int \psi_{n'}^* F \psi_n d^3x$$

للمؤثر  $F$  تعطى وصفا للمؤثر  $F$  فى تمثيل الطاقة أيضا ( بشرط أن تكون  $\psi_n$  - التوابع الخاصة للمؤثر  $H$  ) .



بـ  $\hbar/i$  وذلك تتحقق العلاقة الكوانتية الأساسية (7.85) في التمثيل المصفوفي . ولنحسب الآن العنصر المصفوفي للهاملتونيان (7.86) الذي يساوى

$$H_{n'n} = \sum_{\kappa} \left( \frac{1}{2m_0} p_{n'\kappa} p_{\kappa n} + \frac{m_0 \omega^2}{2} x_{n'\kappa} x_{\kappa n} \right)$$

فإذا عوضنا عن العناصر المصفوفية للاحداثى والاندفاع من (7.87) و (7.88) نجد أن :

$$H_{n'n} = \hbar \omega (n + 1/2) \delta_{n'n}$$

و عليه يؤلف الهاملتونيان (H) المصفوفة القطرية التالية :

$$(H) = \hbar \omega \begin{pmatrix} 1/2 & 0 & 0 & 0 & \dots \\ 0 & 3/2 & 0 & 0 & \dots \\ 0 & 0 & 5/2 & 0 & \dots \\ \dots & \dots & \dots & \dots & \dots \end{pmatrix} \quad (7.91)$$

وعندما تؤلف القيمة المدروسة مصفوفة قطرية فإن ذلك يعنى فى لغة معادلة شرودينجر الموجية ، أن للمؤثر المعطى طيف ذو قيم خاصة يتعين بعناصر قطرية . وعليه نجد فى مثال الهزاز التوافقى أن أنواع التمثيل كلها ( التمثيل -  $x$  ، التمثيل -  $p$  ، والتمثيل المصفوفى ) تعطى نفس النتيجة للعناصر المصفوفية ( للاحداثى والاندفاع والطاقة ) . غير أنه عند ظهور الميكانيكا الكوانتية تبين أن الطريقتين المصفوفية والموجية لا تعطيان نفس النتائج ، إلا أن الأبحاث الأخيرة أثبتت تطابقهما العام .

#### ٤ - مفهوم متجه ( شعاع ) الحالة الكوانتية

ثمة طريقة أكثر تعميمًا ، تسمح بصياغة الموضوعات الأساسية فى الميكانيكا الكوانتية دون اللجوء إلى أى تمثيل معين ، وهى مبنية على مفهوم

• إلا أنه من الناحية المنطقية بالعكس ، يجب أن نستخلص من المساواة (7.90) معتمدين على

المصفوفتين (7.87) و (7.88) .

متجه حالة الجملة الكوانتية الذى ينتمى إلى فراغ مجرد يسمى بفراغ هيلبرت ويتعلق هذا المتجه باختيار الأعداد الكوانتية  $n$  الموافقة للقيم الخاصة للمؤثرات التبادلية التى تصف الحالة الميكانيكية الكوانتية للجملة . وسنرمز كما فعل ديراك لمتجه الحالة بقوس زاو :

$$| \psi \rangle - \text{المتجه } ket \quad (7.92)$$

أو بالشكل  $|n\rangle$  مع الإشارة الواضحة إلى الأعداد الكوانتية ( حيث يعبر  $n$  عن الاختيار  $r$  من الأعداد الكوانتية  $(n_1, \dots, n_r)$  . ولندخل أيضا مفهوم المتجه الاقترانى

$$\langle \psi | - \text{المتجه } bra \quad (7.93)$$

الذى يرتبط مع المتجه  $|\psi\rangle$  ارتباطًا وحيد القيمة وينتمى إلى فراغ اقترانى\* . أما الجداء العدى للمتجهين  $|\psi\rangle$  و  $\langle \psi |$  بدلالة الرموز المذكورة فيكتب بالشكل التالى :

$$\langle \psi | \psi \rangle \quad (7.94)$$

وعندئذ يعتبر التابع الموجى للجملة  $\psi_n(x)$  فى التمثيل -  $x$  ، سعة للكثافة الاحتمالية لتوضع الجسم  $|\psi_n(x)|^2$  ويكتب وفقًا لرموز ديراك كما يلي :

$$\psi_n(x) = \langle x | n \rangle \quad (\psi_n^*(x) = \langle n | x \rangle) \quad (7.95)$$

لذا فهو يعبر عن التمثيل الاحداثى لمتجه الحالة  $|n\rangle$  ، ونحصل طبقًا لذلك على التابع الموجى فى التمثيل -  $p$  ، أى أن :

$$\psi_n(p) = \langle p | n \rangle \quad (7.95a)$$

أى التمثيل الاندفاعى للمتجه  $|n\rangle$  . اما من وجهة النظر الرياضية فتصبح المقادير  $\langle x | n \rangle$  مركبات للمتجه  $|n\rangle$  على القاعدة  $|x\rangle$  أى أن :

\* لقد أدخل ديراك التسميتين برا (bra-) و كيت (ket-) وما المقطعان الأول والأخير من الكلمة الانكليزية bracket التى تعنى قوس .

$$|n\rangle = \int |x\rangle \langle x|n\rangle dx = \int |x\rangle \psi_n(x) dx \quad (7.96)$$

وتمثل متجهات هذه القاعدة  $|x\rangle$  التوابع الخاصة للمؤثر الاحداثى :

$$x|x'\rangle = x'|x'\rangle \quad (7.96a)$$

ويمكن دراسة العبارة  $\langle x|n\rangle$  كعنصر مصفوفى رقمت سطوره باستمرار بواسطة المتحولات  $x$  كما رقمت أعمدته بالوسيط  $n$ . ويتكامل الكثافة الاحتمالية :

$$|\psi_n(x)|^2 = \langle n|x\rangle \langle x|n\rangle \quad (7.97)$$

بالنسبة لـ  $x$  نحصل على الاحتمال الكلى الذى يساوى

$$\begin{aligned} \int |\psi_n(x)|^2 dx &= \int \psi_n^*(x) \psi_n(x) dx = \\ &= \int \langle n|x\rangle \langle x|n\rangle dx = \langle n|n\rangle = 1 \end{aligned} \quad (7.98)$$

وعليه ، نلاحظ أن القيمة السابقة لا تتوقف على نوع التمثيل لأننا نجد فى التمثيل -  $p$  أيضاً أن :

$$\int |\varphi_n(p)|^2 dp = \langle n|n\rangle = 1 \quad (7.99)$$

ومن الواضح عندئذ ، أن شرط التعامد والمعايرة للتوابع الموجبة  $\psi_n$  ،  $\psi_{n'}$  يكتب بالشكل التالى :

$$\int \psi_{n'}^*(x) \psi_n(x) dx = \int \langle n'|x\rangle \langle x|n\rangle dx = \langle n'|n\rangle = \delta_{n'n} \quad (7.100)$$

وهذا يعنى تعامد ومعايرة المتجهين  $|n\rangle$  و  $|n'\rangle$  ، وأن جملة المتجهات  $|n\rangle$  ، طبقاً للفرضية الأساسية فى الميكانيكا الكوانتية ، يجب أن تكون تامة ، وهذا يعنى إمكانية نشر أية حالة  $|\psi\rangle$  بشكل تراكب للحالات  $|n\rangle$  أى أن :

$$|\psi\rangle = \sum_n |n\rangle \langle n|\psi\rangle \quad (7.101)$$

حيث يتم الجمع بكل القيم الممكنة التى يأخذها العدد الكوانتى  $n$  ، وعليه فإن

شرط امتلاء ( استكمال ) جملة الحالات الكوانتية  $|n\rangle$  يكتب بالمساواة التالية :

$$\sum_n |n\rangle \langle n| = I \quad (7.102)$$

حيث  $I$  مؤثر واحدى . وإذا اخترنا التمثيل  $x$  نجد أن :

$$\langle x|\psi\rangle = \sum_n \langle x|n\rangle \langle n|\psi\rangle \quad (7.103)$$

أو بالشكل الصريح ، أنظر أيضاً ( 6.16 ) ، نكتب :

$$\psi(x) = \sum_n C_n \psi_n(x) \quad (7.104)$$

ويمكن كتابة العناصر المصفوفية  $A_{n'n}$  لمؤثر ما  $A$  يؤثر على متجه الحالة  $|n\rangle$  ، برموز ديراك بالشكل  $\langle n'|A|n\rangle$  . ونرى أنه عند كتابة العناصر المصفوفية بشكل أقواس ديراك  $\langle n'|A|n\rangle$  فإننا نستعمل كلا من المؤثر ومتجه الحالة بشكليهما المجرد وبدون اختيار أى تمثيل ، وعند حساب العناصر المصفوفية يمكن اختيار تمثيل معين للمؤثر  $A$  وللمتجهين  $|n\rangle$  و  $|n'\rangle$  ، فمثلا فى التمثيل  $x$  حيث

$$\langle x'|A|x\rangle = \delta(x' - x) A(x), \quad \langle x|n\rangle, \quad \langle x|n'\rangle$$

نحصل على

$$\begin{aligned} \langle n'|A|n\rangle &= \int \langle n'|x'\rangle \langle x'|A|x\rangle \langle x|n\rangle dx dx' = \\ &= \int \langle n'|x\rangle A(x) \langle x|n\rangle dx = \int \psi_{n'}^*(x) A(x) \psi_n(x) dx = A_{n'n} \quad (7.105) \end{aligned}$$

وهو ما يتطابق مع عنصر المصفوفة ( 7.62 ) . وكما سنرى فيما بعد فى مثال الهزاز التوافقى ليس بالضرورة استعمال مجموعة التتابع الموجية  $\psi_n$  و  $\varphi_n(p)$  وإنما يكفى معرفة الخواص العامة للمؤثرات ومتجهات الحالة الكوانتية المستقلة عن أى تمثيل معين ، وبمعرفة العناصر المصفوفية لمؤثرين  $A$  و  $B$  يمكن حساب العناصر المصفوفية لجدائهما  $AB$  طبقاً لشرط

\* سنحافظ من أجل المصفوفة القطرية على الرمز  $\langle n|A|n\rangle = (A)$  ، انظر ( 6.4 ) .

استكمال المجموعة الكوانتية  $|n\rangle$  ، أى ( 7.102 ) ، حسب العلاقة :

$$\langle n' | AB | n \rangle = \langle n' | A | B | n \rangle = \sum_{n''} \langle n' | A | n'' \rangle \langle n'' | B | n \rangle \quad (7.106)$$

ومنه وكما أشرنا سابقاً ( 7.89 ) هناك عملية ضرب مصفوفتين ( A ) و ( B ) مقابلتين للمؤثرين A و B يعبر عنها بالتمثيل المصفوفى .

لنحل الآن مسألة الهزاز التوافقى دون اللجوء إلى أى تمثيل معين ، لذا

نكتب مؤثر هاملتون للهزاز التوافقى الخطى بالشكل التالى :

$$H = \frac{p^2}{2m_0} + \frac{m_0\omega^2 x^2}{2} \quad (7.107)$$

وندخل المؤثرين a و  $a^+$  اللذين يعبران خطياً عن p و x أى أن :

$$a = \frac{1}{\sqrt{2}} \left( \frac{x}{x_0} + i \frac{x_0}{\hbar} p \right), \quad a^+ = \frac{1}{\sqrt{2}} \left( \frac{x}{x_0} - i \frac{x_0}{\hbar} p \right) \quad (7.108)$$

حيث

$$x_0 = \sqrt{\hbar/m_0\omega}$$

وبما أن المؤثرين x و p هرميتيان ، فإن المؤثر  $a^+$  سيكون المؤثر الهرميتى

المرافق للمؤثر a. وإذا استخدمنا المبدل :

$$px - xp = -i\hbar \quad (7.109)$$

نجد أن :

$$[a, a^+] = aa^+ - a^+a = 1 \quad (7.110)$$

ويمكن الآن كتابة مؤثر هاملتون ( 7.107 ) بواسطة المؤثرين a و  $a^+$  فى

( 7.108 ) اللذين يحققان شرط التبادل ( 7.110 ) بالشكل التالى :

$$H = \frac{\hbar\omega}{2} (aa^+ + a^+a) = \hbar\omega (a^+a + 1/2) \quad (7.111)$$

ومن الواضح أن :

$$Ha^+ = a^+ (H + \hbar\omega) \quad (7.112)$$

وعليه فإن :

$$H(a^+)^n = a^+(H + \hbar\omega)(a^+)^{n-1} = \dots = (a^+)^n(H + n\hbar\omega) \quad (7.113)$$

حيث  $n = 0, 1, 2, \dots$

وإذا فرضنا وجود حالة كوانتية  $|0\rangle$  بحيث تتحقق :

$$a|0\rangle = 0 \quad (7.114)$$

نجد :

$$H|0\rangle = \frac{\hbar\omega}{2}|0\rangle \quad (7.115)$$

أى أن  $|0\rangle$  هو المتجه الخاص لـ  $H$  المقابل للقيمة الخاصة  $\hbar\omega/2$  . ولندرس الآن متجه الحالة :

$$(a^+)^n|0\rangle \quad (n = 0, 1, 2, 3, \dots) \quad (7.116)$$

الذى يعتبر طبقا للعلاقة (7.113) ، متجها خاصا لـ  $H$  أى

$$H(a^+)^n|0\rangle = \hbar\omega(n + 1/2)(a^+)^n|0\rangle \quad (7.117)$$

وهو يقابل القيمة الخاصة  $\hbar\omega(n + 1/2)$  . ان القيم الخاصة للمؤثر  $a^+a$  هي قيم صحيحة  $0 \leq n$  لذا لا يمكن للمؤثر  $a^+a$  أن يأخذ قيما خاصة سالبة  $\lambda$  لأن :

$$\begin{aligned} \lambda &= \langle \lambda | a^+a | \lambda \rangle = \int \langle \lambda | a^+ | x \rangle \langle x | a | \lambda \rangle dx = \\ &= \int |\langle x | a | \lambda \rangle|^2 dx \geq 0 \end{aligned} \quad (7.118)$$

عندما تكون المتجهات الخاصة معايرة على الواحد أى  $\langle \lambda | \lambda \rangle = 1$  . ولنرمز للمتجهات الخاصة المعايرة على الواحد للمؤثر  $H$  ، والتي تقابل القيم الخاصة  $\hbar\omega(n + 1/2)$  ، بالرمز  $|n\rangle$  ،  $\langle n | n \rangle = 1$  ،  $n = 0, 1, 2, \dots$  ومن الواضح أنها تختلف بالعوامل العددية  $c$  عن المتجهات (7.116) أى أن :

$$|n\rangle = C(a^+)^n|0\rangle \quad (7.119)$$

ومنه نكتب شرط المعايرة :

$$1 = \langle n | n \rangle = C^* C \langle 0 | \underbrace{a \dots a}_n \underbrace{a^+ a^+ \dots a^+}_n | 0 \rangle \quad (7.120)$$

وننقل كل المؤثرات  $a$  إلى اليمين وتجميعها بالتالي مع المؤثرات  $a^+$  واستخدام العلاقة (7.114) نجد أن :

$$1 = C^* C n! \langle 0 | 0 \rangle = C^* C n! \quad (7.121)$$

أى أنه يمكن اختيار قيمة حقيقية لـ  $C$  تساوى  $C = 1/\sqrt{n!}$  وبالتالي تكون المتجهات المعايرة الخاصة للمؤثر  $H$  مساوية إلى :

$$|n\rangle = \frac{(a^+)^n}{\sqrt{n!}} |0\rangle \quad (7.122)$$

ومنه نستخلص العناصر المصفوفية التي لا تساوى الصفر ، أى أن :

$$\langle n-1 | a | n \rangle = \langle n | a^+ | n-1 \rangle = \sqrt{n} \quad (7.123)$$

وبتعويض  $a$  و  $a^+$  بقيمتيهما (7.108) نجد أن :

$$\begin{aligned} \langle n-1 | x | n \rangle &= x_0 \sqrt{\frac{n}{2}}, \quad \langle n+1 | x | n \rangle = x_0 \sqrt{\frac{n+1}{2}} \\ \langle n-1 | p | n \rangle &= -im_0 \omega \langle n-1 | x | n \rangle \\ \langle n+1 | p | n \rangle &= im_0 \omega \langle n+1 | x | n \rangle \end{aligned} \quad (7.124)$$

ويعنى ذلك أننا حصلنا على نفس العنصرين المصفوفيين  $p_{n,n}$  و  $x_{n,n}$  ، المستخرجين من التمثيل -  $x$  ، انظر (7.68) و (7.69) ، ، للتوابع الموجية للهزاز ، كما نستطيع أن نبرهن أن الحالة التي أدخلناها تعطى التوابع الموجية المعروفة للهزاز التوافقي (7.41) فى التمثيل -  $x$  ، ولذلك نستفيد من تعريف الحالة الأساسية (7.114) لكتابة المؤثر  $a$  فى التمثيل -  $x$  أى أن :

$$a = \frac{1}{\sqrt{2}} \left( \xi + \frac{d}{d\xi} \right), \quad \xi = \frac{x}{x_0}$$

ومنه نحصل لحساب التابع الموجي  $\psi_0(x) = \langle x|0 \rangle$  على المعادلة التالية :

$$\left(\frac{d}{d\xi} + \xi\right) \psi_0 = 0$$

التي حلها :

$$\psi_0 = C_0 e^{-1/2 \xi^2}$$

هذا الحل الذي يمكن معايرته على الواحد بالشكل التالي :

$$\int_{-\infty}^{\infty} \psi_0^2 dx = x_0 C_0^2 \int_{-\infty}^{\infty} (e^{-1/2 \xi^2})^2 d\xi = x_0 C_0^2 \sqrt{\pi} = 1$$

ومنه نجد  $C_0 = 1/\sqrt{x_0 \sqrt{\pi}}$ . وهذه النتيجة تتطابق مع الصيغة (7.41) للتابع الموجي عندما  $n = 0$  وتنتج التوابع الموجية للحالات المهيجة\*

$\psi_n(x) = \langle x|n \rangle$  من تابع الحالة الأساسية  $\psi_0(x)$  حسب العلاقة (7.122) بعد

الانتقال إلى التمثيل الاحداثي مثلا نجد للحالة المهيجة الأولى  $n = 1$  المعادلة

$$\psi_1 = a^+ \psi_0 = \frac{1}{\sqrt{2}} \left( \xi - \frac{d}{d\xi} \right) \frac{1}{\sqrt{x_0 \sqrt{\pi}}} e^{-\xi^2/2} = \frac{2}{\sqrt{2x_0 \sqrt{\pi}}} \xi e^{-\xi^2/2}$$

التي تتطابق تماما مع الصيغة (7.41) .

هـ ) تبعية التمثيلات المختلفة لاستقرارية متجه الحالة . لنستعمل رموز

ديراك لشرح ماهية تغير العنصر المصفوفي  $\langle \varphi(t) | A | \psi(t) \rangle$  لمؤثر ما A بالنسبة للزمن  $t$  ، كما هو الحال بالنسبة للاحداثيات  $x$  ، إذ توجد عدة تمثيلات توافق الارتباطات المختلفة لمتجه الحالة والمؤثرات بالزمن .

\* نلاحظ أن الحالات ، التي فرضناها في الفقرة ج من هذا البند ، تحقق حل مسألة القيم الخاصة

$$a|\alpha\rangle = \alpha|\alpha\rangle$$

أي أنها تعتبر حلا للمعادلة :

$$\frac{1}{\sqrt{2}} \left( \frac{x}{x_0} + \frac{i\hbar_0}{h} p \right) \psi_\alpha(x) = \alpha \psi_\alpha(x)$$



## ١ - تمثيل شرودينجر وهايزنبرج

لنفرض أن المؤثر  $A$  مستقل عن الزمن بصورة صريحة ( $\partial A / \partial t = 0$ )  
بينما يتعلق التابع الموجي  $|\varphi(t)\rangle$  و  $|\psi(t)\rangle$  بالزمن وفقا لمعادلتى شرودينجر  
التاليتين : من أجل المتجه - كيت

$$i\hbar \frac{\partial}{\partial t} |\psi(t)\rangle = H |\psi(t)\rangle \quad (7.125)$$

ومن أجل المتجه - برا

$$-i\hbar \frac{\partial}{\partial t} \langle \varphi(t) | = \langle \varphi(t) | H^+$$

ولهذا يصبح العنصر المصفوفى فى الحالة العامة تابعا للزمن  $t$  ، ولما كان  
مؤثر هاملتون  $H^+ = H$  هيرميتيا، لذا يمكن كتابة المعادلة  
الأخيرة بالشكل التالى :

$$-i\hbar \frac{\partial}{\partial t} \langle \varphi(t) | = \langle \varphi(t) | H \quad (7.126)$$

وبملاحظة المعادلتين (7.125) و (7.126) ومعرفة أن المؤثر  $A$  لا يتعلق  
بالزمن ( $\partial A / \partial t = 0$ ) نحصل من أجل العنصر المصفوفى على المعادلة  
التالية :

$$\begin{aligned} \frac{d}{dt} \langle \varphi(t) | A | \psi(t) \rangle &= \\ &= \langle \varphi(t) | A \frac{1}{i\hbar} H | \psi(t) \rangle - \langle \varphi(t) | H A \frac{1}{i\hbar} | \psi(t) \rangle = \\ &= \langle \varphi(t) | \frac{i}{\hbar} [H, A] | \psi(t) \rangle \quad (7.127) \end{aligned}$$

وفى الحالة الخاصة  $\varphi(t) = \psi(t)$  نحصل على الصيغة المعروفة (6.43)  
لحساب مشتقة القيمة الوسطى بالنسبة للزمن . أما من أجل الحالتين  
الجدينتين اللتين لا تتعلقان بالزمن  $\langle \psi_H |$  و  $\langle \varphi_H |$  فنحصل أيضا على  
الحالات السابقة المستقلة عن الزمن بواسطة تأثير مؤثر ما  $U(t)$  أى أن :

$$\begin{aligned} |\psi(t)\rangle &= U(t) |\psi_H\rangle \\ \langle \varphi(t) | &= \langle \varphi_H | U^+(t) \end{aligned} \quad (7.128)$$

ولكى يتحقق ذلك لا بد أن يحقق المؤثر  $U(t)$  المعادلة

$$i\hbar \frac{\partial}{\partial t} U(t) = HU(t) \quad (7.129)$$

أى أن يحقق نفس معادلة الحالتين  $|\psi(t)\rangle$  و  $|\psi(t)\rangle$  ، والتي يمكن كتابة حلها الشكلى ( بشرط أن لا يتعلق  $H$  بوضوح بالزمن ) كما يلي :

$$U(t) = e^{-(i/\hbar)Ht} \quad (7.130)$$

والذى يعتبر مؤثرا منشورا فى متسلسلة أسية :

$$U(t) = 1 - \frac{i}{\hbar} Ht + \frac{1}{2!} \left( \frac{i}{\hbar} Ht \right)^2 - \dots \quad (7.131)$$

عدا ذلك يمكن اختيار الثابت فى الحل ( 7.130 ) بحيث يتطابق  $|\psi(t)\rangle$  فى اللحظة الابتدائية مع  $|\psi_H\rangle$  . وبتعويض ( 7.128 ) فى المساواة ( 7.127 ) وملاحظة المساواة ( 7.129 ) نجد أن :

$$\frac{d}{dt} \langle \varphi_H | U^+(t) A U(t) | \psi_H \rangle = \langle \varphi_H | U^+ \frac{i}{\hbar} [H, A] U | \psi_H \rangle \quad (7.132)$$

ولندخل الآن مؤثرا جديدا  $A_H(t)$  يرتبط مع المؤثر السابق  $A$  بالتحويل

التالى :

$$A_H(t) = U^+ A U = e^{iHt/\hbar} A e^{-\frac{iHt}{\hbar}} \quad (7.133)$$

والمؤثر  $A_H(t)$  يتعلق بالزمن خلافا للمؤثر  $A$  ( 7.132 ) ويحقق المعادلة

$$\frac{d}{dt} A_H(t) = \frac{i}{\hbar} [H, A_H(t)] \quad (7.134)$$

ومن الواضح أننا نستطيع استنتاج هذه المعادلة بأشتقاق التعريف ( 7.133 ) بالنسبة للزمن . وعليه يمكن حساب العناصر المصفوفية بدقة، كما فى حالة القيم الوسطى، فى تمثيلين مختلفين يتميزان عن بعضهما بوجود الزمن . ويسمى التمثيل الذى تتعلق فيه الحالة  $|\psi(t)\rangle$  بالزمن بصورة صريحة ويخضع لمعادلة شرودينجر ( 7.128 ) ولا يتعلق فيه المؤثر  $A$  بالزمن

بتمثيل شرودينجر . وإذا نقلت تبعية الزمن إلى المؤثر  $\Lambda_H(t)$  طبقا لـ ( 7.133 ) ، وتبقى الحالات  $|\psi_H\rangle$  التي تستخرج من  $|\psi(t)\rangle$  بواسطة المؤثر العكسي  $U^{-1}$  حسب المعادلات

$$|\psi_H\rangle = U^{-1}(t) |\psi(t)\rangle = e^{\frac{iH}{\hbar}t} |\psi(t)\rangle \quad (7.135)$$

مستقرة بالنسبة للزمن ولذلك يسمى التمثيل عندئذ بتمثيل هايزنبرج. وفي كلتا الحالتين ، وبحكم ما يسمى بوحداية المؤثر  $U$  ، انظر أيضا ( 6.47 ) ، نكتب المعادلة

$$U^+ = U^{-1} \quad (7.136)$$

التي تبرهن صحتها استنادا إلى التعريف ( 7.130 ) وهي مبرهنات H . وفي كلتا الحالتين نحصل على نفس العنصر المصفوفي

$$\langle \varphi(t) | A | \psi(t) \rangle = \langle \varphi_H | U^+ A U | \psi_H \rangle = \langle \varphi_H | A_H | \psi_H \rangle \quad (7.137)$$

## ٢ . تمثيل التأثير المتبادل

يمكن أحيانا تقسيم الجملة الكوانتية إلى عدة جمل ( جمل جزئية ) توصف إذا أهملنا التأثير المتبادل فيما بينها ، بالهاملتونيان  $H$  الذي يسمى الهاملتونيان الحر . وعندئذ نستطيع كتابة الهاملتونيان الكلي دون اهمال التأثير المتبادل بين الجمل الجزئية بشكل مجموع للهاملتونيان الحر  $H_0$  وما يسمى بهاملتونيان التأثير  $V$ ، أي أن :

$$H = H_0 + V \quad (7.138)$$

ومن المناسب عندئذ الانتقال إلى تمثيل جديد يعزل فيه بشكل صريح

الهاملتونيان التفاعل ( التأثير المتبادل ) ، ولهذا نربط متجه الحالة

$|\psi(t)\rangle$  في تمثيل شرودينجر بمتجه جديد  $|\psi_I(t)\rangle$  بواسطة مؤثر واحد ( وحداني ) :

$$U_0 = e^{-\frac{iH_0 t}{\hbar}}, \quad U_0^+ = U_0^{-1} = e^{iH_0 t/\hbar} \quad (7.139)$$

بحيث يكون

$$|\psi_I(t)\rangle = U_0^{-1} |\psi(t)\rangle = e^{iH_0 t/\hbar} |\psi(t)\rangle \quad (7.140)$$

وعندئذ لكي لا تتغير العناصر المصفوفية لمؤثر ما A عند الانتقال إلى الحالات الجديدة ( 7.140 ) المحسوبة بواسطة الحالات  $|\psi(t)\rangle$  حسب العلاقة

$$\langle \psi(t) | A | \psi(t) \rangle = \langle \psi_I(t) | A_I(t) | \psi_I(t) \rangle$$

من الضروري تحويل المؤثر نفسه حسب القانون

$$A_I(t) = e^{iH_0 t/\hbar} A e^{-iH_0 t/\hbar} \quad (7.141)$$

وكتابة مؤثر التفاعل ، طبقاً لـ (7.141) ، بالتمثيل الجديد كما يلي :

$$V_I(t) = e^{iH_0 t/\hbar} V e^{-iH_0 t/\hbar} \quad (7.142)$$

ويسمى تمثيل متجهات الحالة والمؤثرات المعطاة بالمعادلتين ( 7.140 ) و

( 7.141 ) بتمثيل التأثير المتبادل . فإذا أثرنا على الحالة الجديدة  $|\psi_I(t)\rangle$

بالمؤثر  $i\hbar \frac{\partial}{\partial t}$  واستفدنا من معادلة شرودينجر للمتجه  $|\psi(t)\rangle$

$$i\hbar \frac{\partial}{\partial t} |\psi(t)\rangle = H |\psi(t)\rangle \quad (7.143)$$

فإننا نجد أن :

$$i\hbar \frac{\partial}{\partial t} |\psi_I(t)\rangle = -H_0 e^{iH_0 t/\hbar} |\psi(t)\rangle + e^{iH_0 t/\hbar} i\hbar \frac{\partial}{\partial t} |\psi(t)\rangle = e^{iH_0 t/\hbar} V |\psi(t)\rangle$$

بالانتقال إلى المؤثر  $V_I(t)$  بواسطة المساواة ( 7.142 ) نكتب أخيراً معادلة

متجه الحالة في تمثيل التأثير المتبادل بالشكل التالي :

$$i\hbar \frac{\partial}{\partial t} |\psi_I(t)\rangle = V_I(t) |\psi_I(t)\rangle \quad (7.144)$$

التي تخلو من الهاملتونيان الحر  $H_0$  . وباشتقاقنا للتعريف ( 7.141 ) بالنسبة للزمن نجد المعادلة التي يخضع لها أى مؤثر اختياري في تمثيل التأثير المتبادل :

$$\frac{dA_I(t)}{dt} = \frac{i}{\hbar} [H_0, A_I(t)] \quad (7.145)$$

وعليه ، فإن متجهات الحالة توصف في تمثيل التأثير المتبادل بمعادلات مشابهة لمعادلة شرودينجر التي يكون فيها الهاملتونيان مقتصرًا على هاملتونيان التأثير المتبادل  $V_I(t)$  أما المؤثرات فتخضع لمعادلات هايزنبرغ ذات الهاملتونيان الحر  $H_0$  .

وتعتبر التحويلات من تمثيل شرودينجر إلى تمثيل هايزنبرج أو تمثيل التأثير المتبادل ، والتي تتم بواسطة المؤثرين الوحدانيين (7.130) و (7.139) ، حالات خاصة من التحويلات الوحدانية العامة التي لا تغير العناصر المصفوفية . وبما أن المقادير المقاسة في أى تجربة هي ، في الحقيقة ، العناصر المصفوفية والقيم الوسطى وليست متجهات الحالة أو المؤثرات ، فيمكن ، عند اجراء الحسابات اختيار هذا التمثيل أو ذلك تبعاً لنوعية المسائل المطروحة .

## البند ٨ . نظرية الاضطرابات

أ ) صياغة المسألة . تبين لنا مما سبق أنه في الميكانيكا الكوانتية يمكن حل مسائل قليلة بشكل دقيق ، منها مثلاً مسألة الهزاز التوافقي ، ولذلك نضطر لحل المعادلة الموجية في حالات كثيرة إلى اللجوء إلى طرائق تقريبية ، أهمها طريقة الاضطراب التي تطبق عندما يمكن تقسيم الطاقة الكامنة  $V$  للتأثير المتبادل للجسيم إلى حدين ، أى أن :

$$V = V_0 + V'$$

إذ يمكن اختيار الطاقة الكامنة  $V_0$  عندئذ بحيث يكون لمعادلة شرودينجر ذات الهاملتونيان  $H_0 = T + V_0$  حل دقيق ، وتعطى طاقة الاضطراب  $V'$  تصحيحا صغيرا لحل المعادلة الأساسية ذات الكمون  $V_0$  فيما يكون الحساب المتتالي لهذه التصحيحات ( التقريب الأول ، الثاني ، الثالث ... إلخ ) نشرا بواسطة بارامتر صغير . وتحتوى الميكانيكا الكوانتية على نماذج عديدة لطريقة الاضطراب أهمها : طريقة شرودينجر أو النظرية المستقرة للاضطرابات التي تطبق عندما تكون طاقة الاضطراب مستقلة عن الزمن ، أو عندما يمكن حذف الزمن من المعادلة بواسطة وسيط ما ، وتسمح هذه الطريقة بحساب تصحيح طيف طاقة الجملة في المسائل المستقرة . أما النظرية غير المستقرة للاضطرابات ( طريقة ديراك ) فتطبق أثناء ايجاد الحل التقريبي للمسائل التي يتعلق فيها الاضطراب بالزمن بصورة صريحة ، وهي تساعدنا في حساب احتمال انتقال الجملة من حالة مستقرة إلى أخرى كما أنها تطبق في نظريتي الاشعاع والتبديد ، انظر البندين ٩ و ١٥ مثلا .

( ب ) المعادلات الأساسية للنظرية المستقرة للاضطرابات ( نظرية شرودينجر ) . لنشرح الآن طريقة نظرية الاضطرابات التي تطبق في حالات المسائل المستقرة عندما لا يتعلق هاملتونيان الجملة بالزمن أى أنه من الشكل التالي :

$$H = T + V = T + V^0 + V' \quad (8.1)$$

عندئذ يمكن اختيار طاقة الاضطراب  $V'$  والطاقة الكامنة  $V^0$  بحيث يكون لمعادلة شرودينجر

$$(E - H)\psi = 0 \quad (8.2)$$

باهمال الاضطراب  $V'$  ، حل دقيق يميز بالمقدارين  $E^0$  و  $\psi^0$  . فإذا رمزنا

لـ  $T + V^0$  بالرمز  $H^0$  (التقريب الصفري) وأخذنا بعين الاعتبار (8.1) نرى أن (8.2) تصبح كما يلي :

$$(E - H^0 - V')\psi = 0 \quad (8.2a)$$

وتتلخص المسألة الآن في حساب القيمة  $E_n$  والتابع الموجي الموافق لها  $\psi_n$  من هذه المعادلة (ولو تقريبا) دون اهمال الطاقة  $V'$ . ويمكن البحث عن الحل طبقا لنظرية الاضطرابات بشكل سلسلتين هما :

$$\psi = \psi^0 + \psi' + \psi'' + \dots$$

$$E = E^0 + E' + E'' + \dots \quad (8.3)$$

حيث  $\psi'$  و  $E'$  هما مقداران لامتناهيان في الصغر من المرتبة الأولى بالقياس إلى  $\psi^0$  و  $E^0$  أما  $\psi''$  و  $E''$  فهما لامتناهيان في الصغر من المرتبة الثانية . . . وهكذا ، ويمكن ، أحيانا ، تمثيل طاقة الاضطراب  $V'$  كجداء للطاقة من المرتبة  $V^0$  بوسيط صغير  $\lambda$  ( $\lambda \ll 1$ ). وعندئذ يجب أن يكون الحل (8.3) نشرا بالوسيط العنصرى  $\lambda$  أى أن  $E^0$  و  $\psi^0$  لا يمكن أن يتعلقا بـ  $\lambda$  أما  $E'$  و  $\psi'$  فهما متناسبان مع  $\lambda$  و  $E''$  و  $\psi''$  متناسبان مع  $\lambda^2$  . . .

وهكذا ، وبتعويض (8.3) فى (8.2a) نحصل على المعادلة :

$$(E^0 + E' - H^0 - V')(\psi^0 + \psi') = 0 \quad (8.4)$$

وبجميع الحدود ذات المراتب المتماثلة فى الصغر نجد أن

$$(E^0 - H^0)\psi^0 + [(E' - V')\psi^0 + (E^0 - H^0)\psi'] + (E' - V')\psi' = 0 \quad (8.4a)$$

(ج) التقريب الأول . للحصول على التقريب الأول لنظرية الاضطرابات

يجب اهمال الحدود ذات المرتبة الثانية فى الصغر فى المعادلة (8.4a) واعتبار أنه فى التقريب الصفري تتحقق المعادلة التالية :

$$(E^0 - H^0)\psi^0 = 0 \quad (8.5)$$

ومن المعادلة الأخيرة يمكن حساب كل القيم الخاصة

$$E_1^0, E_2^0, E_3^0, \dots, E_n^0, \dots$$

## والتوابع الخاصة

$$\psi_1^0, \psi_2^0, \psi_3^0, \dots, \psi_n^0, \dots$$

المرتبطة ببعضها بالمعادلة التالية :

$$(E_n^0 - H^0) \psi_n^0 = 0 \quad (8.6)$$

ولنتنقل بعد أن نأخذ بعين الاعتبار ما سبق ، إلى دراسة معادلة التقريب الأول في نظرية الاضطرابات ، أى :

$$(E^0 - H^0) \psi' = -(E' - V') \psi^0 \quad (8.7)$$

ولنفرض أنه عند غياب الاضطراب ، كانت الجملة في حالة كوانتية معينة و  $n' = n$  وبما أن  $E^0 = E_n^0$  و  $\psi^0 = \psi_n^0$  في التقريب الصفري لذا لحساب التقريب الأول  $E' = E_n'$  و  $\psi' = \psi_n'$  ، نحصل على أن :

$$(E_n^0 - H^0) \psi_n' = -(E_n' - V') \psi_n^0 \quad (8.7a)$$

وإذا لاحظنا امكانية نشر أى تابع بواسطة مجموعة من التوابع المعاييرة المتعامدة عند تحقيق الشروط الحدية نفسها ، انظر (6.16) ، وفي هذه الحالة تكون توابع النشر هي  $(\psi_1^0, \psi_2^0, \dots, \psi_n^0)$  ويمكن البحث عن  $\psi_n'$  بالشكل التالي :

$$\psi_n' = \sum_{n'} C_{n'} \psi_{n'}^0 \quad (8.8)$$

ويجب حساب عوامل النشر  $C_{n'}$  فى سلسلة فورييه المعممة بتبديل (8.8) فى (8.7a) أى أن :

$$\sum_{n'} C_{n'} (E_n^0 - H^0) \psi_{n'}^0 = -(E_n' - V') \psi_n^0 \quad (8.9)$$

وباعتبار (8.6) نجد أن :

$$\sum_{n'} C_{n'} (E_n^0 - E_n^0) \psi_{n'}^0 = -(E_n' - V') \psi_n^0 \quad (8.9a)$$

د) الحالة اللامنطبقة (المتباينة). إذا كانت الجملة المدروسة متباينة أى أن كل قيمة للطاقة  $E_n^0$  تقابل تابعا خاصا واحدا  $\psi_n^0$  ، فإننا بضرب (8.9a) من اليسار بـ  $\psi_n^0$  واجراء التكامل فى الفراغ كله نحصل على المعادلة التالية :



$$\sum_{n'} C_{n'} (E_n^0 - E_{n'}^0) \delta_{nn'} = -E_n' + \int \psi_n^{0*} V' \psi_n^0 d^3x \quad (8.10)$$

حيث اعتبرنا التوابع الخاصة  $\psi_n^0$  معايرة ومتعامدة ، أى تحقق العلاقة :

$$\int \psi_n^{0*} \psi_{n'}^0 d^3x = \delta_{nn'}$$

وبما أن المقدار الموجود فى الطرف الأيسر من (8.10) يساوى الصفر ( لأنه عندما  $n' = n$  يكون  $E_n^0 - E_{n'}^0 = 0$  وعندما  $n' \neq n$  يكون  $\delta_{nn'} = 0$  )

لذا فإننا لحساب  $E_n'$  ( التقريب الأول ) نحصل على العبارة التالية :

$$E_n' = V_{nn}' \quad (8.11)$$

حيث  $V_{nn}'$  - عنصر المصفوفة التالى :

$$V_{nn}' = \int \psi_n^{0*} V' \psi_n^0 d^3x \quad (8.11a)$$

أى أن طاقة الجملة الاضافية  $E_n'$  هى القيمة الوسطية لطاقة الاضطراب .  
لقد حصلنا هنا على عبارة الطاقة الاضافية (8.11) كنتيجة لانعدام الطرف الأيسر فى (8.7a) بعد ضربه بالتابع الموجى  $\psi_n^{0*}$  واستكماله فى الفراغ كله ومنه نرى أن الطرف الأيمن للمعادلة غير المتجانسة (8.7a) الذى يكتب اختصارا بالشكل :

$$M\psi = f \quad (8.12)$$

يجب أن يكون متعامدا مع حل المعادلة المتجانسة المقابلة  $M\psi^0 = 0$  أى أن

$$\int \psi^{0*} f d^3x = 0 \quad (8.13)$$

ولحساب العوامل  $C_{n'}$  فى المعادلة (8.8) نستخدم العلاقة (8.9a) التى

نعيد كتابتها بالشكل التالى :

$$\sum_{n'} C_{n'} (E_n^0 - E_{n'}^0) \psi_{n'}^0 = - (E_n' - V_n) \psi_n^0$$

وإذا ضربناها من اليسار بـ  $\psi_{n'}^{0*}$  ( $n' \neq n$ ) وأخذنا بعين الاعتبار شرط المعايرة والتعامد فسنجد بعد الاستكمال فى الفراغ كله أن :

$$C_{n'} = \frac{V_{n'n}'}{E_n^0 - E_{n'}^0} \quad (8.14)$$

حيث

$$V'_{n'n} = \int \psi_n^{0*} V' \psi_n^0 d^3x \quad (8.15)$$

ومنه نحصل على صيغة  $\psi'_n$  التالية :

$$\psi'_n = C_n \psi_n^0 + \sum_{n'}' C_{n'} \psi_{n'}^0 \quad (8.16)$$

حيث يدل المجموع على أنه يجب أن يتم الجمع بالنسبة للقيم كلها ما عدا القيمة  $n' = n$  . وأخيرا يمكن حساب العوامل  $C_n$  للتابع الموجي في التقريب الصفري من شروط معايرة التابع الموجي الكلي  $\psi_n$  ، أى أن :

$$\int \psi_n^* \psi_n d^3x = 1 \quad (8.17)$$

حيث

$$\psi_n = \psi_n^0 + \psi'_n = C_n^0 \psi_n^0 + \sum_{n'}' C_{n'} \psi_{n'}^0 \quad (8.18)$$

$$C_n^0 = 1 + C_n \quad (8.19)$$

وبتبديل (8.18) فى (8.17) نجد باهمال اللامتناهيات فى الصغر من المرتبة الثانية فما فوق أن :

$$|C_n^0|^2 \int \psi_n^{0*} \psi_n^0 d^3x + \sum_{n'}' \{ C_n^{0*} C_{n'} \int \psi_n^{0*} \psi_{n'}^0 d^3x + C_n^* C_n^0 \int \psi_{n'}^{0*} \psi_n^0 d^3x \} = 1 \quad (8.20)$$

وبملاحظة شرط المعايرة والتعامد وبدقة تبلغ مضروبا طوريا نستطيع أن نكتب أن :

$$C_n^0 = 1 \quad (8.21)$$

أى أن :

$$C_n = 0$$

وهكذا نحصل على عبارة للتابع الموجي فى التقريب الأول لنظرية الاضطرابات :

$$\psi_n = \psi_n^0 + \psi'_n \quad (8.22)$$

حيث

$$\psi'_n = \sum_{n'}' \frac{V'_{n'n}}{E_n^0 - E_{n'}^0} \psi_{n'}^0$$

وبالاعتماد على ذلك وعلى (8.11) أيضا نرى أن قيمتى  $\psi'_n$  و  $E'_n$  متناسبتان مع طاقة الاضطراب من الدرجة الأولى ( أى متناسبة مع الوسيط  $\lambda$  ). ونلاحظ أن طريقة الاضطراب الموضحة سابقا لا تكون صحيحة إلا عندما يكون أى حد فى النشر (8.3) أصغر مما قبله أو كما يتضح من (8.22) ، يجب أن تتحقق المتراجحة التالية :

$$|V'_{n'n}| \ll |E_n^0 - E_{n'}^0| \quad (8.22a)$$

وهكذا نرى أن الشرط الضرورى لتطبيق نظرية الاضطرابات هو أن تكون العناصر المصفوفية غير المضطربة لمؤثر الاضطراب صغيرة بالمقارنة مع الفرق بين قيم الطاقة المقابلة للحالات غير المضطربة .

( هـ ) الحالة المنطبقة ( الغامرة ) . لنشرح الآن نظرية الاضطراب المستخدمة فى الحالات الغامرة حيث تقابل قيمة واحدة للطاقة  $E_n^0$  فى غياب الاضطراب عددا  $z$  من التوابع الخاصة ( للتبسيط نأخذ اثنين فقط ) هما (  $\psi_{n_1}^0$  و  $\psi_{n_2}^0$  ) . عندئذ من الواضح أن كل تركيب خطى لهما يكتب بالشكل التالى :

$$\psi_n^0 = C_1^0 \psi_{n_1}^0 + C_2^0 \psi_{n_2}^0 \quad (8.23)$$

والذى سيكون حلا للمعادلة الموجية فى التقريب الصفري أى حلا للمعادلة التالية :

$$(E_n^0 - H^0) \psi_n^0 = 0$$

وكما فى الحالة الأولى ( الحالة المتباينة ) يجب أن يتعمد أى حل خاص للمعادلة المتجانسة (8.6) مع الطرف الأيمن للمعادلة غير المتجانسة .

ولبرهان ذلك نضرب ( 8.7a ) من اليسار بـ  $\psi_{n_i}^{0*}$  ونستكمله في الفراغ كله فنجد ( من أجل  $i = 1, 2$  ) أن :

$$\int \psi_{n_i}^{0*} (E_n^0 - H^0) \psi_{n_i}' d^3x = - \int \psi_{n_i}^{0*} (E_n' - V') \psi_{n_i}^0 d^3x \quad (8.24)$$

وبتطبيق نظرية نقل-المشتقات ، انظر ( 6.14 ) ، نجد أن :

$$\int \psi_{n_i}' (E_n^0 - H^0) \psi_{n_i}^{0*} d^3x = - \int \psi_{n_i}^{0*} (E_n' - V') \psi_{n_i}^0 d^3x \quad (8.25)$$

وإذا لاحظنا أن  $\psi_{n_i}^{0*}$  هو حل لمعادلة شرودينجر أى  $(E_n^0 - H^0) \psi_{n_i}^{0*} = 0$  نجد أخيرا أن :

$$\int \psi_{n_i}^{0*} (E_n' - V') d^3x (C_1^0 \psi_{n_1}^0 + C_2^0 \psi_{n_2}^0) = 0 \quad (8.26)$$

وحتى فى الحالة العامة يمكن أن نفرض أن كل التوابع الخاصة  $\psi_{n_i}^0$  معايرة ومتعامدة\* . وبما أن

$$\int \psi_{n_i}^{0*} \psi_{n_i'}^0 d^3x = \delta_{n_i n_i'}$$

نستطيع أن نكتب بدلا عن المعادلة ( 8.26 ) ، المعادلة التالية :

$$C_i^0 (E_n' - V'_{ii}) = C_{i'}^0 V'_{i'i} \quad (i' \neq i) \quad (8.27)$$

حيث

$$V'_{ii} = \int \psi_{n_i}^{0*} V'' \psi_{n_i}^0 d^3x \quad (8.28)$$

$$V'_{i'i} = \int \psi_{n_i}^{0*} V' \psi_{n_i'}^0 d^3x \quad (8.29)$$

وبما أن الوسيط  $i$  فى ( 8.27 ) يأخذ القيمتين 1 أو 2 لذا لحساب قيم الطاقة المجهولة  $E_n'$  والمعاملات  $C_i^0$  ، نستخلص جملة المعادلتين المتجانستين التالية :

\* إن لم تكن التوابع  $\psi_{n_i}^0$  معايرة ومتعامدة نستطيع ، عن طريق تحويلات خطية ، تركيب توابع جديدة معايرة ومتعامدة .

$$\begin{aligned} C_1^0 (E'_n - V'_{11}) - C_2^0 V'_{12} &= 0 \\ -C_1^0 V'_{21} + C_2^0 (E'_n - V'_{22}) &= 0 \end{aligned} \quad (8.30)$$

وبما أن التابع  $\psi_{n_i}^0$  يحقق شرط المعايرة التالى :

$$\int \psi_{n_i}^{0*} \psi_{n_i}^0 d^3x = 1 \quad (8.30a)$$

لذا فإن كلا من التصحيح  $E'_n$  للطاقة لحالة الجملة غير المضطربة والمعاملات  $C_i^0$  ( وكذلك  $\psi_n^0$  ) تتعين بشكل أحادى القيمة . وإذا لاحظنا أنه فى الحالة الخاصة عندما يكون للمجموعة ( 8.30 ) حل غير الصفر عند انعدام معين أمثالها فيمكن أن نحصل لحساب  $E'_n$  على المعادلة التالية :

$$\begin{vmatrix} (E'_n - V'_{11}) & -V'_{12} \\ -V'_{21} & (E'_n - V'_{22}) \end{vmatrix} = 0 \quad (8.31)$$

التي تسمى بالمعادلة المميزة ، مع العلم أن هذه القيمة جاءت من الميكانيكا الفلكية . وبنفس الطريقة تماما نستطيع تعميم ما سبق عندما تكون الحالات الغامرة أكثر من اثنتين أى  $z > 2$  . فإذا كانت للمعادلة المميزة السابقة عدة حلول ( عددها الأعظمى  $z$  ) فلا بد أن يقابل كل منها معاملا  $C_i^0$  ، ولهذا فإن حساب التقريب الأول للطاقة يمكن أن يخفض رتبة الغمور أو ينتزعها وذلك باختيار تراكيب خطية معينة للتابع الموجى ( 8.23 ) المقابل للتقريب الصفرى .

( و ) التقريب الثانى لنظرية الاضطرابات ، الهزاز اللاتوافقى . لندخل قبل كل شىء التصحيح على طاقة جملة فى التقريب الثانى لنظرية الاضطرابات ولنقتصر فى نشر التابع الموجى  $\psi$  والطاقة  $E$  ، أنظر ( 8.3 ) ، على الحدود ذات المرتبة الثانية فى الصغر ثم نعوضها فى معادلة شرودينجر ( 8.2a ) فنجد المعادلة الموافقة للتقريب الثانى ، أى أن :

$$(E_n^0 - H^0) \psi_n'' = - (E'_n - V') \psi_n' - E_n'' \psi_n^0 \quad (8.32)$$

فإذا اعتبرنا أن الحل  $\psi_n^{0*}$  للمعادلة المتجانسة يجب أن يكون متعامدا مع الطرف الأيمن وأن  $\psi'_n$  يعطى بالعلاقة (8.22) نجد أن :

$$\int \psi_n^{0*} \psi'_n d^3x = 0,$$

$$E_n'' = \int \psi_n^{0*} V' \psi'_n d^3x = \sum_{n'}' \frac{|V'_{n'n}|^2}{E_n^0 - E_{n'}^0} \quad (8.33)$$

حيث اعتبرنا أن قيمة  $V'_{n'n}$  تعطى بالعلاقة (8.15) واستعملنا العلاقة

$$V'_{nn'} = V'^*_{n'n}$$

التي تتحقق عندما يكون المؤثر هرميتيا .

ونلاحظ أن التصحيح (8.33) للتقريب الثاني ، للحالة الأخفض يجب أن يكون سالبا دوما لأن كل السويات الباقية  $E_n^0$  تكون أعلى من  $E_n^0$  أى  $E_n^0 > E_n^0$  . ولنطبق العلاقة التي حصلنا عليها فى حساب طيف طاقة الهزاز اللاتوافقى . فنفرض أن جسيما يقع فى الحفرة الكمونية  $V(x)$  ، ولنضع مركز الاحداثيات فى وضع التوازن ( عندما  $x = 0$  ) ولنأخذ مبدأ الحساب بحيث تنعدم الطاقة عند نقطة التوازن (  $V(0) = 0$  ) وعندئذ ، بنشر الطاقة الكامنة فى سلسلة نجد أن :

$$V(x) = V(0) + xV'(0) + \frac{x^2}{2!} V''(0) + \frac{x^3}{3!} V'''(0) + \frac{x^4}{4!} V^{IV}(0) + \dots$$

وإذا اعتبرنا أن  $V(0) = V'(0) = 0$  وفرضنا ( فى حالة التوازن المستقر عند النقطة  $x = 0$  ) أن

$$\frac{1}{2} V''(0) = -\frac{m_0\omega^2}{2!} < 0, \quad \frac{1}{3!} V'''(0) = \alpha$$

$$\frac{1}{4!} V^{IV}(0) = \beta$$

أى أن نحل المسألة لا فى التقريب الصفري وحده وإنما نحلها بعد أخذ الحدود ذات المرتبة الأعلى بعين الاعتبار ، أى للهزاز اللاتوافقى الذى يطبق فى نظرية الجزيئات وعليه فإن معادلة شرودينجر المقابلة للهزاز اللاتوافقى تكتب بالشكل التالى :

$$\frac{d^2\psi}{dx^2} + \frac{2m_0}{\hbar^2} \left( E - \frac{m_0\omega^2 x^2}{2} - V' \right) \psi = 0 \quad (8.34)$$

حيث  $V' = \alpha x^3 + \beta x^4$  هي طاقة الاضطراب والثابتان  $\alpha$  و  $\beta$  لا يتعلقان بـ  $n$ . ولنحسب طاقة الاضطراب دون اهمال الحدود من المرتبة  $n^2$  فيما أن طاقة الهزاز التوافقي في التقريب الصفري تكتب بالعلاقة التالية :

$$E_n^0 = \hbar\omega(n + 1/2) \quad (8.35)$$

لذا اعتبرنا الطاقة  $V'$  كطاقة اضطراب في التقريب الأول نجد أن :

$$E'_n = V'_{nn} = \alpha(x^3)_{nn} + \beta(x^4)_{nn} \quad (8.36)$$

ومن السهل البرهان أن :

$$(x^3)_{nn} = \int_{-\infty}^{+\infty} |\psi_n|^2 x^3 dx = 0$$

لأن المستكمل هو تابع فردي . ويمكن لحساب عنصر المصفوفة  $\beta(x^4)$  ، استخدام قاعدة ضرب العناصر المصفوفية ، انظر ( 7.89 ) ، وعندئذ نجد أن :

$$(x^4)_{nn} = \sum_{\kappa} (x^2)_{n\kappa} (x^2)_{\kappa n} = ((x^2)_{n, n-2})^2 + ((x^2)_{n, n})^2 + ((x^2)_{n, n+2})^2 \quad (8.37)$$

فإذا لاحظنا بعد ذلك قيم العناصر المصفوفية  $x_{n, n}$  ، انظر ( 7.68 ) ، فإننا نجد ، طبقاً للعلاقة ( 7.89 ) ، أن العناصر المصفوفية الثلاثة المختلفة عن الصفر لـ  $(x^2)_{n, n}$  هي التالية :

$$\begin{aligned} (x^2)_{n-2, n} &= \frac{x_0^2}{2} \sqrt{n(n-1)} \\ (x^2)_{n+2, n} &= \frac{x_0^2}{2} \sqrt{(n+2)(n+1)} \\ (x^2)_{n, n} &= x_0^2(n + 1/2). \end{aligned} \quad (8.38)$$

وإذا عوضنا ذلك في المساواة ( 8.37 ) نجد لحساب طاقة الاضطراب  $E'_n$  في التقريب الأول الصيغة التالية :

$$E'_n = 3/2 \hbar^2 \frac{\beta}{m_0^2 \omega^2} (n^2 + n + 1/2) \quad (8.39)$$

إلا أننا لم ننه حل المسألة بعد ، لأن مساهمة الحد الأول من طاقة الاضطراب  $\alpha$  في التقريب الثاني متناسبة مع  $x_0^6/\hbar \sim \hbar^2$  أما ما يخص مساهمة الحد  $\beta x$  في التقريب الثاني فتتناسب مع  $x_0^4/\hbar \sim \hbar^3$  وبالتالي يمكن أن يهمل في تقريبنا هذا . وأما التصحيح على الطاقة في التقريب الثاني لنظرية الاضطرابات فيحسب بالعلاقة ( 8.33 ) .

$$E_n'' = \frac{\alpha^2}{\hbar\omega} \sum_{n'} \frac{(x^3)_{nn'} (x^3)_{n'n}}{(n-n')}$$

والعناصر المصفوفية التي لا تساوى الصفر هي التالية :

$$(x^3)_{n,n-1} = (x^2)_{n,n} (x)_{n,n-1} + (x^2)_{n,n-2} (x)_{n-2,n-1} = 3x_0^3 \sqrt{\left(\frac{n}{2}\right)^3} \quad (8.40)$$

$$(x^3)_{n,n-3} = (x^2)_{n,n-2} (x)_{n-2,n-3} = x_0^3 \sqrt{\frac{n(n-1)(n-2)}{8}}$$

$$(x^3)_{n,n+1} = (x^3)_{n+1,n} = 3x_0^3 \sqrt{\left(\frac{n+1}{2}\right)^3}$$

$$(x^3)_{n,n+3} = (x^3)_{n+3,n} = x_0^3 \sqrt{\frac{(n+3)(n+2)(n+1)}{8}} \quad (8.41)$$

حيث

$$x_0 = \sqrt{\frac{\hbar}{m_0\omega}}$$

ومنه نجد أن :

$$E_n'' = -\frac{15}{4} \hbar^2 \frac{\alpha^2}{m_0^3 \omega^4} \left( n^2 + n + \frac{11}{30} \right) \quad (8.42)$$

وتعطى العبارتان ( 8.39 ) و ( 8.42 ) التصحيح اللاتوافقي لطاقة الهزاز دون اهمال الحدود من المرتبة  $\hbar^2$  .

ز ) النظرية غير المستقرة للاضطرابات . لنعبر أن مؤثر الاضطراب يتعلق بالزمن بشكل صريح  $V' = V'(t)$  ، ونطبق نظرية ديراك في الاضطراب التي تسمح ببناء نظرية العمليات الانتقالية في معادلة شريدنجر

التالية :



$$\left(-\frac{\hbar}{i} \frac{\partial}{\partial t} - H^0 - V'(t)\right) \psi(t) = 0 \quad (8.43)$$

ولنفرض أننا نعرف التوابع الخاصة والقيم الخاصة لمعادلة شرودينجر المستقرة ( $V' = 0$ ) ، أى أن :

$$E_n \psi_n = H^0 \psi_n \quad (8.44)$$

وعندئذ سيكون الحل الكامل للمعادلة غير المضطربة بالشكل التالى :

$$\left(-\frac{\hbar}{i} \frac{\partial}{\partial t} - H^0\right) \psi^0(t) = 0 \quad (8.45)$$

كما يمكن تحويله إلى الشكل التالى :

$$\psi^0(t) = \sum_n C_n e^{-\frac{i}{\hbar} E_n t} \psi_n \quad (8.46)$$

حيث  $C_n$  ثوابت اختيارية نصف مربعات قيمها المطلقة تحدد احتمال وجود الجسيم فى الحالة الكوانتية  $n$  . وإذا أخذنا بعين الاعتبار طاقة الاضطراب  $V'$  فى المعادلة (8.43) فيجب البحث عن حلها العام بالشكل (8.46) ( $\psi_n$ ) و  $E_n$  التوابع الخاصة والقيم الخاصة ( ولكننا نضع شرطا اضافيا هو أن  $C_n$  يجب أن تتبع الزمن ، وهذا ما يقابله رياضيا ، حل المعادلات التفاضلية بطريقة تغيير الثوابت وبما أن العوامل الاحتمالية  $C_n$  نفسها تصبح تحت تأثير الاضطراب تابعة للزمن لذا يمكن وصف عملية انتقال الالكترون من حالة كوانتية إلى أخرى . بتبديل الحل (8.46) فى (8.43) وباعتبار أن العوامل  $C_n$  تتعلق بالزمن والمعادلة (8.44) صحيحة نحصل على المعادلة التالية :

$$-\sum_{n''} \frac{\hbar}{i} \dot{C}_{n''} \psi_{n''} e^{-\frac{i}{\hbar} E_{n''} t} = \sum_{n''} V'(t) C_{n''} \psi_{n''} e^{-\frac{i}{\hbar} E_{n''} t} \quad (8.47)$$

ولنضرب طرفي المساواة بـ  $\psi_n^* e^{\frac{i}{\hbar} E_n t} d^3x$  وباجراء عملية التكامل فى الفراغ كله بعد الأخذ بعين الاعتبار شرط التعامد والمعايرة

$$\int \psi_n^* \psi_{n''} d^3x = \delta_{n''n} \quad (8.48)$$

نحصل لحساب العوامل  $C_n$  على جملة المعادلات التالية :

$$-\frac{\hbar}{i}\dot{C}_{n'} = \sum_{n''} C_{n''} e^{i\omega_{n'n''}t} V'_{n'n''}(t) \quad (8.49)$$

حيث يكون التردد

$$\omega_{n'n''} = \frac{E_{n'} - E_{n''}}{\hbar} \quad (8.50)$$

والعنصر المصفوفي

$$V'_{n'n''}(t) = \int \psi_{n'}^* V'(t) \psi_{n''} d^3x \quad (8.51)$$

ولنلاحظ أن جملة المعادلات (8.49) دقيقة ، أى أنها مكافئة تماما لمعادلة البدء (8.43) ، إلا أن حلها الدقيق فى الحالة العامة غير جائز . أما تقريب نظرية الاضطرابات هنا فيمكن بالبحث عن الحل بالنشر التالى :

$$C_{n'} = C_{n'}^0 + C'_{n'} + C''_{n'} + \dots \quad (8.52)$$

علما أن عوامل التقريب الصفري  $C_{n'}^0$  مستقلة عن  $V'$  أما عوامل التقريب الأول  $C'_{n'}$  والتقريب الثانى  $C''_{n'}$  فيجب أن تتناسب مع  $V'$  و  $(V')^2$  . وبتعويض (8.52) فى (8.49) والافتصار على حدود التقريبين الصفري والأول فنجد لحساب  $C'_{n'}$  جملة المعادلات التالية :

$$\begin{aligned} \dot{C}_{n'}^0 &= 0 && \text{( التقريب الصفري )} \\ -\frac{\hbar}{i}\dot{C}'_{n'} &= \sum_{n''} C_{n''}^0 e^{i\omega_{n'n''}t} V'_{n'n''}(t) && \text{( التقريب الأول )} \end{aligned} \quad (8.53)$$

وهكذا . . .

وتبين المعادلة الأولى من (8.53) أنه يجب أن لا تتعلق العوامل المجهولة بالزمن ضمن التقريب الصفري أى :

$$C_{n'}^0 = \text{const} \quad (8.54)$$

وتحدد قيم هذه العوامل بالشروط الابتدائية التى تصف الالكترون قبل أن يتعرض للاضطراب . ولنفرض مثلا أن الالكترون كان فى الحالة  $n$  فى اللحظة الابتدائية أى ( $t = 0$ ) وعندئذ نستطيع أن نكتب

$$C_{n'n}^0 = \delta_{nn'} \quad (8.55)$$

وتحدد هذه العلاقة الشروط الابتدائية لمسألتنا إذ نجد بعد تبديل (8.55) في (8.53) واعتبار  $(n' \neq n)$  أن :

$$C'_{n'} = C_{n'}(t) = -\frac{i}{\hbar} \int_0^t dt e^{i\omega_{n'n}t} V'_{n'n}(t). \quad (8.56)$$

وعادة ما يحسب احتمال الانتقال  $w$  ، في الميكانيكا الكوانتية في وحدة الزمن ، فإذا اعتبرنا أن احتمال وجود الالكترون في الحالة  $n'$  يساوى مربع القيمة المطلقة  $|C_{n'}|^2$  نحصل لحساب الانتقال  $n - n'$  في وحدة الزمن على العبارة التالية :

$$w_{nn'} = \frac{\partial}{\partial t} |C_{n'}|^2 \quad (8.57)$$

وتعتبر العلاقاتان (8.57) و (8.56) أساسا لدراسة مسائل كثيرة في الميكانيكا الكوانتية بالتقريب الأول لنظرية الاضطرابات غير المستقرة التي يمكن بواسطتهما بناء نظرية الاشعاع الكوانتية .

### البند ٩ - نظرية الاشعاع الكوانتية

أ ( الانتقالات التلقائية والقسرية . طبقا للالكتروديناميكا ( التحريك الكهربائي ) الكلاسيكية يمكن أن تكون الشحنات المتسارعة مصدراً لاشعاع تجدد طاقته الضوئية في وحدة الزمن بالعلاقة التالية :

$$W^{cl} = \frac{2}{3} \frac{e^2}{c^3} \ddot{r}^2 \quad (9.1)$$

حيث  $\ddot{r}$  - تسارع الجسيم . فإذا كان مصدر الاشعاع هزازا توافقياً أحادي البعد ، أي أن :

• معنى الخط الصغير في أعلى الحرف على أنه المتوسط بالنسبة للزمن .

$$x = a \cos \omega t \quad (9.2)$$

فإن تردد الاشعاع سيتطابق مع التردد الميكانيكي لنذبنة الهزاز أما شدة الاشعاع فتناسب مع مربع السعة  $a^2$  ، انظر (7.5) ، وعندما تكون حركة الشحنة معطاة بقانون دورى معقد  $x = f(t)$  دوره  $\tau = \frac{2\pi}{\omega}$  ، يمكن نشر التابع  $f(t)$  فى سلسلة فورييه ( فورير ) :

$$x = \sum_{\kappa} a_{\kappa} \cos \omega_{\kappa} t \quad (9.2a)$$

ثم دراسة الاشعاع كأنه ناتج من مجموعة هزازات تردداتها  $\omega_{\kappa} = \kappa \omega$  حيث  $\kappa = 1, 2, 3, \dots$  ، وبحيث يشع لا النغم الأساسى ( $\kappa = 1$ ) وحده وإنما الأنغام الباقية ( $\kappa = 2, 3, 4, \dots$ ) أيضا ، أما شدة الاشعاع المقابلة فتناسب مع  $a_{\kappa}^2$  . وهكذا نرى أنه طبقا للنظرية الكلاسيكية يتعين اشعاع الجملة تماما بمعرفة خواصها الميكانيكية ، فتردد اشعاع الجملة يساوى تردد اهتزاز الجملة الميكانيكى أو أضعافه ، أما شدة الاشعاع المقابلة للنغمات الأعلى فتناسب مع  $a_{\kappa}^2$  . ولكن الأمر يختلف فى الميكانيكا الكوانتية ، لأن الاشعاع نفسه لا يحدث إلا بانتقال الجسم ( أو الجملة ) من حالة كوانتية إلى أخرى أصغر طاقة أو كما يقال ” من أعلى إلى أسفل “ .

لقد كان أينشتين أول من درس مسألة الاشعاع الكوانتية سنة ١٩١٧ حيث أدخل المعاملين  $A$  و  $B$  ( اللذين يسميان معاملى اينشتين ) وهما يميزان انتقالات الجملة التلقائية والقسرية ( التى تحدث بتأثير حقل كهربيسى خارجى من سوية طاقة إلى أخرى ) . وتتلخص المبادئ الرئيسية لنظرية الاشعاع الكوانتية فى أنه إذا كان أحد الكترونات جملة ذرية يقع فى سوية متهيجة  $n$  طاقتها  $E_n$  فإنه يوجد احتمال معين  $A_{nn}$  منسوب إلى وحدة الزمن لانتقال هذا الالكترون إلى سوية طاقة  $n$  طاقتها  $E_n$  ، بحيث ينطلق فوتون طاقته  $h \omega = E_n - E_n$  وإذا كان عدد الذرات المتشابهة هو  $N_n$

فيمكن كتابة طاقة الاشعاع فى وحدة الزمن الناتجة عن الانتقالات التلقائية بالشكل :

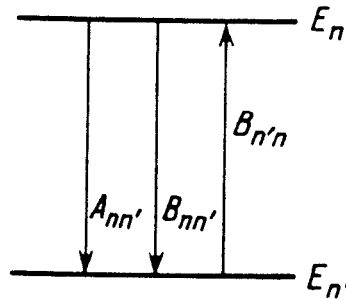
$$W_{rad}'' = N_n A_{nn'} \cdot h \omega \quad (9.3)$$

وإذا تعرضت الذرات إلى إشعاع مغناطيسى خارجى فلا بد لهذا الأخير من إثارة ما يسمى الانتقالات القسرية من أعلى إلى أسفل وبالعكس ، مع العلم ان الانتقالات من أسفل إلى أعلى ستحصل بعد امتصاص معين للفوتونات .

ولنرمز ، كما فعل أينشتين ، لاحتمال الانتقال القسرى من السوية  $n$  إلى السوية  $n'$  بالرمز  $B_{nn'}$  ومن السوية  $n'$  إلى السوية  $n$  بالرمز  $B_{n'n}$  وعند اعتبار أن عدد الانتقالات القسرية يتناسب مع الشدة الطيفية  $\rho(\omega)$  للاشعاع الوارد ، نجد العلاقتين اللتين تحددان طاقتى الاشعاع والامتصاص الناتجين من الانتقالات القسرية ، أى أن :

$$\begin{aligned} W_{rad}^{ind} &= N_n B_{nn'} \rho h \omega \\ W_{abs}^{ind} &= N_{n'} B_{n'n} \rho h \omega \end{aligned} \quad (9.4)$$

حيث  $N_n$  - عدد الذرات الموجودة فى الحالة الكوانتية  $n$  . وعليه ، ندرس الحالة عندما يحصل التوازن الترموديناميكى بين الذرات المسخنة والضوء الصادر عنها ( الاشعاع الأسود ) أى عندما يكون عدد الانتقالات المباشرة



الشكل ٩ - ١ . الانتقالات المباشرة ( من أعلى إلى أسفل ) هى انتقالات تلقائية وفسرية ، والعكسية ( من أسفل إلى أعلى ) هى انتقالات قسرية فقط .

والعكسية متساويا ، انظر الشكل ٩ - ١ ، أى أن

$$N_n A_{nn'} + N_n \rho B_{nn'} = N_{n'} \rho B_{n'n} \quad (9.5)$$

فإذا اعتبرنا أن احتمال طاقة الالكترونات فى هذه الحالة يعطى بتوزيع ماكسويل - بولسمان ، أى أن :

$$N_n = C e^{-E_n/k_B T}, \quad N_{n'} = C e^{-E_{n'}/k_B T}$$

نجد أن :

$$A_{nn'} e^{-E_n/k_B T} + \rho B_{nn'} e^{-E_n/k_B T} = \rho B_{n'n} e^{-E_{n'}/k_B T}$$

فإذا اختصرنا  $e^{-E_n/k_B T}$  من طرفى المعادلة واعتبرنا  $E_n - E_{n'} = h \omega$  نجد أن

$$\rho(\omega) = \frac{\frac{A_{nn'}}{B_{nn'}}}{\frac{B_{n'n}}{B_{nn'}} e^{h\omega/k_B T} - 1} \quad (9.6)$$

أما معامل الاشعاع التلقائى  $A_{nn}$  فيمكن استخلاصه من مبدأ التقابل بمقارنة العلاقات الكوانتية بما يقابلها من النظرية الكلاسيكية . لنجرى هذه المقارنة على مثال الهزاز التوافقى ، فطبقا للنظرية الكلاسيكية تعطى الطاقة التى يشعها الهزاز التوافقى فى وحدة الزمن بالعلاقة (7.10) ، أى أن :

$$W^{cl} = \frac{2e^2 \omega^2 E}{3m_0 c^3} \quad (9.7)$$

أما فى النظرية الكوانتية فتعين بالعلاقة (9.3) التى تكتب فى حالة وجود هزاز واحد ( $N_n = 1$ ) بالشكل التالى :

$$W^{cl} = h \omega_{nn'} A_{nn'} \quad (9.7a)$$

وإذا فرضنا أن معامل الاشعاع التلقائى متناسب مع مربع العنصر المصفوفى\*

\* أى انطلاقا من التشابه مع النظرية الكلاسيكية يكون الاشعاع متناسبا مع مربع سعة الاهتزاز ، انظر (7.5) .

$$A_{nn'} = C |x_{n'n}|^2$$

وعند الانتقال من أعلى إلى أسفل ( $n \rightarrow n'$ ) فإن العناصر المصفوية التي تختلف عن الصفر ، انظر ( 7.68 ) ، ستكون التالية :

$$x_{n-1, n}^2 = \frac{\hbar n}{2m_0\omega} = \frac{1}{2m_0\omega^2} |E_n - E_0|$$

بالإضافة إلى أن :

$$\omega_{n, n-1} = \frac{E_n - E_{n-1}}{\hbar} = \omega$$

وبمساواة التقريب الكلاسيكي ( $\hbar \rightarrow 0$ ) لعبارة طاقة الإشعاع الكوانتية (9.7a) بالعبارة الكلاسيكية المقابلة (9.7) ، نجد لحساب الثابت المعادلة التالية :

$$\frac{CE\hbar\omega}{2m_0\omega^2} = \frac{2}{3} \frac{\omega^2 E e^2}{m_0 c^3}$$

وبحساب الثابت  $C$  نستخلص قيمة عامل الإشعاع القسري

$$A_{nn'} = \frac{4}{3} \frac{e^2 \omega^3}{\hbar c^3} |r_{n'n}|^2 \quad (9.8)$$

وبأخذ علاقة بلانك المعروفة ، انظر ( 1.14 ) ، بعين الاعتبار نكتب

$$\rho(\omega) = \frac{\hbar\omega^3}{\pi^2 c^3} \frac{1}{e^{\hbar\omega/k_B T} - 1}$$

وبتعويضها في (9.6) نستطيع أن نكتب معامل أينشتين للانتقالات القسرية :

• وهذا يقودنا رياضياً إلى حذف الطاقة الصفرية  $E_0 = 1/2 \hbar\omega$  التي ترتبها  $1/n$  في التقريب الكلاسيكي

• أي في مجال الأعداد الكوانتية الكبيرة ( $n \gg 1$ ) بالنسبة لمقدار  $E_n - E_0$

•• لقد انتقلنا هنا من الحالة أحادية البعد إلى الحالة ثلاثية الأبعاد وذلك بتغيير العنصر المصفوي  $|x_{n'n}|^2$  بعنصر مصفوفي شعاعي أي أن :

$$|r_{n'n}|^2 = |x_{n'n}|^2 + |y_{n'n}|^2 + |z_{n'n}|^2$$

$$B_{nn'} = B_{n'n} = \frac{\pi^2 c^3}{\hbar \omega^3} A_{nn'} = \frac{4}{3} \frac{\pi^2 e^2}{\hbar^2} |r_{n'n}|^2 \quad (9.8a)$$

وطبقا لـ (9.7a) تكتب طاقة الاشعاع بالشكل التالي :

$$W_{nn'} = \frac{4}{3} \frac{e^2 \omega^4}{c^3} |r_{n'n}|^2 \quad (9.8b)$$

وبالرغم من أن هذه الطريقة تعطى نتائج كوانتية لما يسمى باشعاع ثنائى الأقطاب ، فلا يمكن اعتبارها منطقية ( وهذا ينطبق أيضا على الاستنتاج الأول لعلاقة بلانك ، انظر البند ١ ، إلا أنها كافية عند الاقتصار على التصورات البسيطة أى أثناء قراءة هذا الكتاب للمرة الأولى ) . أما إذا أردنا تطبيق نظرية الاشعاع الكوانتية السابقة فلا بد أولا من حساب معاملى أينشتين  $A$  و  $B$  ومن ثم بتعويضهما فى (9.6) نحصل على الأساس الكوانتى الدقيق لعلاقة بلانك . هذا ما سنفعله فيما يبقى من هذا البند ، أما الآن فسنتصر على بعض الملاحظات العامة عن النظرية الكوانتية للاشعاع . نتلخص الخطوات العامة للنظرية الكوانتية للاشعاع فى أنه يمكن فى إطار نظرية شرودينجر فهم الانتقالات القسرية التى تحدث نتيجة للتفاعل بين الكترونات الذرة والموجة الكهرطيسية الخارجية ، لكننا لا نستطيع فهم الانتقالات التلقائية من سويات الطاقة المثيجة إلى السويات الأخفض فى حالة انعدام التأثير الخارجى الذى يسبب مثل هذه الانتقالات . ولم تحل هذه المشكلة إلا بعد انشاء نظرية الاشعاع الكوانتية التى استخدم فيها تكميم الحقل الكهرطيسى ( التكميم الثانى ) والتى تعتبر الالكترونات وحقل الاشعاع بمثابة جملتين كوانتيتين تتبادلان التأثير ( تتفاعلان ) ، ولا ينعدم هذا التفاعل حتى فى غياب الفوتونات الحقيقية ، فيما تسمى الفوتونات الغائبة فى هذه اللحظة والتى قد تظهر فيما بعد بالفوتونات الافتراضية التى تشكل ما يسمى بالفراغ الكهرطيسى . وما يشبه التفاعل شبه الكلاسيكى بين الالكترونات والفوتونات الافتراضية هو تأثير قوى الاحتكاك الاشعاعى ( قوة بلانك ) على الالكترون المتحرك ، أى أن :



$$F^{\text{Plank}} = \frac{2}{3} \frac{e^2}{c^3} \ddot{x}$$

وهي القوة التي يسببها الحقل المغناطيسي الناتج عن الالكترون نفسه ، هذا الحقل الذي يمكن أن ينشأ عن الالكترون بشكل اشعاع ضوئي يقابل انتقال الفوتونات من الحالة الافتراضية إلى الحالة الحقيقية ، كما يقال في التكميم الثاني . وقبل البدء في بناء النظرية الكوانتية للاشعاع سنتوقف عند بعض المسائل المتعلقة بتكميم الحقل الكهرطيسي الحر .

ب ) تكميم الحقل الكهرطيسي الحر . من المعلوم أنه يمكن وصف حقل للفوتونات ( الأمواج الكهرطيسية العرضانية ) بواسطة كمون شعاعي يحقق معادلة دالمبير

$$\nabla^2 A - \frac{1}{c^2} \frac{\partial^2 A}{\partial t^2} = 0. \quad (9.9)$$

لنبحث عن حل المعادلة (9.9) بشكل سلسلة فورييه التالية :

$$A = \frac{1}{L^{3/2}} \sum_{\mathbf{x}} A(\mathbf{x}, t) e^{i\mathbf{x}\cdot\mathbf{r}} \quad (9.10)$$

بعد افتراض أن التابع الموجي يحقق شرط الدورية التالي :

$$e^{i\mathbf{x}\cdot(\mathbf{r}+L)} = e^{i\mathbf{x}\cdot\mathbf{r}}$$

بالإضافة إلى أن

$$L_x = L_y = L_z = L$$

انظر أيضا (4.41) ، عندئذ نجد مركبات المتجه ( الشعاع ) الموجي  $\mathbf{x}$  التالية :

$$x_x = n_1 \frac{2\pi}{L}, \quad x_y = n_2 \frac{2\pi}{L}, \quad x_z = n_3 \frac{2\pi}{L} \quad (9.11)$$

حيث

$$n_1, n_2, n_3 = 0, \pm 1, \pm 2, \pm 3, \dots$$

وإذا عوضنا (9.11) في (9.9) ولاحظنا أن :

$$\nabla^2 e^{ikr} = -k^2 e^{ikr}$$

نرى أن السعة  $A(x, t)$  تحقق نفس المعادلة التي يحققها الهزاز التوافقي أيضا :

$$\ddot{A}(x, t) + c^2 k^2 A(x, t) = 0 \quad (9.12)$$

والتي حلها بالشكل التالي :

$$A(x, t) = A(x) e^{-ickt} + B(x) e^{ickt} \quad (9.13)$$

وحتى يكون متجه الكمون حقيقيا يجب أن نجعل

$$B(x) = A^*(-x) \quad (9.14)$$

ومن السهل البرهان على العلاقة الأخيرة إذا عوضنا (9.13) في (9.10) وأجرينا ، في المجموع المؤلف من العوامل  $B(x)$  التغيير التالي :

$$x \rightarrow -x$$

وإذا أخذنا بنظر الاعتبار أيضا (9.14) سنستطيع كتابة النشر (9.10) بالشكل التالي :

$$A = \frac{1}{L^{3/2}} \sum_x (A(x) e^{-ickt+ikr} + A^*(x) e^{ickt-ikr}) \quad (9.15)$$

وبما أن المجموع الأخير يمثل مجموع مقدارين مترافقين عقديا لذا لا بد وأن يكون حقيقيا . ونحسب بعد ذلك الطاقة الكلية  $H$  لحقل الفوتونات التي تساوى كما نعلم

$$H = \frac{1}{8\pi} \int (\mathcal{E}^2 + \mathcal{H}^2) d^3x \quad (9.16)$$

مع العلم أنه عندما يتعلق الأمر بالأمواج العرضانية الكهرومغناطيسية وحدها حيث

$$\Phi = 0, \quad \text{div } A = 0 \quad (9.17)$$

يكون لدينا

$$\mathcal{E} = -\frac{1}{c} \frac{\partial A}{\partial t}, \quad \mathcal{H} = \text{rot } A \quad (9.18)$$

ملاحظة : بصورة عامة ، عندما يكون الحقل الكهرومغناطيسي متغيرا مع الزمن نجد أن الكومون الشعاعى  $A'$  يختلف عن الصفر بالإضافة إلى الكومون السلمى ( العدى )  $\Phi'$  ولكننا نستطيع أن نجري دائما فى الفراغ التحويلات المعيارية

$$\Phi = \Phi' + \frac{1}{c} \frac{\partial f}{\partial t}, \quad A = A' - \text{grad } f$$

التي لا تتغير أثناء ربط شدة متجه الحقل الكهربائى

$$\mathcal{E} = -\frac{1}{c} \frac{\partial A}{\partial t} - \text{grad } \Phi$$

بشدة متجه الحقل المغناطيسى

$$\mathcal{H} = \text{rot } A$$

وعند التبديل فى أى من الكومونات  $\Phi$  ،  $\Phi'$  ،  $A$  ،  $A'$  ، كما أن شرط لورنتز  $(\text{div } A + \frac{1}{c} \frac{\partial \Phi}{\partial t} = 0)$  لا يتغير أيضا إذا حقق التابع المعيارى  $f$  معادلة دالمبير

$$\nabla^2 f - \frac{1}{c^2} \frac{\partial^2 f}{\partial t^2} = 0$$

وبما أن كل مركبات الكومونات فى الفراغ يجب أن تحقق أيضا معادلة دالمبير فإنه يمكن أن نجعل حتى فى الحالة العامة  $\frac{1}{c} \frac{\partial f}{\partial t} = -\eta$  وهذا يؤدي آليا إلى (9.17) والعلاقة (9.18) .

وإذا عوضنا النشر (9.18) فى (9.16) وأخذنا بعين الاعتبار العلاقة :

$$\begin{aligned} \frac{1}{L^3} \int d^3x e^{i(n+n')r} &= \\ &= \frac{1}{L} \int dx e^{\frac{2\pi i x}{L} (n_1+n'_1)} \frac{1}{L} \int dy e^{\frac{2\pi i y}{L} (n_2+n'_2)} \frac{1}{L} \int dz e^{\frac{2\pi i z}{L} (n_3+n'_3)} = \\ &= \delta_{n_1, -n'_1} \cdot \delta_{n_2, -n'_2} \cdot \delta_{n_3, -n'_3} = \delta_{n, -n'} \end{aligned}$$

$$(9.19)$$

وكذلك العلاقة (9.15) نستخلص الهاملتونيان التالي :

$$H = \frac{1}{8\pi} \sum_{\mathbf{x}} \left\{ \frac{1}{c^2} \left( \frac{\partial A(\mathbf{x}, t)}{\partial t} \frac{\partial A(-\mathbf{x}, t)}{\partial t} \right) + ([\mathbf{x}A(\mathbf{x}, t)][\mathbf{x}A(-\mathbf{x}, t)]) \right\} \quad (9.20)$$

كما أنه طبقاً لـ (9.14) يمكن كتابة (9.13) بالشكل التالي :

$$A(\mathbf{x}, t) = A(\mathbf{x}) e^{-icx t} + A^*(-\mathbf{x}) e^{icx t} \quad (9.21)$$

ومن الضروري عند حساب الهاملتونيان الأخذ بعين الاعتبار علاقة المشتقة التالية :

$$\frac{1}{c} \frac{\partial A(\mathbf{x}, t)}{\partial t} = -i\mathbf{x} [A(\mathbf{x}) e^{-icx t} - A^*(-\mathbf{x}) e^{icx t}] \quad (9.22)$$

وكذلك شروط عرضانية حقل الفوتونات التي تنتج من (9.17) أى أن

$$(\mathbf{x}A(\mathbf{x})) = (\mathbf{x}A^*(-\mathbf{x})) = 0 \quad (9.23)$$

وبتعويض العلاقة الأخيرة فى (9.20) يمكن أن نبرهن أن الهاملتونيان لا يتعلق بالزمن وأنه يساوى

$$H = \frac{1}{4\pi} \sum_{\mathbf{x}} \sum_{s=1, 2, 3} \mathbf{x}^2 [A_s^*(\mathbf{x}) A_s(\mathbf{x}) + A_s(\mathbf{x}) A_s^*(\mathbf{x})] \quad (9.24)$$

مع العلم أننا أجرينا التغيير  $\mathbf{x} \rightarrow -\mathbf{x}$  فى الطرف الأيمن من المساواة (9.24) ، هذا وينتج من (9.23) أنه من المستحيل اعتبار المركبات الثلاث لمتجه ( لشعاع ) الكمون مستقلة بينما يمكن اختيار مركبتين مستقلتين فقط ، ويعود سبب ذلك إلى وجود امكانيتهى استقطاب للفوتون فقط . أى أن نشر سعة الكمونات فى مجالات الاستقطاب لا يكون وحيد القيمة ، إلا أنه بالرغم من ذلك يجب أن لا تتوقف النتيجة النهائية على عملية التوسيط أو الجمع فى هذه الحالات ، ولهذا يعبر عن مركبات متجه الكمون بواسطة مركبتين مستقلتين بحيث تتحقق شروط الدورية آليا وتحافظ الصيغة التربيعية

للهاملتونيان عند التعبير عنه بالمركبتين المستقلتين على شكلها . ولهذا نفرض أن :

$$\begin{aligned} A_x(x) &= \sqrt{\frac{2\pi\hbar}{x}} a_1 = \sqrt{\frac{2\pi\hbar}{x}} \left( \frac{x_z x_x}{x x_{12}} b_1 - \frac{x_y}{x_{12}} b_2 \right) \\ A_y(x) &= \sqrt{\frac{2\pi\hbar}{x}} a_2 = \sqrt{\frac{2\pi\hbar}{x}} \left( \frac{x_z x_y}{x x_{12}} b_1 + \frac{x_x}{x_{12}} b_2 \right) \\ A_z(x) &= \sqrt{\frac{2\pi\hbar}{x}} a_3 = -\sqrt{\frac{2\pi\hbar}{x}} \frac{x_{12}}{x} b_1 \end{aligned} \quad (9.25)$$

حيث

$$\begin{aligned} x_{12} &= \sqrt{x_x^2 + x_y^2} \\ x &= \sqrt{x_{12}^2 + x_z^2} = \sqrt{x_x^2 + x_y^2 + x_z^2} \end{aligned} \quad (9.26)$$

ولن نكتب تبعية السعتين  $b_1$  و  $b_2$  للمتجه  $x$  ، توخيا للاختصار\* ، أي

$$b_1 = b_1(x)$$

$$\begin{aligned} b_1(t) &= b_1 e^{-icx t} \\ b_1^+(t) &= b_1^+ e^{icx t} \end{aligned} \quad (9.27)$$

كما سنستخدم الرمز

$$b'_1 = b_1(x')$$

لقد ادخل معامل المعايرة  $\sqrt{\frac{2\pi\hbar}{x}}$  لكي تكون قواعد التبديل ، انظر (9.32) ، معايرة على الواحد . وإذا عوضنا (9.25) في عبارة الهاملتونيان

(9.24) نجد أن

$$H = \frac{1}{2} \sum_{\mu=1,2} \sum_x c\hbar x' (b_{\mu}^+ b_{\mu} + b_{\mu} b_{\mu}^+) \quad (9.28)$$

وإذا اعتبرنا المعادلة الموجية لنتيجة للتكميم الأول (بعبارة أدق ، تخص هذه

\* سنضع السعات  $b$  بشكل مصفوفات ولهذا لن تكون السعات المرافقة مقترنة عقديا وإنما ستكون مقادير هيرميتية مترافقة ، لذا سنرمز لها بالرمز  $b^*$  .

الملاحظة معادلة شرودينجر لا معادلة ماكسويل) فيمكن وصف الخواص الموجية كنتيجة للتكميم الأول، حيث تكون السعات الثابتة  $b_\mu$  اعدادا (الأعداد -  $c$ ) أى أنها أعداد تبادلية فيما بينها. ويمكن اضافة فرضية جديدة هى أن مربع السعة يصف عدد الجسيمات، لكن هذا العدد يجب أن لا يتغير مع الزمن فى عمليتى الاشعاع والامتصاص لأن العدد الكلى للجسيمات ثابت، ولهذا يجب انشاء نظرية تأخذ بعين الاعتبار دراسة مثل هذه العمليات، وذلك باعتبار  $b$  مؤثرات (الأعداد -  $q$ )، ويتم ذلك رياضيا بتكميم العلاقة (9.28) مع تسمية هذا التكميم بالتكميم الثانى، وتعتبر معادلة الحركة الكوانتية، انظر (6.45)، أساسا للتكميم الثانى كما ويمكن اجراء التكميم الأول بواسطتها أيضا، فإذا لاحظنا تبعية السعة للزمن، انظر (9.27) فيمكن أن نكتب:

$$-ic\kappa b_\mu = \frac{i}{\hbar} (Hb_\mu - b_\mu H) \quad (9.29)$$

وبصورة مماثلة يمكن البرهان على أن:

$$ic\kappa b_\mu^\dagger = \frac{i}{\hbar} (Hb_\mu^\dagger - b_\mu^\dagger H) \quad (9.30)$$

وإذا عوضنا الهاملتونيان (9.28) هنا نجد أن العلاقة (9.29) تأخذ الشكل التالى:

$$-ic\kappa b_\mu = \sum_{\mu'=1,2} \sum_{\kappa'} \frac{c\kappa'}{2} [b_\mu'^\dagger (b_\mu' b_\mu - b_\mu b_\mu') + (b_\mu'^\dagger b_\mu - b_\mu b_\mu'^\dagger) b_\mu' + b_\mu' (b_\mu'^\dagger b_\mu - b_\mu b_\mu'^\dagger) + (b_\mu' b_\mu - b_\mu b_\mu') b_\mu'^\dagger] \quad (9.31)$$

وتتحقق المساواة الأخيرة إذا عوضنا:

$$[b_\mu, b_\mu'^\dagger] = b_\mu b_\mu'^\dagger - b_\mu'^\dagger b_\mu = \delta_{\mu\mu'} \delta_{\mu\mu'} \quad (9.32)$$

$$[b_\mu, b_\mu'] = b_\mu b_\mu' - b_\mu' b_\mu = 0 \quad (9.33)$$

ومن (9.30) ينتج أيضا أن

$$[b_{\mu}^{+}, b_{\mu}^{\prime+}] = 0 \quad (9.34)$$

والمعادلة الأخيرة تكافئ التكميم الثاني لسعة الحقل الكهرطيسي .

ملاحظة : ان العلاقتين (9.32) و (9.34) تقابلان الهاملتونيان (9.28) وتصفان التكميم الثاني للجسيمات التي تخضع لاحصاءات بوزي - اينشتين . أما إذا كان الهاملتونيان من الشكل

$$H = \frac{1}{2} \sum_{x'} c h x' (C'^+ C' - C' C'^+) \quad (9.35)$$

وهو ما يمثل الجسيمات التي تخضع لمعادلة ديراك ، انظر البند ١٨ ، فإن معادلة الحركة الكوانتية ستخضع إلى ما يسمى بعلاقات فيرمي - ديراك التبادلية

$$\begin{aligned} C'^+ C + C C'^+ &= \delta_{xx} \\ C' C + C C' &= C'^+ C^+ + C^+ C'^+ = 0 \end{aligned} \quad (9.36)$$

وينتج من (9.32) ان السعات اللاتبادلية هي تلك التي تقابل قيمة وحيدة لكل من الاندفاع والاستقطاب\* :

$$b_{\mu} b_{\mu}^{+} - b_{\mu}^{+} b_{\mu} = 1 \quad (9.37)$$

ولهذا لا يمكن للسعات  $b_{\mu}$  أن تكون أعدادا - c عادية بل تكون أعدادا - q أي مؤثرات ( وهذا ما يشبه المؤثرات  $p_x$  و  $x$  في التكميم الأول للمعادلة ) تتحقق المساواة (9.37) إذا اعتبرنا أن المؤثرين  $b$  و  $b^{+}$  يساويان المصفوفتين اللانهائيتين المترافقتين هرميتيا\*\* ، أي أن :

\* لو لم ندخل معامل المعايرة  $\sqrt{\frac{2\pi c h}{x}}$  في الصلواة (9.25) لوجدنا في الطرف الأيمن من (9.37) مربع هذا المعامل .

\*\* سنهمل دليل الاستقطاب  $\mu$  عند السعة  $b$  ، توخيا للتبسيط ، مع ملاحظة أننا رأينا نفس المصفوفتين (9.38) ، (9.39) سابقا ، عند دراستنا للهزاز التوافقي ، انظر (7.123) .

$$b = \begin{pmatrix} 0 & \sqrt{1} & 0 & 0 & 0 & \dots \\ 0 & 0 & \sqrt{2} & 0 & 0 & \dots \\ 0 & 0 & 0 & \sqrt{3} & 0 & \dots \\ 0 & 0 & 0 & 0 & \sqrt{4} & \dots \\ \dots & \dots & \dots & \dots & \dots & \dots \end{pmatrix} \quad (9.38)$$

$$b^+ = \begin{pmatrix} 0 & 0 & 0 & 0 & \dots \\ \sqrt{1} & 0 & 0 & 0 & \dots \\ 0 & \sqrt{2} & 0 & 0 & \dots \\ 0 & 0 & \sqrt{3} & 0 & \dots \\ \dots & \dots & \dots & \dots & \dots \end{pmatrix} \quad (9.39)$$

ومنه ينتج

$$bb^+ = \begin{pmatrix} 1 & 0 & 0 & 0 & \dots \\ 0 & 2 & 0 & 0 & \dots \\ 0 & 0 & 3 & 0 & \dots \\ 0 & 0 & 0 & 4 & \dots \\ \dots & \dots & \dots & \dots & \dots \end{pmatrix} \quad (9.40)$$

$$b^+b = \begin{pmatrix} 0 & 0 & 0 & 0 & \dots \\ 0 & 1 & 0 & 0 & \dots \\ 0 & 0 & 2 & 0 & \dots \\ 0 & 0 & 0 & 3 & \dots \\ \dots & \dots & \dots & \dots & \dots \end{pmatrix} \quad (9.41)$$

أو

$$bb^+ - b^+b = \begin{pmatrix} 1 & 0 & 0 & 0 & \dots \\ 0 & 1 & 0 & 0 & \dots \\ 0 & 0 & 1 & 0 & \dots \\ 0 & 0 & 0 & 1 & \dots \\ \dots & \dots & \dots & \dots & \dots \end{pmatrix} \quad (9.42)$$

ان هذه القيم المصفوفية للسعتين  $b$  و  $b^+$  تحقق المساواة (9.37). وان التكميم الثانى للحقل الكهرطيسى يؤول من الناحية الفيزيائية إلى وصف الجمة الكوانتية المتغيرة الفوتونات، أو وصف اصدار وامتصاص الفوتونات اعتمادا على بنيتها الجسيمية، ولكى تتحقق العلاقة الأخيرة نختار التابع  $f(N)$  (حيث  $N$  - عدد الفوتونات) الذى يؤثر على كل من المصفوفتين  $b$  و  $b^+$  بالشكل التالى \*

\* يجب أن تؤثر كل سعة متعلقة بالقيمتين  $\mu$  و  $\nu$  على مصفوفتها بالنسبة لعدد الجسيمات  $f(N)$ ، فيما يكون التابع العام لعدد الجسيمات مساويا إلى جداء المصفوفات كلها، أى أن:

$$f(N, N', N'' \dots) = f(N) f(N') f(N'') \dots$$



$$f(0) = \begin{pmatrix} 1 \\ 0 \\ 0 \\ \vdots \\ \vdots \end{pmatrix}, \quad f(1) = \begin{pmatrix} 0 \\ 1 \\ 0 \\ \vdots \\ \vdots \end{pmatrix}, \quad f(2) = \begin{pmatrix} 0 \\ 0 \\ 1 \\ 0 \\ \vdots \\ \vdots \end{pmatrix} \quad (9.43)$$

حيث يمثل التابع  $f(0)$  الحالة الخالية من الفوتونات أما التابع  $f(1)$  فيقابل حالة وجود فوتون واحد و  $f(2)$  - فوتونان وهكذا دواليك . وإذا أخذنا بعين الاعتبار المصفوفتين (9.38) و (9.39) فمن السهل البرهان على أن :

$$bf(0) = 0, \quad bf(1) = f(0), \quad bf(2) = \sqrt{2}f(1)$$

أو

$$bf(N) = \sqrt{N}f(N-1)$$

وبنفس الطريقة تماما يتعين تأثير السعات المرافقة أى أن :

$$b^+f(0) = f(1), \quad b^+f(1) = \sqrt{2}f(2), \quad \dots \\ \dots, \quad b^+f(N) = \sqrt{N+1}f(N+1) \quad (9.44)$$

حيث يسمى المؤثر  $b$  بمؤثر الامتصاص (الفناء) لـ  $(N - N - 1)$  من الفوتونات أما المؤثر  $b^+$  فيسمى بمؤثر الاصدار (التوليد) لـ  $(N - N + 1)$  من الفوتونات . وعليه ينتج من المساواة الأخيرة أن :

$$b^+bf(N) = Nf(N) \\ bb^+f(N) = (N+1)f(N) \quad (9.45)$$

أى أن القيم الخاصة المقابلة للمؤثرين  $b^+b$  و  $bb^+$  عند تأثيرهما على التابع  $f(N)$  تساوى إما عدد الفوتونات  $N$  (بالنسبة للمؤثر  $b^+b$ ) أو  $N+1$  (بالنسبة  $bb^+$ ) . ونرى من العلاقتين (9.45) ، أنه قد يتواجد

أى عدد من الجسيمات فى أى حالة كوانتية ، ولهذا فإن العلاقات التبادلية (9.37) تؤدى إلى احصائيات بوزى - اينشتين .

ملاحظة : لكى نتحقق العلاقات التبادلية (9.36) التى تنتج منها ان ما يختلف عن الصفر هو التركيب اللاتبادلى التالى :

$$C^+ C + C C^+ = 1 \quad (9.46)$$

ولكى نتحقق (9.36) يجب أن نختار عوضا عن المصفوفات (9.38) و (9.39) و (9.43) المصفوفات التالية :

$$\begin{aligned} C &= \begin{pmatrix} 0 & 1 \\ 0 & 0 \end{pmatrix}, & C^+ &= \begin{pmatrix} 0 & 0 \\ 1 & 0 \end{pmatrix} \\ f(0) &= \begin{pmatrix} 1 \\ 0 \end{pmatrix}, & f(1) &= \begin{pmatrix} 0 \\ 1 \end{pmatrix} \end{aligned} \quad (9.47)$$

وعندئذ نتحقق العلاقات التبادلية (9.46) مباشرة ونجد أن :

$$\begin{aligned} Cf(0) &= 0, & Cf(1) &= f(0) \\ C^+f(0) &= f(1), & C^+f(1) &= 0 \end{aligned}$$

ومنه ، نرى أن  $C^+$  هو مؤثر الاصدار ( التوليد ) و  $C$  مؤثر الفناء ، علما أن هذه الحالة تختلف عن احصاءات بوزى - اينشتين ، إذ لا يمكن أن يتواجد فى كل حالة كوانتية أكثر من جسيم واحد ( احصائيات فيرمى - ديراك ) ، أى أنه يتعين تأثير مربعات السمات على تابع العدد بشكل مختلف عن (9.45) أى أن :

$$C^+Cf(N) = Nf(N), \quad CC^+f(N) = (1 - N)f(N) \quad (9.48)$$

وإذا لم تتواجد اية فوتونات فى اللحظة الابتدائية ( $N = 0$ ) فإن  $b^+b = 0$  و  $bb^+ = 1$  ، وتدل العلاقة الأخيرة أن الجملة الكوانتية ( الذرة مثلا ) يجب أن تتبادل التأثير مع حقل الفوتونات المكتم ثانية ( أو كما يقال أحيانا الفراغ الكهرطيسى ) حتى فى غياب الفوتونات الحقيقية ( $N = 0$ ) وبمعرفة

العلاقات التبادلية للسعات  $b_{\mu}$  يمكن بملاحظة (9.25) أن نحسب العلاقات التبادلية لسعات حقل الفوتونات أى أن :

$$[a_s, a_{s'}^+] = \delta_{ss'} (\delta_{ss'} - \kappa_s^0 \kappa_{s'}^0) \quad (9.49)$$

وإذا كان للسعتين نفس الاندفاع ( $\kappa = \kappa'$ ) ، نجد أن :

$$[a_s, a_s^+] = \delta_{ss'} - \kappa_s^0 \kappa_s^0 \quad (9.50)$$

حيث  $\kappa^0$  متجه ( شعاع الوحدة باتجاه اندفاع الفوتون ) . ولكى تتحقق العلاقة الأخيرة يجب أن نفترض ، انظر أيضا (9.45) ، أن :

$$\begin{aligned} a_s a_s^+ &= (1 + N) (\delta_{ss'} - \kappa_s^0 \kappa_s^0) \\ a_s^+ a_s &= N (\delta_{ss'} - \kappa_s^0 \kappa_s^0) \end{aligned} \quad (9.51)$$

حيث  $N$  - العدد الكلى للجسيمات ذات الاندفاع  $\kappa$  ، بعد توسيط هذا العدد بحالتى الاستقطاب الممكنتين وفى الحالة الخاصة وعند غياب الجسيمات ذات الاندفاع  $\kappa$  فإن  $N = 0$  . كما نجد من (9.51) و (9.24) أن

$$H = \sum_{\kappa} 2ch\kappa \left( N(\kappa) + \frac{1}{2} \right) \quad (9.52)$$

حيث يقابل المعامل 2 امكانيتى الاستقطاب ، عدا ذلك عندما تغيب الجسيمات  $N(\kappa) = 0$  تبقى طاقة صفرية تتحدد بالشكل التالى :

$$H_0 = \sum_{\kappa} 2ch\kappa \frac{1}{2} \quad (9.53)$$

• نلاحظ أن عند دراسة مسألة الاشعاع بشكل أدق ، لا بد من معرفة العلاقة (9.51) وحدها وكل العناصر المصنوفة الباقية أعطيت للإيضاح فقط .

وهي ، رياضيا ، ناتجة عن مجموع الطاقات الصفرية لعدد لانهاى من الهزازات المكونة لحقل الفوتونات ، أما من الناحية الفيزيائية فتقابل الفراغ الكهرطيسى الذى يمثل خزاناً للفوتونات ، بحيث « تخرج » منه الفوتونات الحقيقية عند اصدارها و « تدخل » إليه عند امتصاصها ( الذرة مثلا ) .

ج) استنتاج معاملى اينشتين فى النظرية الكوانتية للإشعاع . لدراسة حركة الالكترونات فى حقل الفوتونات الحقيقية ( الناتجة عن الانتقالات القسرية ) أو الافتراضية أى التى لم تظهر بعد ( الناتجة عن الانتقالات التلقائية ) تستخدم معادلة شرودينجر غير المستقرة التى تكتب من أجل الكترون خاضع لحقلين كهربائى ومغناطيسى ، انظر ( 2.33 ) ، بالشكل التالى :

$$\left( -\frac{\hbar}{i} \frac{\partial}{\partial t} - V - \frac{1}{2m_0} \left( p - \frac{e}{c} A \right)^2 \right) \psi = 0 \quad (9.54)$$

وإذا أهملنا الحدود اللامتناهية فى الصغر من المرتبة الثانية متناسبة مع  $A^2$  واعتبرنا أن شرط عرضانية الأمواج الكهرطيسية لهذه الفوتونات  $(\text{div } A = 0)$  وكذلك العلاقة :

$$(pA) \psi = (Ap) \psi + \psi \frac{\hbar}{i} \text{div } A$$

التي تؤدى إلى تبادل المؤثر  $p$  مع المؤثر  $A$  ( فى الجداء العدى « السلمى » ) أى أن :

$$(pA) = (Ap) \quad (9.55)$$

فإنه يمكن كتابة المعادلة ( 9.54 ) بالشكل :

$$\left( -\frac{\hbar}{i} \frac{\partial}{\partial t} - H^0 - V'(t) \right) \psi = 0 \quad (9.56)$$

حيث لا يتعلق الهاملتونيان  $H^0$  بالزمن ، عند غياب حقل الفوتونات ، ويساوى

$$H^0 = V + \frac{1}{2m_0} p^2$$

أما الطاقة الكامنة  $V'$  التي تعتبر طاقة اضطراب ، انظر البند ٨ ، فتتعلق بالزمن ، أى أن

$$V'(t) = -\frac{e}{cm_0} (A(t) p) \quad (9.57)$$

وعند حساب طاقة الاضطراب كما فى (9.57) نكتب عوضا عن متجه الكمون ، انظر (9.15) و (9.25) ، العبارة التالية :

$$A = \frac{1}{L^{1/2}} \sum_x \sqrt{\frac{2\pi c \hbar}{x}} [a(x) e^{-i\omega t + i x r} + a^+(x) e^{i\omega t - i x r}] \quad (9.58)$$

بشرط أن تحقق السعات  $a_s(x)$  العلاقات التبادلية (9.50) وان يكون التواتر  $\omega = c x$  . عندئذ نستخلص العبارة لحساب  $C_{n'}(t)$  طبقا لـ (8.56) العبارة التالية :

$$C_{n'}(t) = \frac{ie}{cm_0 L^{3/2} \hbar} \sum_x \sqrt{\frac{2\pi c \hbar}{x}} \left[ \int d^3x \psi_n^* e^{i x r} (a(x) p) \psi_n \times \right. \\ \left. \times \frac{e^{i(\omega_{n'} n - \omega)t} - 1}{i(\omega_{n'} n - \omega)} - \int d^3x \psi_n^* e^{-i x r} (a^+(x) p) \psi_n \frac{e^{-i(\omega_{nn'} - \omega)t} - 1}{i(\omega_{nn'} - \omega)} \right] \quad (9.59)$$

وعند دراسة إشعاع الفوتونات فقط يمكن اهمال الحد المتناسب مع  $a^+(x)$  فى (9.59) ( مؤثر الاصدار ) أى أن

$$C_{n'}(t) = \frac{-e}{m_0 L^{3/2} \hbar} \sum_x \sqrt{\frac{2\pi}{\omega \hbar} \frac{e^{-i(\omega_{nn'} - \omega)t} - 1}{(\omega_{nn'} - \omega)}} \int d^3x \psi_n^* e^{-i x r} (a^+ p) \psi_n \quad (9.60)$$

ومنه نحدد علاقة لحساب الاحتمال العام للانتقالين التلقائى والقسرى أى أن :

$$\omega_{nn'} = A_{nn'} + \rho(\omega) B_{nn'} = \frac{\partial}{\partial t} C_{n'}^+(t) C_{n'}(t) \quad (9.61)$$

ونستخلص :

$$\omega_{nn'} = \frac{e^2}{L^3 m_0^2} \sum_{\mathbf{x}} \frac{4\pi}{\hbar \omega} \frac{\sin t(\omega - \omega_{nn'})}{\omega - \omega_{nn'}} (a P_{n'n}^*) (a^+ P_{n'n}) \quad (9.62)$$

حيث أن :

$$P_{n'n} = \int d^3x \psi_n^* e^{-i\mathbf{x}\cdot\mathbf{r}} p \psi_n \quad (9.63)$$

ولنتنقل من السلسلة إلى التكامل بواسطة العلاقة\* :

$$\frac{1}{L^3} \sum_{\mathbf{x}} \rightarrow \frac{1}{8\pi^3} \int d^3x \quad (9.64)$$

ثم نستخدم المساواة التالية :

$$\frac{1}{\pi} \frac{\sin(\omega - \omega_{nn'})t}{\omega - \omega_{nn'}} = \delta(\omega - \omega_{nn'}) \quad (9.65)$$

التي تكون صحيحة عندما يكون الزمن كبيرا جدا

ملاحظة : تكون المساواة (9.65) ، عندما  $t \rightarrow \infty$  ، مكافئة لما يلي

$$\frac{1}{\pi} \int_0^{\infty} \frac{\sin(\omega - \omega_{nn'})t}{\omega - \omega_{nn'}} f(\omega) d\omega = f(\omega_{nn'}) \quad (9.66)$$

ولبرهان صحة العلاقة الأخيرة ندخل التبديل التالي :

$$(\omega - \omega_{nn'})t = \xi$$

وإذا اعتبرنا  $t \rightarrow \infty$  ، سيكون :

$$\frac{1}{\pi} \int_{-\omega_{nn'}t}^{\infty} \frac{\sin \xi}{\xi} f\left(\omega_{nn'} + \frac{\xi}{t}\right) d\xi = f(\omega_{nn'}) \frac{1}{\pi} \int_{-\infty}^{+\infty} \frac{\sin \xi}{\xi} d\xi$$

\* لبرهان (9.64) يجب استخدام المساواة (9.11) التي تدل على أن :  $\Delta x_x = \Delta x_y = \Delta x_z = \frac{2\pi}{L}$  وعليه نستخلص العلاقة (9.64) عندما ينتهي  $L \rightarrow \infty$  إلى اللانهاية .

وإذا لاحظنا أن :

$$\frac{1}{\pi} \int_{-\infty}^{\infty} \frac{\sin \xi}{\xi} d\xi = 1$$

وعليه إذا كانت المعادلة ( 9.66 ) صحيحة ستكون المعادلة ( 9.65 ) صحيحة أيضا وبصورة عامة نرى أن للتابع الموجود في الطرف الأيسر من ( 9.65 ) نهاية عظمى حادة عندما  $\omega = \omega_{nn}$  لا تلبث ، بعد مرور زمن صغير  $t = \Delta t$  اعتبارا من لحظة البدء ، أن تتشتت ، ( لكنها تبقى مختلفة عن الصفر ) في مجال الترددات  $|\Delta\omega| = |\omega - \omega_{nn}|$  التي تحقق العلاقة  $|\Delta\omega| \Delta t \sim 1$  وهو ما يقابل تشتت للطاقة طبقا للعلاقة :

$$|\Delta E| \Delta t \sim \hbar \quad (9.67)$$

وتصنف هذه العلاقة كعلاقة اللاتعيين الرابعة وهي معروفة جيدا في أى عملية موجية ، وخاصة في علم الضوء الكلاسيكى حيث نصف اتساع الخطوط الطيفية بفترات محدودة للاشعاع .

تؤدى العلاقة ( 9.65 ) عندما  $t \rightarrow \infty$  إلى فرضية بور أو إلى الصيغة الكوانتية لقانون مصونية الطاقة

$$\omega = \omega_{nn'} \quad (9.68)$$

حيث

$$\omega_{nn'} = \frac{E_n - E_{n'}}{\hbar} \quad (9.69)$$

وبالتالى لا يحدث الاشعاع إلا عند الانتقال من سويات الطاقة العليا إلى سويات أخفض  $E_n > E_{n'}$  . وإذا استعملنا بعد ذلك العلاقات التبادلية ( 9.51 ) فمن السهل البرهان على أن :

$$(a^{\dagger} P_{n'n}) (a^{\dagger} P_{n'n}) = S (1 + N(\omega_{n'n})) \quad (9.70)$$

حيث

$$S = (P_{n'n}^* P_{n'n}) - (x^0 P_{n'n}^*) (x^0 P_{n'n}) \quad (9.71)$$

ثم ننتقل إلى الاحداثيات الكروية للمتجه الموجى  $x(x = \frac{\omega}{c}, \theta, \varphi)$  وعندئذ يكون

$$d^3x = \frac{\omega^2 d\omega d\Omega}{c^3} \quad (9.72)$$

حيث  $d\Omega = \sin \theta d\theta d\varphi$  عنصر الزاوية المجسمة . وإذا اعتبرنا الاشعاع الخارجى متناحيا (متساوى المناحى) أى أن عدد الجسيمات لا يتعلق بالزاويتين  $\varphi, \theta$  ( $N = N(\omega)$ ) فإننا نجد ، بعد التكامل بواسطة التابع -  $\delta$  ، قيمة احتمال الانتقال من أعلى إلى أسفل (مع اصدار الضوء \* ) :

$$w_{nn'} = \frac{e^2 \omega_{nn'}}{2\pi m_0^2 c^3 \hbar} (1 + N(\omega_{nn'})) \oint d\Omega S \quad (9.73)$$

مع العلم أن

$$w_{nn'} = A_{nn'} + \rho B_{nn'} \quad (9.74)$$

ومن العلاقتين الأخيرتين نحسب احتمال الانتقال التلقائى ( $N = 0$ ) بالعلاقة :

---

\* مع ملاحظة أنه بعد التكامل بواسطة التابع -  $\delta$  يجب أن نبذل فى عبارة  $S$  كل  $x$  بـ  $\omega_{nn'}$ .



$$A_{nn'} = \frac{e^2 \omega_{nn'}}{2\pi m_0^2 c^3 \hbar} \oint d\Omega S \quad (9.75)$$

أما احتمال الانتقال القسرى فيكون :

$$B_{nn'} = \frac{N}{\rho} A_{nn'} \quad (9.76)$$

وكي نعبر عن عدد الجسيمات  $N$  بدلالة الكثافة  $\rho$  سننتقل من التصورات التالية : كثافة طاقة الحقل الكهرومغناطيسي تساوي

$$u_{\text{rad}} = \int_0^{\infty} \rho(\omega) d\omega \quad (9.77)$$

وباستخدام عدد الجسيمات  $N(\omega)$  يمكن كتابة (9.77)

$$u_{\text{rad}} = \sum_{\kappa} \frac{c\hbar\kappa 2N(\omega)}{L^3} = \frac{2c\hbar 4\pi}{8\pi^3} \int_0^{\infty} \kappa^3 d\kappa N(\omega) = \frac{\hbar}{\pi^2 c^3} \int_0^{\infty} \omega^3 d\omega N(\omega) \quad (9.78)$$

ومن العلاقتين الأخيرتين نجد :

$$\frac{N}{\rho} = \frac{\pi^2 c^3}{\hbar \omega^3} \quad (9.79)$$

وبعد اعتماد (9.76) نجد أن :

$$B_{nn'} = \frac{\pi^2 c^3}{\hbar \omega^3} A_{nn'} \quad (9.80)$$

نحسب بعد ذلك احتمال الانتقال من سوية طاقة منخفضة  $n'$  إلى أخرى أعلى أي لنحسب احتمال الانتقال مع امتصاص الضوء . ولهذا يجب أن نبدل بين السويتين  $n$  ( النهائية في هذه الحالة ) و  $n'$  ( الابتدائية في هذه الحالة ) ونترك الحدود المتناسبة مع السعة  $a(\kappa)$  ( مؤثر الامتصاص ) وعندئذ نجد أن :

$$C_n(t) = \frac{e}{m_0 L^{3/2}} \sum_n \sqrt{\frac{2\pi}{\omega \hbar}} \frac{e^{i(\omega_{nn'} - \omega)t} - 1}{\omega_{nn'} - \omega} \int d^3x \psi_n e^{i\mathbf{r} \cdot \mathbf{ap}} \psi_{n'} \quad (9.81)$$

فإذا قارنا (9.81) مع (9.60) نجد أن طرفيهما الأيمن هما مقداران مركبان (عقديان) مترافقان وعند حساب مربع قيمتهما المطلقة يجب أن نحصل على نفس النتيجة، رغم أن الاختلاف الرئيسي يكمن في أن السعتين  $a^-$  و  $a^+$  تكونان مؤثرات هنا ولهذا أهمية خاصة، لأنه من (9.51) ينتج أن:

$$a_s a_s^+ \sim (1 + N)$$

$$a_s^+ a_s \sim N \neq a_s a_s^+$$

ولهذا نحصل عند امتصاص الضوء  $w_{n'n}$  على النتيجة (9.73) التي استبدل فيها المضروب  $(1 + N(\omega_{nn'}))$  بالمضروب  $N(\omega_{nn'})$  أى أن

$$w_{n'n} = \rho B_{n'n} = \frac{e^2 \omega_{nn'}}{2\pi m_0^2 c^3 \hbar} N(\omega_{nn'}) \oint d\Omega S \quad (9.82)$$

ان غياب «الواحد» يعنى أن الإمتصاص سيكون قسريا (والامتصاص التلقائي لا يمكن أن يحدث). وإذا قارنا (9.82) مع (9.73) نجد أن:

$$B_{n'n} = B_{nn'} \quad (9.83)$$

أى أن احتمالى الانتقالين القسريين من الأعلى إلى الأسفل وبالعكس متساويان ويتناسبان مع احتمال الانتقال التلقائي، انظر (9.80). وإذا عوضنا (9.80) و (9.83) فى (9.6) نحصل على البرهان الكوانتى لعلاقة بلانك

$$\rho(\omega) = \frac{\hbar \omega^3}{\pi^2 c^3} \frac{1}{e^{\hbar \omega / k_B T} - 1} \quad (9.84)$$

التي تصف توزيع الكثافة الطيفية للإشعاع المتوازن. ومن المفيد أن نذكر أنه تم الحصول على علاقة بلانك للمرة الأولى من مبدأ التبادل وذلك بتعميم النظرية الكلاسيكية المقابلة على الحالة الكوانتية.

( د ) الإشعاع ثنائي الأقطاب والإشعاع المغناطيسي ( ثنائي الأقطاب )  
والإشعاع رباعي الأقطاب . لندرس إشعاعا تلقائيا بدقة أكثر من إشعاع  
ثنائي الأقطاب ، فإذا فرضنا في ( 9.73 ) أن  $N = 0$  فإننا نجد أن احتمال  
الانتقال يعطى بالعلاقة :

$$\omega_{nn'} = A_{nn'} = \frac{e^2 \omega_{nn'}}{2\pi m_0^2 c^3 \hbar} \oint d\Omega S \quad (9.85)$$

حيث يحسب  $S$  بالعلاقة ( 9.71 ) أما  $p_{nn}$  فيحسب بالعلاقة ( 9.63 ) وبمعرفة  
احتمال الانتقال التلقائي يمكن حساب شدة الإشعاع المقابلة بالعلاقة :

$$W_{nn}^v = h \omega_{nn} \cdot A_{nn} \quad (9.86)$$

ثم حساب احتمال الانتقالات القسرية بالعلاقين ( 9.80 ) و ( 9.83 ) مع العلم  
أن المقدار  $r/\lambda \sim \kappa r$  هو مقدار صغير عند حساب العنصر المصفوفي  
( 9.63 ) ، إذ أن طول موجة الضوء المشع  $\lambda \sim 10^{-5} \text{cm}$  أما أبعاد الذرة  
فهى من مرتبة  $10^{-8} \text{cm}$  وبالتالي يكون  $r/\lambda \sim 10^{-3} \ll 1$  . وفى  
المستقبل سنأخذ بعين الاعتبار حدودا أخرى ، عدا حد ثنائي الأقطاب الذى  
لا يتعلق بـ  $(\kappa r)$  ، تتناسب مع  $(\kappa r)$  وتسمح لنا بحساب ما يسمى بإشعاع  
رباعي الأقطاب والإشعاع المغناطيسي ( ثنائي الأقطاب ) فإذا فرضنا أن

$$e^{-i\kappa r} \approx 1 - i(\kappa r) \quad (9.87)$$

نجد لحساب العنصر المصفوفي ( 9.63 ) القيمة التالية :

$$P_{n'n} \approx p_{n'n} - i((\kappa r) p)_{n'n} \quad (9.88)$$

حيث  $P_{n'n} = \int \psi_n^* p \psi_n d^3x$  هو عنصر مصفوفة مؤثر الاندفاع ، وإذا  
استفدنا بعد ذلك من المطابقة التالية :

$$\begin{aligned}\omega_{n'n}(f(r))_{n'n} &= \frac{1}{\hbar} (Hf(r) - f(r)H)_{n'n} = \\ &= \frac{1}{m_0} \left( \frac{1}{i} (\nabla f p) - \frac{\hbar}{2} \nabla^2 f \right)_{n'n} \quad (9.89)\end{aligned}$$

التي يمكن الحصول عليها بسهولة إذا عوضنا فيها عبارة الهاملتونيان بقيمتها التالية :

$$H = \frac{p^2}{2m_0} + V(r) \quad (9.90)$$

مع العلم أن المؤثر في (9.89) يؤثر على التابع  $f(r)$  وحده . وإذا فرضنا في (9.89) أن التابع  $f$  يساوى  $x$  نجد أن :

$$- \omega_{nn'} x_{n'n} = \frac{1}{m_0 i} (p_x)_{n'n}.$$

أو بالشكل المتجهى ( الشعاعى ) :

$$p_{n'n} = - i m_0 \omega_{nn'} r_{n'n} \quad (9.91)$$

وإذا فرضنا بعدئذ أن  $f = x(xr)$  فإننا نجد أن :

$$- \omega_{nn'} (x(xr))_{n'n} = \frac{1}{m_0 i} ((xr) p_x + x(xp) - i \hbar x_x)_{n'n}$$

ونلاحظ أن الحد الأخير فى الطرف الأيمن يساوى الصفر بسبب تعامد التوابع الخاصة ( $n' \neq n$ )

$$(x_x)_{n'n} = x_x \delta_{n'n} = 0$$

ولهذا يمكن كتابة العلاقة الأخيرة كما يلى :

$$- \omega_{nn'} (r(xr))_{n'n} = \frac{1}{i m_0} ((xr) p + r(xp))_{n'n} \quad (9.92)$$

وإذا أخذنا بعين الاعتبار (9.92) فيمكن كتابة الحد الثانى من الطرف الأيمن فى (9.88) بالشكل التالى :

$$(\mathbf{x}r)p = \frac{1}{2}(\mathbf{x}r)p + \frac{1}{2}(\mathbf{x}r)p = \frac{1}{2}(\mathbf{x}r)p - \frac{1}{2}r(\mathbf{x}p) - \frac{im_0\omega_{nn'}}{2}r(\mathbf{x}r)$$

ومنه نجد لحساب العنصر المصفوفى (9.88) العبارة التالية :

$$P_{n'n} = -im_0\omega_{nn'}r_{n'n} + \frac{i}{2}([\mathbf{x}[rp]])_{n'n} - \frac{m_0\omega_{nn'}}{2}(r(\mathbf{x}r))_{n'n} \quad (9.93)$$

حيث يصف الحد الأول من الطرف الأيمن الاشعاع ثنائى الأقطاب العادى والثانى يصف الأشعاع المغناطيسى (ثنائى الأقطاب) أما الثالث فيصف ما يسمى بالأشعاع رباعى الأقطاب . ولنحسب قبل كل شىء احتمال انتقالات ثنائيات الأقطاب . فإذا عوضنا الحد الأول من (9.93) فى (9.71) نجد أن :

$$S = m_0^2\omega_{nn'}^2[(r_{n'n}^*r_{n'n}) - (x^0r_{n'n}^*)(x^0r_{n'n})]$$

ويسهل تكامل المساواة الأخيرة بالنسبة للزوايا بواسطة العلاقتين التاليتين :

$$\oint d\Omega = 4\pi$$

$$\oint (x^0A)(x^0B) d\Omega = \frac{4\pi}{3}(AB) \quad (9.94)$$

وعندئذ نجد احتمال الانتقال الذى يعطى الاشعاع ثنائى الأقطاب أى أن :

$$A_{nn'}^{\text{dip}} = \frac{4}{3} \frac{e^2\omega_{nn'}^3}{\hbar c^3} |r_{n'n}|^2 \quad (9.95)$$

حيث

$$|r_{n'n}|^2 = |x_{n'n}|^2 + |y_{n'n}|^2 + |z_{n'n}|^2 \quad (9.96)$$

وعند ادخال العنصر المصفوفى للجزء ثنائى الأقطاب

$$d_{n'n} = er_{n'n} \quad (9.97)$$

يمكن كتابة (9.95) كما يلي :

$$A_{nn'}^{\text{dip}} = \frac{4}{3} \frac{\omega_{nn'}^3}{\hbar c^3} |d_{n'n}|^2 \quad (9.98)$$

ولنتابع حساب احتمال الانتقالات التي تسبب الاشعاع المغناطيسي . فإذا عوضنا الحد الثاني من (9.93) في العلاقة (9.71) وأخذنا بعين الاعتبار المؤثر :

$$\mu = \frac{e}{2m_0c} [rp] \quad (9.99)$$

الذي يلعب دور العزم المغناطيسي في التقريب الكلاسيكي فإننا نحصل على ما يلي :

$$S = \frac{m_0^2 \omega_{nn'}^2}{e^2} [(\mu_{n'n}^* \mu_{n'n}) - (\chi^0 \mu_{n'n}^*) (\chi^0 \mu_{n'n})] \quad (9.100)$$

وإذا اعتبرنا عند التكامل بالزوايا المساواة (9.94) فإننا نحصل لحساب الانتقالات المغناطيسية على العبارة التالية :

$$A_{nn'}^{\text{magn}} = \frac{4\omega_{nn'}^3}{3\hbar c^3} |\mu_{n'n}|^2 \quad (9.101)$$

وهذا يشبه الحالة الكلاسيكية حيث يختلف الاشعاع المغناطيسي عن الكهربائي بتغيير العزم ثنائي الأقطاب الكهربائي بعزم الأقطاب المغناطيسي . وسنرى فيما بعد أن احتمال الانتقالات المغناطيسية ( وخاصة في الذرة ) أصغر بعدة مرات من احتمال الانتقالات الكهربائية ، ولذلك نحسب أخيرا احتمال الانتقالات التي تعطى الاشعاع رباعي الأقطاب . فتعويض الحد الثاني في الطرف الأيمن من (9.93) في (9.71) نجد أن :

$$S = \frac{m_0^2 \omega_{nn'}^4}{4c^2} [(x_s (\chi^0 r))_{n'n}^* (x_s (\chi^0 r))_{n'n} - ((\chi^0 r) (\chi^0 r))_{n'n}^* ((\chi^0 r) (\chi^0 r))_{n'n}] \quad (9.102)$$

حيث يتم الجمع بالوسيط ، الذي يظهر مرتين ، من 1 حتى 3  
 هذه الحالة اعتبار (9.94) و

$$\oint (\mathbf{x}^0 A) (\mathbf{x}^0 B) (\mathbf{x}^0 C) (\mathbf{x}^0 D) d\Omega = \\ = \frac{4\pi}{15} [(AB)(CD) + (AC)(BD) + (AD)(BC)] \quad (9.103)$$

صحيحتين . وعندئذ وباعتبار صحة (9.85) فإننا نجد لحساب انتقالات  
 رباعيات الأقطاب العلاقة التالية :

$$A_{nn'}^{\text{quadr}} = \frac{e^2 \omega_{nn'}^5}{30c^5 \hbar} [3(x_s x_{s'})_{n'n}^* (x_s x_{s'})_{n'n} - (r^2)_{n'n}^* (r^2)_{n'n}] \quad (9.104)$$

وإذا اعتبرنا بعدئذ العزم رباعى الأقطاب ( التنزر أو الرتل )

$$Q_{ss'} = e (3x_s x_{s'} - r^2 \delta_{ss'})$$

فإننا نجد أخيرا

$$A_{nn'}^{\text{quadr}} = \frac{\omega_{nn'}^5}{90c^5 \hbar} (Q_{ss'})_{n'n}^* (Q_{ss'})_{n'n} \quad (9.105)$$

د) اشعاع الهزاز التوافقى . لندرس من خلال الهزاز التوافقى بعض  
 المسائل المتعلقة بالاشعاع التلقائى ، لقد برهنا فى البند السابع أن العناصر  
 المصفوية التى لا تساوى الصفر هى :

$$x_{n-1, n} = x_0 \sqrt{\frac{n}{2}} \\ x_{n+1, n} = x_0 \sqrt{\frac{n+1}{2}} \quad (9.106)$$

$$x_0 = \sqrt{\frac{\hbar}{m_0 \omega}}$$

أى أن انتقالات ثنائى الأقطاب مسموحة فقط بين سويتين متجاورتين وبالتالي فإن قواعد الانتقاء لاشعاع ثنائى الأقطاب هى التالية :

$$\Delta n = n - n' = \pm 1 \quad (9.107)$$

وبصورة خاصة نرى أن الانتقال التلقائى مسموح فقط عندما  $n - n - 1$  ، انظر الشكل ( ٩ - ١ ) ، أما التردد المقابل فهو :

$$\omega_{n, n-1} = \frac{E_n - E_{n-1}}{\hbar} = \omega \quad (9.108)$$

وهو يساوى تردد الاهتزاز الميكانيكى ، وقد اعتبرنا هنا أن طبقاً لـ (7.28)  $E_n = \hbar\omega(n + 1/2)$  . أما كثافة الاشعاع فنحسبها طبقاً لـ (9.86) و (9.95) ، بالعلاقة التالية :

$$W_{n, n-1}^{\text{dip}} = \frac{2}{3} \frac{e^2 \omega^2}{m_0 c^3} n \hbar \omega = \frac{2}{3} \frac{e^2 \omega^2}{m_0 c^3} (E_n - E_0) \quad (9.109)$$

حيث

$$E_0 = 1/2 \hbar \omega$$

وإذا فرضنا أن  $n \rightarrow 0$  فإننا نحصل على العبارة الكلاسيكية المعروفة لحساب طاقة اشعاع الهزاز التوافقى :

$$W^{\text{dip}} = \frac{2}{3} \frac{e^2 \omega^2}{m_0 c^3} E \quad (9.110)$$

أما الانتقالات إلى سويت أعلى  $n - n + 1$  فهى جائزة عند حدوث الامتصاص القسرى . وعليه يطرح السؤال : هل يمكن حدوث اشعاعات المتوافقيات العليا فى حالة الهزاز التوافقى ؟ وللإجابة على هذا السؤال نحسب كثافة الاشعاع رباعى الأقطاب التى تتناسب مع العنصر المصفوفى  $(x^2)_{n, n}$  طبقاً للعلاقة :

$$Q_{yy} = Q_{zz} = -e(x^2), \quad Q_{xx} = 2e(x^2) \quad (9.111)$$



وإذا استفدنا من (9.86) و (9.105) فيمكن لحساب شدة الاشعاع رباعي الأقطاب استخلاص العلاقة التالية :

$$W_{nn'}^{quadr} = \frac{e^2 \omega^6}{15c^5} (x^2)_{n'n}^2 \quad (9.112)$$

وإذا علمنا أن العناصر المصفوفية  $(x^2)_{n'n}$  ، انظر (8.38) ، تعطى بالعلاقات التالية :

$$\begin{aligned} (x^2)_{n-2, n} &= \frac{x_0^2}{2} \sqrt{n(n-1)} \\ (x^2)_{n+2, n} &= \frac{x_0^2}{2} \sqrt{(n+2)(n+1)} \\ (x^2)_{n, n} &= x_0^2 \left( n + \frac{1}{2} \right) \end{aligned} \quad (9.113)$$

فيمكن كتابة قواعد الانتقاء الخاصة بالاشعاع رباعي الأقطاب بالشكل التالي :

$$\Delta n = n - n' = 0, \pm 2 \quad (9.114)$$

وعندما يكون الاشعاع تلقائياً حيث  $n - n' = 2$  نرى أنه لا تنتج القيمة الأساسية ( كما في انتقالات ثنائي الأقطاب ) وإنما المتوافقى الأول :

$$\omega_{n, n-2} = \frac{E_n - E_{n-2}}{\hbar} = 2\omega \quad (9.115)$$

فإذا لاحظنا العلاقتين (9.113) و (9.115) فإننا نجد أن :

$$W_{n, n-2}^{quadr} = \frac{16e^2}{15c^5} \frac{\hbar^3 \omega^4}{m_0^2} n(n-1) \quad (9.116)$$

وفي التقريب الكلاسيكي عندما  $\hbar \omega n - E$  نجد أن :

$$W^{quadr} = \frac{16e^2}{15c^5} \frac{E^2 \omega^3}{m_0^2} \quad (9.117)$$

ومن ( 9,107 و 9.117 ) تستنتج قواعد الانتقاء العامة فنرى أن الانتقالات الموافقة لثنائيات الأقطاب تحدث عندما  $\Delta n = \pm 1$  أما الانتقالات الموافقة لرباعيات الأقطاب فتحدث عندما  $\Delta n = 0, \pm 2$  . وبما أن زوجية التابع الموجى تتعين بالعدد الكوانتى ، انظر ( 7.42 ) ، فإن الانتقالات التى تعطى اشعاعا ثنائى الأقطاب مسموحة من سوية زوجية إلى أخرى فردية وبالعكس أما انتقالات رباعى الأقطاب فهى ممنوعة من سوية فردية إلى أخرى فردية أو من زوجية إلى أخرى زوجية . ولنحسب الآن نسبة شدتى الاشعاع فنجد من ( 9.117 ) و ( 9.100 ) أن :

$$\frac{W^{\text{quadr}}}{W^{\text{dip}}} = \frac{8}{5} \frac{E}{m_0 c^2} \sim \left( \frac{a}{\lambda} \right)^2 \quad (9.118)$$

حيث  $a^2 = \frac{2E}{m_0 \omega^2}$  مربع السعة الكلاسيكية للاهتزاز أى أن احتمال الانتقالات رباعى الأقطاب أصغر بكثير من احتمال انتقالات ثنائى الأقطاب فى التقريب اللانسبى ( $E \ll m_0 c^2$ ) . ولنكتب أخيرا قواعد الانتقاء لانتقالات ثنائيات الأقطاب عند اشعاع الهزاز التوافقى :

$$\Delta n = \pm 1 \quad (9.119)$$

أما قواعد الانتقاء لانتقالات رباعيات الأقطاب فهى \* :

$$\Delta n = 0, \pm 2 \quad (9.120)$$

هذا ولا توجد انتقالات مغناطيسية للهزاز التوافقى بسبب انعدام العزم الحركى وبالتالي المغناطيسى فى الحركة المستقيمة .

\* يقال فى الضوء عن انتقالات ثنائيات الأقطاب أنها انتقالات مسموحة كما يقال عن الانتقالات الباقية بأنها ممنوعة حتى ولو كانت مسموحة بالنسبة لاشعاع رباعيات الأقطاب والاشعاع المغناطيسى ، ويجب أحيانا حساب هذه الأخيرة خاصة إذ يحدث فى كثير من الحالات أن تكون بعض الخطوط الطيفية الممنوعة لثنائى الأقطاب ناتجة عن اشعاع رباعيات أو الاشعاع المغناطيسى . ويكون طول موجة الضوء الناتج عن الجمل الذرية - الجزئية ( $\lambda \sim 10^{-3}$  cm) أكبر بكثير من أبعاد الذرة ( $a \sim 10^{-8}$  cm) ولهذا يصغر احتمال اشعاع رباعى الأقطاب ، انظر ( 9.118 ) ، بمقدار  $10^7$  مرة بالمقارنة مع احتمال اشعاع ثنائى الأقطاب .

( و ) لمحة عن المضخات والمولدات الكوانتية . لقد لاقت مؤخرًا نظرية الإشعاع القسرى أو المحرض تطبيقًا هامًا جدًا بفضل اختراع المضخات والمولدات الكوانتية من قبل العالمين السوفياتيين بأسوف وبروخوروف . وتوخيا للسهولة سندرس جملة مؤلفة من سويتى طاقة  $E_1$  و  $E_2 > E_1$  ، إذ يحدث الإشعاع التلقائي عن انتقالات تجرى ذاتيا من  $E_2$  إلى  $E_1$  ( احتمال الانتقال  $A_{21}$  ) ، وينطلق باتجاهات مختلفة وبأطوار غير متناسقة ولذلك يسمى بالإشعاع المتبعثر أما اتجاه انتشار واستقطاب الإشعاع القسرى المحرض فينتطبق مع اتجاه انتشار وطور استقطاب الإشعاع الكهرطيسي الخارجى ( مع العلم أن احتمال الانتقال هنا هو  $\rho B_{21}$  حيث  $\rho$  هي الكثافة الطيفية للإشعاع الخارجى الوارد). وهذا يعنى أن الإشعاع القسرى يكون متجمعا . وبحسب احتمال الانتقال من سوية أعلى إلى سوية أدنى ( $E_2 - E_1$ ) بالعلاقة\* :

$$\omega_{21} = A_{21} + \rho B_{21} \quad (9.121)$$

ويجب أن تتراوح ترددات الإشعاع الخارجى ضمن حدود الانتقال الرنينى بتردد قدره :

$$\omega_{21} = \frac{E_2 - E_1}{h} > 0 \quad (9.122)$$

وتوخيا للبساطة سنقتصر على دراسة الانتقالات الرنينية ( التجاوبية ) ( $\omega = \omega_{21}$ ) وفى هذه الحالة يمكن للجملة أن تنتقل من سوية أدنى إلى سوية أعلى ، تحت تأثير الإشعاع الخارجى وذلك بامتصاصها لكوانت من الطاقة ، حيث أن احتمال هذا الانتقال يساوى :

$$\omega_{12} = \rho B_{12} \quad (9.123)$$

\* بما أننا سنهتم بالدراسة الكمية للمسألة سنقتصر على دراسة الإشعاع متساوى المناحى ، أما تعميم ذلك على انتشار الأشعة فى اتجاه معطى فيمكن إيجاده فى المراجع الخاصة بذلك .

فإذا رمزنا لعدد الذرات فى وحدة الحجم ذات الطاقة  $E_2$  بالرمز  $N_2$  وعدد الذرات ذات الطاقة  $E_1$  بالرمز  $N_1$  حيث يسمى العددين  $N_1$  و  $N_2$  بانشغالية السويات وعندئذ تساوى شدة ( قوة ) الاشعاع المتعرض :

$$p_{21} = \hbar\omega_{21}N_2B_{21}\rho \quad (9.124)$$

وبنفس الطريقة نحسب شدة الامتصاص المتعرض :

$$p_{12} = \hbar\omega_{12}N_1B_{12}\rho = -\hbar\omega_{21}N_1B_{12}\rho \quad (9.125)$$

وإذا اعتبرنا طبقا للعلاقة (9.83) أن  $B_{21} = B_{12}$  فيمكن حساب شدة الاشعاع المتعرض والامتصاص المتعرض بالعلاقة التالية :

$$p = p_{21} + p_{12} = \hbar\omega_{21}\rho B_{21} (N_2 - N_1) \quad (9.126)$$

وعند حدوث التوازن الترموديناميكى فإنه بمعرفة درجة الحرارة  $T$  تتعين تماما كثافة انشغال السويات ، أى معرفة توزع الذرات على سويات الطاقة :

$$N_2 = Ce^{-\frac{E_2}{k_B T}}, \quad N_1 = Ce^{-\frac{E_1}{k_B T}} \quad (9.127)$$

ومنه ينتج دائما أن :

$$N_1 > N_2 \quad (9.128)$$

ولهذا يجب أن يمتص دوما الاشعاع الكهرطيسى الذى يمر عبر المادة الواقعة فى حالة التوازن الترموديناميكى ( $p < 0$ ) . ولتسعير الاشعاع ينبغى أن تختل حالة التوازن الترموديناميكى وأن تظهر مجموعة ذرات أو جزيئات ، تكون السويات الدنيا لها أقل انشغالا من سوياتها العليا ( $N_1 < N_2$ ) ويقال عندئذ أن لهذه المجموعة انشغالا عكسياً . ويمكن خلق التضخيم على هذا

الأساس ، مبدئياً بالنسبة لكل الجسيمات ، فإذا اعتمدنا مفهوم الحرارة السابق فإننا نجد باستخدام العلاقة

$$\frac{N_2}{N_1} = e^{-\frac{E_2 - E_1}{k_B T}} \quad (9.129)$$

انه يجب في حالة الانشغال العكسي ( $N_2 > N_1$ ) أن تكون الحرارة  $T$  سالبة ( $T < 0$ ) ونلاحظ أن مفهوم درجة الحرارة السالبة اصطلاحى صرف ، ويمكن أن ينسب إلى سويتين فقط وإلى وقت قصير وصغير بالمقارنة مع زمن التآرجح (ولا تكون هذه الحالة متوازنة ترموديناميكيا). وفي الحالة المعاكسة تحدد درجة الحرارة في وضع التوازن الترموديناميكى كثافة الانشغال بكل الحالات الطاقوية وفي كل لحظة من الزمن . ويجب التأكيد هنا أن الاشعاع التلقائى يخفض من زمن وجود الالكترن على سوية عليا أى أنه يقلل من عمر الحالات المعكوسة آنفة الذكر . ولنفرض أن الانتقال  $E_2 - E_1$  يحدث عن طريق ثنائيات الأقطاب أى يسمح به ، وعندئذ يمكن حساب زمن بقاء الالكترن على سوية عليا  $\tau_{sp}$  من العلاقة\* :

$$\frac{1}{\tau_{sp}} = A_{21}^{dip} \sim \frac{e_0^2}{\hbar c} \cdot \frac{ca^2}{\lambda^3} = \frac{1}{137} \frac{ca^2}{\lambda^3} \quad (9.130)$$

حيث يسمى المقدار  $\frac{e_0^2}{\hbar c} \approx \frac{1}{137}$  بثابت البنية الدقيقة أما  $a$  فهو سعة الاهتزاز وهو من رتبة  $10^{-8} - 10^{-9} \text{cm}$  وفي المجالات الاشعاعية ( $\lambda \sim 1 \text{cm}$ ) يكون زمن الاشعاع التلقائى لثنائى الأقطاب ( $\tau_{sp} = 10^7 \text{sec}$ ) لأنه يتناسب مع  $\lambda^3$  أما  $\tau_{ind}$  فيساوى طبقاً لـ (9.80) إلى :

$$\frac{1}{\tau_{ind}} = \rho B_{21} \sim \frac{\rho ca^2}{137\hbar} \quad (9.131)$$

\* للحصول على (9.130) نستخدم العلاقة (9.110) التى تعطى كثافة الاشعاع التلقائى لثنائى الأقطاب للهباز التوافقى (لاحتمال الانتقال فى الجمل الأخرى من نفس المرتبة) فإذا فرضنا فى (9.110) أن  $E_0 = \frac{m_0 a^2 \omega^2}{2}$  وقسمنا كل المساواة على  $\hbar \omega$  نحصل على (9.130) .

وهو لا يتعلق بـ  $\lambda$  ويمكن جعله أصغر بكثير من  $\tau_{sp}$  عندما تأخذ  $\rho$  قيمة أكبر ، وعندئذ يمكن اعتبار الاشعاع القسرى أكبر بكثير من كثافة الاشعاع التلقائي ويفضل هذا يمكن اعتبار الاشعاع التلقائي تشويشا فقط . أما في المجالات الضوئية ( $\lambda = 10^{-4}\text{cm} - 10^{-5}\text{cm}$ ) وعندما تسمح بالانتقالات (العلاقة 9.130) نرى أن الزمن  $\tau_{sp} \sim 10^{-7}\text{sec}$  ولتضخيم هذا الزمن من المفضل أن نأخذ سويات طاوية تكون الانتقالات منها إلى السوية الأساسية ممنوعة ( أى يجب أن لا توجد انتقالات ثنائي الأقطاب  $(A_{21}^{\text{dip}} = 0)$  . وإذا فرضنا امكانية حدوث انتقالات من نوع رباعيات الأقطاب بين السويات فإنه يمكن حساب زمن الانتقال من العلاقتين (9.130) و (9.118) ، حيث نجد أن :

$$\frac{1}{\tau_{sp}} = A_{21}^{\text{quadr}} \sim \left(\frac{a}{\lambda}\right)^2 \frac{ca^2}{137\lambda^3} \quad (9.132)$$

وفي المجالات الضوئية ، خاصة ( $\lambda \sim 10^{-5}\text{cm}$ ) يمكن تخضيم زمن الانتقالات الخاص برباعى الأقطاب إلى ثانية واحدة . ولقد صممت المضخمات الكوانتية الحديثة وكذلك المولدات ( المازرات واللازيرات ) اعتمادا على خلق كثافة انشغال عكسية ، بشكل أو بآخر ، ونتيجة لذلك يجب أن يحدث تضخيم أو توليد للاشعاع بعد عبور الموجات الكهرطيسية إلى الذرة .

ز) أسس نظرية التبدد ( التشتت ) . لقد وجدت نظرية الاضطراب تطبيقا لها عند دراسة تفاعل الضوء مع المادة . وجوهر المسألة هنا هو اختلاف النتائج المستخلصة بالطريقة الكوانتية عن المستخلصة بالطريقة الكلاسيكية مع العلم أن التحقيق التجريبي كان لصالح نتائج النظرية الكوانتية . لندرس نظرية التبدد ( أى نظرية تشتت أو تناثر الضوء في وسط ما ) ، ففي الأوساط العازلة التى توصف طبقا للتصورات الكلاسيكية ، بقرنية انكسار  $n = \sqrt{\epsilon}$  حيث  $\epsilon$  هى نفاذية العازل ( وتكون

النفائية المغناطيسية عندئذ مساوية الواحد ( $\mu = 1$ ) ، ومن المعلوم أنه إذا ازداد تردد الضوء العار عبر المادة تزداد قرنية الانكسار ( $\frac{dn}{d\omega} > 0$ ) ويسمى هذا التبدد عاديا ، وأوضح مثال عليه ، هو التحليل الطيفي للضوء العادي بواسطة المواشير الزجاجية أو الكوارتزية حيث تنحرف الأشعة البنفسجية عن الاتجاه الأساسي أكثر من الأشعة الحمراء ، أما التشتت الشاذ ( $\frac{dn}{d\omega} < 0$ ) فيلاحظ في مجال الترددات التي يمتصها الوسط ، ولحساب قرنية الانكسار  $n$  نستخدم العلاقة بين متجه شدة الحقل الكهربائي  $\mathcal{E}$  ومتجه التحريض  $\mathcal{D}$  وقيمة الاستقطاب  $\mathcal{P}$  أى التالية :

$$\mathcal{D} = e\mathcal{E} = \mathcal{E} + 4\pi\mathcal{P} \quad (9.133)$$

ومنه إذا اعتبرنا أن  $\epsilon = n^2$  نجد أن :

$$\mathcal{P} = \frac{n^2 - 1}{4\pi} \mathcal{E} \quad (9.134)$$

وهكذا نرى أنه لحساب  $n$  يجب معرفة العلاقة\* بين  $\mathcal{P}$  و  $\mathcal{E}$  انطلاقا من التصورات المجهرية لبنية المادة . ولنتنقل الآن إلى بناء النظرية الكوانتية للتبدد ، ولهذا نفرض أن كل الكترولونات الذرات تقع في حالة كوانتية وحيدة  $\kappa$  ، ولحل مسألتنا هذه نستفيد من نظرية الاضطراب لأن طاقة التفاعل مع الحقل الخارجى ، بصورة عامة ، ستكون صغيرة بالمقارنة مع طاقة ارتباط الالكترولونات في الذرات . وإذا لاحظنا أن القوة الخارجية المؤثرة على الالكترولون في الحالة اللانسبية ( أى باهمال القوة المغناطيسية ) تساوى :

$$F_x = -e_0\mathcal{E}_0 \cos \omega t, \quad F_y = F_z = 0$$

\* ان الاستقطاب  $\mathcal{P}$  طبقا لتعريفه ، هو محصلة العزوم الكهربائية للذرات فى وحدة الحجم .

فإننا نجد لحساب طاقة الاضطراب \* العبارة التالية :

$$V' = e_0 x \mathcal{E}_0 \cos \omega t \quad (9.135)$$

وعليه نكتب معادلة شرودينجر للالكترون كما يلي :

$$\left( -\frac{\hbar}{i} \frac{\partial}{\partial t} - H^0 - V' \right) \psi_{\kappa}(t) = 0 \quad (9.136)$$

حيث  $H_0$  الهاملتونيان عند غياب الاضطراب . وإذا فرضنا أنه عندما  $V' = 0$  يكون للمعادلة (9.136) حل دقيق شكله :

$$\psi_{\kappa}^0(t) = \psi_{\kappa}^0 e^{-i(t/\hbar) E_{\kappa} t} = \psi_{\kappa}^0 e^{-i\omega_{\kappa} t} \quad (9.137)$$

حيث  $\psi_{\kappa}^0$  و  $E_{\kappa}$  تحققان المعادلة :

$$(E_{\kappa} - H^0) \psi_{\kappa}^0 = 0 \quad (9.138)$$

وعندئذ ، وطبقاً لنظرية الاضطراب ، نبحث عن حل شكله :

$$\psi_{\kappa}(t) = \psi_{\kappa}^0(t) + \psi'_{\kappa}(t) \quad ((9.139)$$

فإذا أخذنا بعين الاعتبار المساواة :

$$\left( -\frac{\hbar}{i} \frac{\partial}{\partial t} - H^0 \right) \psi_{\kappa}^0(t) = 0 \quad (9.140)$$

فإننا سنجد لحساب  $\psi'_{\kappa}(t)$  في التقريب الأول المعادلة التالية :

$$\left( -\frac{\hbar}{i} \frac{\partial}{\partial t} - H^0 \right) \psi'_{\kappa}(t) = V' \psi_{\kappa}^0(t) \quad (9.141)$$

\* يمكن اعتبار الحقل الكهربائي ثابتاً لأنه مستقل عن  $r$  بالنسبة للأبعاد التي هي من رتبة أبعاد الذرة .



وإذا بدلنا  $V'$  بقيمتها من (9.135) نجد أن :

$$\left(-\frac{\hbar}{i} \frac{\partial}{\partial t} - H^0\right) \psi'_\kappa(t) = \frac{1}{2} e_0 x \mathcal{E}_0 \psi_\kappa^0 \{e^{-it(\omega_\kappa - \omega)} + e^{-it(\omega_\kappa + \omega)}\}. \quad (9.142)$$

ولكى نحذف الزمن في هذه المعادلة نبحث عن الحل  $\psi'_\kappa(t)$  بالشكل التالي :

$$\psi'_\kappa(t) = ue^{-it(\omega_\kappa - \omega)} + ve^{-it(\omega_\kappa + \omega)} \quad (9.143)$$

وعندئذ لحساب كل من  $u$  و  $v$  نحصل على المعادلتين التاليتين :

$$\{\hbar(\omega_\kappa - \omega) - H^0\} u = \frac{1}{2} e_0 x \mathcal{E}_0 \psi_\kappa^0 \quad (9.144)$$

$$\{\hbar(\omega_\kappa + \omega) - H^0\} v = \frac{1}{2} e_0 x \mathcal{E}_0 \psi_\kappa^0 \quad (9.145)$$

ونلاحظ أن للمعادلتين الأخيرتين نفس التركيب ولهذا يكفى حساب التابع  $u$  وعندئذ لحساب  $v$  يلزم تبديل  $\omega$  بـ  $-\omega$ . وبما أن المعادلة (9.144) لا تحوى الزمن بشكل صريح فلحساب التابع  $v$  يمكن استخدام طريقة نظرية الاضطراب المستقرة فنبحث عن الحل بشكل نشر التوابع الخاصة للمسألة غير المضطربة ، انظر (8.8) ، أى أن :

$$u = \sum_{\kappa''} C_{\kappa''} \psi_{\kappa''}^0 \quad (9.146)$$

حيث يحقق  $\psi_{\kappa''}^0$  المعادلة التالية :

$$(E_{\kappa''} - H^0) \psi_{\kappa''}^0 = 0 \quad (9.147)$$

ومن المساوتين الأخيرتين نجد أن :

$$\hbar \sum_{\kappa''} C_{\kappa''} (\omega_{\kappa''} - \omega) \psi_{\kappa''}^0 = \frac{e_0 x \mathcal{E}_0}{2} \psi_\kappa^0 \quad (9.148)$$

حيث يعطى تردد الاشعاع بالعلاقة الآتية :

$$\omega_{\kappa\kappa''} = \frac{E_{\kappa} - E_{\kappa''}}{\hbar} \quad (9.149)$$

وبضرب (9.148) من اليسار بـ  $\psi_{\kappa'}^{0*}$  وإجراء التكامل في الفراغ كله ، نجد بعد تطبيق شروط التعامد والمعايرة على التوابع الخاصة ، لحساب  $C_{\kappa'}$  العلاقة التالية :

$$C_{\kappa'} = -\frac{e_0 \mathcal{E}_0}{2\hbar} \frac{x_{\kappa'\kappa}}{\omega_{\kappa'\kappa} + \omega} \quad (9.150)$$

وإذا عوضنا (9.150) في (9.146) نجد التابع  $u$  :

$$u = \sum_{\kappa'} \left( -\frac{e_0 \mathcal{E}_0}{2\hbar} \right) \frac{x_{\kappa'\kappa}}{\omega_{\kappa'\kappa} + \omega} \psi_{\kappa'}^0 \quad (9.151)$$

حيث يعطى العنصر المصفوفى  $x_{\kappa'\kappa}$  بالعلاقة :

$$x_{\kappa'\kappa} = \int \psi_{\kappa'}^{0*} x \psi_{\kappa}^0 d^3x \quad (9.152)$$

وإذا بدلنا في (9.151)  $\omega$  بـ  $-\omega$  نجد أن :

$$v = \sum_{\kappa'} \left( -\frac{e_0 \mathcal{E}_0}{2\hbar} \right) \frac{x_{\kappa'\kappa}}{\omega_{\kappa'\kappa} - \omega} \psi_{\kappa'}^0 \quad (9.153)$$

أما التابع الموجى العام  $\psi_{\kappa}(t)$  فيكتب طبقاً لـ (9.139) و (9.143) بالشكل التالى :

$$\psi_{\kappa}(t) = e^{-i\omega_{\kappa}t} \left\{ \psi_{\kappa}^0 - \frac{e_0 \mathcal{E}_0}{\hbar} \sum_{\kappa'} \frac{x_{\kappa'\kappa} \psi_{\kappa'}^0}{\omega_{\kappa'\kappa}^2 - \omega^2} [\omega_{\kappa'\kappa} \cos \omega t - i\omega \sin \omega t] \right\} \quad (9.154)$$

وبحساب التابع الموجى  $\psi_{\kappa}(t)$  للالكترونون فى حقل خارجى من السهل حساب متجه استقطاب الوسط  $\mathcal{P}$  ، فمثلا طبقا للنظرية الكلاسيكية :

$$\mathcal{P}_x = \mathcal{P} = Np = -Ne_0x$$

حيث  $N$  عدد الذرات فى وحدة الحجم ، ولتعميم هذه العلاقة على الحالة

الكوانتية ينبغي استبدال  $p$  بقيمته الوسطى وعندئذ يكون :

$$\mathcal{P} = N \langle p \rangle = -Ne_0 \int \psi_{\kappa}^*(t) x \psi_{\kappa}(t) d^3x \quad (9.155)$$

وإذا عوضنا عن  $\psi_{\kappa}(t)$  بقيمتها من (9.154) واقتصرنا على الحدود المتناهية في الصغر من المرتبة الأولى لـ  $\mathcal{E}_0$  ، فإننا نجد :

$$\mathcal{P} = \frac{2Ne_0^2}{\hbar} \sum_{\kappa'} \frac{\omega_{\kappa'\kappa} |x_{\kappa'\kappa}|^2}{\omega_{\kappa'\kappa}^2 - \omega^2} \mathcal{E}_0 \cos \omega t \quad (9.156)$$

وعند استنتاج (9.156) استفدنا من العلاقة التالية :

$$\int \psi_{\kappa}^{0*} x \psi_{\kappa}^0 d^3x = \int |\psi_{\kappa}^0|^2 x d^3x = 0$$

لأن المستكمل تابع فردي . وبمقارنة (9.156) مع (9.134) ، نحصل على علاقة التبدد :

$$\frac{n^2 - 1}{4\pi} = \frac{2Ne_0^2}{\hbar} \sum_{\kappa'} \frac{\omega_{\kappa'\kappa} |x_{\kappa'\kappa}|^2}{\omega_{\kappa'\kappa}^2 - \omega^2} \quad (9.157)$$

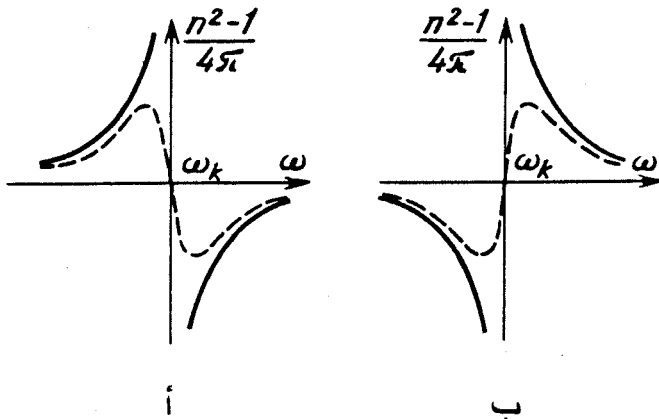
وإذا أدخلنا المتحول الجديد :

$$f_{\kappa'\kappa} = \frac{2m_0}{\hbar} \omega_{\kappa'\kappa} |x_{\kappa'\kappa}|^2 \quad (9.158)$$

والذي يسمى بقوة الهزاز ، يمكن كتابة (9.157) بالشكل التالي :

$$\frac{n^2 - 1}{4\pi} = \frac{Ne_0^2}{m_0} \sum_{\kappa'} \frac{f_{\kappa'\kappa}}{\omega_{\kappa'\kappa}^2 - \omega^2} \quad (9.159)$$

ونلاحظ أنه لو درسنا منذ البداية قوة الاحتكاك الإشعاعي بالطريقة الكوانتية لحصلنا على قيم محددة لـ  $n^2$  من أجل الترددات  $\omega$  القريبة من  $\omega_{\kappa'\kappa}$  لمنطقة التبدد الشاذ كما في الحالة الكلاسيكية ، انظر الشكل ( ٩ - ٢ ، أ ) الخط المنقطع .



الشكل ٩-٢. منحنيات التبدد: (أ) التبدد الموجب ( $\omega_k = \omega_{k,k}$ ) (ب) التبدد السالب  
 ( $\omega_k = \omega_{k,k}$ )

ان شكل العلاقة (9.159) يذكرنا بالعلاقة الكلاسيكية ، إلا أن النتائج الكوانتية ، فى الواقع ، تختلف عن الكلاسيكية ، فطبقاً للنظرية الكوانتية يكون التبدد الشاذ واقعا فى مجال الترددات الموافقة للانتقالات المسموحة وليس فى مجال التردد الميكانيكى الخاص باهتزاز الالكترون ، كما ينتج من النظريات الكلاسيكية . وهذا الاستنتاج يأتى من العلاقة (9.159) نفسها حيث تلعب قوة الهزاز  $f_{k,k}$  دورا كبيرا يتعين بالعنصر المصفوفى  $r_{k,k}$  ، انظر العلاقة (9.158) ، الذى يحدد قواعد الانتقاء أى الانتقالات المسموحة . وقد أكد النتائج الكوانتية هذه العالم روجديستونسكى تجريبيا مستعملا ما يسمى بطريقة المنعطفات أما الاختلاف الأهم بين النتائج الكوانتية والكلاسيكية ، هو أنه طبقاً للأولى توجد امكانية حدوث التبدد السالب ، الشكل ( ٩ - ٢ ، ب ) ، بجانب التبدد العادى الموجب ، وهو ما ليس له نظير كلاسيكى . وفى الحقيقة إذا حصل تبدد الضوء على الذرات المهيجة فيجب أن نأخذ بعين الاعتبار الحالات التى يكون فيها  $E_k > E_{k'}$

ويتحقق بالنسبة لها ما يلي :

$$f_{\kappa'\kappa} \sim \omega_{\kappa'\kappa} = \frac{E_{\kappa'} - E_{\kappa}}{\hbar} < 0$$

وعندئذ تأخذ علاقة التبديد (9.159) الشكل التالي :

$$\frac{n^2 - 1}{4\pi} = -\frac{Ne_0^2}{m_0} \sum_{\kappa'} \frac{|f_{\kappa'\kappa}|}{\omega_{\kappa'\kappa}^2 - \omega^2} \quad (9.160)$$

أما منحنى التبديد المقابل فهو المنحنى المنقط على الشكل ( ٩ - ٢ ، ب ) وقد لاحظ التبديد السالب تجريبيا العالم لادينبورج وهكذا ثبتت صحة الاستنتاج الكوانتى الأخير أيضا . ونحسب قوة الهزاز  $f_{kk'}$  وبالتالي نحسب التبديد فى حالة الهزاز التوافقى ، فإذا لاحظنا أن العناصر المصفوفية التى لا تسارى الصفر ، انظر (9.106) ، هى التالية :

$$x_{\kappa+1, \kappa} = \sqrt{\frac{\hbar(k+1)}{2m_0\omega_0}} \quad x_{\kappa-1, \kappa} = \sqrt{\frac{\hbar\kappa}{2m_0\omega_0}} \quad (9.161)$$

وهى تلك التى تقابل التردد الكوانتى للاشعاع والتى تتطابق مع التردد الميكانيكى للاهتزاز عن طريق «الصدفة»، أى أن :

$$\omega_{\kappa+1, \kappa} = \omega_0 \quad \omega_{\kappa-1, \kappa} = -\omega_0 \quad (9.162)$$

وبعدئذ نجد :

$$f_{\kappa+1, \kappa} = (\kappa + 1), \quad f_{\kappa-1, \kappa} = -\kappa \quad (9.163)$$

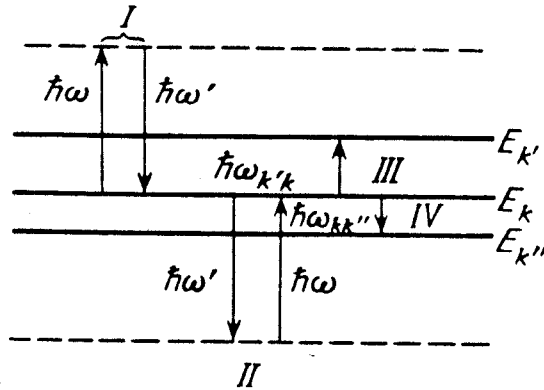
أى أن :

$$\sum_{\kappa'} f_{\kappa'\kappa} = 1 \quad (9.164)$$

ولهذا تكتب علاقة التبديد (9.159) بالشكل التالى :

$$\frac{n^2 - 1}{4\pi} = \frac{Ne_0^2}{m_0} \frac{\kappa + 1}{\omega_0^2 - \omega^2} - \frac{Ne_0^2}{m_0} \frac{\kappa}{\omega_0^2 - \omega^2} = \frac{Ne_0^2}{m_0} \frac{1}{\omega_0^2 - \omega^2} \quad (9.165)$$

ومنه نستخلص أنه في هذه الحالة الخاصة تعطي النظريتان الكلاسيكية والكوانتية نفس النتيجة لقرينة الانكسار  $n$  ، ولم تلاحظ هنا ظاهرة التبدد السالب ، وسبب ذلك أن مجال التبدد السالب يتطابق مع مجال التبدد الموجب لأن :  $|\omega_{k+1,k}| = |\omega_{k-1,k}|$  وبالتالي لا يظهر التبدد السالب في حالة الهزاز التوافقي .



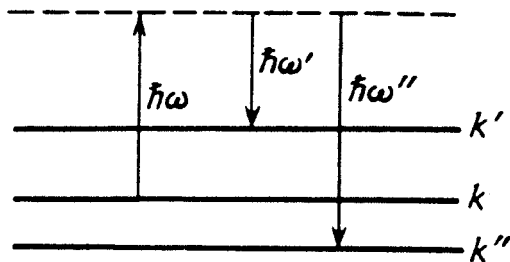
الشكل ٣-٩ . مخطط الطاقة لتبدد الفوتون ، حيث :  $h\omega$  - طاقة الفوتون الساقط و  $h\omega'$  - طاقة الفوتون المتبدد و  $I$  و  $II$  - التبدد المرن للفوتون ( $h\omega \neq h\omega_{k'k}$  و  $h\omega \neq h\omega_{kk''}$ ) و  $III$  و  $IV$  - الانتقالان القسريان ( $h\omega \sim h\omega_{k'k}$  أو  $h\omega \sim h\omega_{kk''}$ ) .

(د) التبدد التوزيعي للضوء . لنحلل ظاهرة التبدد من وجهة نظر مخطط الطاقة ولذلك ندرس فوتونا يسقط على ذرة لها سويات  $E_{k''} < E_k < E_{k'}$  انظر الشكل ٣-٩ ، وبفرض أن  $v = h\omega$  هي طاقة هذا الفوتون . يعتبر تبدد هذا الفوتون ، بصورة عامة ، تأثيراً من الدرجة الثانية ويمكن أن يحدث بأحد الشكلين التاليين :

١ - يحدث أولاً امتصاص للفوتون الوارد ( وعندئذ ينتقل الإلكترون ، الواقع في اللحظة الابتدائية على السوية  $k$  ، إلى حالة بينية قد تكون ممنوعة\* (على الشكل ٣-٩) ثم اصدار الفوتون المتبدد .

\* بعبارة أدق قد يخلف قانون مصونية الطاقة في الحالات البينية لكنه يتحقق في النتيجة النهائية .

٢ - في البدء تطلق الذرة فوتونا ( II على الشكل ٩ - ٣ ) ثم يحدث امتصاص الفوتون الوارد ، وإذا عاد الالكترون بعد ذلك إلى موضعه السابق ، وطبقا لقانون مصونية الطاقة ، سيساوى تردد ( تواتر ) الفوتون المتبدد تواتر الفوتون الساقط  $\omega^*$  وقد يحدث أن لاينتقل الالكترون من الحالة البينية إلى السوية البدائية  $k$  بل إلى السوية  $k'$  الواقعة إلى الأعلى من  $k$  أو إلى  $k''$  الواقعة إلى الأسفل من  $k$  ، الشكل ( ٩ - ٤ ) ، وعندئذ لن يساوى



الشكل ٩ - ٤ . التبديد التوزيعي للضوء ، حيث :  $h\omega$  - طاقة الفوتون الساقط و  $h\omega'$  و  $h\omega''$  - طاقتا الفوتونين المتبددين المقابلين لخطوط ستوكس ، وخطوط ستوكس المضادة .

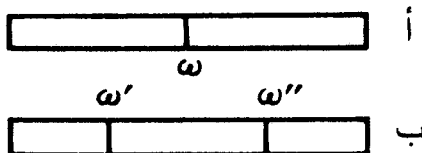
تواتر الضوء المتبدد (  $\omega'$  أو  $\omega''$  ) ، تواتر الضوء الوارد فيقال أنه حدث تبديد توزيعي للضوء أو ما يسمى بظاهرة رامان لأن أول من اكتشفها فى السوائل هما العالمان الهنديان رامان وكريشنان ، أما فى الأجسام الصلبة فقد اكتشفها الفيزيائيان السوفيتيان لاندسبيرغ وماندل شتام فى عام ١٩٢٨ . وأن تواتر الفوتون فى ظاهرة رامان يمكن أن يكون أكبر أو أصغر من تواتر الضوء الوارد كما يبدو من الشكل ٩ - ٤ ، وفى الحالة الأولى تقابل الخطوط :

$$\omega' = \omega - \omega_{k'k} < \omega \quad (9.166)$$

\* عند حدوث الرنين ( التجاوب )  $\omega \approx \omega_{k'k}$  قد تمتص الفوتونات وقد تنبدد ، أما الكترونات الذرة فتنقل قسريا ويتحدد احتمال الانتقالات القسرية بواسطة معامل أينشتاين  $B_{k'k}$  ( III على الشكل ٩ - ٣ ) وكذلك يمكن للحقل الخارجى أن يقوى الانتقالات من الأعلى إلى الأسفل ، وعندئذ يظهر اشعاع قسرى بجانب التلقائى يتناسب طرديا مع  $B_{kk'}$  ( IV على الشكل ٩ - ٣ ) .

المسماة بخطوط ستوكس ( يحدث الانزياح باتجاه الجزء « الأحمر » من الطيف ) ، تهيج الذرة لأنها بنتيجة التبدد تبدو في حالة أعلى للطاقة ، أما في الحالة الأخرى فيتولد ما يسمى بخطوط ستوكس المضادة ( يحدث الانزياح باتجاه الجزء « البنفسجي » من الطيف )

$$\omega'' = \omega + \omega_{\kappa\kappa} > \omega. \quad (9.166a)$$



الشكل ٩ - ٥ . توضع الترددات الجزيئية على تردد الضوء الساقط : ( أ ) الخط الطيفي  $\omega$  باهمال الامتزازات الجزيئية ؛ ( ب ) انزياح الخط الطيفي الناتج عن الامتزازات الجزيئية :

$$\omega'' = \omega + \omega_{\kappa\kappa} \quad ; \quad \omega' = \omega - \omega_{\kappa\kappa}$$

والتي تظهر فقط عندما يتبدد الضوء على الذرات المتهيجة ( الشكل ٩ - ٥ ) ويلعب التبدد التوزيعي دورا هاما عند دراسة بنية الجزيئات لأن الأطياف الدورانية والاهتزازية تقع في أعماق منطقة تحت الحمراء ولهذا يصعب كشفها . ودراسة التبدد التوزيعي يمكن تحليل الضوء المرئي وطيف الجزيئات بتغيير التواتر نتيجة للتبدد فقط .

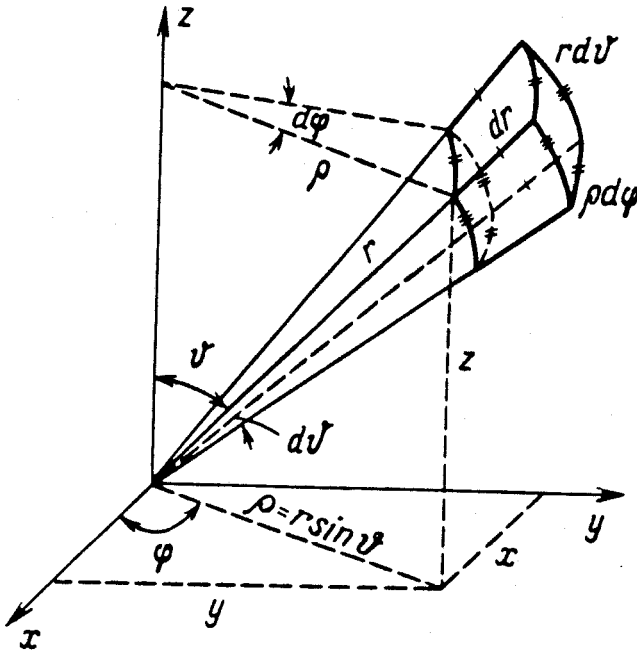
## البند ١٠ - النظرية العامة لحركة الجسيم في الحقل المركزي المتناظر

تعتبر حركة الجسيم في الحقل المركزي المتناظر من المسائل الأساسية في الميكانيكا الكوانتية وعلى أساسها تبنى النظرية الكوانتية لذرة الهيدروجين والذرات متعددة الإلكترونات ونظرية التبدد . وخالصة القول : أن ارتباط التابع الموجي للجسيم بالزوايا الكروية في الحقل المركزي المتناظر لا يتعلق بشكل التابع الكموني ولهذا تنطبق نتائج دراسة القسم الزاوي من التابع الموجي ( التوابع الكروية ) على أي حركة في الحقل المركزي .



أ) معادلة شرودينجر في الاحداثيات المنحنية المتعامدة . لا تتعلق الطاقة الكامنة  $V(r)$  في الحقل المركزي المتناظر إلا ببعد الجسم عن نقطة ثابتة تسمى مركز القوى . لنضع مركز الاحداثيات في مركز القوى ولنأخذ الاحداثيات الكروية  $r, \vartheta, \varphi$  المرتبطة بالاحداثيات الديكارتية  $x, y, z$  ( الشكل ١٠ - ١ ) بالعلاقات :

$$\begin{aligned} x &= r \sin \vartheta \cos \varphi \\ y &= r \sin \vartheta \sin \varphi, \quad z = r \cos \vartheta \\ (0 \leq r < \infty, \quad 0 \leq \varphi \leq 2\pi, \quad 0 \leq \vartheta \leq \pi) \end{aligned} \quad (10.1)$$



الشكل ١٠ - ١ . الجملة المتعامدة في الاحداثيات الكروية .

يتم حل معادلة شرودينجر لجسيم يتحرك في حقل  $V(r)$  مركزي متناظر ، في الاحداثيات الكروية ، بطريقة فصل المتغيرات وفي الحالة الخاصة الهامة

عندما يكون الحقل كولونيا\* لوصف التفاعل بين نواة شحنتها  $Ze_0$  والكترون شحنته  $e = -e_0$  يكون

$$V(r) = -\frac{Ze_0^2}{r} \quad (10.2)$$

ويمكن حل هذه المسألة بطريقة فصل المتغيرات ( المتحولات ) أيضا في الاحداثيات القطعية التالية :  $\xi$  ،  $\eta$  ،  $\varphi$  حيث :

$$\begin{aligned} x &= \sqrt{\xi\eta} \cos \varphi, \quad y = \sqrt{\xi\eta} \sin \varphi, \quad z = \frac{1}{2}(\xi - \eta) \\ r &= \sqrt{x^2 + y^2 + z^2} = \frac{1}{2}(\xi + \eta) \end{aligned} \quad (10.3)$$

أى أن

$$\begin{aligned} \xi &= r + z, \quad \eta = r - z, \quad \varphi = \arctg \frac{y}{x} \\ (0 \leq \xi < \infty, \quad 0 \leq \eta < \infty, \quad 0 \leq \varphi \leq 2\pi) \end{aligned} \quad (10.4)$$

ولندرس أولا الشكل العام لمعادلة شرودينجر فى جملة احداثيات متعامدة اختيارية (  $q_1$  و  $q_2$  و  $q_3$  ) عندما يكون الاتجاه المتعلق بتغير عنصرى لأحد الاحداثيات متعامدا مع الاتجاهين الآخرين للاحداثيين الباقيين ، أما المتجه - القطرى  $r$  فيكون تابعا لهذه الاحداثيات أى (  $q_1, q_2, q_3$  ) وإذا كتبنا المتجه القطرى فى الاحداثيات الديكارتيّة :

$$r = j_1x + j_2y + j_3z \quad (10.5)$$

واعتبرنا أن الاتجاهات (  $n = 1, 2, 3$  ) تبقى ثابتة فمن السهل الحصول على العلاقة التالية :

$$\frac{dr}{dq_1} = j_1 \frac{\partial x}{\partial q_1} + j_2 \frac{\partial y}{\partial q_1} + j_3 \frac{\partial z}{\partial q_1} \quad (10.6)$$

أى أن :

$$\left| \frac{\partial r}{\partial q_j} \right| = \sqrt{\left( \frac{\partial x}{\partial q_j} \right)^2 + \left( \frac{\partial y}{\partial q_j} \right)^2 + \left( \frac{\partial z}{\partial q_j} \right)^2} = H_j \quad (10.7)$$

وعندئذ نرى أن تفاضل الطول العنصرى  $l$  يساوى :

$$dl_j = H_j dq_j \quad (10.8)$$

أى أن مركبة التدرج على الاتجاه  $l$  تكون :

$$\frac{\partial \psi}{\partial l_j} = \frac{\partial \psi}{H_j \partial q_j} \quad (10.9)$$

وعندئذ نكتب عنصر الحجم فى جملة الاحداثيات المتعامدة بالشكل التالى :

$$d^3x = dl_1 dl_2 dl_3 = H_1 H_2 H_3 dq_1 dq_2 dq_3 \quad (10.10)$$

وللحصول على اللابلاسيان نكتب عبارة تباعد متجه ما  $B$  فى الاحداثيات

$q_1, q_2, q_3$

$$\begin{aligned} \operatorname{div} B &= \lim_{S \rightarrow 0} \frac{\oint (B \cdot dS)}{d^3x} = \\ &= \frac{\frac{\partial}{\partial q_1} B_1 dq_1 dS_1 + \frac{\partial}{\partial q_2} B_2 dq_2 dS_2 + \frac{\partial}{\partial q_3} B_3 dq_3 dS_3}{H_1 H_2 H_3 dq_1 dq_2 dq_3} \end{aligned} \quad (10.11)$$

حيث :

$$\begin{aligned} dS_1 &= dl_2 dl_3 = H_2 H_3 dq_2 dq_3 \\ dS_2 &= dl_3 dl_1 = H_3 H_1 dq_3 dq_1 \\ dS_3 &= dl_1 dl_2 = H_1 H_2 dq_1 dq_2 \end{aligned} \quad (10.12)$$

وبعد أن نفترض فى (10.11) أن  $B = \operatorname{grad} \psi$  نجد أن مؤثر لابلاس :

$$\nabla^2 \psi = \operatorname{div} \operatorname{grad} \psi \quad (10.13)$$

يكتب بالشكل التالى :

$$\nabla^2 \psi = \frac{1}{H_1 H_2 H_3} \left\{ \frac{\partial}{\partial q_1} \frac{H_2 H_3}{H_1} \frac{\partial \psi}{\partial q_1} + \frac{\partial}{\partial q_2} \frac{H_3 H_1}{H_2} \frac{\partial \psi}{\partial q_2} + \frac{\partial}{\partial q_3} \frac{H_1 H_2}{H_3} \frac{\partial \psi}{\partial q_3} \right\} \quad (10.14)$$

وعندما نأخذ الاحداثيات الديكارتية  $q_1 = x, q_2 = y, q_3 = z$  ، التي تعطى  
: يكون  $H_1 = H_2 = H_3 = 1$

$$\nabla^2 = \frac{\partial^2}{\partial x^2} + \frac{\partial^2}{\partial y^2} + \frac{\partial^2}{\partial z^2}$$

وفي الاحداثيات الكروية ، انظر الشكل ١٠ - ١ ، حيث يكون  $q_1 = r$   
و  $q_2 = \theta$  و  $q_3 = \phi$  نجد طبقا لـ (10.1) و (10.8) أن :

$$H_r = 1, \quad H_\theta = r, \quad H_\phi = r \sin \theta$$

ومن الشكل نفسه نلاحظ أن اتجاهات تزايدات الاحداثيات متعامدة متنى متنى  
أى أن المجموعة التالية :

$$dl_1 = H_1 dr, \quad dl_2 = H_2 d\theta, \quad dl_3 = H_3 d\phi$$

تكون متعامدة . وعلى أساس ما سبق نحسب عناصر الحجم واللابلاسيان  
في الاحداثيات الكروية :

$$\begin{aligned} d^3x &= r^2 dr \sin \theta d\theta d\phi \\ \nabla^2 &= \nabla_r^2 + \frac{1}{r^2} \nabla_{\theta, \phi}^2 = \\ &= \frac{1}{r^2} \frac{\partial}{\partial r} \left( r^2 \frac{\partial}{\partial r} \right) + \frac{1}{r^2} \left[ \frac{1}{\sin \theta} \frac{\partial}{\partial \theta} \left( \sin \theta \frac{\partial}{\partial \theta} \right) + \frac{1}{\sin^2 \theta} \frac{\partial^2}{\partial \phi^2} \right] \quad (10.15) \end{aligned}$$

أما في الاحداثيات القطبية ( المتعامدة ) :

$$.q_1 = \xi, \quad q_2 = \eta, \quad q_3 = \phi$$

$$H_\xi = \frac{1}{2} \sqrt{1 + \frac{\eta}{\xi}}, \quad H_\eta = \frac{1}{2} \sqrt{1 + \frac{\xi}{\eta}}, \quad H_\phi = \sqrt{\xi \eta}$$

فنجد أن :

$$\begin{aligned} d^3x &= \frac{1}{4} (\xi + \eta) d\xi d\eta d\phi, \\ \nabla^2 &= \nabla_{\xi, \eta}^2 + \nabla_\phi^2 = \frac{4}{\xi + \eta} \left[ \frac{\partial}{\partial \xi} \left( \xi \frac{\partial}{\partial \xi} \right) + \frac{\partial}{\partial \eta} \left( \eta \frac{\partial}{\partial \eta} \right) \right] + \frac{1}{\xi \eta} \frac{\partial^2}{\partial \phi^2} \quad (10.16) \end{aligned}$$

( ب ) التوابع الكروية . لنحل الآن معادلة شرودينجر التالية :

$$\nabla^2 \psi + k^2(r) \psi = 0 \quad (10.17)$$

في الاحداثيات الكروية ، بعد أن نفترض في ( 10.17 ) أن :

$$k^2(r) = \frac{2m_0}{\hbar^2} (E - V(r)) \quad (10.18)$$

أما اللابلاسيان فهو معرفٌ بالعلاقة ( 10.15 ) ، وعليه يجب حل معادلة شرودينجر بطريقة فصل المتحولات ، فنفرض أن :

$$\psi = R(r) Y(\theta, \varphi) \quad (10.19)$$

ونضرب المعادلة الأساسية بـ  $\left(\frac{r^2}{RY}\right)$  فنجد أن :

$$\frac{r^2 \nabla_r^2 R}{R} + r^2 k^2 = - \frac{\nabla_{\theta, \varphi}^2 Y}{Y} \quad (10.20)$$

وبما أن الطرف الأيسر يتعلق فقط بـ  $r$  والأيمن بـ  $\theta, \varphi$  فلا يمكن أن تتحقق المساواة السابقة إلا عندما يساوى كل من الطرفين مقدارا معيناً  $\lambda$  يسمى بثابت الفصل . وهكذا نحصل على المعادلتين المقابلتين لكل من القسمين القطري والزواى التاليتين :

$$\nabla_r^2 R + \left(k^2 - \frac{\lambda}{r^2}\right) R = 0 \quad (10.21)$$

$$\nabla_{\theta, \varphi}^2 Y + \lambda Y = 0 \quad (10.22)$$

ومن المهم أن المعادلة لا تحتوى على  $r$  ولا تتعلق بشكل التابع الكومونى  $V$  ولهذا ينطبق حلها على كل الحركات فى أى حقل مركزى ، كما برهنا ذلك فى بداية هذا البند . لنفرض الآن أن :

$$Y = \Theta(\theta) \Phi(\varphi) \quad (10.23)$$

ولنفصل التابع الكروى  $Y(\theta, \varphi)$  بالزاويتين  $\theta$  و  $\varphi$  فنجد لكل من التابعين  $\Theta(\theta)$  و  $\Phi(\varphi)$  المعادلتين التاليتين :

$$\nabla_{\theta}^2 \Theta + \left( \lambda - \frac{m^2}{\sin^2 \theta} \right) \Theta = 0 \quad (10.24)$$

$$\nabla_{\phi}^2 \Phi + m^2 \Phi = 0 \quad (10.25)$$

حيث  $m^2$  - ثابت الفصل ، مع العلم أننا رمزنا بـ  $\nabla_{\theta}^2$  و  $\nabla_{\phi}^2$  للمقادير :

$$\nabla_{\theta}^2 = \frac{1}{\sin \theta} \frac{d}{d\theta} \left( \sin \theta \frac{d}{d\theta} \right) \quad (10.26)$$

$$\nabla_{\phi}^2 = \frac{d^2}{d\phi^2} \quad (10.27)$$

واستبدلنا المشتقات الجزئية بمشتقات كلية باعتبار أن كلا من التابعين  $\Theta$  و  $\Phi$  يتعلق بمتحول واحد . وهكذا نحصل على المعادلات الثلاث : (10.21) و (10.24) و (10.25) لحساب القيم الخاصة للطاقة  $E_l$  والتتابع الخاصة المقابلة لها  $\psi_l$  ، وإذا كانت المعادلة الأخيرة تحوى على وسيط واحد فإن الأولى والثانية تحوى وسيطين فقط ( انظر فيما بعد المعادلة (10.40) . وبما أنه يمكن حساب القيم الخاصة لوسيط واحد عند حل معادلة واحدة فيجب أن نبدأ بحل المسألة ككل بحل المعادلة (10.25) ومن ثم بمعرفة  $m^2$  تنتقل إلى حل المعادلة (10.24) وأخيرا نحل المعادلة (10.21) لحساب التابع القطرى ، أما لحساب ثابت المعايرة فيمكن استخدام العلاقة :

$$\int \psi^* \psi d^3x = \int_0^{\infty} R^* R r^2 dr \int_0^{\pi} \Theta^* \Theta \sin \theta d\theta \int_0^{2\pi} \Phi^* \Phi d\phi$$

ومنها نلاحظ امكانية اجراء عملية المعايرة لكل من التتابع السابقة على حدة :

$$\int_0^{\infty} R^* R r^2 dr = 1 \quad (10.28)$$

$$\int_0^{\pi} \Theta^* \Theta \sin \theta d\theta = 1 \quad (10.29)$$

$$\int_0^{2\pi} \Phi^* \Phi d\phi = 1 \quad (10.30)$$

ومن الممكن التعبير عن التابع السمى ، انظر ( 10.25 ) ، اما بالشكل التالى :

$$\Phi = Ce^{im\varphi} \quad (10.31)$$

أو :

$$\Phi = A \cos (m\varphi + \varphi_0) \quad (10.32)$$

ولكل من هذين الحلين تفسير فيزيائى مختلف ، فبينما يمثل الأول ( 10.31 ) موجة تتحرك على محيط الدائرة توافق مثلا دوران الالكترون المنتظم ، نرى أن الحل الثانى ( 10.32 ) يمثل موجة مستقرة توافق مثلا اهتزاز الالكترون على قوس معين . ولكى يصف التابع  $\Phi$  دوران الالكترون حول النواة ينبغى اختيار الحل بشكل أمواج متحركة ( 10.31 ) . وبما أن الحل الثانى متناسب مع  $e^{-im\varphi}$  . لذا يمكن الحصول عليه بتبديل  $m$  بـ  $-m$  . ولهذا نستطيع حتى فى الحالة العامة ، اختيار الحل بالشكل التالى :

$$\Phi = Ce^{im\varphi} \quad (10.33)$$

مع العلم أن  $m$  يمكن أن تأخذ قيما موجبة وسالبة . فإذا اعتبرنا أن التابع  $\Phi(\varphi)$  وحيد القيمة فينبغى أن نطبق عليه شرط الدورية التالى :

$$\Phi(\varphi) = \Phi(\varphi + 2\pi) \quad (10.34)$$

ومنه نجد أن :

$$e^{2im\pi} = 1$$

وهكذا نرى أن المقدار  $m$  المسمى بالعدد الكوانتى المغناطيسى يمكن أن يأخذ القيم التالية :

$$m = 0, \pm 1, \pm 2, \pm 3, \dots \quad (10.35)$$

ومن شرط المعاييرة ( 10.30 ) نجد أن  $C = \frac{1}{\sqrt{2\pi}}$  . ومن السهل البرهان بالحساب المباشر أن التوابع :

$$\Phi_m = \frac{1}{\sqrt{2\pi}} e^{im\varphi} \quad (10.36)$$

تحقق شرط التعامد والمعايرة

$$\int_0^{2\pi} \Phi_{m'}^* \Phi_m d\varphi = \delta_{mm'}$$

وبما أن القيم الخاصة  $m$  أصبحت معروفة وكذلك التابع الموجي المتعلق بالزاوية السميتية  $\varphi$  فيمكن البدء بحل المعادلة (10.24) ، وبإدخال المتغير الجديد :

$$x = \cos \theta \quad (10.37)$$

وبالرمز لعملية الاشتقاق بفتحة ، فإننا نحصل بدلا عن (10.24) على المعادلة :

$$[(1-x^2)\theta']' + \left(\lambda - \frac{m^2}{1-x^2}\right)\theta = 0 \quad (10.38)$$

وبسهولة نرى أن لهذه المعادلة نقطتين شانيتين عندما  $x = \pm 1$  ، ينتهي فيهما أحد العوامل إلى اللانهاية ، ولتجنب هذا التباعد سنبحث عن الحل  $\theta$  بالشكل التالي :

$$\theta = (1-x^2)^{s/2} u \quad (10.39)$$

وإذا عوضنا (10.39) في (10.38) واختصرنا  $(1-x^2)^{s/2}$  من المساواة الناتجة نجد أن :

$$(1-x^2)u'' - 2x(s+1)u' + \left[\lambda - s^2 - s + \frac{s^2 - m^2}{1-x^2}\right]u = 0, \quad (10.40)$$

ونستطيع أن نتجنب الشنوذ في الحد الأخير إذا فرضنا :

$$s = \pm |m|$$

ويحقق الحلان المقابلان لقيمتي  $s$  المعادلة التفاضلية نفسها طالما أن المعادلة



الأساسية ( 10.38 ) تتعلق بـ  $m^2$  فقط ، وبالتالي يمكن لهذين الحلين أن يختلفا بمضروب ثابت فقط أى أن :

$$\theta(|m|) = A\theta(-|m|) \quad (10.41)$$

وباعتبار صحة العلاقة الأخيرة ، سنبحث عن حل ( 10.40 ) عندما

$$s = m \geq 0 \quad (10.42)$$

وبحكم ( 10.41 ) يتعمم هذا الحل آليا على قيم  $m$  السالبة ، وطبقا للشرط ( 10.42 ) نأخذ المعادلة ( 10.40 ) الشكل التالى :

$$(1 - x^2)u'' - 2x(m + 1)u' + (\lambda - m(m + 1))u = 0 \quad (10.43)$$

وبما أنه ليس للمعادلة الأخيرة أى شذوذ فيمكن تمثيل حلها بشكل سلسلة :

$$u = \sum_{\kappa=0}^{\infty} a_{\kappa} x^{\kappa} \quad (10.44)$$

وعند التعويض فى ( 10.43 ) نجد أن

$$\sum_{\kappa=0}^{\infty} \{ \kappa(\kappa - 1)a_{\kappa} x^{\kappa-2} + [\lambda - (\kappa + m)(\kappa + m + 1)] a_{\kappa} x^{\kappa} \} = 0$$

وبتجميع الحدود التى لها نفس الأس نحصل على المساواة التالية :

$$\sum_{\kappa=0}^{\infty} \{ (\kappa + 2)(\kappa + 1)a_{\kappa+2} + [\lambda - (\kappa + m)(\kappa + m + 1)] a_{\kappa} \} x^{\kappa} = 0.$$

ومنها نجد العلاقة التكرارية :

$$(\kappa + 2)(\kappa + 1)a_{\kappa+2} = -[\lambda - (\kappa + m)(\kappa + m + 1)] a_{\kappa} \quad (10.45)$$

التى تعطى كل عوامل السلسلة ( 10.44 ) . وبما أن العوامل  $a_{\kappa}$  ترتبط فقط بالعوامل  $a_{\kappa+2}$  فالتابع  $u$  سيكون إما زوجيا أو فرديا حسب فردية أو زوجية الحد الأعلى فى السلسلة ، فإذا اشترطنا أن تكون السلسلة ( 10.44 ) محدودة بحد أعظمى ترتيبه  $q = k$  ، أى أن يكون كثير حدود من المرتبة  $q$  ، فيجب أن يتحقق الشرط

$$a_{q+2} = 0, \quad a_q \neq 0$$

ومن هنا وطبقا لـ (10.45) نحصل على :

$$\lambda = (q + m)(q + m + 1) \quad (10.46)$$

حيث :

$$q = 0, 1, 2, 3, \dots \quad (10.47)$$

أى أنها تهاوى تلك الدرجة التى قطعنا السلسلة عندها . وبإدخال العدد الكوانتى المدارى  $l$  :

$$l = q + m \quad (10.48)$$

نرى أنه يأخذ القيم التالية :

$$l = 0, 1, 2, 3, \dots \quad (10.49)$$

لأن  $q$  و  $m$  تأخذان قيما موجبة وصحيحة فقط ، وكذلك نلاحظ من (10.48) أن :

$$l \geq m \quad (10.50)$$

وإذا اعتبرنا صحة (10.48) و (10.46) نرى أن :

$$\lambda = l(l + 1) \quad (10.51)$$

وأن المعادلة (10.40) تصبح :

$$(1 - x^2)u'' - 2x(m + 1)u' + [l(l + 1) - m(m + 1)]u = 0 \quad (10.52)$$

حيث :

$$u = a_{l-m}x^{l-m} + a_{l-m-2}x^{l-m-2} + \dots + \begin{cases} a_0 \\ a_1x \end{cases} \quad (10.53)$$

ولن نعبر عن العوامل  $a_k$  بدلالة  $a_{k+2}$  بواسطة العلاقة التكرارية (10.45) بل سنكتب مباشرة الحل بشكل مغلق ، ولهذا نأخذ التابع :

$$v = (x^2 - 1)^l \quad (10.54)$$

المحقق للمعادلة :

$$(1 - x^2)v' + 2xlv = 0 \quad (10.55)$$

والتي من السهل التحقق منها بأخذ المشتق الأول لـ  $v$  بالنسبة إلى  $x$  وبتفاضل (10.55) حسب دستور ليبنتز  $(l + m + 1)$  مرة ، انظر (7.34) ، بعد أن نفترض أن :

$$v^{(l+m)} \equiv \frac{d^{l+m}}{dx^{l+m}} (x^2 - 1)^l = u_1 \quad (10.56)$$

نجد المعادلة التي يحققها التابع  $u_1$  أى أن :

$$(1 - x^2)u_1'' - 2x(m + 1)u_1' + [l(l + 1) - m(m + 1)]u_1 = 0 \quad (10.57)$$

والتي تتطابق مع المعادلة (10.52) التي يحققها التابع  $u$  ، وبالتالي يجب أن يتناسب التابعان  $u_1$  و  $u$  مع بعضهما ، أى أن :

$$u = \text{const } u_1 \quad (10.58)$$

وبما أننا لم نعين ثابت المعايرة للتابع  $\theta$  حتى الآن فيمكن اعتبار أن الثابت فى (10.58) يساوى  $\frac{1}{2^{l!}}$  وذلك لكى يتحول الأخير عندما  $m = 0$  إلى كثير حدود ليجاندر التالى :

$$P_l(x) = \frac{1}{2^{l!}} \frac{d^l (x^2 - 1)^l}{dx^l} \quad (10.59)$$

وهكذا يكون

$$u = \frac{1}{2^{l!}} \frac{d^{l+m}}{dx^{l+m}} (x^2 - 1)^l$$

ومنه وبواسطة (10.39) نحسب التابع  $\theta$  فنجد أن :

$$\theta_l^m = C_l^m P_l^m(x) \quad (10.60)$$

حيث  $P_l^m$  هو كثير حدود ليجاندر الموحد المعرف بالعلاقة التالية :

$$P_l^m(x) = (1-x^2)^{m/2} \frac{d^{l+m}}{dx^{l+m}} \left[ \frac{(x^2-1)^l}{2^l l!} \right] \quad (10.61)$$

أما  $C_l^m$  فهو مضروب المعاييرة .

وسيكون الحل الثاني لـ (10.38) عندما  $\lambda = l(l+1)$  متناسبا مع التابع :

$$Q_l^m = (-1)^m (1-x^2)^{m/2} \frac{d^m}{dx^m} Q_l(x) \quad (10.61a)$$

حيث  $Q_l(x)$  هو تابع ليجاندر من النوع الثاني يعطى بالعلاقة

$$Q_l(x) = \frac{1}{2} \int_{-1}^1 \frac{P_l(y) dy}{x-y} = \frac{1}{2} P_l(x) \ln \frac{1+x}{1-x} - W_{l-1}(x) \quad (10.61b)$$

و  $W_{l-1}(x)$  هو كثير حدود درجته  $l-1$  ( مع تحقق الشرط  $W_{l-1}(x) = 0$  ) وليس فيه أى تباعد .  
وبما أن الحد الأول فى الطرف الأيمن من المساواة (10.61a) يباعد التابع  $Q_l^m(x)$  فى النقطتين  
الشانيتين ( $x = \pm 1$ ) فيجب إهمال هذا الحل كحل لمعادلة شروينجر .

وبالرغم من أننا حصلنا على العبارة (10.61) من أجل قيم  $m$  الموجبة  
إلا أنه يمكن تعميمها بصورة آلية على قيم  $m$  السالبة حسب العلاقة  
المعروفة :

$$P_l^m(x) = (-1)^m \frac{(l+m)!}{(l-m)!} P_l^{-m}(x) \quad (10.62)$$

وابرهان هذه العلاقة نكتبها بملاحظة (10.61) بالشكل التالى :

$$(l-|m|)! (x^2-1)^{|m|} \frac{d^{l+|m|}}{dx^{l+|m|}} (x^2-1)^l = (l+|m|)! \frac{d^{l-|m|}}{dx^{l-|m|}} (x^2-1)^l \quad (10.63)$$

وبما أن  $P_l^m$  ترتبط بـ  $P_l^{-m}$  بشكل خطى ، انظر (10.41) إذن يكفى البرهان على أن المعاملين أمام  
أعلى أس  $x$  متطابقان فى كل من طرفى (10.63) أى أن :

$$(l-|m|)! x^{2|m|} \frac{d^{l+|m|} x^{2l}}{dx^{l+|m|}} = (l+|m|)! \frac{d^{l-|m|}}{dx^{l-|m|}} x^{2l}$$

ويسهل التحقق من ذلك إذا لاحظنا أن :

$$\frac{d^{\kappa} x^n}{dx^{\kappa}} = \begin{cases} \frac{n!}{(n-\kappa)!} x^{n-\kappa} & \kappa \leq n \\ 0 & \kappa > n \end{cases}$$

ومن ( 10.61 ) و ( 10.62 ) يمكن معرفة مجال تغير العدد الكوانتي  $m$  بشكل نهائي :

$$m = 0, \pm 1, \pm 2, \dots, \pm l \quad (10.64)$$

وهذا ينتج من تلك الحقيقة التي تؤكد انعدام  $P_l^m$  عندما  $|m| > l$  ، ويمكن حساب المعامل  $C_l^m$  من شرط المعايرة :

$$\int_0^{\pi} \theta_l^m \theta_l^m \sin \theta d\theta = \int_{-1}^1 \theta_l^m(x) \theta_l^m(x) dx = 1$$

وذلك بتبديل الحل ( 10.60 ) فيها وملاحظة ( 10.62 ) أى ان :

$$\frac{(-1)^m (l+m)!}{(2^l l!)^2 (l-m)!} |C_l^m|^2 \int_{-1}^1 \left[ \frac{d^{l-m}}{dx^{l-m}} (x^2-1)^l \right] \left[ \frac{d^{l+m}}{dx^{l+m}} (x^2-1)^l \right] dx = 1$$

وبتبديل عملية الاشتقاق من الحد الثانى على الحد الأول (  $l+m$  ) مرة واجراء التكامل الأخير (  $l+m$  ) مرة بالتجزئة نجد أن :

$$\frac{1}{(2^l l!)^2} \frac{(l+m)!}{(l-m)!} |C_l^m|^2 \int_{-1}^{+1} (1-x^2)^l \frac{d^{2l}}{dx^{2l}} (x^2-1)^l dx = 1$$

وإذا اعتبرنا المساواة التالية :

$$\frac{d^{2l}}{dx^{2l}} x^n = \begin{cases} 2^l l! & (n=2l) \\ 0 & (n < 2l) \end{cases}$$

صحيحة وأخذنا بنظر الاعتبار العلاقة التالية :

$$\int_{-1}^{+1} (1-x^2)^l dx = \frac{(l!)^2 2^{2l+1}}{(2l+1)!}$$

نجد أن :

$$C_l^m = \sqrt{\frac{(2l+1)(l-m)!}{2(l+m)!}} \quad (10.65)$$

وعندئذ يكون :

$$\theta_l^m = \sqrt{\frac{(2l+1)(l-m)!}{2(l+m)!}} P_l^m(x) \quad (10.66)$$

أما التوابع الكروية  $Y_l^m(\theta, \varphi)$  المحققة للمعادلة (10.22) فنكتب طبقاً لـ (10.23) و (10.36) و (10.66) بالشكل التالي :

$$Y_l^m(\theta, \varphi) = \theta_l^m \Phi_m = \sqrt{\frac{2l+1}{4\pi} \frac{(l-m)!}{(l+m)!}} P_l^m(\cos \theta) e^{im\varphi} \quad (10.67)$$

بينما يكتب شرط التعامد والمعايرة للتوابع الكروية بالشكل :

$$\oint (Y_l^{m'})^* Y_l^m d\Omega = \delta_{ll'} \delta_{mm'} \quad (10.68)$$

ولبرهان الشرط (10.68) ينبغي تبديل التوابع الكروية بقيمتها من (10.67) وعندئذ من السهل أن نحصل عند الاستكمال بالنسبة لـ  $\varphi$  على العلاقة التالية :

$$\frac{1}{2\pi} \int_0^{2\pi} e^{i(m-m')\varphi} d\varphi = \delta_{mm'}$$

وينبغي أن نجعل  $m' = m$  عند التكامل بالنسبة لـ  $\varphi$  في كثير حدود ليجاندر وعندئذ يمكن أن نضع ، حتى في الحالة العامة ، أن  $l' < l$  . أما عندما  $l = l'$  فقد درسناها منذ قليل عند حساب ثابت المعايرة واتباع أسلوب مشابه عندما  $l' < l$  ، من السهل البرهان أن تبديل المشتقات من التابع ذى الوسيط  $l + m$  إلى التابع ذى الوسيط  $l - m$  يؤدي إلى انعدام التكامل (10.68) . و عليه نستطيع كتابة التابع الكروي (10.67) بواسطة العلاقة (10.62) بالشكل التالي :

$$Y_l^m(\theta, \varphi) = a_m \sqrt{\frac{(2l+1)(l-|m|)!}{4\pi(l+|m|)!}} P_l^{|m|}(\cos \theta) e^{im\varphi} \quad (10.67a)$$

حيث :

$$a_m = \begin{cases} 1 & , m \geq 0 \\ (-1)^m & , m < 0 \end{cases} \quad (10.67b)$$

مع ملاحظة أن كثيرا من المؤلفين يعتبرون  $a_m = 1$  . وفي هذا المجال نقول أنه عندما نحصر المسألة بحساب التوابع الكروية المحققة لشرط التعامد والمعايرة (10.68) وحده ، يكون كلا الحلين متطابقين تماما طالما أن  $a'_m = 1$  . أما عندما يكون من الضروري استخدام العلاقة التكرارية بين التوابع الكروية المختلفة بالعدد الكوانتى  $m$  ، انظر العلاقتين (11.17) و (11.18) ، فمثلا عند حساب قواعد الانتقاء ( الاصطفاء ) للدوّارة أو فى النظرية النسبية للقوى المركزية فينبغى اعتبار قيمة  $a_m$  كما وردت فى (10.67b) . ولنحسب أخيرا زوجية التابع الكروى أى سلوكيته عند عكس الفراغ ، الذى ينتج عند تغيير الاحداثيات الديكارتية الثلاثة . أى عندما يحدث التحويل التالى :

$$\varphi \rightarrow \pi + \varphi, \quad \theta \rightarrow \pi - \theta, \quad ; \quad \cos \theta \rightarrow -\cos \theta$$

كما ويتبين من (10.61) فى هذه الحالة أن :

$$P_l^m(x) \rightarrow P_l^m(-x) = (-1)^{l+m} P_l^m(x)$$

$$e^{im\varphi} \rightarrow e^{im\varphi} e^{in\pi} = (-1)^m e^{im\varphi}$$

ولهذا سيتغير التابع الكروى عند عكس الفراغ حسب القانون التالى :

$$Y_l^m(\theta, \varphi) = \frac{1}{\sqrt{2\pi}} C_l^m P_l^m(x) e^{im\varphi} \rightarrow (-1)^l Y_l^m(\theta, \varphi)$$

ومن هنا نرى أن العدد الكوانتى المدارى  $l$  يميز زوجية التابع الكروى . فمن أجل  $l$  الزوجية سيكون التابع الكروى زوجيا ( لا يغير اشارته عند تغيير الفراغ ) وسيكون فرديا عندما يكون  $l$  عددا فرديا ( أى يغير اشارته إلى عكسها عند عكس الفراغ ) .

ج) المعنى الفيزيائي للعديدين الكوانتيين  $m$  و  $l$  وعزم كمية الحركة .  
 لقد رأينا سابقا أن العدد الكوانتي  $l$  يرتبط بالقيمة الخاصة  $\lambda = l(l+1)$  للمؤثر  $\nabla_{\theta, \phi}^2$  ، انظر (10.22) و (10.51) ، الذي يدخل في العبارة الكوانتية التآثيرية لتابع هاملتون ( أى فى الهاملتونيان ) :

$$H = -\frac{\hbar^2 \nabla^2}{2m_0} + V(r) = -\frac{\hbar^2 \nabla_r^2}{2m_0} - \frac{\hbar^2 \nabla_{\theta, \phi}^2}{2m_0 r^2} + V(r) \quad (10.69)$$

إذا قارنا الهاملتونيان الأخير مع العبارة الكلاسيكية لتابع هاملتون

$$H = \frac{m_0 v^2}{2} + V(r) = \frac{p_r^2}{2m_0} + \frac{L^2}{2m_0 r^2} + V(r) \quad (10.70)$$

حيث  $p_r = m_0 \dot{r}$  ،  $L = m_0 r^2 \dot{\phi}$  نجد أن المؤثر  $\hbar^2 \nabla_{\theta, \phi}^2$  يقابل مربع عزم الاندفاع  $L^2$  فى الحالة الكلاسيكية ، أما المؤثر  $\hbar^2 \nabla_r^2$  فيقابل مربع الاندفاع القطرى  $p_r^2$  . ولندرس بالتفصيل هذا التقابل ، من المعلوم فى الميكانيكا الكلاسيكية أن عزم الاندفاع  $L$  يعرف بالعلاقة التالية :

$$L = [r p] \quad (10.71)$$

ونشير بالمناسبة أنه إذا كان  $M = [r F]$  عزم القوى الخارجية  $F$  فإن تغير  $L$  مع الزمن سيكون خاضعا للقانون التالى :

$$\frac{dL}{dt} = M \quad (10.72)$$

وعندما تكون القوى مركزية ( $F \parallel r$ ) ينعدم عزم القوى الخارجية  $M$  وبالتالي نجد أن :

$$L = \text{const.}$$

ويعرف هذا القانون فى الميكانيكا الكلاسيكية بقانون مصونية كمية الحركة ، فيما يسمى فى مسألة كبلر بقانون مصونية السرعة القطاعية . ولتعميم الصيغة التقليدية لكمية الحركة على الحالة الكوانتية يجب أن تتغير كمية



الحركة التقليدية في العبارة ( 10.71 ) بمؤثر  $\mathbf{p} = \frac{\hbar}{i} \nabla$  وعندئذ سيكون :

$$\mathbf{L} = [\mathbf{r}\mathbf{p}] = \frac{\hbar}{i} [\mathbf{r}\nabla] \quad (10.73)$$

أو :

$$\begin{aligned} L_x &= yp_z - zp_y \\ L_y &= zp_x - xp_z \\ L_z &= xp_y - yp_x \end{aligned} \quad (10.74)$$

ونلاحظ قبل كل شيء أن مؤثرات مركبات كمية الحركة  $L_x$  و  $L_y$  و  $L_z$  لا تتبادل فيما بينها ، وفي الحقيقة إذا حسبنا مثلا العلاقة التبادلية بين  $L_x$  و  $L_y$  نجد أن :

$$L_x L_y - L_y L_x = (yp_z - zp_y)(zp_x - xp_z) - (zp_x - xp_z)(yp_z - zp_y)$$

وإذا استخدمنا العلاقات التبادلية بين الاندفاع ( كمية الحركة ) والاحداثى المقابل ، انظر ( 6.30a ) نجد أن :

$$L_x L_y - L_y L_x = -i\hbar (yp_x - xp_y) = i\hbar L_z \quad (10.75)$$

وبطريقة مشابهة يمكن البرهان أن :

$$\begin{aligned} L_y L_z - L_z L_y &= i\hbar L_x \\ L_z L_x - L_x L_z &= i\hbar L_y \end{aligned} \quad (10.76)$$

ولحساب مؤثر مربع عزم الاندفاع في الاحداثيات الكروية :

$$L^2 = L_x^2 + L_y^2 + L_z^2 \quad (10.77)$$

نحسب أولا المركبات  $L_x$  و  $L_y$  و  $L_z$  في الاحداثيات الكروية ، فإذا اعتبرنا العلاقة ( 10.1 ) بين الاحداثيات الكروية والديكارتية نجد أن :

$$\begin{aligned} \frac{\partial \psi}{\partial \theta} &= \frac{\partial \psi}{\partial x} \frac{\partial x}{\partial \theta} + \frac{\partial \psi}{\partial y} \frac{\partial y}{\partial \theta} + \frac{\partial \psi}{\partial z} \frac{\partial z}{\partial \theta} \\ &= r \cos \theta \cos \varphi \frac{\partial \psi}{\partial x} + r \cos \theta \sin \varphi \frac{\partial \psi}{\partial y} - r \sin \theta \frac{\partial \psi}{\partial z} \\ &= \frac{xz}{\rho} \frac{\partial \psi}{\partial x} + \frac{yz}{\rho} \frac{\partial \psi}{\partial y} - \rho \frac{\partial \psi}{\partial z} \end{aligned} \quad (10.78)$$

$$\frac{\partial \psi}{\partial \varphi} = \frac{\partial \psi}{\partial x} \frac{\partial x}{\partial \varphi} + \frac{\partial \psi}{\partial y} \frac{\partial y}{\partial \varphi} + \frac{\partial \psi}{\partial z} \frac{\partial z}{\partial \varphi} =$$

$$= -r \sin \theta \sin \varphi \frac{\partial \psi}{\partial x} + r \sin \theta \cos \varphi \frac{\partial \psi}{\partial y} = -y \frac{\partial \psi}{\partial x} + x \frac{\partial \psi}{\partial y} \quad (10.79)$$

وإذا ضربنا (10.78) بـ  $\frac{x}{\rho}$  و (10.79) بـ  $(-\frac{yz}{\rho^2})$  ولاحظنا أن  $\rho^2 = x^2 + y^2 + z^2$  نجد بجمع العلاقتين المذكورتين ما يلي :

$$z \frac{\partial \psi}{\partial x} - x \frac{\partial \psi}{\partial z} = \cos \varphi \frac{\partial \psi}{\partial \theta} - \sin \varphi \operatorname{ctg} \theta \frac{\partial \psi}{\partial \varphi} \quad (10.80)$$

وإذا ضربنا بعنذ المساويتين (10.78) و (10.79) بـ  $(-\frac{y}{\rho})$  و  $(-\frac{xz}{\rho^2})$  على الترتيب نحصل بطريقة مشابهة على أن :

$$y \frac{\partial \psi}{\partial z} - z \frac{\partial \psi}{\partial y} = - \left\{ \sin \varphi \frac{\partial \psi}{\partial \theta} + \cos \varphi \operatorname{ctg} \theta \frac{\partial \psi}{\partial \varphi} \right\} \quad (10.81)$$

ومنه وباعتبار المساويتين (10.79) و (10.74) نجد أن :

$$L_x = -\frac{\hbar}{i} \left\{ \sin \varphi \frac{\partial}{\partial \theta} + \cos \varphi \operatorname{ctg} \theta \frac{\partial}{\partial \varphi} \right\} \quad (10.82)$$

$$L_y = \frac{\hbar}{i} \left\{ \cos \varphi \frac{\partial}{\partial \theta} - \sin \varphi \operatorname{ctg} \theta \frac{\partial}{\partial \varphi} \right\} \quad (10.83)$$

$$L_z = \frac{\hbar}{i} \frac{\partial}{\partial \varphi} \quad (10.84)$$

ثم إذا فرضنا  $\mu = \cos \theta$  يمكن كتابة (10.82) و (10.83) بالشكل التالي :

$$L_x \pm iL_y = \hbar e^{\pm i\varphi} \left( i \frac{\mu}{\sqrt{1-\mu^2}} \frac{\partial}{\partial \mu} \mp \sqrt{1-\mu^2} \frac{\partial}{\partial \mu} \right) \quad (10.85)$$

ولحساب تأثير هذين المؤثرين على التوابع نستفيد من امكانية التعبير عن التابع الكروي بأحد شكله أى إما بالشكل (10.67a) أو بالشكل التالي :

$$Y_l^m = (-1)^m \sqrt{\frac{2l+1}{4\pi} \frac{(l+m)!}{(l-m)!}} P_l^{-m}(\cos \theta) e^{im\varphi} \quad (10.86)$$

وإذا أثرنا مباشرة على التابع الكروي بالمؤثر  $L_z$  نجد أن :

$$L_z Y_l^m = \hbar m Y_l^m \quad (10.87)$$

ومن هنا ينتج أن العدد الكوانتى  $m$  يميز مسقط عزم الاندفاع ( كمية

(الحركة) على المحور  $z$  ولحساب تأثير المؤثر  $L_x + iL_y$  على التابع الكروي نعوض عبارة  $Y_l^m$  من (10.67)، وعند التأثير  $L_x - iL_y$  نعوض عن من (10.86) وبعندئذ ينتج من المساواة التالية :

$$e^{\pm i\varphi} \left( i \frac{\mu}{\sqrt{1-\mu^2}} \frac{\partial}{\partial \varphi} \mp \sqrt{1-\mu^2} \frac{\partial}{\partial \mu} \right) e^{i m \varphi} (1-\mu^2)^{\pm m/2} f(\mu) = \\ = \mp e^{i\varphi} (m \pm 1) (1-\mu^2)^{\frac{1 \pm m}{2}} \frac{\partial f(\mu)}{\partial \mu} *$$

أن :

$$(L_x \pm iL_y) Y_l^m = -\hbar \sqrt{(l+1 \pm m)(l \mp m)} Y_l^{m \pm 1} \quad (10.89)$$

وبواسطة العلاقتين الأخيرتين نجد أن :

$$L^2 Y_l^m = \left[ \frac{1}{2} (L_x + iL_y)(L_x - iL_y) + \right. \\ \left. + \frac{1}{2} (L_x - iL_y)(L_x + iL_y) + L_z^2 \right] Y_l^m = \\ = -\hbar^2 \nabla_{\phi}^2 Y_l^m = \hbar^2 l(l+1) Y_l^m \quad (10.90)$$

ومن هنا نرى أن  $Y_l^m$  هو تابع خاص مشترك للمؤثرين  $L^2$  و  $L_z$ ، لأن المؤثرين  $L^2$  و  $L_z$  يتبادلان مع بعضهما ومع الهاملتونيان. وبما أن  $L_x$  و  $L_y$  لا يتبادلان مع  $L_z$  فلا يمكن اختيار ذلك التابع الموجى الذى يكون تابعا خاصا لكل المؤثرات  $L_x$  و  $L_y$  و  $L_z$  ولكن هذا لا يعنى أى تفضيل للاتجاه  $z$ ، إذ من الممكن كتابة التابع الكروي بحيث يكون تابعا خاصا مشتركا لـ  $L_x$  و  $L^2$  وعندئذ لن يكون تابعا للمؤثر  $L_z$ .

(د) تحليل النتائج . يتضح من عبارتى مربع عزم الاندفاع (10.90)

ومسقطه على  $z$  (10.87) إن لهما على الترتيب القيم الخاصة التالية :

$$L^2 = \hbar^2 l(l+1), \quad l = 0, 1, 2, 3, \dots \quad (10.91)$$

$$L_z = \hbar m, \quad -l \leq m \leq l \quad (10.92)$$

\* فى هذه العلاقة يجب أن تكون :

$$f(\mu) = \frac{d^l \pm m}{d\mu^{l \pm m}} (\mu^2 - 1)^l \quad (10.88)$$

ومن هنا نرى أن  $L^2$  ينعدم عندما  $l = 0$  ، بينما لا يمكن أن ينعدم في الميكانيكا التقليدية\* وهكذا لن يكون للحالة  $l = 0$  أى مقابل كوانتى . وبصورة خاصة ينتج عند  $L^2 = 0$  انعدام العزم الميكانيكى للذرة الموجودة فى أخفض مستوى وتؤيد النتائج التجريبية فى مجال أطيايف الذرات هذه الحقيقة الكوانتية تماما . ولو اتبعنا النظرية الكلاسيكية لنتج أن :

$$L^2 = L_z^2 \max = \hbar^2 l^2 \quad (10.93)$$

أما فى النظرية الكوانتية فيكون :

$$L^2 = \hbar^2 l^2 + \hbar^2 l = L_z^2 \max + \hbar^2 l \quad (10.94)$$

ويعود ظهور الحد الاضافى للعزم المدارى  $\hbar^2 l$  إلى عدم تبادل مؤثرات مسقط العزم  $L_x, L_y, L_z$  مع بعضهما ونتيجة لذلك لا يمكن تعيينهما تماما فى نفس الوقت . وفى الحقيقة عندما  $L_z = L_z \max = \hbar l$  ينعدم متوسطا المسقطين  $\langle L_x \rangle$  و  $\langle L_y \rangle$  ولا ينعدم التشتتان الوسطيان  $\langle L_x^2 \rangle = \langle (\Delta L_x)^2 \rangle$  و  $\langle L_y^2 \rangle = \langle (\Delta L_y)^2 \rangle$  وانما يأخذان قيمة صغرى غير محدودة لأن :

$$\langle L^2 \rangle = L_z^2 \max + \langle (\Delta L_x)^2 \rangle_{\min} + \langle (\Delta L_y)^2 \rangle_{\min} \quad (10.95)$$

ويمكن الحصول على القيم الصغرى  $\langle (L_x)^2 \rangle$  و  $\langle (\Delta L_y)^2 \rangle$  بواسطة علاقة اللاتعيين (الشك ) أيضا :

$$\begin{aligned} \langle (\Delta L_x)^2 \rangle_{\min} \langle (\Delta L_y)^2 \rangle_{\min} &= \frac{1}{4} |L_x L_y - L_y L_x|^2 = \\ &= \frac{1}{4} \hbar^2 L_z^2 \max = \frac{1}{4} \hbar^4 l^2 \quad (10.96) \end{aligned}$$

وبحكم التناظر بالنسبة لـ  $x$  و  $y$  يمكن أن يكون :

$$\langle (\Delta L_x)^2 \rangle_{\min} = \langle (\Delta L_y)^2 \rangle_{\min} = \hbar^2 \frac{l}{2} \quad (10.97)$$

وبالتالى نحصل على العلاقة (10.94) . وهكذا نرى أن طبيعة هذا الحد الأضافى كطبيعة الطاقة الصغرى للهزاز التوافقى مرتبطة بعلاقات اللاتعيين أيضا .

\* يعنى انعدام العزم الكلاسيكى  $L = [rp]$  أحد أمرين : فلما أن تساوى السرعة الصفر ( $p = 0$ ) أو أن تحدث الحركة ضمن المركز ، ولن ندرس هاتين الحالتين الخاصتين هنا .

## البند ١١ . حل أبسط المسائل فى الاحداثيات الكروية

أ ( الدوارة . وهى عبارة عن جسيم يتحرك حرا على كرة نصف قطرها  $r = a = \text{const}$  . وتعتبر مسألة الدوارة حالة خاصة من الحركة فى حقل مركزى ، عندما تكون الطاقة الكامنة ثابتة ويمكن اعتبارها معدومة حتى فى الحالة العامة أى :

$$V(a) = 0$$

وبما أن مسألة الدوارة هى احدى مسائل القوى المركزية فإن القسم الزاوى من التابع الموجى العام هو التابع الكروى ، ولتعيين القسم القطرى نكتب طبقا لـ ( 10.21 ) المعادلة التالية :

$$\nabla_r^2 R(r) + \left[ \frac{2m_0 E}{\hbar^2} - \frac{l(l+1)}{r^2} \right] R(r) = 0 \quad (11.1)$$

حيث اعتبرنا الطاقة الكامنة معدومة كما بدلنا  $\lambda$  بقيمتها  $l(l+1)$  طبقا لـ ( 10.51 ) . وبما أن  $r = a = \text{const}$  فإن  $R(r) = R(a) = \text{const}$  أى أن  $V_r^2 R(a) = 0$  ومنه نحسب الطاقة  $E_l$  كالآتى :

$$E_l = \frac{\hbar^2 l(l+1)}{2m_0 a^2} = \frac{\hbar^2 l(l+1)}{2J} \quad (11.2)$$

حيث  $J = m_0 a^2$  عزم العطالة . ويطبق نموذج الدوارة بنجاح فى دراسة حركة الجزيئات ثنائية\* الذرة وفى دراسة الحركة الدورانية للنواة . كما وتتعلق طاقة الدوارة  $E_l$  طبقا لـ ( 11.2 ) بالعدد الكوانتى  $l$  ولا تتعلق بالعدد المغناطيسى  $m$  ، الذى يصف مسقط عزم الاندفاع  $L$  على  $z$  ، ( أى

\* وفى هذه الحالة يجب اعتبار عزم العطالة مساويا :

$$I = m_1 r_1^2 + m_2 r_2^2$$

حيث  $m_1$  و  $m_2$  كتلتا الذرتين و  $r_1$  و  $r_2$  بعداهما عن مركز العطالة .

لا تتعلق باتجاه العزم في الفراغ) إلا أن التابع الخاص  $Y_l^m$  المقابل للقيمة  $E_l$  يتعلق بالعدد  $m$ ، انظر (10.67)، وبما أن  $m$  يتغير من  $-l$  إلى  $+l$ ، انظر (10.64)، لذا فإن لكل قيمة خاصة  $E_l$  العدد  $(2l + 1)$  من التوابع الخاصة  $Y_l^m$  المتعامدة متنى متنى، التي تصف حالة الدوّارة والتي تختلف فيما بينها باتجاه  $L$  بالنسبة للمحور  $z$ ، ويقال في هذه الحالة أن سوية الطاقة  $E_l$  منطبقة  $(2l + 1)$  مرة. وعندما  $l = 0$  تكون لدينا سوية واحدة منطبقة مرة واحدة فيقال عنها أنها غير منطبقة. ولننكر في هذا المجال أننا نعتبر سوية طاقة معينة منطبقة  $N$  مرة، إذا قابلت قيمة خاصة وحيدة للطاقة  $N$  من التوابع الموجبة المستقلة خطيا. عدا ذلك يرتبط انطباق سويات الطاقة للدوّارة بالتناظر المركزي ولذلك تتناظر كافة الاتجاهات المارة من مركز الاحداثيات، وعليه يجب أن يحدث الانطباق في كل المجموعات المتناظرة مركزيا. أما عندما يتم اختيار اتجاه ما في الفراغ، كاتجاه حقل مغناطيسي مثلا، فإن التناظر المركزي لا يصح ولا تبقى الاتجاهات المختلفة للعزم  $L$  متكافئة ولهذا السبب يفك الانطباق تماما أو تقل درجته. وتسمى الحالة المقابلة لـ  $l = 0$  الحالة  $s$ ، والمقابلة لـ  $l = 1$  الحالة  $p$ ، المقابلة لـ  $l = 2$  الحالة  $d$ ، المقابلة لـ  $l = 3$  الحالة  $f$ ، ثم الحالة  $g$  عندما  $l = 4$ ، وهكذا... ولندرس بالتفصيل الحالتين  $s$  و  $p$  للدوّارة، فيما أن  $l = m = 0$  في الحالة  $s$  يكون التابع الخاص  $Y_0^0$ ، الموافق للقيمة الصفرية الخاصة للطاقة  $E_0 = 0$  كما يلي:

$$Y_0^0 = \frac{1}{\sqrt{4\pi}} \quad (11.3)$$

ومنه نحسب الكثافة الاحتمالية  $|Y_0^0|^2$  فنجد أن:

$$|Y_0^0|^2 = \frac{1}{4\pi} \quad (11.4)$$

أما في الحالة  $p$  حيث  $l = 1$  فيمكن للعدد  $m$  أن يأخذ ثلاث قيم هي  $-1$  و  $0$

و +1 وبالتالي توافق القيمة الخاصة  $E_1 = \hbar^2/l$  ثلاثة توابع خاصة هي :

$$Y_1^{-1} = -\sqrt{\frac{3}{8\pi}} e^{-i\varphi} \sin \theta \quad (11.5)$$

$$Y_1^0 = \sqrt{\frac{3}{4\pi}} \cos \theta \quad (11.6)$$

$$Y_1^1 = \sqrt{\frac{3}{8\pi}} e^{i\varphi} \sin \theta \quad (11.7)$$

وعندئذ تحسب الكثافة الاحتمالية بالعلاقتين :

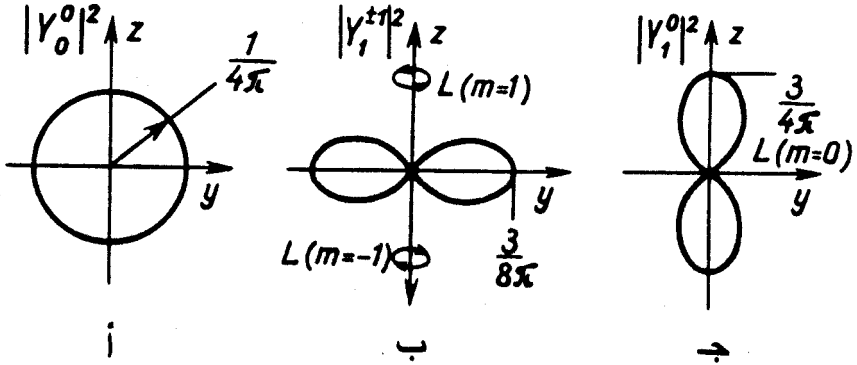
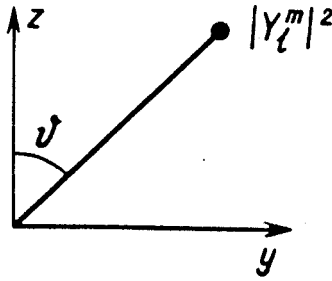
$$|Y_1^{-1}|^2 = |Y_1^1|^2 = \frac{3}{8\pi} \sin^2 \theta \quad (11.8)$$

$$|Y_1^0|^2 = \frac{3}{4\pi} \cos^2 \theta \quad (11.9)$$

ويمثل المقدار  $|Y_l^m|^2 \sin \theta d\theta d\varphi$  احتمال ظهور الجسيم على كرة ثابتة القطر في المجال الزاوي  $\varphi$  و  $\varphi + d\varphi$  و  $\theta$  و  $\theta + d\theta$  . وبما أن مربع القيمة المطلقة ( الطويلة )  $|Y_l^m|^2$  لا يتعلق بالزاوية  $\varphi$  فإن احتمال ظهور الجسيم في أي مجال زاوي  $d\varphi$  يكون متساويا ، ولهذا يقابل الجداء :

$$|Y_l^m|^2 2\pi \sin \theta d\theta$$

الكثافة الاحتمالية لظهور الجسيم في المجال  $\theta$  و  $\theta + d\theta$  ، وقد مثل توزعا الكثافة الاحتمالية (11.4) ، (11.8) و (11.9) بيانيا على الشكل ( 11 - 1 ) مع العلم أننا أخذنا بعين الاعتبار استقلال المقدار  $|Y_l^m|^2$  عن الزاوية  $\varphi$  ورسمناها بالتالي في المستوى  $yz$  وحده وللحصول على الصورة الكاملة ينبغي تدوير الشكل حول المحور  $z$  . وكما نرى من (11.4) ومن الشكل ( 11 - 1 ) ، أ ) لا يتعلق اتجاه  $L$  للدوارة بالنسبة لـ  $z$  في الحالة  $s$  بالزاوية  $\theta$  ، ويمكن تعليل هذا بسبب انعدام العزم  $L = \hbar^2(l+1)$  . ويكون احتمال وجود النقطة المادية الساكنة متساويا في أي نقطة من الكرة ذات نصف القطر  $r$  أي أن كل أوضاع الدوارة على الكرة متكافئة ، وليس لهذه الحالة أي مقابل كلاسيكي . وينتج ومن العلاقة (11.8) والشكل



الشكل ١١ - ١ . توزيع الكثافة الاحتمالية للدوارة .

( ١١ - ١ ، ب ) أن مسارات الدوارة الأكثر احتمالا في الحالة  $p$  ، حيث  $l = 1$  و  $m = \pm 1$  ، هي تلك التي تقع في المستوى  $xy$  ، مع العلم أن اختلاف  $m = 1$  و  $m = -1$  عن بعضهما يكمن في اتجاه محور الدوران فقط . فعندما  $m = 1$  يكون الدوران يمينيا ( اتجاه عزم الاندفاع  $L$  باتجاه المحور  $z$  ) وعندما  $m = -1$  يكون الدوران يساريا ( اتجاه عزم الاندفاع  $L$  بعكس اتجاه المحور  $z$  ) وعندما  $l = 1$  و  $m = 0$  تكون مدارات الدوارة الأكثر احتمالا هي تلك التي تقع في مستو مار من  $z$  ، انظر ( 11.9 ) والشكل ( ١١ - ١ ، ب ) ويكون اتجاه العزم متعامدا مع المحور  $z$  . وبنفس الطريقة تسهل دراسة الحالات  $l = 2, m = 0, \pm 1, \pm 2$  ،  $l = 3, m = 0, \pm 1, \pm 2, \pm 3$  إلخ . . . )



(ب) قواعد الانتقاء . لإيجاد هذه القواعد لا بد من حساب العناصر المصفوفية التالية :

$$\langle l'm' | r | l m \rangle = \oint (Y_l^{m'})^* r Y_l^m d\Omega \quad (11.10)$$

فإذا انعدم العنصر المصفوفى من أجل أى تغير للأعداد الكوانتية يكون الانتقال المقابل ممنوعا ( لا يحدث اشعاع ) \* فإذا علمنا قواعد الانتقاء يمكن حساب التردد وكثافة الاشعاع ، انظر (9.8b) . لنستبدل الاحداثيات  $x, y, z$  فى (11.10) بالمتحولات :

$$z = a \cos \theta \quad (11.11)$$

$$x + iy = a \sin \theta e^{i\varphi} \quad (11.12)$$

$$x - iy = a \sin \theta e^{-i\varphi} \quad (11.13)$$

ويكافئ هذا التغيير من وجهة النظر الفيزيائية تقسيم حركة الدوّارة إلى ثلاثة أقسام : اهتزاز على المحور  $z$  موصوف بالمركبة  $z$  ، ثم دوران يمينى فى المستوى  $xy$  موصوف بالمركبتين  $x+iy$  و  $x-iy$  على الترتيب ، ويجب على هذه المركبات الثلاث أن تصف حركة النقطة المادية على الكرة تماما ، وعليه تؤول قواعد الانتقاء إلى حساب العناصر المصفوفية التالية :

$$\langle l'm' | z | lm \rangle = \oint (Y_l^{m'})^* \cos \theta Y_l^m d\Omega \quad (11.14)$$

$$\langle l'm' | x + iy | lm \rangle = \oint (Y_l^{m'})^* \sin \theta e^{i\varphi} Y_l^m d\Omega \quad (11.15)$$

$$\langle l'm' | x - iy | lm \rangle = \oint (Y_l^{m'})^* \sin \theta e^{-i\varphi} Y_l^m d\Omega \quad (11.16)$$

حيث اعتبرنا  $a = 1$  للتبسيط . وإذا اعتبرنا العلاقات التكرارية بين التوابع الكروية

\* نعبّر عن ذلك بشكل أكثر دقة فنقول أنه توجد فى مثل هذه الانتقالات الممنوعة ، احتمال أقل لحدوث إشعاع مضاعف (رباعى أقطاب مثلا) ، انظر البند 9 .

$$\cos \theta Y_l^m = AY_{l+1}^m + BY_{l-1}^m \quad (11.17)$$

$$\sin \theta e^{\pm i\phi} Y_l^m = A_{\pm} Y_{l+1}^{m \pm 1} + B_{\pm} Y_{l-1}^{m \pm 1} \quad (11.18)$$

وتطبيق شرط التعامد والمعايرة على التوابع الكروية (10.68) نجد أن :

$$\langle l' m' | z | l m \rangle = \delta_{m' m} (A \delta_{l', l+1} + B \delta_{l', l-1}) \quad (11.19)$$

$$\langle l' m' | x + iy | l m \rangle = \delta_{m', m+1} (A_+ \delta_{l', l+1} + B_+ \delta_{l', l-1}) \quad (11.20)$$

$$\langle l' m' | x - iy | l m \rangle = \delta_{m', m-1} (A_- \delta_{l', l+1} + B_- \delta_{l', l-1}) \quad (11.21)$$

ملاحظة : يمكن حساب المعاملات  $A$  و  $B$  بسهولة وذلك بتبديل النشر (11.17) في العلاقة (10.67)

حيث :

$$P_l^m = \frac{(2l)!}{2^l l! (l-m)!} (1-x^2)^{m/2} \left\{ x^{l-m} - \frac{(l-m)(l-m-1)}{2(2l-1)} x^{l-m-2} + \dots \right\}$$

وعندئذ ، نجد بعد اختصار كل المساواة على  $(1-x^2)^{m/2} e^{im\phi}$  ومساواة العوامل  $x^{l-m-1}$  و  $x^{l-m+1}$  كلا الطرفين (مساواة عوامل الحدود الأخرى المختلفة في الأس لا تعطى شيئا جديداً) ما يلي :

$$A(l, m) = \sqrt{\frac{(l+1-m)(l+1+m)}{(2l+1)(2l+3)}} \quad (11.17a)$$

$$B(l, m) = \sqrt{\frac{(l+m)(l-m)}{(2l+1)(2l-1)}}$$

وبنفس الطريقة نجد أن :

$$A_{\pm}(l, m) = \pm \sqrt{\frac{(l+2 \pm m)(l+1 \pm m)}{(2l+1)(2l+3)}} \quad (11.18a)$$

$$B_{\pm}(l, m) = \mp \sqrt{\frac{(l \mp m)(l-1 \mp m)}{(2l+1)(2l-1)}}$$

ويسهل من هذه العلاقات حساب القيم العددية للعناصر المصفوفية المختلفة عن الصفر ( $a = 1$ ) فنجد أن :

$$\langle l+1, m | z | l m \rangle = \sqrt{\frac{(l+1)^2 - m^2}{(2l+3)(2l+1)}} \quad (11.19a)$$

$$\langle l-1, m | z | l m \rangle = \sqrt{\frac{l^2 - m^2}{(2l+1)(2l-1)}}$$

$$\langle l+1, m \pm 1 | x \pm iy | l, m \rangle = \pm \sqrt{\frac{(l+2 \pm m)(l+1 \pm m)}{(2l+3)(2l+1)}}$$

$$\langle l-1, m \pm 1 | x \pm iy | l, m \rangle = \mp \sqrt{\frac{(l \mp m)(l-1 \mp m)}{(2l+1)(2l-1)}} \quad (11.20a)$$

مع العلم أنه يجب أن تأخذ في كل مكان من العلاقتين الأخيرتين إما الإشارات العليا أو السفلى .

ومن هنا نحصل على قوانين الانتقاء التالية :

أ - للاهتزاز على  $z$  :

$$\Delta m = m - m' = 0, \quad \Delta l = l - l' = \pm 1 \quad (11.22)$$

ب - للدوران اليميني  $(x + iy)$

$$\Delta m = -1, \quad \Delta l = \pm 1 \quad (11.23)$$

ج - للدوران اليسارى  $(x - iy)$

$$\Delta m = \pm 1, \quad \Delta l = \pm 1 \quad (11.24)$$

وهكذا نرى أن الانتقالات المسموحة تكون فقط تلك التى يتغير فيها العدد الكوانتى المغناطيسى  $m$  والعدد الكوانتى المدارى  $l$  حسب العلاقتين :

$$\Delta m = 0, \quad \pm 1 \quad (11.25)$$

$$\Delta l = \pm 1 \quad (11.26)$$

مع ملاحظة أن هذه القوانين بالنسبة  $m$  و  $l$  صحيحة وتنطبق على الجمل المتناظرة المركزية وبصورة خاصة على ذرة الهيدروجين . وبمعرفة قواعد الانتقاء نستطيع حساب الترددات المحتملة لاشعاع ( أو امتصاص ) الدوّارة أى أن :

$$\omega_{ll'} = 2\pi\nu_{ll'} = \frac{E_l - E_{l'}}{\hbar} \quad (11.27)$$

وإذا عوضنا عبارة الطاقة  $E_l$  هنا ، انظر ( 11.2 ) ، وتذكرنا أن عزم عطالة الدوّارة يبقى ثابتاً ، فيمكن كتابة ( 11.27 ) بالشكل التالى :

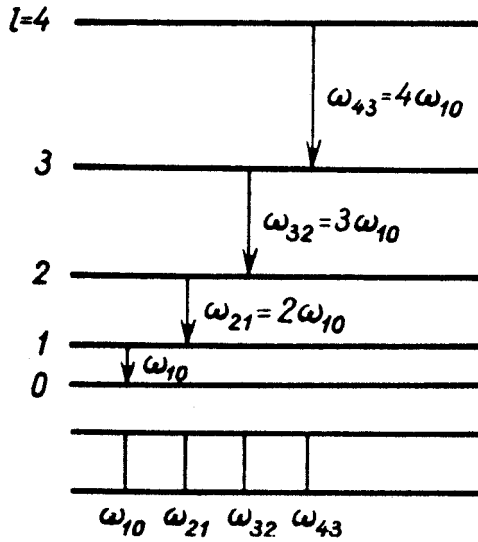
$$\omega_{ll'} = \frac{\hbar}{2I} [l(l+1) - l'(l'+1)] \quad (11.28)$$

وطبقاً لـ ( 11.26 ) نجد أن :

$$\omega_{l, l-1} = \frac{\hbar}{J} l \quad (11.29)$$

$$\omega_{l, l+1} = -\frac{\hbar}{J} (l+1) \quad (11.30)$$

مع العلم أن  $\omega_{l, l-1}$  يقابل الانتقالات من سوية طاقتها أعلى إلى أخرى أدنى منها ( من أعلى إلى أدنى ) ، أما فعلى العكس ، من الأسفل إلى الأعلى . ونرى مثل هذه الطيوف الدوارة مثلا عند دراسة طيف الجزيئات ، عندما يكون اشعاعها ناتجا عن الانتقالات الدوارة ولذلك يحسب هذا الاشعاع بالعلاقة ( 11.29 ) . ونرى من هذه العلاقة أيضا أن الطيف الناتج عن الدوارة يتمثل بخطوط طيفية تقع على أبعاد متساوية من بعضها ، انظر الشكل ( ١١ - ٢ ) ، في المنطقة تحت الحمراء البعيدة ( طول الموجة حوالي 100-300 mkm ) . ولهذا ترافق دراستها بكثير من الدراسات التجريبية ، لأن قياس المسافة بين الخطوط الطيفية يسمح باعطاء فكرة عن عزم عطالة الجزيء . وأسهل طريقة لذلك ملاحظة الطيف الدواري في



الشكل ١١ - ٢ . طيف الدوارة .

شكل نطاقات عندما يجمع مع الطيف الاهتزازى حتى مع الخطوط الطيفية للذرات ، وسنهتم بذلك بالتفصيل فى البند ٢٦ المخصص لدراسة الجزيء .

( ج ) الاتطابق بالعدد الكوانتى المغناطيسى . سندرس مسألة أخرى تتعلق بالانطباق الكوانتى بواسطة مثال الدوّارة . فالتوابع الموجية للدورة التى حصلنا عليها سابقا هى التوابع الكروية  $Y_l^m$  التى تمثل طبقا لـ ( 10.87 ) و ( 10.90 ) ، التوابع الخاصة للهاملتونيان :

$$H = -\frac{\hbar^2 \nabla_{\theta, \varphi}^2}{2m_0 a^2} = -\frac{\hbar^2 \nabla_{\theta, \varphi}^2}{2I}$$

والتوابع الخاصة لمربع العزم  $L^2 = -\hbar^2 \nabla_{\theta, \varphi}^2$  . لمسقطه على المحور z

$$L_z = \frac{\hbar}{i} \frac{\partial}{\partial \varphi}$$

ولما كانت المؤثرات تتبادل فيما بينها لذا يمكن أن نكتب :

$$HY_l^m(\theta, \varphi) = \frac{L^2}{2m_0 a^2} Y_l^m(\theta, \varphi) = E_l Y_l^m(\theta, \varphi) \quad (11.31)$$

$$L_z Y_l^m(\theta, \varphi) = \hbar m Y_l^m(\theta, \varphi) \quad (11.32)$$

وإذا انطلقنا من العبارة العامة للتابع الموجى :

$$\psi(t) = \sum_{l, m} C_{lm} Y_l^m e^{-i \frac{E_l}{\hbar} t} \quad (11.33)$$

( تتعلق الطاقة بالعدد الكوانتى l فقط ) فمن السهل البرهان على أن القيم الوسطى للمؤثرات المذكورة لا تتعلق بالزمن :

$$\langle H \rangle = \int \psi^*(t) H \psi(t) d^3x = \sum_{l, m} E_l C_{l, m}^* C_{l, m} \quad (11.34)$$

$$\langle L_z \rangle = \int \psi^*(t) L_z \psi(t) d^3x = \sum_{l, m} \hbar m C_{lm}^* C_{lm} \quad (11.35)$$

وهذا مرتبط باختصار المضروب الزمنى بسبب تعامد التوابع الموجية . وان القيم الوسطى لأى مؤثرات أخرى لا تكون  $Y^m$  تابعا خاصا لها ويجب أن تتعلق بالزمن كقاعدة عامة ، مثلا عند حساب القيمة الوسطى لمؤثر الاحداثيات  $z$  الذى يتبادل مع  $L_z$  ولكنه لا يتبادل مع  $H$  نحصل بملاحظة العلاقة ( 11.17 ) على ما يأتى :

$$\langle z \rangle = a \sum_{l,m} \{ BC_{l-1,m} C_{l,m} e^{-i\omega_{l-1} t - i t'} + AC_{l+1,m} C_{l,m} e^{i\omega_{l+1} t + i t'} \} \quad (11.36)$$

حيث يعطى المعاملان  $A(l, m)$  و  $B(l, m)$  بالعلاقتين ( 11.17a ) . ولندرس الآن مؤثرين آخرين آخرين  $L_x + iL_y$  و  $L_x - iL_y$  وهما على العكس من الأول  $H$  يتبادلان مع الهاملتونيان ولكنهما لا يتبادلان مع  $L_z$  . فطبقا لـ ( 10.89 ) نحصل ، لحساب متوسط هذين المؤثرين على العلاقة التالية :

$$\langle L_x \rangle \pm i \langle L_y \rangle = - \sum_{l,m} \hbar \sqrt{(l-1 \pm m)(l \mp m)} C_{l,m \pm 1} C_{l,m} \quad (11.37)$$

التي لا تتعلق بالزمن . وبالرغم من تناسب متوسطات هذه المؤثرات مع مجموع مربعات السعات  $C_{l,m}$  و  $C_{l,m \pm 1}$  المنسوبة إلى حالات مختلفة ، فإن لهذه السويات نفس الطاقة بسبب الانطباق . ومن الواضح أنه لو لم يحدث انطباق لسويات الطاقة أى أن الطاقة ارتبطت بالعدد الكوانتى  $m$  بالإضافة إلى العدد  $l$  لكانت القيم الوسطى للمؤثرين  $L_x \pm iL_y$  توابع للزمن ، تماما كما هو الحال فى ( 11.36 ) \* . وهكذا نستطيع استنتاج نتيجة عامة من هذا المثال وهى أنه إذا تواجد مؤثران أو أكثر يتبادلان مع الهاملتونيان ولكنهما

\* نستطيع اختيار حل يكون تابعا خاصا للمؤثرين  $H$  و  $L_x$  . فإذا فرضنا أن  $l = 1$  و  $L_x \psi = 0$

يكون :

$$\psi = \sqrt{\frac{3}{4\pi}} \sin \theta \cos \varphi = \frac{1}{\sqrt{2}} (Y_1^1 - Y_1^{-1}) \quad (11.38)$$

وبالرغم من أن هذا الحل يحقق معادلة شرودينجر . فليس له قيمة خاصة عند تأثير  $L_x$  عليه ، لأنه هو عبارة عن تركيب خطى لحلول مختلفة بالعدد الكوانتى  $m$  .

لا يتبادلان مع بعضهما فهذا يعنى وجود انطباق فى الجملة الكوانتية .  
وعندئذ يمكن البحث عن الحل بشكل موجة مستوية ، انظر البند ٤ ،  
أو بشكل موجة كروية ، طالما أن الحالة  $V = 0$  يمكن تطبيقها أيضا على  
التناظر الكروى ، وعند حل المسألة فى الاحداثيات الكروية نجد لحساب  
التابع القطرى المعادلة التالية :

$$\frac{d^2u}{dr^2} + \left( k^2 - \frac{l(l+1)}{r^2} \right) u = 0 \quad (11.39)$$

حيث :

$$k = \sqrt{\frac{2m_0E}{\hbar^2}} > 0, \quad u = rR_l$$

وإذا فرضنا تابعا جديدا  $\chi = \sqrt{r} R_l = \frac{u}{\sqrt{r}}$  فإن (11.39) تتحول إلى  
الشكل التالى :

$$\chi'' + \frac{1}{r} \chi' + \left( k^2 - \frac{(l+1/2)^2}{r^2} \right) \chi = 0 \quad (11.40)$$

وهى معادلة ببسل ذات الترتيب نصف الصحيح  $\pm(l+1/2)$  لمتحول حقيقى .  
وإذا اعتبرنا أن التابع الموجى يجب أن يبقى محدودا عندما  $r \rightarrow 0$  فلا بد  
نبقى فى الحل توابع ببسل ذات الترتيب الموجب ، عندما

$$R_l = \frac{C_l}{\sqrt{kr}} J_{l+1/2}(kr) \quad (11.41)$$

ومن هنا ينتج أن الحل العام للمعادلة الموجية لجسيم حر طاقته معلومة فى  
الاحداثيات الكروية يكتب ، انظر (10.19) ، بالشكل التالى :

$$\psi(\theta, \varphi, r) = \sum_{l=0}^{\infty} \sum_{m=-l}^l C_l^m Y_l^m(\theta, \varphi) \frac{1}{\sqrt{kr}} J_{l+1/2}(kr) \quad (11.42)$$

• ان حل (11.41) عندما  $r \rightarrow 0$  هو من الشكل  $R_l \sim r^{-l}$  لأن تابع ببسل ذا الترتيب السالب  
( $l+1/2$ ) يعطى نتيجة متباعدة  $R_l' \sim r^{-l-1}$  ولذلك نعمله .

حيث تحسب  $C_l^m$  من شروط اضافية ، أما  $Y_l^m$  فهو التابع الكروي ، انظر (10.67) . وبواسطة العلاقة الأخيرة نستطيع نشر الموجة المستوية  $\psi = e^{ikz}$  التي تحقق أيضا معادلة شرودينجر للحركة الحرة :

$$\nabla^2 \psi + k^2 \psi = 0 \quad (11.43)$$

بأمواج كروية . وإذا كتبنا الموجة المستوية بالشكل التالي :

$$e^{ikz} = e^{ikr \cos \theta} = e^{iyx} \quad (11.44)$$

حيث  $x = \cos \theta$  و  $y = kr$  ، فيجب اعتبار  $m = 0$  في عبارة التابع الكروي ( لأن  $e^{ikz}$  لا يتعلق بالزاوية  $\varphi$  ) ثم البحث عن الحل بشكل نشر بتوابع ليجاندر :

$$e^{iyx} = \sum_{l=0}^{\infty} B_l(y) P_l(x) \quad (11.45)$$

ثم إذا أخذنا شرط التعامد والمعايرة لكثير حدود ليجاندر ، أى :

$$\int_{-1}^{+1} dx P_l(x) P_{l'}(x) = \frac{2}{2l+1} \delta_{ll'} \quad (11.46)$$

( الذى يمكن التأكد منه بسهولة من المساويتين (10.67) و (10.68) ) إذا فرضنا فيهما  $m = 0$  أى أن :

$$B_l(y) = \frac{1}{2} (2l+1) \int_{-1}^1 e^{iyx} P_l(x) dx \quad (11.47)$$

وبالتعويض هنا عن كثير حدود ليجاندر من (10.59) ثم اسقاط  $l$  مرة مشتق التابع  $(x^2 - 1)^l$  على التابع  $e^{iyx}$  نجد أن :

$$B_l(y) = \frac{1}{2^{l+1} l!} (2l+1) i^l y^l \int_{-1}^1 (1-x^2)^l e^{iyx} dx \quad (11.48)$$



وأخيرا إذا استخدمنا من نظرية توابع بيسل العلاقة التالية :

$$\int_{-1}^1 (1-x^2)^l e^{ixy} dx = \sqrt{\pi} \Gamma(l+1/2) \left(\frac{2}{y}\right)^{l+1/2} J_{l+1/2}(y) \quad (11.49)$$

نجد للمعامل  $B_l(y)$  المعادلة التالية :

$$B_l(y) = \sqrt{\frac{\pi}{2y}} (2l+1) i^l J_{l+1/2}(y)$$

وعندئذ يأخذ نشر الموجة المستوية المطلوب الشكل الآتي :

$$e^{ikr \cos \theta} = \sqrt{\frac{\pi}{2}} \sum_{l=0}^{\infty} i^l (2l+1) \frac{J_{l+1/2}(kr)}{\sqrt{kr}} P_l(\cos \theta) \quad (11.50)$$

ومن المعلوم أنه عندما  $r \rightarrow 0$  يمكن استخدام عبارة تابع بيسل التقاربي

$$J_{l+1/2}(kr) \simeq \sqrt{\frac{2}{\pi}} \frac{\sin(kr - 1/2\pi l)}{\sqrt{kr}} \quad (11.51)$$

ولهذا يتحدد السلوك التقاربي للموجة المستوية بالعلاقة التالية :

$$e^{ikr \cos \theta} = \sum_{l=0}^{\infty} i^l (2l+1) \frac{\sin\left(kr - \frac{\pi l}{2}\right)}{kr} P_l(\cos \theta) \quad (11.52)$$

د) الحل التقاربي في حالة القوى قصيرة المدى . نكتب معادلة شرودينجر

لكل القوى المركزية في الحالة العامة طبقا لـ (10.21) بالشكل \* :

$$\frac{d^2 u'}{dr^2} + \left( k^2 - \frac{2m_0}{\hbar^2} V(r) - \frac{l(l+1)}{r^2} \right) u' = 0 \quad (11.53)$$

حيث  $u' = rR_l'$  . وعندما تكون  $V = 0$  ( الحركة الحرة وهي أبسط حالة

خاصة من حالات القوى قصيرة المدى يتعين الحل بالمساواة (11.41) التي

تعطى ، إذا اعتبرنا العلاقة التقريبية (11.51) صحيحة عندما  $r \rightarrow \infty$  ،

ما يلي :

\* سنرمز بـ  $R_l$  للتابع القطري للحركة الحرة .

$$R_l(kr) = \frac{C_l}{k} \sqrt{\frac{2}{\pi}} \frac{\sin\left(kr - \frac{\pi l}{2}\right)}{r} \quad (11.54)$$

وبما أن الحل (11.54) يخص الطيف المستمر فيمكن حساب العوامل  $C_l$  بطريقة معيارية على التابع  $\delta$  أى أن :

$$\int_0^{\infty} r^2 R_l(kr) R_l(k'r) dr = \delta(k - k') \quad (11.55)$$

وإذا لاحظنا أن :

$$\begin{aligned} & \int_0^{\infty} \sin\left(kr - \frac{\pi l}{2}\right) \sin\left(k'r - \frac{\pi l}{2}\right) dr = \\ & = \frac{1}{2} \int_0^{\infty} \cos(k - k')r dr - \frac{1}{2} (-1)^l \int_0^{\infty} \cos(k + k')r dr = \frac{\pi}{2} \delta(k - k') \end{aligned}$$

فإننا نجد من (11.55) :

$$C_l = k' \quad (11.56)$$

ولهذا نكتب الحل المعيار في الحركة الحرة ، عندما  $r$  كبيرة ، بالشكل الآتى :

$$R_l = \sqrt{\frac{2}{\pi}} \frac{\sin\left(kr - \frac{\pi}{2} l\right)}{r} \quad (11.57)$$

وبمعرفة الحل في حالة الحركة الحرة نستطيع معرفة الحل التقاربى في حالة القوى قصيرة المدى الأخرى أيضا بشرط أن يزداد  $V(r)$  عندما  $r \rightarrow 0$  بأقل مما يزداد التابع  $r^{-2}$  ، وعلى العكس من ذلك يتناقص عندما  $r \rightarrow \infty$  أقل مما يتناقص به التابع  $r^{-2}$  (بقانون أسى مثلا) . ويمكن معرفة ارتباط العبارة التقاربية بالجيب عند وجود القوى المؤقتة بسهولة ، وذلك باهمال الحدود التى تتناسب مع  $V(r)$  ، واهمال  $\frac{l(l+1)}{r^2}$  فى العبارة (11.53) ، بحيث أنه

عندما  $r \rightarrow \infty$  نجد \*

$$R'_l = \sqrt{\frac{2}{\pi}} \frac{\sin\left(kr - \frac{\pi l}{2} + \delta_l\right)}{r} \quad (11.58)$$

أن القيمة المجهولة هنا هي الطور  $\delta_l$  الذى يجب أن يتناسب مع كمون القوى المؤقتة  $V$  لأنه ينعدم عندما  $V = 0$  ( الحركة الحرة ) . وتنحصر مسألتنا الآن فى حساب  $\delta_l$  فى التقريب الخطى الأول بالنسبة إلى  $V$  ولهذا نضرب المعادلة ( 11.39 ) بـ  $u'$  و ( 11.53 ) بـ  $u$  ونطرح الثانية من الأولى

ف نجد أن :

$$\frac{d}{dr} \left( u' \frac{du}{dr} - u \frac{du'}{dr} \right) = - \frac{2m_0}{\hbar^2} uu'V \quad (11.59)$$

وإذا استكملنا العبارة الأخيرة من الصفر حتى قيمة ما  $r$  فنستطيع أن نضع، فى الطرف الأيسر من ( 11.59 ) المتعلق بالمتغير  $r$  وحده بعد تبديل حدود التكامل ، الحلين التقاربيين ( 11.57 ) و ( 11.58 ) ونحصل بعد تحويلات بسيطة على ما يلى :

$$\sin \delta_l = - \frac{\pi m_0}{\hbar^2} \int_0^r uu'V dr$$

ونستطيع أن ننهى الحد الأعلى للتكامل إلى اللانهاية فى حالة كمون القوى المؤقتة . أما فى حالة القيم الصغيرة لـ  $\delta_l$  ،  $\sin \delta_l \sim \delta_l$  فنقتصر على الحدود الخطية بالنسبة إلى  $V$  ، كما أنه فى الطرف الأيمن من المساواة الأخيرة يمكن إهمال  $V$  أى وضع  $u' = u$  . وعندئذ إذا عوضنا فى طرف المساواة الأيمن العبارة ( 11.41 ) وفرضنا  $C_l = k$  ، انظر ( 11.56 ) فإننا نجد :

$$\delta_l = - \frac{\pi m_0}{\hbar^2} \int_0^{\infty} V r J_{l+\frac{1}{2}}^2(kr) dr \quad (11.60)$$

\* ستكون شروط المعايرة هنا مشابهة تماما لحالة الحركة الحرة ولهذا يبقى معامل المعايرة كما هو فى العلاقة ( 11.57 ) .

وتعين العلاقتان ( 11.58 ) و ( 11.60 ) السلوك التقاربي للقسم القطرى من التابع الموجى من أجل القيم الصغرى للطور  $(\delta_1 \ll 1)$  ،  $\delta_1$  .

## البند ١٢ - نظرية الذرة الشبيهة بالهيدروجين ( مسألة كبلر )

لقد فتحت دراسة الالكترون فى الحقل الكولونى للذرة ( الذرة الشبيهة بالهيدروجين ) بطرائق الميكانيكا الكوانتية آفاقا واسعة لدراسة بنية الذرة بصورة عامة . وتعتبر هذه النظرية من وجهة النظر الرياضية كتعميم كوانتى للنظرية الكلاسيكية لحركة الكواكب حول الشمس ( مسألة كبلر ) وهى أيضا جديرة بالاهتمام من الناحية المنهجية لأنها تقبل حلا دقيقا كما فى حالة الهزاز التوافقى والذوارة .

أ ( المعادلة القطرية . تكتب طاقة التأثير المتبادل بين الالكترون والنواة كالاتى :

$$V = - \frac{Ze_0^2}{r} \quad (12.1)$$

حيث  $r$  المسافة بين الالكترون ومركز النواة و  $Z$  ترتيب للذرة ( العدد الذرى ) و (  $Z = 1$  للهيدروجين ،  $Z = 2$  للهليوم . . . إلخ . . . ) أما  $e_0$  فهى شحنة الالكترون و  $Ze_0$  شحنة النواة . وتعتبر نواة الذرة ثابتة فى كثير من الحالات \* ولذلك من الطبيعى أن نضع مركز الاحداثيات فيها ، وعندئذ يمكن اعتبار القسم الزاوى  $\gamma^m$  من التابع الموجى معلوما ، انظر ( 10.67 ) ، ولتعيين سويات الطاقة وحساب القسم القطرى  $R(r)$  نستخدم المعادلة ( 10.21 ) التى تأخذ الشكل التالى :

\* وبعبارة أدق نقول أن مركز الثقل يبقى ثابتا ، ولكن إذا اعتبرنا أن الكتلة أخف ذرة ( كتلة ذرة الهيدروجين ) أكبر بـ 1840 مرة تقريبا من كتلة الالكترون ، يكون مركز الثقل أقرب بـ 1840 إلى النواة منه إلى الالكترون وبالتالي يمكن فى التقريب الأول اعتبار هذا المركز ينطبق على مركز النواة ، أما التصحيح الواجب اخاله فى هذا المجال فسيدرس فى نهاية هذا البند .

$$\nabla_r^2 R + \frac{2m_0}{\hbar^2} \left( E + \frac{Ze_0^2}{r} - \frac{\hbar^2 l(l+1)}{2m_0 r^2} \right) R = 0 \quad (12.2)$$

ولنفرض أن الجهد ( الكمون ) الفعال  $V_{eff}$  هو :

$$V_{eff} = -\frac{Ze_0^2}{r} + \frac{\hbar^2 l(l+1)}{2m_0 r^2} \quad (12.3)$$

حيث يخص الحد الأول القوى الكولونية أما الثاني فيخص القوى النابذة .

ولنحاول تفسير العبارة ( 12.3 ) من وجهة نظر كلاسيكية ، ولهذا سنطلق ، فنظر أيضا ( 10.70 ) ،

من العبارة للكلاسيكية :

$$\frac{p_r^2}{2m_0} = E - \left( -\frac{Ze_0^2}{r} + \frac{p_\phi^2}{2m_0 r^2} \right) \quad (12.3a)$$

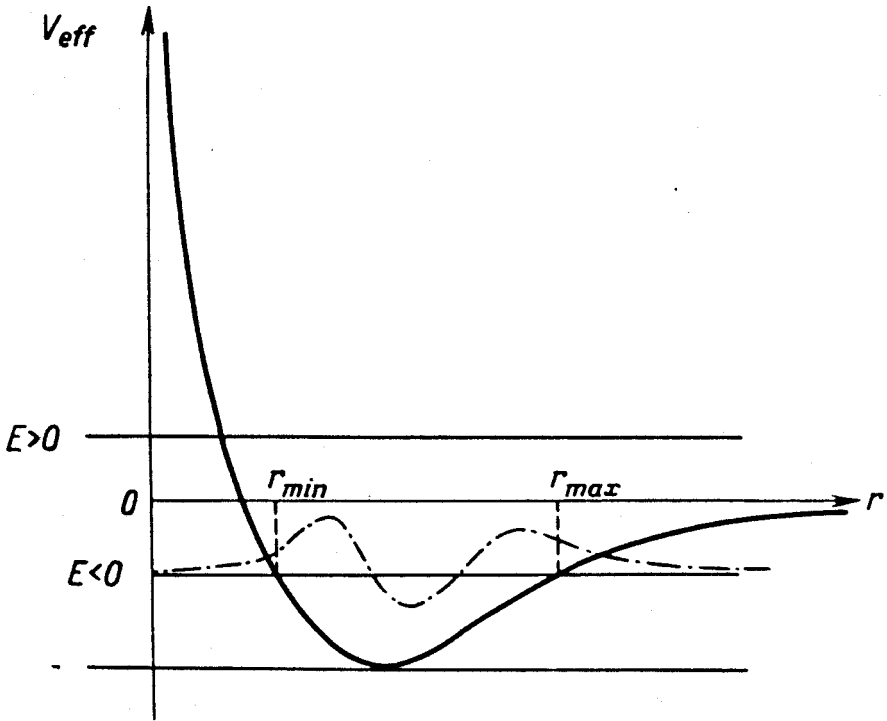
وإذا اعتبرنا  $p_\phi = \text{const}$  في حالة القوى المركزية يمكننا أن نكتب :

$$V_{eff} = -\frac{Ze_0^2}{r} + \frac{p_\phi^2}{2m_0 r^2}$$

ولتعميم هذه العلاقة على الحالة الكوانتية نموض عن  $p_r$  بقيمتها  $p_r^2 = \hbar^2 l(l+1)$  ونفس الطريقة

$$\text{نستطيع فهم المقدار } \frac{1}{2m_0} \left( \frac{\hbar}{l} \nabla_r \right)^2 \text{ كأنها } \frac{p_r^2}{2m_0}$$

وقد مثل الكمون  $V_{eff}$  بيانيا على الشكل ( ١٢ - ١ ) ، ومنه نستنتج بصورة خاصة أنه إذا كانت الطاقة الكلية  $E$  للالكترون سالبية ( $E < 0$ ) فإن حركته ستحدث في مجال محدود من طرفيه بحاجزين كمونيين ( والشبيه الكلاسيكي لذلك هو المدارات الاهليلجية ) لذلك يجب أن يكون لطيف هذا الالكترون خواص تقطعية . أما عندما  $E > 0$  فلن يتواجد الحاجز من جهة اليمين ( $r \rightarrow \infty$ ) ويصبح وضع الالكترون غير محدود عندما تكون  $r$  كبيرة ( والشبيه الكلاسيكي هو المدارات الزائدية ) . وبما أن وضع الالكترون في النرة يجب أن يكون محدودا بقيمة ما لـ  $r_{\max}$  ، فمن الطبيعي أن تعتبر عند بناء نظرية ذرة الهيدروجين أن  $E < 0$  وعندئذ نكتب المعادلة ( 12.2 ) بالشكل التالي :



الشكل ١٢ - ١ . الخط البياني لعلاقة الطاقة الكامنة ( الخط المتصل ) بالمسافة ، انظر العلاقة ( ١٢.٣ ) . أما التابع الموجي فهو مبين بخط منقطع .

$$\frac{d^2R}{dr^2} + \frac{2}{r} \frac{dR}{dr} + \left( -A + \frac{2B}{r} - \frac{l(l+1)}{r^2} \right) R = 0 \quad (12.4)$$

حيث

$$\frac{m_0 2e_0^2}{\hbar^2} = B > 0 \quad - \frac{2m_0 E}{\hbar^2} = A > 0 \quad (12.5)$$

وعند ادخال المتغير الجديد  $\rho$  حسب العلاقة :

$$\rho = 2 \sqrt{A} r \quad (12.6)$$

نحصل على المعادلة التالية :

$$R'' + \frac{2}{\rho} R' + \left\{ -\frac{1}{4} + \frac{B}{\sqrt{A} \rho} - \frac{l(l+1)}{\rho^2} \right\} R = 0 \quad (12.7)$$

حيث  $R' = (dR/d\rho)$  وبدراسة الخط البياني للكمون الفعال  $V_{eff}$  يمكننا أن

نحدد السلوك العام لحل المعادلة ، لأنه سيكون داخل الحفرة :

$$r_{min} < r < r_{max}$$

أى له خصائص اهتزازية ، أما خارجها فسند حلين متزايد ومتناقص .  
ومن الضروري أن نختار تلك الشروط التى تستثنى الحل المتزايد بشكل غير  
محدود لأن ذلك هو المطلوب ، كما فى حالة الهزاز التوافقى ، ولأنه يؤدي  
إلى حساب سويات الطاقة المتقطعة للالكترونون . وبما أن الحفرة غير  
متناظرة فسنبحث عن الحلين المتقاربين عندما  $\rho \rightarrow \infty$  وعندما  $\rho \rightarrow 0$  بشكل  
منفرد . ولذلك يمكن إيجاد الحل التقاربى عندما  $\rho \rightarrow \infty$  طبقاً لـ ( 12.7 ) من  
المعادلة التالية :

$$R''_{\infty} - \frac{1}{4}R_{\infty} = 0 \quad (12.8)$$

أى أن :

$$R_{\infty} = C_1 e^{-1/2\rho} + C_2 e^{1/2\rho} \quad (12.9)$$

وحتى نحذف الحل المتزايد أسياً ينبغي أن نجعل  $C_2 = 0$  . أما  $C_1$  فيمكن  
ادخاله فى مضروب المعايرة العام للتابع الموجى ولهذا نعتبره مساوياً للواحد  
وعندئذ يكون لدينا :

$$R_{\infty} = e^{-1/2\rho} \quad (12.10)$$

ولتعيين الحل التقاربى عندما  $\rho \rightarrow 0$  سنجد طبقاً لـ ( 12.7 ) المعادلة التالية \* :

$$R''_0 + \frac{2}{\rho} R'_0 - \frac{l(l+1)}{\rho^3} R_0 = 0 \quad (12.11)$$

ومنه إذا فرضنا  $R_0 = \rho^q$  نجد أن  $q(q+1) - l(l+1) = 0$  أى أن  $q_1 = l$

$$q_2 = -(l+1)$$

وبالتالى

$$R_0 = C_1 \rho^l + C_2 \rho^{-l-1} \quad (12.12)$$

\* عندما  $\rho \rightarrow 0$  سيكون الحدان  $1/4$  و  $\frac{B}{\sqrt{l}\rho}$  أصغر بكثير من  $\frac{l(l+1)}{\rho^3}$  ولذلك نهماهما .

وبفرض أن  $C_2 = 0$  ( عندئذ يستثنى الحل المتزايد غير المحدود عندما  $\rho = 0$  ) و  $C_1 = 1$  ، وعندها نحصل على أن

$$R_0 = \rho^l \quad (12.13)$$

ويمكن أيضا كتابة المعادلة (12.7) بالشكل التالي :

$$\frac{d^2 \rho R}{d\rho^2} + \left\{ -\frac{1}{4} + \frac{B}{\rho\sqrt{A}} - \frac{l(l+1)}{\rho^2} \right\} \rho R = 0 \quad (12.7a)$$

وسنختار حلها العام بالشكل :

$$R = R_\infty R_0 u \quad (12.14)$$

وفى هذه الحالة يكون

$$\rho R = \rho^{l+1} e^{-1/2 \rho} u = v u$$

ولحساب التابع المجهول  $u$  نكتب المعادلة التالية :

$$u'' + 2u' \frac{v'}{v} + \left\{ \frac{v''}{v} - \frac{1}{4} + \frac{B}{\rho\sqrt{A}} - \frac{l(l+1)}{\rho^2} \right\} u = 0 \quad (12.7b)$$

وإذا لاحظنا أن

$$\ln v = -\frac{1}{2} \rho + (l+1) \ln \rho.$$

نجد أن

$$\frac{v'}{v} = (\ln v)' = -\frac{1}{2} + \frac{l+1}{\rho} \quad v' = \left( -\frac{1}{2} + \frac{l+1}{\rho} \right) v$$

وأن

$$v'' = -\frac{l+1}{\rho^2} v + \left( -\frac{1}{2} + \frac{l+1}{\rho} \right)^2 v$$

وأخيرا نستخلص :

$$\frac{v''}{v} = \frac{1}{4} - \frac{l+1}{\rho} + \frac{l(l+1)}{\rho^2}$$



وإذا استفدنا من العلاقات السابقة فإن العلاقة (12.7b) تتحول إلى الشكل التالي :

$$\rho u'' + [2(l+1) - \rho] u' + \left[ \frac{B}{\sqrt{A}} - l - 1 \right] u = 0 \quad (12.15)$$

(ب) المدارات الدائرية . لندرس أولا الحالة الخاصة عندما ينعدم المعامل أمام التابع  $u$  في المعادلة (12.15) ، أى أن :

$$\frac{B}{\sqrt{A}} - l - 1 = 0 \quad (12.16)$$

ويكون حل المعادلة من الشكل  $u = \text{const} = C$  ومنه ينتج أن النسبة  $B/\sqrt{A}$  تساوى عددا صحيحا موجبا . . . . .  $n = 1, 2, 3, \dots$  أى أن :

$$\frac{B}{\sqrt{A}} = n = l + 1 = 1, 2, 3, \dots \quad (12.17)$$

وهو ما يسمى بالعدد الكوانتى الرئيسى وبحل المعادلة (12.17) باعتبار العلاقة (12.5) نكتب طيف طاقة الذرة الشبيهة بالهيدروجين :

$$E_n = - \frac{Z^2 e_0^4 m_0}{2\hbar^2 n^2} = - \frac{R\hbar Z^2}{n^2} \quad (12.18)$$

حيث  $R$  ثابت ريدبيرج التالى :

$$R = \frac{e_0^4 m_0}{2\hbar^3}$$

أما التابع القطرى (12.14) ، حسب الشرط (12.16) فيكتب بالشكل التالى :

$$R_{nl} = C \rho^l e^{-\rho/2} \quad (12.19)$$

حيث  $C$  ثابت المعايرة الذى يحسب من التكامل التالى :

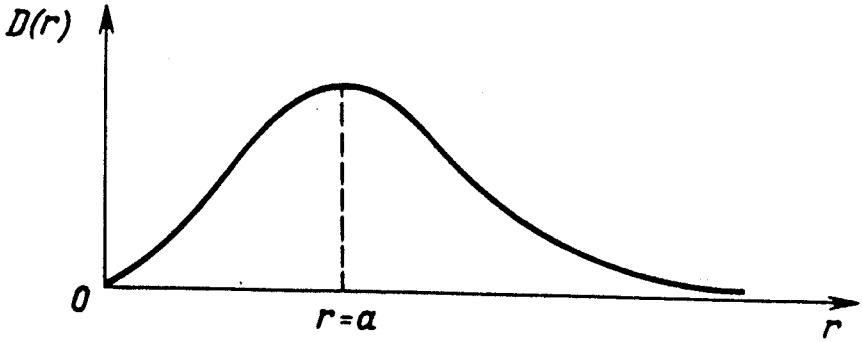
$$\int_0^\infty r^2 R_{nl}^2 dr = 1 \quad (12.20)$$

أما القيمة

$$D(r) = r^2 R^2(r) \quad (12.21)$$

الواقعة تحت التكامل ( 12.20 ) فتمثل توزع الكثافة الاحتمالية لنصف القطر  $r$  . وإذا اعتبرنا شكل التابع ( 12.19 ) والعلاقات ( 12.6 ) و ( 12.17 ) فإننا نجد عبارة  $D(r)$  التالية :

$$D(r) = \text{const } \rho^{2n} e^{-\rho} \quad (12.22)$$



الشكل ١٢ - ٢ . توزع الكثافة الاحتمالية القطرية في حالة المدارات الدائرية .

ولهذا التابع نهاية عظمى واحدة ( الشكل ١٢ - ٢ ) ، ولهذا السبب فإن الشرط ( 12.16 ) يقابل الحركة بمدارات دائرية ، ونحسب هذه النهاية بالشكل التالي :

$$\left( \frac{dD(r)}{dr} \right)_{r=r_n} = 0$$

ونجد أن  $\rho_n = 2n$  أى أن نصف قطر المدارات الدائرية يعطى بالعلاقة الآتية :

$$r_n = \frac{\rho_n}{2\sqrt{A}} = \frac{n^2}{Z} a_0 \quad (12.23)$$

حيث يمثل المقدار :

$$a_0 = \frac{\hbar^2}{m_0 e_0^2} \approx 0,5 \cdot 10^{-8} \text{ cm} \quad (12.24)$$

نصف قطر مدار بور الأول وهو يقابل اخفض مدار ، أى الحالة الأساسية لذرة الهيدروجين ( $Z = 1$ ) عندما  $n = 1$  وإذا أخذنا بعين الاعتبار نصف قطر مدار بور الأول  $a_0$  فيمكن كتابة العلاقة (12.6) بين  $r$  و  $\rho$  بالشكل التالي :

$$r = n a_0 \rho / 2Z$$

وعندئذ إذا حسبنا تكامل المعاييرة (12.20) للتابع (12.19) بواسطة العلاقة :

$$\int_0^{\infty} \rho^{2n} e^{-\rho} d\rho = (2n)!$$

نحصل على معامل المعاييرة :

$$C = \sqrt{\frac{8Z^3}{n^3 a_0^3 (2n)!}} \quad (12.25)$$

وهكذا يصبح التابع القطرى  $R_{nl}$  فى حالة المدارات الدائرية مساويا المقدار

$$R_{n, n-1} = \sqrt{\frac{8Z^3}{n^3 a_0^3 (2n)!}} \left(\frac{2Zr}{na_0}\right)^{n-1} e^{-\frac{Zr}{na_0}} \quad (12.26)$$

ومن هنا نرى أنه فى الحالة الخاصة عندما  $n = 1$  ( $l = n-1 = 0, m = 0$ ) حيث يساوى القسم الزاوى  $Y_l^m$  من التابع الموجى  $\psi_{nlm} = R_{nl} Y_l^m$  مقدارا ثابتا ، هو  $Y_0^0 = 1/\sqrt{4\pi}$  وعندئذ نحصل على التابع :

$$\psi_{100} = R_{10} Y_0^0 = \frac{1}{\sqrt{\pi}} \left(\frac{Z}{a_0}\right)^{3/2} e^{-\frac{Zr}{a_0}} \quad (12.27)$$

ويلاحظ أنه ليس للحالة  $\psi_{100}$  أى شبيهه كلاسيكى .

( ج ) المدارات الاهليلجية . لنحسب الآن التابع القطرى عندما يختلف المعامل أمام  $u$  عن الصفر أى  $B/\sqrt{A}-l-1 \neq 0$  وهذا ما يقابل المدارات الاهليلجية فى الميكانيكا الكلاسيكية ، نلاحظ أن المعادلة ( 12.15 ) هى حالة خاصة من المعادلة التفاضلية ذات الوسيطين العقديين الاختياريين  $\alpha$  و  $\beta$  أى أن :

$$x \frac{d^2 F}{dx^2} + (\beta - x) \frac{dF}{dx} - \alpha F = 0. \quad (12.28)$$

وقد يكون المتغير  $x$  عقديا أيضا . أما التابع الهندسى المتسامى  $F = \Phi(\alpha, \beta, x)$  الذى يحقق المعادلة ( 12.28 ) فيكتب كالآتى :

$$\Phi(\alpha, \beta, x) = 1 + \frac{\alpha}{\beta} \frac{x}{1!} + \frac{\alpha(\alpha+1)}{\beta(\beta+1)} \frac{x^2}{2!} + \dots \quad (12.29)$$

ويأخذ قيمة محددة فى النقطة  $x = 0$  هى  $\Phi(\alpha, \beta, 0) = 1$  أما عندما  $x \rightarrow \infty$  فإن للتابع  $\Phi$  سلوكا تقريبا ، أى أن :

$$\Phi(\alpha, \beta, x) \simeq \frac{\Gamma(\beta)}{\Gamma(\beta-\alpha)} (-x)^{-\alpha} \left[ 1 + \frac{\alpha}{x} (\beta - \alpha - 1) + \dots \right] + \frac{\Gamma(\beta)}{\Gamma(\alpha)} e^x x^{\alpha-\beta} \left[ 1 + \frac{(\alpha-\beta)(\alpha-1)}{x} + \dots \right] \quad (12.30)$$

حيث أن  $\Gamma(\alpha)$  التابع جاما ، أما العبارة ضمن الأقواس المتوسطة فهى متسلسلات تقاربية بقوى  $x$  المقلوبة . وينتج من ( 12.6 ) أن  $u = C \Phi(\alpha, \beta, \rho)$  مع العلم أن الوسيطين  $\alpha$  و  $\beta$  يأخذان القيمتين التاليتين :

$$\alpha = 1 + l - \frac{B}{\sqrt{A}}, \quad \beta = 2(l+1)$$

حيث  $C$  ثابت اختيارى . وعندئذ يعطى التابع القطرى ( 12.14 ) بالعلاقة :

$$R = C e^{-\rho/2} \rho^l \Phi \left\{ - \left( \frac{B}{\sqrt{A}} - l - 1 \right), 2(l+1), \rho \right\} \quad (12.31)$$

ويبدل السلوك التقاربى للتابع المتسامى أنه يزداد عندما  $\rho \rightarrow \infty$  كما

يزداد المقدار  $e^{\rho}$  أيضا ، لهذا كان لا بد لتحقيق شرط محدودية التابع القطرى (12.31) أن يساوى الوسيط  $\alpha = 1 + l - B/\sqrt{A}$  عددا سالبا صحيحا أو صفرا ، أى أن :

$$\alpha = -n_r = 0, -1, 2, \dots$$

وعندئذ يصبح التابع - جاما  $\Gamma(-n_r)$  لا نهائيا ويختفى القسم المتزايد أسيا فى (12.30) ومنه نرى أنه لحساب الطاقة المرتبطة بـ  $A$  و  $B$  بالعلاقتين (12.5) نكتب :

$$\frac{B}{\sqrt{A}} = n_r + l + 1 = n \quad (12.32)$$

وعليه فإن العدد الكوانتى  $n$  أكبر من مجموع العددين الكوانتيين المدارى :

$$l = 0, 1, 2, 3, \dots$$

والقطرى :

$$n_r = 0, 1, 2, 3, \dots \quad (12.33)$$

بمقدار واحد . ويسمى العدد  $n$  بالعدد الكوانتى الرئيسى وقد يساوى كما فى حالة المدارات الدائرية إلى :

$$n = 1, 2, 3, \dots \quad (12.33a)$$

وعندما يتحقق الشرط  $\alpha = -n_r$  تنقطع المتسلسلة المتسامية (12.29) وتصبح كثير حدود درجته  $n_r$  أى أن :

$$\Phi(-n_r, 2l+2, \rho) = \frac{(2l+1)!}{(2l+1+n_r)!} Q_{n_r}^{2l+1}(\rho) \quad (12.34)$$

حيث يرمز بـ  $Q_{n_r}^{2l+1}(\rho)$  إلى ما يسمى كثير حدود لاجير المعمم :

$$Q_{\kappa}^s(\rho) = \sum_{l=0}^{\kappa} (-1)^{\kappa+l} \rho^{\kappa-l} \frac{\kappa! (\kappa+s)!}{l! (\kappa-l)! (\kappa+s-l)!} \quad (12.35)$$

حيث  $k = n_r$  و  $s = 2l + 1$  وقد يكتب كثير الحدود (12.35) بالشكل المغلق :

$$u = Q_{\kappa}^s(\rho) = e^{\rho} \rho^{-s} \frac{d^{\kappa}}{d\rho^{\kappa}} (e^{-\rho} \rho^{\kappa+s}) \quad (12.36)$$

ملاحظة : لنبرهن أن التابع  $u$  المكتوب بالشكل (12.36) يحقق بالفعل المعادلة (12.15) ولذلك نقول أن التابع  $v = e^{-\rho} \rho^{\kappa+s}$  يحقق المعادلة  $\rho v' + (\rho - \kappa - s)v = 0$  وليس من الصعب التحقق من هذا ، إذا أخذنا المشتقة الأولى ل  $v$  فإذا استقينا المعادلة  $(\kappa + 1)$  مرة حسب قاعدة لينيير من السهل تحويلها إلى الشكل :

$$\rho v^{(\kappa+2)} + (\rho - s + 1) v^{(\kappa+1)} + (\kappa + 1) v^{(\kappa)} = 0$$

وإذا أدخلنا تابعا جديدا  $w = v^{(\kappa)} e^{\rho} \rho^{-s}$  نجد أنه يحقق المعادلة التالية :

$$\rho w'' + (s + 1 - \rho) w' + \kappa w = 0$$

والتي تتطابق مع المعادلة (12.15) التي يحققها التابع  $u$  (لأن  $(B/\sqrt{A}) - l - 1 = \kappa$ ) وبما أنه من السهل البرهان أن المعامل أمام الحد الأعلى في التابع :

$$w = e^{\rho} \rho^{-s} \frac{d^{\kappa}}{d\rho^{\kappa}} (e^{-\rho} \rho^{\kappa+s})$$

يتطابق مع المعامل المقابل في المساواة (12.35) لذا نكون بالتالى قد برهننا صحة العلاقة (12.36) .

ونرى أخيرا أن التابع  $R_{nl}(r)$  يصبح مساويا المقدار :

$$R_{nl}(\rho) = C_{nl} e^{-1/2 \rho} \rho^l Q_{n-l-1}^{2l+1}(\rho) \quad (12.37)$$

حيث  $\rho = \frac{2Zr}{na_0}$  و  $a_0$  هو نصف قطر مدار بور الأول (12.24) . ويصف الحل (12.37) الذي حصلنا عليه ، المدارات الأهلجية . ولتحليل هذه الحركة في الحالة الكوانتية ينبغي دراسة التوزع الاحتمالى بالنسبة للقطر  $r$  :

$$D(r) = \text{const } r^{2l+2} e^{-\frac{2Zr}{na_0}} (Q_{n-l-1}^{2l+1})^2 = \text{const } \rho^{2l+2} e^{-\rho} (Q_{n-l-1}^{2l+1})^2$$

ويمكن البرهان أن للتابع  $D(r)$  عندما  $\rho = 0$  و  $\rho = \infty$  و  $\rho = 0$  و  $Q_{n-l-1}^{2l+1} = 0$  (جنرا  $n_r + 2 = n - l - 1 = n_r$ ) نهاية صغرى عندما ينتهى إلى الصفر

و  $n_r + 1$  نهاية عظمى ، تحسب جميعها من المعادلة  $\partial D/\partial r = 0$  . أما المجال  $(r_1 < r < r_2)$  حيث يكون للتابع  $D(r)$  خواص اهتزازية فيقابل في التقريب الكلاسيكي مدارا اهليلجيا يتغير فيه بعد الجسم عن المركز ضمن المجال المذكور . ولنحسب أخيرا المعالم  $C_{nl}$  من شرط المعايرة :

$$\int_0^{\infty} r^2 R_{nl}^2 dr = \int_0^{\infty} D(r) dr = 1 \quad (12.38)$$

ف نجد أن :

$$C_{nl} = \left( \frac{Z}{na_0} \right)^{1/2} \sqrt{\frac{4}{n(n-l-1)(n+l)}} \quad (12.39)$$

أى أن :

$$R_{nl} = \left( \frac{Z}{na_0} \right)^{1/2} \sqrt{\frac{4}{n(n-l-1)(n+l)}} \left( \frac{2Zr}{na_0} \right)^l e^{-\frac{Zr}{na_0}} Q_{n-l-1}^{2l+1} \left( \frac{2Zr}{na_0} \right) \quad (12.40)$$

ملاحظة : يحسب التابع  $C_{nl}$  بالطريقة التالية : إذا عوضنا في شرط المعايرة (12.38) عن  $R_{nl}$  بقيمة من العلاقة (12.35) وبدلنا  $r$  بـ  $\rho = \frac{na_0}{2Z}$  نجد  $(n_r = \kappa)$  أن :

$$C_{nl}^2 \left( \frac{na_0}{2Z} \right)^3 \int_0^{\infty} \rho^{2l+2} e^{-\rho} Q_{\kappa}^{2l+1} Q_{\kappa}^{2l+1} d\rho = 1$$

ثم نكتب كثير الحدود  $Q_{\kappa}^{2l+1}$  بشكل متسلسلة من (12.35) بينما نترك الآخر في شكله المغلق (12.36) . وعندئذ يأخذ شرط المعايرة المكتوب سابقا الشكل التالي :

$$C_{nl}^2 \left( \frac{na_0}{2Z} \right)^3 \int_0^{\infty} \rho (-1)^{\kappa} \{ \rho^{\kappa} - \kappa(\kappa+2l+1)\rho^{\kappa-1} + \dots \} \frac{d^{\kappa}}{d\rho^{\kappa}} (e^{-\rho} \rho^{\kappa+2l+1}) d\rho = 1$$

فإذا استخدمنا نظرية إسقاط المشتقات ، انظر (6.14) ، نجد أن :

$$C_{nl}^2 \left( \frac{na_0}{2Z} \right)^3 \int_0^{\infty} e^{-\rho} [(\kappa+1)\rho^{2l+\kappa+2} - \kappa\kappa(2l+\kappa+1)\rho^{2l+\kappa+1}] d\rho = 1$$

ومن السهل التأكد أن بقية حدود المتسلسلة  $Q_{\kappa}^2$  تعطى صفرا لأننا نشقها أكثر من أعلى أس  $\rho$  فيها .

وإذا استخدنا من العلاقة  $s \int_0^{\infty} e^{-\rho} \rho^s d\rho = s!$  فمن السهل أن نتأكد من صحة العلاقة (12.39) \* . وبنفس الطريقة يمكن حساب  $\langle r^{-\nu} \rangle$  ( $\nu = 1, 2, 3, 4$ ) الذى سنحتاجه فيما بعد

$$\langle r^{-\nu} \rangle = \int \psi_{nlm}^* r^{-\nu} \psi_{nlm} d^3x = \int_0^{\infty} R_{nl}^2 r^{-\nu+2} dr$$

وبناء على العلاقات المذكورة سابقا يمكننا كتابة المساواة الأخيرة بالشكل التالى :

$$\begin{aligned} \langle r^{-\nu} \rangle = C_{nl}^2 \left( \frac{na_0}{2Z} \right)^3 \left( \frac{na_0}{2Z} \right)^{-\nu} \int_0^{\infty} \rho^{-\nu+1} (-1)^{\kappa} \left\{ \rho^{\kappa} - \kappa(\kappa+2l+1) \rho^{\kappa-1} + \dots \right. \\ \left. \dots + (-1)^{\kappa-2} \frac{\kappa(\kappa-1)(2l+\kappa+1)!}{2l(2l+3)!} \rho^2 + (-1)^{\kappa-1} \frac{\kappa(2l+\kappa+1)!}{(2l+2)!} \rho + \right. \\ \left. + (-1)^{\kappa} \frac{(2l+\kappa+1)!}{(2l+1)!} \right\} \frac{d^{\kappa}}{d\rho^{\kappa}} (e^{-\rho} \rho^{\kappa+2l+1}) d\rho \end{aligned}$$

فإذا فرضنا أن  $\nu = 1, 2, 3, 4$  فى هذه العلاقة ثم طبقنا من جديد نظرية المشتقات نجد بعد اجراء بعض العمليات غير المعقدة ما يلى :

$$\begin{aligned} \langle r^{-1} \rangle &= \left( \frac{Z}{a_0} \right) \frac{1}{n^2}, \quad \langle r^{-2} \rangle = \left( \frac{Z}{a_0} \right)^2 \frac{1}{n^3(l+1/2)} \\ \langle r^{-3} \rangle &= \left( \frac{Z}{a_0} \right)^3 \frac{1}{n^3 l(l+1/2)(l+1)} \\ \langle r^{-4} \rangle &= \frac{1}{2n^5} \left( \frac{Z}{a_0} \right)^4 \frac{3n^2 - l(l+1)}{(l-1/2)l(l+1/2)(l+1)(l+3/2)} \end{aligned} \quad (12.40a)$$

وهنا عند حساب  $\langle r^{-1} \rangle$  يجب أن نبقى من كثير الحدود  $Q_k^s$  أعلى حد فيه  $\rho^k$  . وعند حساب  $\langle r^{-3} \rangle$  يجب على العكس أن نبقى آخر حد فيه  $\rho^0$  أما عند حساب  $\langle r^{-3} \rangle$  فيجب أن نبقى الحدين الآخرين وهكذا . . . وقد حصلنا على  $\langle r^{-3} \rangle$  و  $\langle r^{-4} \rangle$  بفرض أن  $l \neq 0$  أما فى الحالة  $l = 0$  فيسيطر تأثير تماسى متبادل عوضاً عن التأثير المتبادل المتناسب مع الحدود المتشابهة .

ويمكننا الآن أن نحسب طيف طاقة الذرات الشبيهة بالهيدروجين من

\* ومن السهل البرهان أيضا أن التوابع القطرية تحقق شرط التعامد بالإضافة إلى شرطاً التعامد والمعايرة :

$$\int_0^{\infty} r^2 R_{n'l} R_{n'l} dr = \delta_{n'n}$$

فإذا لاحظنا أيضا العلاقة (10.68) فيمكن كتابة شرط التعامد والمعايرة للتابع الموجى الكلى لمسألة كبلر :

$$\int \psi_{n'l'm'} \psi_{n'l'm} d^3x = \delta_{m'm'} \delta_{l'l} \delta_{n'n}$$

حيث

$$\psi_{nlm} = R_{nl} Y_l^m$$



العلاقتين ( 12.32 ) و ( 12.5 ) فنجد أن :

$$E_n = -\frac{Z^2 e_0^2}{2a_0 n^2} = -\frac{R h Z^2}{n^2} \quad (12.41)$$

ومنه نلاحظ أن عبارة الطاقة هذه تتفق مع العبارة المقابلة ( 12.18 ) التي حصلنا عليها في حالة المدارات الدائرية عندما اعتبرنا أن العدد الكوانتى الرئيسى  $n$  يساوى  $l + 1$  وأن العدد القطرى  $n_r$  يساوى الصفر . وفى الحالة العامة للمدارات الاهليلجية ، تتعلق العبارة العامة للطاقة الكلية ( 12.41 ) بعدد كوانتى رئيسى واحد فقط هو  $n = l + n_r + 1$  أى أن مجموع العددين الكوانتيين المدارى  $l$  والقطرى  $n_r$  لا يتعلق بالعدد الكوانتى المغناطيسى  $m$  بينما يرتبط التابع الموجى  $\psi_{nlm} = R_{nl} Y_l^m$  بكل الأعداد الكوانتية  $n$  و  $l$  و  $m$  وبالتالي ستكون سويات الطاقات منطبقة وفقا لنظرية شرودينجر الموجية وبما أن  $m$  يتغير من  $-l$  إلى  $+l$  آخذا  $2l+1$  قيمة فإن درجة الانطباق ستساوى :

$$\sum_{l=0}^{n-1} (2l + 1) = n^2$$

بعد ملاحظة أن  $l$  تتحول من الصفر إلى  $n-1$  . كما ويميز الانطباق بالعدد  $m$  كل الحركات فى الحقل المركزى وهو مرتبط بتساوى كافة الاتجاهات المارة من مركز الاحداثيات أما الانطباق بالعدد الكوانتى المدارى  $l$  فيحصل فى نظرية شرودينجر فى حالة واحدة فقط هى حالة التأثير الكولونى البحت ، أما فى الجمل المتناظرة الأخرى فيختفى الانطباق بـ  $l$  أى تنقسم سوية الطاقة المقابلة إلى  $n$  سوية جزئية تقابل قيم  $l$  المختلفة\* . فإذا وقعت الجملة بالاضافة إلى ذلك فى حقل خارجى ( مغناطيسى مثلا ) ينزع التناظر

\* سنرى فيما بعد أن أخذ التأثيرات النسبية وحجم النواة ، أو ما يسمى التعميمات الفراغية ، بعين الاعتبار ينزع الانطباق فى ذرة الهيدروجين بالعدد الكوانتى  $l$  وبطريقة مشابهة نرى أن تفاعل الالكترونات فى الطبقات الداخلية بفك الانطباق بـ  $l$  فى طيف ذرات المعادن القلوية التى لها الكترون واحد على الطبقة الخارجية .

المركزي فإن الانطباق بـ  $m$  يزول أيضا وتنقسم السوية الطاقوية إلى  $n^2$  سوية جزئية مختلفة .

( د ) دراسة الانطباق بـ  $l$  في الحقل الكولوني . ان للانطباق بالعدد  $l$  في الحقل الكولوني ( من وجهة النظر الرياضية ) مؤثرا آخر أيضا  $e$  نسميه متجه التباعد المركزي ، وهو في حد ذاته تكامل للحركة ويتبادل مع  $L^2$  ، ويكتب في التقريب الكلاسيكي بالصيغة التالية :

$$e = e_1 + e_2 \quad (12.42)$$

حيث

$$e_1 = \frac{1}{Ze_0^2 m_0} [Lp], \quad e_2 = \frac{r}{r}, \quad L = [rp] \quad (12.43)$$

فإذا أخذنا بعين الاعتبار أنه في التقريب الكلاسيكي يكون :

$$\dot{L} = 0, \quad \dot{p} = m_0 \dot{v} = -\frac{Ze_0^2}{r^3} r \quad (12.44)$$

نحصل على :

$$\frac{de_1}{dt} = \frac{1}{Ze_0^2 m_0} [L\dot{p}] = -\frac{[Lr]}{m_0 r^3} \quad (12.45)$$

وبنفس الطريقة تماما نجد أن :

$$\frac{de_2}{dt} = \frac{\dot{r}r^2 - r(\dot{r}r)}{r^3} = \frac{[Lr]}{m_0 r^3} \quad (12.45a)$$

ومنه نستخلص قانون مصونية متجه التباعد المركزي :

$$\frac{de}{dt} = \frac{de_1}{dt} + \frac{de_2}{dt} = 0$$

ولفهم المعنى الفيزيائي للمتجه  $e$  نضرب ( 12.42 ) عدديا بالمتجه  $r$  وبملاحظة

( 12.43 ) نجد :

$$(re) = -\frac{L^2}{Ze_0^2 m_0} + r$$

ومنه

$$r = \frac{L^2}{Zm_0e_0^2} \frac{1}{1 - |e| \cos \phi} \quad (12.46)$$

أى أن القيمة المطلقة (طويلة) للمتجه  $e$  تلعب دور التباعد المركزى أما المتجه نفسه فهو محمول على المحور الكبير ويتجه من المحرق إلى أبعد نقطة من المسار الاهليلجى . ومن السهل حساب القيمة المطلقة للتباعد المركزى بتربيع المساواة (12.42) ، أى أن :

$$e^2 = 1 + \frac{2}{Z^2e_0^4m_0} L^2 \left( \frac{p^2}{2m_0} - \frac{Ze_0^2}{r} \right) = 1 + \frac{2L^2E}{Z^2e_0^4m_0}$$

أو

$$e = \sqrt{1 + \frac{2L^2E}{Z^2e_0^4m_0}} \quad (12.47)$$

ويعنى ذلك أنه عندما  $E < 0$  سنحصل على مدارات أهليلجية ( $e < 1$ ) وعندما  $E > 0$  نحصل على قطع زائد ( $e > 1$ ) كما نحصل على قطع مكافئ عندما  $E = 0$  و  $e = 1$  . ولتعميم متجه التباعد المركزى على الحالة الكوانتية نكتب  $e$  بشكل مؤثر :

$$e = e_1 + e_2 \quad (12.48)$$

حيث :

$$e_1 = \frac{1}{2Ze_0^2m_0} ([Lp] - [pL]), \quad e_2 = \frac{r}{r} \quad (12.49)$$

ولنبرهن أن مؤثر متجه التباعد  $e$  يكون مصونا فى الحقل الكولونى عندما نكتب الهاملتونيان بالشكل التالى :

$$H = \frac{p^2}{2m_0} - \frac{Ze_0^2}{r} \quad (12.50)$$

وفى الحقيقة إذا اعتبرنا أن القيم الكوانتية تتغير حسب العلاقة :

$$\frac{dL}{dt} = \frac{i}{\hbar} (HL - LH) = 0$$

$$\frac{dp}{dt} = \frac{i}{\hbar} (Hp - pH) = \frac{i}{\hbar} \left( p \frac{Ze_0^2}{r} - \frac{Ze_0^2}{r} p \right) = -\frac{Ze_0^2 r}{r^3} \quad (12.51)$$

وهذه التغيرات تحصل في الحالة الكلاسيكية أيضا ، انظر ( 12.44 ) وعليه نجد أن

$$\frac{de_1}{dt} = -\frac{1}{2m_0} \left( [ [rp] \frac{r}{r^3} ] - \left[ \frac{r}{r^3} [rp] \right] \right)$$

وإذا حسبنا العلاقة الأخيرة نستخلص أن :

$$\frac{de_1}{dt} = -\frac{1}{m_0} \left( \frac{1}{r} p - \frac{r}{r^3} (rp) - \frac{\hbar}{i} \frac{r}{r^3} \right) \quad (12.52)$$

وبنفس الطريقة تماما نجد أن :

$$\frac{de_2}{dt} = \frac{i}{\hbar} \left( H \frac{r}{r} - \frac{r}{r} H \right) = \frac{i}{\hbar} \left( \frac{p^2}{2m_0} \frac{r}{r} - \frac{r}{r} \frac{p^2}{2m_0} \right) \quad (12.53)$$

أو

$$\frac{de_2}{dt} = \frac{1}{m_0} \left( \frac{1}{r} p - \frac{r}{r^3} (rp) - \frac{\hbar}{i} \frac{r}{r^3} \right) \quad (12.54)$$

ومن ( 12.52 ) و ( 12.54 ) ينتج القانون الكوانتى لانهفاظ المؤثر  $e$

$$\frac{de}{dt} = 0 \quad (12.55)$$

ولكن مؤثر التباعد المركزى لا يتبادل مع مربع العزم المدارى ، وفى الحقيقة إذا أخذنا مسقط هذا المؤثر على المحور  $z$  فنجد أن :

$$e_z = \frac{1}{2Ze_0^2 m_0} (L_x p_y - L_y p_x - p_x L_y + p_y L_x) + \frac{z}{r} \quad (12.56)$$

ومن السهل عندئذ الحصول على قواعد التبادل التالية :

$$L_x e_z - e_z L_x = \frac{\hbar}{i} e_y \quad (12.57)$$

$$L_y e_z - e_z L_y = -\frac{\hbar}{i} e_x \quad (12.58)$$

$$L_z e_z - e_z L_z = 0 \quad (12.59)$$

ومن هنا ينتج كحالة خاصة أنه بالرغم من تبادل المؤثر مع الهاملتونيان ومسقط العزم  $L_z$  فهو لا يتبادل مع  $L^2$  ، أى أن :

$$L^2 e_z - e_z L^2 = -\frac{2\hbar}{i} ([eL]_z + \frac{\hbar}{i} e_z) \quad (12.60)$$

وهو ما يؤدي آليا إلى الانطباق بـ  $l$  للذى يميز الحركة فى الحقل الكولونى ، طالما أننا لا نستطيع أن ندخل مفهوم المؤثر المحفوظ  $e$  فى حقول القوى المركزية الأخرى . ولنتلاحظ أننا نستطيع حل مسألة كبلر فى الاحداثيات القطبية المكافئة لأن المؤثرات  $L_z, L^2, H$  ( الأعداد الكوانتية  $n, l, m$  ) بالاضافة إلى الاحداثيات الكروية عندما تبقى المؤثرات  $(L_z, e_z, H)$  ( الأعداد الكوانتية  $n, \lambda, m$  ) مصونة . وهذا يعنى من الناحية الفيزيائية امكانية وجود مدارات مختلفة عن بعضها باختلاف قيمة التباعد المركزى  $e$  ، وذلك من أجل قيمة واحدة معينة للطاقة وعندئذ سنحصل على \* :

$$e^2 = 1 + \frac{2}{Z^2 e_0^4 m_0} (L^2 + \hbar^2) H \quad (12.61)$$

حيث  $H$  - هاملتونيان الجملة ، انظر ( 12.50 ) ، وإذا اعتبرنا أن القيم الخاصة لـ  $H$  و  $L^2$  فى ذرة الهيدروجين هى على الترتيب :

$$E_n = -\frac{Z^2 e_0^4 m_0}{2\hbar^2 n^2}, \quad L^2 = \hbar^2 l(l+1). \quad (12.62)$$

فإننا نجد :

$$e = \sqrt{1 - \frac{l^2 + l + 1}{n^2}} \quad (12.63)$$

ومنه نستنتج أن التباعد المركزى يأخذ نهاية صغرى عندما  $l = n-1$  قيمتها

$$e_{\min} = \sqrt{\frac{n-1}{n^2}} \quad (12.64)$$

\* لبرمان العلاقة ( 12.61 ) يكتب المؤثر ( 12.48 ) بالشكل التالى :

$$e = \frac{1}{Z e_0^2 m_0} ([Lp] - l\hbar p) + \frac{r}{r}$$

وهذا ما يوافق المدارات الدائرية للنموذج الكلاسيكي ، عندما  $n = 1$  ( اخفض حالة طااقوية ) حيث ينتهي التباعد المركزى إلى الصفر ( $e = 0$ ) ، وبما أنه لا يوجد في هذه الحالة اتجاه متميز للعزم المغناطيسى المدارى ( فى الحالة  $s$  يكون  $l = m = 0$  ) فإننا نحصل فى الواقع على احتمالات متساوية لتوضع الالكترن على الكرة وستختلف القيمة الصغرى  $l$  عن الصفر عندما  $l = n - 1 = 1, 2, 3, \dots$  فى الحالات الكوانتية الأخرى ( $n = 2, 3, 4, \dots$ ) فيما يكون اتجاه المسار ضمن زاوية مجسمة ما مميزة بالعدد الكوانتى  $m$ .

( ه ) قوانين الاصطفاء ( الانتقاء ) وطيف اشعاع الذرات الشبيهة بالهيدروجين . لمعرفة قوانين الاصطفاء فى مسألة كبلر ينبغى حساب العناصر التالية :

$$\langle n'l'm' | r | nlm \rangle = \int \psi_{n'l'm'}^* r \psi_{nlm} d^3x \quad (12.65)$$

وإذا عوضنا  $\psi_{nlm} = Y_l^m R_{nl}$  فإننا نجد أن :

$$\langle n'l'm' | r | nlm \rangle = \oint d\Omega (Y_l^{m'})^* \frac{r}{r} Y_l^m \int_0^\infty R_{n'l'm'} r^3 R_{nl} dr \quad (12.66)$$

حيث يعطى التكامل بالنسبة للزاويتين  $\theta$  ،  $\phi$  ، انظر ( 11.24 ) ، ( 11.25 ) ، ( 11.26 ) ، قوانين انتقاء العدد الكوانتى المدارى  $\Delta l = l - l' = \pm 1$  والعدد الكوانتى المغناطيسى  $\Delta m = m - m' = 0 \pm 1$  وإذا استفدنا من ذلك نحصل بدلا من ( 12.66 ) على ما يلى :

$$\langle n'l'm' | r | nlm \rangle = \text{const} \left\{ \begin{matrix} \delta_{m'm} \\ \delta_{m', m \pm 1} \end{matrix} \right\} \delta_{l', l \pm 1} \int_0^\infty R_{n', l \pm 1} r^3 R_{nl} dr \quad (12.67)$$

ولكن إذا حسبنا التكامل ( $k = n$ ) فإننا نجد أن :

$$\int_0^{\infty} r^3 R_{n'l} R_{nl} dr \sim \int_0^{\infty} r^{3+2l \pm 1} e^{-\frac{Zr}{a_0}} \left(\frac{1}{n} + \frac{1}{n'}\right) Q'_\kappa \left(\frac{2Zr}{na_0}\right) Q'_\kappa \left(\frac{2Zr}{n'a_0}\right) dr \quad (12.68)$$

ومن السهل البرهان أن هذا التكامل لا ينعدم مهما كانت قيمة  $n'$  أى أنه يمكن للعدد الكوانتى الرئيسى أن يتغير بصورة اختيارية فى كافة الانتقالات الممكنة . ويعبر عن هذا التكامل فى الحالة العامة بواسطة التوابع الهندسية المتسامية وبصورة خاصة يمكن البرهان على أنه عندما ينتقل الإلكترون إلى أخفض سوية طاقة  $1s$  ، سلسلة ( نطاق ) لايمن ، سيكون لدينا :

$$\int_0^{\infty} r^3 R_{10} R_{n1} dr = \frac{2^8 n^7 (n-1)^{2n-5}}{(n+1)^{2n+5}} a_0 \quad (12.69)$$

من هنا نرى أنه لا يمكن لهذا التكامل أن ينعدم مهما كانت قيم  $n = 2, 3, 4, \dots$

وإذا أخذنا بعين الاعتبار قانون الاصطفاء للذرة الشبيهة بالهيدروجين يمكن الانتقال إلى دراسة طيف الاشعاع . وهنا نفرض بعض الاصطلاحات المتعلقة بالسويات الطاقوية للذرة ، سنرمز أولاً للحدود الطيفية للذرات  $(-E_{nl}/h)$  التى لا تتبع فى الحالة العامة ، ل  $n$  وإنما ل  $l$  أيضا ، بالرمز  $(nl)$  أى أن :

$$\left(-\frac{E_{nl}}{h}\right) = (nl) \quad (12.70)$$

حيث  $n = 1, 2, 3, \dots$  أما  $l$  فقد أشرنا سابقا فى البند ١١ أنها تأخذ الحروف

$s, p, d, f, g, h, \dots$  الموافقة ل  $l = 0, 1, 2, 3, 4, 5, \dots$  وبما أن

$l \leq n - 1$  يمكن أن نكتب فقط الرموز التالية :

$1s, 2s, 2p, 3s, 3p, 3d, 4s, 4p, 4d, 4f, 5s, 5p, 5d, 5f, 5g, \dots$

ولا يمكن أن نجد  $1p$  لأن  $l = 1; n = 1$  ولا  $3f$  لأن  $n = 3; l = 3$  وهكذا ، أما

تواتر الاشعاع فيكتب فى هذه الرموز بالشكل التالى :

$$\omega_{nn'} = \frac{E_n - E_{n'}}{\hbar} = (n'l') - (nl) \quad (12.71)$$

ومن الضروري هنا اعتبار قانون الانتقاء للعدد وهو :  $l:l' = l \pm 1$  وإذا استفدنا من العلاقة ( 12.41 ) فيمكن كتابة الرمز  $(nl)$  بالشكل التالي :

$$(nl) = \frac{m_0 e_0^4}{2\hbar^3} \frac{Z^2}{n^2} = \frac{RZ^2}{n^2} \quad (12.72)$$

حيث  $R$  ثابت ريدبرج الذى يعطى بالعلاقة التالية :

$$R = \frac{m_0 e_0^4}{2\hbar^3} \quad (12.73)$$

أما تواتر الاشعاع  $\omega_{nn'}$  فيحسب بالعلاقة الآتية :

$$\omega_{nn'} = RZ^2 \left( \frac{1}{n'^2} - \frac{1}{n^2} \right) \quad (12.74)$$

ومن هنا نرى أنه للحصول على سلسلة لايمان فى حالة ذرة الهيدروجين ( $Z = 1$ ) ، هذه السلسلة التى تقابل الانتقال إلى أخفض سوية طاقوية  $n' = 1$  أى إلى السوية  $1s$  ، ( الشكل ١٢ - ٤ ) ، نستعمل العلاقة :

$$\omega_{Lym} = (1s) - (np) = R \left( \frac{1}{1^2} - \frac{1}{n^2} \right) \quad (12.75)$$

حيث  $n = 2, 3, 4, \dots$  أما من أجل سلسلة بالمير الموافقة للانتقال إلى السوية  $n' = 2$  من السويات  $n > 2$  فنجد ثلاثة تواترات ممكنة\*

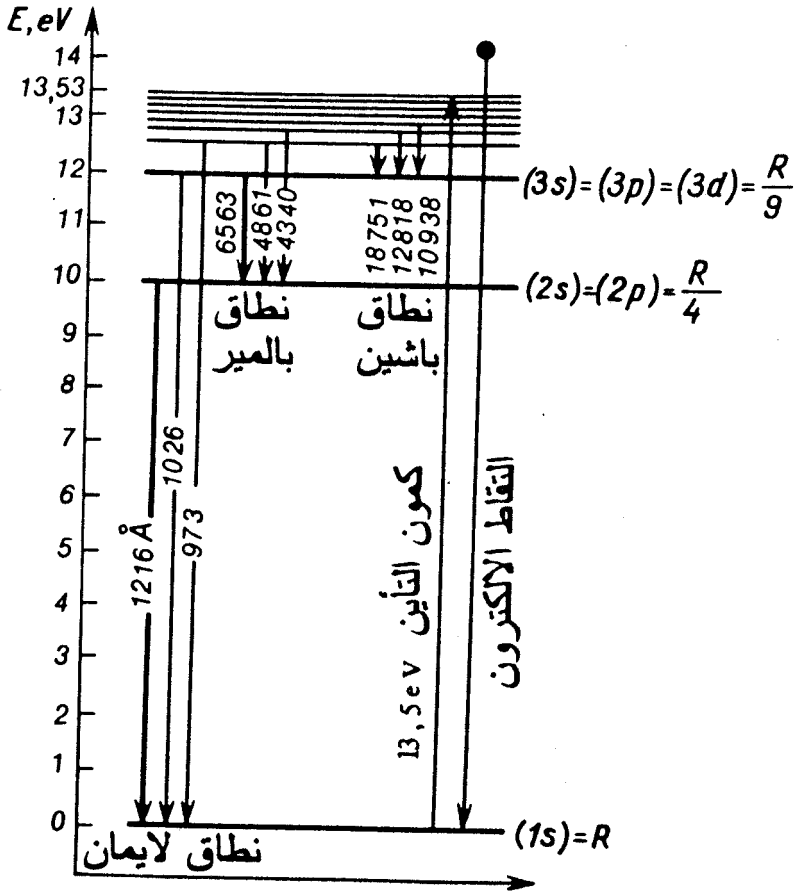
\* لحساب احتمال الانتقال التالى  $np-1s$  نجد طبقاً ل ( 9.95 ) أن :

$$A_{n1} = Z^4 \left( \frac{e_0^2}{c\hbar} \right)^5 \frac{m_0 c^2}{2\hbar} \frac{2^8}{9} \frac{n(n-1)^{2n-2}}{(n+1)^{2n+2}}$$

أى أن زمن حياة ذرة الهيدروجين ( $Z = 1$ ) فى الحالة  $2p$  يساوى :

$$\tau = \frac{1}{A_{21}} \approx 1,5 \cdot 10^{-9} \text{c}$$





الشكل ١٢ - ٣ . النطاقات ( السلسل ) الطيفية لذرة الهيدروجين ، أطوال الموجات المقابلة للانتقالات المبينة مقدره بالـ Å .

$$\begin{aligned}
 \omega'_{\text{Balm}} &= (2s) - (np) \\
 \omega''_{\text{Balm}} &= (2p) - (ns) \\
 \omega'''_{\text{Balm}} &= (2p) - (nd)
 \end{aligned}
 \quad (12.76)$$

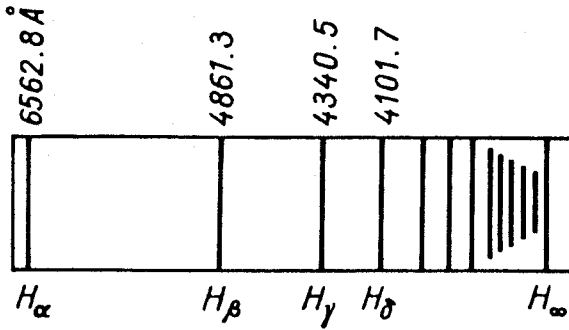
وسبب الانطباق بالعدد الكوانتى المدارى فى حالة ذرة الهيدروجين هو أن الخطوط الطيفية الثلاثة تتحد بخط واحد هو التالى :

$$\omega_{\text{Balm}} = R \left( \frac{1}{2^2} - \frac{1}{n^2} \right)$$

ونحصل على ما يشبه ذلك في سلسلة باشن

$$\omega_{\text{Pash}} = R \left( \frac{1}{3^2} - \frac{1}{n^2} \right)$$

حيث  $n = 4, 5, 6, \dots$  ويمثل الشكل ( ١٢ - ٣ ) رسما تخطيطيا للخطوط الطيفية لذرة الهيدروجين ( بالأخذ بنظر الاعتبار السويات المتقطعة والطيف المستمر ) . ويظهر بوضوح من هذا الرسم ، الانطباق  $1/\lambda$  الذى يبدو فى اتحاد كل الخطوط الطيفية ذات القيمة  $1/n$  بخط وحيد .



الشكل ١٢ - ٤ . نطاق بالمير الطيفى ، أطوال الموجات المقابلة للخطوط المرئية  $H_{\alpha}$  و  $H_{\beta}$  و  $H_{\gamma}$  و  $H_{\delta}$  مقدره بـ (  $\text{Å}$  ) و  $H_{\infty}$  يعطى التوضيح النظرى لحدود النطاق .

وبالاضافة إلى الانتقالات العادية بين السويات المتقطعة فى الذرة ، من الممكن حدوث نوعين متعاكسين من العمليات هما التأين والأسر ففى عملية التأين ينتقل الالكترن من الطيف المتقطع ( $E < 0$ ) من أخفض حالة مثلا إلى مجال الطاقات الموجبة ( $E > 0$ ) التى تؤلف طيفا مستمرا ( مسارات دائرية ) ويرافق هذه العملية امتصاص للطاقة . وعلى العكس من ذلك نرى فى حالة الأسر حيث ينتقل الكترن إلى إحدى السويات المتقطعة الممكنة منتجا بذلك الطاقة المناسبة ولكى ينتقل من أخفض سوية طاقة ( $n = 1$ ) فى المجال  $E > 0$  ، لا بد من صرف طاقة ( الشكل ١٢ - ٣ ) .

$$E^{\text{ion}} = T - E_1 = R\hbar + T$$

حيث  $T = \frac{m_0 v^2}{2}$  هي الطاقة الحركية للإلكترون وهي غير مرتبطة عمليا بالنواة وتعين الطاقة  $E^{\text{ion}}$  ما يسمى بطاقة تأين (تشرود) الذرة ، أما أصغر تأين هو من أجل  $T = 0$  وهو ما يقابل انتقال الإلكترون من السوية  $n = 1$  إلى حالة الطيف المستمر بطاقة صغرى ( $E = 0$ ) بحيث يستطيع الإلكترون مغادرة النواة . وإذا حسبنا هذه الطاقة في حالة ذرة الهيدروجين فإننا نجد

$$E_{\text{min}}^{\text{ion}} = R\hbar = \frac{e_0^2}{2a_0} = 13,5 \text{ eV}$$

( و ) اعتبار حركة النواة . لقد اجرينا كل الحسابات حتى الآن بدون اعتبار حركة النواة ولهذا ستكون النظرية المعطاة سابقا صحيحة فقط في تلك الحالة عندما تكون كتلة النواة كبيرة جدا ويمكن قبول هذا ، بصورة عامة ، كتقريب أول وخصوصا في حالة النوى الخفيفة (الهيدروجين والهليوم مثلا) ولقد أدى اعتبار حركة النواة إلى فهم مجموعة حقائق تجريبية . فيمكن كتابة الهاملتونيان لجملة مؤلفة من جسمين هما النواة والإلكترون ، عند اعتبار حركة النواة بالشكل :

$$H = \frac{1}{2m_0} p_1^2 + \frac{1}{2M} p_2^2 + V(|r_1 - r_2|) \quad (12.77)$$

حيث  $m_0$  و  $M$  كتلتا كل من الإلكترون والنواة على الترتيب  $r_1$  ،  $r_2$  احداثياتهما . وترتبط طاقة التأثير المتبادل للإلكترون بالنواة بنصف القطر النسبي - المتجه  $V(|r_1 - r_2|)$

$$r = r_1 - r_2$$

وليكن متجه مركز كتلة الجملة بالشكل التالي :

$$R = \frac{m_0 r_1 + M r_2}{m_0 + M}$$

ثم لننتقل من المتحولات  $p_1 = -i\hbar\nabla_1$ ,  $p_2 = -i\hbar\nabla_2$  إلى احداثيين جديدين  $r, R$  واندفاعين  $p = -i\hbar\nabla_r$ ,  $p_{cm} = -i\hbar\nabla_R$  ولهذا كان من الضروري استعمال القواعد المعروفة لتفاضل تابع مركب ، فمثلا :

$$\frac{\partial}{\partial x_1} \psi = \frac{\partial r}{\partial x_1} \nabla_r \psi + \frac{\partial R}{\partial x_1} \nabla_R \psi$$

وهكذا . . . وعندئذ نكتب معادلة شرودينجر في الاحداثيات الجديدة بالشكل :

$$\left( \frac{1}{2 m_{red}} p^2 + \frac{1}{2(m_0 + M)} p^2 + V(r) - E \right) \psi = 0 \quad (12.78)$$

حيث تعطى الكتلة المختزلة بالمساواة :

$$\frac{1}{m_{red}} = \frac{1}{m_0} + \frac{1}{M}$$

أى أن

$$m_{red} = \frac{m_0 M}{M + m_0} \simeq m_0 \left( 1 - \frac{m_0}{M} \right) \quad (12.79)$$

ان التابع الموجي المحقق للمعادلة (12.78) يمكن كتابته بشكل الجداء  $\psi = \psi(r) \psi(R)$  ، حيث تصف  $\psi(R)$  الحركة الحرة لمركز الكتلة :

$$\psi(R) = \text{const } e^{i p_{cm} R / \hbar}$$

فإذا فرضنا مركز الكتلة ثابتا أى  $p_{cm}$  فإننا نجد لحساب التابع  $\psi(r)$  الذى يصف الحركة النسبية المعادلة التالية :

$$\left( \frac{p^2}{2m_{red}} + V(r) - E \right) \psi(r) = 0 \quad (12.80)$$

ويمكن اختلاف هذه المعادلة عن المعادلة المقابلة لها التى تصف ذرة الهيدروجين فى تبديل كتلة السكون للالكترونون أى  $m_0$  بالكتلة المختزلة  $m_{red}$  . ولهذا نحصل على عبارة الخطوط الطيفية نفسها والتي حصلنا

عليها عندما اعتبرنا النواة ساكنة بتبديل ثابت ريبرغ  $R = R_\infty = \frac{m_0 e_0^4}{2\hbar^3}$  المقابل لكتلة نواة محدودة  $M$  ، أى أن :

$$R_M = \frac{m_{red} e_0^4}{2\hbar^3} \approx R_\infty \left(1 - \frac{m_0}{M}\right) \quad (12.81)$$

وفى هذه الحالة يتغير قليلا الرمز  $(nl)$  :

$$(nl) = \frac{Z^2 R_\infty}{n^2} \left(1 - \frac{m_0}{M}\right) \quad (12.82)$$

ولهذا سيحسب تواتر الاشعاع بالعلاقة :

$$\omega_{nn'} = Z^2 R_\infty \left(1 - \frac{m_0}{M}\right) \left(\frac{1}{n'^2} - \frac{1}{n^2}\right) \quad (12.83)$$

التي تختلف عن السابقة ، انظر ( 12.74 ) ، بوجود المضروب

$$\left(1 - \frac{m_0}{M}\right)$$

ويمكن حساب كتلة النواة  $M$  بطرائق طيفية ، بالاضافة إلى الطرائق الكيميائية المعروفة ، طالما أن الكتلة  $M$  تتعلق بالتواتر . وبفضل ذلك أمكن البرهان بصورة خاصة على وجود الهيدروجين الثقيل ونرات الهيليوم المتأينة وهكذا . ومن المعلوم أن حساب الوزن الذرى للهيدروجين يتم وسطيا بالنسبة للأوكسجين على أساس كيميائى ، أما الوزن الذرى لكل نرة فقد حسب بواسطة مطياف الكتلة . وهكذا أمكن الحصول على قيمة تختلف قليلا عن الأولى حسب العلاقة :

$$\frac{M_{ch} - M_{sp}}{M_{ch}} \cdot 100\% \cong 0,0145\% \quad (12.84)$$

وبناء على ذلك فرض العالمان بيرج ومينتسل وجود نظير آخر للهيدروجين هو الديتريوم  $D = {}^2_1H$  أو الهيدروجين الثقيل الذى وزنه الذرى أكبر بمرتين من الهيدروجين العادى ، وفى الحقيقة أنه عند حساب الوزن الذرى

لخليط طبيعي من الهيدروجين لا بد أن يحسب فيه الديتريوم أيضا أما في مقياس الطيف الكتلي فيقاس فقط الوزن الذري  $H$  لأن الخطوط الطيفية للذرات  $H$  تقع في مكان آخر من السلم .

وكما هو الحال بالنسبة للهيدروجين يمكن للديتريوم أن يدخل في تفاعل ينتج مثلا الماء الثقيل  $D_2O$  وقد اكتشف الماء الثقيل أولا من قبل جورى وأسبورن عام ١٩٣٢ . وأن الطريقة الأساسية للحصول على الديتريوم هي الطريقة الكهربائية لتحليل الماء حيث تكون سرعة توضع الهيدروجين على المهبط أكبر بكثير من سرعة توضع الديتريوم ونتيجة لذلك يحدث تكاثف للديتريوم في بقايا الماء المحلل ويمكن كشفه بسهولة هناك ومن الصعب اكتشاف الهيدروجين الثقيل في الماء الطبيعي بسبب ضآلة هذه الكمية ، ولكننا نستطيع التأكد من وجود الديتريوم بواسطة الأبحاث الطيفية التي برهنت أنه يوجد في سلسلة بالمير ( $n' = 2$ ) بالإضافة إلى الخطوط الطيفية

$$\omega_H^{\text{Balm}} = R_\infty \left(1 - \frac{1}{1840}\right) \left(\frac{1}{2^2} - \frac{1}{n^2}\right) \quad (12.85)$$

توجد خطوط أخرى متوضعة ، الشكل (١٢ - ٥) ، إلى اليمين قليلا ويمكن أن توصف بالعلاقة\* .

$$\omega_D^{\text{Balm}_1} = R_\infty \left(1 - \frac{1}{3680}\right) \left(\frac{1}{2^2} - \frac{1}{n^2}\right) \quad (12.86)$$

التي ليس من الصعب الحصول عليها من (12.83) إذا جعلنا الكتلة  $M$  تساوى ضعف كتلة ذرة الهيدروجين وبلدنا  $Z$  ب 1 . والجدير بالذكر أن

\* طبقا للمعطيات التجريبية يكون :

$$R_\infty = 2\pi c \cdot 109\ 737$$

$$R_H = 2\pi c \cdot 109\ 678$$

$$R_D = 2\pi c \cdot 109\ 707$$

## الهيدروجين ( $^1\text{H}$ )

--	--

## الديتيريوم ( $^2\text{H}$ )

--	--

## التريتيوم ( $^3\text{H}$ )

--	--

الشكل ١٢ - ٥ . مخطط التوزيع النسبي للخطوط الطيفية لذرة الهيدروجين ونظائره .

الاختلاف النسبي الكبير بين كتلتى الهيدروجين والديتيريوم يسبب اختلافا فى خواصهما الفيزيائية والكيميائية أكثر بكثير من نظائر العناصر الأخرى ، فمثلا نرى أن الماء الثقيل يبدو مشابها بشكله الخارجى للماء العادى إلا أنه يختلف عنه فيزيائيا ، فالماء الثقيل يتجمد ويغلى فى الدرجتين  $3,81^\circ\text{C}$  و  $101,4^\circ\text{C}$  على الترتيب وله لزوجة كبيرة ، ولقد اكتسب الماء الثقيل أهمية خاصة مع تطور الفيزياء النووية لأنه يعد مبطنا جيدا للنترونات السريعة ، كما يستعمل كمصدر لانتاج الديتيريوم . وقد اكتشف فى المدة الأخيرة نظير آخر للهيدروجين هو التريتيوم الذى تتألف نواته من نترين وبروتون واحد . ويؤلف عند اتحاده مع الأوكسجين ما يسمى بماء التريتيوم . أما نسبة عدد ذرات التريتيوم إلى عدد ذرات الهيدروجين  $^3\text{H}$  فتساوى تقريبا  $10^{-18}$  بينما تساوى النسبة عدد ذرات الديتيريوم إلى عدد ذرات الهيدروجين  $^2\text{H}$  فى الماء الطبيعى  $1/6800$  . وتعتبر خليطة التريتيوم مع الديتيريوم ذات أهمية خاصة لتحقيق التفاعل النووى الحرارى .

تزاح الخطوط الطيفية للتريتيوم بالنسبة لمثيلاتها للهيدروجين

والديتريوم ، الشكل ( ١٢ - ٥ ) ، وهى تحسب بالعلاقة :

$$\omega_T^{\text{Balm.}} = R_{\infty} \left( 1 - \frac{1}{5520} \right) \left( \frac{1}{2^2} - \frac{1}{n^2} \right) \quad (12.87)$$

وقد كان من النتائج الأخرى المهمة جدا لحركة النواة هو اكتشاف نرة الهليوم المؤينة التى اكتشفت لأول مرة بطريقة طيفية على الشمس فعند دراسة طيف الشمس لوحظت سلسلة خطوط متوضعة حسب القانون :

$$\omega_{2n_1} = R \left( \frac{1}{2^2} - \frac{1}{n_1^2} \right) \quad (12.88)$$

حيث تأخذ  $n_1$  القيم :

$$n_1 = 5/2, 3, 7/2, 4, 9/2, \dots \quad (12.89)$$

ان هذه السلسلة هى فى الحقيقة سلسلة بالمير الهيدروجينية ( $n_1 = 3, 4, 5, \dots$ ) ويفصل بينها صف من الخطوط تؤلف سلسلة سميت بسلسلة بيكرينغ المتميزة باعداد كوانتية نصف صحيحة  $n_1 = 5/2, 7/2, 9/2, \dots$  ولفهم سلسلة بيكرينغ ، فرض فى البداية ، امكانية وجود الهيدروجين على الشمس فى حالة خاصة وبسبب ذلك يمكن للعدد الكوانتى أن يأخذ قيما نصف صحيحة ، ولكن ثبت فيما بعد أن الخطوط التجريبية تنحرف نحو اليمين أكثر مما ينتج بالعلاقة ( 12.85 ) ولهذا أهمل هذا الفرض ، وبعدئذ اقترحت فرضية أخرى تقول أنه الطيف المكتشف ناتج عن نرة الهليوم المؤينة مرة واحدة  ${}^1\text{He}^+$  التى كتلة نواتها  $M = 7360 m_0$  وشحنتها  $Z = 2$  أما التواتر فيحسب طبقا لـ ( 12.83 ) بالعلاقة :

$$\omega_{\text{He}} = 2^2 R_{\text{He}} \left( \frac{1}{n'^2} - \frac{1}{n^2} \right) \quad (12.90)$$

فإذا فرضنا  $n' = 4$  فيمكن تحويل ( 12.90 ) إلى الشكل :

$$\omega_{\text{He}} = R_{\text{He}} \left( \frac{1}{2^2} - \frac{1}{\left(\frac{n}{2}\right)^2} \right) \quad (12.91)$$



حيث  $n = 5, 6, 7, 8, \dots$  . ولقد كان من الضروري حساب ثابت ريديرغ تجريبيا بغية الاجابة على السؤال التالى : هل تنتج سلسلة بيكرينغ عن اشعاع نرات الهيدروجين ( بفرض أن الاعداد الكوانتية تستطيع أن تأخذ قيما نصف صحيحة ) أو عن اشعاع ذرة الهليوم المؤينة ( قيم عادية للأعداد الكوانتية )؟  
 فى حالة الهيدروجين يكون الثابت المذكور :

$$R_H = R_\infty \left( 1 - \frac{1}{1840} \right) \quad (12.92)$$

$$R_{He} = R_\infty \left( 1 - \frac{1}{7360} \right) \quad (12.93)$$

ولقد أكدت الأبحاث الدقيقة فى هذا الصدد صحة العلاقة (12.93) التى تعطى ثابت ريديرغ للهليوم ، وبالتالى تم البرهان بصورة قاطعة أن سلسلة بيكرينغ هى طيف ذرة الهليوم المؤينة .

ز ) ذرة الهيدروجين فى التقريب شبه الكلاسيكى . من الممكن كتابة معادلة القسم القطرى لذرة الهيدروجين ، انظر (12.4) ، فى حالة المدارات الاهليلجية ( $E < 0$ )

$$\frac{d^2u}{dr^2} + \left( -A + \frac{2B}{r} - \frac{l(l+1)}{r^2} \right) u = 0 \quad (12.94)$$

حيث  $u = rR_l$  أما  $A$  و  $B$  فهما كما فى (12.5) . وبما أن شذوذ المعادلة (12.94) عندما  $r \rightarrow 0$  والمعين بالحد  $\frac{l(l+1)}{r^2}$  ، يقع بالقرب من حاجز الكمون فإن اجراء عملية الانماج ، طبقا للتابعين  $V(\xi)$  ،  $U(\xi)$  ، انظر البند ٥ ، لا يمكن أن يعطى نتيجة جديدة لأنه لا يمكن فى المجال  $r \rightarrow 0$  أن يتقارب هذين التابعين ولهذا نحاول ابعاد هذا الشذوذ من النقطة  $r \rightarrow 0$  إلى النقطة  $x = -\infty$  وذلك بفرض متحول جديد حسب العلاقة  $r = e^x$

وإذا انتقلنا إلى المتحول  $x$  بواسطة التحويل  $r = e^x$  وفرضنا تابعا موجبا جديدا

$$u = e^{x/2} \chi(x)$$

فإننا نرى أن المعادلة (12.94) تتحول إلى الشكل التالي :

$$\frac{d^2 \chi}{dx^2} + e^{2x} (-A + 2Be^{-x} - (l + 1/2)^2 e^{-2x}) \chi = 0 \quad (12.95)$$

وبتطبيق تقريب WKB وبواسطة الصيغة (5.39) نستطيع حساب طيف القيم الخاصة

$$\int_{x_1}^{x_2} e^x (-A + 2Be^{-x} - (l + 1/2)^2 e^{-2x})^{1/2} dx = \pi (n_r + 1/2) \quad (12.96)$$

حيث  $n_r = 0, 1, 2, \dots$  العدد الكوانتى القطرى . فإذا عدنا إلى المتحول القديم  $r = e^x$  نجد فى التكامل السابق أن :

$$\int_{r_1}^{r_2} \left( -A + \frac{2B}{r} - \frac{(l + 1/2)^2}{r^2} \right)^{1/2} dr = \pi (n_r + 1/2) \quad (12.97)$$

حيث  $r_2 > r_1$  جذور التابع المستكمل . وإذا حسبنا التكامل الأخير (بدقة) فإننا نجد :

$$\pi \left( \frac{B}{\sqrt{A}} - l - 1/2 \right) = \pi (n_r + 1/2) \quad (12.98)$$

ولنعوض هنا عن  $A$  و  $B$  بقيمتها من (12.5) ونستفيد من تعريف العدد الكوانتى الرئيسى  $n = l + n_r + 1$  وعندئذ نحصل على العلاقة نفسها التى حصلنا عليها سابقا فى نظرية شرودينجر ، انظر (12.32) ، لحساب طيف الطاقة وهى :

$$\hbar \frac{B}{\sqrt{A}} = \frac{\sqrt{m_0} Z e_0^2}{\sqrt{-2E}} = \hbar n$$

وليست هذه النتيجة مجرد صدفة ، طالما أننا نحصل في نظرية شرودينجر على السويات الكوانتية في حدود متناسبة مع  $\hbar$  بينما تسمح الطريقة شبه الكلاسيكية بحسابها بدقة . هذا ويمكن استخلاص نتيجة هامة من ( 12.97 ) وهي أنه من الضروري عند استعمال العبارات شبه الكلاسيكية في الحقول المركزية ، اجراء التغيير التالي في العزم المدارى :

$$l(l+1) \rightarrow (l + 1/2)^2 \quad (12.99)$$

### البند ١٣ - ذرة الهيدروجين في الحقل الكهربائى

إذا وضعنا ذرة في حقل كهربائى خارجى ثابت فإن خطوطها الطيفية ستنتقسم ، وقد لاحظ شتارك هذه الظاهرة تجريبيا فى عام ١٩١٣ من أجل ذرة الهيدروجين ، وسندرس فى هذا البند النظرية الكوانتية لظاهرة شتارك لذرة الهيدروجين . يحصر الحقل الكهربائى اتجاهها معنا فى الفراغ ، ولهذا من الأسهل البحث عن حل لمعادلة شرودينجر فى الاحداثيات ( القطعية المكافئة ) ، لا فى الكروية ، كما فى البند ١٢ . لندرس أولا حل معادلة شرودينجر لذرة الهيدروجين عند فصل المتحولات فى الاحداثيات القطعية .

أ ) تكميم ذرة الهيدروجين فى الاحداثيات القطعية . قبل كل شىء يحدث الانطباق فى العدد الكوانتى  $l$  فى الحقل الكولونى لأنه يجوز فصل المتحولات فى معادلة شرودينجر فى الاحداثيات الكروية ، كما يحدث فى أى حقل مركزى ، وفى الاحداثيات القطعية المكافئة أيضا ، وهذه الامكانية خاصة بالحقل الكولونى . فإذا كانت لدينا ثلاثة مؤثرات فى الاحداثيات الكروية  $H$  و  $L^2$  و  $L_z$  تعين توابعها الخاصة جملة حالات تامة لذرة الهيدروجين ، فيمكن اختيار ثلاثة مؤثرات أخرى  $H$  و  $\epsilon_z$  و  $L_z$  فى الاحداثيات القطعية تتبادل فيما بينها طبقا لـ ( 12.55 ) و ( 12.59 ) ولهذا ستكون مصونة . ومن الطبيعى أن الجملة التامة الجديدة لن تتطابق مع

السابقة بسبب عدم تبادل  $L^2$  مع  $e_z$  . وللبحث عن التوابع الخاصة للمؤثرات  $H$  و  $e_z$  و  $L_z$  نكتب معادلة شرودينجر للإلكترون في حقل الذرة الكولوني التالي :

$$V = -\frac{Ze_0^2}{r} = -\frac{2Ze_0^2}{\xi + \eta} \quad (13.1)$$

ونكتب هذه المعادلة في الاحداثيات القطعية مستفيدين من عبارة اللا بلاسيان (10.16) المحسوبة في البند ١٠ كما يلي :

$$\frac{2m_0}{\hbar^2} \left( E + \frac{2Ze_0^2}{\xi + \eta} \right) \psi + \left\{ \frac{4}{\xi + \eta} \left[ \frac{\partial}{\partial \xi} \left( \xi \frac{\partial}{\partial \xi} \right) + \frac{\partial}{\partial \eta} \left( \eta \frac{\partial}{\partial \eta} \right) \right] + \frac{1}{\xi \eta} \frac{\partial^2}{\partial \varphi^2} \right\} \psi = 0 \quad (13.2)$$

وإذا فصلنا المتغيرات

$$\psi(\xi, \eta, \varphi) = f_1(\xi) f_2(\eta) \Phi(\varphi) \quad (13.3)$$

نجد لحساب التوابع  $\Phi$  و  $f_1$  و  $f_2$  المعادلات التالية :

$$\begin{aligned} \frac{d^2\Phi}{d\varphi^2} &= -m^2\Phi \\ \frac{d}{d\xi} \left( \xi \frac{df_1}{d\xi} \right) + \left[ -\frac{A}{4}\xi - \frac{m^2}{4\xi} + B_1 \right] f_1 &= 0 \\ \frac{d}{d\eta} \left( \eta \frac{df_2}{d\eta} \right) + \left[ -\frac{A}{4}\eta - \frac{m^2}{4\eta} + B_2 \right] f_2 &= 0 \end{aligned} \quad (13.4)$$

حيث تعطى  $A$  كما في (12.5) بالشكل التالي :

$$A = -\frac{2m_0E}{\hbar^2} \quad (13.5)$$

أما  $m^2$  و  $B_1$  و  $B_2$  فهي ثوابت الفصل ، وكذلك :

$$B_1 + B_2 = B = \frac{m_0Ze^2}{\hbar^2} \quad (13.6)$$

ان حل المعادلة الأولى من هذه المجموعة هو :

$$\Phi(\varphi) = e^{im\varphi} \quad (13.7)$$

وهى التوابع الخاصة للمؤثر  $L_z$  عندما يكون  $m = 0, \pm 1, \pm 2, \pm 3, \dots$  أما المعادلتان الباقيتان فبعد التبديل اللاحق للمتغيرات :

$$\rho_1 = \sqrt{A} \xi, \quad \rho_2 = \sqrt{A} \eta \quad (13.8)$$

وبفرض أن :

$$\beta_1 = \frac{B_1}{\sqrt{A}}, \quad \beta_2 = \frac{B_2}{\sqrt{A}}, \quad \beta_1 + \beta_2 = \frac{B}{\sqrt{A}} \quad (13.9)$$

فستكتبان كما يلي :

$$\frac{d^2 f_1}{d\rho_1^2} + \frac{1}{\rho_1} \frac{df_1}{d\rho_1} + \left[ -\frac{1}{4} + \frac{\beta_1}{\rho_1} - \frac{m^2}{4\rho_1^2} \right] f_1 = 0 \quad (13.10)$$

وبالطريقة نفسها نحصل على معادلة مشابهة للتابع  $f_2(\rho_2)$  بالوسيط  $\beta_2$ . ولنفرض أولا  $m \geq 0$ ، وتتبع الخطوات نفسها التي اتبعناها في (12.7)، فنبحث عن حلين تقاربين عندما  $\rho_1 \rightarrow \infty$  و  $\rho_1 \rightarrow 0$  حيث نجد أخيرا أن :

$$f_1(\rho_1) = e^{-\rho_1/2} \rho_1^{m/2} u_1(\rho_1) \quad (13.11)$$

حيث يحقق التابع  $u_1(\rho_1)$  المعادلة التالية :

$$\rho_1 \frac{d^2 u_1}{d\rho_1^2} + (m+1 - \rho_1) \frac{du_1}{d\rho_1} + \left( \beta_1 - \frac{m+1}{2} \right) u_1 = 0 \quad (13.12)$$

وسيكون الحل بشكل كثير حدود كما هو الحال في المعادلة (12.15)، أما شكل هذا الحل عند الصفر واللانهاية فيحدد بالمضروبين الأولين أمام  $u_1$  في (13.11). وإذا حقق المعامل في الحد الأخير من (13.12)

$$\beta_1 - \frac{m+1}{2} = n_1 \quad (13.13)$$

الشرط التالي :

$$n_1 = 0, 1, 2, 3, \dots \quad (m \geq 0) \quad (13.14)$$

وفى هذه الحالة يمثل  $n_1$  كثير حدود لاجير من الدرجة  $n_1$  المعرف  
بالمساواة ( 12.36 )

$$u_1(\rho_1) = Q_{n_1}^m(\rho_1) \quad (13.15)$$

حيث يسمى  $n_1$  العدد الكوانتى المكافىء . ونحل المعادلة الثانية التى يحققها  
 $u_2(\rho_2)$  بالطريقة نفسها فنجد أن :

$$u_2(\rho_2) = Q_{n_2}^m(\rho_2) \quad (13.16)$$

حيث

$$n_2 = \beta_2 - \frac{m+1}{2} \quad (13.17)$$

وكذلك

$$n_2 = 0, 1, 2, \dots \quad (m \geq 0) \quad (13.18)$$

وبصورة مشابهة نستطيع دراسة الحالة عندما تكون  $m$  سالبة ، ولكن من  
الأسهل استعمال العلاقات التالية التى يحققها تابع لاجير

$$Q_n^m(\rho) = (-1)^m \rho^{-m} Q_{n+m}^{-m}(\rho) \quad (13.19)$$

عندئذ تؤول هذه الحالة إلى السابقة مع فارق واحد هو وجوب تعريف أعداد  
كوانتية جديدة  $\bar{n}_1$  و  $\bar{n}_2$  ، بحيث أن تكون صحيحة وموجبة أى أن :

$$\begin{aligned} \bar{n}_1 &= n_1 + m = 0, 1, 2, \dots, \\ \bar{n}_2 &= n_2 + m = 0, 1, 2, \dots \quad (m < 0) \end{aligned} \quad (13.20)$$

وهكذا تتعين الحالة المستقرة لذرة الهيدروجين بثلاثة أعداد كوانتية هى :  
العدد المغناطيسى  $m = 0, \pm 1, \pm 2, \dots$  والعددان المكافئان  $n_1$  و  $n_2$  للذان  
يحدد تغيرهما من أجل  $m \geq 0$  و  $m < 0$  بالعلاقات ( 13.14 ) ، ( 13.18 )  
و ( 13.20 ) . أما التابع المزجى المقابل لهذه الحالة فيمكن كتابته بالشكل  
التالى :

$$\Psi_{n_1 n_2 m} = C_{n_1 n_2 m} e^{-\frac{\rho_1 + \rho_2}{2}} (\rho_1 \rho_2)^{m/2} Q_{n_1}^m(\rho_1) Q_{n_2}^m(\rho_2) e^{im\phi} \quad (13.21)$$

حيث  $C_{n_1 n_2 m}$  معامل المعايرة ، وإذا جمعنا (13.13) مع (13.17) نجد ،  
 باعتبار صحة (13.9) ، أن :

$$\frac{B}{\sqrt{A}} = n_1 + n_2 + m + 1 = \bar{n}_1 + \bar{n}_2 - m + 1 = n \quad (13.22)$$

وعليه فإن العدد الكوانتي الرئيسي  $n$  لا يأخذ إلا القيم الموجبة الصحيحة  
 $n = 1, 2, 3, \dots$  طبقاً لـ (13.5) فإنه يعين سويات الطاقة التي تحسب بالعلاقة  
 (12.41) . ويتضح أيضاً من (13.22) أن سوية الطاقة ذاتها منطبقة بـ  $m$   
 وبأحد العددين  $n_1$  أو  $n_2$  بحيث يتغير العدد  $n$  من 0 حتى  $n-m-1$  عند  
 ثبات قيمة  $m$  ( $m \geq 0$ ) . وبالطريقة نفسها نحسب بسهولة تغير العدد  
 الكوانتي  $\bar{n}_1$  في المجال من الصفر حتى  $n - |m| - 1$  عندما  $m < 0$  وبالتالي  
 تكون درجة الانطباق :

$$n + 2 \sum_{m=1}^{n-1} (n-m) = n^2$$

التي حصلنا عليها في الاحداثيات الكروية . فإذا اعتبرنا العلاقة (10.16)  
 التي تعطي عنصر الحجم في الاحداثيات القطعية المكافئة ثم حسبنا  
 التكاملات بالنسبة  $\xi$  و  $\eta$  ، كما فعلنا في الملاحظة المذكورة بعد (12.40)  
 فيمكن البرهان على معايرة وتعامد التوابع  $\Psi_{n_1 n_2 m}$  التالية :

$$\int d^3x \Psi_{n_1' n_2' m'}^* \Psi_{n_1 n_2 m} = \delta_{mm'} \delta_{n_1 n_1'} \delta_{n_2 n_2'} \quad (13.23)$$

وذلك بعد اختيار المعامل  $C_{n_1 n_2 m}$  . وإذا استفدنا من توابع لاجير

$$I_{ns}(\rho) = \frac{1}{\sqrt{n!s!}} e^{-\rho/2} \rho^{\frac{n-s}{2}} Q_s^{n-s}(\rho) \quad (13.24)$$

فإننا نستطيع كتابة التوابع الموجية المعايرة لذرة الهيدروجين في الاحداثيات  
 القطعية المكافئة كالتالي :

$$\Psi_{n, n_1, m} = \left(\frac{Z}{a_0}\right)^{3/2} \frac{e^{im\phi}}{n^2 \sqrt{\pi}} I_{n_1+m, n_1}(\rho_1) I_{n_2+m, n_2}(\rho_2) \quad (13.25)$$

حيث  $a_0 = \frac{Z}{B} = \frac{\hbar^2}{m_0 e_0^2}$  هو نصف قطر مدار بور الأول . ولنبرهن الآن أن التوابع  $\psi_{n_1 n_2 m}$  ، التي ستكون توابعا خاصة للمؤثرين  $H$  و  $L_z$  مقابلة للقيم الخاصة  $E_n$  و  $m$  ، تحقق المعادلة :

$$e_z \psi_{n_1 n_2 m} = \lambda \psi_{n_1 n_2 m} \quad (13.26)$$

أى أنها توابع خاصة لمسقط مؤثر التباعد المركزى على  $z$  ( انظر البند ١٢ ) حيث يمكن كتابة المؤثر  $e_z$  بالشكل التالى :

$$e_z = \frac{\hbar^2}{Z e_0^2 m_0} \left[ z \nabla^2 - (1 + r \nabla) \frac{\partial}{\partial z} \right] + \frac{z}{r} \quad (13.27)$$

وإذا استفدنا من عبارة  $\nabla^2$  فى الاحداثيات القطعية المكافئة (10.16) ومن السلاقة :

$$(1 + r \nabla) \frac{\partial}{\partial z} = \frac{2}{\xi + \eta} \left( \xi^2 \frac{\partial^2}{\partial \xi^2} + \xi \frac{\partial}{\partial \xi} - \eta^2 \frac{\partial^2}{\partial \eta^2} - \eta \frac{\partial}{\partial \eta} \right) \quad (13.28)$$

ثم انتقلنا بعد ذلك إلى المتحولات الجديدة  $\rho_1$  و  $\rho_2$  ، انظر (13.8) ، فإننا نجد أن :

$$e_z = \frac{1}{n} \left[ \frac{2\rho_1\rho_2}{\rho_1 + \rho_2} \left( -\frac{\partial^2}{\partial \rho_1^2} - \frac{1}{\rho_1} \frac{\partial}{\partial \rho_1} + \frac{\partial^2}{\partial \rho_2^2} + \frac{1}{\rho_2} \frac{\partial}{\partial \rho_2} \right) - \frac{m^2}{2} \frac{\rho_1 - \rho_2}{\rho_1 \rho_2} \right] + \frac{\rho_1 - \rho_2}{\rho_1 + \rho_2} \quad (13.29)$$

حيث اعتبرنا أن  $e_z$  يؤثر على  $\psi_{n_1 n_2 m}$  ولهذا أدخلنا العدد الكوانتى  $n$  أما المؤثر  $\partial^2/\partial \varphi^2$  - فقد استبدلناه بقيمته الخاصة  $m^2$  . وإذا أثرنا الآن بالمؤثر (13.29) على التابع  $\psi_{n_1 n_2 m}$  (13.25) ولاحظنا المعادلة (13.10) التى يحققها كل من التابعين  $I_{n_2+m, n_2}$  و  $I_{n_1+m, n}$  فإننا نجد القيمة الخاصة

$$\lambda = \frac{n_1 - n_2}{n} \quad (13.30)$$

حيث أن المقدار يأخذ عند ثبات  $n$  عددا  $(2n-1)$  من القيم المختلفة المتغيرة فى المجال



$$-\frac{n-1}{n} \leq \lambda \leq \frac{n-1}{n} \quad (13.31)$$

وتساعد العلاقة ( 13.30 ) التي تعطى القيم الخاصة  $\lambda$  لمؤثر التباعد المركزي  $\varepsilon_z$  على فهم المعنى الفيزيائي للعديدين الكوانتيين  $n_1$  و  $n_2$  ، يتجه المتجه

$\varepsilon$  ، في التقريب شبه التقليدي ، من المحرق باتجاه المحور الكبير ، ولهذا يكون  $\lambda$  موجبا عندما  $n_1 > n_2$  ، أى أن القسم الأعظم من المسار موجود في المجال  $z > 0$  أما عندما  $n_1 < n_2$  فنجد أن  $\lambda < 0$  ويكون القسم الأعظم من المسار موجودا في المجال  $z < 0$  .

( ب ) ظاهرة شتارك . لم تستطع الفيزياء الكلاسيكية تفسير ظاهرة انقسام الخطوط الطيفية للذرة الموضوعة في حقل كهربائي ( ظاهرة شتارك ) أما الميكانيكا الكوانتية فقد بنت نظرية متناسقة لهذه الظاهرة ، فطبقا للتصورات الكلاسيكية يمكن تقسيم حركة الكترون الذرة إلى ثلاثة اهتزازات متعامدة . ولنوجه الحقل الكهربائي الثابت باتجاه  $z$  فيكون  $(\mathcal{E}_x = \mathcal{E}_y = 0, \mathcal{E}_z = \mathcal{E})$  وعندئذ نكتب طاقة التأثير المتبادل بين الالكترتون والحقل كما يلي :

$$V' = -er\mathcal{E} = e_0z\mathcal{E} \quad (e = -e_0) \quad (13.32)$$

أما الاهتزاز على المحور  $z$  فيوصف بالمعادلة التالية :

$$m_0\ddot{z} + m_0\omega_0^2z = -e_0\mathcal{E} \quad (13.33)$$

حيث  $m_0$  - كتلة الالكترتون و  $\omega_0$  - التوتر الدوراني لاهتزازة . ومن السهل أن نرى أن حل المعادلة ( 13.33 ) يكتب بالشكل التالي :

$$z = -\frac{e_0\mathcal{E}}{m_0\omega_0^2} + A \cos(\omega_0 t + \varphi) \quad (13.34)$$

وهكذا نرى أن تأثير القوة الثابتة  $(-e_0\mathcal{E})$  في الفيزياء الكلاسيكية يؤدي إلى تغيير موضع توازن الجملة ، ولكن ذلك لا يؤثر بأى شكل من الأشكال على تواتر الاهتزاز ، وبالتالي نرى طبقا للتصورات الكلاسيكية أن تواتر الاشعاع الذى يتحدد بالتواتر الميكانيكى لاهتزاز الكترونات الذرات ( خلافا

للتجربة ) غير تابع بالضرورة لوجود الذرة فى حقل كهربائى . ولندرس الآن ظاهرة شتارك من وجهة نظر الميكانيكا الكوانتية ، حيث يتم التمييز بين ظاهرتى شتارك الخطية واللاخطية . إذ تلاحظ الأولى فى الذرات الشبيهة بالهيدروجين فقط ، وهذا ناتج عن أن لمثل هذه الذرات انطباقا بالعددين الكوانتيين المغناطيسى  $m$  والمدارى  $l$  ، انظر البند ١٢ ، ولهذا تتكون حالة ذات طاقة معينة من تراكب مجموعة حالات مختلفة بالعدد الكوانتى  $l$  ، وبالتالي فليس لهذه الحالة زوجية معينة ( انظر البند ١٠ ) ، وتختلف القيمة الوسطى لمؤثر الاضطراب ( 13.32 ) المتناسب مع عزم ثنائى الأقطاب الكهربائى عن الصفر ، وهذا ما يسبب ظاهرة شتارك الخطية . أما ما يخص الذرات الأخرى حيث لا يتواجد انطباق ب  $l$  ، وينعدم ثنائى الأقطاب لها فلا تلاحظ ظاهرة شتارك عندها . لندرس بالتفصيل نظرية ظاهرة شتارك لذرة الهيدروجين ، ان الحقل الكهربائى الخارجى  $\mathcal{E}$  ( الذى يبلغ فى التجارب القيمة  $10^4 - 10^5$  V/cm ) أصغر بكثير من الحقل الداخلى الذى ينتج عن النواة

$$\mathcal{E}_{\text{nucl}} = \frac{e_0}{a_0^2} \approx 5 \cdot 10^9 \text{ V/cm}$$

( حيث  $a_0$  - نصف قطر مدار بور الأول ) ولهذا يمكن لحل هذه المسألة أن نستفيد من نظرية الاضطراب المنسوبة إلى الحالة المنطبقة حيث تحسب طاقة الالكترون الكامنة ( 13.32 ) كطاقة اضطراب ، بينما يعين اتجاه الحقل الكهربائى اتجاهها محددًا فى الفراغ ( المحور  $z$  ) ولهذا من الأسهل لنا لحساب ظاهرة شتارك استعمال التوابع القطعية المكافئة  $\psi_{n_1, n_2, m}$  ( 13.25 ) كتوابع قاعدية فى التقريب الصفرى ، حيث تقابل كل سوية طاقة  $n$  عدداً  $n^2$  من الحالات  $\psi_{n_1, n_2, m}$  ذات أعداد كوانتية  $n_1, n_2, m$  تحقق الشرط :

$$n_1 + n_2 + m + 1 = n \quad ( 13.35 )$$

أما تواتر الاضطراب ( 13.32 ) فى الاحداثيات القطعية المكافئة :

$$V' = \frac{1}{2} e_0 \mathcal{E} (\xi - \eta) \quad (13.36)$$

وأما العناصر المصفوفية التى تقابل  $n$  فهى التالية :

$$\begin{aligned} \langle n'_1 n'_2 m' | V' | n_1 n_2 m \rangle &= \\ &= \frac{1}{8} e_0 \mathcal{E} \int_0^\infty d\xi \int_0^\infty d\eta \int_0^{2\pi} d\varphi \psi_{n'_1 n'_2 m'}^* (\xi^2 - \eta^2) \psi_{n_1 n_2 m} = \\ &= \frac{1}{4} e_0 a_0 \mathcal{E} (v_{n_1 m} - v_{n_2 m}) \delta_{mm'} \delta_{n_1 n'_1} \delta_{n_2 n'_2} \quad (13.37) \end{aligned}$$

ولبرهان هذه العلاقة نلاحظ أن المصفوفة يجب أن تكون قطرية بـ  $m$  بسبب استقلال  $V'$  عن الزاوية  $\varphi$ . أما فيما يخص  $n_1$  و  $n_2$  واعتبار المصفوفة قطرية بالنسبة لهما ، فهذا ينتج من الشرط ( 13.35 ) خاصة زمن تعامد توابع ليجاندر  $I_{l+s, s}$  التالية :

$$\int_0^\infty d\rho I_{l+s', s'}(\rho) I_{l+s, s}(\rho) = \delta_{s's} \quad (13.38)$$

وعليه نحسب التكاملات  $v_{n, m}$  و  $v_{n, m}$  التالية :

$$\begin{aligned} v_{n, m} &= \int_0^\infty \rho^2 I_{n_i+m, n_i}^2(\rho) d\rho = \\ &= \frac{1}{n_i! (n_i+m)!} \int_0^\infty \rho^{2+m} e^{-\rho} [Q_{n_i}^m(\rho)]^2 d\rho \quad (i=1, 2) \quad (13.39) \end{aligned}$$

وباستخدام نفس الطريقة المطبقة فى البند ١٢ لمعايرة التوابع القطرية لذرة الهيدروجين حيث وضعنا أحد كثيرى الحدود بشكل متسلسلة أما الثانى فتركناه بشكله المغلق ( 12.36 ) ، وعندئذ إذا استكملنا بالتجزئة فى ( 13.39 ) عددا مناسباً من المرات فإننا نجد أن :

$$v_{n, m} = (2n_i + m + 1)(2n_i + m + 2) + 2(n_i + m)n_i \quad (i=1, 2) \quad (13.40)$$

أما الفرق بين التكاملين أى  $v_{n_1, m} - v_{n_2, m}$  ، وباعتبار صحة ( 13.35 ) ، فيساوى

$$v_{n_1 m} - v_{n_2 m} = 6n(n_1 - n_2) \quad (13.41)$$

أى أن الاضطراب (13.37) قطرى ولهذا فهو لا يمزج السويات المنطبقة ولكنه يقسمها فقط ، أما مقدار هذا الانقسام فيتعين بمتوسط المقدار  $V'$  أى

$$E' = \langle V' \rangle \quad (13.42)$$

وإذا عوضنا (13.41) فى (13.37) فإننا نجد

$$E'_{n\lambda} = \frac{3}{2} e_0 a_0 \mathcal{E} n (n_1 - n_2) = \frac{3}{2} e_0 \mathcal{E} a_0 n^2 \lambda \quad (13.43)$$

حيث  $\lambda = \frac{(n_1 - n_2)}{n}$  هى القيمة الخاصة لمسقط شعاع التباعد المركزى على  $z$  أى  $\varepsilon_z$  ، ونلاحظ من المساواة السابقة أن مقدار التباعد يتعلق بالفرق  $(n_1 - n_2)$  أو  $(\lambda)$  ، هذا الفرق الذى يمكن أن يأخذ  $(2n-1)$  قيمة ، وهى تلك التى تنحصر بين  $(n-1)$  و  $(n-1) +$  ولهذا يقسم الحقل الكهربائى سويات الطاقة  $n$  إلى  $2n-1$  سوية جزئية ، مما ينزع انطباق  $n^2$  سوية ولكن بصورة غير تامة . ولندرس على سبيل المثال السوية الأولى المهيجة  $n = 2^*$  المنطبقة أربع مرات ، ولهذا فإن طاقتها عند غياب الاضطراب ، تساوى

$$E_2^0 = -R\hbar/4 \quad (13.44)$$

أما الحالة  $\psi_{n_1 n_2 m}$  فتعطى بالعلاقة (13.25) ، وتنقسم السوية السابقة إلى ثلاث سويات جزئية موافقة لثلاث قيم  $\lambda$  هى  $\lambda = \pm 1/2, 0$  ، أى

$$E'_{2\lambda} = \pm 3e_0 a_0 \mathcal{E}, 0 \quad (13.45)$$

أما التوابع الخاصة والطاقات المقابلة عندما  $m = 0$  فهى

$$\psi_{100} = \frac{1}{\sqrt{2}} (R_{20} Y_0^0 - R_{21} Y_1^0), \quad \lambda = \frac{1}{2}$$

$$E_{2,1/2} = -\frac{R\hbar}{4} + 3e_0 a_0 \mathcal{E} \quad (13.46)$$

\* أن السوية الأساسية  $n = 1$  غير منطبقة وبالتالي لن تنقسم .

$$\psi_{010} = \frac{1}{\sqrt{2}} (R_{20} Y_0^0 + R_{21} Y_1^0), \quad \lambda = -\frac{1}{2}$$

$$E_{2,-1/2} = -\frac{R\hbar}{4} - 3e_0 a_0 \mathcal{E}$$

وبالتالى يزول الانطباق . أما ما يخص الحالة عندما  $m = \pm 1$  فإننا نجد

$$\psi_{00\pm 1} = R_{21} Y_1^{\pm 1}, \quad \lambda = 0$$

$$E_{20} = -\frac{R\hbar}{4} \quad (13.47)$$

وبالتالى يبقى الانطباق موجودا حتى بوجود الحقل الكهربائى ، ونلاحظ أنه لو كنا اخترنا كتوابع قاعدية التوابع  $\psi_{nlm}$  التى تعتبر حلا لمعادلة شرودينجر غير المضطربة ، وهى التوابع الخاصة للمؤثرين  $L^2$  و  $L_z$  لما كنا قد وجدنا أن الاضطراب قطرى ، وكنا سنجد ، طبقا للنظرية الموضحة فى البند ٨ ، أن هذا سيؤدى إلى انزياح الحالات غير المضطربة وبالنتيجة سنحصل على تركيب صحيح من التوابع  $\psi_{nlm}$  الموافقة للتقريب الصفرى وما يقابلها من السويات الطاقوية فى التقريب الأول لنظرية الاضطراب وهذا يتطابق مع ما رأيناه من نتائج حسب (13.46) - (13.47) . ويمكن تحليل ظاهرة شتارك من الناحية الكوانتية كما يلى : بما أنه ليس للسويات المهيجة تناظر مركزى وليس لها زوجية محدودة فلا بد أن يظهر للذرة متوسط عزم ثنائى أقطاب كهربائى ( $p$ ) يختلف عن الصفر ، وبما أن طاقة الاضطراب (13.32) تكتب أيضا بالشكل  $V' = -(pE)$  فيمكن بمقارنة هذه العلاقة مع (13.43) للحصول على مركبة عزم ثنائى الأقطاب الكهربائى وعلى  $z$  فى الحالة  $(n, \lambda, m)$  وهى التالية :

$$\langle p_z \rangle = -\frac{3}{2} e_0 a_0 n^2 \lambda \quad (13.48)$$

حيث يقع الالكترتون فى المثال المعطى سابقا  $n = 2, \lambda = \pm 1/2, m = 0$  بصورة رئيسية . أما فى المجال  $z > 0$  (عندما  $\lambda = + 1/2$ ) أو فى المجال  $z < 0$  (عندما  $\lambda = -1/2$ ) ، ولهذا يتوجه عزم ثنائى الأقطاب فى هذه

الحالات بعكس اتجاه الحقل (  $\lambda = +1/2, (p_z) = -3e_0 a_0$  ) أو باتجاه الحقل (  $\lambda = -1/2, (p_z) = 3e_0 a_0$  ) . أما عندما  $\lambda = 0$  و  $m = \pm 1$  مع قيمة محدودة ل  $l$  ( هي الواحد ) فينعدم عزم ثنائي الأقطاب  $(p_z) = 0$  ولهذا لا تظهر أى طاقة اضافية  $E'$  .

وهكذا نرى أن سبب ظاهرة شتارك الخطية من أجل ذرة الهيدروجين هو وجود عزم ثنائي أقطاب كهربائى فى حالاته المهيجة ، وقد تطابقت النتائج النظرية التى تم الحصول عليها على أساس التقريب الخطى بشكل جيد مع المعطيات التجريبية فى الحقول الضعيفة فقط (  $10^4$  V/cm ~  $\mathcal{E}$  ) أما عندما يبلغ الحقل القيمة (  $10^5$  V/cm ~  $\mathcal{E}$  ) فيظهر انقسام اضافى ( ظاهرة شتارك رباعية الأقطاب ) وهى الناتجة من زوال الانطباق بالعدد الكوانتى المغناطيسى  $m$  . ولا يلاحظ مفعول شتارك فى الحقول التى تزيد على  $10^5$  V/cm وهذا ناتج عن تأين الذرات الذاتى ، أى لاقتلاع الالكترونات الواقعة على السويات المهيجة .

#### البند ١٤ - تبدد ( تشتت ) الجسيمات المرنة تحت تأثير مركز قوى

لندرس أولا التبدد تحت تأثير مركز قوى عندما تتضائل طاقة الكمون فى اللانهاية أكثر مما يتناقص المقدار  $r^{-1}$  ، حيث يمكن أن يقرب التابع الموجى فى اللانهاية إلى موجة مستوية ، أما ما يخص الحالة الحدية للكمون الكولونى  $r^{-1} \sim V$  ( أى قوة التأثير البعيد ) فيمكن أن تدمج فى التقريب المذكور. لأن تشوه الموجة المستوية فى اللانهاية الناتج عن الحقل الكولونى ، كما سنبرهن فيما بعد ، يقتصر على انزياح لوغارىتمى طفيف للطور من أجل حساب المقطع التفاضلى الفعال عند الزوايا الكبيرة للتبدد .

أ) تقريب بورن. لنفرض أن الجسيم كان حرا عندما  $t \leq 0$  ، أى أنه يتحرك حركة مستقيمة منتظمة باندفاع  $p = \hbar k$  وبطاقة

$$E = \frac{p^2}{2m_0} = c\hbar K, \quad \left( K = \frac{k^2}{2k_0}, \quad k_0 = \frac{m_0 c}{\hbar} \right)$$

ولنفرض أنه اعتبارا من اللحظة  $t = 0$  يبدأ الكمون بالتأثر باضطراب معبر عنه بالطاقة الكامنة  $V(r)$  ، وعندئذ يوجد احتمال معين لانتقال الجسيم إلى حالة أخرى باندفاع  $p' = \hbar k'$  وطاقة  $E' = c\hbar K'$  ( $K' = \frac{k'^2}{2k_0}$ ) أى أنه يجب أن يتبدد الجسيم نتيجة لتأثير الاضطراب . أما التوابع الموجية للحالتين البدائية والنهائية التى تصف الحركة الطليقة ( التقريب الأول ) فتساوى

$$\begin{aligned} \psi_k(t) &= L^{-3/2} e^{-icKt + ikr} \\ \psi_{k'}(t) &= L^{-3/2} e^{-icK't + ikr} \end{aligned} \quad (14.1)$$

حيث  $L^3$  حجم مكعب النورية الأساسى أما مركبات الاندفاع  $k_i$  و  $k'_i$  ( $i = 1, 2, 3$ ) فترتبط مع الأعداد الصحيحة  $n_i$  و  $n'_i$  بالعلاقات التالية :

$$k_i = \frac{2\pi n_i}{L}, \quad k'_i = \frac{2\pi n'_i}{L}$$

ويحقق التابع الموجى (14.1) معادلة شرودينجر غير المضطربة التالية :

$$-\frac{\hbar}{i} \frac{\partial \psi}{\partial t} + \frac{\hbar^2}{2m_0} \nabla^2 \psi = 0 \quad (14.2)$$

كما يعتبر حلا خاصا من الحل العام :

$$\psi = \frac{1}{L^{3/2}} \sum_{k'} C' e^{-icK't + ikr} \quad (14.3)$$

حيث يكون المعامل  $C'$  تابعا للاندفاع  $k'$  . أما عند اعتبار طاقة الاضطراب

$V' = V(r)$  فسنبحث عن الحل انطلاقاً من نظرية الاضطراب غير الراسخة ، حيث يفرض أن المعاملات الاحتمالية هي توابع للزمن ، وبما أنه في اللحظة  $t = 0$  كان الجسم في الحالة  $k$  فيجب أن نفرض أن :

$$C'(t=0) = \delta_{k'k}. \quad (14.4)$$

وعندئذ نحصل لحساب  $C'(t)$  ( $k' \neq k$ ) ، انظر (8.56) ، على العلاقة التالية :

$$C' = -\frac{i}{\hbar} \int_0^t dt e^{ict(K'-K)} V_{k'k} \quad (14.5)$$

حيث

$$V_{k'k} = \int \psi_{k'}^* V(r) \psi_k d^3x$$

وإذا عوضنا التوابع الموجية بقيمتها من (14.1) ، نجد بعد التكامل بالنسبة للزمن أن :

$$C'(t) = \frac{1}{L^3} V_{k'} \frac{1 - e^{ict(K'-K)}}{c\hbar(K'-K)}$$

حيث :

$$V_{k'} = \int e^{ik'r} V(r) d^3x, \quad k' = k - k' \quad (14.6)$$

ومن هنا نجد احتمال الانتقال ، أي أن :

$$w = \frac{\partial}{\partial t} \sum_{k'} |C'|^2 = \frac{1}{L^3} \sum_{k'} |V_{k'}|^2 \frac{2 \sin ct(K'-K)}{c\hbar^2(K'-K)} \quad (14.7)$$

وإذا استفدنا الآن من المساواة :



$$\lim_{K' \rightarrow \infty} \frac{\sin ct (K' - K)}{\pi (K' - K)} = \delta(K' - K) \quad (14.8)$$

نرى أن (14.7) تصبح كما يلي :

$$\omega = \frac{2\pi}{L^3 c \hbar^2} \sum_{k'} |V_k P| \delta(K' - K) \quad (14.9)$$

ان وجود التابع  $\delta$  تحت علامة الجمع  $\Sigma$  يؤدي إلى مصونية طاقة الجسيم أى أن  $K' = K$  ولذلك يسمى مثل هذا التبدد بالمرن\* ، وعند الانتقال من الجمع إلى التكامل فى (14.9) يجب استخدام العلاقة :

$$\sum_{k'} \left(\frac{2\pi}{L}\right)^3 = \int k'^2 dk' d\Omega = \int k_0 k' dK' d\Omega \quad (14.10)$$

وكثيرا ما يميز التبدد بمقطعه الفعال الذى يساوى نسبة احتمال الانتقال  $\omega$  إلى عدد الجسيمات  $N$  الواردة فى وحدة الزمن على وحدة السطح ( $S = 1\text{cm}^2$ ) المتعامد مع حزمة الجسيمات (أو مع تيار الجسيمات) ، ومن الواضح أن الجسيمات التى تسقط على السطح المذكور فى وحدة الزمن هى تلك التى تقع على مسافة لا تزيد عن سرعة الجسيم  $v$  ، أى أنها تتواجد ضمن الحجم  $vS = v|$  وبالتالى يمكن حساب العدد  $N$  كجداء لكثافة الجسيمات  $\rho_p = L^3$  فى الحجم الذى يساوى عدديا سرعة الجسيم ، أى أن :

$$N = \frac{v}{L^3} = \frac{c}{L^3} \frac{k}{k_0} \quad (14.11)$$

ومن العلاقات (14.9) - (14.11) نجد لحساب مقطع التبدد الفعال العبارة التالية :

$$\sigma = \frac{\omega}{N} = \oint \sigma(\theta, \varphi) d\Omega \quad (14.12)$$

\* يمكن أن ينكر الاشعاع المتباطيء ، كمثل على التبدد غير المرن ، حيث يطلق الالكترون فوتونا وبالتالى يصبح  $K' < K$  .

حيث تسمى العبارة ما تحت التكامل بالمقطع التفاضلى الفعال وهى تعبر عن عدد الجسيمات المتبددة الساقطة ضمن زاوية مجسمة  $d\Omega = \sin \vartheta d\vartheta d\varphi$  (  $\vartheta$  و  $\varphi$  هما الزاويتان الكرويتان للتبدد أى زاويتا المتجه  $k$  ) كما يحسب المقطع الفعال بالعلاقة :

$$\sigma(\vartheta, \varphi) = \left( \frac{m_0}{2\pi\hbar^2} \right)^2 |V_*|^2 \quad (14.13)$$

وفى الحالة الخاصة عندما يكون لمركز التبدد تناظر كروى نجد أن :

$$V_* = \int_0^\infty V(r) r^2 dr \oint e^{i\mathbf{k}\cdot\mathbf{r}} d\Omega'$$

حيث  $d\Omega'$  الزاوية المجسمة فى الفراغ  $r$  أما  $d\Omega$  فى (14.12) فهى الزاوية المجسمة فى فراغ المتجه  $k'$  . وإذا استكملنا العلاقة الأخيرة بالنسبة للزاوية المجسمة نجد أن :

$$V_* = \frac{4\pi}{\kappa} \int_0^\infty r \sin \kappa r \cdot V(r) dr$$

ومن هنا نستخلص أن المقطع الفعال للتبدد المرن يساوى :

$$\sigma(\vartheta) = |f(\vartheta)|^2 \quad (14.14)$$

حيث

$$\kappa = |k - k'| = 2k \sin \frac{\vartheta}{2} \quad (14.14a)$$

أما المقدار

$$f(\vartheta) = -\frac{2m_0}{\hbar^2 \kappa} \int_0^\infty r \sin \kappa r \cdot V(r) dr \quad (14.15)$$

فيسمى بسعة التبدد . كما وتصف العلاقة (14.14) التبدد المرن للجسيمات ضمن التقريب الأول لنظرية الاضطراب وهو ما يسمى بتقريب بورن

( التقريب البورنى ) . ونلاحظ أيضا أنه يمكن حل هذه المسألة طبقا لنظرية الاضطراب الراسخة لأن الطاقة الكامنة لا تتعلق بالزمن ، ولكننا بالرغم من ذلك ، فقد فضلنا استخدام نظرية الاضطراب غير الراسخة لحساب المقطع الفعال لأنها النظرية الأكثر تعميما من الناحية الرياضية ، فهي مثلا تساعد فى حل كثير من مسائل التحريك الكهربائى الكوانتى وذلك بأن نأخذ بعين الاعتبار التأثير المتبادل للالكترونات مع الحقل الكهرطيسى المكتم ثانية . وتطبق العبارة التى حصلنا عليها لحساب  $\sigma(\vartheta)$  بطريقة نظرية الاضطراب ضمن حدود معينة ، فعندما تكون القوى قصيرة التأثير ( قوى نووية ، ذرة معتدلة ، كرة غير نفاذة . . . إلخ . . ) ، بحيث يمكن اهمالها على ابعاد تفوق نصف قطر فعال معين  $a$  ، فلا يمكن للمقطع الفعال أن يتجاوز المقطع الهندسى لمجال تأثير هذه القوى ( حتى أنه يمكن لهذه القوى أن تكون حاجزا لا تستطيع الجسيمات أن تنفذ منه ) وهكذا نستنتج شروط تطبيق نظرية الاضطراب على القوى قصيرة التأثير

$$\sigma < \sigma' \quad (14.16)$$

$$\sigma' \sim \pi a^2 \quad \text{حيث}$$

ب) التبدد فى كمون بوكاوا . من المعلوم أن طاقة التأثير التى فرضها بوكاوا هى التالية :

$$V = -A \frac{e^{-kr}}{r} \quad (14.17)$$

حيث  $A$  - ثابت ما أما المقدار  $a = \frac{1}{k_0}$  فهو نصف قطر التأثير الفعال للقوة ولهذا النوع من الكمون تطبيقات كثيرة . فأبسط شكل من أشكال تأثير القوى النووية يحقق القانون السابق ، وفى هذه الحالة يكون  $A = g^2$  ، حيث  $g$  هى الشحنة النووية التى تفوق الكهربائية بأكثر من عشر مرات أما نصف قطر تأثير القوى النووى فيساوى طول موجة كومبتون للحقل الميزونى -  $p$  ، أى أن :

$$a = \frac{\hbar}{m\pi c} \sim 10^{-13} \text{ cm} \quad (14.18)$$

ومن الممكن تقريب الطاقة الكامنة الناتجة عن نموذج\* توماس - فيرمي إلى النموذج (14.17) عند تبديد الالكترونات السريعة (أو الجسيمات الفا) على ذرة معتدلة. وفي هذه الحالة تكون  $A = Ze^2_0$  (حيث  $Z$  الرقم الدوري للذرة) أما نصف القطر الفعال للذرة في نموذج توماس - فيرمي ، انظر (25.66) ، فيساوى :

$$a = \frac{\gamma a_0}{Z^{1/2}} \quad (14.19)$$

حيث  $\gamma$  - معامل من مرتبة الواحد . وأخيرا نلاحظ أنه إذا كتبنا  $a - \infty$  فإننا سنحصل على كمون الحقل الكولونى للذرة ، وهو ما يمكن اعتباره حالة خاصة من العلاقة (14.17) ، ولنبدل الآن (14.17) فى (14.14) فنجد بالاعتماد على صحة العلاقة :

$$\int_0^{\infty} r \sin \kappa r \cdot V(r) dr = -A \int_0^{\infty} \sin \kappa r \cdot e^{-k_0 r} dr = -A \frac{\kappa}{\kappa^2 + k_0^2}$$

لحساب المقطع التفاضلى الفعال للتبديد المرن الدستور التالى

$$\sigma(\theta) = \frac{4m_0^2 A^2 a^4}{\hbar^4 (\kappa^2 a^2 + 1)^2} \quad (14.20)$$

وطبقا لـ (14.14a) يكون :

$$\kappa^2 = 4k^2 \sin^2 \frac{\theta}{2} = 4 \frac{p^2}{\hbar^2} \sin^2 \frac{\theta}{2} \quad (14.21)$$

\* لا تختلف كثيرا نتائج التقريب بالنماذج الأخرى عن (14.17) بسبب صغر زمن التأثير ولكن تبدو الحسابات بالعلاقة (14.17) أسهل منها فى النماذج الأخرى .

حيث  $p$  هو اندفاع الجسيم . وعند استعمال العلاقة ( 14.20 ) يجب تمييز الحالتين التاليتين :

١ - حالة تبدد الجسيمات البطيئة نسبيا عندما يتحقق  $xa \ll 1$  مهما كانت زاوية التبدد ، وعندئذ لن يتعلق  $\sigma(\theta)$  بـ  $\theta$  ولذلك فإن :

$$\sigma(\theta) = \frac{4m_0^2 A^2 a^4}{h^4} \quad (14.22)$$

ويعتبر استقلال مقطع التبدد عن الزاوية  $\theta$  ( تساوى المناحي ) مميّزاً لتبدد الجسيمات ذات الطاقة المنخفضة نسبيا على مركز قوى التأثير .

٢ - حالة تبدد الجسيمات السريعة نسبيا بزوايا تحقق العلاقة  $xa \gg 1$  وعندئذ لن يتعلق المقطع التفاضلي الفعال بنصف قطر التأثير به لذلك فإن :

$$\sigma(\theta) = \frac{4m_0^2 A^2}{h^4 x^4} \quad (14.23)$$

ومنه نجد أن التبدد في حقل كمون يوكاوا سيكون شبيها بالتبدد في حقل كولوني ، ولهذا لا يكون لالكترونات الذرة دور كبير ، فعند تبدد الالكترونات السريعة أو الجسيمات بزوايا كبيرة نسبيا على ذرات معتدلة يكفي عندئذ معرفة كمون النواة لدراسة خصائص هذا التبدد ، فإذا فرضنا في ( 14.20 ) ان  $A = Ze_0^2$  و  $x = \frac{2p}{h} \sin \frac{\theta}{2}$  فإننا نجد علاقة رذرفورد التالية :

$$\sigma(\theta) = \frac{Z^2 e_0^4 m_0^2}{4p^4 \sin^4 \frac{\theta}{2}} \quad (14.24)$$

ويتضح من هذه العلاقة أن قطر مقطع التبدد يتعلق بشكل رئيسي بزاوية التبدد عندما يكون للقوى المؤثرة نصف قطر تأثير كبير ، إلا أنه عندما يكون  $k = \frac{p}{h}$  كبيرا ، فيمكن أن تتواجد زوايا صغيرة  $\theta$  بحيث تتحقق العلاقة

$$\frac{2pa}{\hbar} \sin \frac{\theta}{2} \ll 1 \quad (14.25)$$

وفي الحالة الخاصة عندما  $\theta = 0$  يتباعد  $\sigma(\theta)$  المحسوب بعلاقة رنرفورد وعندئذ يجب أن تظهر سمات القوى قصيرة التأثير بسبب زوال الغمامة الالكترونية الحاجبة لهذه القوى . وفي هذه الحالة تحدد الشروط (14.25) مجال تطبيق علاقة رنرفورد من (14.19) و (14.20) نجد عندما  $\theta = 0$  ، أى عند التبند إلى الأمام، للمقطع الفعال العبارة التالية :

$$\sigma_{\theta \rightarrow 0}(\theta) = 4\gamma^4 a_0^2 Z^{1/2} \sim a_0^2 Z^{1/2} \quad (14.26)$$

أما المقطع العرضى الكلى فيحسب طبقاً لـ (14.21) بعد التكامل بـ  $\theta$  أى أن :

$$\sigma = \frac{16\pi m_0^2 A^2 a^4}{\hbar^4} \frac{1}{4k^2 a^2 + 1} \quad (14.27)$$

ومنه نستنتج حدود تطبيق طريقة نظرية الاضطراب من أعلى ومن أسفل \* ،  
أى أن :

$$\gamma_1 = \frac{m_0 a A}{\hbar^2} \ll 1 \quad , \quad ka \ll 1 \quad (14.28)$$

$$\gamma_2 = \frac{m_0 A}{\hbar^2 k} \ll 1 \quad , \quad ka \gg 1^* \quad (14.29)$$

أى أن وسيط النشر هو  $\gamma_1$  عندما  $ka \ll 1$  و  $\gamma_2$  عندما  $ka \gg 1$  ولا يمكن تطبيق التقريب البورنى إلا ضمن هذه الشروط ولا بد من استخدام طرائق أكثر دقة لحل المسائل فى الحالات الأخرى .

\* يمكن أن يطبق الحد الأقصى (14.29)  $ka \gg 1$  على الكمونات الكولونية ( $a \rightarrow \infty$ ) فإذا فرضنا أن  $A = Z e^2$  و  $h k = m_0 c \beta = m_0 v$  نجد أنه يمكن تطبيق التقريب البورنى على برع ليست كبيرة جدا تحقق العلاقة

$$\gamma_2 = \frac{Z \alpha}{\beta} \ll 1$$

حيث  $\alpha = \frac{e^2}{c \hbar} = \frac{1}{137}$  هو ثابت للبنية الرقيقة .

ج) المقطع الجزئي الفعال . لحساب مقطع التبدد من القيم الصغيرة والكبيرة لـ  $\gamma_1$  و  $\gamma_2$  . انظر ( 14.27 ) ، ( 14.28 ) ، ( 14.29 ) ، لا بد من البحث عن الحل بشكل مجموع مقاطع فعلية جزئية يتعلق كل منها بالعدد الكوانتي  $l$  وعندئذ يجب قبل كل شيء نشر الموجة الواردة التالية :

$$\psi_{inc} = e^{ikz} = e^{ikr \cos \theta} \quad (14.30)$$

التي تصف الجسيمات المنتشرة باتجاه  $z$  بسرعة  $v = \frac{\hbar k}{m_0}$  أى يجب نشر هذه الموجة بأمواف كروية تكتب طبقاً لـ ( 11.52 ) بالشكل التالي :

$$e^{ikz} \approx \sum_{l=0}^{\infty} i^l (2l+1) \frac{\sin\left(kr - \frac{\pi l}{2}\right)}{kr} P_l(\cos \theta) \quad (14.31)$$

ان الصيغة التقريبية للتابع الموجي لجسيم يتحرك فى حقل كمون  $V(r)$  ، انظر ( 11.45 ) و ( 11.58 ) ، هى التالية :

$$\psi_{ass} \approx \sum_{l=0}^{\infty} C_l P_l(\cos \theta) \frac{\sin\left(kr - \frac{\pi l}{2} + \delta_l\right)}{kr} \quad (14.32)$$

مع العلم أن الطور  $\delta_l$  يتعين بالتقريب الأول بالعلاقة ( 11.60 ) ولكنه يمكن أن يحسب بدقة أكثر فى بعض الحالات ، فمن الواضح أن الموجة المتبددة تتعين بالعلاقة التالية :

$$\psi_{sca} = \psi_{ass} - \psi_{inc} = \frac{1}{r} \sum_{l=0}^{\infty} \frac{1}{2ik} P_l(\cos \theta) \times \\ \times \left\{ e^{i\left(kr - \frac{\pi l}{2}\right)} [C_l e^{i\delta_l} - i^l (2l+1)] - e^{-i\left(kr - \frac{\pi l}{2}\right)} [C_l e^{-i\delta_l} - i^l (2l+1)] \right\}$$

أما المعامل المجهول  $C_l$  فيحسب من الشرط التالى : يجب على التابع  $\psi_{sca}$  أن يمثل موجة كروية متباعدة ولهذا يجب أن ينعدم المعامل أمام الدرجة الكروية المتقاربة  $e^{-i\left(kr - \frac{\pi l}{2}\right)}$  وعندئذ يكون لدينا :

$$C_l = i^l (2l+1) e^{i\delta_l}$$

ونجد لحساب الموجة المتبددة العبارة التالية :

$$\psi_{sca} = \frac{f(\theta)}{r} e^{ikr}$$

حيث يمثل التابع  $f(\theta)$  سعة التبدد ، انظر ( 14.15 ) ، وتعطى قيمته بشكل دقيق بالعلاقة الآتية :

$$f(\theta) = \frac{1}{2ik} \sum_{l=0}^{\infty} (2l+1) (e^{2i\delta_l} - 1) P_l(\cos \theta) \quad (14.33)$$

ومن المعلوم أن النسبة بين المقطع التفاضلى الذى يصف التبدد بزاوية  $\theta$  باحتمال مرور الجسيم فى وحدة الزمن خلال عنصر السطح الكروى  $dS = r^2 d\Omega$  أى أن :

$$dW_{sca} = v \psi_{sca}^* \psi_{sca} r^2 d\Omega = v |f(\theta)|^2 d\Omega$$

وتيار الجسيمات الواردة ، أى إلى عدد الجسيمات الساقطة عموديا على وحدة السطوح فى وحدة الزمن تساوى إلى

$$W_{inc} = v \psi_{inc}^* \psi_{inc} = v$$

ومن نجد المقطع التفاضلى الفعال :

$$d\sigma = \frac{dW_{sca}}{W_{inc}} = |f(\theta)|^2 2\pi \sin \theta d\theta \quad (14.34)$$

حيث فرضنا أن للحقل تناظرا محوريا ، ولهذا كتبنا الزاوية المجسمة  $d\Omega$  بالشكل التالى :

$$d\Omega = 2\pi \sin \theta d\theta$$

وإذا عوضنا  $f(0)$  بقيمتها من ( 14.33 ) فى ( 14.34 ) واعتبرنا شرط تعامد كثير حدود ليجاندر التالى :

$$\int_0^{\pi} P_l(\cos \theta) P_{l'}(\cos \theta) \sin \theta d\theta = \frac{2}{2l+1} \delta_{ll'}$$



نجد عبارة المقطع الكلي الفعال التالية :

$$\sigma = \sum_{l=0}^{\infty} \sigma_l \quad (14.35)$$

حيث يعطى المقطع الجزئى  $\sigma_l$  بالعلاقة الآتية :

$$\sigma_l = \frac{4\pi}{k^2} (2l + 1) \sin^2 \delta_l \quad (14.35a)$$

وعندئذ يقال التبدد  $s$  - عندما  $l = 0$  والتبدد  $p$  - عندما  $l = 1$  وهكذا . . . ويمكن بمقارنة (14.35) و (14.33) وملاحظة أن  $P_l(1) = 1$  ، برهان ما يسمى بالنظرية الضوئية

$$\sigma = \frac{2\pi}{i\hbar} [f(0) - f^*(0)] = \frac{4\pi}{k} \text{Im} f(0)$$

التي تعطى العلاقة بين المقطع الكلي  $\sigma$  وقسم السعة  $f(0)$  الوهمى (Im) المقابل للتبدد باتجاه الامام أى عندما  $\theta = 0$  . ولنلاحظ أن العلاقة الدقيقة ، التي تعطى سعة التبدد ، انظر (14.33) ، تتحول إلى العلاقة التقريبية المحسوبة بالتقريب البورنى ، انظر (14.15) ، عندما يتحقق الشرطان التاليان :

( ١ )  $\delta_l \ll 1$  ولهذا نكتب سعة التبدد بالشكل الآتى :

$$f(\theta) = \frac{1}{k} \sum_{l=0}^{\infty} (2l + 1) \delta_l P_l(\cos \theta) \quad (14.35b)$$

( ٢ ) إمكانية تطبيق التقريب (11.60) فيما يخص  $\delta_l$  أى أن :

$$\delta_l = - \frac{\pi m_0}{\hbar^2} \int_0^{\infty} V(r) r J_{l+1/2}^2(kr) dr \quad (14.36)$$

وبالفعل إذا عوضنا (14.36) فى المساواة (14.35b) نجد أن :

$$f(\theta) = - \frac{\pi m_0}{\hbar^2} \int_0^{\infty} r V(r) dr \sum_{l=0}^{\infty} \frac{1}{k} (2l + 1) P_l(\cos \theta) J_{l+1/2}^2 \quad (14.37)$$

ثم إذا لاحظنا العلاقة :

$$\frac{1}{k} \sum_{l=0}^{\infty} (2l+1) P_l(\cos \theta) J_{l+1/2}^2(kr) = \frac{2}{\pi} \frac{\sin \kappa r}{\kappa} \quad (14.38)$$

حيث

$$\kappa = 2k \sin \frac{\theta}{2}$$

فيمكن تحويل سعة التبدد ( 14.35b ) إلى الشكل المحسوب بالتقريب البورني أي أن :

$$f(\theta) = - \frac{2m_0}{\kappa \hbar^2} \int_0^{\infty} r \sin \kappa r \cdot V(r) dr \quad (14.39)$$

د) التبدد على حاجز كموني . لندرس تبدد الجسيمات على حاجز كموني تربيعي متناظر كرويا عندما تتغير الطاقة الكامنة طبقا للقانون :

$$V = \begin{cases} V_0 & ; \quad r < a \\ 0 & ; \quad r > a \end{cases} \quad (14.40)$$

ولهذا المثال أهمية خاصة لأنه يقبل حلا دقيقا خارج اطار التقريب البورني . ولقد وجدت نظرية التبدد على حاجز كموني تطبيقا جيدا في الفيزياء النووية ، وتبين أن نتائج الدراسات التي أجريت على القوى النووية القصيرة التأثير في مجال الطاقات غير العالية نسبيا ، لا تتوقف على شكل الحاجز الكموني وإنما بشكل رئيسي بارتفاعه ( أي  $V_0$  ) وبنصف قطر التأثير ( أي المسافة  $a$  ) . وبما أن الحاجز الكموني التربيعي ( أو الحفرة الكمونية ) يمثل أبسط شكل من أشكال القوى قصيرة التأثير فيمكن بالتالي تقريبه إلى قوى نووية . ولندرس الحالة الخاصة عندما  $ka \ll 1$  وهذا يعني فيزيائيا ، أن طول موجة دوبرويل أكبر بكثير من نصف قطر الحاجز الكموني أي أن :

$$\lambda = \frac{2\pi}{k} \gg 2\pi a \quad (14.41)$$

ولنحسب أولاً طور التبدد  $\delta_l$  بدلالة  $l$  بواسطة العلاقة التقريبية (11.60) وعندما يكون  $kr \leq ka$  يكتب تابع بسل في (11.60) كما يلي :

$$J_{l+1/2}(kr) \approx \left(\frac{kr}{2}\right)^{l+1/2} \frac{1}{\Gamma(l+3/2)} = \sqrt{\frac{2}{\pi}} \frac{(kr)^{l+1/2} 2^{l+1}}{(2l+1)!} \quad (14.42)$$

وعندئذ نجد أن  $\delta_l$  يساوي

$$\delta_l = \delta_0 \frac{3}{2l+3} \left(\frac{2^{l+1}}{(2l+1)!}\right)^2 (ka)^{2l} \quad (14.43)$$

حيث

$$\delta_0 = -\frac{2m_0 V_0}{\hbar^2} \frac{a^3 k}{3} \quad (14.44)$$

ومنه نرى أن الموجة  $s$  ( $l=0$ ) تعطى القسم الرئيسي في الطور  $\delta_l$ . أما الأمواج الجزئية  $l=1$  (الموجة  $p$ ) و  $l=2$  (الموجة  $d$ ) إلخ . . . فيتناقص مساهمتها في الطور بحوالى  $(ka)^{2l}$  مرة أصغر من  $\delta_0$  ولهذا يمكن إهمالها في التقريب الأول ، وأما المقطع الفعال الناتج عن الموجة الأولى فيساوى طبقاً لـ (14.35) إلى :

$$\sigma_0 = \frac{16\pi m_0^2 V_0^2 a^6}{9\hbar^4} \quad (14.45)$$

وهو عملياً يمثل المقطع الكلي الفعال ، ويمكن الحصول على نتيجة مشابهة عندما نحسب  $\sigma$  في التقريب البورنى بالعلاقة (14.12) . ولنحسب أخيراً طور التبدد من المعادلات الدقيقة وسنقتصر على حساب الطور للموجة  $s$  ( $l=0$ ) التي تعطى ، كما رأينا سابقاً ، القسم الأكبر في المقطع الفعال عندما  $ka \ll 1$  ، أما لحساب التوابع القطرية عندما تعطى طاقة الكمون بالعلاقة (11.53) ، فطبقاً لـ (14.40) نجد المعادلتين التاليتين :

$$\begin{aligned} u'' + k^2 u &= 0 & (r > a) \\ u'' - \kappa'^2 u &= 0 & (r < a) \end{aligned} \quad (14.46)$$

حيث

$$u = rR_0, \quad k^2 = \frac{2m_0}{\hbar^2} E, \quad \kappa'^2 = \frac{2m_0}{\hbar^2} (V_0 - E) = \kappa^2 - k^2 \quad (14.47)$$

وبالإضافة إلى ذلك سنفرض تحقق الشرط التالي :

$$V_0 > E > 0 \quad (14.48)$$

وعندئذ يمكن كتابة الحل (14.46) بالشكل التالي :

$$\begin{aligned} u &= A \sin(kr + \delta_0) & (r > a) \\ u &= B \operatorname{sh} \kappa' r & (r < a) \end{aligned} \quad (14.49)$$

وقد تم اختيار الحلين السابقين بحيث ينعدم التابع  $u$  عندما  $r \rightarrow 0$  ، وإذا ساوينا التوابع الموجية ومشتقاتها على الحد  $r = a$  فيمكن حساب الطور  $s$  المطلوب بالعلاقة الآتية :

$$\delta_0 = \operatorname{arctg} \left( \frac{ka}{\kappa'a} \operatorname{th} \kappa'a \right) - ka \quad (14.50)$$

ويمك تبسيط هذه العلاقة عندما  $(\kappa a \gg ka)$  و  $(V_0 \gg E)$  فتصبح كما

$$\delta_0 \approx ka \left( \frac{\operatorname{th} \kappa a}{\kappa a} - 1 \right) \quad (14.50a)$$

حيث

$$\kappa a = \sqrt{\frac{2m_0 V_0}{\hbar^2}} a \quad (14.51)$$

وإذا عوضنا (14.50a) في (14.35a) واعتبرنا أن القسم الرئيسي ينتج عن التبدد  $s$  عندما  $ka \ll 1$  فإننا نجد لحساب المقطع الفعال العبارة التالية :

$$\sigma_0 = 4\pi a^2 \left( \frac{\operatorname{th} \kappa a}{\kappa a} - 1 \right)^2 \quad (14.52)$$

وعندما يكون

$$ka \ll 1 \quad (14.53)$$

يمكن أن نعتبر المساواة التالية :

$$\frac{\text{th } ka}{ka} \approx 1 - \frac{1}{3}(ka)^2$$

صحيحة . وعندئذ إذا عوضنا العلاقة الأخيرة في ( 14.52 ) نجد المقطع الفعال  $\sigma_0$  الموافق للتقريب البورنى ، انظر ( 14.45 ) ، أما عندما  $ka \gg 1$  (  $V_0 \rightarrow \infty$  مثلا ) فيأخذ المقطع الفعال قيمته العظمى

$$\left( \frac{\text{th } ka}{ka} = \frac{1}{ka} \rightarrow 0 \right)$$

ويساوى عندئذ ، انظر أيضا ( 14.16 ) ، إلى

$$\sigma_0 = 4\pi a^2 \quad (14.54)$$

أى أن المقطع الفعال أكبر بأربع مرات من القيمة الكلاسيكية التى تساوى سطح المقطع العرضى الناتج عن حاجز الكمون الكروى (  $\sigma_0 = \pi a^2$  ) .

وسبب هذه النتيجة ، التى تبدو غريبة للوهلة الأولى ، هو أنه يجب حساب التبدد مرتين فى الأولى نعتبر الكرة صلبة ( غير نفاذة ) وفى الثانية أن الكرة المبددة تقطع من الحزمة أسطوانة سطح قاعدتها  $\pi a^2$  وبالتالي يخلت انتظام توزع تهدد الموجة المستوية . فلو تفانثرت الجسيمات التقليدية لاستمرت بالمركبة بشكل منظم ومستقيم خارج الكرة تاركة الفراغ الأسطوانى خاليا من أى شىء . والأمواج تفعل ذلك فهى تشكل الفراغ السابق بشكل جزئى ( انعراج ) ولهذا يحدث تبدد جديد لها وبالتالي يتضاعف المقطع الفعال وتبقى مثل هذه الظواهر الانعراجية حتى عندما (  $ka \gg 1$  ) (  $\lambda \rightarrow 0$  ) ، ويؤدى حساب كل الأمواج الجزئية عندئذ إلى قيمة مضاعفة مرتين للمقطع الفعال بالمقارنة مع المقطع الكلاسيكى وهى  $\sigma = 2\pi a^2$  .

ولا يمكن الحصول على العلاقة ( 14.54 ) فى التقريب البورنى ومنه

نستنتج حدود تطبيق هذا التقريب ، أى أن :

$$ka \ll 1 \quad \frac{2m_0 V_0 a^2}{\hbar^2} \ll 1$$

والتى تتطابق مع العبارة المقابلة  $ka \ll 1$  التى حصلنا عليها سابقا ، انظر

(14.28) ، ومن السهل تعميم العلاقات الأخيرة في حالة التبدد في الحفرة الكمون المتناظرة كرويا وعندئذ يجب اجراء التغيير  $V_0 \rightarrow -V_0$  في العلاقة (14.40) فإذا أجرينا الحساب في التقريب البورنى فيمكن الحصول على النتيجة (14.45) لأن مربع  $V_0$  لا يتغير عند اجراء التغيير السابق أما إذا أجرينا الحساب من أجل القيم الكبيرة لـ  $V_0$  فلا بد من اجراء التغيير  $x \rightarrow ix$  عند تغيير اشارة  $V_0$  . وعندئذ نجد لحساب الطور الصفرى بدلا من (14.50) العلاقة التالية :

$$\delta_0 = \text{arctg} \left( \frac{ka}{\kappa'a} \text{tg} \kappa'a \right) - ka \quad (14.55)$$

حيث

$$\kappa'^2 = \frac{2m_0}{\hbar^2} (V_0 + E) = \kappa^2 + k^2$$

وبمقارنة العلاقتين (14.55) و (14.50) نرى أننا نحصل على مقادير مشابهة للأطوار وبالتالي للمقاطع الفعالة عندما يكون  $\kappa'a$  صغيرا . وعندما تزداد  $V_0$  ( وكذلك  $\kappa'a$  ) فإن المقدار  $\text{th} \frac{\kappa'a}{\kappa'a}$  يتناقص طرديا في حالة الحاجز الكمونى ، وفى نفس الوقت نرى المقدار المقابل في حالة الحفرة الكمونية أى  $\text{tg} \frac{\kappa'a}{\kappa'a}$  يبدأ بالتغير دوريا من الصفر حتى اللانهاية ، وفى الحالة عندما  $\kappa'a = \frac{\pi}{2}$  يتحول الطور إلى  $(\sin \delta_0 = 1)$  . أما المقطع الفعال المقابل للموجة s فيأخذ القيمة التجاذبية التالية :

$$\sigma_0 = \frac{4\pi a^2}{k^2 a^2}$$

وهو ما يفوق عدة مرات المقطع الفعال التقليدى عندما  $ka \ll 1$  ويجب أن تحدث تجاوبات مشابهة عند تبدد المتوافقات ، وسنهمل الحسابات التفصيلية هنا . هذا ويمكن أن تظهر الخواص الأساسية ، التى رأيناها فى هذا المثال البسيط ، بشكل كوانتى عندما يتم التبدد على الكمونات الأخرى ذات التأثير القصير .

هـ ( التبدد في حقل كولوني . لندرس أولا تبدد تيار من الجسيمات بشحنة  $Z'e_0$  في حقل نواة شحنتها  $Ze_0$  ، حيث تتعين طاقة التفاعل في هذه الحالة بقانون كولون :

$$V(r) = \frac{ZZ'e_0^2}{r} \quad (14.56)$$

وخلافا للكمونات القصيرة التأثير مثل كمون يوكاوا نرى أن الكمون السابق يتضاءل ببطء مع المسافة  $r$  وهذا يؤدي ، كما سنرى فيما يلي ، إلى تغير جذري في سلوك التابع الموجي في المجال التقاربي  $r$  الكبيرة . وتقابل مسألة التبدد في الحقل الكولوني (14.56) المدارات القطعية الزائدية في الميكانيكا الكلاسيكية حيث تكون طاقة الجسيم  $E > 0$  ، ويمكن أن تحل هذه المسألة في الميكانيكا الكوانتية بدقة كما حلت في مسألة كبلر ، انظر البند ١٢ . وقد يكون من الأسهل الانتقال من الاحداثيات الكروية إلى الاحداثيات القطعية المكافئية طالما أن عملية التبدد تفرض تناظرا محوريا بالنسبة لاتجاه الجسيمات الواردة ( المحور  $Z$  ) وبالتالي نكتب :

$$\begin{aligned} \xi &= r + z = r(1 + \cos \theta) \\ \eta &= r - z = r(1 - \cos \theta) \\ \varphi &= \arctg \frac{y}{x} \end{aligned} \quad (14.57)$$

في هذه الاحداثيات يمكن فصل المتحولات في معادلة شرودينجر للحقل الكولوني كما رأينا في البند ١ . ولا يجوز أن يتعلق القسم الزاوي  $\Phi(\varphi)$  للتابع الموجي ، عندما يكون الحل متناظر محوريا ، ب  $\varphi$  ولهذا نكتب أن :

$$\Phi(\varphi) = \text{const} = 1 \quad (14.58)$$

وعليه يمكن أن يوضع التابع الموجي الكلي  $\psi$  بشكل جداء ، أي أن :

$$\psi = f_1(\xi) f_2(\eta) \quad (14.59)$$

حيث يحقق التابعان  $f_1(\xi)$  و  $f_2(\eta)$  المعادلتين :

$$\begin{aligned} \frac{d}{d\xi} \left( \xi \frac{df_1}{d\xi} \right) + \left[ \frac{k^2}{4} \xi + B_1 \right] f_1 &= 0 \\ \frac{d}{d\eta} \left( \eta \frac{df_2}{d\eta} \right) + \left[ \frac{k^2}{4} \eta + B_2 \right] f_2 &= 0 \end{aligned} \quad (14.60)$$

وحيث  $k = \sqrt{\frac{2m_0 E}{\hbar^2}}$  و  $E > 0$  ويرتبط ثابتا الفصل  $B_1$  و  $B_2$  بالعلاقة

$$B_1 + B_2 = -m_0 \frac{ZZ' e_0^2}{\hbar^2} \quad (14.61)$$

وسنبحث عن الحل الخاص للمعادلة (14.60) الذي يحقق تقريبا للتابع  $\psi$  (14.59) ، عندما  $z \rightarrow -\infty$  ، بالشكل التالي :

$$\psi \simeq e^{ikz}, \quad z \rightarrow -\infty \quad (14.62)$$

وهذا ما يقابل موجة مستوية تسقط من اللانهاية بالاتجاه الموجب للمحور  $z$  على المركز الكولوني ، فيما يأخذ هذا الشرط في الاحداثيات القطبية المكافئة الشكل التالي :

$$\psi \simeq e^{ik(\xi - \eta)/2} \quad (14.63)$$

وذلك عندما  $n \rightarrow \infty$  ومهما كانت  $\xi$  . ولهذا نختار الحل الخاص للتابع  $f_1(\xi)$  بالشكل التالي :

$$f_1(\xi) = e^{i\xi \frac{k}{2}} \quad (14.64)$$

وهو الحل الذي يحقق (14.60) إذا وضعنا :

$$B_1 = -\frac{i}{2} k \quad (14.65)$$

وعندئذ لكي يحقق التابع  $f_2(\eta)$  الشرط التقاربي (14.63) يجب أن يكتب بالشكل :

$$f_2(\eta) \simeq e^{-i\eta \frac{k}{2}}, \quad \eta \rightarrow \infty \quad (14.66)$$



ولنبدل المتحول  $\eta$  في المعادلة الثانية من (14.60) بمتحول جديد عديم الأبعاد وهو

$$\rho = k\eta \quad (14.67)$$

ولكى يتحقق الشرط (14.66) سنبحث عن الحل بالشكل :

$$f_2(\rho) = e^{-i \frac{\rho}{2}} u(\rho) \quad (14.68)$$

وعندئذ نحصل لحساب  $u(\rho)$  على المعادلة التالية :

$$\rho u'' + (1 - i\rho)u' - \gamma u = 0$$

حيث

$$\gamma = \frac{ZZ'e^2 m_0}{\hbar^2 k} \quad (14.69)$$

ويحقق التابع المتسامى المنطبق ، انظر أيضا (12.29) ، التالي :

$$\Phi(\alpha, \beta, x) = 1 + \frac{\alpha}{\beta} \frac{x}{1!} + \frac{\alpha(\alpha+1)}{\beta(\beta+1)} \frac{x^2}{2!} + \dots \quad (14.70)$$

المعادلة (14.69) عندما تأخذ  $\alpha$  و  $\beta$  و  $x$  القيم التالية :

$$\alpha = -i\gamma, \quad \beta = 1, \quad x = i\rho \quad (14.71)$$

ولهذا نحصل لحساب  $\psi$  على الحل الخاص التالي :

$$\psi = C e^{ik \frac{x}{2}} e^{-i \frac{\rho}{2}} \Phi(-i\gamma, 1, i\rho) \quad (14.72)$$

حيث  $C$  ثابت المعايرة . ان هذا الحل محدود في المجال  $\rho \rightarrow 0$  ويتعين سلوكه عندما  $\rho \rightarrow \infty$  بالتابع المتقارب  $\Phi$  في هذا المجال ، ولقد كتبنا الصيغة التقريبية (12.30) للتابع الموجى المتسامى المنطبق  $\Phi(\alpha, \beta, x)$  عندما

$|x| \rightarrow -\infty$  وعند تطبيقها على (14.71) يجب عند أخذ الأس من المتحولات  $x$  و  $-x$  ، ان نعتبر هذه المتحولات في أصغر قيمها ، أى أن :

$$\begin{aligned} (-x)^{-\alpha} &= e^{\pi \frac{\gamma}{2}} e^{i\gamma \ln \rho} \\ x^{\alpha-\beta} &= -\frac{i}{\rho} e^{\pi \frac{\gamma}{2}} e^{-i\gamma \ln \rho} \end{aligned} \quad (14.73)$$

فإذا اعتبرنا صحة هذه المساواة فإننا نحصل عند نشر (12.30) من أجل قيم  $\rho$  الكبيرة جدا ( $\rho \gg 1$ ) على ما يلي :

$$\begin{aligned} \Phi(-i\gamma, 1, i\rho) &\simeq \frac{e^{\pi \frac{\gamma}{2}}}{\Gamma(1+i\gamma)} e^{i\gamma \ln \rho} \left[ 1 + \frac{\gamma^2}{i\rho} + \dots \right] - \\ &- \frac{e^{\pi \frac{\gamma}{2}}}{\Gamma(1-i\gamma)} \frac{\gamma}{\rho} e^{i\rho - i\gamma \ln \rho} \left[ 1 + \frac{(1+i\gamma)^2}{i\rho} + \dots \right] \end{aligned} \quad (14.74)$$

وبواسطة هذا النشر نحصل على القيمة التقريبية للتابع  $\Psi$  فى (14.72) عندما  $z \rightarrow -\infty$  ( $\rho \rightarrow +\infty$ )

$$\Psi \simeq C \frac{e^{\pi \frac{\gamma}{2}}}{\Gamma(1+i\gamma)} e^{i\lambda z + i\gamma \ln \rho} \quad (14.75)$$

ان وجود الحد اللوغاريتمى  $i\gamma \ln \rho$  فى الأس يشوه الموجة المستوية حتى فى اللانهاية ، فإذا فرضنا أن

$$C = e^{-\pi \frac{\gamma}{2}} \Gamma(1+i\gamma) \quad (14.76)$$

نجد أن الشرط التقاربى المطلوب فى (14.62) يتحقق بالتقريب إلى المقدار  $\gamma \ln \rho$  . ولنبحث الآن عن السلوك التقاربى للتابع  $\Psi$  فى (14.72) عندما  $r \rightarrow \infty$  بحيث يشمل هذا البحث كلا الموجتين الواردة والمتبدة ، وفى هذه الحالة ( $\eta = r - z \rightarrow \infty$ ) يطبق التقارب (14.74) أيضا ، الذى بواسطته

سنجد إذا انتقلنا إلى الاحداثيات الأساسية  $r$  و  $\theta$  وأخذنا بعين الاعتبار (14.76) ، أن للتابع  $\psi$  عندما  $r \rightarrow \infty$  الصيغة التالية :

$$\psi \simeq \left[ 1 + \frac{\gamma^2}{ikr(1-\cos\theta)} + \dots \right] e^{ikz + i\gamma \ln kr(1-\cos\theta)} - \frac{\Gamma(1+i\gamma)}{\Gamma(1-i\gamma)} \frac{\gamma}{2kr \sin^2 \frac{\theta}{2}} e^{ikr - i\gamma \ln kr(1-\cos\theta)} \left[ 1 + \frac{(1+i\gamma)^2}{ikr(1-\cos\theta)} + \dots \right] \quad (14.77)$$

ومن الواضح امكانية تطبيق هذا النشر على الزوايا الصغيرة ، وهي تلك التي تحقق العلاقة :

$$\frac{\gamma^2}{kr(1-\cos\theta)} \ll 1, \quad \frac{1}{kr(1-\cos\theta)} \ll 1 \quad (14.78)$$

ولا يصبح هذا التقريب صحيحا ، عندما تزداد  $r$  وعلى مسافات كبيرة عن المركز الكولوني حيث لا يتحقق من الناحية العملية ، أما إذا أهملنا الحدود الصغيرة في (14.77) مع اعتبار المتراجحات (14.78) فيمكن كتابة التابع الموجي بالشكل التالي :

$$\psi \simeq e^{ikz + i\gamma \ln [kr(1-\cos\theta)]} + \frac{f(\theta)}{r} e^{ikr - i\gamma \ln 2kr} \quad (14.79)$$

حيث يمثل الحد الأول الموجة النافذة ( لا المستوية وإنما المشوهة بالحد اللوغاريتمي ) ، أما الحد الثاني فيمثل الموجة الكروية المتبددة والمشوهة بالحد الكولوني المتعلق بـ  $r$  . أما سعة التبدد  $f(\theta)$  في الحقل الكولوني طبقا لـ (14.77) فتساوى إلى :

$$f(\theta) = - \frac{\Gamma(1+i\gamma)}{\Gamma(1-i\gamma)} \frac{\gamma e^{-i\gamma \ln \sin^2 \frac{\theta}{2}}}{2k \sin^2 \frac{\theta}{2}} \quad (14.80)$$

وإذا حسبنا المقطع التفاضلي الفعال للتبدد بالعلاقة العامة (14.34) أى أن :

$$d\sigma = |f(\theta)|^2 d\Omega$$

فيمكن أن لا تظهر تابعة المقطع الفعال إلى الطور اللوغاريتمي وسنجد أن :

$$d\sigma = \frac{\gamma^2}{4k^2 \sin^4 \frac{\theta}{2}} d\Omega = \frac{(ZZ')^2 e_0^4 m_0^2}{4\rho^4 \sin^4 \frac{\theta}{2}} d\Omega \quad (14.81)$$

أى أننا نحصل على علاقة رذرفورد (14.24) لتبديد الشحنة  $Z'e_0$ . ويختلف التابع الموجى (14.79) الذى حصلنا عليه من التابعين الموجيين القابلين (14.30) و (14.32) اللذين حصلنا عليهما فى حالة القوى قصيرة التأثير لأنه يحوى حدا اضافيا لوغاريتميا يتعلق بـ  $r$  و  $\theta$  يجب أخذه بعين الاعتبار عند نشر سعة التبديد (14.80) بالأمواج الكروية (14.33) فى الحقل الكولونى. ولنحسب تكامل المقدار الناتج عن جداء السعة  $f(\theta)$  (14.80) فى كثير حدود ليجاندر  $P_l(\cos \theta)$  أى :

$$ik \int_{\theta_0}^{\pi} d\theta \sin \theta f(\theta) P_l(\cos \theta) = -i\gamma \frac{\Gamma(1+i\gamma)}{\Gamma(1-i\gamma)} 2^{i\gamma} \int_{-1}^{\cos \theta_0} dx (1-x)^{-1-i\gamma} P_l(x) = S_l \quad (14.82)$$

حيث اخترنا زاوية معينة  $1 \ll \theta_0$  كحد أدنى للتكامل بـ  $\theta$  بحيث تتحقق المتراجحة (14.78) عندما  $\theta > \theta_0$  وهى المتراجحة التى تكفل صحة النشر التقاربى للتابع الموجى. فإذا ضربنا كلا من طرفى المساواة (14.82) بـ  $P_l(\cos \theta')$  حيث  $(\theta' > \theta_0)$  ثم جمعنا بـ  $l$  واستعملنا شرط انغلاق كثير حدود ليجاندر التالى :

$$\sum_{l=0}^{\infty} \frac{2l+1}{2} P_l(\cos \theta) P_l(\cos \theta') = \delta(\cos \theta - \cos \theta') \quad (14.83)$$

نجد للسعة الصيغة التالية :

$$f(\theta) = \frac{1}{ik} \sum_{l=0}^{\infty} \frac{2l+1}{2} S_l P_l(\cos \theta) \quad (14.84)$$

مع العلم أن  $\vartheta > \vartheta_0$  . أما إذا أردنا الحصول على نشر  $f(\vartheta)$  بكثيرات حدود ليجاندر كما في (14.33) فيجب حذف  $\vartheta_0$  في التكامل  $\delta$ ، وذلك بكتابة  $\vartheta_0 - 0$  . ويؤدي هذا الانتقال ( $\vartheta_0 - 0$ ) في (14.82) إلى عدم تعيين من الشكل  $\vartheta_0^{-2i\gamma}$  مرتبطاً بعدم امكانية تطبيق (14.80) على  $f(\vartheta)$  عندما  $\vartheta = 0$  ويمكن تجنب هذه الصعوبة بالقيام بما يلي : تغيير  $\gamma$  في التكامل (14.82) بمقدار عقدي (مركب) يحوى على إضافة عقديّة صغيرة بالشكل  $\gamma - \gamma + i\varepsilon$  حيث  $\varepsilon > 0$  . عندئذ يكون الانتقال  $\vartheta_0 - 0$  كافياً لحساب التكامل

التالى :

$$\int_{-1}^1 dx (1-x)^{-1+i\varepsilon-i\gamma} P_l(x) \quad (14.85)$$

وبعدئذ ينتهى  $\varepsilon$  إلى الصفر . ولنكتب كثير الحدود  $P_l(x)$  بشكله التفاضلى :

$$P_l(x) = \frac{1}{2^l l!} \frac{d^l (x^2 - 1)^l}{dx^l}$$

ثم نحسب التكامل بالتجزئة  $l$  مرة ، وعندئذ نجد أن

$$\begin{aligned} \int_{-1}^1 dx (1-x)^\lambda P_l(x) &= \\ &= (-1)^l \frac{\lambda(\lambda-1)\dots(\lambda-l+1)}{2^l l!} \int_{-1}^1 (1-x)^\lambda (1+x)^l dx \quad (14.86) \end{aligned}$$

حيث  $\lambda = -1 + \varepsilon - i\gamma$  . وإذا استفدنا الآن من التكامل

$$\int_{-1}^1 (1-x)^\lambda (1+x)^l dx = 2^{l+\lambda+1} \frac{\Gamma(l+1) \Gamma(\lambda+1)}{\Gamma(\lambda+l+2)}$$

الذي يكون صحيحا عندما  $\text{Re} \lambda > -1$  ثم عوضنا هذا التكامل في (14.86) وانهيينا  $\varepsilon$  للصفر نجد أن :

$$\int_{-1}^1 dx (1-x)^{-1-i\gamma+\varepsilon} P_l(x) = \frac{2^{-i\gamma} (1+i\gamma)(2+i\gamma)\dots(l+i\gamma)\Gamma(-i\gamma)}{\Gamma(l+1-i\gamma)} \quad (14.87)$$

وبما أن  $-i\gamma\Gamma(-i\gamma) = \Gamma(1-i\gamma)$  نستنتج أخيرا :

$$S_l = \frac{\Gamma(l+1+i\gamma)}{\Gamma(l+1-i\gamma)} \quad (14.88)$$

وهكذا يمكن كتابة نشر السعة بالشكل الآتي :

$$f(\theta) = \frac{1}{2ik} \sum_{l=0}^{\infty} (2l+1) \frac{\Gamma(l+1+i\gamma)}{\Gamma(l+1-i\gamma)} P_l(\cos \theta) \quad (14.89)$$

ويعتبر هذا النشر صحيحا عندما  $\nu > 0$  . ومن السهل ملاحظة أن هذا النشر مطابق للعلاقة العامة (14.33) ولذلك يستوجب مراعاة العلاقة (14.83) عندما  $\nu \neq 0$  أي

$$\sum_{l=0}^{\infty} (2l+1) P_l(\cos \theta) = 0$$

ويمكن حساب الطور  $\delta_l$  بمقارنة (14.89) مع (14.33) فنجد أن :

$$\delta_l = -\arg \Gamma(l+1-i\gamma) \quad (14.90)$$

وهنا يجدر بنا ملاحظة اختلاف الطور  $\delta_l$  عن طور التبديد الكلي بمقدار

معين هو اللوغاريتم الكولوني ، انظر ( 14.79 ) ، الذى يزداد بزيادة  $r$  ولكنه لا يتعلق بـ  $l$  . وإذا بحثنا من البداية عن حل معادلة شرودينجر ، المقابل لعزم مدارى معين  $l$  ، لأمكن عندئذ كتابة معادلة شرودينجر للتابع القطرى  $u = rR_l$  بالشكل التالى :

$$\frac{d^2u}{dr^2} + \left( k^2 - \frac{2\gamma k}{r} - \frac{l(l+1)}{r^2} \right) u = 0 \quad (14.91)$$

وعندما تأخذ  $r$  قيمة كبيرة جدا بحيث يمكن اهمال الحد  $\frac{u}{r^2}$  ، نرى أن الحل التقاربى للمعادلة ( 14.91 ) يأخذ الشكل الآتى :

$$R_l = \sqrt{\frac{2}{\pi}} \frac{\sin \left( kr - \gamma \ln 2kr - \frac{\pi l}{2} + \delta_l \right)}{r} \quad (14.92)$$

وليس من الصعب التحقق من ذلك إذا عوضنا العلاقة الأخيرة فى ( 14.91 ) ، وعندئذ لا يختصر الحد الأساسى المتناسب مع  $u$  فقط وإنما الحد المتناسب مع  $\frac{u}{r}$  بسبب الطور اللوغاريتمى  $\gamma \ln 2kr$  ، ولقد كتبنا الطور  $\frac{\pi l}{2}$  لكى ينعدم الطور  $\delta_l$  أيضا عندما  $\gamma = 0$  وذلك لأن الحل التقاربى ( 14.92 ) يجب أن يتحول إلى الحل التقاربى لجسيم حر . ولحساب الطور  $\delta_l$  يجب أولا كتابة الحل الدقيق للمعادلة ( 14.91 ) الذى يكون صحيحا من أجل قيم  $r$  الصغيرة أو الكبيرة مع العلم أنه يمكن التعبير عن هذا الحل بواسطة التوابع المتسامية الموحدة  $\Phi(\alpha, \beta, \gamma)$  ( 14.70 ) بالشكل التالى :

$$R_l = \text{const } r^l e^{-ikr} \Phi(l+1 - i\gamma, 2l+2, 2ikr)$$

وبدراسة التابع  $\Phi$  عندما  $r \rightarrow \infty$  والذى تستنتج منه الصيغة التقاربية ( 12.30 ) نجد أن

$$R_l \underset{r \rightarrow \infty}{=} \frac{\text{const}}{r} \left[ \frac{e^{i \left( kr - \frac{\pi}{2} l - \gamma \ln 2kr \right)}}{i \Gamma(l+1-i\gamma)} - \frac{e^{-i \left( kr - \frac{\pi}{2} l - \gamma \ln 2kr \right)}}{i \Gamma(l+1+i\gamma)} \right]$$

فإذا فرضنا بعد ذلك أن :

$$\Gamma(l+1 \mp i\gamma) = |\Gamma(l+1-i\gamma)| e^{\mp i\delta_l}$$

$$\delta_l = -\arg \Gamma(l+1-i\gamma) \quad (14.93)$$

نحصل على الشكل التقاربي (14.92) ، ولكن بطور معطى  $\delta_l$  يتطابق مع القيمة (14.92) المستنتجة سابقا وعندما  $|l-i\gamma| \gg 1$  وباستخدام علاقة ستيرلينج

$$|\Gamma(l+1-i\gamma)| e^{-i\delta_l} \approx \sqrt{2\pi} \left( \frac{l+1/2-i\gamma}{e} \right)^{l+1/2-i\gamma}$$

يمكن الحصول على قيمة الطور التالية :

$$\delta_l \approx (l+1/2) \arctg \frac{\gamma}{l+1/2} + \gamma (\ln \sqrt{(l+1/2)^2 + \gamma^2} - 1) \quad (14.94)$$

وهو ينتهي إلى الصفر عند  $\gamma=0$  (غياب القوى الكولونية) ، وهذا ما يمكن التنبؤ به مقما .

### البند ١٥ - طريقة ريجي في نظرية التبدد

أ ( مفهوم أقطاب ريجي . عند دراسة حركة الجسيمات في حقل متناظر ، فيما يتعلق بمسألة التبدد ، تبدو طريقة ريجي مفيدة جدا ، تلك الطريقة التي تتلخص في اعتبار التابع الموجي وسعة التبدد كتتابع لمتحول العزم الحركي التخيلي  $l$  . ولنبرهن كيف يمكن أن نقيم العلاقة بين مسألة



التبدد ومسألة البحث عن سويات الطاقة المتقطعة للحالات المرتبطة في الحقل  $V(r)$  بطريقة ريجي . ولذلك نكتب معادلة شرودينجر ( 11.53 ) للتابع القطري  $u = rR(r)$  في حقل متناظر مركزي  $V(r)$  :

$$\frac{d^2 u_l}{dr^2} + \left( k^2 - \frac{2m_0}{\hbar^2} V(r) - \frac{l(l+1)}{r^2} \right) u_l = 0 \quad (15.1)$$

حيث :

$$k^2 = 2m_0 E / \hbar^2$$

أن الحل العام لهذه المعادلة عندما تكون  $r$  صغيرة وحيث يمكن اهمال الحد  $k^2 - 2m_0 V(r) / \hbar^2$  ، انظر ( 12.12 ) ، هو من الشكل

$$u_l \underset{r \rightarrow 0}{\simeq} C_1 r^{l+1} + C_2 r^{-l}$$

فإذا استبعدنا الحل غير المحدود عندما  $r = 0$  بكتابة  $C_2 = 0$  واعتبرنا  $C_1 = 1$  نجد أن :

$$u_l \simeq r^{l+1}, \quad r \rightarrow 0. \quad (15.2)$$

وسنعتبر أيضا أن  $l$  يمكن أن تأخذ قيما تخيلية اختيارية وعندئذ لا يمكن عزل الحد الثاني عن الأول إلا عندما

$$\text{Re}(l+1) > \text{Re}(-l)$$

حيث  $\text{Re}$  هو القسم الحقيقي أي أن :

$$\text{Re}(l + 1/2) > 0 \quad (15.3)$$

فإذا كان  $\text{Re}(l + 1/2) < 0$  فإن الحل الثاني يتضاءل أسرع من الأول ويمكن اضافته دائما إلى الأول دون أن يتغير السلوك التقاربي للتابع  $u_l$  من

أجل القيم الصغيرة لـ  $r$  ومن الواضح عندئذ أنه لا يجوز اختيار حل وحيد ، وهكذا يكون التابع  $u_l$  وحيد التعيين كحل للمعادلة (15.1) ضمن الشروط الحدية (15.2) وتحقق (15.3) ، ولندرس الآن السلوك التقاربي لـ  $u_l$  عندما  $r \rightarrow \infty$  وعندئذ ينتهي الكمون  $V(r)$  في المعادلة (15.1) إلى الصفر ويمكن اهمال الحدود المتناسبة معه وكذلك الحد  $l(l+1)/r^2$  ، وبالتالي نجد أن :

$$\frac{d^2 u_l}{dr^2} + k^2 u_l = 0 \quad (15.4)$$

والحل العام لهذه المعادلة :

$$u_l = f_l(k^2) e^{-lkr} + g_l(k^2) e^{lkr} \quad (15.5)$$

وهو يصف السلوك التقاربي لأي حل للمعادلة (15.1) وخاصة الحل المبحوث عنه والذي يحقق الشروط الحدية (15.2) مع اعتبار أن الحقل  $V(r)$  يتضاءل في اللانهاية أكثر مما يتضاءل الحقل الكولوني ، وبما أن المعادلة (15.1) والشروط الحدية (15.2) تتضمن تبعية تحليلية للوسيط  $l$  وبالتالي فالحل  $u_l(r)$  يجب أن يكون تابعا تحليليا للمتحول  $l$  ، فعندما يكون  $l$  حقيقيا و  $k^2 > 0$  ينتج من شرط حقيقة التابع  $u_l$  ما يلي :

$$g_l = f_l^* \quad (15.6)$$

فإذا كان  $l$  عقديا نحصل من (15.2) على أن :

$$u_{l^*}(r) = u_l^*(r) \quad (15.7)$$

ولهذا تتغير العلاقة (15.6) عندما يكون  $k^2 > 0$  وتصبح بالشكل التالي :

$$g_{l^*} = f_l^* \quad (15.8)$$

ومن جهة أخرى نرى أنه يمكن كتابة التابع  $u_l = rR_l$  ، عندما  $r \rightarrow \infty$  طبقا

العلاقة التي حصلنا عليها سابقا ، بالشكل التالي :

$$\begin{aligned} u_l(r) &= C_l \sin \left( kr - \frac{\pi l}{2} + \delta_l \right) = \\ &= -\frac{C_l}{2i} e^{-i\pi l/2 + i\delta_l} (e^{-ikr} - e^{-i\pi l + 2i\delta_l} e^{ikr}) \end{aligned} \quad (15.9)$$

ومن الضروري عندئذ التأكيد على أن الطور  $\sigma_l$  لن يكون حقيقيا عندما تأخذ  $l$  قيمة عقدية . وإذا قارنا (15.9) مع (15.5) نحصل على علاقة لحساب التابع الذي سيدخل في نشر سعة التبدد  $f(\vartheta)$  للأمواج الجزئية وهو التابع :

$$S_l = e^{2i\delta_l}$$

ولحسابه نحصل على العلاقة التالية :

$$S_l = e^{2i\delta_l} = -\frac{g_l}{f_l} e^{i\pi} \quad (15.11)$$

التي تمثل التعميم التحليلي للتابع  $S_l$  على المجال العقدي للمتحول  $l$  ، وإذا لاحظنا (15.8) ، عندما تكون  $l$  عقدية ، نجد علاقة أخرى عوضا عن  $|S_l|^2 = 1$  وهي العلاقة التالية :

$$S_l S_l^* = 1 \quad (15.12)$$

حيث يمثل التابع  $u_l(r)$  ومعه  $f_l$  و  $g_l$  التابع التحليلي  $l$  في نصف المستوى  $\text{Re} l > -1/2$  ، ولهذا لن يكون للتابع  $S_l$  في هذا المجال أي شذوذ سوى بعض الأقطاب في النقط التي يندم فيها  $f_l$  أي :

$$f_l(k^2) = 0 \quad (15.13)$$

وسنرقم حلول هذه المعادلة بالوسيط  $i$  أي :

$$l = a_i(k^2) \quad (15.14)$$

وتسمى أقطاب التابع  $S_l$  في المستوى  $l$  العقدي بأقطاب ريجي ، أما

التوابع  $\varphi_l(k^2)$  التي تعين أقطاب ريجي عند تغيير الطاقة فتسمى بمسارات ريجي . ولنبرهن الآن أن أقطاب ريجي تقع في نصف المستوى العلوي  $\text{Im } l > 0$  عندما  $k^2 > 0$  ، ولهذا نكتب المعادلة (15.1) والمعادلة الشبيهة بها ، المقابلة للمرافق العقدي للقيمة  $l$  ، ثم نضرب المعادلة الأولى بـ  $u_l$  والثانية بـ  $u_{l^*}$  ونطرحهما ، فنجد أن :

$$u_{l^*} \frac{d^2 u_l}{dr^2} - u_l \frac{d^2 u_{l^*}}{dr^2} = (l - l^*)(l + l^* + 1) \frac{u_l u_{l^*}}{r^2} \quad (15.15)$$

ولنستكمل هذه المعادلة بالنسبة لـ  $r$  من الصفر حتى اللانهاية مع ملاحظة أن :

$$\int_0^{\infty} \left( u_{l^*} \frac{d^2 u_l}{dr^2} - u_l \frac{d^2 u_{l^*}}{dr^2} \right) dr = \left( u_{l^*} \frac{du_l}{dr} - u_l \frac{du_{l^*}}{dr} \right) \Big|_0^{\infty}$$

وبالتعويض بالحد الأدنى  $r = 0$  ينعدم المقدار السابق بسبب الشرط  $\text{Re } l > -\frac{1}{2}$  أما ما يخص الحد الأعلى فإننا بتبديله بالحل التقاربي (15.5) نجد أن :

$$u_{l^*} \frac{du_l}{dr} - u_l \frac{du_{l^*}}{dr} = 2ik (g_l f_{l^*} - g_{l^*} f_l)$$

وباعتبار صحة العلاقة (15.7) نجد أخيرا :

$$2 \text{Im } l \cdot \text{Re}(l + 1/2) \int_0^{\infty} \frac{|u_l|^2}{r^2} dr = k (g_l f_{l^*} - g_{l^*} f_l) \quad (15.16)$$

ويتقارب التكامل في الطرف الأيسر وطبقا لـ (15.2) و (15.3) نجد العلاقاتين التاليتين :

$$\frac{|u_l|^2}{r^2} \simeq r^{2l}, \quad \text{Re } 2l > -1$$

أما عند الحد الأعلى فيتذبذب هذا التكامل حسب القانون (15.5) عندما  $k^2 > 0$  . ولنفرض أن  $l$  تقع على مسار ريجي  $l = \alpha_l(k^2)$  عندما  $k^2 > 0$  أي أن  $E > 0$  وهذا يقابل الحالات المستقلة (غير المرتبطة) في مسألة التبدد ،

وعندئذ إذا تنكرنا المساواة (15.8) واعتبرنا تحقق العلاقة  $f_l = 0$  على مسارات ريجى فإننا نجد :

$$2 \operatorname{Im} l \cdot \operatorname{Re}(l + 1/2) \int_0^{\infty} \frac{|u_l|^2}{r^3} dr = k |g_l|^2 \quad (15.17)$$

ويتضح من هذه العلاقة صحة المتراجحة  $\operatorname{Im} l > 0$  إذا كان  $k < 0$  وكان  $\operatorname{Re} l > -\frac{1}{2}$ . ولندرس الآن مسارات ريجى عندما تكون  $E$  سالبة  $k^2 < 0$  ولهذا نكتب

$$k = i\kappa, \quad \kappa > 0 \quad (15.18)$$

وفى هذه الحالة نجد عوضا عن (15.5) عندما  $r \rightarrow \infty$  الحل التالى :

$$u_l(r) \underset{r \rightarrow \infty}{=} g_l(-\kappa^2) e^{-\kappa r} + f_l(-\kappa^2) e^{\kappa r} \quad (15.19)$$

على مسارات ريجى المحققة للعلاقة  $l = \alpha_l(-\kappa^2)$  حيث ينعدم المعامل  $f_l(-\kappa^2) = 0$  ولهذا ينعدم الحل الأسى المتزايد ويبقى عندما  $r \rightarrow \infty$  الحل المتخامد التالى :

$$u_l(r) \underset{r \rightarrow \infty}{=} g_l e^{-\kappa r} \quad (15.20)$$

أما الشرط (15.7) عندما  $k = i\kappa$  ( $\kappa > 0$ ) فيؤدى إلى :

$$g_{l_0} = g_l, \quad f_{l_0} = f_l$$

وعندئذ ينتج من (15.16) ، حيث يظهر بوضوح تقارب التكامل طبقا لـ (15.20) أن  $\operatorname{Im} l = 0$  ، أى أن أقطاب ريجى تقع على محور حقيقى . بينما يأخذ المقدار  $l$  حيث  $l = \alpha_l(-\kappa^2)$  ، وعند تغييره على محور حقيقى ، قيما فيزيائية ، أى أن هذه القيم تساوى أعدادا صحيحة موجبة ، أى أن :

$$l = \alpha_l(-\kappa^2) = 0, 1, 2, \dots \quad (15.21)$$

وعندئذ يصف التابع  $u_l(r)$  الحالات المرتبطة للجملة التى تتخامد فى

اللانهاية طبقاً لـ (15.20) والتي تقابل سويات طاوقية  $E < 0$  تتعين بدورها من (15.21). ويمكن أن تتوضع عدة حالات مرتبطة (على مسار واحد رقمه  $i$ ) مقابلة للقيم  $l = 0, 1, 2, \dots$  وهى تؤلف فصيلة مميزة بالعدد الكوانتى  $i$ ، ويجب أن تتطابق السويات التى حصلنا عليها بهذه الطريقة مع طيف الطاقة الناتج عن حل معادلة شرودينجر. ولندرس كمثال على ذلك الحقل الكولونى الذى تتحقق فيه العلاقة المبرهنة سابقاً، أنظر (14.88):

$$S_l = \frac{\Gamma(l+1+i\gamma)}{\Gamma(l+1-i\gamma)} \quad (15.22)$$

حيث  $\gamma = ZZ'e_0^2 m_0 / \hbar^2 k$  ومن المعلوم أن التابع  $\gamma$  ينعدم عندما يساوى دليله عدداً سالباً صحيحاً أو صفراً، ولهذا يجب أن تقع أقطاب التابع (15.22) على المسارات:

$$l+1-i\gamma = -n_r = 0, -1, -2, \dots \quad (15.23)$$

ونلاحظ إن وجود عدد لانهاى من الحالات المرتبطة على كل مسار من مسارات ريجى تتميز بالعدد الكوانتى  $n_r$ ، أى أنها تتميز بعدد أصفار القسم القطرى  $R_l$  وقيم  $l$  المختلفة، لأنه عندما  $l \geq 0, 1, 2, \dots$  فإن المقدار  $n_r + l + 1$  يأخذ القيم  $n_r = 1, 2, 3, \dots$  ولنفتراض أن شحنة النواة  $Z > 0$  وشحنة الجسيم  $Z' = -1$  (الكترن)، وبما أن

$$k = l \sqrt{-\frac{2m_0 E}{\hbar^2}}$$

فإن يمكن الحصول من (15.23) على طيف طاقة الذرات الشبيهة بالهيدروجين (12.41) التالى:

$$E_n = -\frac{Z^2 e_0^4 m_0}{2\hbar^2 n^2}$$

وهكذا نجد طريقة أخرى، مكافئة لمعادلة شرودينجر، لدراسة الحالات الراسخة المرتبطة هى طريقة مسارات ريجى.

( ب ) التجاوب ( الطنين ) . نلاحظ أن أقطاب ريجى يمكن أن تعين ،  
بالإضافة إلى الحالات المرتبطة السابقة ، ما يسمى بالحالات شبه الراسخة  
أو حالات التجاوب التى تتميز بالقيم العقدية بالنسبة للطاقة ، أى أن :

$$E = E_0 - i\hbar\lambda/2$$

حيث  $E_0 > 0$  أما المقدار الصغير  $\lambda > 0$  فيساوى احتمال انحلال الطنين لأن  
مربع طولية التابع الموجى يساوى احتمال الحالة التى ندرسها

$$\omega_0 = |\psi|^2 = \text{const } e^{-\lambda t}$$

وهى تتضاءل أسيا مع مرور الزمن ، أنظر أيضا العلاقة ( 5.130 ) ،  
ولا يبقى عندئذ فى الحل المتقارب ، عندما  $r \rightarrow \infty$  ، سوى الموجة  
المتباعدة :

$$u_l \underset{r \rightarrow \infty}{\simeq} g_l e^{ikr}, \quad k = \sqrt{\frac{2m_0 E}{\hbar^2}}$$

وهذا يعنى بالضبط أنه نتيجة للانحلال يذهب الجسيم إلى اللانهاية ، ولتعين  
ثابت الانحلال  $\lambda$  نفرض أن مسار ريجى يمر قريبا من المحور الحقيقى  
بجانب القيم الحقيقية الصحيحة الموجبة للعزم  $l$  :

$$\alpha(E_0) = l_0 = l_l + i l_{ll} \quad (15.25)$$

حيث  $l_l = \text{Re} \alpha(E_0) = 0, 1, 2, \dots$  أما التصحيح العقدى  $l_{ll}$  فهو ، طبقا لما  
برهنناه سابقا ، مقدار موجب ( $l_{ll} > 0$ ) وعندئذ يكون  $l_{ll} \ll 1$  . وهكذا يمكن  
النشر حول القطب  $l_0$  كما يلى :

$$f_l(E) \simeq \left( \frac{\partial f_l}{\partial l} \right)_0 (l - l_0) + \left( \frac{\partial f_l}{\partial E} \right)_0 (E - E_0) \quad (15.26)$$

وعلى مسارات ريجى ، حيث  $f_{l_0}(E_0) = 0$  يكون

$$\left(\frac{\partial f}{\partial I_0}\right)_0 dI + \left(\frac{\partial f}{\partial E}\right)_0 dE = 0$$

أى

$$\frac{(\partial f / \partial E)_0}{(\partial f / \partial I)_0} = - \left(\frac{\partial I}{\partial E}\right)_0 = - \frac{\partial \alpha}{\partial E_0}$$

وعندئذ نجد في النقط  $l = l_i = 0, 1, 2, \dots$

$$f_l(E) = \left(\frac{\partial I_l}{\partial E}\right)_0 \left[ E - E_0 + i l_{II} / \left(\frac{\partial \alpha}{\partial E_0}\right) \right] \quad (15.27)$$

ان أصفار التابع  $f_l(E)$  ، كما يتضح من هذه العلاقة ، تقابل القيم العقدية للطاقة من النوع (15.24) بالإضافة أن قيمة  $\lambda$  تعطى بالعلاقة :

$$\lambda = 2l_{II} / \hbar \left(\frac{\partial \alpha}{\partial E_0}\right) \quad (15.28)$$

ولكى تكون الحالة متخامدة مع الزمن يجب أن يكون المشتق  $\partial \alpha / \partial E_0$  موجبا . وهكذا نرى أن الحالات المرتبطة تتعين بواسطة مسارات ريجى ، فعندما تقطع هذه المسارات المحور الحقيقي في نقط تقابل قيما صحيحة موجبة  $l$  فإنها تعين الحالات المرتبطة ذات الطاقات السالبة ، وبازدياد قيم الطاقة حتى تصبح موجبة فإن مسارات ريجى تدخل نصف المستوى العقدي العلوى  $\text{Im} l > 0$  مارة بالقيم الفيزيائية  $l$  مما يسبب ظهور حالات الطنين . وان طريقة الأقطاب العقدية هذه ، الموضحة سابقا ، والتي لها تطبيقات كثيرة في الميكانيكا الكوانتية اللانسيبية ، تلعب دورا كبيرا الآن فى فيزياء الطاقات العالية ، حيث يمكن تصنيف الحالات المرتبطة وكذلك تصنيف التجاوبات لمسارات ريجى ، الخاصة بالجسيمات الأساسية بصورة مستمرة ، بالإضافة إلى استخلاص نتائج جوهرية جدا حول السلوك التقاربي للمقاطع الفعالة لتفاعلات الجسيمات ذات الطاقات العالية .



## البند ١٦ - الذرة في حقل مغناطيسي

لنكتب معادلة شرودينجر عند وجود حقلين كهربائي ساكن ( الكمون عددي (١) ومغناطيسي ( الكمون شعاعي  $A$  ) . ولهذا سننطلق من العبارة الكلاسيكية للطاقة

$$E = \frac{p^2}{2m_0} + e\Phi \quad (16.1)$$

حيث :

$$P = p - \frac{e}{c} A \quad (16.2)$$

هو الاندفاع الحركي . ولكي ننتقل إلى المعادلة الكوانتية لا بد لنا كالعادة أن نبدل في المعادلة ( 16.1 )  $p$  بالمؤثر

$$p \rightarrow \hat{p} = -i\hbar\nabla$$

ثم التأثير بالعبارة الناتجة على التابع الموجي  $\psi$  ، انظر أيضا ( 2.33 ) ، وبذلك نجد أن :

$$\left[ E - \frac{1}{2m_0} \left( p - \frac{e}{c} A \right)^2 - e\Phi \right] \psi = 0$$

ثم نحسب المقدار :

$$\left( p - \frac{e}{c} A \right)^2 \psi = \left( p^2 - \frac{e}{c} (pA) - \frac{e}{c} (Ap) + \frac{e^2}{c^2} A^2 \right) \psi$$

حيث يحق لنا في مجال التقريب الخطي اهمال الحدود اللامتناهية في الصغر من المرتبة الثانية  $e^2 A^2 / c^2$  ، وبما أن  $\text{div} A = 0$  للحقل المغناطيسي لذا فيمكن كتابة :

$$(pA) \psi = (Ap) \psi$$

وعندئذ تكتب معادلة شرودينجر للالكترونون في حالة وجود الحقلين الكهربائي والمغناطيسي بالشكل التالي :

$$\left( E - \frac{p^2}{2m_0} + \frac{e}{m_0c} (Ap) - e\Phi \right) \psi = 0 \quad (16.4)$$

أ) ظاهرة زيمان . لقد اكتشف زيمان سنة ١٨٩٦ ، أن الخطوط الطيفية للذرات الواقعة في حقل مغناطيسي تنقسم إلى عدة مركبات ، وقد سميت هذه الظاهرة فيما بعد بظاهرة زيمان ، ومنذ ذلك الحين تلعب ظاهرة زيمان دورا كبيرا في أبحاث بنية الذرة وبصورة خاصة في الأبحاث المتعلقة ببنيته المغناطيسية ولقد تطورت نظرية هذه الظاهرة جنبا إلى جنب مع الاكتشافات التجريبية الجديدة المتعلقة بالانقسام الزيماني . ولندرس قبل كل شيء ، بواسطة المعادلة (16.4) الانقسام الزيماني للخطوط الطيفية للذرات الشبيهة بالهيدروجين والموجودة في حقل مغناطيسي ثابت ومتجانس ويتجه باتجاه المحور  $z$  ، فإذا فرضنا في هذه الحالة أن :

$$e\Phi = -\frac{Ze_0^2}{r}, \quad \mathcal{H}_x = \mathcal{H}_y = 0, \quad \mathcal{H}_z = \mathcal{H} \quad (16.5)$$

$$A_x = -y\mathcal{H}/2, \quad A_y = x\mathcal{H}/2$$

فإننا نجد أن :

$$\frac{e}{m_0c} (Ap) = \frac{e\mathcal{H}}{2m_0c} \frac{\hbar}{i} \left( x \frac{\partial}{\partial y} - y \frac{\partial}{\partial x} \right) = -\frac{e_0\mathcal{H}}{2m_0c} L_z$$

حيث  $L_z = \frac{\hbar}{i} \frac{\partial}{\partial \varphi}$  مؤثر مسقط عزم الاندفاع على المحور  $z$  ، وبتعويض العلاقة الأخيرة في (16.4) نكتب معادلة شرودينجر للذرة في حقل مغناطيسي :

$$\left\{ \nabla^2 + \frac{2m_0}{\hbar^2} \left( E - \frac{e_0\mathcal{H}}{2m_0c} L_z + \frac{Ze_0^2}{r} \right) \right\} \psi = 0 \quad (16.6)$$

وعندئذ نرى تابعا موجبا يحقق المعادلة السابقة هو من الشكل التالي :

$$\psi_{nlm} = R_{nl}(r) Y_l^m(\theta, \varphi) \quad (16.7)$$

حيث  $Y_l^m$  هو التابع الكروي ، انظر ( 10.67 )، و  $R_{nl}(r)$  هو القسم القطرى للتابع الذى يصف الذرة الشبيهة بالهيدروجين ، انظر ( 12.37 ) . وليس من الصعب التأكد من ذلك إذا اعتبرنا العلاقة  $L_z Y_l^m = \hbar m Y_l^m$  التى يمكن بواسطتها ارجاع المعادلة ( 16.6 ) إلى الشكل :

$$\left\{ \nabla^2 + \frac{2m_0}{\hbar^2} \left( E' + \frac{Ze_0^2}{r} \right) \right\} \psi = 0 \quad (16.8)$$

حيث

$$E' = E - \hbar \frac{e_0^2 \mathcal{K}}{2m_0 c} m \quad (16.9)$$

وتتطابق المعادلة ( 16.8 ) تماما بشكلها الرياضى مع معادلة شرودينجر للذرات الشبيهة بالهيدروجين التى تعطى توابعها الخاصة بالعلاقة ( 16.7 ) أما لتعيين القيم الخاصة فنكتب العلاقة التالية :

$$E'_n = - \frac{\hbar R Z^2}{n^2}$$

ونحسب  $E_n$  طاقة الذرة الشبيهة بالهيدروجين المتواجدة فى حقل مغناطيسى

$$E_{nm} = - \frac{R \hbar Z^2}{n^2} + \frac{e_0^2 \mathcal{K} \hbar}{2m_0 c} m \quad (16.10)$$

ومنه نجد أن الحقل المغناطيسى يشوش التناظر المركزى لذا فهو بالتالى يفك الانطباق بالعدد الكوانتى المغناطيسى  $m$  الذى يتمتع به كل حقل مركزى ، وعند انتقال الالكترون من الحالة الكوانتية  $n, m$  إلى الحالة الكوانتية  $n', m'$  يجب أن يصدر شعاعا تواتره  $\omega$  :

$$\omega = \frac{E_{nm} - E_{n'm'}}{\hbar} = \omega_{nn'} + o(m - m') \quad (16.11)$$

حيث  $o$  تواتر لارمور

$$o = \frac{e_0^2 \mathcal{K}}{2m_0 c} \quad (16.11a)$$

وهكذا سيضاف إلى التواتر المعروف لطيف الذرة الشبيهة بالهيدروجين ما يلي

$$\omega_{na} = RZ^2 \left( \frac{1}{n'^2} - \frac{1}{n^2} \right)$$

أى سيضاف الانقسام الزيماني للخطوط الطيفية ، وإذا تذكرنا قوانين اختيار العدد الكوانتى المغناطيسى ( $\Delta m = 0, \pm 1$ ) (ظاهرة زيمان العددية) ، أى

$$\Delta \omega = 0 \quad \Delta m = 0, \pm 1$$

وتتطابق النتيجة الأخيرة مع النتيجة المعروفة التى حصل عليها لورنتز والتى تعتبر أن كل خط طيفى لذرة متواجدة فى حقل مغناطيسى لا بد أن ينقسم إلى اثنين أو ثلاثة خطوط طيفية ( لا تستطيع المركبة غير المزاحة المتعلقة بالاهتزاز على المحور z أن تظهر ) . ومن الملاحظ أن الانقسام الزيماني العادى للخطوط الطيفية ( ثلاثية وثنائية ) لا يرى إلا قليلا وخاصة فى الحالات التالية : ١ - فى الحقول المغناطيسية القوية ( ظاهرة باشين - باك ) ؛ ٢ - عندما يكون المجموع الكلى للمغزل فى الذرة مساويا للصفر ( عند الباراهيليوم مثلا حيث يوجد على السحابة الخارجية الكترونان اتجاه مغزلهما متعاكسان ) . وعلى العكس من ذلك نجد انقساماً أكثر تعقيدا ( أكثر من ثلاثة خطوط ) يسمى بظاهرة زيمان الشاذة المتعلقة بالخواص المغزلية للالكترونات ، وان ما يسمى بالتأثير المغزلى - المدارى يودى إلى ظهور البنية المضاعفة لطيف الذرة ، وينطبق الحقل المغناطيسى تنقسم المركبات المتباينة ، ولن يودى هذا الانقسام إلى تشويش البنية المضاعفة إذا كانت طاقته أقل من المسافة بين مركبات السوية المضاعفة . ولهذا ينبغى أن لا يكون الحقل المغناطيسى قويا جدا ، ولا يمكن بناء نظرية ظاهرة زيمان الشاذة إلا على أساس معادلة ديراك . ونستطيع تحليل ظهور الحد الاضافى فى الطاقة عند تطبيق الحقل المغناطيسى ، بقولنا أنه ناتج عن العزم المغناطيسى للذرة الذى يعطى الطاقة الاضافية

$$\Delta E^{\text{magn}} = -(\mu \mathcal{H}) = -\mu_z \mathcal{H} = -\frac{e_0 \hbar}{2m_0 c} m \mathcal{H}$$

ومنه نحصل على قيمة العزم المدارى

$$\mu_z = -\mu_0 m \quad (16.12)$$

حيث  $\mu_0$  هو العزم المغناطيسى العادى الذى يسمى بمغناطيون بور ويساوى

$$\mu_0 = \frac{e_0 \hbar}{2m_0 c} \simeq 9,3 \cdot 10^{-21} \text{ erg} \cdot \text{gauss}^{-1}$$

ويجب أن تكون العزوم المغناطيسية لكل الذرات ، مضاعفات لمغناطون

بور وإذا لاحظنا أن مسقط العزم الميكانيكى على المحور  $z$  هو  $L_z = \hbar m$  نحصل على العلاقة بين العزمين (العلاقة الجيرومغناطيسية) أى أن :

$$\frac{\mu_z}{L_z} = -\frac{e_0}{2m_0 c} \quad (16.13)$$

وهى العلاقة المعروفة أيضا من المفاهيم الكلاسيكية .

ب) مغزل الالكترون . توضح نظرية شرودينجر وجود العزمين الميكانيكى المدارى والمغناطيسى فقط للذرة ينتجان عن حركة الالكترون المشحون فى الذرة . والعلاقة الأساسية التى تبرز ذلك هى (16.13) لأنها تشير إلى النسبة بين العزمين المغناطيسى والميكانيكى المدارى ، ثم العلاقة (16.12) التى تؤكد أن عدد الاتجاهات الممكنة للحقل وللعزم المغناطيسى بالنسبة للمحور  $z$  يجب أن يكون فرديا لأن عدد الحالات المختلفة بالعدد الكوانتى المغناطيسى  $m$  يساوى  $2l + 1$  . ولقد برهنت الاختبارات التجريبية أن نتائج نظرية شرودينجر لا تنطبق مع المعطيات التجريبية التى أدى تحليلها إلى اكتشاف الخواص المغزلية للالكترونات ، وسنوجز فيما يلى نتائج هذه التجارب . لقد اختبر أينشتين - دى جاز ( ١٩١٥ ) فى تجاربهما العلاقة الجيرومغناطيسية (16.13) التى سنكتبها بالشكل التالى :

$$\frac{\mu_z}{L_z} = -g \frac{e_0}{2m_0c} \quad (16.14)$$

أما قيمة معامل لاندى  $g$  فتبين أنه لا يساوى الواحد وإنما  $g = 2$  (أما شتيرن وكيرلاخ فقد بينا عند دراسة حزمة الذرات فى الحالة  $s$  حيث ينعلم العزم المداريان ( الميكانيكى والمغناطيسى ) طبقاً لـ (16.12) أن للحزمة وهى فى الحالة  $s$ ، عزمًا مغناطيسيًا مسقطه على اتجاه معين  $z$  يمكن أن يأخذ القيمتين

$$\mu_z = \pm \mu \quad (16.15)$$

وبرهنت نتائج قياسات العزم  $\mu$  أنه يساوى مغناطون بور

$$\mu_0 = \frac{e_0 \hbar}{2m_0c} \quad (16.16)$$

ولفهم واستيعاب نتائج التجريبتين الكلاسيكيتين السابقتين افترض أولينبك وغودسميث أن للالكترون عزمًا ميكانيكيًا خاصًا وبالتالي عزمًا مغناطيسيًا أيضًا، وقد سمي هذا العزم الميكانيكى بمغزل الالكترون وذلك لربطه بدرجة حرية دورانية داخلية، والنموذج الكلاسيكى للمغزل هو الدوامة الدائرية، (وتعنى كلمة *to spin* الانكليزية غزل، لف) ويجب التأكيد هنا على أنه لا توجد أى نظرية كلاسيكية للمغزل. وطبقاً لنظرية أولينبك وغودسميث يساوى العزم الميكانيكى للالكترون  $\frac{1}{2}\hbar$  أى أن:

$$S_z = \pm \frac{\hbar}{2} \quad (16.17)$$

وهكذا ينبغى أن لا يساوى العدد الكوانتى الذى يميز مسقط المغزل على المحور  $z$  قيمة صحيحة وإنما نصف صحيحة ( $m_s = \pm 1/2$ ). يؤدى الاختلاف المميز للأعداد الكوانتية الصحيحة (المدارية  $l$  والمغناطيسية  $m$ ) عن انصاف الصحيحة (المغزلية  $m_s$ ) قبل كل شىء إلى اختلاف عدد الحالات الممكنة، فالأعداد الصحيحة دائماً تعطى عدداً فردياً من الحالات (عندما  $l = 0$  نجد حالة واحدة  $m = 0$  وعندما  $l = 1$  نجد ثلاث حالات

$m = 0, +1, -1$  وهكذا . . . ) . أما الأعداد نصف الصحيحة فتعطي دائما عددا زوجيا من الحالات ( مثلا عندما  $s = 1/2$  نجد حالتين هما  $m_s = +1/2, -1/2$  وعندما  $s = 3/2$  نجد أربع وهكذا . . . ) ولقد ظهرت فرضية الأعداد الكوانتية نصف الصحيحة قبل أولينك ، وغودسميث كمحاولة لفهم الانقسام الثنائي لحدود الذرات وحيدة القيمة الاتحادية أى أنها برهنت على وجوب تمييز مغزل الالكترون بأعداد كوانتية نصف صحيحة توافق اتجاهى عزمه المتعاكسين . فإذا اعتبرنا القيمة 2 للمقدار  $g$  الذى أثبتته تجارب أينشتين - دى جاز وأخذنا القيمة المقابلة للعزم الميكانيكى من (16.17) نرى أن مسقط العزم المغناطيسى الخاص على المحور  $z$  يجب أن يساوى

$$\mu_{sz} = - \frac{e\hbar}{m_0c} S_z = \mp \mu_0 \quad (16.18)$$

لم تؤد فرضية مغزل الالكترون إلى تفسير الخواص المغناطيسية فحسب وإنما أدت أيضا إلى تفسير الانقسام المضاعف للخطوط الطيفية للذرات .

**ج) معادلة باولى .** لقد كان باولى أول من اقترح معادلة موجية لانسبية تأخذ بعين الاعتبار العزم المغناطيسى الخاص للالكترون ، ولهذا فقد أضاف إلى الهاملتونيان العادى فى معادلة شرودينجر حدا يتعلق بتأثير العزم المغناطيسى الخاص للالكترون مع الحقل الخارجى  $\mathcal{H}$

$$V^P = - (\mu \mathcal{H}) \quad (16.19)$$

وعندئذ نكتب معادلة شرودينجر الراسخة

$$\{E - H^{\text{Sch}} + (\mu \mathcal{H})\} \psi = 0 \quad (16.20)$$

حيث  $H^{\text{Sch}}$  مؤثر هاملتون فى معادلة شرودينجر

$$H^{\text{Sch}} = \frac{1}{2m_0} \left( p - \frac{e}{c} A \right)^2 + e\Phi \quad (16.21)$$

ومن الضروري بعدئذ حساب المقادير الملائمة لوصف العزم المغناطيسي الخاص للالكترون . من المعلوم أن ادخال مفهوم المغزل مرتبط بإضافة عدد كوانتى رابع يجب أن يختص بالصفات الداخلية للالكترون ، ويمكن للتابع الموجى  $\Psi$  للجسيم أن يتبع ثلاثة أعداد كوانتية فقط موافقة لتكميم ثلاثة متحولات فراغية . ولوصف المغزل وتعريف العدد الكوانتى الرابع فرض باولى تابعين موجبين  $\Psi_1$  و  $\Psi_2$  عوضا عن تابع واحد  $\Psi$  ، وفى هذه الحالة سيصف التابع الموجى الأول أحد اتجاهات المغزل بينما يصف الثانى الاتجاه الآخر ، أما المعادلة الموجية نفسها فيجب أن تتألف من مجموع معادلتين ، أى أن :

$$\begin{aligned} a_{11}\Psi_1 + a_{12}\Psi_2 &= 0 \\ a_{21}\Psi_1 + a_{22}\Psi_2 &= 0 \end{aligned} \quad (16.22)$$

ويشكل معادلة واحدة من النوع المصفوفى :

$$(a)(\Psi) = \begin{pmatrix} a_{11} & a_{12} \\ a_{21} & a_{22} \end{pmatrix} \begin{pmatrix} \Psi_1 \\ \Psi_2 \end{pmatrix} = 0 \quad (16.23)$$

وذلك بالاستفادة من قانون جداء مصفوفتين  $(a)(b) = (c)$  ، حيث يساوى كل من عناصر المصفوفة الناتجة مجموع جداءات عناصر أسطر المصفوفة الأولى بما يقابلها من عناصر عمود المصفوفة الثانية

$$c_{ik} = \sum_n a_{in}b_{nk} \quad (16.24)$$

ولقد اقترح باولى اختيار التابع  $\Psi$  بشكل مصفوفة مؤلفة من عمود واحد  $\Psi = \begin{pmatrix} \Psi_1 \\ \Psi_2 \end{pmatrix}$  أما العزم المغناطيسى الخاص للالكترون فيكتب كما يلى :

$$\mu = -\mu_0\sigma' \quad (16.25)$$

حيث  $\mu_0$  - مغناطيون بور و  $\sigma'$  هي مصفوفات باولى الثلاث من الدرجة الثانية

$$\sigma'_1 = \begin{pmatrix} 0 & 1 \\ 1 & 0 \end{pmatrix}, \quad \sigma'_2 = \begin{pmatrix} 0 & -i \\ i & 0 \end{pmatrix}, \quad \sigma'_3 = \begin{pmatrix} 1 & 0 \\ 0 & -1 \end{pmatrix} \quad (16.26)$$



وسنرمز لها بـ  $\sigma'_i$  ( يرمز بنفس الحرف ولكن بدون الفتحة لمصفوفات ديراك من الدرجة الرابعة ) وهي تعبر عن مساقط متجه المغزل على المحاور الاحداثية . ومن السهل باستخدام قواعد جداء مصفوفتين ( 16.24 ) التأكد ان مصفوفات باولى تحقق الخواص التالية :

$$\sigma_1'^2 = \sigma_2'^2 = \sigma_3'^2 = I' \quad (16.27)$$

( ١ ) - ان مربع كل مصفوفة يساوى الواحد

$$\sigma_1'^2 = \sigma_2'^2 = \sigma_3'^2 = I' \quad (16.27)$$

( ٢ ) - ان المصفوفات المختلفة لا تتبادل مع بعضها وهي تحقق ما يلى :

$$\begin{aligned} \sigma_1' \sigma_2' &= -\sigma_2' \sigma_1' = i \sigma_3' \\ \sigma_2' \sigma_3' &= -\sigma_3' \sigma_2' = i \sigma_1' \\ \sigma_3' \sigma_1' &= -\sigma_1' \sigma_3' = i \sigma_2' \end{aligned} \quad (16.28)$$

فإذا بدلنا قيم هذه المصفوفات فى معادلة باولى نجد أنها تتحول إلى الشكل

$$\left\{ (E - 11 \text{Sch}^{\text{N}}) \begin{pmatrix} 1 & 0 \\ 0 & 1 \end{pmatrix} - \mu_0 \left[ \begin{pmatrix} 0 & 1 \\ 1 & 0 \end{pmatrix} \mathcal{H}_x + \begin{pmatrix} 0 & -i \\ i & 0 \end{pmatrix} \mathcal{H}_y + \begin{pmatrix} 1 & 0 \\ 0 & -1 \end{pmatrix} \mathcal{H}_z \right] \right\} \begin{pmatrix} \Psi_1 \\ \Psi_2 \end{pmatrix} = 0 \quad (16.29)$$

وهى مكافئة لمجموعة المعادلتين :

$$\begin{aligned} (E - H^{\text{Sch}} - \mu_0 \mathcal{H}_z) \Psi_1 - \mu_0 (\mathcal{H}_x - i \mathcal{H}_y) \Psi_2 &= 0 \\ (E - H^{\text{Sch}} + \mu_0 \mathcal{H}_z) \Psi_2 - \mu_0 (\mathcal{H}_x + i \mathcal{H}_y) \Psi_1 &= 0 \end{aligned} \quad (16.30)$$

ولندرس بصورة خاصة حركة الكترون فى حقل مغناطيسى يتجه باتجاه

(  $\mathcal{H}_x = \mathcal{H}_y = 0, \mathcal{H}_z = \mathcal{H}$  ) فإذا اعتبرنا أن ( 16.8 ) هو مؤثر هاملتون

فى معادلة شرودينجر عندما يتواجد الحقل المغناطيسى ، فنجد لوصف

الالكترون المعادلتين التاليتين :

$$\begin{aligned} \left\{ E + e_0 \Phi - \mu_0 \mathcal{H} m - \mu_0 \mathcal{H} - \frac{p^4}{2m_0} \right\} \Psi_1 &= 0 \\ \left\{ E + e_0 \Phi - \mu_0 \mathcal{H} m + \mu_0 \mathcal{H} - \frac{p^2}{2m_0} \right\} \Psi_2 &= 0 \end{aligned} \quad (16.31)$$

حيث يصف الحدان  $\mu_0 \mathcal{H} m$  و  $\pm \mu_0 \mathcal{H}$  تأثير العزمين المدارى والمغزلى على الترتيب مع الحقل المغناطيسى  $\mathcal{H}$ . وبصورة خاصة ينعدم العدد الكوانتى المغناطيسى  $m$  فى الحالة  $s$  ولهذا تكتب معادلة باولى بالشكل التالى :

$$\begin{aligned} (E + e_0 \Phi - \mu_0 \mathcal{H} - \frac{p^2}{2m_0}) \Psi_1 &= 0 \\ (E + e_0 \Phi + \mu_0 \mathcal{H} - \frac{p^2}{2m_0}) \Psi_2 &= 0. \end{aligned} \quad (16.32)$$

أى أن التابع الموجى  $\Psi_1$  يصف الحالة حيث يتجه العزم الميكانيكى الخاص للإلكترون باتجاه  $z$  أما  $\Psi_2$  فيصف الحالة المعاكسة. وهذان الاتجاهان المحتملان للعزم المغناطيسى الخاص هما ما ظهرا فى فى تجارب شتينر وكيرلاخ، وقد اقترح باولى اختيار التابع  $\Psi^+$ ، وهو ما يسمى بتابع هيرميت الموجى المقترن، بشكل مصفوفة  $\Psi^+ = (\Psi_1^*, \Psi_2^*)$  عناصرها مقترنة ومنقلة وبعبارة أخرى يمكن تبديل الأسطر بالأعمدة، فإن  $\Psi^+$  سيكون مصفوفة سطر عناصرها مقترنة عقديا بعناصر المصفوفة  $\Psi$ ، وعندئذ نحصل على عبارة الكثافة الاحتمالية التالية :

$$\Psi^+ \Psi = (\Psi_1^* \Psi_2^*) \begin{pmatrix} \Psi_1 \\ \Psi_2 \end{pmatrix} = \Psi_1^* \Psi_1 + \Psi_2^* \Psi_2 \quad (16.33)$$

التي تأخذ بعين الاعتبار اتجاهى المغزل، وبنفس الطريقة يجب أن نحصل على العناصر المصفوفية، فمثلا :

$$\Psi^+ \sigma_3 \Psi = (\Psi_1^* \Psi_2^*) \begin{pmatrix} 1 & 0 \\ 0 & -1 \end{pmatrix} \begin{pmatrix} \Psi_1 \\ \Psi_2 \end{pmatrix} = \Psi_1^* \Psi_1 - \Psi_2^* \Psi_2 \quad (16.34)$$

أى أن  $\Psi_1^* \Psi_1$ ،  $\Psi_2^* \Psi_2$  يصفان احتمال الحالات التي يمكن لمغزل الإلكترون أن يتجه باتجاه أو بعكس اتجاه  $z$  على الترتيب، فإذا علمنا طبقا لنظرية باولى عبارة العزم المغناطيسى الخاص، أى أن :

$$\mu = - \frac{e_0 \hbar}{2m_0 c} \sigma$$

وكذلك العلاقة بين العزمين المغناطيسي والميكانيكي التي تنتج من تجربة اينشتين - دي جاز

$$\mu = - \frac{e_0}{m_0 c} S$$

فإننا نجد :

$$S = \frac{1}{2} \hbar \sigma' \quad (16.35)$$

أى يتوافق مع الحقائق التجريبية الأخرى التي تبين أن مسقط المغزل على  $z$  يساوى  $\pm \hbar/2$  ، وبما أنه يعبر عن مؤثر المغزل بدلالة مصفوفات باولى فلا يجوز أن تتبادل مركباته ، وطبقا للمعادلتين ( 16.28 ) و ( 16.35 ) ، نستطيع كتابة العلاقات :

$$\begin{aligned} S_x S_y - S_y S_x &= i \hbar S_z \\ S_y S_z - S_z S_y &= i \hbar S_x \\ S_z S_x - S_x S_z &= i \hbar S_y \end{aligned} \quad (16.36)$$

مع ملاحظة أن ثمة علاقات تبادلية مشابهة كانت قد استنتجت لمركبات العزم المدارى ، انظر ( 10.75 ) و ( 10.76 ) ، التي هى مؤثرات مؤلفة من مشتقات . ولنلاحظ أيضا أن القيم المطلقة للعزمين المغناطيسي والميكانيكي قد أدخلت تجريبيا فى نظرية باولى .

( د ) فصل التوابع المغزلية عن الاحداثية . لندرس حركة الكترون فى حقل مغناطيسى متجانس  $\mathcal{H}$  ، وسنبرهن أن حل معادلة باولى فى هذه الحالة ستنتفك إلى جداء القسمين الاحداثى والمغزلى ، ولهذا نبحت عن الحل بالشكل التالى :

$$\begin{pmatrix} \Psi_1(r, t) \\ \Psi_2(r, t) \end{pmatrix} = \Psi(r, t) \begin{pmatrix} C_1(t) \\ C_2(t) \end{pmatrix} \quad (16.37)$$

وعندئذ من السهل أن نبرهن أن القسم الاحداثى من التابع الموجى  $\psi(r, t)$  يحقق معادلة شرودينجر العادية التى لا تهمل المغزل

$$i\hbar \frac{\partial \psi(r, t)}{\partial t} = H^{Sch} \psi(r, t) \quad (16.38)$$

أما القسم المغزلى فيمكن أن يحسب من المعادلة الآتية :

$$i\hbar \frac{\partial}{\partial t} \begin{pmatrix} C_1(t) \\ C_2(t) \end{pmatrix} = \mu_0 (\sigma' \mathcal{H}) \begin{pmatrix} C_1(t) \\ C_2(t) \end{pmatrix} \quad (16.39)$$

أما معايرة التوابع المغزلية فتتم بالشكل :

$$(C_1^* C_2^*) \begin{pmatrix} C_1 \\ C_2 \end{pmatrix} = C_1^* C_1 + C_2^* C_2 = 1, \quad (16.40)$$

وعندما يكون الحقل المغناطيسى ثابتا فيمكن حساب المركبة الزمنية فى المعادلات الأخيرة أيضا ولهذا نجعل :

$$\begin{pmatrix} C_1(t) \\ C_2(t) \end{pmatrix} = e^{-\frac{i}{\hbar} E_s t} \begin{pmatrix} C_1 \\ C_2 \end{pmatrix} \quad (16.41)$$

$$\psi(r, t) = e^{-\frac{i}{\hbar} (E - E_s) t} \psi(r) \quad (16.42)$$

وعندئذ لحساب الأقسام من التابع الموجى غير المتعلقة بالزمن وكذلك لحساب  $E_s$  نحصل المعادلتين التاليتين :

$$(E - E_s) \psi = H^{Sch} \psi \quad (16.43)$$

$$E_s \begin{pmatrix} C_1 \\ C_2 \end{pmatrix} = \mu_0 (\sigma' \mathcal{H}) \begin{pmatrix} C_1 \\ C_2 \end{pmatrix} \quad (16.44)$$

ثم نحسب القيم الخاصة لمسقط العزم المغزلى إذا اعتبرنا أن  $z$  موجه باتجاه الحقل وعندئذ تصبح المعادلة الأساسية :

$$S_z \begin{pmatrix} C_1 \\ C_2 \end{pmatrix} = \hbar \lambda \begin{pmatrix} C_1 \\ C_2 \end{pmatrix} \quad (16.45)$$

حيث

$$S_z = \frac{\hbar}{2} \begin{pmatrix} 1 & 0 \\ 0 & -1 \end{pmatrix} \quad (16.46)$$

وتكافئ المعادلة المصفوفية (16.45) مجموعة معادلتين جبريتين متجانستين هما :

$$\begin{aligned} \frac{1}{2}C_1 - \lambda C_1 &= 0 \\ \frac{1}{2}C_2 + \lambda C_2 &= 0 \end{aligned} \quad (16.47)$$

والحلول المعايرة لهذه المعادلات هي :

$$\lambda = \frac{1}{2}, \quad C\left(\frac{1}{2}\right) = \begin{pmatrix} 1 \\ 0 \end{pmatrix} \quad \lambda = -\frac{1}{2}, \quad C\left(-\frac{1}{2}\right) = \begin{pmatrix} 0 \\ 1 \end{pmatrix} \quad (16.48)$$

ومن الواضح أن الحل الأول يوافق الحالة عندما يتجه المغزل باتجاه  $z$  والثاني عندما يتجه المغزل بعكس اتجاه  $z$  ، وطبقا لـ (16.44) تساوى طاقة كل من الحالتين :

$$E_s = \mu_0 \mathcal{H} \quad , \quad \lambda = \frac{1}{2} \quad , \quad E_s = -\mu_0 \mathcal{H} \quad , \quad \lambda = -\frac{1}{2} \quad (16.49)$$

هـ) **الالكترونون في الحقل المغناطيسى** . لنفرض أن الحقل الكهربائى يساوى الصفر  $\Phi = 0$  ويوجد حقل مغناطيسى متجانس  $\mathcal{H}$  ، وفى هذه الحالة يمكن حل معادلة شرودينجر بصورة دقيقة كما فى مسألة كبلر . وعندئذ يتعين القسم المغزلى من التابع الموجى والطاقة المقابلة له طبقا للعلاقتين (16.48) و (16.49) اللتين حصلنا عليهما فى الفقرة (د) ، ولندرس المعادلة (16.3) حيث سنجعل  $\Phi = 0$  وسنأخذ فيها الحدود من المرتبة الثانية للكمون المتجه  $A$  بالاضافة إلى الحدود الخطية ، وعندئذ نجد بواسطة العلاقات (16.5) التى يجب أن نضع فيها  $Z = 0$  لطاقة الكمون ، أن :

$$\left\{ \frac{p^2}{2m_0} + \frac{e_0^2 \mathcal{H}^2}{8m_0 c^2} (x^2 + y^2) + \frac{e_0 \mathcal{H}}{2m_0 c} L_z \right\} \psi = E \psi \quad (16.50)$$

وينبغى البحث عن حل لهذه المعادلة ، التى وضع فيها الكمون المتجه بالشكل المتناظر (16.5) ، فى الاحداثيات الاسطوانية  $r, \varphi, z$  التى ترتبط بالاحداثيات الديكارتية  $x, y, z$  بالعلاقات

$$x = r \cos \varphi, \quad y = r \sin \varphi, \quad z = z \quad (16.51)$$

وهكذا يكون

$$r^2 = x^2 + y^2 \quad (16.52)$$

فإذا لاحظنا العبارة العامة لللابلاسيان في الاحداثيات المنحنية (10.14) فيمكن كتابة (16.50) بواسطة (16.51) بالاحداثيات الاسطوانية الشكل :

$$-\frac{\hbar^2}{2m_0} \left[ \frac{\partial^2}{\partial r^2} + \frac{1}{r} \frac{\partial}{\partial r} + \frac{1}{r^2} \frac{\partial^2}{\partial \varphi^2} + \frac{\partial^2}{\partial z^2} - \gamma^2 r^2 + 2i\gamma \frac{\partial}{\partial \varphi} \right] \psi = E\psi \quad (16.53)$$

حيث  $\gamma = e_0 \mathcal{H} / 2\hbar c$  ونبحث عن حل المعادلة الأخيرة بشكل يراعى فصل المتحولات :

$$\psi = \frac{e^{il\varphi}}{\sqrt{2\pi}} \frac{e^{ikz}}{\sqrt{L}} R(r) \quad (16.54)$$

حيث  $l$  هو عدد كوانتى سمتى يأخذ القيم  $l = 0, \pm 1, \pm 2, \dots$  و  $k_3$  هو مسقط العدد الموجب على  $z$  ، وعندئذ نحصل لحساب القسم القطرى  $R(r)$  على المعادلة التالية :

$$\left( \frac{d^2}{dr^2} + \frac{1}{r} \frac{d}{dr} - \frac{l^2}{r^2} - 2\gamma l - \gamma^2 r^2 + \frac{2m_0 E}{\hbar^2} - k_3^2 \right) R = 0 \quad (16.55)$$

التي يمكن ردها إلى شكل أبسط إذا استعملنا المتحول العدى  $\rho = \gamma r^2$  حيث نجد أن :

$$\left( \rho \frac{d^2}{d\rho^2} + \frac{d}{d\rho} + \lambda - \frac{l}{2} - \frac{\rho}{4} - \frac{l^2}{4\rho} \right) R = 0 \quad (16.56)$$

حيث :

$$\lambda = \frac{2m_0 E - \hbar^2 k_3^2}{4\gamma \hbar^2} \quad (16.57)$$

وسنعتبر فى البدء أن العدد المدارى  $l \geq 0$  ، وعندئذ يمكن التعبير عن حل

المعادلة (16.56) باعتبار السلوك التقاربي للتابع القطرى بالشكل التالى :

$$R \sim e^{-\rho/2} \quad (\rho \rightarrow \infty), \quad R \sim \rho^{l/2} \quad (\rho \rightarrow 0) \quad (16.58)$$

أى يمكن التعبير عنه من خلال تابع لاجير المعطى فى البند ١٣ ، انظر (13.24) ، وهكذا نكتب حل (16.56) المحدود بين الصفر واللانهاية كما يلي :

$$R_{ns}(\rho) = \text{const } I_{ns}(\rho) \quad (16.59)$$

حيث يساوى تابع لاجير :

$$I_{ns}(\rho) = \frac{1}{\sqrt{n!s!}} e^{-\rho/2} \rho^{\frac{n-s}{2}} Q_s^{n-s}(\rho) \quad (16.60)$$

وحيث  $Q_s^{n-s}$  هو كثير حدود لاجير ، انظر (12.36) . فيما يتميز الحل (16.59) بالاعداد القطرية الكوانتية ...  $s = 0, 1, 2, \dots$  التى تعطى درجة كثير الحدود  $Q_s^{n-s}$  . ولكى يكون التابع الباقى بعد عزل الحل التقاربي (16.58) كثير حدود ، كما رأينا فى البند ١٣ ، ينبغى أن ترتبط معاملات المعادلة (16.56) بـ  $s$  بالعلاقة التالية :

$$\lambda - \frac{l}{2} - \frac{l+1}{2} = s \quad (16.61)$$

أى أن  $\lambda = l + s + \frac{1}{2} = n + \frac{1}{2}$  حيث  $n = l, l+1, l+2, \dots$  هو العدد الكوانتى الرئيسى ، وإذا بدلنا هنا قيمة  $\lambda$  من (16.57) نجد لحساب الطاقة المعادلة التالية :

$$\frac{2m_0 E - \hbar^2 k_3^2}{4\hbar^2} = n + \frac{1}{2} \quad (16.62)$$

ومنه نجد طيف طاقة الالكترتون المتحرك في حقل مغناطيسي :

$$E = \hbar\Omega \left( n + \frac{1}{2} \right) + \frac{\hbar^2 k_3^2}{2m_0} \quad (16.63)$$

حيث  $\Omega = e_0 \mathcal{H} / m_0 c$  - التواتر الدورى و  $\hbar k_3$  هى القيمة (المستمرة) لمسقط الاندفاع على المحور  $z$  الموجه باتجاه الحقل ( $-\infty < k_3 < \infty$ ) هذا ويمثل الحد الأول فى المجموع (16.63) أى الحد

$$E_{\perp} = \hbar\Omega \left( n + \frac{1}{2} \right) \quad (16.64)$$

طاقة الحركة العرضانية التى تبدو مكممة خلافا لطاقة الحركة الطولانية  $\hbar^2 k_3^2 / 2m_0$  وهكذا نحصل على سويات منقطعة (لانداو 1930) تعطى بواسطة الأعداد الكوانتية الرئيسية  $n$  (معادلة لانداو) ويكتب الحل العام المعابير على الواحد لمعادلة شرودينجر للالكترتون فى حقل مغناطيسى بعد دمج المساواتين (16.54) و (16.59) وبفرض  $\text{const} = \sqrt{2\gamma}$  بالشكل التالى :

$$\psi_{nsk} = \frac{e^{i\ell\varphi}}{\sqrt{2\pi}} \frac{e^{ik_3 z}}{\sqrt{L}} \sqrt{2\gamma} I_{ns}(\gamma r^2) \quad (16.65)$$

ومن هنا نلاحظ انطباق طيف الطاقة (16.63) لأنه لا يتعلق بالعدد الكوانتى القطرى  $s$  ويسهل فهم معنى الأعداد الكوانتية  $n, s$  عند الانتقال إلى الحالة الكلاسيكية ، ولهذا تكتب العلاقة الكلاسيكية بين متجه موضع المتحرك الذى تكتب سرعته عندما تتم الحركة فى الحقل المغناطيسى بفرض غياب الحركة الطولية ( $k_3 = 0$ )

$$\frac{-m_0 v^2}{R} = \frac{e_0}{c} \mathcal{H} v \quad (16.66)$$



ومن هنا نجد عبارة الطاقة

$$E_{\perp} = \frac{m_0 v^2}{2} = \frac{(e_0 \mathcal{H} R)^2}{2m_0 c^2}$$

وبمقارنتها مع العلاقة الكمية ( 16.64 ) نجد أن :

$$R = \sqrt{\frac{n + \frac{1}{2}}{\gamma}} \quad (16.67)$$

ولنحسب الآن المتوسط التربيعى لبعدهم الالكترونون عن مركز الاحداثيات فى الحالة  $\psi_{nsk}$ .

$$\langle r^2 \rangle = \int \psi_{nsk}^* r^2 \psi_{nsk} d^3x = \frac{n+s+1}{\gamma} \quad (16.68)$$

ومن الضرورى لاستنتاج هذه المساواة استخدام علاقة تابع لاجير التالية :

$$x l_{ns} = (n+s) l_{ns} - 2(x l'_{ns} + \sqrt{ns} l_{n-1, s-1})$$

ثم اعتبار شرط المعايرة والتعامد ( 13.38 ) . ويمكن تفسير النتيجة ( 16.68 ) بالشكل التالى : لنفرض أن الحركة الكلاسيكية تحدث على مسار مرئى دائرى نصف قطره  $R$  يبعد مركزه  $a$  عن مركز الاحداثيات ويقع على المحور  $x$  ، وعندئذ ستكون معادلة مسار الالكترونون :

$$r^2 = R^2 + a^2 + 2aR \cos \varphi \quad (16.69)$$

ومتوسط مربع  $r$  فى هذه الحالة الكلاسيكية سيكون :

$$\bar{r}^2 = \frac{1}{2\pi} \int_0^{2\pi} d\varphi (R^2 + a^2 + 2aR \cos \varphi) d\varphi = R^2 + a^2 \quad (16.70)$$

نلاحظ الآن أن التابع  $\psi_{nsl}$  يصف حالة الإلكترون المتناظرة بالنسبة للمحور  $x$  المار من مبدأ الاحداثيات ، ولهذا السبب نستطيع بمقارنة العلاقتين الكلاسيكية ( 16.70 ) مع الكوانتية ( 16.68 ) أن نستخلص أن العدد الكوانتى  $s$  يرتبط مع متوسط مربع البعد  $a$  بين مركز الاحداثيات ومركز المسارات الدائرية المتناظرة بالنسبة للمحور  $z$  والموافقة للحركة الكلاسيكية ، أى أن :

$$a^2 = \frac{s + 1/2}{\gamma} \quad (16.71)$$

ونلاحظ أنه عندما  $l = n - s > 0$  يكون مركز الاحداثيات داخل المدارات الدائرية ( $R > a$ ) وعندما  $l = n - s < 0$  فإن المركز يقع خارجها ( $R < a$ ) . ويمكن دراسة الحالات التى تكون فيها  $l$  سالبة  $l = -1, -2, -3, \dots$  أيضا بواسطة المعادلة ( 16.65 ) إذا اعتبرنا العلاقة التى يحققها كثير حدود لاجير هى التالية :

$$Q_s^l(\rho) = (-1)^l \rho^{l+1} Q_{s-l}^{l+1}(\rho) \quad (16.72)$$

ومن الضرورى فى هذه الحالة أن يكون الوسيط الأدنى، أى درجة  $Q_{s-l}^{l+1}$  موجبة :  $s + l = s - |l| > 0$  ومن هنا ينتج أنه عندما  $l < 0$  سيتغير مجال الأعداد الكوانتية  $n, s$  بالمقارنة مع الحالة  $l > 0$  وسيكتب بالشكل التالى :

$$n = 0, 1, 2, \dots; \quad s = |l|, |l| + 1, |l| + 2, \dots \quad (16.73)$$

وعندئذ تتعين سويات الطاقة كما سبق بالمعادلة ( 16.64 ) ، أى أنها تتبع العدد الكوانتى الرئيسى  $n$  . ونلاحظ أيضا أن العدد الكوانتى  $l$  يمثل القيم الخاصة لمؤثر مسقط العزم الحركى القانونى  $L_z = [\mp p]$  المرتبط مع الاندفاع القانونى  $p$  . ويختلف هذا عن العزم الحركى المرتبط بالاندفاع

$P = p + \frac{e_0}{c} A$  . وفوحالة وجود الحقل المغناطيسي ( الكمون المتجه  $A \neq 0$  )  
 ولهذا فإن دوران الالكترتون يحافظ على اتجاهه الموجب ، كما هو متوقع ،  
 مهما كانت اشارة  $I$  . وتساعد المسألة المدروسة في هذا البند على فهم  
 الخواص المغناطيسية للمعادن .

ويجب أن تعطى الكترونات الناقلية ( الموصلية ) ، التي تعتبر حرة  
 تقريبا حسب التصورات الحديثة ، القسط الأساسي في تمغنت المعدن ، فعند  
 اعتبار التأثيرات المغزلية من الضروري اضافة العزم المغناطيسي الخارجى  
 الذى يمكن أن يتجه باتجاه أو بعكس اتجاه الحقل المغناطيسى المطبق ، انظر  
 ( 16.49 ) ، ومن المناسب أكثر من وجهة نظر الطاقة تصور التوجيه باتجاه  
 الحقل لأن هذا يؤدي إلى زيادة قابلية المعدن للتمغنت ، وهكذا فإن القابلية  
 المذكورة ترتبط بالعزم المغناطيسى الخاص لالكترونات المعدن أو أن  
 القابلية المغناطيسية المسايرة تكون ايجابية ( باولى ١٩٢٧ ) . أما تكميم  
 الحركة المدارية لالكترونات المعادن الحرة في حقل مغناطيسى فقد أدى إلى  
 ظهور عزم مغناطيسى كلى بعكس اتجاه الحقل وبالتالي فالقابلية المغناطيسية  
 المعاكسة للمعدن تتميز عن القابلية المغناطيسية ( تمغنت لاندوا المعاكسى  
 ١٩٣٠ ) . وتتعلق القابلية المغناطيسية أخيرا بدرجة الحرارة وشدة الحقل  
 المغناطيسى المطبق ، فعند درجات الحرارة العالية نسبيا  $T$  وحقول  
 مغناطيسية ضعيفة (  $\hbar \Omega = h e_0 \mathcal{H} / m_0 c \ll k_B T$  ، حيث  $k_B$  ثابت  
 بولسمان ) ويكون للتمغنت الالكترونى قابلية موجبة أى أن مغناطيسية  
 المسايرة تفوق مغناطيسية المعاكسة ، وعند زيادة شدة الحقل وخاصة عندما  
 $\hbar \Omega \gg k_B T$  يأخذ متوسط العزم المغناطيسى للتمغنت الالكترونى سلوكا  
 تذبذبيا .

و ( ذرة الهيدروجين في حقل مغناطيسى قوى . يؤدي تطبيق الحقل  
 المغناطيسى الضعيف نسبيا ، على الذرة إلى انقسام سويات الطاقة فيها أى

إلى ظاهرة زيمان المدروسة سابقا ، وعندئذ لا يتغير شكل الذرة نفسها . ولنفرض الآن أن الذرة تقع في حقل مغناطيسي قوى جدا بحيث تتحدد حركة الالكترونون في مستو معامد لاتجاه الحقل ، بصورة رئيسية بالحقل المغناطيسي لا بالحقل الكولوني للنواة ، ولهذا تتشوه الذرة بالاتجاه العرضاني ، بينما لا تتأثر الحركة بالاتجاه الطولاني كما لا تتأثر أبعاد الذرة في هذا الاتجاه . ومن السهل حساب الحقل المغناطيسي الذي يبدأ عنده تشوه السحابة الالكترونية ، ولهذا من الضروري مقارنة نصف قطر مدار بور  $a_0 = \hbar^2/m_0e^2$  مع البعد المميز لتوضع الالكترونات ، في الحقل وهى في الحالة الأساسية  $n = 0, s = 0$  الذى نحصل عليها من ( 16.67 ) ، أى مع المقدار  $a_{\mathcal{H}} = 1/\sqrt{2\gamma} = \sqrt{\hbar c/e_0 \mathcal{H}}$  فإذا كانت  $a_{\mathcal{H}} < a_0$  فإن للحقل المغناطيسى تأثيرا محدودا يؤدي إلى تعميم مفعول أقوى حقل مغناطيسى تشوهه عنده الذرة ، أى أن :

$$\mathcal{H} > \frac{m_0^2 c e_0^4}{\hbar^3} = \mathcal{H}_{kr} = 2,35 \cdot 10^{11} \text{ gauss}^{-1} \quad (16.74)$$

ولندرس بالتفصيل مسألة الذرة في حقل مغناطيسى قوى ولنكتب قبل كل شىء معادلة شرودينجر لالكترونون بوجود حقلين مغناطيسى متجانس وكولونى ، وهنا من الأسهل استخدام الاحداثيات الاسطوانية  $r, \varphi, z$  وستختلف المعادلة الناتجة عن المعادلة ( 16.53 ) بحد واحد هو الكمون  $V = -e_0^2/\sqrt{r^2 + z^2}$  ( حيث أن الشحنة  $Z = 1$  ) ، أى أن :

$$-\frac{\hbar^2}{2m_0} \left[ \frac{\partial^2}{\partial r^2} + \frac{1}{r} \frac{\partial}{\partial r} + \frac{1}{r^2} \frac{\partial^2}{\partial \varphi^2} + \frac{\partial^2}{\partial z^2} - \gamma^2 r^2 + 2i\gamma \frac{\partial}{\partial \varphi} \right] \psi - \frac{e_0^2}{\sqrt{r^2 + z^2}} \psi = E\psi \quad (16.75)$$

ولا يمكن فصل المتحولات فى هذه المعادلة بسبب وجود الحد الكولونى ،

إلا أنه من الممكن بتحقيق الشرط (16.74) ، أى أن نجد حلا تقريبا (16.75) لها إذا اعتبرنا وجوب تعيين الحركة العرضانية من الحقل المغناطيسى فقط . ولندرس الحالة الأساسية فى الحقل المغناطيسى  $n = 0$  عندما  $s = 0, l = 0$  ، وعندئذ يمكن البحث عن الحل بالشكل الآتى :

$$\psi(r, \varphi, z) = \frac{1}{\sqrt{2\pi}} I_{00}(\rho) \chi(z) \quad (16.76)$$

حيث  $I_{00}$  هو التابع المتعلق بالمتحول القطرى  $\rho = \gamma r^2$  ويساوى طبقا لـ (16.29) إلى

$$I_{00}(\rho) = e^{-\rho/2} \quad (16.77)$$

أما التابع  $\chi(z)$  المتعلق بـ  $z$  فهو قيد التعيين ، ولنبدل (16.76) فى (16.75) مع اعتبار أن (16.77) يحقق (16.56) بقيمة خاصة  $\lambda = 1/2$  وعندئذ نحصل على المعادلة التالية :

$$\left[ \frac{d^2}{dz^2} + \frac{2m_0}{\hbar^2} \left( E - \frac{\hbar\Omega}{2} \right) + \frac{2m_0}{\hbar^2} \frac{e_0^2}{\sqrt{r^2 + z^2}} \right] \chi(z) \frac{e^{-\rho/2}}{\sqrt{2\pi}} = 0 \quad (16.78)$$

ولنضرب هذه المعادلة  $e^{-\rho/2}/\sqrt{2\pi}$  ولنأخذ التكامل فى المستوى  $xy$  بالاحداثيات  $r, \varphi$  . وبما أن التكامل بالمتحول  $\rho$  يساوى  $2\pi$  وأن الحد الأخير فقط ضمن الفرض (16.78) هو ما يتعلق بـ  $r$  فإننا نجد النتيجة التالية :

$$\left[ \frac{\hbar^2}{2m_0} \frac{d^2}{dz^2} + E - \frac{\hbar\Omega}{2} + e_0^2 \sqrt{\gamma} \int_0^\infty \frac{d\rho e^{-\rho}}{\sqrt{\rho + \gamma z^2}} \right] \chi(z) = 0 \quad (16.79)$$

ولندرس أيضا حالات الذرة التي تتحدد فيها أبعادها على طول  $z$  بالحد الكولونى أى أن  $\langle z^2 \rangle \sim a_0^2$  ، وطبقا لهذا الشرط يكون  $a_0 \gg a_x$  وهذا يعنى  $\langle z^2 \rangle \gg a_x^2$  أو  $\psi(z^2) \gg 1$  وهكذا نستطيع اهمال المقدار  $\rho$  تحت الجذر فى العبارة المستكملة وهذا ما يعطى :

$$\frac{\hbar^2}{2m_0} \frac{d^2\chi}{dz^2} + \frac{e_0^2}{|z|} \chi + \left(E - \frac{\hbar\Omega}{2}\right) \chi = 0 \quad (16.80)$$

وهى معادلة شرودينجر فى الحقل الكولونى المتجانس  $|z| e_0^2$  ، وبتعويض المقدار  $\chi = z\varphi(z)$  تتحول المعادلة إلى الشكل العياري

$$\frac{d^2\varphi}{dz^2} + \frac{2}{z} \frac{d\varphi}{dz} + \frac{2m_0}{\hbar^2} \left(E - \frac{\hbar\Omega}{2} + \frac{e_0^2}{|z|}\right) \varphi = 0 \quad (16.81)$$

وهى نفس المعادلة التى يحققها القسم القطرى فى مسألة كبلر (12.4) للحالة  $l = 0$  أما الطيف المقابل فمعلوم وهو يعطى بالعلاقة (12.18) أى أنه يساوى فى حالتنا هذه إلى :

$$E - \frac{\hbar\Omega}{2} = -\frac{m_0 e_0^4}{2\hbar^2 n_z^2} \quad (16.82)$$

حيث  $n_z = 1, 2, 3, \dots$  . أما الحل  $\varphi(z)$  فمعلوم أيضا ويعبر عنه بالعلاقة (12.40) عندما  $l = 0$  ، والصيغة المميزة لهذه الحلول هى انخفاضها الأسى

---

• نلاحظ أنه بالإضافة إلى الحالات المشار إليها يمكن أن تتواجد حالة أخرى (أساسية) تابعها الموجى يختلف عن الصفر عندما  $|z| = a_0$  . لكننا سنهمل هذه الحالة هنا .

عندما  $z > a_0$  ، وفي الحالة  $n_z = 1$  نحصل على الحد التالي :

$$\chi_1 = Cze^{-z/a_0} \quad (16.83)$$

بينما يسلك التابع الموجى فى الاتجاه العرضانى سلوكا أسيا وفقا لـ (16.77) كالتابع  $\exp(-\rho/2) = \exp(-r^2/4a_0^2)$  أى أنه يتخامد على مسافات أكثر قربا من مركز الاحداثيات أى عندما  $r \sim a_0 \ll a_0$  ، وهكذا. نرى أن الحقل المغناطيسى القوى جدا يشوه الذرة بالاتجاه العرضانى مما يعطيها شكلا أهليلجيا (بيضويا) . ولنلاحظ أنه لحدوث ذلك لا بد أن تتوفر حقول مغناطيسية تحدد شدتها بالعلاقة (16.74) ويمكن أن يتحقق ذلك ، طبقا للتصورات الحديثة ، على سطوح بعض الأجرام الفلكية وتعتبر النجوم النترونية من هذا الصنف وهى تحدث نتيجة الضغط على سطوح النجوم المشتتة الجديدة ولهذا فلن متابعة دراسة بنية المادة ، ضمن مفهوم الحقول المغناطيسية القوية جدا، تلقى اهتماما كبيرا .

## القسم الثانى

# الميكانيكا الكوانتية النسبية

البند ١٧ - معادلة كلين - جوردون الموجية النسبية العددية

أ ( الميكانيكا الكلاسيكية النسبية ومعادلة كلين - جوردون . تطبق معادلة شرودينجر التى درسناها سابقا بإسهاب على دراسة حركة الجسيمات التى سرعتها أقل بكثير من سرعة الضوء  $c$  لكنها تتغير عندما نطبق عليها تحويلات النظرية النسبية الخاصة ( تحويلات لونتير ) لأن الزمن والاحداثيات لا تدخل فيها بشكل متشابه فهى تحوى على مشتقات من الدرجة الأولى بالنسبة للزمن وعلى مشتقات من المرتبة الثانية بالنسبة للاحداثيات فى الوقت الذى تحتاج فيه النظرية النسبية إلى شكل متجانس بالنسبة للاحداثيات والزمن . وللحصول على المعادلة الموجية النسبية سننطلق من العلاقة الكلاسيكية النسبية بين الكتلة والطاقة التى نكتبها أولا للجسيمات الحرة ، أى أن :

$$E = \sqrt{c^2 p^2 + m_0^2 c^4} \quad (17.1)$$

وبعدئذ سنستخدم نفس الأسلوب الذى استخدمناه أثناء الحصول على المعادلة اللانسبية أى بتبديل كل من الطاقة وكمية الحركة بالموثرين :

$$E \rightarrow E = -\frac{\hbar}{i} \frac{\partial}{\partial t}, \quad p \rightarrow p = \frac{\hbar}{i} \nabla \quad (17.2)$$



إلا أنه من غير الواضح كيف سيؤثر المؤثر الموجود تحت الجذر على التابع الموجي .. ولهذا عند الانتقال من المعادلة الكلاسيكية إلى الموجية يجب أولاً التخلص من الجذر التربيعي ويجوز ذلك بطريقتين : أما أن نربع الطرفين ونحصل على معادلة كليف - جوردن العددية أو أن نستخرج الجذر بواسطة المصفوفات ونحصل على معادلة ديراك المغزلية التي تأخذ بعين الاعتبار التأثيرات المغزلية بالإضافة إلى التأثيرات النسبية ( التي تظهر في معادلة كلين - جوردون ) . وسندرس في هذا البند الأسلوب الأول الذي طوره العالم فوك ، فنربع طرفي المعادلة ( 17.1 ) حيث نجد أن

$$E^2 - c^2 p^2 - m_0^2 c^4 = 0 \quad (17.3)$$

فإذا عوضنا المؤثرين بقيمتها من ( 17.2 ) نحصل على معادلة كلين - جوردون للجسيم الحر التالية :

$$(c^2 \hbar^2 \nabla^2 - \hbar^2 \frac{\partial^2}{\partial t^2} - m_0^2 c^4) \psi = 0 \quad (17.4)$$

وعند وجود حقل كهربيسي لا بد من استخدام المؤثرين المعممين التاليين :

$$E \rightarrow F = -\frac{\hbar}{i} \frac{\partial}{\partial t} - e\Phi \quad (17.5)$$

$$p \rightarrow P = \frac{\hbar}{i} \nabla - \frac{e}{c} A$$

وعندئذ نحصل على المعادلة النسبية التي تطبق عند وجود الحقل ، أي أن :

$$[(-\frac{\hbar}{i} \frac{\partial}{\partial t} - e\Phi)^2 - c^2 (\frac{\hbar}{i} \nabla - \frac{e}{c} A)^2 - m_0^2 c^4] \psi = 0 \quad (17.6)$$

\* ان التابع الموجي  $\psi$  في ( 17.4 ) يتبع الاحداثيات  $r$  والزمن  $t$  ، وعلى كل حال يمكن للقارىء أن يدرك بسهولة فيما إذا كان التابع الموجي يتعلق بالزمن ( مثلاً عندما نحوى المعادلة على مشتقات بالنسبة للزمن ) ولهذا ان نشير إلى تبعية الزمن إلا في الحالة التي لا تكون التبعية فيها واضحة تماماً .  
\*\* عند وجود الحقل في الحالة الكلاسيكية نحصل على العلاقات التالية :

$$E = \sqrt{c^2 P^2 + m_0^2 c^4} + e\Phi \quad F = \sqrt{c^2 p^2 + m_0^2 c^4}$$

وهو ما يتلأم مع المؤثرين ( 17.5 )

ان المعادلة (17.6) والمعادلة الكلاسيكية (17.1) ، خلافا لمعادلة شرودينجر ، هما معادلتان لا تتغيران بالنسبة لتحويلات لونتز لأن الزمن والاحداثيات تدخل فيها بشكل متشابه وعلى نفس الأسس ، ويمكن أن نكتب المساواة (17.6) في الحالة النسبية بالشكل الأعم التالي :

$$(P_t^2 - P^2 - m_0^2 c^2) \psi = 0$$

حيث

$$P_t = \frac{F}{c}$$

ب ) كثافة الشحنة وكثافة التيار . سنحسب كثافة الشحنة وكثافة التيار بغياب الحقل الكهرطيسي (  $\Phi = A = 0$  ) ولا بد كذلك ، كما هو الحال في نظرية شرودينجر من كتابة معادلة الاستمرارية التالية :

$$\text{div } j + \frac{\partial \rho}{\partial t} = 0 \quad (17.7)$$

وهي كما نعلم معادلة معممة نسبيا . ولنضرب المعادلة (17.4) من اليسار ب  $\psi^*$  وكذلك المعادلة المرافقة لها عقديا التي نحصل عليها من (17.4) بتبديل  $\psi$  ب  $\psi^*$  وبعد أن نطرحهما طرفا من طرف نجد المعادلة

$$\psi^* \nabla^2 \psi - \psi \nabla^2 \psi^* - \frac{1}{c^2} \left( \psi^* \frac{\partial^2}{\partial t^2} \psi - \psi \frac{\partial^2}{\partial t^2} \psi^* \right) = 0 \quad (17.8)$$

التي يمكن تحويلها إلى الشكل التالي :

$$\text{div} \{ \psi \text{ grad } \psi^* - \psi^* \text{ grad } \psi \} + \frac{1}{c^2} \frac{\partial}{\partial t} \left\{ \psi^* \frac{\partial}{\partial t} \psi - \psi \frac{\partial}{\partial t} \psi^* \right\} = 0 \quad (17.9)$$

وإذا عرفنا كثافة الشحنة وكثافة التيار على الترتيب بالعلاقتين :

$$\rho = \frac{ie\hbar}{2m_0 c^2} \left[ \psi^* \frac{\partial \psi}{\partial t} - \left( \frac{\partial \psi^*}{\partial t} \right) \psi \right] \quad (17.10)$$

$$j = \frac{e\hbar}{2im_0} [\psi^* \nabla \psi - (\nabla \psi^*) \psi] \quad (17.11)$$

فإننا نلاحظ أنهما تحققان معادلة الاستمرارية (17.7) بالاضافة إلى أنهما تؤلفان متجها في الفراغ الرباعي هو :

$$j_\mu = \frac{e\hbar}{2m_0 i} \left[ \psi^* \frac{\partial \psi}{\partial x_\mu} - \left( \frac{\partial \psi^*}{\partial x_\mu} \right) \psi \right] \quad (17.12)$$

حيث

$$x_4 = ict, \quad i_4 = icp \quad (17.13)$$

وتتطابق عبارة كثافة التيار (17.11) مع الحالة اللانسيبية (2.26) ، أما كثافة الشحنة فهي تؤول إلى الحالة اللانسيبية عندما  $v \ll c$  ، انظر (2.26) ، وفي الحقيقة إذا بدلنا  $E \rightarrow i\hbar \frac{\partial}{\partial t}$  انظر (17.4) ، فإننا نجد بواسطة (17.10) العبارة التالية :

$$\rho = \frac{eE}{m_0c^2} \psi^* \psi \quad (17.14)$$

التي تؤول في التقريب اللانسيبي  $E = m_0c^2$  إلى الشكل العادي  $\rho = e\psi^*\psi$  . إلا أنه في النظرية النسبية من الممكن الحصول على حل ثان من أجل القيم السالبة للطاقة  $E (E < 0)$  مما يعطى اشارة معاكسة للشحنة  $e$  في عبارة الكثافة  $\rho$  . وهكذا نرى أنه من خلال المعادلة النسبية نستطيع دراسة الجسيمات ذات الشحنة الموجبة بالإضافة إلى الجسيمات ذات الشحنة السالبة ( مثلا الميزونات -  $\rho$  المشحونة التي نطبق عليها هذه المعادلة ) . غير أن مفهوم كثافة الجسيمات خلافا لمفهوم كثافة الشحنة :

$$\rho_0 = \frac{\rho}{e} = \frac{i\hbar}{2m_0c^2} \left[ \psi^* \frac{\partial \psi}{\partial t} - \frac{\partial \psi^*}{\partial t} \psi \right] \quad (17.15)$$

يفقد معناه في الحالة العامة لأن العبارة السابقة ليست مقدارا معيناً موجبا ، خلافا للعبارة المقابلة في النظرية اللانسيبية التالية \* :

$$\rho_0 = \psi^* \psi \quad (17.16)$$

ج ( النظرية النسبية لذرة الهيدروجين ( باهمال مغزل الالكترين ) )

يجب حل هذه المسألة بواسطة التابع الموجي (17.6) الذي فيه :

$$A = 0, \quad e\Phi = V = -\frac{Ze_0^2}{r} \quad (17.17)$$

وعندئذ نجد أن

$$\nabla^2 \psi + \frac{1}{c^2 \hbar^2} \{ (E - V)^2 - m_0^2 c^4 \} \psi = 0 \quad (17.18)$$

\* يمكن اعتبار أن  $\rho_0$  مجرد اصطلاح يستخدم عندما تتواجد جسيمات طاقاتها موجبة .

وبما أن الطاقة الكامنة في هذه المعادلة لا تتعلق بالزمن فيمكن تحويل المعادلة السابقة إلى الحالة المستقرة إذا فصلنا من الطاقة الكلية، التي تعتبر موجبة  $E + m_0c^2 > 0$  ، الطاقة الذاتية للجسيم  $m_0c^2$  وهكذا نكتب :

$$\psi(r, t) = \psi(r) \exp\left[-\frac{i}{\hbar}(E + m_0c^2)t\right] \quad (17.19)$$

ثم إذا حسبنا بعد ذلك تأثير مؤثر الطاقة على التابع  $\psi$  السابق ، أى أن :

$$E\psi(r, t) = (E + m_0c^2)\psi(r) \exp\left[-\frac{i}{\hbar}(E + m_0c^2)t\right] \quad (17.20)$$

نجد أن المعادلة (17.18) تأخذ الشكل التالى :

$$\nabla^2\psi + \frac{1}{c^2\hbar^2} \left[ \left( E + m_0c^2 + \frac{Ze_0^2}{r} \right)^2 - m_0^2c^4 \right] \psi = 0 \quad (17.21)$$

وكما هو الحال فى نظرية شرودينجر ، سنبحث عن الحل بالشكل التالى :

$$\psi = R(r) Y_l^m(\theta, \varphi) \quad (17.22)$$

وعندئذ نحصل على القسم القطرى الآتى :

$$\left( \nabla_r^2 - A + \frac{2B}{r} - \frac{l(l+1) - \alpha^2 Z^2}{r^2} \right) R = 0 \quad (17.23)$$

حيث  $\alpha = \frac{e_0^2}{\hbar c} \approx \frac{1}{137}$  هو مقدار عديم البعد ويسمى بثابت البنية الدقيقة . أما

$A$  و  $B$  فهما ثابتان يعطيان بالعلاقتين :

$$A = \frac{m_0^2c^2}{\hbar^2} \left[ 1 - \left( 1 + \frac{E}{m_0c^2} \right)^2 \right] \quad (17.24)$$

$$B = \frac{m_0Ze_0^2}{\hbar^2} \left[ 1 + \frac{E}{m_0c^2} \right]$$

اللذين تؤولان إلى العبارة المقابلة فى النظرية اللانسيبية ، انظر البند ١٢ ، ولن تؤثر قيم  $A$  و  $B$  المحسوبة بشكل أكثر دقة ( دون اهمال التأثيرات النسبية ) على حل المعادلة الموجية النسبية بالمقارنة مع حل معادلة شرودينجر هذا ويمكن تفسير ظهور الحد الاضافى  $\frac{Z^2\alpha^2}{r^2}$  فى (17.23) كطاقة جذب اضافية نسبية متناسبة عكسا مع مربع البعد ، تلك الطاقة التى يمكن أن تغيّر فى بعض الحالات من شكل الحل ، وهذا ما سنراه بالتفصيل فيما بعد ،

ولندرس أولاً الحل التقاربي  $R_0$  عندما  $r \rightarrow 0$  ، قبل كل شيء ، يمكن كتابة (17.23) في هذه الحالة بالشكل :

$$\frac{1}{r} \frac{d^2(rR_0)}{dr^2} - \frac{l(l+1) - Z^2\alpha^2}{r^2} R_0 = 0 \quad (17.25)$$

ولنبحث عن الحل بالشكل التالي :

$$R_0 = Cr^s$$

وعندئذ نجد لحساب  $s$  المعادلة التالية :

$$s(s+1) - l(l+1) + Z^2\alpha^2 = 0 \quad (17.26)$$

وحلها الذي يكتب كالتالي :

$$s_{1,2} = -1/2 \pm \sqrt{(l+1/2)^2 - Z^2\alpha^2} \quad (17.27)$$

وفي هذه الحالة يكون :

$$R_0 = C_1 r^{s_1} + C_2 r^{s_2} \quad (17.28)$$

$$Z\alpha < 1/2$$

أما إذا كان  $Z\alpha < 1/2$  فإن كلا الجذرين  $s_1$  و  $s_2$  يكونان حقيقيين مهما كانت  $rR_0$  ، ويمكن عندئذ اختيار الحل  $R_0$  الذي لا يباعد المقدار  $l = 0, 1, 2, \dots$  بجوار الصفر ، أى يمكن أن نفرض  $C_2 = 0$  . ويجب عندئذ الاقتصار على الحل الأسى المتخامد عندما  $C_2 = 0$  فى عبارة التابع الموجب من أجل  $E < 0$  (عندما  $A > 0$ ) . وان تحديد الحلين التقاربين من كلا الجهتين يؤدي إلى حساب طيف الطاقة بنفس الطريقة التى حصلنا عليها فى نظرية شرودينجر ، انظر المعادلة (12.32) ، حيث نبدل  $l$  بـ  $s_1$  . وعندئذ سنجد لحساب القيم الخاصة المعادلة التالية :

$$\frac{B}{\sqrt{A}} = n_r + 1/2 + \sqrt{(l+1/2)^2 - Z^2\alpha^2} \quad (17.29)$$

وإذا عوضنا  $B$  و  $A$  بقيمتيها النسبيتين المحسوبتين فى (17.24) نجد أن :

$$E_{nl} = m_0 c^2 \left[ 1 + \frac{Z^2 \alpha^2}{(n_r + 1/2 + \sqrt{(l + 1/2)^2 - Z^2 \alpha^2})^2} \right]^{-1/2} - m_0 c^2. \quad (17.30)$$

حيث  $n = n_r + l + 1$  ، وإذا نشرنا العبارة الأخيرة في متسلسلة ( باعتبار  $Z^2 \alpha^2$  صغيرا جدا ) واقتصرنا على الحدين الأولين اللذين لا ينتهيان إلى الصفر نجد طيف الطاقة التالي :

$$E_{nl} = - \frac{R h Z^2}{n^2} \left[ 1 + \frac{\alpha^2 Z^2}{n^2} \left( \frac{n}{l + 1/2} - \frac{3}{4} \right) \right] \quad (17.31)$$

فالحد الأول يتطابق مع ما يقابله في النظرية اللانسيبية ، أما الحد الثاني المتناسب مع ثابت البنية الدقيقة  $\alpha = 1/137$  فهو التصحيح النسبي . وإن حساب التأثيرات النسبية جدير بالاهتمام لأنه يزيل انطباق السويات بالعدد الكوانتي ولهذا نرى أن السويات المنسوبة إلى العدد الكوانتي  $n$  تنقسم إلى  $n$  سوية جزئية قريبة من بعضها ( بسبب صغر  $\alpha^2$  ) لأن العدد الكوانتي  $l$  يمكن أن يأخذ  $n$  قيمة (  $l = 0, 1, 2, \dots, n - 1$  ) . ولكي نقارن مع التجربة نحسب الانشطار الثنائي في نطاق سلسلة بالمير (  $n = 2$  ) ، وبحساب مقدار الانشطار من (17.31) نجد أن :

$$\Delta \omega = \frac{E_{21} - E_{20}}{h} = \frac{8}{3} \frac{R \alpha^2}{16} \quad (17.32)$$

وقد دلت المقارنة مع التجربة أن قيمة الانشطار الفعلي لسلسلة بالمير تساوي ثلاثة أضعاف ما حسب نظريا بالعلاقة (17.32) ويعود سبب هذا التناقض إلى أن بنية السويات الدقيقة لذرة الهيدروجين لم تأخذ بعين الاعتبار حتى الآن تبعية الكتلة للسرعة . وكما سنرى فيما بعد ، لا بد من حساب مغزل الالكترون أي العزم الميكانيكي الذاتي ولقد فرض أولا أن معادلة كلين - جوردون يمكن أن تطبق لدراسة الالكترون النسبي ، غير أنه تبين أن هذه المعادلة تناسب الجسيمات التي ليس لها مغزل ، بينما مغزل الالكترون يساوي  $1/2$  ، وعلى ما يظهر فإن معادلة كلين - جوردون تطبق على الميزونات -  $P_1$  التي مغزلها يساوي الصفر وبصورة خاصة يمكن لهذه

المعادلة أن تصف حركة الميزونات  $p$  حول النواة وقد حصل العلماء تجريبيا على هذه الميزونات .

ملاحظة : لندرس أخيرا الحالة الثانية من ( 17.27 ) عندما

$$Z\alpha > 1/2 \quad (17.33)$$

عندئذ ينتج حل جديد تماما . وفي الحقيقة يكون الجران  $s_1$  و  $s_2$  عقدين عندما  $l = 0$  ولهذا يأخذ الحل التقاربي الشكل التالي :

$$R_0 = \frac{1}{\sqrt{r}} (C_1 r^{1/2} + C_2 r^{-1/2}) \quad (17.34)$$

حيث  $\gamma = \sqrt{Z^2\alpha^2 - 1/4}$  ، وعندئذ لن نستطيع كتابة الشرط  $C_1 = 0$  أو  $C_2 = 0$  لأن لكل من الحلين شذوذا عندما  $r = 0$  . ولهذا نحصل على طيف مستمر عندما  $l = 0$  وهو جائز بصورة عامة عند سقوط الجسيم في المركز .

### البند ١٨ . معادلة ديراك

تعتبر العلاقة التي تربط بين الكتلة  $m_0$  والطاقة  $E$  والاندفاع  $p$  أساسا في الميكانيكا الكوانتية النسبية ، وكما أشرنا في البند السابق ، انظر ( 17.1 ) ، لكي نتخلص من عملية الجذر يمكن تربيع الطرفين وهذا ما فعلناه في معادلة كلين - جوردون - تلك المعادلة التي تصف الجسيمات عديمة المغزل ، ولهذا لا تطبق على الالكترونات التي مغزلهما يساوى  $\frac{1}{2}$  ( بوحدات  $\hbar$  ) . وقد اقترح ديراك سنة ١٩٢٨ طريقة أخرى تتلخص في تخطيط العلاقة ( 17.1 ) وهذا ما أدى إلى اكتشاف المعادلة الموجية النسبية للالكترون ذي المغزل  $\frac{1}{2}$  . ويجب أن نؤكد هنا أن عمل ديراك هذا كان الخطوة الثانية الهامة في تطور دراسة الالكترون بعد الخطوة الأولى الممثلة في معادلات مكسويل - لورنتز في الكهرطيسية الكلاسيكية . ويمكن الحصول على معادلة شرودينجر اللانسبية ومعادلة باولي كتقريب لمعادلة ديراك .

( أ ) « تخطيط » مؤثر الطاقة : لكي تتم « عملية تخطيط » العلاقة بين الطاقة والاندفاع أو لاستخراج الجذر التربيعي من رباعي الحدود نكتب ( 17.1 ) بالشكل التالي :

$$E = c \sqrt{p^2 + m_0^2 c^2} = c \sum_{\mu=0}^3 \alpha_{\mu} p_{\mu} \quad (18.1)$$

حيث

$$p_0 = m_0 c, \quad p_1 = p_x, \quad p_2 = p_y, \quad p_3 = p_z \quad (18.2)$$

وعندئذ نجد أن :

$$E^2 = c^2 \sum_{\mu=0}^3 p_{\mu} p_{\mu} = c^2 (p^2 + m_0^2 c^2) \quad (18.3)$$

ولكي نوضح الشروط التي يجب أن تحققها المقادير  $\alpha_{\mu}$  نربع طرفي العلاقة ( 18.1 ) وعندئذ نجد ، بفرض أن الاندفاعات  $p_{\mu}$  و  $p_{\mu'}$  تتبادل مع بعضها\* ، ان :

$$E^2 = c^2 \sum_{\mu} \sum_{\mu'} p_{\mu} p_{\mu'} \alpha_{\mu} \alpha_{\mu'} = \frac{c^2}{2} \sum_{\mu} \sum_{\mu'} p_{\mu} p_{\mu'} (\alpha_{\mu} \alpha_{\mu'} + \alpha_{\mu'} \alpha_{\mu}) \quad (18.4)$$

ولا تنطبق المساواة الأخيرة مع ( 18.3 ) إلا عندما تتحقق العلاقة :

$$\alpha_{\mu} \alpha_{\mu'} + \alpha_{\mu'} \alpha_{\mu} = 2\delta_{\mu\mu'} \quad (18.5)$$

أى عندما تحقق المقادير الأربعة  $\alpha_{\mu}$  العلاقة اللاتبادلية التالية :

$$\alpha_{\mu} \alpha_{\mu'} + \alpha_{\mu'} \alpha_{\mu} = 0, \quad \mu \neq \mu' \quad (18.6)$$

ويحقق مربع كل منها العلاقة

$$\alpha_{\mu}^2 = 1 \quad (18.7)$$

ونذكر أن مصفوفات باولى ، انظر ( 16.26 ) ، تحقق خواص مشابهة :

\* ان الاندفاعات المذكورة تتبادل مع بعضها حتى ولو اعتبرناها تواترات ، أى فى حالة غياب الحقل الكهرومغناطيسى ، وهكذا نرى أنه يجب فى البداية استخراج الجذر أولا من المؤثر للجسيم الحر ثم تعميم المعادلة الناتجة على حالة وجود الحقل .



$$\sigma_1 = \begin{pmatrix} 0 & 1 \\ 1 & 0 \end{pmatrix}, \quad \sigma_2 = \begin{pmatrix} 0 & -i \\ i & 0 \end{pmatrix}, \quad \sigma_3 = \begin{pmatrix} 1 & 0 \\ 0 & -1 \end{pmatrix}. \quad (18.8)$$

فهي بالضبط تحقق العلاقات نفسها ، انظر ( 16.28 ) ، ولاستخراج الجذر التربيعي في الرباعية السابقة لا بد من أربع علاقات ( 18.5 ) ( مع العلم أن  $\mu = 0, 1, 2, 3$  ) والثلاث التي تحققها مصفوفات باولي لا تكفي . وللتغلب على هذه الصعوبة اقترح ديراك استخدام المصفوفات  $\sigma_n$  ،  $\rho_n$  ذات أربعة صفوف ترتبط بالمصفوفات ذات الصفوف الثنائية بالعلاقات التالية :

$$\sigma_n = \begin{pmatrix} \sigma'_n & 0' \\ 0' & \sigma'_n \end{pmatrix} \quad (n = 1, 2, 3) \quad (18.9)$$

$$\rho_1 = \begin{pmatrix} 0' & I' \\ I' & 0' \end{pmatrix}, \quad \rho_2 = \begin{pmatrix} 0' & -iI' \\ iI' & 0' \end{pmatrix}, \quad \rho_3 = \begin{pmatrix} I' & 0' \\ 0' & -I' \end{pmatrix} \quad (18.10)$$

حيث  $\sigma'_n$  هي مصفوفات باولي أما  $0'$  و  $I'$  فهي المصفوفات التالية :

$$0' = \begin{pmatrix} 0 & 0 \\ 0 & 0 \end{pmatrix}, \quad I' = \begin{pmatrix} 1 & 0 \\ 0 & 1 \end{pmatrix} \quad (18.11)$$

وهذه المصفوفات لها أربعة صفوف تحقق نفس العلاقات التي تحققها مصفوفات باولي إذ من السهل أن نجد :

$$\sigma_n^2 = \rho_n^2 = I = \begin{pmatrix} 1 & 0 & 0 & 0 \\ 0 & 1 & 0 & 0 \\ 0 & 0 & 1 & 0 \\ 0 & 0 & 0 & 1 \end{pmatrix} \quad (18.12)$$

$$\sigma_1 \sigma_2 = -\sigma_2 \sigma_1 = i \sigma_3 \quad (18.13)$$

$$\rho_1 \rho_2 = -\rho_2 \rho_1 = i \rho_3 \quad (18.14)$$

ويمكن كتابة العلاقة الأخيرة بالشكل التالي أيضا :

$$\sigma_n \sigma_{n'} + \sigma_{n'} \sigma_n = \rho_n \rho_{n'} + \rho_{n'} \rho_n = 2\delta_{nn'} \quad (18.15)$$

ويجب أن يضاف إلى العلاقات السابقة البديل التالي :

$$\sigma_n \rho_{n'} = \rho_{n'} \sigma_n \quad (18.16)$$

كما ويمكن البرهان على صحة العلاقة الأخيرة بالحساب المباشر انطلاقا من الصيغتين ( 18.9 ) و ( 18.10 ) ، أما فيما يتعلق بالمصفوفة  $\alpha_\mu$  فلقد اقترح ديراك استخدام المصفوفة التالية :

$$\alpha_n = \rho_1 \sigma_n = \begin{pmatrix} 0' & \sigma_n' \\ \sigma_n' & 0' \end{pmatrix} \quad (n = 1, 2, 3) \quad (18.17)$$

$$\alpha_0 = \rho_3 = \begin{pmatrix} 1' & 0' \\ 0' & -1' \end{pmatrix}$$

وهي طبقاً لـ (18.15) و (18.16) تحقق الشروط (18.5) ، وفي الحقيقة نجد أن :

$$\alpha_1^2 = \rho_1^2 \sigma_1^2 = I, \quad \alpha_0^2 = \rho_3^2 = 1 \quad (18.18)$$

$$\alpha_2 \alpha_3 + \alpha_3 \alpha_2 = \rho_1^2 (\sigma_2 \sigma_3 + \sigma_3 \sigma_2) = 0$$

$$\alpha_0 \alpha_1 + \alpha_1 \alpha_0 = \sigma_1 (\rho_3 \rho_1 + \rho_1 \rho_3) = 0$$

وبكتابة هذه المصفوفة نجد أن :

$$\alpha_1 = \begin{pmatrix} 0 & 0 & 0 & 1 \\ 0 & 0 & 1 & 0 \\ 0 & 1 & 0 & 0 \\ 1 & 0 & 0 & 0 \end{pmatrix}, \quad \alpha_2 = \begin{pmatrix} 0 & 0 & 0 & -i \\ 0 & 0 & i & 0 \\ 0 & -i & 0 & 0 \\ i & 0 & 0 & 0 \end{pmatrix}$$

$$\alpha_3 = \begin{pmatrix} 0 & 0 & 1 & 0 \\ 0 & 0 & 0 & -1 \\ 1 & 0 & 0 & 0 \\ 0 & -1 & 0 & 0 \end{pmatrix}, \quad \alpha_0 = \rho_3 = \begin{pmatrix} 1 & 0 & 0 & 0 \\ 0 & 1 & 0 & 0 \\ 0 & 0 & -1 & 0 \\ 0 & 0 & 0 & -1 \end{pmatrix} \quad (18.19)$$

ب) معادلة ديراك ، كثافة الشحنة وكثافة التيار . إذا كتبنا العلاقة النسبية (18.1) بين الطاقة والاندفاع ، المحولة إلى شكل خطى بواسطة المصفوفات  $\alpha$  بالمؤثرات فإننا نحصل على معادلة ديراك التالية :

$$(E - H) \psi = 0 \quad (18.20)$$

حيث يعطى كلا من المؤثرين  $E$  و  $p$  بالعلاقة :

$$E = i\hbar \frac{\partial}{\partial t}, \quad p = -i\hbar \nabla$$

أما الهاملتونيان فيعرف بالعلاقة :

$$H = c(\alpha p) + \rho_3 m_0 c^2 \quad (18.21)$$

وعندما يتحرك الالكترون في حقل كهربي معطى بالكمونين  $A$  و  $\Phi$  ، يمكن تطبيق المعادلتين (18.20) و (18.21) نفسها على أن نكتب ، طبقاً للقواعد العامة للميكانيكا الموجية القيم المعممة لمؤثرى الطاقة والاندفاع ، انظر (17.5) ، بدلا من القيمتين السابقتين أى أن :

$$F = i\hbar \frac{\partial}{\partial t} - eD, \quad \mathbf{P} = -i\hbar\nabla - \frac{e}{c} \mathbf{A} \quad (18.22)$$

ولهذا يمكن كتابة معادلة ديراك الموجية في حالة وجود الحقل الكهرطيسي بالشكل التالي :

$$(F - c(\alpha\mathbf{P}) - \rho_3 m_0 c^2) \psi = 0 \quad (18.23)$$

وبما أن كلا من  $\alpha$  و  $\rho_3$  مصفوفة ذات أربعة أعمدة فلا بد أن يتألف التابع الموجي  $\psi$  من أربع مركبات ندمجها معا بشكل مصفوفة مؤلفة من عمود واحد بالشكل التالي :

$$\psi = \begin{pmatrix} \psi_1 \\ \psi_2 \\ \psi_3 \\ \psi_4 \end{pmatrix} \quad (18.24)$$

أما المرافق الهرميتي لهذا التابع فهو

$$\psi^+ = (\psi_1^* \psi_2^* \psi_3^* \psi_4^*) \quad (18.25)$$

وهكذا تكافئ مصفوفة ديراك الموجية المصفوفية مجموعة المعادلات التالية :

$$\begin{aligned} (F - m_0 c^2) \psi_1 - c(P_x - iP_y) \psi_4 - cP_z \psi_3 &= 0 \\ (F - m_0 c^2) \psi_2 - c(P_x + iP_y) \psi_3 + cP_z \psi_4 &= 0 \\ (F + m_0 c^2) \psi_1 - c(P_x - iP_y) \psi_2 - cP_z \psi_4 &= 0 \\ (F + m_0 c^2) \psi_4 - c(P_x + iP_y) \psi_1 + cP_z \psi_2 &= 0 \end{aligned} \quad (18.26)$$

والمعادلة المرافقة عقديا يمكن أن تكتب بالشكل التالي :

$$\psi^+ (F - c(\alpha\mathbf{P}) - \rho_3 m_0 c^2) = 0 \quad (18.27)$$

أما تأثير المؤثرين  $i\hbar \frac{\partial}{\partial t}$  و  $-i\hbar\nabla$  على التابع الموجي الموجود على اليسار من هذين المؤثرين فيكون بالشكل التالي :

$$- \psi^+ i\hbar\nabla \rightarrow i\hbar\nabla\psi^+, \quad \psi^+ i\hbar \frac{\partial}{\partial t} \rightarrow -i\hbar \frac{\partial}{\partial t} \psi^+ \quad (18.28)$$

وهكذا نكتب المعادلتين ( 18.23 ) و ( 18.27 ) بالشكل التالي :

$$\left( i\hbar \frac{\partial}{\partial t} - e\Phi \right) \psi - c \left( \alpha \left( -i\hbar \nabla - \frac{e}{c} \mathbf{A} \right) \right) \psi - \rho_1 m_0 c^2 \psi = 0 \quad ( 18.29 )$$

$$\left( -i\hbar \frac{\partial}{\partial t} - e\Phi \right) \psi^+ - c \left( i\hbar \nabla - \frac{e}{c} \mathbf{A} \right) \psi^+ \alpha - m_0 c^2 \psi^+ \rho_3 = 0 \quad ( 18.30 )$$

فإذا ضربنا ( 18.29 ) من اليسار بـ  $\psi^+$  و ( 18.30 ) من اليمين بـ  $\psi$  ثم طرحنا الثانية من الأولى نجد العلاقة التالية :

$$\frac{1}{c} \frac{\partial}{\partial t} \psi^+ \psi + \text{div} \psi^+ \alpha \psi = 0 \quad ( 18.31 )$$

التي تعتبر بمثابة معادلة الاستمرارية التي تربط بين كثافة الشحنة  $\rho$  وكثافة التيار  $j$ ، أي أن :

$$\frac{\partial}{\partial t} \rho + \text{div} j = 0 \quad ( 18.32 )$$

حيث

$$\rho = e\psi^+ \psi, \quad j = ec\psi^+ \alpha \psi$$

ومن الواضح من العلاقة الأخيرة أنه يمكن تفسير المصفوفة  $\alpha$  كأنها مؤثر السرعة ، وبنشر المساواة ( 18.32 ) نجد أن :

$$\rho_0 = \frac{\rho}{e} = \psi^+ \psi = (\psi_1^* \psi_2^* \psi_3^* \psi_4^*) \begin{pmatrix} \psi_1 \\ \psi_2 \\ \psi_3 \\ \psi_4 \end{pmatrix} = \psi_1^* \psi_1 + \psi_2^* \psi_2 + \psi_3^* \psi_3 + \psi_4^* \psi_4 \quad ( 18.33 )$$

أي أن  $\rho$  هي مصفوفة مؤلفة من عنصر واحد وبالتالي فهي تابع عادي ، وب نفس الطريقة من السهل البرهان أن :

$$\frac{j_x}{ec} = \psi^+ \alpha_1 \psi = (\psi_1^* \psi_2^* \psi_3^* \psi_4^*) \begin{pmatrix} 0 & 0 & 0 & 1 \\ 0 & 0 & 1 & 0 \\ 0 & 1 & 0 & 0 \\ 1 & 0 & 0 & 0 \end{pmatrix} \begin{pmatrix} \psi_1 \\ \psi_2 \\ \psi_3 \\ \psi_4 \end{pmatrix} = (\psi_1^* \psi_2^* \psi_3^* \psi_4^*) \begin{pmatrix} \psi_4 \\ \psi_3 \\ \psi_2 \\ \psi_1 \end{pmatrix} = \psi_1^* \psi_4 + \psi_2^* \psi_3 + \psi_3^* \psi_2 + \psi_4^* \psi_1 \quad ( 18.34 )$$

ونلاحظ هنا ، خلافا لما وجدناه في معادلة كلين - غوردون ، أن  $\rho_0$  هو مقدار معين موجب ، ولكن هذا لا يعنى ضرورة اعتبار  $\rho_0$  بمثابة كثافة

للجسيمات . وطبقا لنظرية ديراك تماما كما هو الحال فى نظرية كلين - غوردون يجب أن تتواجد جسيمات ذات شحنة موجبة - بوزيترونات .

ج) الخواص التحويلية للتابع الموجى عند تطبيق تحويلات لورنتز والدورانات الفراغية . من المعلوم ، طبقا للنظرية النسبية الخاصة ، أن القوانين الفيزيائية يجب أن لا تتوقف على اختيار جملة الاحداثيات اللورنتزية ، ولهذا يجب أن يتغير كلا من معادلات مكسويل ومعادلات كلين - غوردون وكذلك معادلة ديراك بالنسبة لتحويلات لورنتز . ولندرس الخواص التحويلية لتابع ديراك الموجى ولهذا نكتب أولا تحويلات لورنتز .

$$ct' = ct \operatorname{ch} \gamma - x \operatorname{sh} \gamma, \quad x' = x \operatorname{ch} \gamma - ct \operatorname{sh} \gamma, \quad y' = y, \quad z' = z \quad (18.35)$$

حيث

$$\operatorname{ch} \gamma = \frac{1}{\sqrt{1-\beta^2}}, \quad \operatorname{sh} \gamma = \frac{\beta}{\sqrt{1-\beta^2}}, \quad \beta = \frac{v}{c}$$

ويجب أن يحقق هذا التحويل أى متجه معرف فى الفراغ الرباعى ، وبصورة خاصة كثافة الشحنة وكثافة التيار

$$c\rho' = c\rho \operatorname{ch} \gamma - j_x \operatorname{sh} \gamma, \quad j'_x = j_x \operatorname{ch} \gamma - c\rho \operatorname{sh} \gamma$$

$$j'_{y,z} = j_{y,z}$$

وانطلاقا من تعريف هذه القيم نجد استنادا إلى نظرية ديراك أن

$$\psi'^+ \psi' = \psi^+ (\operatorname{ch} \gamma - \alpha_1 \operatorname{sh} \gamma) \psi = \psi^+ e^{-\gamma \alpha_1} \psi$$

$$\psi'^+ \alpha_1 \psi' = \psi^+ (\alpha_1 \operatorname{ch} \gamma - \operatorname{sh} \gamma) \psi = \psi^+ \alpha_1 e^{-\gamma \alpha_1} \psi \quad (18.36)$$

$$\psi'^+ \alpha_{2,3} \psi' = \psi^+ \alpha_{2,3} \psi$$

حيث استفدنا من العلاقة التالية :

$$e^{-\gamma \alpha_1} = \operatorname{ch} \gamma \alpha_1 - \operatorname{sh} \gamma \alpha_1 = \operatorname{ch} \gamma - \alpha_1 \operatorname{sh} \gamma$$

ونلك لأن

$$\alpha_1^{2n} = 1, \quad \alpha_1^{2n+1} = \alpha_1$$

حيث  $n$  عدد صحيح . ولكى تتحقق العلاقات الأخرى يجب أن نجعل

$$\psi' = \left( \operatorname{ch} \frac{\gamma}{2} - \alpha_1 \operatorname{sh} \frac{\gamma}{2} \right) \psi = e^{-\frac{\gamma}{2} \alpha_1} \psi$$

$$\psi'^+ = \psi^+ \left( \operatorname{ch} \frac{\gamma}{2} - \alpha_1 \operatorname{sh} \frac{\gamma}{2} \right) = \psi^+ e^{-\frac{\gamma}{2} \alpha_1} \quad (18.37)$$

وعندئذ إذا أخذنا بعين الاعتبار العلاقة التالية :

$$\alpha_1 e^{-\frac{\gamma}{2} \alpha_1} = e^{-\frac{\gamma}{2} \alpha_1} \alpha_1, \quad \alpha_2 e^{-\frac{\gamma}{2} \alpha_1} = e^{\frac{\gamma}{2} \alpha_1} \alpha_2 \quad (18.38)$$

فإنه من السهل برهان صحة المساواة (18.36) . ويتضح من (18.37) أن التوابع الموجية لا تتحول كمتجه (زوايا صحيحة  $\gamma$ ) ولا تتحول كتنسور (مضاعفات الزاوية  $\gamma$ ) وإنما كنصف متجه يميز تحوله بالزاوية  $\frac{\gamma}{2}$  وقد

سميت المقادير التي تتحول بالقانون (18.37) سبينورات أو تنسورات المرتبة النصفية ويمكن البرهان بطريقة مشابهة أنه من أجل الدوران العادى (مثلا حول  $z$  بالزاوية  $\varphi$ ) فإن السبينور يتحول طبقا للقاعدة التالية :

$$\psi' = e^{i\alpha_3 \frac{\varphi}{2}} \psi, \quad \psi'^+ = \psi^+ e^{-i\alpha_3 \frac{\varphi}{2}} \quad (18.39)$$

وتنتج هذه العلاقة الأخيرة من تحويلات متجه التيار التالى :

$$\begin{aligned} j'_x &= j_x \cos \varphi + j_y \sin \varphi \\ j'_y &= j_y \cos \varphi - j_x \sin \varphi \\ j'_z &= j_z \end{aligned} \quad (18.40)$$

التي تكتب فى نظرية ديراك بالشكل التالى :

$$\begin{aligned} \psi'^+ \alpha_1 \psi' &= \psi^+ (\alpha_1 \cos \varphi + \alpha_2 \sin \varphi) \psi \\ \psi'^+ \alpha_3 \psi' &= \psi^+ \alpha_3 \psi \end{aligned} \quad (18.41)$$

وهكذا . . . . . فإذا عوضنا هنا  $\psi'$  بقيمتها من (18.39) آخذين بعين الاعتبار العلاقات :

$$\begin{aligned} \alpha_1 e^{i\alpha_3 \frac{\varphi}{2}} &= \alpha_1 \left( \cos \frac{\varphi}{2} + i\alpha_3 \sin \frac{\varphi}{2} \right) = \left( \cos \frac{\varphi}{2} - i\alpha_3 \sin \frac{\varphi}{2} \right) \alpha_1 = \\ &= e^{-i\alpha_3 \frac{\varphi}{2}} \alpha_1, \quad \alpha_2 e^{i\alpha_3 \frac{\varphi}{2}} = e^{i\alpha_3 \frac{\varphi}{2}} \alpha_2 \end{aligned}$$

فإننا نحصل على المعادلة (18.40) .

## البند ١٩ - حركة الكترون ديراك فى حقل القوى المركزية

أ ( العزوم الحركية المدارى والمغزلى والكلى . لندرس قبل كل شىء قوانين مصونية العزم الحركى فى حقل القوى المركزية :

$$V = e\Phi(r) \quad (19.1)$$

لقد برهنا سابقا فى نظرية شرودينجر اللانسيبية أن العزم الحركى المدارى

$$L = [rp]$$

يكون مصونا ، إلا أنه فى نظرية ديراك ، حيث يؤخذ بعين الاعتبار مغزل الالكترن ، لا يتبادل العزم الحركى المدارى مع الهاملتونيان أى أنه لا يكون تكاملا للحركة. فإذا كتبنا الهاملتونيان بالشكل التالى :

$$H = \alpha_1 p_x + \alpha_2 p_y + \alpha_3 p_z + \rho_3 m_0 c^2 + V(r) \quad (19.2)$$

المركبة \*  $L_z = (x p_y - y p_x)$  لا تتبادل مع الحدين الأوليين ، ويمكن التأكد من ذلك إذا كتبنا

$$HL_z - L_z H = \alpha_1 p_y (p_x x - x p_x) - \alpha_2 p_x (p_y y - y p_y) \quad (19.3)$$

ثم نأخذ بعين الاعتبار المساواة

$$(p_x x - x p_x) = (p_y y - y p_y) = \frac{\hbar}{i}$$

فإننا نجد أخيرا :

$$HL_z - L_z H = \frac{c\hbar}{i} (\alpha_1 p_y - \alpha_2 p_x) \neq 0 \quad (19.3a)$$

\* نلاحظ أنه يمكن كتابة المركبة  $L_z = \frac{\hbar}{i} \frac{\partial}{\partial \phi}$  ولهذا فهى تتبادل مع الطاقة الكامنة  $V(r)$  فى حالة القوى المركزية .

ولايجاد قانون مصونية العزم للجسيمات ذات المغزل ينبغي استعمال علاقة ثانية هي التالية :

$$\begin{aligned} H\sigma_3 - \sigma_3H &= cp_x\rho_1(\sigma_1\sigma_3 - \sigma_3\sigma_1) + cp_y\rho_1(\sigma_2\sigma_3 - \sigma_3\sigma_2) = \\ &= \frac{2c}{\hbar}(a_2p_x - a_1p_y) \end{aligned} \quad (19.3b)$$

لنعرف مؤثر العزم الحركى الكلى بالعلاقة التالية :

$$J = L + S \quad (19.4)$$

أى أنه يساوى مجموع مؤثرى العزمين الحركى المدارى L والمغزل الذى يعطى بالعلاقة

$$S = \frac{1}{2} \hbar \sigma \quad (19.4a)$$

وعندئذ نرى من (19.3a) و (19.3b) أن مركبة العزم الكلى (J) فى هذه الحالة) هى وحدها التى تتبادل مع الهاملتونيان أى أنها تحقق قانون المصونية .

ب) العلاقات التبادلية لمؤثر العزم . لقد برهنا فى البند ١٠ أن مركبات العزم المدارى لا تتبادل فيما بينها وأنها تحقق العلاقة

$$L_xL_y - L_yL_x = i\hbar L_z \quad (19.5)$$

إلى آخره (x - y - z - x...). أما مؤثر العزم الخاص (المغزل) فهو يتناسب مع مصفوفة ديراك ، أى أن :

$$S = \frac{1}{2} \hbar \sigma \quad (19.6)$$

ولهذا لا تتبادل مركباته مع بعضها ، وبما أن مصفوفات باولى  $\sigma$  ذات السطرين ومصفوفات ديراك ذات الأربعة الأسطر تحقق نفس القواعد التبادلية ، انظر (16.28) و (18.13) ، نجد أن لمغزل ديراك نفس العلاقات التبادلية التى وجدناها لمغزل باولى ، انظر (19.36) ، أى أن :

$$S_xS_y - S_yS_x = i\hbar S_z \quad (19.6a)$$



إلخ . . . وعلى الرغم من أن مركبات العزمين المدارى والمغزلى هي مؤثرات تحقق نفس العلاقات التبادلية مع بعضها فهذه المركبات تتبادل فيما بينها لأنها ذات طبائع مختلفة وخواص مستقلة ( اشتقاقات ومصفوفات ) ، وإذا أخذنا هذه الملاحظات بعين الاعتبار فمن السهل الحصول على العلاقات التبادلية لمؤثر العزم الكلى ( 19.4 ) بشكل مشابه لـ ( 19.5 ) و ( 19.6a ) أى أن :

$$\begin{aligned} J_x J_y - J_y J_x &= (L_x + S_x)(L_y + S_y) - (L_y + S_y)(L_x + S_x) = \\ &= i\hbar(L_z + S_z) \end{aligned}$$

ومنه

$$\begin{aligned} J_x J_y - J_y J_x &= i\hbar J_z \\ J_y J_z - J_z J_y &= i\hbar J_x \\ J_z J_x - J_x J_z &= i\hbar J_y \end{aligned} \quad (19.7)$$

وقد تم الحصول على العلاقتين الأخيرتين من العلاقة الأولى بالتبديل الدورى للاحداثيات ، أى أن :

$$x \rightarrow y, y \rightarrow z, z \rightarrow x, \dots$$

أما مؤثر مربع العزم الكلى  $J^2$  فيحوى على ثلاثة حدود أى :

$$J^2 = L^2 + S^2 + 2(LS) \quad (19.8)$$

الحد الأول منها :

$$L^2 = -\hbar^2 \nabla_{\theta, \phi}^2 \quad (19.9)$$

هو مربع العزم المدارى ، وتعطى قيمته الخاصة عند تأثيره على التابع الكروى  $Y_l^m$  بالعلاقة :

$$L^2 \rightarrow \hbar^2 l(l+1) \quad (19.9a)$$

أى أنه يصف الحالة الكوانتية عندما يساوى العزم المدارى  $l$  ( بوحدهات  $\hbar$  ) ، أما الحد الثانى :

$$S^2 = \frac{1}{4} \hbar^2 (\sigma_1^2 + \sigma_2^2 + \sigma_3^2) = \frac{3}{4} \hbar^2 = s(s+1)\hbar^2 \quad (19.10)$$

فهو عدد يصف المغزل ( بوحدات  $\hbar$  ) ويساوى  $s = 1/2$  ، وأخيرا الحد الثالث التالي :

$$2(LS) = 2(L_x S_x + L_y S_y + L_z S_z) \quad (19.10a)$$

يصف ما يسمى بالتأثير المغزلى المدارى ، هذا ويجب التأكيد أن كلا من المركبتين  $L_z$  ،  $S_z$  تتبادل على انفراد مع  $L^2$  و  $S^2$  غير أن كلا منهما لا مع المؤثر  $(LS)$  . فى الحقيقة إذا اعتمدنا على المساويتين (19.5) و (19.6) فمن السهل البرهان أن :

$$\begin{aligned} L_z(LS) - (LS)L_z &= i\hbar(L_y S_x - L_x S_y) \\ S_z(LS) - (LS)S_z &= i\hbar(L_x S_y - L_y S_x) \end{aligned} \quad (19.11)$$

ومنه نرى أن مركبة العزم الكلى وحدهما يجب أن تتبادل مع هذا الحد ، أى أن :

$$(L_z + S_z)(LS) - (LS)(L_z + S_z) = 0 \quad (19.12)$$

وهذه المركبة نفسها  $(J_z)$  تتبادل أيضا مع  $J^2$

$$J_z J^2 - J^2 J_z = 0 \quad (19.13)$$

ولهذا يمكن أن يكون لمربع العزم الكلى ولأى من مركباته توابع خاصة واحدة فى المسائل التى يحفظ فيها العزم الكلى ( مثلا حركة جسيم ذى مغزل فى حقل مركزى ) . ونلاحظ أنه لا يمكن أن يكون لمركبتين من مركبات العزم الكلى تابع موجى عام لأنهما لا تتبادلان مع بعضها ، انظر ( 19.7 ) .

ج) جمع العزوم . لنحسب القسم الزاوى من التابع الموجى الذى يحقق قانون مصونية العزم الكلى الذى يساوى مجموع العزمين المدارى والمغزلى ولهذا نسمى مثل هذه المسألة بمسألة جمع العزوم ، وللتبسيط سنقتصر على دراسة تقريب باولى حيث يوصف المغزل بمصفوفة ذات سطرين ، وفى هذه الحالة نبحث عن الحل بشكل مصفوفة ذات مركبتين من الشكل التالى :

$$\Psi = \begin{pmatrix} \Psi_1 \\ \Psi_2 \end{pmatrix} \quad (19.14)$$

بحيث تحقق بين عنصرها علاقة تأخذ بعين الاعتبار قانون مصونية العزم  
الحركى الكلى ، أى أن :

$$\begin{aligned} J^2 \begin{pmatrix} \Psi_1 \\ \Psi_2 \end{pmatrix} &= \left( L + \frac{1}{2} \hbar \sigma' \right)^2 \begin{pmatrix} \Psi_1 \\ \Psi_2 \end{pmatrix} = \hbar^2 j(j+1) \begin{pmatrix} \Psi_1 \\ \Psi_2 \end{pmatrix} \\ J_z \begin{pmatrix} \Psi_1 \\ \Psi_2 \end{pmatrix} &= \left( L_z + \frac{1}{2} \hbar \sigma'_3 \right) \begin{pmatrix} \Psi_1 \\ \Psi_2 \end{pmatrix} = \hbar m_l \begin{pmatrix} \Psi_1 \\ \Psi_2 \end{pmatrix} \end{aligned} \quad (19.15)$$

حيث  $L = [r p]$  مؤثر العزم المدارى  $\sigma'$  فى مصفوفة باولى . ولنبحث عن  
حل (19.15) بالشكل \*\* :

$$\Psi_1 = C_1 Y_l^{m'}, \quad \Psi_2 = C_2 Y_l^m \quad (19.16)$$

حيث  $Y_l^m$  هو التابع الكروى ، انظر البند ١٠ ، وعندئذ إذا لاحظنا أن :

$$L^2 \begin{pmatrix} \Psi_1 \\ \Psi_2 \end{pmatrix} = \hbar^2 l(l+1) \begin{pmatrix} \Psi_1 \\ \Psi_2 \end{pmatrix} \quad (19.17)$$

فيمكن أن نجد طبقاً لـ (19.15) ، (19.12) ، (19.13) ما يلى :

$$\frac{1}{\hbar} (\sigma' L) \begin{pmatrix} \Psi_1 \\ \Psi_2 \end{pmatrix} = [j(j+1) - l(l+1) - 3/4] \begin{pmatrix} \Psi_1 \\ \Psi_2 \end{pmatrix}$$

أو

$$\begin{aligned} \frac{1}{\hbar} [(L_x - iL_y) \Psi_2 + L_z \Psi_1] &= q \Psi_1 \\ \frac{1}{\hbar} [(L_x + iL_y) \Psi_1 - L_z \Psi_2] &= q \Psi_2 \end{aligned} \quad (19.18)$$

حيث

$$q = j(j+1) - l(l+1) - 3/4 \quad (19.18a)$$

وبالاستفادة من العلاقات (10.87) و (10.89) حيث وجدنا أن :

$$L_z Y_l^m = -i \hbar \frac{\partial}{\partial \phi} Y_l^m = m \hbar Y_l^m \quad (19.19)$$

$$(L_x \pm iL_y) Y_l^m = -\hbar \sqrt{(l+1 \pm m)(l \mp m)} Y_l^{m \pm 1} \quad (19.20)$$

نلاحظ إمكانية اختصار التابع الكروى فى القسمين الأيمن والأيسر من

\* من القيم المختلفة لـ  $m$  و  $m'$  يحفظ فقط مربع العزم الحركى ولا يحتفظ مسقطه على  $z$ .

المعادلة (19.18) إذا جعلنا  $m' = m - 1$  وعندئذ نجد أن الثوابت ترتبط فيما بينها بالعلاقة التالية :

$$\begin{aligned} (q - m + 1)C_1 + \sqrt{(l+1-m)(l+m)} C_2 &= 0, \\ \sqrt{(l+1-m)(l+m)} C_1 + (q + m) C_2 &= 0. \end{aligned} \quad (19.21)$$

ومن شرط انعدام معين الأمثال لهذه المجموعة نحسب  $q$  التي تأخذ قيمتين تقابلان الحلين التاليين \* :

$$q = l, \quad j = l + \frac{1}{2}, \quad C_2 = -\sqrt{\frac{l-m+1}{l+m}} C_1 \quad (19.22)$$

$$q = -(l+1), \quad j = l - \frac{1}{2}, \quad C_2 = \sqrt{\frac{l+m}{l-m+1}} C_1 \quad (19.23)$$

وتسمى العوامل  $C_1$  و  $C_2$  التي تحدد العلاقة بين التابعين الكرويين (بين العزم المدارى والمغزل فى هذه الحالة) عند جمع العزوم بعوامل كليش - جوردون . وبلاستفادة من شروط المعايرة  $C_1 + C_2 = 1$  نكتب الحل الأول الموافق لـ (19.22) بالشكل التالى \* :

$$\Psi^{(l-l+1/2)} = \begin{pmatrix} \sqrt{\frac{l+m}{2l+1}} Y_l^{m-1} \\ -\sqrt{\frac{l+1-m}{2l+1}} Y_l^m \end{pmatrix} = Y_{l,m}^{(l-l+1/2)} \quad (19.24)$$

اما عندما  $j = l - 1/2$  (الحل الثانى الموافق لـ (19.23)) فإننا نجد :

$$\Psi^{(l-l-1/2)} = \begin{pmatrix} \sqrt{\frac{l-m+1}{2l+1}} Y_l^{m-1} \\ \sqrt{\frac{l+m}{2l+1}} Y_l^m \end{pmatrix} = Y_{l,m}^{(l-l-1/2)} \quad (19.25)$$

حيث تسمى التوابع  $Y_{l,m}^{(j)}$  بالسبينورات الكروية التي تعابير وتتعمد حسب العلاقة :

\* بالإضافة إلى هذين الحلين يوجد حلان آخران يعطيان فيما سالية لـ  $z$  ولذلك امكنناهما .  
 •• مع ملاحظة تحقق هذه العلاقة بين التوابع الكروية فى حالة التفاعل المغزلى المدارى وحده .

$$\oint d\Omega Y_{l'm}^{(j)+} Y_{lm}^{(j)} = \delta_{ll'} \delta_{l'l} \delta_{mm'} \quad (19.26)$$

وحيث يقابل  $z = l + 1/2$  الحالة التي يتجه فيها العزم المدارى والمغزلى بنفس الجهة ، أما  $z = l - 1/2$  فتقابل الحالة عندما يتجهان بجهتين متعاكستين . ومن السهل تطبيق الشرط (19.26) إذا علمنا أن السبينور الكروى  $Y_{l'm}^{(j)+}$  هو مصفوفة ذات سطر واحد وأخذنا بعين الاعتبار شرط معايرة وتعامد التوابع الكروية حيث تعتبر السبينورات الكروية (19.24) و (19.25) تعميما سبينوريا للتوابع الكروية ( انظر البند ١٠ ) وتمثل القسم الزاوى من حل المسائل المرتبطة بحركة جسيم مغزله يساوى  $1/2$  فى حقل مركزى ، وبتبديل الحلول  $\Psi$  الناتجة عن (19.14) نرى أن مسقط العزم الكلى  $J_z$  يأخذ القيم  $J_z = \hbar m_j$  وبالإضافة إلى أن العدد الكوانتى  $m_j$  يساوى  $m_j = m - 1/2$  . وإذا أخذنا الحل الأول ( $z = l + 1/2$ ) نرى من (19.24) أن  $m$  تتغير فى المجال من  $-l$  ( $m_j = -l - 1/2 = -j$ ) إلى  $l + 1$  ( $m_j = l + 1/2 = j$ ) أما من أجل الحل الثانى ( $z = l - 1/2$ ) فنجد طبقا لـ (19.25) أن العدد  $m$  يتحول من  $(m_j = -j)$  إلى  $l + 1$  إلى  $l$  ( $m_j = j$ ) وهكذا نلخص النتائج السابقة كما يلي :

ان لمربع العزم الكلى القيم الخاصة التالية :

$$J^2 = \hbar^2 j(j+1), \quad j = \begin{cases} l \pm 1/2, & l \neq 0 \\ 1/2, & l = 0 \end{cases} \quad (19.26a)$$

أى أن هذا العزم يكتم كالعزم المدارى ، إلا أن العدد  $z$  الذى يسمى فى هذه الحالة بالعدد الكوانتى الداخلى\*\* يأخذ قيما نصف صحيحة ، أما مسقط العزم الكلى على المحور  $z$  فيتميز أيضا بقيم نصف صحيحة للعدد الكوانتى

\* لقد وضعنا هذين الحدين باعتبار أن التابع الكروى  $Y_{lm}^{(j)}$  ينعدم عندما  $|m| > l$  .  
 \*\* ترتبط هذه التسمية بتاريخ المسألة فلقد استخدم علماء الطيوف العدد  $z$  قبل اكتشاف المغزل تجريبيا واصطلاح داخلى ، قد يعنى صفات داخلية للجسيمات ، من نوع ما كانت غير مفهومة فى ذلك العصر .

$$J_z = \hbar m_l, \quad m_l = -j, \dots, +j \quad (19.27)$$

من السهل الحصول على صيغ هامة في علم الأطياف لتكميم الجداء العددي انطلاقاً من العلاقات ( 19.8 ) - ( 19.10 ) ومن قواعد التكميم ( 19.26a ) وهذه العلاقات هي

$$(LS) = \frac{1}{2}(J^2 - L^2 - S^2) = \frac{\hbar^2}{2} \{j(j+1) - l(l+1) - s(s+1)\} \quad (19.28)$$

$$(JS) = \frac{1}{2}(J^2 - L^2 + S^2) = \frac{\hbar^2}{2} \{j(j+1) - l(l+1) + s(s+1)\} \quad (19.29)$$

د ) حركة الجسيمات ذات المغزل في حقل مركزي . الدوارة . إذا أردنا دراسة حركة جسيم في حقل قوى مركزي في التقريب اللانسيبي ، ولكن بدون اهمال التأثيرات المغزلية ، فيجب علينا استخدام السبينورات الكروية  $Y_{lm}^{(j)}$  التي تصف الحالة الكوانتية حيث يحتفظ العزم الحركي الكلي ( المداري والمغزلي ) وذلك عوضاً عن التوابع الكروية  $Y_l^m$  التي تقابل مصونية العزم المداري فقط . وبما أن السبينورات الكروية في التقريب اللانسيبي تحوي على توابع كروية لها نفس العدد الكوانتي  $l$  فإن القسم القطري في هذه الحالة يحقق نفس المعادلة التي حققها في الحالة اللانسيبية أي أن :

$$\nabla_r^2 R + \left( \frac{2m_0 E}{\hbar^2} - \frac{l(l+1)}{r^2} \right) R = 0 \quad (19.30)$$

وهكذا يكون للتوابع الموجية للالكترون المتحرك في حقل مركزي الشكل التالي :

$$\Psi = R Y_{lm}^{(j)} \quad (19.31)$$

حيث يعطى السبينور الكروي بالعبارتين ( 19.24 ) و ( 19.25 ) . وفي الحالة الخاصة عندما ندرس الدوارة حيث  $r = a = \text{const}$  يكون القسم القطري

مساويا الواحد  $R = 1$  وعندئذ لن تعطى التأثيرات المغزلية أى طاقة اضافية  
وتساوى طاقة الدوارة عندئذ :

$$E_l = \frac{\hbar^2 l(l+1)}{2m_0 a^2} \quad (19.32)$$

أما فيما يتعلق بالتابع الموجى فهو يعطى بالسبينور  $Y_{lm}^{(j)}$  ولهذا تخضع  
الأعداد الكوانتية  $l, m_j, z$  لنفس قواعد الانتقاء المطبقة على أى مسألة  
تتعلق بالحقل المركزى بما فيها الدوارة وذرة الهيدروجين . وسنرى الآن  
عوضا عن العلاقات ، انظر البند ١١ ، التى استنتجنا على أساسها قواعد  
الانتقاء ، العلاقات التالية :

$$\langle l'm'j' | q | lmj \rangle = \oint (Y_{l'm'}^{(j)})^+ q Y_{lm}^{(j)} d\Omega \quad (19.33)$$

وحيث تأخذ  $q$  فى هذه العلاقة ثلاث قيم :

$$q = z = \cos \theta, \quad q = x \pm iy = \sin \theta e^{\pm i\phi} \quad (19.34)$$

(للتبسيط جعلنا نصف قطر الدوارة يساوى الواحد) . وبتعويض  
السبينورات الكروية بقيمها من (19.24) أو (19.25) نحصل على العنصر  
المصفوفى التالى :

$$\begin{aligned} \langle l'm'j' | q | lmj \rangle &= \\ &= D^{(l'j)} \oint (Y_{l'm'}^{(j)})^+ q Y_{lm}^{(j)} d\Omega + C^{(l'j)} \oint (Y_{l'm'}^{(j)})^+ q Y_{lm}^{(j)} d\Omega \end{aligned} \quad (19.35)$$

ومنه نرى أن التكاملين فى (19.35) يتطابقان مع التكاملين (11.14) -  
(11.16) ولهذا نجد أن للعددين  $l$  و  $m$  قواعد الاختيار نفسها التى وجدناها  
فى الدوارة عديمة المغزل أى أن :

$$\Delta l = l - l' = \pm 1, \quad \Delta m = 0 \quad (q = z), \quad \Delta m = \pm 1 \quad (q = x \pm iy) \quad (19.36)$$

ولنبحث عن قواعد الاختيار للعددين  $z$  و  $m_j$  ان  $m_j$  ترتبط مع  $m$  فى  
الحلين السابقين (19.24) و (19.25) بالعلاقة نفسها أى  $m_j = m - 1/2$

ولهذا يجب كتابة قاعدة الاختيار بالشكل نفسه لكل منهما أى :

$$\Delta m_j = 0, \pm 1 \quad (19.37)$$

ولكى نعين قاعدة الاختيار بالعدد  $z$  ندرس المسألة بفرض أن الانتقالات تحدث بين حالتين لهما نفس نوع الحل ( $j' = l' + 1/2 - z = l + 1/2$ ) ، أو ( $j = l' - 1/2 - z = l - 1/2$ ) وعندئذ يكون المعاملان  $D''$  و  $C''$  موجبين دوماً ، كما يلاحظ من (19.24) و (19.25) أن هذه الانتقالات ممكنة وعندئذ يتغير العدد  $z$  كما يتغير العدد  $l$  أى  $\Delta z = \Delta l \pm 1$  ، أما إذا درسنا الانتقالات بين حالتين تتميزان بنوعين مختلفين من الحلول :

$$j' = l' - 1/2 - z = l + 1/2 \text{ أو } z = l' + 1/2 - z = l - 1/2$$

فإننا نجد باعتبار  $\Delta l = \pm 1$  أن  $\Delta z = 0 + 2, -2$  . ويجب الانتباه هنا إلى أن للمعاملين  $D''$  و  $C''$  اشارتين مختلفتين إضافة إلى ذلك يبدو أن الحدين يتباينان مع بعضهما عندما  $\Delta z = \pm 2$  مما يمنع هذا الانتقال . أما عندما  $\Delta z = 0$  فلا يندم الفرق ولكن شدة الإشعاع الناتج هنا ستكون أضعف من تلك الشدة الناتجة عن نوعين متشابهين من الحلول عندما  $\Delta z = \pm 1$  ، لأن كلا من الحدين يشارك بإشارة مختلفة ، وهكذا نأخذ قاعدة الانتقاء بالأعداد الكوانتية فى الحقل المركزى ، دون اهمال التأثيرات المغزلية ، الشكل التالى :

$$\Delta l = \pm 1, \quad \Delta m_j = 0, \pm 1 \quad (19.38)$$

$$\Delta z = \begin{cases} \pm 1 & \text{( شدة عادية )} \\ 0 & \text{( شدة أضعف )} \end{cases}$$

هـ) معادلة ديراك فى التقريب اللانسبى (الباولى) والتقريب النسبى الضعيف . إذا أردنا تطبيق معادلة ديراك على دراسة حركة الالكترونات ذات السرعات الصغيرة بالنسبة لسرعة الضوء ( $v/c \ll 1$ ) فإن تأثير الحقل المغناطيسى الناتج عن المغزل على الالكترون يظهر عند اعتبار



الحدود من المرتبة  $v/c$  (تقريب باولى اللانسي) وتظهر التأثيرات المغزلية ، عند دراسة حركة الالكترونون فى حقل كهربائى أثناء حساب الحدود من المرتبة  $(v/c)^2$  (التقريب النسبى الضعيف) \* ولهذا نستطيع كتابة معادلة ديراك بشكلها التقريبي ، فى حالة السرعة غير الكبيرة جدا ، بالافتصار على الحدود ذات المرتبة  $(v/c)^2$  كحد أعلى ، ويظهر بوضوح ضمن هذا التقريب ، كما سنرى بعد قليل ، دور كل من الحدود النسبية والمغزلية . ولهذه الغاية نكتب معادلة ديراك ( 18.23 ) بشكلها المصفوفى :

$$\left[ F \begin{pmatrix} 1' & 0' \\ 0' & 1' \end{pmatrix} - c \left( \begin{pmatrix} 0' & \sigma' \\ \sigma' & 0' \end{pmatrix} \mathbf{P} \right) - m_0 c^2 \begin{pmatrix} 1' & 0' \\ 0' & -1' \end{pmatrix} \right] \begin{pmatrix} \psi_1 \\ \psi_2 \\ \psi_3 \\ \psi_4 \end{pmatrix} = 0$$

وعندئذ إذا فصلناها إلى معادلتين مصفوفيتين تحوى كل منهما على مصفوفة ذات سطرين ، انظر ( 18.17 ) و ( 18.11 ) ، فإننا نحصل عوضا عن المعادلة السابقة على المعادلتين التاليتين :

$$\begin{aligned} (F - m_0 c^2) \begin{pmatrix} \psi_1 \\ \psi_2 \end{pmatrix} &= c (\sigma' \mathbf{P}) \begin{pmatrix} \psi_3 \\ \psi_4 \end{pmatrix} \\ (F + m_0 c^2) \begin{pmatrix} \psi_3 \\ \psi_4 \end{pmatrix} &= c (\sigma' \mathbf{P}) \begin{pmatrix} \psi_1 \\ \psi_2 \end{pmatrix} \end{aligned} \quad (19.39)$$

وبالرغم من أن للمعادلة الأخيرة شكلا جديدا فهي لا تكون شكلا مضبوطا من معادلة ديراك ، انظر ( 18.26 ) . تتعلق مركبات التابع الموجى  $\psi_0$  فى المعادلة ( 19.39 ) بصورة عامة بالزمن أى  $\psi_0(r, t)$  وإذا لم يتعلق الحقلان الكهربائى والمغناطيسى بالزمن فيمكن الانتقال إلى الحالة المستقرة :

\* نذكر أنه فى التحريك الكهربائى ( الالكتروديناميكا ) تحسب الحدود من المرتبة الأولى فى الصفر للمقدار  $v/c$  لأن  $c$  التى تساوى سرعة الضوء ، بوجود الحقلين الكهربائى والمغناطيسى ، والتى تعبر عن النسبة بين المقادير المقاسة فى وحدات كهربائية مغناطيسية ، أما التحريك الكهربائى النسبى فيبدأ اعتبارا من الحدود ذات المرتبة الثانية فى الصفر من  $(v/c)$  .

$$\psi_p(r, t) = \exp\left[-\frac{i}{\hbar}(E + m_0c^2)t\right] \psi_p(r) \quad (19.40)$$

والاقتصار على دراسة الطاقة الموجبة  $E + m_0c^2 > 0$  ، فاصلين بذلك الطاقة الخاصة  $m_0c^2$  عن الطاقة الكلية ويبدو أن هذه الطريقة مفيدة جدا لدراسة الحركة التي تحدث بسرعة صغيرة حيث يكون للحدود اللانسبية القسط الأكبر . وبتعويض ( 19.40 ) في ( 19.39 ) ثم الاقتصار على الحد الزمنى  $\exp\left[-\frac{i}{\hbar}(E + m_0c^2)t\right]$  فإننا نجد

$$(E - e\Phi) \begin{pmatrix} \psi_1 \\ \psi_2 \end{pmatrix} = c(\sigma'P) \begin{pmatrix} \psi_3 \\ \psi_4 \end{pmatrix} \quad (19.41)$$

$$(2m_0c^2 + E - e\Phi) \begin{pmatrix} \psi_3 \\ \psi_4 \end{pmatrix} = c(\sigma'P) \begin{pmatrix} \psi_1 \\ \psi_2 \end{pmatrix} \quad (19.42)$$

ومن الأخيرة نجد أن :

$$\begin{pmatrix} \psi_3 \\ \psi_4 \end{pmatrix} = \frac{1}{2m_0c} \left(1 + \frac{E - e\Phi}{2m_0c^2}\right)^{-1} (\sigma'P) \begin{pmatrix} \psi_1 \\ \psi_2 \end{pmatrix} \quad (19.43)$$

ولنلاحظ أن المعادلتين ( 19.41 ) و ( 19.43 ) خلافا لـ ( 19.39 ) لا تحويان الزمن . ولنبين أولا طريقة الحصول على معادلة باولى حيث تحسب فقط الحدود من المرتبة  $v/c$  (التقريب اللانسبى) . فإذا لاحظنا  $E - e\Phi = \frac{m_0v^2}{2}$  فيمكن اهمال المقدار  $\frac{E - e\Phi}{2m_0c^2}$  أمام الواحد ، وعندئذ نحصل من ( 19.43 ) على :

$$\begin{pmatrix} \psi_3 \\ \psi_4 \end{pmatrix} = \frac{(\sigma'P)}{2m_0c} \begin{pmatrix} \psi_1 \\ \psi_2 \end{pmatrix} \quad (19.44)$$

وعندما تكون الطاقة موجبة تصبح المركبتان  $\begin{pmatrix} \psi_3 \\ \psi_4 \end{pmatrix}$  « صغيرتين » من المرتبة  $v/c$  بالنسبة للمركبتين « الكبيرتين »  $\begin{pmatrix} \psi_1 \\ \psi_2 \end{pmatrix}$  لأن  $\frac{P}{m_0c} \sim \frac{v}{c}^*$

\* نجد من أجل قيم الطاقة السالبة عندما  $E = -|E| - m_0c^2$  على العكس ، أما المركبتين  $\begin{pmatrix} \psi_1 \\ \psi_2 \end{pmatrix}$  تكونان « الصغيرتين » والمركبتين  $\begin{pmatrix} \psi_3 \\ \psi_4 \end{pmatrix}$  تكون « الكبيرتين » .

ولنحذف المركبتين « الصغيرتين » وذلك بتعويض ( 19.44 ) في ( 19.41 )  
 فنجد لحساب المركبتين « الكبيرتين » المعادلة التالية :

$$(E - e\Phi) \begin{pmatrix} \psi_1 \\ \psi_2 \end{pmatrix} = \frac{1}{2m_0} (\sigma' P) (\sigma' P) \begin{pmatrix} \psi_1 \\ \psi_2 \end{pmatrix}$$

ثم إذا أخذنا بعين الاعتبار العلاقة \* التي تصح من أجل مصفوفة باولي  
 ومصفوفات ديراك :

$$(\sigma' a) (\sigma' b) = (ab) + i (\sigma' [ab]) \quad (19.45)$$

فإننا نجد

$$(\sigma' P) (\sigma' P) = P^2 + i (\sigma' [PP])$$

ثم بتعويض P بقيمتها المعروفة

$$P = p - \frac{e}{c} A$$

نجد أن :

$$[PP] \psi = -\frac{e}{c} ([pA] + [Ap]) \psi$$

وبملاحظة أن المؤثر P يؤثر على التوابع التي تقع على يمينه فإنه يمكن  
 أن تكتب :

$$[pA] \psi = -[Ap] \psi + \psi [pA] = -[Ap] \psi + \frac{\hbar}{i} \mathcal{H} \psi$$

حيث  $\mathcal{H} = \text{rot } A$  هو شدة الحقل المغناطيسي ، وبالتالي نجد أن :

$$[PP] \psi = -\frac{e\hbar}{ic} \mathcal{H} \psi$$

ولهذا يكون :

$$(\sigma' P) (\sigma' P) = P^2 - \frac{e\hbar}{c} (\sigma' \mathcal{H})$$

\* لبرهان هذه المساواة نكتب القسم الايسر من ( 19.45 ) بالشكل التالي :

$$(\sigma' a) (\sigma' b) = (\sigma'_1 a_x + \sigma'_2 a_y + \sigma'_3 a_z) (\sigma'_1 b_x + \sigma'_2 b_y + \sigma'_3 b_z)$$

وباعتبار  $\sigma_1^2 = 1$  و  $\sigma_1 \sigma_2 = -\sigma_2 \sigma_1 = i\sigma_3$  ، ، ، ، انظر ( 16.27 ) ( 16.28 ) ، نجد أن

$$\begin{aligned} (\sigma' a) (\sigma' b) = & a_x b_x + a_y b_y + a_z b_z + i\sigma'_3 (a_x b_y - a_y b_x) + \\ & + i\sigma'_2 (a_z b_x - a_x b_z) + i\sigma'_1 (a_y b_z - a_z b_y) \end{aligned}$$

أى أن معادلة ديراك تؤول ، إذا أخذنا بعين الاعتبار الحدود المتناسبة مع  $v/c$  وحدها ، إلى معادلة باولى ، انظر ( 16.20 ) ، أو

$$\left( E - e\Phi - \frac{p^2}{2m_0} + \frac{eh}{2m_0c} (\sigma' \mathcal{H}) \right) \psi = 0 \quad (19.46)$$

ان ظهور الحد الاضافى التالى :

$$V^{\text{magn}} = - (\mu \mathcal{H})$$

الذى يعتبر تصحيحا على طاقة الالكترتون ، يؤدى إلى أن يكون لهذا الالكترتون عزم مغناطيسى هو :

$$\mu = \frac{eh}{2m_0c} \sigma' \quad (19.47)$$

هذا العزم الذى حسبت قيمته فى نظرية باولى انطلاقا من المعطيات التجريبية . وبما أن هذا العزم المغناطيسى ( يسمى أحيانا العزم المغناطيسى الحركى أو الديراكى ) يظهر عند الانتقال إلى التقريب اللانسىبى الذى يأخذ بعين الاعتبار الحدود من المرتبة الأولى للصغر للمقدار  $v/c$  فيجب أن يكون للطاقة المغناطيسية  $V^{\text{magn}}$  نفس المرتبة بـ  $v/c$  بالنسبة للطاقة اللانسيبية . وإذا لاحظنا قيمة العزم الميكانيكى للالكترتون ، انظر ( 19.4a ) ، أى أن :

$$S = \frac{\hbar}{2} \sigma'$$

فيمكن الحصول كنتيجة لنظرية ديراك على العلاقة التالية :

$$\mu = \frac{e}{m_0c} S. \quad (19.48)$$

وهى نفس العلاقة التى وضعت سابقا لتفسير تجربة اينشتين - دى هاز . ولندرس الآن تأثير الظواهر النسبية والمغزلية على حركة الالكترتون فى حقل كهربائى ( كولونى مثلا ) ، ولهذا يجب ابقاء الحدود المغزلية بالاضافة إلى الحدود ذات المرتبة  $(v/c)$  ثم اهمال الكمون المتجه (  $A = 0$  ) أى أن

$P = p$  . هذا بالإضافة إلى أنه عند الانتقال إلى التقريب المشار إليه أى من التوابع ذات الأربع مركبات إلى التوابع ذات المركبتين يجب إعادة المعايرة انطلاقاً من العلاقة :

$$(\psi_1^* \psi_2^* \psi_3^* \psi_4^*) \begin{pmatrix} \psi_1 \\ \psi_2 \\ \psi_3 \\ \psi_4 \end{pmatrix} = (\Psi_1^* \Psi_2^*) \begin{pmatrix} \Psi_1 \\ \Psi_2 \end{pmatrix} \quad (19.49)$$

وبفرض أن

$$\begin{pmatrix} \psi_1 \\ \psi_2 \end{pmatrix} = N \begin{pmatrix} \Psi_1 \\ \Psi_2 \end{pmatrix}, \quad (\psi_1^* \psi_2^*) = (\Psi_1^* \Psi_2^*) N$$

فإننا نحصل للمركبات « الصغيرة » بدلالة « الكبيرة » بالتقريب إلى  $(v/c)^2$  على العبارات التالية :

$$\begin{pmatrix} \psi_3 \\ \psi_4 \end{pmatrix} = \frac{1}{2m_0c} \left( 1 - \frac{E - e\Phi}{2m_0c^2} \right) (\sigma' p) N \begin{pmatrix} \Psi_1 \\ \Psi_2 \end{pmatrix} \quad (19.50)$$

ثم إذا لاحظنا أن  $(\sigma p)(\sigma p) = p^2$  واقتصرنا فيما يلى على الحدود التى تتجاوز المرتبة الثانية فى الصغر للمقدار  $(v/c)^2$  ، فإننا نجد بواسطة شروط إعادة المعايرة (19.49) ما يلى :

$$(\Psi_1^* \Psi_2^*) \left( N^2 + N \frac{p^2}{4m_0^2c^2} N \right) \begin{pmatrix} \Psi_1 \\ \Psi_2 \end{pmatrix} = (\Psi_1^* \Psi_2^*) \begin{pmatrix} \Psi_1 \\ \Psi_2 \end{pmatrix}$$

ومنه نحصل على العلاقة التالية :

$$N = 1 - \frac{p^2}{8m_0^2c^2} \quad (19.51)$$

هذا ويمكن التحقق من صحة (19.51) إذا بدلنا قيمة  $N$  فى المساواة السابقة ، ولهذا نحصل ضمن هذا التقريب على المعادلتين التاليتين :

$$\begin{pmatrix} \psi_1 \\ \psi_2 \end{pmatrix} = \left( 1 - \frac{p^2}{8m_0^2c^2} \right) \begin{pmatrix} \Psi_1 \\ \Psi_2 \end{pmatrix} \quad (19.52)$$

$$\begin{pmatrix} \psi_3 \\ \psi_4 \end{pmatrix} = \frac{1}{2m_0c} \left( 1 - \frac{E - e\Phi}{2m_0c^2} - \frac{p^2}{8m_0^2c^2} \right) (\sigma' p) \begin{pmatrix} \Psi_1 \\ \Psi_2 \end{pmatrix}$$

وبالمناسبة نلاحظ فى تقريب باولى ( الذى يأخذ بعين الاعتبار الحدود من المرتبة الأولى ( أى  $v/c$  ) ان معامل المعايرة السابق يساوى الواحد .  
وبتبديل العبارة السابقة فى (19.41) نجد أن :

$$\left\{ E - e\Phi - \frac{1}{8m_0^2c^2} (E - e\Phi) p^2 \right\} \begin{pmatrix} \Psi_1 \\ \Psi_2 \end{pmatrix} =$$

$$= \left\{ \frac{p^2}{2m_0} - (\sigma' p) \frac{E - e\Phi}{4m_0^2c^2} (\sigma' p) - \frac{p^4}{16m_0^3c^2} \right\} \begin{pmatrix} \Psi_1 \\ \Psi_2 \end{pmatrix} \quad (19.53)$$

ولنكتب الآن العلاقات التي سنحتاج إليها فيما بعد \* :

$$(\sigma' p) (E - e\Phi) (\sigma' p) = (E - e\Phi) p^2 - i\hbar e (\sigma' \mathcal{E}) (\sigma' p) =$$

$$= (E - e\Phi) p^2 - i\hbar e (\mathcal{E} p) + e\hbar (\sigma' [\mathcal{E} p]) \quad (19.54)$$

و

$$\frac{p^4}{2m_0} = p^2 (E - e\Phi) = (E - e\Phi) p^2 + \frac{2\hbar e}{i} (\mathcal{E} p) + \hbar^2 e \nabla^2 \Phi \quad (19.55)$$

حيث  $\mathcal{E} = \nabla\Phi$  هو قيمة الحقل الكهربائي أما المؤثران  $\nabla$  و  $\nabla^2$  فيؤثران على الكمون  $\Phi$  فقط ومن (19.55) نجد أن :

$$(E - e\Phi) p^2 = \frac{p^4}{2m_0} + 2i\hbar e (\mathcal{E} p) - \hbar^2 e \nabla^2 \Phi \quad (19.56)$$

وبتعويض (19.54) و (19.56) في (19.53) نجد معادلة ديراك في التقريب المدروس ، أى أن :

$$\left( E - e\Phi - \frac{p^2}{2m_0} \right) \begin{pmatrix} \Psi_1 \\ \Psi_2 \end{pmatrix} = V' \begin{pmatrix} \Psi_1 \\ \Psi_2 \end{pmatrix} \quad (19.57)$$

حيث تساوى الطاقة المضافة ذات المرتبة  $(v/c)^2$  إلى معادلة شرودينجر اللانسية أى أن :

$$V' = -\frac{p^4}{8m_0^3c^2} - \frac{e\hbar}{4m_0^2c^2} (\sigma' [\mathcal{E} p]) + \frac{\hbar^2 e}{8m_0^2c^2} \nabla^2 \Phi \quad (19.58)$$

وحيث يمثل الطرف الأيسر من المعادلة (19.57) حركة الجسيم فى حقل كهربائى راسخ ضمن التقريب اللانسيبى . أما فى القسم الأيمن منها فتوجد طاقة التفاعل الاضافية التى تصف التأثيرات المغزلية النسبية ، حيث يمثل الحد الأول من الطرف الأيمن فى المساواة الأخيرة :

\* من الواضح أن (19.54) و (19.55) هما علاقتان بين المؤثرات ، ولهذا يكون من الضرورى عند برهانهما أن يؤثر كلا من المؤثرين  $p$  و  $\sigma'$  على تابع موجى (مصفوفة) يفترض أنه على يمين هذه العلاقات .

$$V^{rel} = - \frac{p^4}{8m_0^3c^2} \quad (19.59)$$

يمثل التصحيح الإضافي على السرعة المغزلية للجسيم ، ويجب أن تظهر هذه الطاقة الاضافية ، أيضا في معادلة كلين - جوردون المماثلة . ويمكن الحصول على المماثل الكلاسيكي لهذا الحد عند نشر الهاملتونيان والافتقار على الحدود ذات المرتبة الثانية  $(v/c)^2$  حيث نجد أن :

$$H = \sqrt{m_0^2c^4 + p^2c^2} = m_0c^2 + \frac{p^2}{2m_0} - \frac{p^4}{8m_0^3c^2}$$

أما الحد الثاني في ( 19.58 ) فيمثل ما يسمى بالتفاعل المغزلي المداري :

$$V^{s.-o.} = - \frac{e\hbar}{4m_0^2c^2} (\sigma' [\mathcal{E}p]) \quad (19.60)$$

وهو يصف تفاعل العزم المغناطيسي للجسيم المتحرك مع الحقل الكهربائي .

ملاحظة : يمكن تفسير ظهور هذا الحد في النظرية الكلاسيكية بما يلي : يكتسب العزم المغناطيسي لجسيم متحرك بسرعة  $v$  باعتبار أن هذا العزم هو مركبة فراغية ( تينزرية ) يكتسب عزمًا كهربائيا اضافيا يساوي المركبة الفراغية الزمنية للمقدار التنسوري التالي :

$$\mu_{el} = \frac{1}{c} [v\mu] = \frac{1}{m_0c} [\rho\mu] \quad (19.61)$$

ونتيجة لذلك يكتسب الالكترونون تفاعلا اضافيا مع الحقل الكهربائي للنواة هو :

$$V^{cl} = - (\mathcal{E}\mu_{el}) = - \frac{e\hbar}{2m_0^2c^2} (\sigma' [\mathcal{E}p]) \quad (19.62)$$

وهو أكبر بعمرتين مما رأيناه في الحالة الكوانتية ، انظر ( 19.60 ) ، ومن الملاحظ أنه حدثت محاولة قبل ظهور نظرية ديراك ، لتفسير البنية الدقيقة بطريقة نصف كلاسيكية وذلك بواسطة التفاعل المداري - المغزلي . ولكي يتم التوافق مع التجربة كان لا بد من وضع معامل يساوي  $1/2$  كما اقترح كلا من توماس والعالم السوفييتي النظري فريينكل ، ولقد سمي هذا المعامل الذي ينتج اليا في نظرية ديراك بتصحيح توماس - فريينكل .

ولنحسب  $s=0$  . باعتبار أن  $\phi$  هو الحقل الكولوني للنواة الذي يحسب بالشكل التالي :

$$\Phi = \frac{Ze_0}{r}, \quad \mathcal{E} = \frac{Ze_0 r}{r^3}, \quad e = -e_0 \quad (19.63)$$

وإذا بدلنا في (19.60) نجد أن  $v^{s=0}$  يساوى :

$$v^{s=0} = \frac{Ze_0^2 (SL)}{2m_0^2 c^2 r^3} \quad (19.64)$$

حيث  $S = \frac{\hbar}{2} \sigma'$  هو العزم المغزلى و  $L = [rp]$  هو العزم المدارى . هذا ويجب أن ينعدم التفاعل المدارى المغزلى (19.64) فى الحالة  $s$  ، حيث ينعدم العزم المدارى . وأخيرا فإن الحد الاضافى الباقى فى نهاية الطرف الأيمن من (19.58) يساوى :

$$v^{\text{cont}} = \frac{\hbar^2 e}{8m_0^2 c^2} \nabla^2 \Phi = \frac{\pi \hbar^2 Z e_0^2}{2m_0^2 c^2} \delta(r) \quad (19.65)$$

هذا الحد يسمى بالتفاعل التماسى ، أما الطاقة الاضافية المقابلة له فهى

$$\Delta E^{\text{cont}} = \int \Psi^+ v^{\text{cont}} \Psi d^3x \quad (19.65a)$$

التي تتناسب مع  $|\Psi(0)|^2$  وهى تختلف عن الصفر فقط فى الحالة  $(l=0)$  لأنه  $|\Psi(0)|^2$  تختلف عن الصفر فقط فى هذه الحالة ، وهذا المقدار ينعدم دائما عندما  $r=0$  . وانطلاقا من ذلك يمكن دراسة الحد التماسى كحالة خاصة من التفاعل المدارى المغزلى الذى يحصل عندما  $l=0$  وهكذا نرى أن الحدين الأخيرين (19.58) يميزان الخواص المغزلية للإلكترون .

( و ) معادلة ديراك للنترون والبروتون . من المعلوم أن معادلة ديراك تصف حركة الجسيمات ذات المغزل  $1/2$  وهى لا تطبق فقط على الالكترتون بل على البروتون والنترون ، ويجب عند وجود الحقل الكهربائى



أن نعتبر شحنة البروتون وحدها إلا أنه يتولد لكل من البروتون والنترون عزم مغناطيسي، يخلق عند ظهور الحقل الكهربائي، سمي بالعزم المغناطيسي الشاذ ، ويجب التذكير بأن طاقة تفاعل الجسيم الديراكي المشحون مع الحقل الكهربائي ، تساوى

$$V_e = e\Phi - e(\alpha A) \quad (19.66)$$

هذه الطاقة الناتجة عن وجود عزم ميكانيكى خاص  $(\frac{h}{2} \sigma)$  ، والمحتواة أيضا فى التقريب اللانسبى، تضم العزم المغناطيسى الديراكى :

$$\mu_e = \frac{eh}{2m_0c} \sigma \quad (19.66a)$$

ولكن يجب عند الانتقال إلى الحالة النسبية أن نضع القيمة النسبية عوضا عن  $m_0$  ، ولهذا ينعدم العزم المغناطيسى الديراكى عندما تزداد السرعة ، وصولا إلى القيمة فوق النسبية  $(v \sim c)$  . ويمكن أن يكون للجسيم عزم مغناطيسى شاذ لا ينعدم حتى فى السرعة فوق النسبية بالاضافة إلى العزم المغناطيسى الديراكى الذى يظهر فقط فى التقريب اللانسبى والذى تتعين قيمته بشحنة الجسيم . ونشكل الآن طاقة تفاعل العزم المغناطيسى الشاذ مع الحقل الكهربائي ، ان طاقة تفاعل الالكترون (19.66) مع الحقل الكهربائى ستكون مقدارا عدديا من وجهة نظر الفراغ الرباعى وفى الحقيقة أن الكمون العدى والشعاعى يؤلفان متجها رباعيا هو :

$$i\Phi = A_4, \quad A_x = A_1, \quad A_y = A_2, \quad A_z = A_3$$

وبالضبط فإن مصفوفة الواحدة هى المركبة الرابعة لمصفوفة السرعة  $(\alpha_i = i\beta^i)$  ومنه نرى امكانية تمثيل طاقة التفاعل (19.66) فى الفراغ الرباعى كمقدار عددى هو :

\* بعبارة أدق تخضع المقادير  $\alpha_i = ec\psi^+ \alpha_i \psi$  ، انظرو (18.32) ، حيث  $(\alpha_1, \alpha_2, \alpha_3, I)$  تخضع إلى قانون تحويل المتجه الرباعى .

$$V_e = -e \sum_{\mu=1}^4 \alpha_{\mu} A_{\mu} \quad (19.66b)$$

ومن المعلوم أن مركبات الحقل الكهروطيسي تشكل رتلا لا متناظرا من المرتبة الثانية ، أي أن :

$$\mathcal{H}_{\mu\nu} = \frac{\partial A_{\nu}}{\partial x_{\mu}} - \frac{\partial A_{\mu}}{\partial x_{\nu}} \quad (19.67)$$

$$x_4 = ict.$$

حيث

ومنه نجد

$$\begin{aligned} \mathcal{H}_x &= \mathcal{H}_{23}, & \mathcal{H}_y &= \mathcal{H}_{31}, & \mathcal{H}_z &= \mathcal{H}_{12} \\ i\mathcal{E}_x &= \mathcal{H}_{41}, & i\mathcal{E}_y &= \mathcal{H}_{42}, & i\mathcal{E}_z &= \mathcal{H}_{43} \end{aligned} \quad (19.68)$$

ولهذا يجب كتابة طاقة تفاعل العزم المغناطيسي الشاذ  $\mu$  مع الحقل الكهربائي بالشكل التالي :

$$V_m = \mu \sum_{\mu, \nu=1}^4 \alpha_{\mu\nu} \mathcal{H}_{\mu\nu} \quad (19.69)$$

حيث  $\alpha_{\mu\nu}$  هي مصفوفة من المرتبة الثانية مؤلفة من مصفوفة\* ديراك . فإذا استخدمنا قوانين التحويل اللورنتزى للتابع الموجي ، انظر (18.39) أو الدورانية الفراغية فيمكن البرهان أن عناصر المصفوفة المؤلفة للرتل من المرتبة الثانية هي الكميات :

$$\begin{aligned} \alpha_{23} &= \rho_3 \sigma_1, & \alpha_{31} &= \rho_3 \sigma_2, & \alpha_{12} &= \rho_3 \sigma_3, & \alpha_{41} &= -i\rho_2 \sigma_1 \\ \alpha_{42} &= -i\rho_2 \sigma_2, & \alpha_{43} &= -i\rho_2 \sigma_3 \end{aligned} \quad (19.70)$$

ولهذا تأخذ طاقة تفاعل العزم المغناطيسي الشاذ مع الحقل الكهربائي ، الشكل التالي :

$$V_m = \mu [\rho_3 (\sigma \mathcal{H}) + \rho_2 (\sigma \mathcal{E})] \quad (19.71)$$

\* بعبارة أدق أن الرتل من المرتبة الثانية هو المصفوف  $\psi^+ \alpha_{\mu\nu} \psi$

ويؤخذ المغناطيون النووي كوحدة لقياس العزوم المغناطيسية للبروتون والنترون وبصورة عامة يعطى بالعلاقة التالية :

$$\mu_{\text{nucl}} = \frac{e_0 h}{2m_p c} = \frac{m_0}{m_p} \mu_0 = \frac{1}{1836,1} \mu_0 = 0,505 \cdot 10^{-23} \text{ erg} \cdot \text{gauss}^{-1}$$

وهو يساوى القيمة الديراكية للعزم المغناطيسى للبروتون ( $\mu_p^{\text{Dir}} = \mu_{\text{nucl}}$ ) . . . ويرتبط وجود هذا العزم بوجود الشحنة عند البروتون ( $e_p = e_0$ ) ووجود العزم الميكانيكى الخاص ( أى المغزل ) مع العلم أن  $m_p$  هى كتلة البروتون و  $\mu_0$  مغناطيون بور . وقد برهنت المعطيات التجريبية أن للبروتون ، بالإضافة إلى ذلك ، عزمًا مغناطيسيا شاذًا يساوى

$$\mu_p^{\text{anom}} = 1,79 \mu_{\text{nucl}}$$

وهو ما يجب أن نضعه فى ( 19.71 ) خلافا للعزم المغناطيسى الديراكى نرى أن العزم الشاذ يحتفظ بقيمته فى التقريب اللانسبى ولا يندم فى التقريب فوق النسبى . وهكذا يساوى العزم المغناطيسى الكلى للبروتون ، طبقا للتقريب النسبى ما يلى :

$$\mu_p = \mu_p^{\text{Dir}} + \mu_p^{\text{anom}} = 2,79 \mu_{\text{nucl}}$$

وبما أن شحنة النترون تساوى الصفر ، فإن عزمه المغناطيسى الديراكى يساوى الصفر أيضا ولكن لهذا النترون ، كما برهنت تجارب بلوخ - الفاريز ، عزمًا مغناطيسيا شاذًا يساوى :

$$\mu_n = - 1,91 \mu_{\text{nucl}}$$

أن ظهور العزم المغناطيسى الشاذ عند البروتون والنترون مرتبط بتفاعلها النووى مع حقل الميزون  $p$  ( التفاعل القوى \* ) .

\* نلاحظ أن التفاعل القوى بين البروتون والنترون يفوق التفاعل الكهرطيسى من أجل الأبعاد النووية الصغيرة من رتبة  $10^{-12}$  . أما من أجل الأبعاد الذرية الكبيرة (  $10^{-8} - 10^{-9}$  ) فإن التفاعل القوى قصير الأجل وينعدم عملياً .

## البند ٢٠ - البنية الدقيقة لطيف الذرات الشبيهة بالهيدروجين

( أ ) صياغة المسألة . ينتج من نظرية حركة الالكترون في الحقل الكولونى للنواة ( الذرة الشبيهة بالهيدروجين ) ، طبقا لمعادلة شرودينجر أن عبارة الطاقة هي :

$$E_n^0 = - \frac{RhZ^2}{n^2} \quad (20.1)$$

وهي تتوافق مع المعطيات التجريبية إلا أنه لا يمكن قبول هذه القيمة إلا فى التقريب الصفرى . وقد برهنت الدراسة التفصيلية لطيف الذرات أن للخطوط الطيفية بنية دقيقة لا يمكن فهمها استنادا إلى نظرية شرودينجر ، حيث لا تؤخذ بعين الاعتبار تابعة كتلة الالكترون إلى سرعته والتأثيرات المغزلية ، ومن الممكن صياغة نظرية لذرة الهيدروجين تأخذ بعين الاعتبار البنية الدقيقة لهذه الذرة ، انطلاقا من معادلة ديراك . ونلاحظ أولا امكانية حل معادلة كبلر بكل دقة بواسطة نظرية ديراك إلا أن هذا الحساب يتطلب من الناحية الرياضية عمليات ضخمة أكثر تعقيدا من الحسابات بواسطة نظرية شرودينجر ، وليس من السهل دائما ادراك الفكرة الفيزيائية الكامنة وراء هذه الحسابات ، ولهذا سنستخدم لحل المعادلة طريقة أبسط تعتمد على الصيغ التقريبية فى البند السابق . وهذه الطريقة تسمح بالحصول على صيغ بدقة تصل إلى حدود المرتبة  $\left(\frac{v}{c}\right)^2$  ، بالاضافة إلى أنها تعطى تفسيراً للحدود الأخرى ، كنتيجة لظهور الخواص النسبية والمغزلية للالكترون .

( ب ) حساب التأثيرات النسبية والمغزلية . إذا اعتبرنا التأثيرات المغزلية كما رأينا فى البند ١٩ ، انظر ( 19.24 ) و ( 19.25 ) ، يكون للتابع الموجى الشكل التالى :

$$\Psi = R_{nl} Y_{lm}^{\lambda} \quad (20.2)$$

حيث  $Y_{lm}^{(l)}$  السبينور الكروي ، مع العلم أنه عندما  $z = l + 1/2$  فإن المغزل يوازي العزم المدارى وعندما  $z = l - 1/2$  يعاكسه ، أما  $R_{nl}$  فهو القسم القطر من التابع الموجى . ويمكن استخدام الحل ( 20.2 ) لحساب سويات الطاقة التى تأخذ بعين الاعتبار الحدود من المرتبة  $\left(\frac{v}{c}\right)^2$  والتى تحوى التفاعل المدارى المغزلى المتناسب مع (LS) ، انظر ( 19.64 ) ، بالرغم من أن هذا الحل يختص بالتقريب الصفرى . ويعود سبب ذلك إلى أن مؤثر التفاعل المغزلى - المدارى يتبادل مع مركبة العزم الكلى على  $J$  وحدها ، انظر ( 19.11 ) و ( 19.12 ) وان الحل ( 20.2 ) هو بالضبط التابع الخاص لهذا المؤثر\* . ولهذا يستخدم الحل ( 20.2 ) عندما لا تؤثر على الذرة أية قوى خارجية اضطرابية تفوق فى قيمتها قوى التفاعل المغزلى المدارى ، أما إذا لم يتحقق ذلك فإن الرابطة المغزلية المدارية تتمزق ويجب عندئذ صياغة العلاقة بين التوابع الكروية الداخلة فى ( 20.2 ) انطلاقاً من معطيات جديدة للمسألة . كما أن السبينورات الكروية ، كالتوابع الكروية ، تحقق المعادلة :

$$\nabla_{\theta, \varphi}^2 Y_{lm}^{(l)} = -l(l+1)Y_{lm}^{(l)} \quad (20.3)$$

ولهذا نجد نفس المعادلة التى استخدمت فى حالة مسألة شرودينجر اللانسية ، لحساب القسم القطرى فى ( 20.2 ) وهى التالية :

$$\nabla_r^2 R_{nl} + \left( \frac{2m_0 E_n^0}{\hbar^2} + \frac{2m_0}{\hbar^2} \frac{Z e_0^2}{r} - \frac{l(l+1)}{r^2} \right) R_{nl} = 0$$

حيث تتعين قواعد الاختيار تماماً لكل الأعداد الكوانتية بواسطة التابع ( 20.2 ) ؛ ذلك لأن قواعد الاختيار للعدد الكوانتى الرئيسى  $n$  ستبقى كما

\* بهذا الصدد نذكر أنه يمكن اختيار الحل فى التقريب الصفرى بالشكل التالى :

$$\psi = R_{nl} Y_l^m \quad (20.2a)$$

حيث  $Y_l^m$  هو التابع الكروي ، غير أن العبارة ( 20.2a ) هى التابع الخاص للمؤثر  $L$  الذى لا يتبادل مع مؤثر التفاعل المغزلى - المدارى ، ولهذا لا يصلح الحل ( 20.2a ) لحساب البنية الدقيقة الناتجة ، بصورة خاصة ، عن التفاعل المغزلى - المدارى .

كانت في نظرية شرودينجر ، انظر ( 12.68 ) . وإذا أخذنا كل ذلك بعين الاعتبار فإننا نحصل على قواعد الاختيار للذرة الشبيهة بالهيدروجين دون اهمال التأثيرات المغزلية ، أى أن :

$$\Delta l = \pm 1, \quad \Delta j = 0, \pm 1, \quad \Delta m_j = 0, \pm 1 \quad (20.4)$$

حيث  $-\Delta n$  - عدد صحيح وفي مسألتنا هذه يمكن حساب التصحيح المناسب على الطاقة ( 20.1 ) فى التقريب الصفري ، إذا علمنا التقريب الصفري للتابع الموجى ( 20.2 ) وطاقة التفاعل الاضافية الناجمة عن التأثيرات النسبية والمغزلية ، انظر ( 19.59 ) ، كما أن التصحيح النسبى لسويات الطاقة طبقا للعلاقة ( 19.59 ) هو التالى :

$$\Delta E^{rel} = - \int (\Psi^{(l)})^+ \frac{p^4}{8m_0^3 c^2} \Psi^{(l)} d^3x \quad (20.5)$$

وفي الحالة المدروسة يكون :

$$\begin{aligned} \frac{p^2}{2m_0} \Psi^{(l)} &= \left( E_n^0 + \frac{Ze_0^2}{r} \right) \Psi^{(l)} \\ (\Psi^{(l)})^+ \frac{p^2}{2m_0} &= (\Psi^{(l)})^+ \left( E_n^0 + \frac{Ze_0^2}{r} \right) \end{aligned} \quad (20.6)$$

وهذا التفاعل الاضافى لا يتعلق بالزاويتين الكرويتين  $\varphi$  و  $\vartheta$  ، ولهذا بملاحظة التكامل بالزاوية المجسمة

$$\oint d\Omega (Y_{lm}^{(l)})^+ Y_{lm}^{(l)} = 1 \quad (20.7)$$

نحصل على الطاقة الاضافية الخاصة بالتأثيرات النسبية :

$$\begin{aligned} \Delta E^{rel} &= - \frac{1}{2m_0 c^2} [(E_n^0)^2 + 2E_n^0 Z e_0^2 \langle r^{-1} \rangle + Z^2 e_0^4 \langle r^{-2} \rangle] = \\ &= - \frac{R h Z^4 \alpha^2}{n^4} \left( \frac{n}{l + 1/2} - \frac{3}{4} \right) \end{aligned} \quad (20.8)$$

حيث  $\alpha = \frac{e_0^2}{hc} \approx \frac{1}{137}$  هو ثابت البنية الدقيقة ، مع العلم أننا استفدنا من المساواة ( 12.40 ) كى نحصل على العلاقة الأخيرة ، تلك المساواة التى ينتج منها أن :

$$\langle r^{-1} \rangle = \frac{Z}{a_0} \frac{1}{n^2} = \frac{2R\hbar Z}{e_0^2 n^2}$$

$$\langle r^{-2} \rangle = \left( \frac{Z}{a_0} \right)^2 \frac{1}{n^3 (l + 1/2)} = \frac{2RZ^2 m_0}{\hbar n^3 (l + 1/2)}$$

وتتطابق الصيغة (20.8) مع عبارة الطاقة النسبية الاضافية التي حسبت في نفس التقريب بواسطة معادلة كلين - جوردون النسبية ، انظر (17.31) ، وبالطريقة نفسها وبمساعدة (19.64) نحسب الطاقة الاضافية الناجمة عن التفاعل المغزلي المدارى :

$$\Delta E^{s.-o.} = \frac{Ze_0^2}{2m_0^2 c^2} (SL) \langle r^{-3} \rangle \quad (20.9)$$

وبالاستفادة من حساب  $\langle r^{-3} \rangle$  الوارد فى (12.40a) نكتب :

$$\langle r^{-3} \rangle = \left( \frac{Z}{a_0} \right)^3 \frac{1}{n^3 l (l + 1/2) (l + 1)}$$

ومن حساب عبارة (SL) الواردة فى (19.28) و (19.18a) التى تعطى

$$(SL) = \begin{cases} \frac{\hbar^2}{2} q & , \quad l \neq 0 \\ 0 & , \quad l = 0 \end{cases}$$

نحصل للطاقة (20.9) على القيمة التالية :

$$\Delta E^{s.-o.} = R\hbar \frac{Z^4 \alpha^2}{2n^3} \frac{q (1 - \delta_{l0})}{l (l + 1/2) (l + 1)} \quad (20.10)$$

حيث تمثل الرموز فى العلاقات الأخيرة ما يلى :

$$q = j(j+1) - l(l+1) - s(s+1) = \begin{cases} l & j = l + 1/2 \\ -(l+1) & j = l - 1/2 \end{cases} \quad (20.11)$$

$$\delta_{l0} = \begin{cases} 0 & , \quad l \neq 0 \\ 1 & , \quad l = 0 \end{cases} \quad (20.12)$$

وأخيرا نحسب الطاقة التى تقابل التفاعل التماسى ، وهى تساوى طبقا لـ (19.65) إلى :

$$\Delta E^{\text{cont}} = \pi \frac{\hbar^2 Z e_0^2}{2m_0^2 c^2} |\Psi(0)|^2 \quad \text{حيث}$$

$$|\Psi(0)|^2 = R_{nl}^2(0) Y_{lm}^{(j)+} Y_{lm}^{(l)} \quad (20.13)$$

ثم إذا أخذنا بعين الاعتبار العلاقة

$$|R_{nl}(0)|^2 = \frac{4}{n^3} \delta_{l0} \left(\frac{Z}{a_0}\right)^3$$

انظر (12.40) ، ، وعلمنا أن :

$$|Y_{lm}^{(l)}|^2 = \frac{1}{4\pi} \text{ عندما } l=0 \text{ و } j=1/2$$

فإننا نجد \* :

$$|\Psi(0)|^2 = \frac{\delta_{l0}}{\pi n^3} \left(\frac{Z}{a_0}\right)^3 \quad (20.14)$$

أى أن

$$\Delta E^{\text{cont}} = R\hbar \frac{Z^4 \alpha^2}{n^3} \delta_{l0} \text{ * } \quad (20.15)$$

ومنه نجد الطاقة الاضافية التى تأخذ بعين الاعتبار كلا من التأثيرات النسبية والتفاعلات المغزلية - المدارية وكذلك التفاعلات التلامسية ، وهذه الطاقة هى التالية :

$$\begin{aligned} \Delta E &= \Delta E^{\text{rel}} + \Delta E^{\text{S-Z}} + \Delta E^{\text{cont}} = \\ &= -R\hbar \frac{Z^4 \alpha^2}{n^4} \left[ \frac{n}{l+1/2} - \frac{3}{4} - \frac{qn(1-\delta_{l0})}{2l(l+1/2)(l+1)} - n\delta_{l0} \right] \end{aligned}$$

وبتبديل قيمة  $q$  من (20.11) نجد أن :

$$\Delta E_{nl} = -R\hbar \frac{Z^4 \alpha^2}{n^4} \left( \frac{n}{j+1/2} - \frac{3}{4} \right) \quad (20.16)$$

\* والجدير بالذكر امكانية استنتاج (20.15) بطريقة ثانية كنهاية لـ (20.10) التى تعطى التفاعل المغزلى المدارى من أجل  $l=0$  عندما نهمل الحد  $\delta_{l0}$  . ولهذا نرى كثيرا من المؤلفين يحصلون على العلاقة (20.17) بدون ادخال فرضية التفاعل التماسى ، لكن هذا التطابق عرضى لأن مقام العبارة (20.10) يساوى الصفر دائما فى الحالة  $s$  أما البسط فينعدم فى التقريب النسبى وحده ، وفى بعض الحالات الأخرى ، عندما توجد فى الذرة مجموعة الكترونات ، لا يمكن الحصول على الطاقة التماسية كحالة خاصة من التفاعل المغزلى المدارى .



وعليه نحصل على صيغة البنية الدقيقة لطيف ذرة الهيدروجين إذا دمجتنا  
النتيجتين (20.1) و (20.16) ، أى أن :

$$E_{nl} = E_n^0 + \Delta E_{nl} = -\frac{RHZ^2}{n^2} \left[ 1 + \frac{Z^2 a^2}{n^2} \left( \frac{n}{l+1/2} - \frac{3}{4} \right) \right] \quad (20.17)$$

ومنه نجد أن تباعد السويات الطاقية يتناسب مع مربع ثابت البنية الدقيقة للذرة  
الشبيهة بالهيدروجين .

ملاحظة : يعطى الحل الدقيق لمعادلة ديراك تعميم العلاقة (17.30) الذى لا يهمل التأثيرات النسبية  
عند وجود المغزل :

$$E_{nl} = m_0 c^2 \left[ 1 + \frac{Z^2 a^2}{(n-j-1/2 + \sqrt{(j+1/2)^2 - Z^2 a^2})^2} \right]^{-1/2} - m_0 c^2 \quad (20.17a)$$

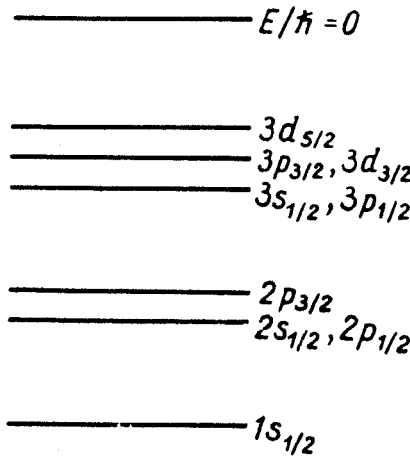
ويمكن الحصول على (20.17) انطلاقاً من (20.17a) إذا تم نشر هذه الأخيرة بسلسلة ، باعتبار أن  $Z^2 a^2$   
لا متناهى فى الصغر ، والاقتران على الحدين الأولين . فإذا أخذنا القيمة الصغرى لـ  $z$  ، وهى  
 $z = 1/2$  ، نجد أن الحركة المستقرة فى الحقل الكولونى لنواة تمتد طبقاً لنظرية ديراك حتى  $Z_{crit} = 137$   
بينما تصل قيمتها الحدية ، فى نظرية كلين - جوردون ، عندما  $Z_{crit} = 1/2 \cdot 137$  ، انظر (17.33) ،  
ويعود سبب التزايد فى قيمة  $Z_{crit}$  إلى أن التأثيرات المغزلية تكافئ جزئياً التأثيرات النسبية ، وهكذا نرى  
أن الحالة المستقرة (بما فيها السوية الدنيا) للالكترونون فى الحقل الكولونى

$v = -\frac{Ze_0^2}{\dots}$   
(أى الحركة التى تكون فيها الطاقة سالبة  $E < 0$ ) ، وهذه الحالة محدودة بقيمة عظمى للطاقة الكامنة  
( $Z_{crit} = 137$ ) مما يودى إلى طاقة حرجة :  $E_{crit} = -m_0 c^2$  أما عندما  $Z > Z_{crit}$  فيصبح ممكناً ظهور  
الأزواج الكترون - بوزيترون (تناقض كلين) وعندئذ لا يوجد أى معنى لمسألة الجسم الواحد ، وبهذه  
المناسبة نذكر أنه يمكن الحصول على الحالات المستقرة (بما فيها الحالة الدنيا) لأى قيمة من الطاقة ،  
إذا وضعت الالكترونات فى حقل مغناطيسى ثابت ومتجانس .

ج) دراسة البنية الدقيقة طبقاً لنظرية ديراك . يبدو أن سويات طاقة  
ذرة الهيدروجين عند حساب البنية الدقيقة لهذه الذرة تتبع أيضاً العدد الكوانتى  
الداخلى  $z$  ، حيث تعطى الحدود الذرية بالعلاقة :

$$(nl) = -\frac{E_{nl}}{h} = \frac{RZ^2}{n^2} \left[ 1 + \frac{Z^2 a^2}{n^2} \left( \frac{n}{l+1/2} - \frac{3}{4} \right) \right] \quad (20.18)$$

ومنه نجد أن البنية الدقيقة طبقاً لنظرية ديراك تتعلق فقط بالعدد الكوانتى



الشكل ٢٠ - ١ . مخطط سويات الطاقة لذرة الهيدروجين .

الرئيسي  $n$  والعدد الكوانتي الداخلي  $l$  ، خلافا لنظرية كلين - جوردون اللانسية ، لا تتعلق بالعدد الكوانتي المداري  $l$  . ويبدو من المخطط ( الشكل ٢٠ - ١ ) ، انقسام الحدود إلى قسمين لأن كل قيمة  $l$  تقابل قيمتين  $l$  فمثلا نجد عوضا عن الحد  $2p$  ( $l=1$ ) الحدين  $2p_{1/2}$  و  $2p_{3/2}$  ، وتشذ عن ذلك الحدود  $s$  ( $l=0$ ) ، التي تعطى  $l$  قيمة واحدة هي  $(j=1/2)$  وهكذا نرى أن حساب التأثيرات النسبية والمغزلية يؤدي إلى بعض الانخفاض في الحدود  $s$  ولكن لا يؤدي إلى انقسامها ( الشكل ٢٠ - ١ ) ، ونلاحظ أنه يصيب رتبة الانطباق بعض التغير نتيجة لانقسام السويات الطاقوية ، وفي الحقيقة يمكن للعدد الكوانتي الرئيسي أن يأخذ القيم التالية :  $n = 1, 2, 3, 4, \dots$  . ويتغير العدد الكوانتي المداري  $l$  من القيمة  $l = 0$  ( الحالة  $s$  ) إلى القيمة  $l = n - 1$  ، أما العدد الكوانتي الداخلي فيأخذ القيم  $l = 0$  ( $l=0$ )  $z = 1/2$  وأخيرا يتحول العدد الكوانتي  $m_l$  من  $m_l = -z$  إلى  $m_l = +z$  أي أنه يأخذ  $2z + 1$  قيمة نصف صحيحة من أجل قيمة معينة ل  $z$  .

وهكذا نرى أن رتبة الانطباق التي يتميز بها أي حقل مركزي ،  
 والمرتبطة بتكافؤ الاتجاهات المختلفة ، تساوي  $2z + 1$  ( تذكر بأنها تساوي  
 $2l + 1$  للجسيمات عديمة المغزل ) ، هذا بالإضافة إلى وجود انطباق خاص  
 في الحقل الكولوني بالعدد  $l$  ( لأن الطاقة لا تتعلق ب  $l$  ) . وبما أن العدد  
 الكوانتي  $l$  يمكن أن يأخذ قيمتين من أجل  $z$  معينة ( $l = z \pm 1/2$ ) فإن رتبة  
 الانطباق الكلية تصبح  $2(2z + 1)$  وتشذ عن ذلك الحالة  $z = n - i/2$  لأن  
 $l$  يمكن أن تأخذ عندئذ القيمة  $l = z - 1/2$  ( تذكر بأن الحالة  $l = n$   
 محظورة ) ، وتكون رتبة الانطباق لهذه الحالة  $2z + 1$  ، ونلاحظ أن أي  
 اخلال بالحقل الكولوني للشحنة النقطية ( أخذ أبعاد النواة أو التصحيحات  
 الفراغية بعين الاعتبار ) ينزع تماما الانطباق ب  $l$  . ولحساب تباعد الخطوط  
 الطيفية من الضروري أن نأخذ بعين الاعتبار قانون الاختيار ( 20.4 ) ،  
 وعندئذ نجد عوضا عن سلسلة لايمان السلسلتين :

$$\omega^{(1)} = (1s_{1/2}) - (np_{1/2})$$

( وهي خطوط ضعيفة الشدة لأن  $\Delta j = 0$  ) . أو

$$\omega^{(2)} = (1s_{1/2}) - (np_{3/2}) \quad | \quad (20.19)$$

أما بالنسبة لسلسلة بالمير فنجد الانقسامات التالية :

$$\omega^{(1)} = (2s_{1/2}) - (np_{1/2})$$

$$\omega^{(2)} = (2s_{1/2}) - (np_{3/2})$$

$$\omega^{(3)} = (2p_{1/2}) - (ns_{1/2})$$

$$\omega^{(4)} = (2p_{1/2}) - (nd_{3/2}) \quad (20.20)$$

$$\omega^{(5)} = (2p_{3/2}) - (ns_{1/2})$$

$$\omega^{(6)} = (2p_{3/2}) - (nd_{3/2})$$

$$\omega^{(7)} = (2p_{3/2}) - (nd_{3/2})$$

مع العلم أن الخط الطيفي  $(2p_{1/2}) - (nd_{3/2})$  يجب أن يختفى لأن في هذه

الحالة يكون  $\Delta z = 2$  ( انتقال ممنوع ) . ونلاحظ أنه إذا بقي الانطباق بـ  $l$  فإن الخطين الطيفيين  $\omega^{(1)}$  و  $\omega^{(3)}$  وكذلك  $\omega^{(2)}$  و  $\omega^{(4)}$  يتطابقان لأن لسويتيهما البدائية والنهائية العدد الكوانتى الرئيسى نفسه والعدد الكوانتى الداخلى  $z$  نفسه ، وبالطريقة نفسها يمكن حساب قانون تباعد السويات الأخرى ، وعندئذ نرى أن أخفض سوية طاوية تتعرض للتباعد هى السوية  $n = 2$  ، وقد درست هذه الحالة فى نرة الهيدروجين ( $Z = 1$ ) دراسة تجريبية دقيقة ، فإن السوية  $n = 2$  يجب أن تنقسم إلى ثلاث سويات ، وطبقا للنظرية التى شرحناها الآن سنجد اثنين منها أى أن :

$$(2s_{1/2}) = (2p_{1/2}) = \frac{R}{4} \left[ 1 + \frac{\alpha^2}{4} \left( 2 - \frac{3}{4} \right) \right] \quad (20.21)$$

$$(2p_{3/2}) = \frac{R}{4} \left[ 1 + \frac{\alpha^2}{4} \left( 1 - \frac{3}{4} \right) \right]$$

ونحسب تواتر الانتقالات بينهما طبقا لنظرية ديراك فنجد :

$$\Delta\omega^D = (2p_{3/2}) - (2p_{1/2}) = R \frac{\alpha^2}{16} \quad (20.22)$$

وهذا ما يساوى :  $1.095 \cdot 10^4$  MHz . وفى الوقت نفسه ، بحساب هذا التباعد ( بأخذ التأثيرات المغزلية وحدها بعين الاعتبار ) وكذلك معادلة كلين - جوردون ، انظر ( 17.32 ) ، نجد أن :

$$\Delta\omega^{K-G} = (2s) - (2p) = \frac{8}{3} \frac{R\alpha^2}{16} \quad (20.23)$$

وهو أكبر بثلاث مرات مما وجدناه فى نظرية ديراك ، وهكذا نرى أن أخذ الخواص المغزلية بعين الاعتبار يقلل من التأثيرات النسبية . وقد أكدت التجارب صحة نتائج نظرية ديراك بدقة عالية ، ومن الطريف أن نذكر بهذه المناسبة أن زومرفيلد هو أول من حصل على البنية الدقيقة للطيف طبقا لنظرية بور نصف الكلاسيكية ، بعد أن أدخل فيها العبارة النسبية للهاملتونيان ، وقد حصل زومرفيلد طبقا للنظرية النسبية واللامغزلية على العبارة ، انظر ( 20.22 ) ، التالية :

$$\Delta \alpha_{\text{Som}} = (2s) - (2p) = \frac{Ra^2}{16} \quad (20.24)$$

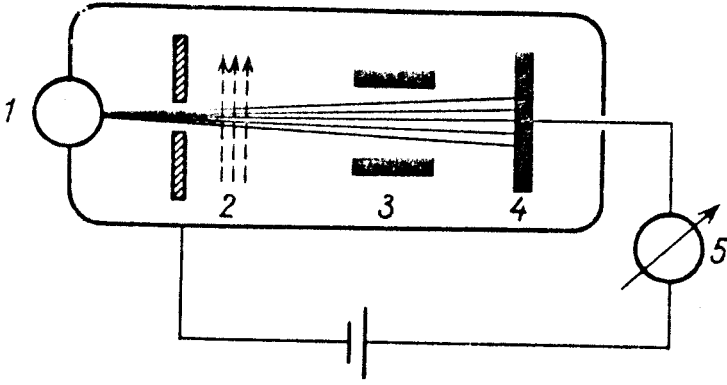
ويبدو أن تطابق نتائج زومرفيلد وديراك عرضي لأن التأثيرات المغزلية في نظرية زومرفيلد لم تحسب ولهذا لم تتمكن من الحصول على ثلاث سويات تلك السويات التي تأكد وجودها فيما بعد تجريبيا .

( د ) التحقيق التجريبي لنظرية البنية الدقيقة . ان النجاح الكبير الذي أحرزته نظرية ديراك هو تفسيرها للبنية الدقيقة للأطياف الذرية ، كنتيجة لظهور التأثيرات النسبية والمغزلية ، إلا أن التحقيقات الدقيقة لم تعط توافقا تاما مع التجربة . ولقد كانت مسألة السويتين  $2p_{1/2}$  و  $2s_{1/2}$  اللتين يجب أن تتحدا مع بعضهما في سوية واحدة في نرة الهيدروجين ، طبقا لنظرية ديراك ، انظر ( 20.21 ) ، موضوعا لدراسات خاصة . واعتبارا من عام ١٩٣٤ بدأ علماء الطيوف يشكون في صحة هذه النظرية إلا أن أبحاثهم التجريبية كانت بعيدة عن الكمال ، وقد تم التأكد بعد ذلك من صحة المعطيات التجريبية المتعلقة بانزياح السويات بعد قياسها بطريقة الطيوف الاشعاعية ، وقد ظهرت طريقة الطيوف الاشعاعية وتطورت بسرعة في السنوات الأخيرة نتيجة للتطور الهندسى في مجالات الهندسة الاشعاعية للأمواج القصيرة\* . وقد برزت الآن الطيوف الاشعاعية كفرع متميز في الفيزياء يعطى معلومات قيمة في أبحاث النوى والذرات والجزيئات ، كما وتستخدم طرائق الطيوف الاشعاعية هذه في فيزياء الأجسام الصلبة والسائلة وغيرها . ولقد طبق لامب ورنر فورد ١٩٤٧ طرائق الطيوف الاشعاعية لدراسة وضع السويتين  $2p_{1/2}$  و  $2s_{1/2}$  كما استفادا من الخاصة المميزة

\* يقصد بالاشعاعات ذات التواترات فوق العالية للأمواج القصيرة تلك الاشعاعات التي أطوال موجاتها محصورة بين عدة ملليمترات وعشرات السنتيمترات (  $10^6 - 10^9$  MHz ) أما نجاح الطيوف الاشعاعية في أبحاث طيوف الذرات فيعود إلى أن البعد بين فرعى السوية المنقسمة ، نتيجة للتأثيرات النسبية والمغزلية والفراغية ، يطابق أطوال الموجات في مجالات التواترات الاشعاعية .

للسوية  $2s_{1/2}$  ، وهي أنها شبه مستقرة ، إذ أن الانتقال منها إلى السوية  $1s_{1/2}$  ، الذي ينتج عنه اشعاع ثنائي أقطاب ، هذا الانتقال محظور لأنه لا يحقق قواعد الاختيار ( لأن  $\Delta l = 0$  ) \* . ان الانتقال من الحالة شبه المستقرة جانز ، أما باصدار فوتونين ( ان احتمال مثل هذا الانتقال أصغر بـ  $10^8$  مرة من الانتقال المسموح ) ، أو بانتقال مسبق إلى السوية  $2p$  ، وقد بحث زرنفورد ولامب الحالة الثانية . ولندرس بصورة عامة مخطط التجربة ( الشكل ٢٠ - ٢ ) . إذ نحصل على حزمة ذرات في الحالة  $1s_{1/2}$  غير المهيجة عن طريق تفكك جزيئات الهيدروجين بالحرارة العالية ( فرن التنجستين ) ثم تعرض هذه الحزمة لتيار جارف من الالكترونات يهيج قسما صغيرا منها ( واحد من مئة مليون تقريبا ) حتى تصل إلى الحالة شبه المستقرة  $2s_{1/2}$  ومن السهل على هذه المدارات ، خلافا للذرات المستقرة ، أن تعطى طاقتها المهيجة عندما تسقط على هدف ( دريئة ) معدنى حيث تقطع منه بعض الالكترونات مما يخلق تيارا الكترونيا يقاس بغلفانومتر حساس ، وإذا تعرضت حزمة الذرات المستقرة إلى الاضطراب الذي يستدعى الانتقال  $2p - 2s$  فإنها تنتقل فورا بعد ذلك إلى الحالة  $1s$  ، دون أن تجد الوقت الكافي لبلوغ الدريئة ( الهدف ) ، مما ينتج تناقص قياس الغلفانومتر . وقد صممت التجربة بحيث يسبب حقل الاشعاع الانتقالات المذكورة ( احتمال الانتقالات الاختيارية صغير جدا ) ، وبالإضافة إلى أنه يحدث امتزاز قوى عند تواتر معين ينقطع عنده تيار الهدف حيث يعتبر هذا التواتر  $\omega$  بمثابة تواتر تجاوبى ويسبب بالتالى الانتقالات الاجبارية التالية  $2s_{1/2} - 2p_{1/2}$  ،  $2s_{1/2} - 2p_{3/2}$  ، ومن ثم تحدث الانتقالات الخاطفة إلى السوية  $1s_{1/2}$  أما الطاقة  $h\omega$  فتقابل الفرق بين هاتين الحالتين ، وهكذا

\* وينحى ذلك للانتقالات المقابلة لاشعاع ثنائيات الاقطاب ، وقد برهننا الحسابات أن الانتقالات المقابلة لاشعاع رباعيات الاقطاب محظورة أيضا بين  $1s_{1/2}$  و  $2s_{1/2}$  .



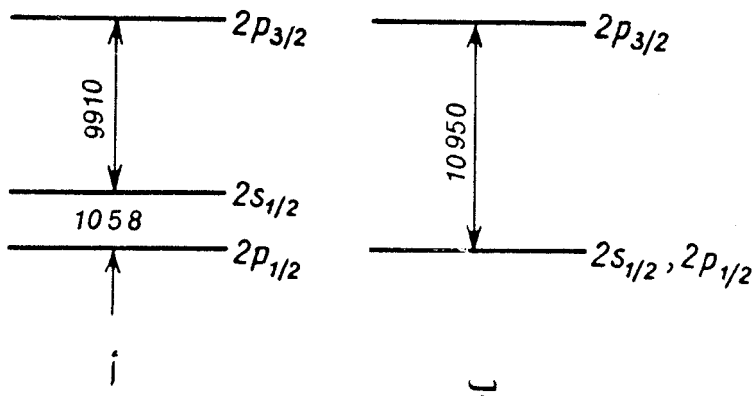
الشكل ٢٠ - ٢ . مخطط تجارب لامب . رذرفورد لتبيان انشطار السويتين  $2s_{1/2}$  و  $2p_{1/2}$  .  
 ١ - الفرن التنجستيني الذي يصدر حزمة ذرات الهيدروجين ؛ ٢ - تيار الالكترونات الصادرة من الفترات  
 المهيجة ؛ ٣ - حقل التواترات الاشعاعية ؛ ٤ - الدريئة ؛ ٥ - مقياس غلفاني .

اكتشفت امكانية غاية في الدقة للقياس النسبي للسويتات\*

$$2s_{1/2} \text{ و } 2p_{1/2} \text{ و } 2p_{3/2}$$

ولوحظ من نتائج القياسات أن السوية  $2s_{1/2}$  مزاحة نحو الأعلى بمقدار  $1/10$  المسافة بين السويتين الثنائيتين  $(2p_{1/2}) - (2p_{3/2})$  وهذا ما يساوي  $R \frac{\alpha^2}{16}$  وقد مثلت أوضاع سويتات ذرة الهيدروجين التي حصل عليها لامب ورذرفورد ، على الشكل ٢٠ - ٣ . وللمقارنة رسمنا على الشكل نفسه توضع السويتات نفسها ولكنها محسوبة طبقا لنظرية ديراك وقد قدرت المسافات بين السويتات بالمعاهرتز . وطبقا للمعطيات الجديدة فإن انزياح السوية  $2s_{1/2}$  يساوي تقريبا 1057,86 MHz أو ما يقابل طول موجة 28 cm تقريبا . وقد بدا فيما بعد أن هذا التعارض البسيط بين النظرية والتجربة سيقود إلى تقدم رائع في التحريك الكهربائي الكوانتي ، انظر البند ٢١ .

\* لقد ثبتت في تجارب لامب ورذرفورد موجة التواتر الاشعاعي واختبرت شروط التجارب التي توافق الفرق بين مركبتي زيمان بين السويتين  $2s_{1/2}$  و  $2p_{1/2}$  و  $2p_{3/2}$  ، عن طريق تغيير الحقل المغناطيسي  $\mathcal{H}$  ، ثم باستقرار النتائج وجد المؤلفون انزياحا في السوية من أجل  $\mathcal{H} = 0$  .



الشكل ٢٠-٣. انشطار الحدود في ذرة الهيدروجين . ( أ ) المعطيات التجريبية ؛ ( ب ) معطيات نظرية ديراك ( بإهمال الظواهر الفراغية ) ، التواترات المقابلة للانتقالات مقدرة بـ MHz .

هـ) البنية فوق الدقيقة لطيف ذرة الهيدروجين . ترتبط البنية فوق الدقيقة للخطوط الطيفية بتفاعل العزم المغناطيسي للنواة مع العزم المغناطيسي للإلكترون . وإذا كان لنواة الهيدروجين ( $Z = 1$ ) عزم مغناطيسي  $\mu_p = \mu_p \sigma'_p$  ( هي المصفوفات المغزلية للبروتون ) فإن هذه النواة ستخلق حقلا مغناطيسيا اضافيا ، أى أن :

$$A = \text{rot} \frac{\mu_p \sigma'_p}{r} , \quad \mathcal{H} = \text{rot} A \quad (20.25)$$

وهذا الحقل المغناطيسي للنواة يجب أن يؤثر على العزم المغناطيسي للإلكترون  $\mu = -\mu_0 \sigma'$  ( هي المصفوفات المغزلية للإلكترون ) ، ويظهر نتيجة لذلك تفاعل اضافي بين النواة والإلكترون يؤدي إلى البنية فوق الدقيقة

$$\begin{aligned} \mathcal{H}_{h.f.} &= -(\mu \mathcal{H}) = \mu_0 \mu_p \left( \sigma' \text{rot} \text{rot} \frac{\sigma'_p}{r} \right) = \\ &= \mu_0 \mu_p \left( (\sigma' \nabla) (\sigma'_p \nabla) \frac{1}{r} - (\sigma' \sigma'_p) \nabla^2 \frac{1}{r} \right) \end{aligned} \quad (20.26)$$

وفي التقريب الأول سنفرض غياب الاتجاهات المميزة ولهذا نجد بالاستفادة من المساواة :



$$(\sigma' \nabla) (\sigma'_p \nabla) = \frac{1}{3} (\sigma' \sigma'_p) \nabla^2 , \quad \nabla^2 \frac{1}{r} = -4\pi \delta(r) \quad (20.27)$$

أن

$$V^{h.f.} = \frac{8\pi}{3} \mu_0 \mu_p (\sigma' \sigma'_p) \delta(r) \quad (20.28)$$

أى أن تفاعل العزوم المغناطيسية ، كالتفاعل التماسى ، يؤثر فقط على الحالة  $s$  فى التقريب الأول ، هذا ويمكن حساب العبارة  $(\sigma' \sigma'_p)$  الواردة فى الصيغة (20.28) انطلاقاً مما يلى :

من السهل تركيب مؤثر المغزل الكلى من مصفوفتى البروتون  $\sigma'_p$  والالكترون  $\sigma'$  لنحصل على المؤثر التالى :

$$S = \frac{\hbar}{2} (\sigma' + \sigma'_p) \quad (20.29)$$

الذى يكون لمربعه القيمة الخاصة  $(h^2 S(S+1))$  ، أى أن :

$$S^2 = \frac{1}{4} [\sigma'^2 + \sigma_p'^2 + 2(\sigma' \sigma'_p)] \rightarrow S(S+1)$$

ويمكن للقيمة  $S$  أن تساوى الصفر ( عندما يتعاكس المغزلان ) أو الواحد ( عندما يتوازيان ) ، وباعتبار أن  $\sigma'^2 + \sigma_p'^2 = 6$  نجد أن :

$$(\sigma' \sigma'_p) \rightarrow 2S(S+1) - 3 \quad (20.30)$$

وبما أن التكامل بالتابع  $\delta$  يساوى :

$$\int \Psi^+ \Psi \delta(r) d^3x = |\Psi(0)|^2$$

فإننا نحصل على العبارة التى تعطى انزياح السويات -  $s$  لذرة الهيدروجين ( البنية فوق الدقيقة ) ، أى أن :

$$\Delta E_S = \frac{\hbar}{3} \mu_0 \mu_p \frac{1}{n^3 a_0^3} [2S(S+1) - 3] \quad (20.31)$$

حيث  $a_0 = \frac{\hbar^2}{m_0 e^2}$  هو نصف قطر مدار بور الأول أما قيمة  $|\Psi(0)|^2$  فقد أخذت

من المساواة (20.14) . ويجب تمييز حالتين :

١ - مغزلا الالكترتون والبروتون متعاكسان، ( $S = 0$ ) ، وعندئذ :

$$\Delta E_{S=0} = -8\mu_0\mu_p \frac{1}{n^3 a_0^3} \quad (20.32)$$

٢ - مغزلا الالكترتون والبروتون متوازيان ( $S = 1$ ) ، وعندئذ :

$$\Delta E_{S=1} = \frac{8}{3}\mu_0\mu_p \frac{1}{n^3 a_0^3} \quad (20.33)$$

أما الفرق بين هاتين السويتين فيميز انقسام السوية  $s$  الناتج عن تفاعل الالكترتون مع الحقل المغناطيسي للنواة ، أى أن :

$$\Delta\omega = \frac{\Delta E_{S=1} - \Delta E_{S=0}}{\hbar} = \frac{32}{3} \frac{\mu_0\mu_p}{\hbar} \frac{1}{n^3 a_0^3} \quad (20.34)$$

وإذا حسبنا طبقا لهذه العلاقة انقسام السوية  $s$  عندما  $n = 1$  وذلك بتبديل  $\mu_p$  بقيمتها المقاسة فى تجربة رابى و  $\mu_0$  بمغناطون بور فاننا نجد :

$$\Delta\omega^{\text{theor}} = 1417 \text{ MHz}$$

ومن جهة أخرى فقد برهن التحقيق التجريبي الدقيق لانقسام السويتين المذكورتين المقاس بطريقة\* الطيف الاشعاعى أن :

$$\Delta\omega^{\text{exp}} = 1420 \text{ MHz}$$

ان أخذ التأثيرات النسبية أو محدودية الكتلة بعين الاعتبار لا يزيد من التواتر النظرى  $\Delta\omega^{\text{theor}}$  بحيث يصل إلى التواتر المطلوب  $\Delta\omega^{\text{exp}}$  . وكذلك فإن القياس التجريبي للعزم المغناطيسى للبروتون يعتبر فى غاية الدقة ، ولهذا

\* وهكذا نرى أن طول الموجة الموافقة للانتقال بين أخفض سويتين فى البنية فوق الدقيقة لذرة الهيدروجين يساوى 21,1cm ويلعب طول الموجة هذا دورا كبيرا فى علم الفلك الاشعاعى عند دراسة الكون وبصورة خاصة أمكن قياس توزع كثافة الهيدروجين وسرعته عن طريق التغيير الدوبلورى لتواتر الاشعاع وذلك بواسطة أمواج اشعاعية ذات طول 21,1cm وهذا ما أدى بدوره إلى حساب سرعة دوران المجرة وتدقيق بنية غيوم ماجلان وبنية مجموعات النجوم من مجرتنا ، ولهذا لم يكن غريبا أن كثيرا من المناطيد الاشعاعية مبنى على هذه الموجة ، وكان أول من أشار إلى أهمية الاشعاع هو العالم الفلكى السوفييتى شكوفسكى .

ولهذا لم يبق لنا لفهم هذا الشذوذ سوى شيء واحد وهو القبول بأن العزم المغناطيسي للإلكترون لا يساوى مغناطيون بور وإنما أكبر بقليل . ولكي يتم الحصول على توافق مع التجربة برهن كوشى وفولى بأن العزم المغناطيسي للإلكترون يجب أن يكون كما يلي :

$$\mu_{ei} = -\mu_0(1 + \delta) \quad (20.35)$$

هذا بالإضافة إلى أن :

$$\delta = 0,00116$$

وهكذا نرى أن للإلكترون عزما مغناطيسيا شاذا هو  $\mu_{ei}^{anom} = -\mu_0\delta$  ، وسنلقى بعض الضوء على طبيعة العزوم المغناطيسية الشاذة فى البند ٢٢ .

( و ) ظاهرتا زيمان العادية والشاذة . لقد درسنا فى البند ١٦ ظاهرة زيمان طبقا لنظرية شرودينجر الانسبية تلك النظرية التى استطاعت تفسير ظاهرة زيمان العادية وحدها ، أى الانقسام الثلاثى للخطوط الطيفية للذرات الموضوعه فى حقل مغناطيسى ، ولا يمكن بناء النظرية الكاملة لظاهرتى زيمان سواء الشاذة منها ( أى الانقسام المتعدد للخطوط الطيفية ) أو العادية ( الانقسام الثلاثى ) إلا على أساس نظرية ديراك التى لا تحسب فيها التأثيرات النسبية وحدها وإنما التأثيرات المغزلية أيضا ، وبما أن ظاهرة زيمان الشاذة تنجم عن التأثيرات المغزلية فلا تستطيع النظرية الكلاسيكية ولا الميكانيكا الموجية تفسيرها . ويكفى لكتابة معادلة ديراك ( 19.57 ) كأساس لهذه النظرية ) فى التقريب النسبى الضعيف الذى تحسب فيه التأثيرات المغزلية . ولنفرض أن الحقل المغناطيسى متجه باتجاه المحور z أى أن :  $\mathcal{H}_z = \mathcal{H}_y = 0, \mathcal{H}_z = \mathcal{H}$  عندئذ نجد طبقا لـ ( 16.4 ) أن :

$$\frac{p_z^2}{2m_0} \simeq \frac{p^2}{2m_0} + \frac{e_0}{m_0c} (Ap) = \frac{p^2}{2m_0} - \mu_0 \mathcal{H} \frac{\partial}{\partial \phi} \quad (20.36)$$

ولهذا نستطيع كتابة المعادلة (19.57) بالشكل :

$$\left(E + \frac{Ze_0^2}{r} - \frac{p^2}{2m_0}\right) \begin{pmatrix} \psi_1 \\ \psi_2 \end{pmatrix} = (V^{\text{rel}} + V^{s.-o.} + V^{\text{cont}} + V^{\text{magn}}) \begin{pmatrix} \psi_1 \\ \psi_2 \end{pmatrix} \quad (20.37)$$

حيث تعطى الحدود  $V^{\text{rel}}$  و  $V^{s.-o.}$  و  $V^{\text{cont}}$  بالعلاقات (19.59) و (19.64) و (19.65) على الترتيب وعندئذ يتم توسيها بالعلاقة :

$$\Delta E_{nl} = \int (\psi_1^* \psi_2^*) (V^{\text{rel}} + V^{s.-o.} + V^{\text{cont}}) \begin{pmatrix} \psi_1 \\ \psi_2 \end{pmatrix} d^3x \quad (20.38)$$

وعليه فإننا نحصل على صيغة البنية الدقيقة (20.16) أى أن :

$$\Delta E_{nl} = -R\hbar \frac{Z^4 \alpha^2}{n^4} \left( \frac{n}{j+1/2} - \frac{3}{4} \right) \quad (20.39)$$

أما عندما يوجد حقل مغناطيسى فلا بد أن يظهر تفاعل آخر فى الطرف الأيمن من (20.37) هو التالى :

$$V^{\text{magn.}} = \mu_0 \mathcal{H} \left( -i \frac{\partial}{\partial \phi} + \sigma'_3 \right) \quad (20.40)$$

(  $\sigma'_3$  - مصفوفة بلولى ) (16.26) وهذا الحد الأخير يضيف طاقة جديدة للذرة هى التالية :

$$\Delta E^{\text{magn}} = \mu_0 \mathcal{H} \int (\psi_1^* \psi_2^*) \left( -i \frac{\partial}{\partial \phi} + \sigma'_3 \right) \begin{pmatrix} \psi_1 \\ \psi_2 \end{pmatrix} d^3x. \quad (20.41)$$

ويلاحظ أن العلاقة بين الطاقات الاضافية تحدد بوضوح فيما إذا كانت ظاهرة زيمان شاذة ( حالة الحقل المغناطيسى الضعيف ) أو عادية ( حالة الحقل المغناطيسى القوى ) . ولنفترض أن الحقل المغناطيسى ضعيف نسبيا ، بحيث يكون تفاعل الالكترونات الذرية معه أقل من التفاعل النسبى أو أقل من التفاعل المغزلى المدارى ، وعندئذ يجب أن نأخذ التابع الموجى (20.2) الذى حصلنا عليه عند أخذ الرابطة المغزلية - المدارية بعين الاعتبار ، وبوضع هذا التابع فى (20.41) نحصل على الطاقة الاضافية التالية:

$$\Delta E^{\text{magn}} = \mu_0 \mathcal{H} \int_0^\infty |R_{nl}|^2 r^2 dr \oint (Y_{lm}^{(l)})^+ \left( -i \frac{\partial}{\partial \phi} + \sigma'_3 \right) Y_{lm}^{(l)} d\Omega \quad (20.42)$$

مع ملاحظة أن التكامل بـ  $r$  فى المساواة الأخيرة يجب أن يساوى الواحد :

$$\int_0^{\infty} |R_{nl}|^2 r^2 dr = 1$$

وبتعويض السبينورات الكروية بقيمتها من ( 19.24 ) و ( 19.25 ) ثم اعتبار شروط المعايرة للتوابع الكروية نجد أن :

$$\oint (Y_l^m)^* (Y_l^m) d\Omega = 1$$

ونحصل عندما  $z = l + 1/2$  على العبارة التالية :

$$\begin{aligned} \Delta E^{\text{magn}} &= \frac{\mu_0 \mathcal{H}}{2l+1} [(l+m)m + (l+1-m)(m-1)] = \\ &= \mu_0 \mathcal{H} (m - 1/2) \frac{2(l+1)}{2l+1} \end{aligned}$$

وبنفس الطريقة تماما نجد من أجل  $z = l - 1/2$  ما يلى :

$$\begin{aligned} \Delta E^{\text{magn}} &= \frac{\mu_0 \mathcal{H}}{2l+1} [(l-m+1)m + (l+m)(m-1)] = \\ &= \mu_0 \mathcal{H} (m - 1/2) \frac{2l}{2l+1} \end{aligned}$$

ومنه نجد باعتبار أن  $m_l = m - 1/2$  أنه يمكن دمج العلاقتين السابقتين بعلاقة واحدة :

$$\Delta E^{\text{magn}} = \mu_0 \mathcal{H} g m_l = \omega \hbar g m_l \quad (20.43)$$

حيث  $\omega = \frac{e_0 \mathcal{H}}{2m_0 c}$  تواتر التآرجح اللارمورى أما  $g$  معامل لاندى الذى يساوى :

$$g = \frac{l + 1/2}{l + 1/2} \quad (20.44)$$

وهكذا نلاحظ ظهور معامل لاندى فى الطاقة الاضافية فى حالة ظاهرة زيمان الشاذة ، هذا المعامل الذى يساوى الواحد ، انظر ( 16.10 ) ، فى حالة ظاهرة زيمان العادية ولا يودى ظهور هذه الطاقة إلى الانقسام الثلاثى ( ظاهرة زيمان العادية ) وإنما إلى انقسام أكثر تعقيدا ( ظاهرة زيمان

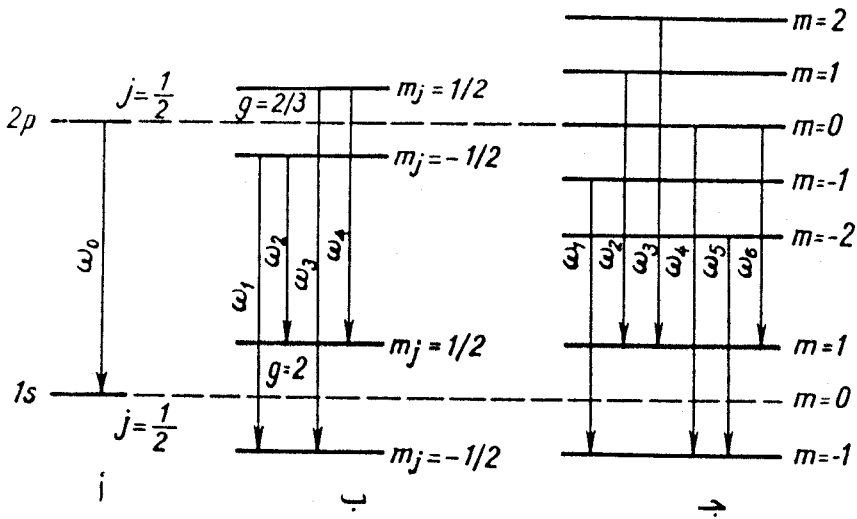
الشاذة ) . وبما أنه يمكن ل  $m_j$  أن تأخذ  $2j + 1$  قيمة مختلفة فإن كل سوية تنتج بسبب ظاهرة زيمان الشاذة ستتنقسم إلى  $2j + 1$  سوية جزئية أى أن الحقل المغناطيسى يلغى الانطباق كليا حتى ولو كان هذا الانطباق محسوبا طبقا للنظرية النسبية لذرة الهيدروجين ، وللحصول على وصف دقيق لهذا الانقسام لا بد من حساب معامل لاندى الذى يساوى 2 للحالة  $s_{1/2}$  و  $2/3$  للحالة  $p_{1/2}$  و  $4/3$  للحالة  $p_{3/2}$  . . . إلى آخره . ويجب أيضا معرفة قواعد الاختيار بالعدد الكوانتى  $m_j$  ، وفى الحالة الخاصة عندما  $\Delta m_j = 0$  نحصل على مركبتين ( جزئيتين ) مستقطبتين باتجاه متواز ( أى أنها توازى الحقل المغناطيسى ) ، أما عندما  $\Delta m_j = \pm 1$  نجد مركبتين مستقطبتين باتجاه يتعامد مع الحقل المغناطيسى ، ويتم حساب التواتر الاشعاعى الناتج طبقا للعلاقة ( 20.43 ) حيث نجد :

$$\omega = \omega_0 + 0 (g^0 m_j^0 - g m_j) \quad (20.45)$$

حيث  $\omega_0$  هو تواتر الاشعاع بغياب الحقل المغناطيسى (  $\mathcal{H} = 0$  ) أما  $g^0$  و  $g$  فهما معاملا لاندى للحالتين البدائية والنهائية وأما العدد الكوانتى المغناطيسى  $m_j$  للحالة النهائية فيمكن أن يأخذ القيم  $m_j^0 = m_j^0 \pm 1$  و  $m_j^0 = m_j^0$  ويوضح الشكل ٢٠ - ٤ انقسام السويات الطيفية  $s_{1/2}^1$  و  $p_{1/2}^2$  فى حقل مغناطيسى ضعيف ، وقد استخدمنا تواتر لارمور كوحدة للانقسام ، ويتبين من الشكل ٢٠ - ٤ ب ، أننا لن نجد فى هذه الحالة ثلاثة خطوط ( كما فى حالة ظاهرة زيمان العادية ) بل أربعة مزاحة يتعين انزياحها من العلاقة ( 20.45 ) ، ومن السهل أن نجد  $g = 2$  ،  $g^0 = 2/3$  فى حالة الحقل الضعيف ومنه :

$$\begin{aligned} \Delta\omega_1 &= \omega_1 - \omega_0 = 2/3 \omega_0, & \Delta\omega_2 &= -1/3 \omega_0 \\ \Delta\omega_3 &= 1/3 \omega_0, & \Delta\omega_4 &= -2/3 \omega_0 \end{aligned} \quad (20.46)$$

وتطبق العلاقة ( 20.44 ) الخاصة بمضروب لاندى على ذرة الهيدروجين ،



الشكل ٢٠ - ٤ . ظاهرة زيمان : ( أ ) موقع السويات بغياب الحقل ؛ ( ب ) ظاهرة زيمان الشاذة ؛ ( ج ) ظاهرة زيمان العادية .

على كل الذرات التي لها الكترون تكافؤ واحد ، أما في الحالة العامة فإن مضروب لاندى يعطى بالعلاقة :

$$g = 1 + \frac{J(J+1) - L(L+1) + S(S+1)}{2J(J+1)} \quad (20.47)$$

حيث  $J$  و  $S$  و  $L$  هي العزوم المدارية والمغزلية والكلية على الترتيب بالاضافة إلى أن  $J = |L - S|, |L - S + 1|, \dots, L + S - 1, L + S$  وكحالة خاصة نجد بالنسبة لعناصر المجموعة الأولى ( $J = j, L = l$ ) عندما  $s = 1/2$  ان الصيغتين (20.47) و (20.44) تتطابقان وفي الحالة  $s$  عندما ( $l = 0, j = s = 1/2$ ) يأخذ معامل لاندى قيمة عظمى و هي :

$$(20.48)$$

أما بالنسبة للذرات التي لها الكترونان على الغمامة الخارجية ( كذرة الهليوم مثلا ) ، فيمكن أن نجد بجانب الحالة الثلاثية ( $S = 1$ ) خطوط أحادية

(  $S = 0, J = L$  ) وهنا يجب أن نتعمد التأثيرات المغزلية ، ولهذا يجب أن نلاحظ ظاهرة زيمان العادية .

ز ( الحقول المغناطيسية القوية . ظاهرة باشن - باك . نلاحظ ظاهرة زيمان الشاذة فى حالة الحقول الضعيفة عندما لا يستطيع الحقل الخارجى أن يتغلب على الرابطة المغزلية - المدارية ، وهذا يعنى ، رياضيا أن الحد  $\Delta E^{\text{magn}} \sim \mu_0 \mathcal{H}$  ، انظر ( 20.43 ) ، سيكون أصغر بكثير من انقسام الخطوط الطبيعى التالى :

$$\Delta E^{s,-o} \sim |E_{nl} - E_{nl'}| \sim \frac{RhZ^4\alpha^2}{n^3}$$

المعين بالعلاقة ( 20.39 ) أى أن :

$$\Delta E^{s,-o} \gg \Delta E^{\text{magn}} \quad (20.49)$$

وينبغى فى هذه الحالة حل المسألة دون اهمال التأثير المغزلى - المدارى ثم اقامة العلاقة بين التوابع الكروية التى تتألف منها السبينورات الكروية وحساب الطاقة الاضافية التى تؤدى إلى ظاهرة زيمان الشاذة لأن المعامل  $g$  لا يساوى الصفر . أما فى حالة الحقول القوية عندما ( على عكس الضعيفة ) يكون الانقسام الناتج عن الحقل المغناطيسى الخارجى أكبر من ذلك الناتج عن التفاعل المدارى - المغزلى أى

$$\Delta E^{\text{magn}} \gg \Delta E^{s,-o} \quad (20.49a)$$

فإن الحقل المغناطيسى « يحطم » الرابطة المغزلية - المدارية ، وبناء عليه لن يتواجد حل فى التقريب الصفرى بدلالة السبينورات الكروية ، انظر ( 19.24 ) و ( 19.25 ) ، وعندئذ نستطيع اهمال التفاعلات  $V^{s,-o}$  و  $V^{\text{rel}}$  ، ولهذا تأخذ المعادلة الشكل التالى :

$$\left( E + \frac{Ze_0^2}{r} - \frac{p^2}{2m_0} \right) \begin{pmatrix} \Psi_1 \\ \Psi_2 \end{pmatrix} = \mu_0 \mathcal{H} \left( -i \frac{\partial}{\partial \phi} + \sigma'_3 \right) \begin{pmatrix} \Psi_1 \\ \Psi_2 \end{pmatrix} \quad (20.50)$$



وبما أن المتحولات المغزلية والاحداثية منفصلة في (20.50) فيمكن البحث عن حل من الشكل ، انظر (16.37) ، التالي :

$$\Psi = \begin{pmatrix} \Psi_1 \\ \Psi_2 \end{pmatrix} = \psi_{nlm_{1,2}}(r) \begin{pmatrix} C_1 \\ C_2 \end{pmatrix} \quad (20.51)$$

حيث يكون القسم الاحداثي من التابع الموجي :

$$\psi_{nlm_{1,2}}(r) = R_{nl}(r) Y_l^{m_{1,2}}(\theta, \varphi)$$

حلا لمعادلة شرودينجر لذرة الهيدروجين وهو يصف الحالة المضطربة لذرة ذات طاقة تساوى :

$$E_n^0 = -\frac{R\hbar Z^2}{n^2} \quad (20.52)$$

وذاذ قيمة معينة للعزم الحركى تساوى  $L^2 = \hbar^2 l(l+1)$  ولمسقطه على المحور  $z$  تساوى  $\hbar m_{1,2}$  . ولكى يحقق التابع الموجى  $\Psi$  المعادلة (20.50) يجب أن يكون قسمه المغزلى تابعا خاصا لمؤثر مسقط المغزل  $S_z$  على اتجاه الحقل المغناطيسى . وطبقا لـ (16.47) تمثل التوابع المغزلية الخاصة بالعمودين  $C(m_s)$  التالين :

$$C(1/2) = \begin{pmatrix} 1 \\ 0 \end{pmatrix}, \quad m_s = 1/2, \quad C(-1/2) = \begin{pmatrix} 0 \\ 1 \end{pmatrix}, \quad m_s = -1/2 \quad (20.53)$$

ويوافق الحل  $C(1/2)$  توجه المغزل باتجاه الحقل المغناطيسى ( $m_s = 1/2$ ) بينما الحل الثانى توجه المغزل بعكس الحقل ( $m_s = -1/2$ ) وهكذا يجب أن يكتب التابع الموجى الكلى للمعادلة (20.50) بالشكل التالى :

$$\Psi_{nlm_{1,2}m_s} = \begin{pmatrix} \Psi_1 \\ \Psi_2 \end{pmatrix} = R_{nl} Y_l^{m_{1,2}} C(m_s) \quad (20.54)$$

وعندئذ تتعين سويات طاقة الذرة فى حقل مغناطيسى بالعبارة :

$$E = -\frac{R\hbar Z^2}{n^2} + \mu_0 \mathcal{H} (m_{1,2} + 2m_s) \quad (20.55)$$

حيث يأخذ العدد الكوانتى المغناطيسى  $m_{1,2}$  القيم التالية :

$$m_{1,2} = -l, -l+1, \dots, l-1, l$$

أما العدد الكوانتى المغزلى  $m_z$  فيساوى  $\pm 1/2$  وكما يبدو من (20.55) ان تطبيق الحقل المغناطيسى يودى إلى انقسام السوية  $E_n^0$  إلى مجموعتين من السويات الجزئية ، تقابل الأولى قيمة لـ  $m_z$  تساوى  $1/2$  . أى أن  $\Delta E^{\text{magn}} = \mu_0 \mathcal{H} (m_z - 1/2)$  أما الثانية فتقابل قيمة لـ  $m_z = -1/2$  أى أن :

$$\Delta E^{\text{magn}} = \mu_0 \mathcal{H} (m_z + 1/2)$$

إذا رمزنا للمقدار  $m_z + 1/2$  بعدد كوانتى واحد  $m$  فيمكن كتابة الطاقة بالشكل :

$$E_{n,m} = -\frac{RAZ^2}{n^2} + \mu_0 \mathcal{H} m$$

حيث  $m = m_z + 1/2$  . ونلاحظ أن العدد الكوانتى  $m$  يمكن أن يأخذ قيمة  $2l + 3$  :

$$-(l + 1) \leq m \leq l + 1$$

أى أن السوية  $E_n^0$  تنقسم إلى  $2l + 3$  سوية جزئية (ظاهرة باشن - باك) ، ويبين الشكل (٢٠ - ٤ ، ج) انقسام السوية  $2p$  لذرة الهيدروجين ، ويبدو أن السوية  $2p$  التى تقابل  $m = 0$  ثنائية الانطباق ويتعين تابعها الموجى بالتركيب :

$$\Psi_{nl} = C_1 R_{2l} Y_{l,1} \begin{pmatrix} 1 \\ 0 \end{pmatrix} + C_2 R_{2l} Y_{l,-1} \begin{pmatrix} 0 \\ 1 \end{pmatrix} \quad (20.57)$$

مع تحقق الشرط :

$$C_1^2 + C_2^2 = 1$$

ونلاحظ أن الحالة  $1s$  التى تقابل  $m = 0$  هى حالة محظورة .

ولندرس الانتقالات المسببة للإشعاع بين سويات الذرة ، إذ يمكن ، بتقريب جيد ، اعتبار أنها تحدث دون تغيير العدد الكوانتى المغزلى  $\Delta m_z = 0$  . وفى الحقيقة لا بد لتغيير هذا العدد من حدوث تفاعل بين حقل الإشعاع والعزم المغزلى للإلكترون المتناسب مع مصفوفات باولى ، وهذا التفاعل صغير جدا بالمقارنة مع التفاعل الثنائى الاستقطاب العادى ومن

المعلوم أن قواعد الاختيار بالعدد الكوانتى المغناطيسى هي  $\Delta m_{1,2} = 0, \pm 1$  .  
 وإذا أخذنا قواعد الاختيار المشار إليها بعين الاعتبار نرى أن الانتقالات بين  
 السويات تتوافق باشعاع يعطى ثلاثة انقسامات فى التواترات :

$$\Delta\omega = 0\Delta m; \quad \Delta m = 0, \pm 1 \quad (20.58)$$

حيث :

$$0 = \mu_0 \mathcal{H} / \hbar = e_0 \mathcal{H} / 2m_0 c \quad (20.59)$$

وهكذا نرى أن ظاهرة زيمان الشاذة تتحول إلى ظاهرة زيمان العادية فى  
 الحقول القوية ، انظر ( 20.49a ) ، أى أننا نحصل على ثلاثة انقسامات بدلا  
 من أربعة ، وعندئذ يبدو من الشكل ( ٢٠ - ٤ ، ج ) وبملاحظة أن  
 $\Delta m = 0, \pm 1$  يتعين الانقسام الثلاثى ، كما فى نظرية شرودينجر ، انظر  
 ( البند ١٦ ) ، بالعلاقة :

$$\Delta\omega_1 = \Delta\omega_2 = \omega_1 - \omega_0 = 0, \quad \Delta\omega_3 = \Delta\omega_4 = \omega_3 - \omega_0 = 0 \quad (20.60)$$

$$\Delta\omega_5 = \Delta\omega_6 = \omega_5 - \omega_0 = -0$$

ومن الممكن شكليا الحصول على ظاهرة زيمان العادية من الشكل  
 ( 20.4.b ) ، أى من الظاهرة الشاذة إذا جعلنا  $g = 1$  . ويصبح الانقسام  
 الزيماني أكثر تعقيدا فى الحالات الخاصة عندما يكون  $\Delta E^{1-0} < \Delta E^{3-0}$   
 لأحد السويات الطاقوية  $\Delta E^{1-0} > \Delta E^{3-0}$  لسوية أخرى أو عندما يكون لكل  
 من السويتين نفس المرتبة ولن نتطرق إلى هذه الحالات الخاصة المعقدة  
 باعتبار أنها تخرج عن نطاق هذا الكتاب .

## البند ٢١ - انزياح السويات اللامبى

أ ( الفراغ ( التخلخل ) الكهرطيسى . عندما يتحرك الالكترون فى  
 الذرة فإنه لا يتفاعل مع النواة الذرية فقط وإنما مع التذبذبات الصفرية للحقل  
 الكهرطيسى الحر ، أى مع الفراغ الكهرطيسى ، وفى الحقيقة استنادا إلى

ما رأيناه في البند ٩ لا تنعدم تقلبات الحقل المغناطيسي حتى بغياب الفوتونات الحقيقية أى عندما  $N_{\lambda} = 0$  ، أى أن التفاعل مع الفراغ المنكور يؤدي إلى « ارتجاج » الالكترونون على مداره ونتيجة لذلك يتموه الالكترونون في الفراغ مما يغير من تأثيره على النواة ، فيقل تجاذبه معها وترتفع سويات الطاقة للحالات الراسخة . وترتكز نظرية انزياح السويات الذرية على تأثير الفراغ الكهرطيسي على التكميم الثانى للحقل الكهرطيسي ، وبما أن الحسابات اللازمة لذلك فى غاية التعقيد ، فإننا سنكتفى بنظرية نصف كلاسيكية لا نسبية تصف حركة الالكترونون تحت تأثير التقلبات الصفرية للفراغ وهى النظرية التى اقترحها الفيزيائى ويلتون .

( ب ) طريقة ويلتون . لنحسب تفاعل الفراغ الكهرطيسي مع الالكترونون

بواسطة المعادلة الكلاسيكية العامة

$$m_0 \delta \ddot{r} = e \mathcal{E}_{vac} + \frac{e}{c} [\delta \dot{r} \times \mathcal{H}_{vac}] \approx e \mathcal{E}_{vac} \quad (21.1)$$

حيث  $\delta r$  - انحراف الالكترونون عن مداره التوازنى فى الذرة و  $\mathcal{E}_{vac}$  - الحقل الفراغى ، ونلاحظ أننا فى التقريب اللانسبى أهملنا الحد الثانى والطرف الأيمن الذى يحتوى على الحقل المغناطيسى  $\mathcal{H}_{vac}$  والمناسب مع  $|\delta \dot{r}|/c \ll 1$  . ولننشر شدة الحقل المغناطيسى فى سلسلة فوريير ( فورييه ) :

$$\mathcal{E}_{vac} = \sum_{k, \lambda} \mathcal{E}_{k\lambda} \cos(\omega_{k\lambda} t - kr) \approx \sum_{k, \lambda} \mathcal{E}_{k\lambda} \cos \omega_{k\lambda} t \quad (21.2)$$

حيث  $\omega_{k\lambda} = kc$  ، أما تابعة الاحداثيات فيمكن اهمالها لأن  $kr \ll 1$  ( سنبرهن بعد قليل أن هذه الفرضية صحيحة ) ، ويقابل كل توافقى  $k$  نوعى استقطاب  $\lambda = 1, 2$  . ولنعوض (21.2) فى (21.1) ثم نستكمل فنجد انزياح احداثيات الالكترونون تحت تأثير الحقل الفراغى ، أى أن :

$$\delta r = - \frac{e}{m_0} \sum_{k, \lambda} \mathcal{E}_{k\lambda} \frac{\cos \omega_{k\lambda} t}{\omega_{k\lambda}^2} \quad (21.3)$$

أما متوسط مربع الانزياح فيكون :

$$\overline{(\delta r)^2} = \frac{e^2}{2m_0^2} \sum_{k, \lambda} (\mathcal{E}_{k\lambda})^2 / \omega_{k\lambda}^4 \quad (21.4)$$

لأن :

$$\overline{\cos \omega t \cos \omega' t} = \frac{1}{2} \delta_{\omega\omega'}$$

وعندئذ يكون  $\overline{\delta r} = 0$  لأن  $\overline{\cos \omega t} = 0$  ولنذكر أن طاقة الاهتزاز الصغرى طبقا لـ (9.53) تساوى :

$$E = \frac{1}{4\pi} \int \mathcal{E}_{\text{vac}}^2 d^3x = \sum_{k, \lambda} \frac{1}{2} \hbar \omega_{k\lambda} \quad (21.5)$$

وبتبديل النشر (21.2) من هذه العلاقة مع الاحتفاظ بتابعية  $r$  واعتبار أن :

$$\frac{1}{L^3} \int e^{i(k-k')r} d^3x = \delta_{kk'}$$

نجد بعد استكمال (21.5) في كل الفراغ أن :

$$\frac{L^3}{8\pi} \sum_{k, \lambda} \mathcal{E}_{k\lambda}^2 = \sum_{k, \lambda} \frac{1}{2} \hbar \omega_{k\lambda} \quad (21.6)$$

أى أن مربع مركبة فوربيه للحقل الفراغى تساوى :

$$\mathcal{E}_{k\lambda}^2 = \frac{4\pi}{L^3} \hbar \omega_{k\lambda} \quad (21.7)$$

ويمكن استخدام هذه العلاقة الآن لحساب متوسط مربع الانزياح (21.4) فنجد أن :

$$\overline{(\delta r)^2} = \frac{2\pi e^2 \hbar}{L^3 m_0^2} \sum_{k, \lambda} \frac{1}{\omega_{k\lambda}^3} \quad (21.8)$$

وبتغيير المجموع فى العلاقة الأخيرة إلى تكامل بالتواترات  $\omega_{k\lambda} = kc$  بواسطة العلاقة التالية :

$$\frac{1}{L^3} \sum_{k, \lambda} = 2 \frac{1}{(2\pi)^3} \int d^3k = \frac{2}{c^3 (2\pi)^3} \int \omega^2 d\omega d\Omega = \frac{1}{c^3 \pi^2} \int \omega^2 d\omega \quad (21.9)$$

حيث اعتبرنا أن التواتر  $\omega$  لا يتعلق بالاستقطاب  $\lambda = 1, 2$  وأن التكامل بالزاوية المجسمة  $\Omega$  يساوى  $4\pi$  بسبب التناظر الكروى ، وهكذا نحصل لحساب  $\overline{(\delta r)^2}$  على التكامل التالى :

$$(\delta r)^2 = \frac{2}{\pi} \frac{e^2}{hc} \left( \frac{\hbar}{m_0 c} \right)^2 \int \frac{d\omega}{\omega} \quad (21.10)$$

ويمكن عزل القسم المتقارب إذا اعتبرنا أن حركة الإلكترون لانسيبية ، وهذا يعنى أن الاندفاع الذى يكتسبه الإلكترون عند « ارتجافه » بتأثير الحقل الفراغى لا يمكن أن يتجاوز  $m_0 c$  أى  $hk < m_0 c$  ومن هنا ينتج الحد الأعلى للتكامل :

$$\omega < \omega_{\max} \approx \frac{m_0 c^2}{\hbar} \quad (21.11)$$

ولنحصل على الحد الأدنى  $\omega_{\min}$  بشرط أن لا يقل تواتر « ارتجاف » الإلكترون عن التواتر المقابل لطاقة ارتباط الإلكترون فى الذرة :

$$\omega > \omega_{\min} = \frac{|E|}{\hbar} = \frac{Z^2 e^4 m_0}{2n^2 \hbar^3} \quad (21.12)$$

حيث  $Z$  شحنة النواة ، وإذا وضعنا الحدين (21.11) و (21.12) فى التكامل (21.10) فإننا نجد أن :

$$(\delta r)^2 = \frac{2}{\pi} \alpha \left( \frac{\hbar}{m_0 c} \right)^2 \ln \frac{2n^2}{(Z\alpha)^2} \quad (21.13)$$

حيث  $\alpha = e^2/\hbar c = 1/137$  هو ثابت البنية الدقيقة\* ويؤدى الاهتزاز الفراغى ، كما يتضح من العلاقة الأخيرة ، إلى بعض الانتشار ( التموه ) لنقطية الإلكترون ، هذا بالإضافة إلى أن أبعاد الفراغ ، حيث ينتشر الإلكترون ، تحسب كمتوسط هندسى بين نصف القطر الكلاسيكى للإلكترون وطول موجته كومبتون :  $\lambda = h / m_0 c$  أى أن :

$$r_{vac} = \sqrt{(\delta r)^2} \sim \sqrt{\alpha} \frac{\hbar}{m_0 c} = \sqrt{\frac{e^2}{m_0 c^2} \frac{\hbar}{m_0 c}} \quad (21.14)$$

وعندئذ تكون القيمة  $r_{vac}$  التى أهملناها فى المساواة (21.2) من الرتبة

\* نلاحظ أنه يمكن حساب تغير التواترات  $\omega_{\min}$  و  $\omega_{\max}$  بشكل أدق فى نظرية التنظيم ( الضبط ) ، وبما أن مقدار الانزياح (21.13) يتبع لوغاريتمياً  $\omega_{\min}$  و  $\omega_{\max}$  فإن الخطأ فى حسابهما ، طبقاً لحساباتنا التقريبية ، ضئيل .

ونتيجة لانتشار الالكترون فإن تفاعله مع النواة يتغير  
وبدلا من العبارة العادية التالية :

$$V = -e_0 \Phi(r) \quad (e_0 = -e > 0) \quad (21.15)$$

فإننا نجد العبارة التالية :

$$V + \delta V_{vac} = -e_0 \Phi(r + \delta r) = -e_0 \left[ 1 + (\delta r \nabla) + \frac{1}{2} (\delta r \nabla)^2 + \dots \right] \Phi(r)$$

لنوسط هذه العبارة على مجال « ارتجاف » الالكترون مع ملاحظة العلاقة :

$$\overline{\delta r} = 0, \quad \overline{(\delta x)^2} = \overline{(\delta y)^2} = \overline{(\delta z)^2} = \frac{1}{3} \overline{(\delta r)^2}$$

وعندئذ يكون :

$$\overline{(\delta r \nabla)^2} = \frac{1}{3} \overline{(\delta r)^2} \nabla^2 \quad (21.17)$$

وبالتالى فإن التفاعل الاضافى للالكترون مع الذرة نتيجة للاهتزاز الفراغى  
يساوى :

$$\delta V_{vac} = -\frac{e_0^2}{6} \overline{(\delta r)^2} \nabla^2 \Phi = \frac{4}{3} Z e_0^2 a \left( \frac{\hbar}{m_0 c} \right)^2 \times \ln \frac{2n^2}{(Za)^2} \delta(r) \quad (21.18)$$

وقد حصلنا على المساواة الأخيرة باعتبار أن الحقل الكولونى لنواة ذرة  
الهيدروجين يحقق معادلة بواسون

$$\nabla^2 \Phi = -4\pi Z e_0 \delta(r) \quad (21.19)$$

ولحساب العبارة النهائية لانزياح السويات فى ذرة الهيدروجين من  
الضرورى توسط المقدار  $\delta V_{vac}$  بحالة الذرة المقابلة  $\psi(r)$  وعندئذ تأخذ  
عبارة الانزياح الشكل التالى :

$$\delta E_{vac} = \int \psi^*(r) \delta V_{vac} \psi(r) d^3x = \frac{4}{3} Z e_0^2 a \times \left( \frac{\hbar}{m_0 c} \right)^2 |\psi(0)|^2 \ln \frac{2n^2}{(Za)^2} \quad (21.20)$$

أى أن الانزياح السابق ، الذى سُمى بالانزياح اللامبى ، يتعين بمعرفة قيمة  
التابع الموجى فى مركز الاحداثيات ، وهذا لا يحدث إلا فى الحالات  $s$  ،  
أما فى الحالات الأخرى (  $i = 1, 2, \dots$  ) فينعدم المقدار  $|\psi(0)|^2$  فى التقريب

المدرّوس ، وإذا حسبنا هذا المقدار في الحالات  $s$  ، انظر ( 12.40 ) ، فإننا

نجد :

$$|\psi(0)|^2 = \frac{Z^3}{\pi n^3 a_0^3} \quad (21.21)$$

حيث  $a_0 = h^2/m_0 e^2$  هو نصف قطر بور و  $n$  هو العدد الكوانتي الرئيسي ، وبتعويض هذه النتيجة في ( 21.20 ) نجد لحساب الانزياح

الصيغة التالية :

$$\delta E_{\text{vac}} = \frac{8}{3\pi} \alpha^3 \frac{Z^4}{n^3} R\hbar \ln \frac{2n^2}{(Z\alpha)^2} \quad (21.22)$$

وهي العلاقة التي استنتجها لأول مرة بيتي ١٩٤٧ أما  $R$  فهو ثابت ريذبرغ

في العلاقة السابقة  $R = m_0 e^4 / 2\hbar$  . ويبدو مما سبق أن انزياح لامب

لذرة الهيدروجين ، إذا حسب بالنسبة لطاقة السويات المتهيجة ، يساوي

$$\frac{\delta E_{\text{vac}}}{|E|} \sim \frac{\alpha^3 Z^4 R\hbar}{R\hbar Z^2} = \alpha^3 Z^2 \quad (21.23)$$

أما إذا قورن انزياح لامب بانقسام السويات  $\Delta E_{nj}$  المقابل ، للبنية الدقيقة والذي هو من رتبة  $R\hbar Z^4 \alpha^2$  ، فإننا نجده أصغر بـ  $\alpha$  مرة . لندرس الحالتين

$2s_{1/2}$  ،  $2p_{1/2}$  في ذرة الهيدروجين ( $Z = 1$ ) ، لأن لهاتين السويتين نفس

الطاقة حتى إذا اعتبرنا البنية الدقيقة ، ونفس العدد الكوانتي  $j = 1/2$  . فيما

يؤدي التفاعل الفراغي إلى انزياح السوية  $2s_{1/2}$  وهذا ما يؤدي إلى توضع

السوية  $2s_{1/2}$  فوق السوية  $2p_{1/2}$  ، وبالفعل فقد أظهرت تجارب لامب

ورذرفورد سنة ١٩٤٧ صحة ذلك ، انظر البند ٢٠ ، إذ تتوافق بشكل جيد

القيمة العددية المحسوبة بالعلاقة ( 21.22 ) للحالة  $2s$  ( $n = 2$ ) :

$$\delta E_{\text{vac}} = 17,8R = 1040 \text{ MHz} \quad (21.24)$$

مع المعطيات التجريبية لانزياح لامب للسويات

$$\sigma E = 1057,86 \text{ MHz}$$

ونلاحظ أن الدراسات الكاملة لانزياح السويات الالكتروني الذري التي تستند

على الميكانيكا الكوانتية النسبية تعطي توافقا عدديا مع التجربة بشكل أفضل

بكثير من الصيغة الكلاسيكية ( 21.22 ) فيما يكون الاختلاف بين التجربة

والنظرية أقل من  $10^{-3} \text{ MHz}$  .



## البند ٢٢ . الحل الكامل لمعادلة ديراك

سندرس فى هذه الفقرة بالتفصيل الحل الكامل لمعادلة ديراك ، آخذين بعين الاعتبار الحلول ذات الطاقة الموجبة والسالبة على حد سواء ، وبهذه المناسبة نلاحظ أن دراسة الحلول ذات الطاقة السالبة أدت إلى فرضية وجود البوزيترون ، أى اكتشاف الخاصة الرئيسية للجسيمات الأساسية ألا وهى وجودها وامكانية تحول بعضها إلى آخر .

( أ ) حل معادلة ديراك للجسيم بوجود الطاقات الموجبة والسالبة .

لندرس أولاً معادلة ديراك للجسيم الحر ، أى أن :

$$\left( -\frac{\hbar}{i} \frac{\partial}{\partial t} - H \right) \psi = 0 \quad (22.1)$$

حيث يعطى الهاملتونيان بالعلاقة التالية :

$$H = \frac{\hbar c}{i} (\alpha \nabla) + \rho_3 m_0 c^2 \quad (22.2)$$

ويمكن دراسة الحركة الحرة كحالة خاصة من الحركة تحت تأثير قوى مركزية متناظرة ولهذا يجب أن يتحقق قانون مصونية العزم الكلى ، انظر ( 19.4 ) ، أى أن :

$$\mathbf{J} = [\mathbf{r}p] + \frac{1}{2} \hbar \boldsymbol{\sigma} = \text{const} \quad (22.3)$$

وهذا يعنى ، فى لغة الميكانيكا الكوانتية ، أن العزم الحركى الكلى يجب أن يتبادل مع الهاملتونيان . ويمكن أن نتخلص من العزم المدارى  $[\mathbf{r}p]$  إذ أخذنا مسقط العزم الكلى على اتجاه الاندفاع ، لأن مسقط العزم المدارى على اتجاه الاندفاع يساوى الصفر ، أى أن :

$$(\mathbf{p}[\mathbf{r}p]) = p_x(y p_z - z p_y) + p_y(z p_x - x p_z) + p_z(x p_y - y p_x) = 0$$

ولاجراء الحسابات اللاحقة من الأفضل استخدام مؤثر عزم كمية الحركة على اتجاه الاندفاع بوحدة (  $1/2\hbar$  ) ، أى أن :

$$S = 2 \frac{(Jp)}{\hbar p} = \frac{(\sigma \nabla)}{\sqrt{\nabla^2}} = \frac{(\sigma \nabla)}{ik} \quad (22.4)$$

حيث  $p = \hbar k$  هو الاندفاع . أما القيمة الخاصة للمؤثر  $\nabla^2$  فتساوى  $-k^2$  ومن الواضح أن هذا المؤثر يتبادل مع الهاملتونيان (22.2) ، وليس من الصعب التحقق من ذلك بالحساب المباشر للمقدار  $HS - SH = 0$  ، ولنبحث عن الحل الخاص لمعادلة ديراك بالشكل التالى :

$$\psi(k) = \frac{1}{L^{3/2}} b e^{-iceKt + ikr} \quad (22.5)$$

حيث :

$$b = \begin{pmatrix} b_1 \\ b_2 \\ b_3 \\ b_4 \end{pmatrix} \quad (22.6)$$

هى مصفوفة رباعية الاسطر و  $L^3$  هو حجم متوازى السطوح ، أما مركبات المتجه الموجى  $k(k_1, k_2, k_3)$  فترتبط مع الأعداد  $n_1, n_2, n_3 = 0 \pm 1, \pm 2, \pm 3, \dots$  ، بالعلاقات  $k_1 = \frac{2\pi}{L} n_1$  (انظر فقرة البند ٤ ، حل معادلة شرودينجر فى حالة الحركة الحرة) أما الطاقة  $E$  فيرتبط مع المقدار  $K = \sqrt{k^2 + k_0^2}$  بالعلاقة الآتية :

$$E = c\hbar eK. \quad (22.7)$$

حيث  $k = \sqrt{k_1^2 + k_2^2 + k_3^2}$  و  $k_0 = \frac{m_0 c}{\hbar}$  . هذا بالاضافة إلى أن الوسيط  $\varepsilon$  لم يعين بعد ، فإذا لاحظنا تبادل المؤثر  $S$  مع الهاملتونيان (22.2) فإنه يمكن فرض شرط جديد على التابع الموجى ، أو :

$$\frac{(\sigma \nabla)}{ik} \psi(k) = s \psi(k) \quad (22.8)$$

حيث  $s$  القيمة الخاصة للمؤثر (22.4) ، وبتبديل التابع الموجى (22.5) فى المعادلة (22.8) و (22.1) نجد لحساب المصفوفة  $b$  المعادلتين التاليتين :

$$(ks - (\sigma k)) b = 0 \quad (22.9)$$

$$(eK - s\rho_1 k - \rho_3 k_0) b = 0 \quad (22.10)$$

وإذا أخذنا بعين الاعتبار المصفوفات  $\rho_n$  و  $\sigma_n$  المعطاة في (18.9) و (18.10) وكذلك المساواة (22.6) فإنه يمكن كتابة المعادلتين المصفوفيتين الأخيرتين بشكل مجموعة من المعادلات ، أى أن :

$$\begin{aligned} (sk - k_3) b_{1,3} &= k_{12}^* b_{2,4} \\ (sk + k_3) b_{2,4} &= k_{12} b_{1,3} \\ (eK - k_0) b_{1,2} &= sk b_{3,4} \\ (eK + k_0) b_{3,4} &= sk b_{1,2} \end{aligned} \quad (22.11)$$

حيث :

$$k_{12} = k_1 + ik_2 \text{ و } k_{12}^* = k_1 - ik_2$$

ويمكن أن تتحقق المعادلة الأخيرة إذا كان :

$$b = \begin{pmatrix} b_1 \\ b_2 \\ b_3 \\ b_4 \end{pmatrix} = \frac{1}{2} \begin{pmatrix} A_1 B_1 \\ A_1 B_2 \\ A_2 B_1 \\ A_2 B_2 \end{pmatrix} \quad (22.12)$$

وعندئذ نحصل لحساب  $A_{1,2}$  ،  $B_{1,2}$  على المعادلة التالية

$$(sk - k_3) B_1 = k_{12}^* B_2 \quad (22.13)$$

$$(sk + k_3) B_2 = k_{12} B_1$$

$$(eK - k_0) A_1 = sk A_2 \quad (22.13a)$$

$$(eK + k_0) A_2 = sk A_1$$

ومن السهل حساب القيمة الخاصة لـ  $s$  من (22.13) حيث نجد أن :

$$s = \pm 1 \quad (22.14)$$

ثم نجد من (22.13a) قيمة  $\epsilon$  التالية :

$$\epsilon = \pm 1 \quad (22.14a)$$

أى أن الوسيط  $\epsilon$  يحدد إشارة الطاقة . وأخيرا نجد بعد أن نأخذ بعين الاعتبار شرط المعايرة :

$$b^+b = b_1^+b_1 + b_2^+b_2 + b_3^+b_3 + b_4^+b_4 = \\ = \frac{1}{4}(A_1^+A_1 + A_2^+A_2)(B_1^+B_1 + B_2^+B_2) = 1 \quad (22.15)$$

أن :

$$A_1 = \sqrt{1 + \varepsilon \frac{k_0}{K}}, \quad A_2 = \varepsilon s \sqrt{1 - \varepsilon \frac{k_0}{K}} \\ B_1 = s e^{-\frac{1}{2}i\varphi} \sqrt{1 + s \cos \vartheta} \\ B_2 = e^{\frac{1}{2}i\varphi} \sqrt{1 - s \cos \vartheta} \quad (22.16)$$

حيث  $\vartheta$  و  $\varphi$  الزاويتان الكرويتان للمتجه الموجى  $k$

$$k_{12} = k \sin \vartheta e^{i\varphi}, \quad k_3 = k \cos \vartheta$$

ولكى نحلل النتائج التى حصلنا عليها يمكننا حتى فى الحالة العامة أن نوجه الاندفاع باتجاه المحور  $z$  (  $k_x = k, k_y = 0, \varphi = 0, \vartheta = 0$  ) ، حيث يوافق هذا الاندفاع أربعة حلول تختلف بالاشارة أو بالطاقة (  $\varepsilon = \pm 1$  ) أو بالمغزل (  $s = \pm 1$  ) ، وهذه الحلول تعطى قيم المصفوفة  $b$  التالية :

$$b(k, s = 1, \varepsilon = \pm 1) = \frac{1}{\sqrt{2}} \begin{pmatrix} \sqrt{1 \pm \frac{k_0}{K}} \\ 0 \\ \pm \sqrt{1 \mp \frac{k_0}{K}} \\ 0 \end{pmatrix} \quad (22.17) \\ b(k, s = -1, \varepsilon = \pm 1) = \frac{1}{\sqrt{2}} \begin{pmatrix} \sqrt{1 \pm \frac{k_0}{K}} \\ 0 \\ \mp \sqrt{1 \mp \frac{k_0}{K}} \\ 0 \end{pmatrix}$$

ويصف الحل  $s = 1$  الحالة ؛ حيث يتجه المغزل باتجاه الاندفاع ، أما  $s = -1$  فيصف الحالة المعاكسة عندما يتجه المغزل بعكس الاندفاع ، أما اشارة المقدار  $\varepsilon$  فتحدد اشارة الطاقة . وليس من الصعب البرهان أن المصفوفتين السابقتين تحققان شرط المعايرة والتعامد أى أن :

$$b^+(k, s', \varepsilon') b(k, s, \varepsilon) = \delta_{ss'} \delta_{\varepsilon\varepsilon'}$$

ب) دراسة الخواص المغزلية للإلكترون الحر . لندرس أولاً الخواص المغزلية للجسيمات مقتصرين على الحالات ذات الطاقة الموجبة ( $\epsilon = 1$ ) و... إذ يكتب التابع الموجي للحالة التي يتجه فيها المغزل باتجاه المحور  $z$  بالشكل التالي :

$$\begin{aligned} \psi(k, \epsilon = 1) &= \\ &= \frac{1}{L^{3/2}\sqrt{2}} \left[ C_1 \begin{bmatrix} \sqrt{1 + \frac{k_0}{K}} \\ 0 \\ \sqrt{1 - \frac{k_0}{K}} \\ 0 \end{bmatrix} + C_{-1} \begin{bmatrix} 0 \\ \sqrt{1 + \frac{k_0}{K}} \\ 0 \\ -\sqrt{1 - \frac{k_0}{K}} \end{bmatrix} \right] e^{-icKt + ikz} \end{aligned} \quad (22.18)$$

ويبدو أنه من الممكن تعريف المغزل بحيث لا يكون مسقطه على الاندفاع تكاملاً للحركة فقط وإنما مسقطاً من مساقطه سيكون تكاملاً للحركة ، ويساوى هذا المغزل المصون ( تكامل الحركة ) بوحدات  $1/2\hbar$  في حالة الحركة الحرة للإلكترون ، أي أن :

$$\sigma^0 = \frac{\hbar(\sigma k)}{k^2} + \rho_3 \frac{\sigma k^2 - \hbar(\sigma k)}{k^2} \quad (22.19)$$

ان مصونية المغزل المعرفة بالعلاقة (22.19) ناتجة عن أن كلا من مركباته تتبادل مع الهاملتونيان (22.2) ، وإذا فرضنا أن الاندفاع يتجه باتجاه المحور  $z$  فإن مركبة المؤثر  $\sigma^0$  على الاندفاع أى  $\sigma_z^0$  والمركبتين المتعامدتين معها أى  $\sigma_x^0$  و  $\sigma_y^0$  تعطى بالعلاقات التالية :

$$\sigma_z^0 = \frac{(\sigma k)}{k} = \sigma_3, \quad \sigma_x^0 = \rho_3 \sigma_1, \quad \sigma_y^0 = \rho_3 \sigma_2$$

وإذا رمزنا للقيم الخاصة لهذا المؤثر بالرمز  $s^0$  فإننا نجد :

- القيمة الخاصة للمسقط على  $z$  :

$$s_3^0 = \int \psi^\dagger \sigma_3 \psi d^3x = C_1^* C_1 - C_{-1}^* C_{-1}$$

- القيمتين الخاصتين للمركبتين الباقيتين :

$$s_1^0 = \int \psi^+ \rho_3 \sigma_1 \psi d^3x = C_{-1}^* C_1 + C_1^* C_{-1}$$

$$s_2^0 = i(C_{-1}^* C_1 - C_1^* C_{-1})$$

وإذا اخترنا التابع الموجى كمجموع حالات تختلف فى طاقتها ( بما فيها الطاقة السالبة ) فإن الحدود الزمنية تنعدم عند حساب القيم الوسطى ، لأن مؤثر المغزل المعمم يتبادل مع الهاملتونيان . لكن عدم تبادل المؤثرات المختلفة ، التى تعتبر فى نفس الوقت تكاملات للحركة ( تتبادل مع الهاملتونيان ) ، يعنى أن الجملة المدروسة منطبقة ( تقابل الاتجاهات المختلفة للمغزل قيمة معينة للاندفاع والعزم الحركى ) ، ولهذا تكون القيمة الوسطى للمتجه  $s^0$  تابعة إلى مجموعة مؤلفة من السعات  $C$  و  $C_{-1}$  . هذا ويمكن البرهان أن قيمة المتجه  $s^0$  فى الفراغ ثلاثى الأبعاد تساوى الواحد لأن :

$$(s_1^0)^2 + (s_2^0)^2 + (s_3^0)^2 = (C_1^* C_1 + C_{-1}^* C_{-1})^2 = 1$$

كما تتحول مركباته عند تطبيق تحويلات لورنتز عليها حسب القانون :

$$s_3^0 = s_3^0 \cos \gamma + s_1^0 \sin \gamma$$

$$s_1^0 = s_1^0 \cos \gamma - s_3^0 \sin \gamma \quad (22.20)$$

$$s_2^0 = s_2^0$$

حيث :

$$\cos \gamma = \frac{\beta_1 - \beta \cos \theta}{B}, \quad \sin \gamma = \frac{\beta \sqrt{1 - \beta_1^2} \sin \theta}{B}$$

$$B = \sqrt{(\beta_1 - \beta \cos \theta)^2 + \beta^2 (1 - \beta_1^2) \sin^2 \theta} \quad (22.21)$$

مع العلم أن  $c\beta_1 = c \frac{h}{K}$  هى سرعة الجسيم فى الاحداثيات الأصلية ، وتتجه هذه السرعة باتجاه المحور  $z$  ، أما  $c\beta$  ( سرعة جملة الاحداثيات المتحركة ، التى تصنع الزاوية  $\theta$  مع المحور ) فيجب أن تقع فى المستوى  $zx$  ، ويجب أن نفهم المركبة  $s_3^0$  بأنها المركبة الطولية للمغزل

بالنسبة للاتجاه الجديد للاندفاع ، ومنه نستنتج أن متجه الوحدة في الفراغ ثلاثى الأبعاد يبقى متجه وحدة ثلاثيا عند تطبيق تحويلات لورنتز عليه .  
 نعرف اللولبية : أى دوران متجه الاستقطاب بالنسبة للاندفاع ، عندما  
 $(C_1 = 1, C_{-1} = 0)$   $s_3^0 = 1$  . وفى هذه الحالة نجد كما يتضح ( 22.18 )

أن :

$$\sigma_x^0 \psi = -i \sigma_y^0 \psi \quad (22.21a)$$

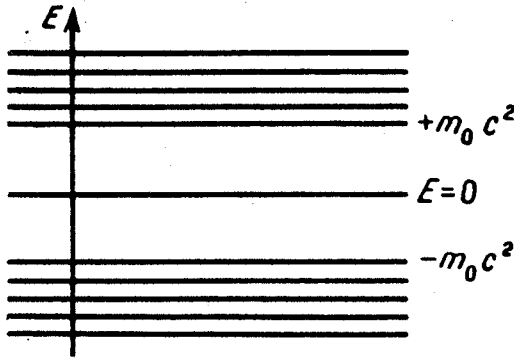
وإذا اعتبرنا أيضا وجود الزمن فى التابع الموجى  $\psi \sim e^{-i c k t}$  نجد أن الدوران سيكون فى المستوى  $xy$  ( من المحور  $x$  إلى المحور  $y$  ) المتعامد مع الاندفاع ( المحور  $z$  ) وبالتالي فإن الحالة  $s_3^0 = 1$  تقابل اللولبية اليمينية فى جملة احداثيات يمينية وهى تقابل لولبية يسارية فى جملة احداثيات يسارية . وتبدو هذه النتيجة طبيعية لأن المتجه  $k^0$  فى الجداء العددى  $(s^0 k^0) = s_3^0$  هو متجه الوحدة القطبى للاندفاع بينما المتجه  $s^0$  هو متجه الوحدة المحورى للمغزل وعند الانتقال من جملة احداثيات يمينية إلى أخرى يسارية ينعكس الاتجاه  $k^0$  بينما يبقى  $s^0$  دون تغيير ، أى تتغير فى هذه الحالة ، الصيغة الرياضية فقط لدراسة اللولبية .

( د ) الحالات ذات الطاقة السالبة . نظرية ديراك فى « الثقوب » ،  
 اكتشاف البوزيترون . تقبل نظرية ديراك حلولا تقابل الطاقات السالبة  
 $(e = -1)$  بالإضافة إلى الحلول ذات الطاقة الموجبة  $(e = 1)$  ( انظر  
 الحل ( 22.18 ) ) ، أى أن :

$$E = -c \hbar k \quad (22.21b)$$

ونلاحظ أن وجود الحل ذى الطاقة السالبة ليس خاصا بنظرية ديراك فقط وإنما يجب أن يظهر فى أى نظرية نسبية بما فيها الكلاسيكية ، وفى الحقيقة ترتبط طاقة الجسيم الحر ، كما هو معلوم ، مع الاندفاع وكتلة السكون بعلاقة تقبل الحلين المتكافئين ، أى أن :

$$E = \pm \sqrt{c^2 p^2 + m_0^2 c^4}$$



الشكل ٢٢ - ١ . مخطط سويات الطاقة الممكنة لجسيم ديراك الحر .

أضف إلى ذلك أن منطقتي الطاقة ( الموجبة والسالبة ) مفصولتان بمجال عرضه  $2m_0c^2$  ( الشكل ٢٢ - ١ ) وتبدو الحالات المقابلة للطاقة السابقة ، للوهلة الأولى ، غير حقيقية لأن منطقة الطاقة السالبة تمتد حتى اللانهاية ( $E = -\infty$ ) ولهذا لا يمكن أن تتواجد حالة طاوقية أصغرية ، وهذا يعنى أنه لا يمكن لأى من الحالات العادية أن تكون مستقرة لأن امكانية الانتقال إلى سوية أكثر انخفاضاً واردة دائماً ، عدا عن ذلك فإن الجسيم ذا الكتلة السالبة ( الطاقة السالبة ) يجب أن يتصف بمجموعة صفات غريبة ، فهو مثلا يجب أن يتدافع مع الجسيم ذى الكتلة الموجبة أثناء اقترابه منه ، وبصورة خاصة يجب أن تبني فرضية التفاعل بين الكترنين لهما اشارتان مختلفتان ، بحيث أن الالكترن ذى الكتلة الموجبة يجب أن « يهرب » بينما الالكترن ذو الكتلة السالبة يجب أن « يلحق به » ، وذلك لكى يبقى مركز كتلتها ثابتاً ( لأن الكتلة السالبة ) . وبصورة عامة ليس هناك أى مثيل فى الفيزياء الكلاسيكية ، لدراسة الحالات ذات الطاقة السالبة ، ولا يمكن أن تتغير طاقة الجسيم أثناء حركته إلا بشكل مستمر والانتقالات من الحالات ذات الطاقة الموجبة إلى الحالات ذات الطاقة السالبة ، عندما تتغير الطاقة

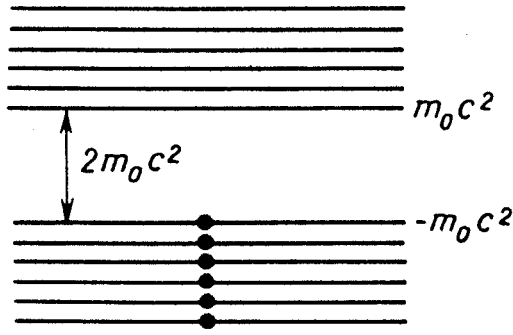


قفزا بمقدار  $\Delta E \geq 2m_0c^2$  غير ممكنة اطلاقا . وبما أن وجود الحالات ذات الطاقة السالبة غير وارد منذ البداية فإننا لن نحتاج لدراسة مثل هذه الحالات فيما بعد ، إلا أن الوضع يتغير تماما في النظرية الكوانتية حيث لا تحدث الانتقالات بين حالات الطيف المستمر وحدها وإنما بين حالات الطيف المتقطع أيضا ، ولا يمكننا الآن استثناء الحالات ذات الطاقة السالبة آليا لأن احتمال الانتقال بين السويات التي طاقتها  $+m_0c^2$  وتلك التي طاقتها  $-m_0c^2$  لا يساوى الصفر ، ولتجنب انتقال الالكترونات إلى الحالات ذات الطاقة السالبة ، افترض ديراك عام ١٩٣١ أن جميع السويات ذات الطاقة السالبة مملوءة بالالكترونات ، ونتيجة لذلك لا يمكن للالكترونات ذات الطاقة الموجبة أن تنتقل في الظروف العادية إلى هذه السويات ( الشكل ٢٢ - ٢ ) . ولنفترض الآن أن طاقة الكوانت - جاما أكبر من  $2m_0c^2$  ، وعندما يؤثر هذا الكوانت على الكترون الفراغ ، أى على الكترون طاقتة سالبة فإنه ينقله إلى حالة ذات طاقة موجبة ، وعندئذ يظهر الكترون نو طاقة موجبة بدلا من أن تمتص النواة الكوانت جاما ( الشكل ٢٢ - ٣ ) ، ويظهر « ثقب » أو « فجوة » في الخلفية المملوءة بالالكترونات التي سويات طاقتها سالبة . ويتلخص النجاح الحاسم لفرضية ديراك في تفسيره لهذا « الثقب » بأنه ( أى الثقب ) عبارة عن جسيم كتلته تساوى كتلة الالكترون ( بوزيترون ) . وفى الحقيقة إذ فرضنا أنه فى لحظة البدء لم يوجد أى جسيم وعندئذ فإن طاقة الخلفية « الصفرية »  $E_{vac}$  تساوى مجموع طاقة الالكترونات التي سويات طاقتها سالبة

$$E_{vac} = \sum_{n_-} E_{n_-} \quad (22.22)$$

أما الشحنة الصفرية فتساوى

$$e_{vac} = - \sum_{n_-} e_0 \quad (22.23)$$



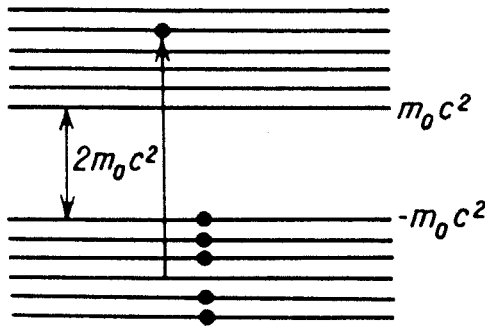
الشكل ٢٢ - ٢. مخطط طاقة الصفر لفراغ الكترون - بوزيترون .

وهكذا نرى أنه عندما لا تتواجد جسيمات حقيقية فهذا يعنى ، من وجهة نظر الثقوب ، أن كل الحالات ذات الطاقة الموجبة فارغة ، وكل الحالات ذات الطاقة السالبة مشغولة وتسمى هذه الحالة بالحالة الصفرية ( الشكل ٢٢ - ٢ ) وعندما ينتقل الكترون من حالة  $n_-$  طاقتها سالبة إلى حالة أخرى  $n_+$  طاقتها موجبة فإن تغير الطاقة للجلمة سيكون يكتب بالشكل التالي :

$$\Delta E = E_{n_+} + \sum_{n'_-} E_{n'_-} - \sum_{n'_-} E_{n'_-} \quad (22.24)$$

أو أن المقدار

$$\Delta E = E_{n_+} - E_{n_-} = E_{n_+} + |E_{n_-}| \quad (22.25)$$



الشكل ٢٢ - ٣. مخطط تشكل زوج من الكترون - بوزيترون .

سيقابل مجموع\* الطاقتين الموجبتين للجسيمين الناتجين . وقد برهنت مناقشات مشابهة ، أجريت على الشحنة أن لأحد الجسيمين الناتجين وهو الموافق للثقب شحنة مخالفة لشحنة الالكترن ، أى أن :

$$e = -e_{n_+} - \sum_{n_+} e_0 + \sum_{n_-} e_0 = -e_{n_+} + e_{n_-} = -e_0 + e_0. \quad (22.26)$$

وهكذا نرى أن انتقال الالكترن من حالة ذات طاقة سالبة إلى أخرى ذات طاقة موجبة ( ومن الواضح أن هذا يحدث نتيجة لامتصاص الكوانت جاما ذى طاقة أكبر من  $2m_0c^2$  ) يؤدى إلى خلق جسيمين ، وهنا يمكن اعتبار الحالة غير المشغولة للالكترن ذى الطاقة السالبة ، الثقب ، كأنها مشغولة بجسيم ذى شحنته\* موجبة  $+e_0$  ، وقد سمي هذا الجسيم الذى تنبأ به ديراك ( بالبوريترون ، واكتشفه اندرسون عام ١٩٣٢ فى الأشعة الكونية ،

وبالإضافة إلى دراسة الإلكترن ( الجسيم ) ، نرى أن نظرية ديراك الآن تدرس بشكل طبيعى البوزيترون ( الجسيم المضاد ) الذى يحقق تابعه الموجى معادلة ديراك التى تكون فيها طاقة الجسيم وشحنته موجبتين . ولا تستبعد النظرية الأخيرة حدوث التحول المعاكس أى أنه عند وجود ثقب يمكن للالكترن ذى الطاقة الموجبة أن ينتقل إلى سوية حرة من السويات ذات الطاقة السالبة ، وفى هذه الحالة يتحول الالكترن والبوزيترون إلى الكوانت جاما . وطبقا لقوانين مصونية الطاقة والاندفاع لا يجوز أن يكون عدد الكوانتات جاما الناتجة عن ذلك أقل من اثنين .

\* تعنى الفتحة على الرمز  $\Sigma$  أن المجموع سيكون لكل الحالات  $n_-$  ما عدا الحالة  $n_- = n_-$

\*\* نلاحظ أنه يمكن بالاستفادة من طرائق النظرية الموجية للحقول ، بناء النظرية المتناظرة بالنسبة لإشارة الشحنة ، للفراغ الالكترنى - البوزيترونى ، إلا أنه أمكن بواسطة هذه النظرية غير المتناظرة بالنسبة للالكترونات البوزيترونات ( الكترن - جسيم ، بوزيترون - ثقب ) تغير كثير من الظواهر المرتبطة بتحول الجسيمات .

( د ) مفهوم فراغ الالكترون - البوزيترون . لقد تم الحصول على صيغة انزياح السويات اللامبي ( 21.22 ) نتيجة لحساب تفاعل الالكترون مع الفراغ الكهرطيسى ، إلا أنه يوجد بالاضافة إلى الفراغ الكهرطيسى فراغ الكترونى - بوزيترونى وفراغ الجسيمات الأخرى وهذا ما يسمح لنظرية الحقول ، التى تبدو عامة لدرجة معقولة ، بحساب تأثير الفراغ الالكترونى - البوزيترونى لأن دراسة خواص فراغ الجسيمات المختلفة تلعب دورا هاما فى الميكانيكا الكوانتية المعاصرة وبصورة خاصة نرى أنه يمكن دراسة التفاعل الكهرطيسى ، فانرون كولوم ، كنتيجة للتفاعل بين شحنتين فى الفراغ الكهرطيسى حيث يصدر الالكترون الأول ، فوتونا كانبا ، يمتصه الثانى ، وهكذا يمثل الحقل الكهربائى حالة مضطربة للفراغ الكهرطيسى ، ومن جهة ثانية يمكن اعتبار الفراغ بمثابة خزان ، تخرج ، منه الجسيمات عند ولادتها ، وتدخل إليه بأضداد الجسيمات عند فنائها ، فى الحقيقة يعتبر الفراغ الالكترونى - البوزيترونى مألوفا لنا فهو يمثل الصورة الخلفية للالكترونات الموجودة فى الحالات ذات الطاقات السالبة ، وليس لهذا الفراغ مثل كلاسيكى ، ولهذا لا يوجد تفسير كلاسيكى فى حالة الفراغ الكهرطيسى ، ويستطيع الحقل الكولونى أن يستقطب هذا الفراغ ، ( فكأن الالكترون يوجد فى مادة عازلة ) ونتيجة لذلك تظهر طاقة تفاعل اضافية تحسب بالعلاقة التالية :

$$V_{ep} = - \frac{4}{15} e_0^2 \alpha \left( \frac{\hbar}{m_0 c} \right)^2 \delta(r) \quad (22.27)$$

وبمقارنة هذه الصيغة مع ( 21.18 ) نجد أن لانزياح السويات المرتبط مع تقلبات الحقل المغناطيسى اشارة معاكسة بالمقارنة مع ( 22.27 ) ، ويبدو بصورة خاصة أن الفراغ الالكترونى - البوزيترونى يؤثر تأثيرا شديدا على الخواص المغناطيسية للالكترون ، ونتيجة لذلك كما يرى شفينجر يصبح العزم المغناطيسى له أكبر من مغناطيون بور ، أى أن :

$$\mu = -\mu_0 \left(1 + \frac{\alpha}{2\pi}\right) \quad (22.28)$$

ويحسب التصحيح على العزم المغناطيسي للإلكترون بإضافة الحدود التالية :

$$\Delta\mu_{e,p} = -\left(\frac{\alpha}{2\pi} - 0,328\frac{\alpha^2}{\pi^2} + 0,13\frac{\alpha^3}{\pi^3}\right)\mu_0 = -0,0011596\mu_0 \quad (22.29)$$

التي تتوافق بشكل جيد مع المعطيات التجريبية التي تم الحصول عليها بطرائق الاشعاع الطيفي .

هـ) المعادلة الموجية للبويزيترون . لتوضيح المعنى الفيزيائي للحلول التي تعطى فيما سألبة للطاقة ، عندما يوجد حقل مغناطيسي ، نكتب معادلة ديراك الأساسية التالية :

$$\left\{-\frac{\hbar}{i}\frac{\partial}{\partial t} - e\Phi + c\left[\alpha_1\left(\frac{\hbar}{i}\frac{\partial}{\partial x} + \frac{e}{c}A_x\right) + \alpha_2\left(\frac{\hbar}{i}\frac{\partial}{\partial y} + \frac{e}{c}A_y\right) + \alpha_3\left(\frac{\hbar}{i}\frac{\partial}{\partial z} - \frac{e}{c}A_z\right)\right] - \rho_3 m_0 c^2\right\}\psi = 0 \quad (22.30)$$

ثم نكتب المعادلة المرافقة لها عقديا ، أي أن :

$$\left\{\frac{\hbar}{i}\frac{\partial}{\partial t} - e\Phi + c\left[\alpha_1\left(\frac{\hbar}{i}\frac{\partial}{\partial x} + \frac{e}{c}A_x\right) - \alpha_2\left(\frac{\hbar}{i}\frac{\partial}{\partial y} + \frac{e}{c}A_y\right) + \alpha_3\left(\frac{\hbar}{i}\frac{\partial}{\partial z} + \frac{e}{c}A_z\right)\right] - \rho_3 m_0 c^2\right\}\psi^* = 0 \quad (22.31)$$

ويمكن الحصول عليها إذا لاحظنا أن  $\alpha_1^* = \alpha_1, \alpha_2^* = -\alpha_2, \alpha_3^* = \alpha_3, \rho_3^* = \rho_3$  وأن التابع الموجي المرافق عقديا للتابع  $\psi^*$  هو التالي :

$$\psi^* = \begin{pmatrix} \psi_1^* \\ \psi_2^* \\ \psi_3^* \\ \psi_4^* \end{pmatrix} \quad (22.32)$$

والذي يختلف كما يبدو وبوضوح عن المرافق الهرميتي التالي :

$$\psi^+ = (\psi_1^* \psi_2^* \psi_3^* \psi_4^*) \quad (22.33)$$

ونلاحظ أن المعادلة المرافقة عقدياً تتكافأ تماماً مع المعادلة المرافقة هرميتياً

$$\psi^+ \left\{ \left( -\frac{\hbar}{i} \frac{\partial}{\partial t} - e\Phi \right) - c \left[ \alpha_1 \left( \frac{\hbar}{i} \frac{\partial}{\partial x} - \frac{e}{c} A_x \right) + \alpha_2 \left( \frac{\hbar}{i} \frac{\partial}{\partial y} - \frac{e}{c} A_y \right) + \alpha_3 \left( \frac{\hbar}{i} \frac{\partial}{\partial z} - \frac{e}{c} A_z \right) \right] - \rho_3 m_0 c^2 \right\} = 0 \quad (22.34)$$

وليس من الصعب التحقق من ذلك إذا كتبنا كلا من المعادلتين (22.31)

و (22.34) واعتبرنا قاعدة تأثير المؤثر الواقعة بعد التابع الموجي :

$$\psi^+ \frac{\partial}{\partial t} \rightarrow -\frac{\partial \psi^+}{\partial t}, \quad \psi^+ \frac{\partial}{\partial x} \rightarrow -\frac{\partial \psi^+}{\partial x} \quad (22.35)$$

ولنجري في معادلة ديراك التحويل التالي :

$$\psi' = i\alpha_2 \rho_3 \tilde{\psi} \quad (22.36)$$

وعندئذ نجد ، باعتبار صحة العلاقات التبادلية لمصفوفة ديراك ، المعادلة

التي يحققها التابع الموجي ، أى أن :

$$\left\{ -\frac{\hbar}{i} \frac{\partial}{\partial t} + e\Phi - c \left[ \alpha_1 \left( \frac{\hbar}{i} \frac{\partial}{\partial x} + \frac{e}{c} A_x \right) + \alpha_2 \left( \frac{\hbar}{i} \frac{\partial}{\partial y} + \frac{e}{c} A_y \right) + \alpha_3 \left( \frac{\hbar}{i} \frac{\partial}{\partial z} + \frac{e}{c} A_z \right) \right] - \rho_3 m_0 c^2 \right\} \tilde{\psi} = 0 \quad (22.37)$$

وهي المعادلة التي تصف حركة البوزيترون لأنها تختلف عن الأساسية (22.30)

بتغيير  $e$  إلى  $-e$  ، فإذا علمنا أيضاً أن الحالة  $\psi(r) = e^{-i \frac{1E1}{\hbar} t}$  تفسر

كحالة ذات طاقة موجبة ، وأن الحالة  $\psi^*(r) = e^{-i \frac{1E1}{\hbar} t}$  تفسر كحالة

ذات طاقة سالبة ، فيجب أن تفهم إشارة الطاقة في التابع  $\tilde{\psi}$  بشكل مختلف

عن التابع  $\psi^*$  ، وبعبارة أخرى يجب أن تنسب الحالات ذات الطاقة

الموجبة من المعادلة (22.37) ، إلى البوزيترون بينما تنسب الحالات ذات

الطاقة السالبة إلى الالكترونات .

و ( مدلول نظرية ليوديرس - باولى . نلاحظ أن معادلة ديراك يجب

أن لا تتغير بالنسبة للانعكاس الصغير للزمن ( التحويل - CT ) الذي يؤول

إلى تحويلين الأول هو التحويل المرافق شحنيا (  $e - e$  - التحويل -  $C$  )  
والثانى هو تحويل الانعكاس الكبير للزمن (  $t - - t$  ،  $\Phi \rightarrow -\Phi$  ، التحويل -  $T$  )  
وفى الحقيقة أن تطبيق التحويل -  $CT$  على المعادلة ( 22.30 ) يعطيها الشكل  
التالى :

$$\left\{ \frac{\hbar}{i} \frac{\partial}{\partial t} - e\Phi - c \left[ \alpha_1 \left( \frac{\hbar}{i} \frac{\partial}{\partial x} + \frac{e}{c} A_x \right) + \alpha_2 \left( \frac{\hbar}{i} \frac{\partial}{\partial y} + \frac{e}{c} A_y \right) + \alpha_3 \left( \frac{\hbar}{i} \frac{\partial}{\partial z} + \frac{e}{c} A_z \right) \right] - \rho_3 m_0 c^2 \right\} \psi = 0 \quad (22.38)$$

وتؤول المعادلة الأخيرة عند اجراء التغيير  $\psi \rightarrow \sigma_2 \psi^*$  ، إلى المعادلة  
المرافقة عقديا ( 22.31 ) ، ( كذلك نرى أن المعادلة المرافقة عقديا تؤول إلى  
الأساسية ) ويمكن البرهان أن معادلة ديراك لا تتغير بالنسبة لانعكاس الفراغ  
التالى : (  $r - - r$  ، و  $A - - A$  ، التحويل -  $P$  ) وفى الحقيقة نرى أن  
تطبيق التحويل -  $P$  على معادلة ديراك يحولها إلى الشكل التالى :

$$\left\{ -\frac{\hbar}{i} \frac{\partial}{\partial t} - e\Phi + c \left[ \alpha_1 \left( \frac{\hbar}{i} \frac{\partial}{\partial x} - \frac{e}{c} A_x \right) + \alpha_2 \left( \frac{\hbar}{i} \frac{\partial}{\partial y} - \frac{e}{c} A_y \right) + \alpha_3 \left( \frac{\hbar}{i} \frac{\partial}{\partial z} - \frac{e}{c} A_z \right) \right] - \rho_3 m_0 c^2 \right\} \psi = 0 \quad (22.39)$$

وباجراء التغيير  $\psi \rightarrow \rho_3 \psi$  نجد أنها تتحول إلى الشكل الأولى ( 22.30 )  
وهكذا نرى أن معادلة ديراك يجب أن لا تتغير بالنسبة للتحويل  $CTP$   
الثلاثى المشترك ( نظرية ليوديرس - باولى ) .

( ز ) المعادلة الموجية للنيترينو . لوصف حركة جسيم مغزله يساوى  
1/2 أو 1 وكتلة سكونه تساوى الصفر ( النيترينو ) من الممكن استخدام  
المعادلة التى تحوى مصفوفات باولى الثنائية الأسطر ( معادلة وايل )  
أو معادلة ديراك التى تنقسم إلى معادلتين مستقلتين ، وفى الحقيقة كما يتضح  
من ( 18.1 ) يمكن فى هذه الحالة استخراج الجذر التربيعى بواسطة

مصفوقات باولى الثنائية الأسطر ولهذا نكتب عوضا عن معادلة ديراك ،  
معادلة تحوى تابعا ذا مركبتين  $\varphi = \begin{pmatrix} \varphi_1 \\ \varphi_2 \end{pmatrix}$  ( معادلة ويل ) ، أى أن :

$$(E - c(\sigma'p))\varphi = 0 \quad (22.40)$$

وهذه المعادلة خلافا لمعادلة ديراك ليست لا متغيرة بالنسبة بالنسبة لانعكاس الفراغ لأنه بعد اجراء فيها التغيير من النوع  $p \rightarrow -p$  لا يمكن بأى تحويل كان ، أن نرجعها إلى وضعها الأساسى ، ومن جهة أخرى تنقسم معادلة ديراك ( بالنسبة للجسيم ذى الكتلة  $m_0 = 0$  ) ذات الأربع مركبات إلى معادلتين موجبتين مستقلتين ، نختار الحل الأول بالشكل التالى :

$$s_3^0 = -\varepsilon = -\frac{E}{|E|} \quad (22.41)$$

أى سنعتبر أن للجسيم ذى الطاقة الموجبة  $\varepsilon = 1$  لولبية يسارية وأن للجسيم ذى الطاقة السالبة  $\varepsilon = -1$  ( النترينو المضاد ) لولبية يمينية وعندئذ يكون الحل الثانى بالشكل التالى :

$$s_3^0 = \varepsilon = \frac{E}{|E|} \quad (22.42)$$

أى على العكس ، يجب أن يكون للجسيم ذى الطاقة الموجبة ( النترينو ) لولبية يمينية ، ويكون للجسيم ذى الطاقة السالبة ( النترينو المضاد ) لولبية يسارية . ولا تتغير العلاقاتان ( 22.41 ) و ( 22.42 ) عند تطبيق تحويلات لورنتز عليهما ، وهذا واضح من المعادلتين ( 22.20 ) و ( 22.21 ) حيث  $B_1 = 1$  . ونتيجة لاكتشاف الظاهرة المعروفة بعدم مصونية الزوجية المرتبطة اقترح كل من لى ويانغ وكذلك لانداو أن كتلة النترينو تساوى الصفر وأنه يوصف بمعادلة ويل ، ذات المركبتين وقد قالوا أن معادلة ويل لا تغير بالنسبة للتحويل - P يعوض بعدم تغييرها بالنسبة للتحويل - C ( يجب أن لا تتغير لولبية النترينو عند الانتقال من النترينو إلى النترينو المضاد ) . وهكذا نرى أن معادلة ويل لا تتغير عند تطبيق التحويل المشترك -



CP وكذلك لا تتغير عند تطبيق التحويل  $T$  ، وهذا ضروري لكي تتحقق نظرية ليوديرس - باولي ( $CPT = \text{const}$ ) . ومن جهة ثانية يمكن أيضا أن تستخدم معادلة ديراك لوصف النترينو على أن نجعل فيها كتلة السكون تساوى الصفر ، ثم نعزل النترينو ذا اللولبية المعينة ، إلا أنه يوجد بجانب الحل الأول في النظرية رباعية المركبات ( النترينو - دوران يسارى ، النترينو المضاد - دوران يمينى ) ، وسيكون من الغرابة إذا لم يكن للحل الثانى أى تطبيق فيزيائى . وقد اكتشف حديثا ما يسمى بالنترينو الميونى بجانب النترينو الالكترونى ( أى عندما ينطلق النترينو مع البوزيترون والنترينو المضاد مع الالكترون ) ، هذا النترينو كما يبدو يوصف بالحل الثانى لمعادلة ديراك وفى هذه الحالة يجب أن ينطلق نترينو ذو دوران يمينى مع الميون السالب ، كما ينطلق نترينو مضاد ذو دوران يمينى مع الالكترون وطبقا لهذه النظرية يجب أن تكون للالكترونات ( $e^-$ ) وللميونات السالبة ( $\mu^-$ ) شحنات نيترينية مختلفة ( يجب أن يكون للالكترون شحنة نيترينية وللميون السالب  $\mu^-$  شحنة لا نيترينية ) ولهذا يكون التفكك  $\mu^- \rightarrow e^- + \gamma$  محظورا .

( د ) التكميم الثانى لمعادلة ديراك . سنقتصر على الحركة الحرة، إذ يمكن كتابة حل معادلة ديراك فى هذه الحالة بالشكل ، انظر ( 22.5 ) ، التالى :

$$\psi(r, t) = \frac{1}{L^{3/4}} \sum_{k, s, e} b(k, s, e) C(k, s, e) e^{-i\epsilon_k t + i k r} \quad (22.43)$$

حيث  $b(k, s, e)$  مصفوفات تحقق شرط المعايرة التالى :

$$b^+(k, s', e') b(k, s, e) = \delta_{s's} \delta_{e'e} \quad (22.44)$$

أما  $C(k, s, e)$  فهي سعات ( ليست مصفوفات ) تعين مربعات قيمتها المطلقة ( طوليتها ) باحتمال وجود الجسيم فى الحالة  $(k, s, e)$  ، وإذا اعتبرت

معادلة ديراك كنتيجة للتكميم الأول فإن  $\psi(r, t)$  يصف حالة جسيم واحد ، هذا بالإضافة إلى أن  $C(k, s, \epsilon)$  تكون أعدادا عادية أى أنها تتبادل مع بعضها . وإذا حسبنا القيمة الوسطى من الحالة ( 22.43 ) نجد :

- القيمة الوسطى للهاملتونيان  $H$  :

$$H = \int \psi^+ H \psi d^3x = \sum_{k, s, \epsilon} c h \epsilon k C^+ C \quad (22.45)$$

- ومتوسط الاندفاع ثلاثى الأبعاد :

$$G = \int \psi^+ p \psi d^3x = \sum_{k, s, \epsilon} \hbar k C^+ C \quad (22.46)$$

- ومتوسط شحنة الجسيم

$$Q = e \int \psi^+ \psi d^3x = e \sum_{k, s, \epsilon} C^+ C \quad (22.47)$$

- وأخيرا نحسب متوسط مسقط المغزل على اتجاه الاندفاع ، انظر ( 22.4 ) .

$$S = \int \psi^+ \frac{(\nabla \sigma)}{ik} \psi d^3x = \sum_{k, s, \epsilon} s C^+ C \quad (22.48)$$

حيث

$$C = C(k, s, \epsilon) \quad (22.49)$$

وقد حصلنا على العبارات ( 22.45 ) - ( 22.48 ) باستخدام ( 22.43 ) واعتبار العلاقة التالية :

$$\frac{1}{L^3} \int e^{i(k-k')r} d^3x = \delta_{n_1 n_1'} \delta_{n_2 n_2'} \delta_{n_3 n_3'} = \delta_{kk'} \quad (22.50)$$

وكذلك شروط المعايرة والتعامد ( 22.44 ) . ولكى نعم معادلة ديراك الثانية أى لوصف جملة عدد جسيماتها متغير نستفيد ، كما هو الحال عند تكميم الحقل الكهرطيسى ، من أقواس بواصون الكوانتية ، انظر ( 6.45 ) ، التى تكتب بالشكل التالى :

$$-icK\epsilon C = \frac{i}{\hbar} (HC - CH) \quad (22.51)$$

أى أن :

$$-icK\epsilon C = -\frac{i}{\hbar} \sum_{k', s', \epsilon'} c\hbar\epsilon'K [(C'^+C + CC'^+)C' - C'^+(CC' + C'C)] \quad (22.52)$$

حيث

$$C' = C(k', s', \epsilon')$$

ولكى نتحقق العلاقاتان (22.51) و (22.52) يجب كتابة العلاقات التبادلية التالية :

$$\begin{aligned} C'^+C + CC'^+ &= \delta_{kk'}\delta_{ss'}\delta_{\epsilon\epsilon'}, \\ C'C + CC' &= 0, \quad C'^+C^+ + C^+C'^+ = 0 \end{aligned} \quad (22.53)$$

أى أن ما يختلف عن الصفر هو اللاتبادلى التالى :

$$C^+C + CC^+ = 1 \quad (22.54)$$

وهذه العلاقات التبادلية تقابل احصاءات فيرمى - ديراك ( انظر البند ٢٤ ) وفى هذه الحالة يمكن أن نطلب أن تكون طاقة جميع الجسيمات موجبة فى الحالتين  $\epsilon = 1$  و  $\epsilon = -1$  ، وبصورة عامة إذا كان للهاملتونيان الشكل التالى :

$$H = \sum c\hbar K [C^+(\epsilon = 1)C(\epsilon = 1) \pm C^+(\epsilon = -1)C(\epsilon = -1)]$$

فيجب أن تدخل علاقات بوزى التبادلية عند وجود الاشارة الموجبة ( انظر مثلا حقل الفوتونات البند ٩ ) أما عند وجود الاشارة السالبة فيجب ادخال علاقات فيرمى التبادلية ، ويمكننا تحقيق العلاقات التبادلية (22.54) إذا كتبنا :

$$C^+C = N, \quad CC^+ = 1 - N \quad (22.55)$$

حيث  $N$  عدد الجسيمات فى الحالة  $(k, s, \epsilon)$  . وبما أن هذه الجداءات تدخل

بشكل متناظر فإن الحل الثاني المحقق للمعادلة ( 22.54 ) سيكون :

$$C^+C = 1 - N, \quad CC^+ = N \quad (22.56)$$

ولكى تبقى طاقة الجسيمات موجبة يجب أن نختار من أجل للجسيمات التى يكون لها  $\varepsilon = 1$  العلاقات ( 22.55 ) وللجسيمات التى يكون لها  $\varepsilon = -1$  العلاقات ( 22.56 ) ، اضافة لذلك يجب أن نجعل طبقا للصيغ ( 22.43 ) - ( 22.48 ) ما يلى :

$$C(k, s, \varepsilon = 1) = C(k, s), \quad C^+(k, s)C(k, s) = N_s(k) \quad (22.57)$$

$$C(k, s, \varepsilon = -1) = \tilde{C}^+(-k, s), \quad \tilde{C}^+(-k, s)\tilde{C}(-k, s) = \tilde{N}_s(-k)$$

وعندئذ نجد\* أن القيم الوسطى السابقة ( 22.45 ) - ( 22.48 ) تعطى بالعلاقات التالية :

- متوسط الهاملتونيان

$$H = \sum_{k, s} c\hbar K (N_s + \tilde{N}_s - 2) \quad (22.58)$$

- متوسط الاندفاع

$$G = \sum_{k, s} \hbar k (N_s + \tilde{N}_s) \quad (22.59)$$

- متوسط الشحنة

$$Q = e \sum_{k, s} (N_s - \tilde{N}_s + 2) \quad (22.60)$$

- متوسط مسقط المغزل على اتجاه الاندفاع

$$S = \sum_{k, s} s (N_s + \tilde{N}_s) \quad (22.61)$$

\* لن نستطيع التخلص من الحالات ذات الطاقة السالبة إذا خضعت جسيمات ديراك لاحصاءات بوزى - أينشتين ، لأن الهاملتونيان عندئذ يساوى

$$H^B = \sum_{k, s} c\hbar K (N_s - \tilde{N}_s) \quad (22.58a)$$

$$N_s(k) = N_s(k, \varepsilon = 1), \quad \tilde{N}_s(k) = N_s(-k, \varepsilon = -1)$$

ومنه نستنتج ما يلي : ان الحل الموافق لاحصاءات فيرمى - ديراك هو الحل الوحيد الذى يؤدى إلى أن يكون لكل من نوعى الجسيمات  $N_s$  و  $\tilde{N}_s$  طاقة موجبة ، أما اشارة هذين النوعين فيجب أن تكون متعاكسة ، أى أنه إذا وافقت الجسيمات  $N_s$  الالكترونات ، فستوافق الجسيمات  $\tilde{N}_s$  البوزيترونات (الجسيمات المضادة) أما متجه المغزل  $s = \pm 1$  فيصف توجيه مغزل الالكترونات والبوزيترونات أما المتجه  $s$  وكذلك متجه الاندفاع  $k$  فيغيران من اشارتهما عند الانتقال من الجسيمات ذا الطاقة الموجبة إلى الجسيمات ذات الطاقة السالبة ، ولكن القيمة  $s$  التى تساوى الجداء العدى لمتجهى الوحدة  $s = (k^0/s^0)$  لا يمكن أن تتغير ، اضافة إلى ذلك ستظهر طاقة صفرية سالبة لانتهائية أى أن :

$$H_0 = - \sum_k 2c\hbar K \quad (22.62)$$

وشحنة صفرية لانتهائية ، أى أن :

$$Q_0 = \sum_k 2e \quad (22.63)$$

وتختلف القيمة الصفرية لكل من المغزل والاندفاع فى هذه الحالة ، ولكى تتحقق علاقات بوزى - اينشتاين التبادلية (للفوتونات مثلا) أخذنا المصفوفات اللامنتهية لكل من السعات الكوانتية المكعبة ثانياً ، انظر (9.38) ، وللحالات التى تصف عددا متغيرا من الجسيمات ، انظر (9.43) ، وتقابل هذه المصفوفات غير المنتهية وجود أى عدد من الجسيمات فى أى من الحالات الكوانتية . ولكى تتحقق علاقات فيرمى - ديراك التبادلية :

$$C^+C + CC^+ = 1 \quad (22.64)$$

يجب أن نأخذ عوضاً عن المصفوفات اللامنتهية ، لكل من السعات  
المصفوفات الثنائية الأسطر التالية :

$$C = \begin{pmatrix} 0 & 1 \\ 0 & 0 \end{pmatrix}, \quad C^+ = \begin{pmatrix} 0 & 0 \\ 1 & 0 \end{pmatrix} \quad (22.65)$$

وكذلك لعدد الجسيمات :

$$f(0) = \begin{pmatrix} 1 \\ 0 \end{pmatrix}, \quad f(1) = \begin{pmatrix} 0 \\ 1 \end{pmatrix} \quad (22.66)$$

حيث يصف  $f(0)$  الحالة التي ينعدم فيها عدد الجسيمات و  $f(1)$  الحالة التي  
يوجد فيها جسيم واحد ، وعندئذ تتحقق العلاقات التبادلية ( 22.64 ) . عدا  
عن ذلك ستصبح السعات عبارة عن مؤثرات الفناء لأن تأثيرها على تابع  
عدد الجسيمات إذا حسب بقواعد الحساب المصفوفى ، يساوى :

$$Cf(0) = 0, \quad Cf(1) = f(0) \quad (22.67)$$

أما السعة  $C^+$  فتقابل مؤثر الخلق :

$$C^+f(0) = f(1), \quad C^+f(1) = 0 \quad (22.68)$$

ومن هنا نرى أنه لا يمكن أن يوجد فى كل حالة كوانتية أكثر من جسيم  
واحد ، ومن السهل أن نبرهن ذلك باستعمال العلاقات ( 22.67 ) و ( 22.68 )  
أى أن :

$$C^+Cf(N) = Nf(N), \quad CC^+f(N) = (1 - N)f(N) \quad (22.69)$$

أى أن لمربعات السعات نفس القيم الخاصة ( 22.55 ) و ( 22.56 ) .

## القسم الثالث

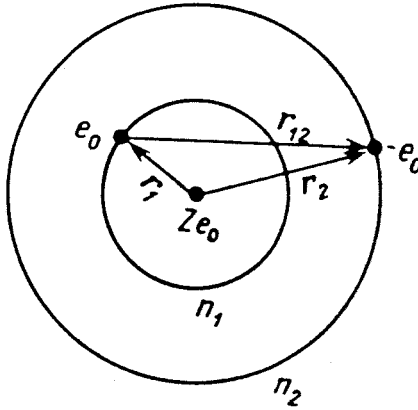
# النظرية الكوانتية للجسيمات

### البند ٢٣ . نظرية ذرة الهليوم باهمال الحالات المغزلية

أ ( مبادئ عامة . تعتبر ذرة الهليوم أبسط ذرة متعددة الالكترونات ويتحرك حول نواتها «  $Z = 2$  » الكترونان ، وبالرغم من بساطتها فإن الخواص الكيفية الأساسية للنظرية الكوانتية لمجموعة جسيمات تبدو واضحة فيها ، فعند وجود الكترونين في النظرية الكلاسيكية يمكن أن نعطي لأحدهما الدليل «1» وللثاني الدليل «2» ثم نتابع حركة كل منهما على حدة من البداية حتى النهاية ، وطبقا للميكانيكا الكوانتية لا يمكن أن نرقم الالكترونين إلا إذا كانا بعيدين عن بعضهما ، لكن عندما يكون الالكترونان قريبين جدا من بعضهما بحيث أن التابع الموجي لكل منهما لا يساوى الصفر ، لا يجوز بسبب تطابق الالكترونات، الجزم في أي نقطة من الفراغ يقع الالكترون «1» وفي أي نقطة يقع الالكترون «2». ويبدو أن تطابق الالكترونات هو خاصة أساسية من خواص الجسيمات في منظوماتها الدقيقة ، لأنها تؤدي إلى نوع جديد من القوى التبادلية التي ليس لها شبيهه كلاسيكي ، واطافة إلى ذلك تلعب الخواص المغزلية دورا كبيرا في الذرات متعددة الألكترونات ، تلك الخواص التي لم تحسب لا في النظرية الكلاسيكية ولا في نظرية بور ، ونلاحظ بهذا الصدد أن القوى المغزلية تدخل كتصحيح فقط في الذرة التي لا تحوى سوى الكترون واحد ، هذا التصحيح الذى لم يحسب في التقريب الأول ولهذا استطاعت نظرية بور تفسير سلسلة من الظواهر في الذرات الشبيهة بالهيدروجين أو الذرات ذات الالكترون الواحد ولم تستطع نظرية

بور بناء نظرية للذرات ذات الكترونين أو أكثر لأنها غير قادرة أن تحسب القوى المغزلية والقوى التبادلية ، ولتوضيح جوهر النظرية الكوانتية لمجموعة جسيمات متطابقة في خصائصها ، سندرس بالتفصيل الذرات الشبيهة بالهليوم وهو ما ينطبق على ذرة الهليوم المعتدلة وذرة الليثيوم المشردة مرة واحدة  $Li^+$  وذرة البيريليوم المشردة مرتين  $Be^{++}$  إلى آخره .

ب) المعادلات الأساسية . لنشرح أولاً الطبيعة الفيزيائية للقوى التبادلية المرتبطة بالتطابق ، أى بعد تمييز الالكترونات ، والتي تأخذ بعين الاعتبار القوى المغزلية فى هذا البند\* . ولنفرض أن موضعى الالكترونين الأول والثانى يتحددان بنصفى القطرين الشعاعيين  $r_1$  و  $r_2$  ( يعتبر المبدأ فى هذه الحالة مركز الذرة الثابت )، انظر الشكل ٢٣ - ١ ، وسنرمز للحالات ذات الأعداد الكوانتية  $(n_1, l_1, m_1)$  و  $(n_2, l_2, m_2)$  بالرمز  $n_1$  و  $n_2$  على الترتيب



الشكل ٢٣ - ١ . ذرة الهليوم .

\* ويجوز ذلك لأن المسألة تقل حلا ضمن التقريب المدروس عن طريق فصل المتحولات الفراغية والمغزلية وسنأخذ المغزل بعين الاعتبار فى البند ٢٤ .



ويقصد بذلك الأعداد الكوانتية قاطبة . ويتم تعيين حركة كل الكترون على حدة دون اعتبار تفاعلها مع بعضها بواسطة معادلة شرودينجر التالية :

$$(E_{n_j} - H_j) \psi_{n_j}(r_j) = 0 \quad (23.1)$$

حيث

$$H_j = T_j + V_j, \quad T_j = \frac{1}{2m_0} \left( \frac{\hbar}{i} \nabla_j \right)^2$$

$$V_j = - \frac{Ze_0^2}{r_j} \quad (23.2)$$

أما الدليل  $z$  فيأخذ القيمة «1» عندما ندرس الالكترتون الأول و «2» عندما ندرس الالكترتون الثاني ، ونحصل عندئذ على الطاقة  $E_{n_j}$  التي تساوى :

$$E_{n_j} = - \frac{R\hbar Z^2}{n_j^2} \quad (23.3)$$

أما التوابع الخاصة  $\psi_{n_j}$  فيجب أن تتطابق مع التوابع الموجية للذرات الشبيهة بالهيدروجين ، تلك التوابع التي تحقق شرط التعامد والمعايرة :

$$\int \psi_{n_j}^*(r) \psi_{n_{j'}}(r) d^3x = \delta_{n_j n_{j'}} \quad (23.4)$$

وإذا اعتبرنا بعد ذلك تفاعل الالكترونين ، أى أن :

$$V' = \frac{e_0^2}{|r_1 - r_2|} = \frac{e_0^2}{r_{12}} \quad (23.5)$$

فيمكن دراسة حركة الجملة المؤلفة من الكترونين بشكل مستقل ، ولهذا لا بد لنا من وصف كل الجملة التي يساوى الهاملتونيان من أجلها :

$$H = H_1 + H_2 + V' \equiv H^0 + V' \quad (23.6)$$

ومعادلة شرودينجر من أجلها :

$$(E - H^0 - V') \psi(r_1, r_2) = 0 \quad (23.7)$$

حيث  $E$  هي الطاقة الكلية و  $\psi(r_1, r_2)$  التابع الموجى العام المتعلق بكل من احداثيات الالكترونين الأول والثانى ، وهنا أيضا ، كما فى مسألة الالكترتون الواحد يمثل المقدار  $\psi^*(r_1, r_2) \psi(r_1, r_2)$  كثافة احتمال ظهور الالكترون

الأول في النقطة  $r_1$  والثاني في النقطة  $r_2$  ولهذا يكون شرط المعايرة للتابع  
 $\psi(r_1, r_2)$  كما يلي :

$$\int \psi^*(r_1, r_2) \psi(r_1, r_2) d^6x = 1 \quad (23.8)$$

وبما أنه من الصعب جدا حل المعادلة (23.7) فإننا سنستفيد من نظرية شرودينجر لدراسة الاضطراب التي شرحناها في البند\* وذلك بفرض أن تفاعل الالكترونين مع بعضهما ( الطاقة  $V'$  ) لا يغير إلا قليلا من الحركة المستقلة لكل منهما في الحقل الكولوني للنواة ، ( وسنقيم فيما بعد دقة هذا التقريب ) ، ولندرس أولا التقريب الأول حيث يمكن اهمال طاقة الاضطراب  $V'$  وعندئذ تأخذ معادلة شرودينجر الشكل التالي :

$$(E^0 - H^0) \psi^0(r_1, r_2) = 0 \quad (23.9)$$

وبسبب انقسام الهاملتونيان  $H^0$  إلى مجموع مؤثرين  $H_1$  و  $H_2$  يتعلق كل منهما بأحد المتحولين ( اما  $r_1$  أو  $r_2$  ) ، فإن التابع الموجي يمكن أن يكتب في التقريب الصفري بالشكل التالي :

$$u = \psi_{n_1}(r_1) \psi_{n_2}(r_2) \quad (23.10)$$

وفي الحقيقة نجد بتبديل (23.10) في (23.9) مع اعتبار (23.1) أن :

$$\begin{aligned} (E^0 - H^0)u &\equiv \{E^0 - (H_1 + H_2)\} \psi_{n_1}(r_1) \psi_{n_2}(r_2) = \\ &= E^0 u - \{\psi_{n_2}(r_2) H_1 \psi_{n_1}(r_1) + \psi_{n_1}(r_1) H_2 \psi_{n_2}(r_2)\} = \\ &= E^0 u - \{\psi_{n_2}(r_2) E_{n_1} \psi_{n_1}(r_1) + \psi_{n_1}(r_1) E_{n_2} \psi_{n_2}(r_2)\} = \\ &= \{E^0 - (E_{n_1} + E_{n_2})\} u = 0 \end{aligned}$$

ومن هنا نجد قيمة الطاقة في التقريب الصفري ، أي أن :

$$E^0 = E_{n_1} + E_{n_2} \quad (23.11)$$

\* تمثل هذه المسألة مسألة ثلاثة جسيمات ولا يمكن أن تحل ضمن التقريب الكلاسيكي ولهذا تتم دراستها بواسطة نظرية الاضطراب التقريبية .

حيث  $E_{n_1}$  و  $E_{n_2}$  طاقتا الالكترونين غير المتفاعلين مع بعضهما ، ويمكن فهم هذه النتيجة بالشكل التالي : تتحدد حركة الالكترونين عندما لا يتأثران مع بعضهما  $V' = 0$  بتفاعلها مع النواة ذات الشحنة  $Ze_0$  ، أى أن هذه الحركة تتعين تماما بمعادلة شرودينجر ( 23.1 ) التى تنتج القيم الخاصة من حلها  $E_{n_j}$  ، انظر ( 23.3 ) ، والتوابع الخاصة  $\psi_{n_j}$  وبما أن أحد الالكترونين يوجد فى الحالة  $n_1$  والآخر فى الحالة  $n_2$  فإن طاقتهما الكلية تساوى  $E_{n_1} + E_{n_2}$  عندما  $V' = 0$  ، وبسبب استقلالية حركة الالكترونين فإن تابيعهما الموجى الذى له سلوك احصائى كما هو معروف يساوى جداء التابيعين الموجيين الموافقين لكل من الالكترونين على حدة ، إلا أنه من السهل القبول بوجود حل آخر عن طريق التبدل المباشر فى المعادلة ( 23.9 ) ، بجانب الحل الأول ( 23.10 ) وهو التالى  $\psi^0 = \psi$  أى :

$$v = \psi_{n_2}(r_2) \psi_{n_1}(r_1) \quad (23.12)$$

وهو يختلف عن الحل الأول بتبديل موضعى الالكترونين ، فالالكترون الأول يقع الآن فى الحالة  $n_2$  والثانى فى الحالة  $n_1$  . وهكذا نرى أنه يوجد انطباق هنا فى حالة هذه الجملة ينتج عن عدم امكانية التفريق بين الالكترونات ، ولذلك يسمى بالانطباق التبادلى حيث يتساوى التابيعان  $u$  و  $v$  إذا وقع الالكترونان فى حالتين متشابهتين  $n_1 = n_2$  أى أن :

$$u = v = \psi_{n_1}(r_1) \psi_{n_1}(r_2) \quad (23.12a)$$

أما عندما يكون  $n_1 \neq n_2$  فلا بد أن يختلف التابيعان  $u$  و  $v$  ، ولهذا يجب أن نأخذ حلا صفرىا لمعادلة شرودينجر يكتب كالتالى :

$$\psi^0 = C_1 u + C_2 v \quad (23.13)$$

حيث  $C_1$  و  $C_2$  ثابتان اختياريان يرتبطان فيما بينهما بشرط المعايرة التالى :

$$\int \psi^{0*} \psi^0 d^3x = 1$$

ولكى نحسب قيمتى الثابتين  $C_1$  و  $C_2$  ونجد سويات طاقة الجملة المضطربة يجب البحث عن  $E$  و  $\psi$  طبقاً لنظرية الاضطراب بالشكل التالى :

$$\begin{aligned} E &= E^0 + E' \\ \psi &= \psi^0 + \psi' \end{aligned} \quad (23.14)$$

ولحل المسألة نستخدم التقريب الأول لمعادلة شرودينجر (23.7) الذى يكتب فى حالتنا هذه بالشكل الآتى :

$$(E^0 - H^0) \psi' = -(E' - V')(C_1 u + C_2 v) \quad (23.15)$$

وبالاستفادة من نظرية التعامد التى بموجبها يكون حل المعادلة للمسألة غير المضطربة ، متعامداً مع الطرف الأيمن للمعادلة ذات الطرف الثانى ، انظر (8.13) ، ثم باعتبار أن حلى المعادلة غير المضطربة يتمثلان بالتابعين  $u$  و  $v$  نجد أن :

$$\int u^* (E' - V')(C_1 u + C_2 v) d^6x = 0 \quad (23.16)$$

$$\int v^* (E' - V')(C_1 u + C_2 v) d^6x = 0 \quad (23.17)$$

وإذا بدلنا فى المعادلة (23.17) موضعى  $r_1$  و  $r_2$  فإن التابع  $v$  ، انظر (23.12) ، يتحول للتابع  $u$  ، أنظر (23.10) ، وبالعكس ، ولا تتغير طاقة الاضطراب لأن  $|r_1 - r_2| = |r_2 - r_1|$  وتأخذ المعادلة الثانية الشكل التالى :

$$\int u^* (E' - V')(C_2 u + C_1 v) d^6x = 0 \quad (23.17a)$$

ولهذا إذا أجرينا تحويلاً على المعادلة (23.16) وحدها فيمكن تعميم النتائج على (23.17a) وذلك بتغيير  $C_2 - C_1$  و  $C_1 - C_2$  . ولنبدل فى المعادلة (23.16) و  $u$  و  $v$  بعبارتيهما من (23.10) و (23.12) ثم ندخل الرموز التالية :

$$\psi_{n_1}^*(r_1) \psi_{n_1}(r_1) = \rho_{11}(r_1) \quad (23.18)$$

$$\psi_{n_2}^*(r_2) \psi_{n_2}(r_2) = \rho_{22}(r_2) \quad (23.19)$$

$$\psi_{n_1}^*(r_1) \psi_{n_2}(r_1) = \rho_{12}(r_1) \quad (23.20)$$

$$\psi_{n_2}^*(r_2) \psi_{n_1}(r_2) = \rho_{21}(r_2) \quad (23.21)$$

حيث يمثل المقداران  $\rho_{22}(r_2)$  ،  $\rho_{11}(r_1)$  توزيع الكثافة الاحتمالية في فراغ الالكترونين الموجودين في الحالتين  $n_1$  و  $n_2$  أما  $\rho_{12}(r_1)$  و  $\rho_{21}(r_2)$  فتعبران عما يسمى بكثافة الحالات المختلطة (أو التبادلية) عندما يقع كلا من الالكترونين في الحالتين  $n_1$  و  $n_2$  بشكل جزئى ، وإذا اعتبرنا أيضا شروط التعامد والمعايرة التالية :

$$\int u^* u d^6x = \int \rho_{11}(r_1) d^3x_1 \int \rho_{22}(r_2) d^3x_2 = 1$$

وكذلك

$$\int u^* v d^6x = \int \rho_{12}(r_1) d^3x_1 \int \rho_{21}(r_2) d^3x_2 = 0$$

فإن المعادلة (23.16) تؤول إلى الشكل التالى :

(23.22)

$$E^* C_1 - \left\{ C_1 e_0^2 \int \frac{\rho_{11}(r_1) \rho_{22}(r_2)}{|r_1 - r_2|} d^6x + C_2 e_0^2 \int \frac{\rho_{12}(r_1) \rho_{21}(r_2)}{|r_1 - r_2|} d^6x \right\} = 0$$

ويمثل التكامل الأول فى (23.22) طاقة التفاعل الكولونية للالكترونين ، أى

$$K = e_0^2 \int \frac{\rho_{11}(r_1) \rho_{22}(r_2)}{|r_1 - r_2|} d^6x \quad (23.23)$$

أما التكامل الثانى فيمثل ما يسمى بالطاقة التبادلية

$$A = e_0^2 \int \frac{\rho_{12}(r_1) \rho_{21}(r_2)}{|r_1 - r_2|} d^6x \quad (23.24)$$

المقابلة لتفاعل الالكترونين عندما يقع كل منها فى الحالة المختلطة  $n_1$

و  $n_2$  . ويلاحظ أنه ليس للطاقة التبادلية  $A$  ، خلافا للطاقة الكولونية  $K$  ،

شبيهه كلاسيكى لأنها من طبيعة كوانتية صرفة . وبلاستفادة من (23.23)

و (23.24) نحصل عوضا عن (23.22) على المعادلة التالية :

$$C_1 (E^* - K) - C_2 A = 0 \quad (23.25)$$

وعلى المعادلة المقابلة لـ (23.17a) إذا بدلنا في (23.25) كما ذكرنا سابقا  
 $C_2 - C_1$  و  $C_1 - C_2$  أى أن :

$$C_2(E' - K) - C_1A = 0 \quad (23.26)$$

ومن المعادلتين الأخيرتين نجد أن :

$$1) \quad E' = K + A, \quad C_1 = C_2 \quad (23.27)$$

$$2) \quad E' = K - A, \quad C_1 = -C_2 \quad (23.28)$$

وطبقا لذلك نجد للتابع الموجى والطاقة الكلية ، انظر (23.13) ، الحلين  
 التاليين :

### ( ١ ) الحل المتناظر

$$\psi^s = C_1(u + v) \quad (23.29)$$

$$E^s = E^0 + K + A \quad (23.30)$$

### ( ٢ ) الحل اللامتناظر\*

$$\psi^a = C_1(u - v) \quad (23.31)$$

$$E^a = E^0 + K - A \quad (23.32)$$

ولكى نعين المعامل  $C_1$  نستفيد من شروط المعايرة للتابعين الموجيين  $\psi^s$   
 و  $\psi^a$  ، أى أن :

$$\int \psi^{*c} \psi^c d^6x = \int \psi^{*a} \psi^a d^6x = 1$$

وعندئذ نجد  $2C_1^2 = 1$  أو  $C_1 = \frac{1}{\sqrt{2}}$  وهكذا نحصل على الحلين  $\psi^s$  و  $\psi^a$   
 فى شكلهما النهائى\*\*

\* نتذكر بأن التابع  $\psi$  يتحول إلى  $\psi^*$  وبالعكس عند تبديل  $r_1 + r_2$  و  $r_2 + r_1$  ولهذا لا يغير التابع الموجى  $\psi^a$  اشارته نتيجة لهذه العملية (تابع متناظر) ، وفى نفس الوقت يغير التابع الموجى  $\psi^s$  اشارته (تابع لامتناظر) .

\*\* وهنا أيضا يعنى الاضطراب الانطباقى كما فى ظاهرة شتارك ، ولهذا يأخذ المعاملان  $C_1$  و  $C_2$  فيما معنية فى هذه الحالة لأنهما لم يتعينا بسبب وجود الانطباق .

$$\psi^6 = \frac{1}{\sqrt{2}} (u + v) \quad (23.29a)$$

$$\psi^a = \frac{1}{\sqrt{2}} (u - v) \quad (23.31a)$$

ويتطابق التابعان  $u$  و  $v$  كما ذكرنا سابقا عندما يقع كل من الالكترونين في حالة كوانتية واحدة ( $n_1 = n_2$ ) وعندئذ تتحول المعادلتان (23.16) و (23.17) إلى معادلة واحدة هي :

$$\int u^* (E' - V') u d^6x = 0 \quad (23.33)$$

رمت نجد أن :

$$E' = K \quad (23.34)$$

أى أنه لا ينشأ فى هذه الحالة أى طاقة تبادلية ، وأما بالنسبة للتابع الموجى فنحصل على الحل الوحيد المتناظر التالى :

$$\psi^6 = u = \psi_{n_1}(r_1) \psi_{n_1}(r_2) \quad (23.35)$$

الذى يقابل طاقة الجملة ، أو

$$E^{66} = E^0 + K \quad (23.36)$$

ويمكن تلخيص ما سبق : أن تطبيق نظرية الاضطراب على المسألة المدروسة يؤدى إلى أحد حلين ، إما متناظر أو لا متناظر وهو ما يتوافق تماما مع النظرية العامة لجملة الجسيمات المتطابقة .

ج) تفاعل الالكترونات الكولونى . لنحسب عبارة الطاقة الكولونية لالكترونين يقعان فى أخفض سوياتهما ( $n_1 = n_2 = 1$ ) ، وفى هذه الحالة تعطى طاقة كل الكترون وتابعه الموجى بالعلاقتين

$$E_1 = -\frac{Z^2 e_0^2}{2a_0}, \quad \psi_1(r) = \frac{1}{\sqrt{\pi}} \left(\frac{Z}{a_0}\right)^{3/2} e^{-Zr/a_0} \quad (23.37)$$

حيث  $a_0 = \frac{h^2}{m_0 e_0^2}$  نصف قطر مدار بور الأول . أما طاقة التفاعل الكولونية لهذين الالكترونين فتساوى :

$$K = \int \Psi_1^2(r_1) \Psi_1^2(r_2) \frac{e_0^2}{|r_1 - r_2|} d^6x \quad (23.38)$$

حيث  $|r_1 - r_2| = \sqrt{r_1^2 + r_2^2 - 2r_1 r_2 \cos \theta}$  و  $\theta$  الزاوية بين المتجهين

$r_1$  و  $r_2$  . وعندما نستكمل (23.38) ، يوجه المحور  $z$  بالاتجاه  $r_1$  ، نجد بعد تبديل التابعين الموجيين  $\Psi_1$  بقيمتها من (23.37) ثم الاستكمال بالزوايا أن :

$$K = \frac{32Z^6 e_0^2}{a_0^6} \int_0^\infty r_1^2 dr_1 e^{-2Zr_1/a_0} \int_{r_1}^\infty r_2 e^{-2Zr_2/a_0} dr_2 \quad (23.38a)$$

ملاحظة : لقد أخذنا بعين الاعتبار عند الاستكمال بالزاوية  $\theta$  العلاقة

$$I = \int_{-1}^1 \frac{dx}{\sqrt{r_1^2 + r_2^2 - 2r_1 r_2 x}} = \begin{cases} \frac{2}{r_2} & ; \quad r_1 < r_2 \\ \frac{2}{r_1} & ; \quad r_1 > r_2 \end{cases}$$

وبما أن العلاقة  $\Psi_1^2(r_1) \Psi_1^2(r_2)$  متناظرة بالنسبة لـ  $r_1$  و  $r_2$  فيمكن عند حساب التكامل وضع  $r_2$  بدلا من  $r_1$  و  $r_1$  بدلا من  $r_2$  عندما  $r_1 > r_2$  وعندئذ نجد النتيجة (23.38) نفسها عندما :

$$I = \begin{cases} \frac{4}{r_2} & ; \quad r_1 < r_2 \\ 0 & ; \quad r_1 > r_2 \end{cases}$$

وبالاستكمال بالنسبة لـ  $r_1$  و  $r_2$  نجد أخيرا أن :

$$K = \frac{5}{8} \frac{Z^6 e_0^2}{a_0} \quad (23.39)$$

وباعتبار أن الطاقة الصفرية في هذه الحالة تساوى :

$$E^0 = 2E_1 = -\frac{Z^2 e_0^2}{a_0} \quad (23.40)$$



نجد أخيرا أن لالكترونين يقعان في أخفض حالة الطاقة الكلية التالية :

$$E = E^0 + K = -\frac{Z^2 e_0^2}{a_0} + \frac{5}{8} Z \frac{e_0^2}{a_0} \quad (23.41)$$

وكمثال على تطبيق الصيغة (23.41) نحسب الآن طاقة تشرد ذرة الهليوم ، أى الطاقة اللازمة لاقتلاع الكترون واحد يقع على المدار الأول للذرة . نعرف أن طاقة ارتباط الالكترون مع النواة فى ذرة الهليوم المتشردة مرة واحدة ( أى ذرة شبيهة بذرة الهيدروجين ) تساوى  $E_1$  ، انظر (23.37) ، ومنه نحسب طاقة تشرد ذرة الهليوم مرة واحدة ، أى أن :

$$E^{\text{ion}} = E_1 - E = \frac{e_0^2}{2a_0} \left( Z^2 - \frac{5}{4} Z \right) \quad (23.42)$$

وبالنسبة للهليوم ( $Z = 2$ ) يكون لدينا :

$$E^{\text{ion}} = 0,75 \frac{e_0^2}{a_0} \quad (23.43)$$

أما طاقة تشرد الهليوم فهى معروفة من التجربة وتساوى

$$E_{\text{exp}}^{\text{ion}} = 0,9 \frac{e_0^2}{a_0} = 24,48 \text{ eV} \quad (23.43a)$$

ويعود سبب هذا التباعد بين القيمتين النظرية والتجريبية إلى أن طاقة الاضطراب  $K = \frac{5}{4} \frac{e_0^2}{a_0}$  ليست صغيرة بالمقارنة مع الطاقة الصفرية  $|E^0| = \frac{4e_0^2}{a_0}$  ( ان نسبتها من رتبة  $1/3$  ) ولهذا تسمح نظرية الاضطراب فى هذه الحالة بالحصول على سلسلة نتائج كيفية . أما دقة هذه الطريقة بالنسبة للحسابات الكمية فليست كبيرة بسبب امكانية مقارنة  $|E^0|$  مع  $K$  .

د ) طريقة التغيرات . لقد استخدمت طريقة التغيرات

المطورة من قبل ريتز وهليراس بنجاح لحساب طاقة الحالات الأساسية للذرات ، ومن المعلوم أنه يمكن حساب الطاقة الوسطى بواسطة العلاقة :

$$\langle E \rangle = \int \psi^* H \psi d^3x \quad (23.44)$$

فإذا كتبنا التابع الموجى بالشكل التالى :

$$\psi = \sum C_n \psi_n \quad (23.44a)$$

حيث تمثل العوامل  $C_n$  احتمال وجود الالكترتون فى الحالة  $n$  ، ويمكن أن نحسب القيمة الوسطى للطاقة فى الحالة  $n$  ، كما رأينا فى البند ٦ ، انظر (6.19) ، بالعلاقة الآتية :

$$\langle E \rangle = \sum_n |C_n|^2 E_n \quad (23.45)$$

فإذا غيرنا فى المجموع الأخير كل قيمة خاصة  $E_n$  بأصغر قيمة خاصة  $E_0$  ولاحظنا أن

$$\sum_n |C_n|^2 = 1$$

$$E_0 \leq \int \psi^* H \psi d^3x \quad \text{فإننا نجد أن :}$$

ولذلك فإن أصغر قيمة للتكامل :  $\int \psi^* H \psi d^3x = E^{\min}$  تساعدنا على حساب الحد الأعلى لطاقة الحالة الأساسية للجملة :

$$E_0 \leq E^{\min} \quad (23.46)$$

وتستخدم طريقة التغيرات هذه عندما يمكن مقارنة طاقة التفاعل  $E'$  مع طاقة التقريب الصغرى  $E^0$  لأن طريقة الاضطراب لا تعطى نتائج جيدة . ويمكن عند حل المسألة بطريقة التغيرات أن نضع على قدم المساواة فى هاملتونيان المعادلة (23.7) كلا من القسم الرئيسى وطاقة التفاعل الاضافية  $V'$  ، وبعد ذلك يجب اختيار تابع اختبار  $\psi$  كتابع للوسطاء بحيث يحسب التكامل بشكل دقيق ، وعندئذ تصبح الطاقة  $E$  تابعا لهذه الوسطاء ويجب أن تقرب القيمة الصغرى من القيمة الحقيقية لهذا التابع ، وتتجلى الصعوبة الحقيقية لهذه الطريقة فى اختيار تابع الاختبار الذى يجب عند اختياره أن نستفيد من أى معلومات ممكنة عن الجملة ، ولا توجد طريقة معينة فى اختيار تابع الاختبار فقد تحل المسألة أحيانا عن طريق مهارة الباحث ،

أو بصورة أدق ، عن طريق بدايته الرياضية والفيزيائية ، وكثيرا ما تختار التوابع الموجية ولو شكليا لحل المعادلة المقابلة دون اضطراب . ولنحل الآن مسألة حساب أخفض حالة طاقة لذرة الهليوم بطريقة التغيرات ، فقد أشرنا قبل قليل إلى إمكانية حل هذه المسألة عن طريق نظرية الاضطراب ولهذا يمكن مقارنة نتائج الطريقتين . لقد اختار هليراس تابع الحالة الأساسية لذرة الهيدروجين (23.37) كتابع اختبار ، بعد أن غير الشحنة  $Z$  بشحنة ما فعالة  $Z'$  ، حيث  $Z'$  هي الوسيط المجهول الذي يمكن حسابه من مبدأ التغيرات ، ولذلك فإن تابع الاختبار يكتب بالشكل التالي :

$$\psi_1(r) = \frac{1}{\sqrt{\pi}} \left( \frac{Z'}{a_0} \right)^{3/2} e^{-Z'r/a_0} \quad (23.47)$$

وهو كالتابع (23.37) معايير على الواحد لأن معايرته لا تتعلق بـ  $Z'$  ويجب أن يتضمن الهاملتونيان  $H$  في (23.44) كلا من هاملتونيان التقريب الصفرى وطاقة الاضطراب الكمونية وعندئذ يكون :

$$H = T_1 + V_1 + T_2 + V_2 + V' \quad (23.48)$$

حيث يعطى  $(T_j$  و  $V_j)$  ،  $(j = 1, 2)$  بالمساواة (23.2) أما طاقة الاضطراب الكامنة فتعطى بالعلاقة (23.5) ، فإذا اعتبرنا معايرة التوابع الموجية وأن الالكترونين يقعان في حالة كوانتية واحدة عندما  $\langle T_1 \rangle = \langle T_2 \rangle$  و  $\langle V_1 \rangle = \langle V_2 \rangle$  فإننا نحسب القيمة الوسطى للهاملتونيان بالشكل التالي :

$$\langle H \rangle = 2 \langle T_1 \rangle + 2 \langle V_1 \rangle + \langle V' \rangle \quad (23.49)$$

حيث :

$$\langle T_1 \rangle = \frac{1}{2m_0} \int \psi_1(r_1) \left( \frac{h}{i} \nabla_1 \right)^2 \psi_1(r_1) d^3x_1 \quad (23.50)$$

$$\langle V_1 \rangle = - \int \psi_1^2(r_1) \frac{Ze_0^2}{r_1} d^3x_1 \quad (23.50a)$$

$$\langle V' \rangle = \int \psi_1^2(r_1) \psi_1^2(r_2) \frac{e_0^2}{|r_1 - r_2|} d^6x \quad (23.50b)$$

ويما أن التكامل (23.50b) متطابق تماما مع التكامل (23.38) ، عندما  $Z = Z'$  ، فإننا نجد طبقا لـ (23.39) القيمة الوسطى لـ  $\langle V' \rangle$  ، أى أن

$$\langle V' \rangle = \frac{5}{8} \frac{Z' e_0^2}{a_0} \quad (23.51)$$

ولكن  $\langle T_1 \rangle$  فى العلاقة (23.50) هى القيمة الوسطى للطاقة الحركية لذرة الهيدروجين ذات الترتيب  $Z'$  عندما يقع الإلكترون فى اخفض حالة ، غير أن القيمة الوسطى ترتبط مع القيمة المقابلة للطاقة الكلية للذرات الشبيهة بالهيدروجين بالعلاقة التالية :

$$\langle T_1 \rangle = -E_1 = \frac{Z'^2 e_0^2}{2a_0} \quad (23.52)$$

وبالطريقة نفسها تماما سنحصل على القيمة الوسطى للطاقة الكامنة للذرات الشبيهة بالهيدروجين التى تساوى ضعف الطاقة الكلية أو  $\langle V_1 \rangle = 2E_1$

وإذا بدلنا  $Z$  بـ  $Z'$  فى الصيغة (23.50a) ، وبالتالي يمكن أن نكتب

$$\langle V_1 \rangle = \frac{Z}{Z'} 2E_1 = -\frac{ZZ' e_0^2}{a_0} \quad (23.53)$$

ومنه نحسب القيمة الوسطى للطاقة طبقا للصيغة (23.49) فنجد أن :

$$E(Z') = \frac{e_0^2}{a_0} \left( Z'^2 - 2ZZ' + \frac{5}{8} Z' \right) \quad (23.54)$$

ولنعين الآن الوسيط  $Z'$  المرافق بحيث تكون طاقة الجملة أصغر ما يمكن ، ولذلك نشق العلاقة  $E(Z')$  بالنسبة لـ  $Z'$  ونعدم المشتق فنجد أن :

$$Z' = Z - \frac{5}{16}$$

ومنه نحصل على الطاقة الصغرى لالكترونات ذرة الهليوم ، أى أن :

$$E^{\min} = -\left( Z - \frac{5}{16} \right)^2 \frac{e_0^2}{a_0} \quad (23.55)$$

وعندئذ تكون طاقة التشرّد :

$$E^{\text{ion}} = E_1 - E^{\text{min}} = \frac{e_0^2}{2a_0} \left( Z^2 - \frac{5}{4} Z + \frac{25}{128} \right)$$

وفى الحالة الخاصة عندما  $Z = 2$  يكون

$$E^{\text{ion}} \approx 0,85 \frac{e_0^2}{a_0} \quad (23.56)$$

وهذه القيمة أقرب إلى القيمة التجريبية ، انظر ( 23.43a ) ، من ( 23.43 ) والمحسوبة طبقاً لنظرية الاضطراب . هذا وقد حصل هيلراس على توافق أكثر مع التجربة عندما أدخل عدة وسطاء تغايرية بدلا من وسيط واحد ، ولهذه النتيجة ( 23.55 ) تفسير فيزيائى بسيط وهو أن تأثير الكترون على آخر يؤدي إلى حجب الشحنة الموجبة للنواة . كما يمكن استخدام طريقة التغايرات أيضا لحساب الحد الأعلى لطاقة الكترون واحد مثار ( مهيج ) أو لمجموعة الكترونات مثارة . ولهذا يجب اختيار تابع الاختبار بحيث يكون متعامداً مع كل التوابع الموجبة للحالات الأكثر انخفاضاً .

٥) الحصول على معادلة شرودينجر بطريقة التغايرات . لندرس تطبيقاً يعتبر من أهم تطبيقات طريقة التغايرات ، عندما يتحدد اختيار تابع الاختبار  $\psi$  أثناء بحثنا عن القيمة الوسطى لهاملتونيان جسيم واحد متحرك ، أى أن :

$$\langle E \rangle = \int \psi^* H \psi d^3x \quad (23.57)$$

والذى يتحدد بشرط المعايرة وحده :

$$\int \psi^* \psi d^3x = 1 \quad (23.58)$$

وبمفاضلة  $\langle E \rangle$  بالنسبة ل  $\psi$  وملاحظة هرميتية المؤثر  $H$  نجد أن :

$$\delta \langle E \rangle = \int (\delta \psi^* H \psi + \delta \psi H^* \psi^*) d^3x = 0 \quad (23.59)$$

ولا يجوز اعتبار استقلال كل من  $\delta\psi$  و  $\delta\psi^*$  ، لأنهما يرتبطان بشرط المعاييرة ( 23.58 ) ، ولكي نجعلهما مستقلين نفاضل الشرط ( 23.58 ) ، أى :

$$\int \psi \delta\psi^* d^3x + \int \psi^* \delta\psi d^3x = 0$$

ولنضرب المساواة الأخيرة بمضروب لاغرانج الثابت  $\lambda$  ، ونختار هذا المضروب بحيث يجعل التفاضلات  $\delta\psi$  و  $\delta\psi^*$  مستقلة ثم نجمع مع المساواة ( 23.59 ) ، وبما أن التفاضلات  $\psi$  و  $\psi^*$  تعتبر مستقلة الآن فيمكن أن نحصل آليا انطلاقا من مبدأ التغيرات ، على معادلتى شرودينجر التاليتين :

$$(H - E) \psi = 0, \quad (H^* - E) \psi^* = 0 \quad (23.60)$$

ويتضح عندئذ المعنى الفيزيائى للمضروب  $\lambda$  فهو يساوى الطاقة بإشارة سالبة أى (  $\lambda = -E$  ) ، وهكذا نرى أن مبدأ التغيرات يؤدى إلى معادلة شرودينجر على أن نطبق شرط المعاييرة ، ويبدو من المعادلتين اللتين حصلنا عليهما أن القيم الخاصة لمعادلة شرودينجر ( 23.60 ) تعطى نهايات تكامل التغيرات ، وتدل الدراسة التفصيلية أن النهايات ستكون صغرى ، وأن طاقة الحالة الأساسية تقابل بالضرورة النهاية الصغرى المطلقة ، أى أن أصغر قيمة ممكنة للطاقة هى التى تقابل الحالة الأساسية ، كما أن حساب الحالات المهيجة يقضى أن يحقق التابع الموجى ليس فقط شرط المعاييرة وإنما شروط المعاييرة والتعامد بالنسبة للتوابع الموجية للحالات الأكثر انخفاضا ، وهذا ما يتحقق آليا فى نظرية شرودينجر .

( و ) طريقة هارترى - فوك ( طريقة الحقل ذاتى التناسق ) أو طريقة الحساب العددى . لقد درسنا حالتين متطرفتين لتطبيق طريقة التغيرات فى حل المسائل فى الحالة الأولى ، طريقة رينز - هليراس حيث أدى تطبيق هذه الطريقة على التابع الموجى إلى ايجاد « أفضل » قيم للوسطاء فى العبارة المختارة للتابع الموجى ، أما فى الحالة الثانية فلم يوضع أى شرط ( سوى

شروط المعاييرة ) وقد أدى ذلك إلى معادلة شرودينجر . ويبدو أن هناك حالة متوسطة ، فالتابع الموجى بالرغم من أنه غير معين بعد ، فهو يساوى جداء تابعين كل منهما يتعلق فقط بالاحداثيات الخاصة بموضع الكترون واحد ، أما الشكل الواضح لهذين التابعين فيحسب عن طريق حل معادلة ما تنتج عن مبدأ التغيرات بطريقة التقريبات المتتالية . ولقد اقترح هاترى احدى هذه الطرائق عام ١٩٢٨ وقد صاغ فوك جوهر هذه الطريقة من وجهة نظر مبدأ التغيرات ، وذلك بما يلى : لنكتب مبدأ التغيرات لجسيمين فى الحالة العامة\*

$$\langle E \rangle = \int \psi^*(r_1, r_2) H \psi(r_1, r_2) d^3x_1 d^3x_2 = \min \quad (23.61)$$

وكشرط اضافى يجب أن يكتب التابع الموجى العام كجداء تابعين يتعلق كل منهما باحداثيات جسيم واحد ، أى أن :

$$\psi(r_1, r_2) = \psi_1(r_1) \psi_2(r_2) \quad (23.62)$$

ومن الضرورى أيضا اعتبار شرط المعاييرة

$$\int \psi_1^* \psi_1 \psi_2^* \psi_2 d^3x_1 d^3x_2 = 1 \quad (23.63)$$

الذى يمكن أن يكتب لكل جسيم على حدة

$$\int \psi_1^* \psi_1 d^3x_1 = \int \psi_2^* \psi_2 d^3x_2 = 1$$

وبتعويض تابع الاختبار (23.62) فى عبارة الطاقة (23.61) ثم المفاضلة بالنسبة لـ  $\psi_1$  و  $\psi_2$  وبحل كل معادلة على حدة ، نجد أن :

$$\int \left[ (\psi_2^* \delta \psi_1 + \psi_1^* \delta \psi_2) \left( H_1 + H_2 + \frac{e_0^2}{r_{12}} \right) \psi_1 \psi_2 + \psi_1^* \psi_2^* \left( H_1 + H_2 + \frac{e_0^2}{r_{12}} \right) (\psi_2 \delta \psi_1 + \psi_1 \delta \psi_2) \right] d^3x_1 d^3x_2 = 0 \quad (23.64)$$

\* وبالطريقة نفسها يمكن تعميم هذا المبدأ فى حالة ثلاثة جسيمات أو أكثر .

حيث  $H_j = \frac{1}{2m_0} p_j^2 + V_j(r_j)$  هو الهاملتونيان الذي يصف حركة الكترون واحد ( $j = 1, 2$ ) أما  $\frac{e_0^2}{r_{12}}$  فيمثل طاقة الالكترنين ، ومن شرط المعايرة (23.63) نحسب العلاقات بين التفاضلات

$$\int (\delta\psi_1^* \psi_2^* \psi_1 \psi_2 + \psi_1^* \delta\psi_2^* \psi_1 \psi_2 + \psi_1^* \psi_2^* \delta\psi_1 \psi_2 + \psi_1^* \psi_2^* \psi_1 \delta\psi_2) d^3x_1 d^3x_2 = 0$$

وإذا ضربنا العلاقة الاخيرة بمضروب لاغرانج  $\lambda$  حيث  $\lambda = -E$  ثم جمعناها مع (23.64) ، فيمكن اختيار المضروب  $\lambda$  بحيث تكون كل التفاضلات  $\delta\psi_1^*$  و  $\delta\psi_2^*$  ... مستقلة . ومنه نجد معادلة هاملتون التالية :

$$\begin{aligned} (H_1 + \int \psi_2^* H_2 \psi_2 d^3x_2 + \int \psi_2^* \frac{e_0^2}{r_{12}} \psi_2 d^3x_2 - E) \psi_1 &= 0 \\ (H_2 + \int \psi_1^* H_1 \psi_1 d^3x_1 + \int \psi_1^* \frac{e_0^2}{r_{12}} \psi_1 d^3x_1 - E) \psi_2 &= 0 \end{aligned} \quad (23.65)$$

وكذلك معادلتين متشابهتين بالنسبة للتابعين المرافقين عقديا وذلك بضرب المعادلة الأولى لـ  $\psi_1^*$  ثم استكمالها في كل فراغ الجسيم الأول وضرب الثانية بـ  $\psi_2^*$  ثم استكمالها في كل فراغ الجسيم الثاني ثم بأخذ نصف مجموع المعادلتين الناتجتين نجد عبارة الطاقة التالية :

$$E = \sum_j \int \psi_j^* H_j \psi_j d^3x_j + \frac{1}{2} \sum_j \sum_{j'} \int \psi_j^* \psi_{j'}^* \frac{e_0^2}{r_{jj'}} \psi_j \psi_{j'} d^3x_j d^3x_{j'} \quad (23.66)$$

مع العلم أنه عندما نتعامل مع جسيمين فقط فإن كلا من  $z$  و  $z'$  يأخذ فقط القيمتين 1 و 2 ، إلا أنه يمكن أيضا الاستفادة بنجاح من هذه المعادلة (23.66) في حالة وجود عدد أكبر من الجسيمات . وإذا أهملنا طاقة التفاعل أى أعدنا الحدود التي تحوى  $e_0^2/r_{12}$  واعتبرنا صحة العلاقتين :

$$E = E_1 + E_2 , \quad E_j = \int \psi_j^* H_j \psi_j d^3x_j$$

فإن معادلة هارترى تنقسم إلى معادلتين مستقلتين :

$$(H_j - E_j) \psi_j = 0$$



تصف كل منهما جسيما واحدا بمفرده . وبما أنه في حل المسائل التي تحل بطريقة هارترى ، تتحرك الالكترونات ( أو جسيمات أخرى ) كقاعدة عامة في حقل خارجي ( في حقل النواة مثلا ) وفي حقل الالكترونات نفسها ، فقد سميت هذه الطريقة بطريقة الحقل ذاتي التناسق ، ولقد عمم فوك عام ١٩٣٠ طريقة هارترى وذلك بحساب القوى التبادلية أيضا وطبقا لما اقترحه فوك يجب أن نختار تابع الاختبار في المعادلة الابتدائية ( 23.61 ) باعتبار صحة مبدأ باولي ، ولهذا يحدد صنف التوابع الموجية أيضا باضافة شرط جديد هو شرط اللاتناظر ( وسندرس بشكل أكثر تفصيلا اختيار التوابع اللامتناظرة التي تحقق مبدأ باولي في البند المقبل ) . هذا وبحل جملة معادلات هارترى ( وكذلك معادلات فوك ) للغمامات الالكترونية للذرات بطريقة التقريبات المتتالية ، حيث يحسب أولا التابع الموجي للتقريب الصفري ( باهمال التفاعل بين الالكترونات ) ثم تؤخذ بعين الاعتبار طاقة التفاعل بين الالكترونات ، نحصل على معادلة التقريب الأول ، وبعد ذلك نضع الحل الناتج عن التقريب الأول في معادلة هارترى - فوك فنجد التقريب الثاني وهكذا . . . ويتم تكرار هذا الحساب حتى تتساوى الحلول المتوالية من بعضها أي نحصل على الحل ذاتي التناسق . ونلاحظ أن الحل الفعال لهذه المسألة ممكن فقط بالطرائق العددية للتكاملات ، وبواسطة الحسابات المعاصرة أمكن حساب الطاقة والتابع الموجي ليس للعناصر الخفيفة وحدها وإنما للعناصر الثقيلة أيضا . هذا وتطبق طريقة أخرى لدراسة الذرات الثقيلة غير الطريقة التي شرحناها وهي طريقة توماس - فيرمي الاحصائية التي بالرغم من أنها غير دقيقة كطريقة هارترى - فوك ، لكنها تسمح بالكشف بطريقة بسيطة عن كثير من قوانين الذرات الثقيلة ، وسنستخدم هذه الطريقة في أبحاثنا المقبلة ، وسنراها في البند ٢٥ عند دراستنا نظرية جدول مندليف للتصنيف الدوري للعناصر .

( ز ) دراسة الطاقة التبادلية . سنفسر الآن ببعض التفصيل المعنى الفيزيائي للطاقة التبادلية ( 23.64 ) التي حصلنا عليها سابقا ، تلك الطاقة التي تمثل كما أشرنا سابقا متوسط قيمة طاقة التفاعل الكولونية للالكترونين عندما يقعان فى الحالات المختلطة ، أى يقعان جزئيا فى الحالتين  $n_1$  و  $n_2$  وطبقا للصيغ ( 23.30 ) و ( 23.32 ) ترتبط الطاقة الكلية للجملة مع الطاقة الكولونية والطاقة التبادلية  $A$  بالعلاقة :

$$E = E^0 + K \pm A \quad (23.67)$$

مع العلم أن الإشارة الموجبة تقابل التابع  $\psi^+$  والسالبة تقابل التابع  $\psi^-$  . ولكى نفهم الطاقة التبادلية بشكل مفصل ندرس سلوك الجملة عندما يتغير الزمن ولهذا نكتب التابعين الموجبين للحالتين المتناظرة واللامتناظرة بالشكل التالى :

$$\psi^+(t) = \psi^+ e^{-\frac{i}{\hbar} E^0 t} , \quad \psi^-(t) = \psi^- e^{-\frac{i}{\hbar} E^0 t} \quad (23.68)$$

وإذا فرضنا

$$\frac{E_0 + K}{\hbar} = \omega, \quad \frac{A}{\hbar} = \delta \quad (23.69)$$

فإنه يمكن كتابة ( 23.68 ) بالشكل التالى :

$$\begin{aligned} \psi^+(t) &= \frac{1}{\sqrt{2}} (u + v) e^{-i\omega t - i\delta t} \\ \psi^-(t) &= \frac{1}{\sqrt{2}} (u - v) e^{-i\omega t + i\delta t} \end{aligned} \quad (23.70)$$

ولندرس حالة جملة موصوفة بتراكب التابعين  $\psi^+(t)$  و  $\psi^-(t)$  من الشكل \* :

\* هذا التركيب للحالتين المتناظرة واللامتناظرة ممكن فقط عند إهمال مغزل الجسيمات وعندما لا يوجد اختلاف فيزيائي بينهما ، أما عند وجود المغزل فتقابل الحالة المتناظرة مغزلا يساوى الصفر كما تقابل الحالة اللامتناظرة مغزلا يساوى الواحد ، انظر البند ٢٤ ، ولهذا سيكون لهذا المزج ( 23.71 ) بين الحالتين صيغة شكلية فقط ، هذا بالإضافة إلى حظر الانتقال المتضمن تغير المغزل .

$$\Psi(t) = C^s \psi^s(t) + C^a \psi^a(t) \quad (23.71)$$

وليس من الصعب التأكد بأن التابع  $\Psi(t)$  يمثل الحل العام لمعادلة شرودينجر (23.7) ضمن التقريب الأول لنظرية الاضطراب . ولنفرض الآن أنه في لحظة البدء ( $t = 0$ ) كان الالكترون الأول في الحالة  $n_1$  والثاني في الحالة  $n_2$  وعندئذ يجب أن يتطابق التابع التالي :

$$\Psi(0) = \frac{1}{\sqrt{2}} \{ (C^s + C^a) u + (C^s - C^a) v \} \quad (23.72)$$

مع التابع  $u$  ومنه نجد :

$$\frac{1}{\sqrt{2}} (C^s + C^a) = 1, \quad C^s - C^a = 0$$

أو :

$$C^s = C^a = \frac{1}{\sqrt{2}} \quad (23.73)$$

ومن المساويتين الأخيرتين نجد للتابع (23.71) القيمة التالية :

$$\Psi(t) = e^{-i\omega t} \{ u \cos \delta t - i v \sin \delta t \} = e^{-i\omega t} \{ C_u u + C_v v \} \quad (23.74)$$

حيث

$$C_u = \cos \delta t, \quad C_v = -i \sin \delta t \quad (23.75)$$

ومن الواضح أن السعتين  $C_u$  و  $C_v$  تحققان شرط المعايرة التالي :

$$|C_u|^2 + |C_v|^2 = 1 \quad (23.76)$$

هذان الثابتان يمثلان احتمال وجود الجملة بحيث توصف بالتابع  $u$  أو بالتابع  $v$  . وعندما  $t = 0$  نجد  $C_u = 1$  و  $C_v = 0$  وهذا يعني أن الجملة تقع في بدء الزمن في حالة موصوفة بالتابع  $u$  إلا أنه بعد زمن ما :

$$\tau = \frac{\pi}{2\delta} \quad (23.77)$$

سيساوى العاملان  $C_u$  و  $C_v$  طبقا للعلاقة (23.75) ما يلي :

$$C_u = 0 \quad , \quad C_v = -i$$

أى أن حالة الجملة لا توصف الآن بالتابع  $u$  وإنما بالتابع  $v$  ، وهذا يعنى أنه إذا كان أحد الالكترونين موجودا فى اللحظة  $t = 0$  فى الحالة  $n_1$  والآخر فى الحالة  $n_2$  ، فإنه بعد مرور الزمن  $t$  سيقع الأول فى الحالة  $n_2$  والثانى فى الحالة  $n_1$  . ويسمى الزمن  $t$  الذى يتغير خلاله موضعا الالكترونين بزمن التغير ، وهو يرتبط مع الطاقة المتبادلة بالعلاقة البسيطة التالية :

$$\tau = \frac{\pi}{2\delta} = \frac{\pi \hbar}{2A} \quad (23.78)$$

وفى الحالة الخاصة عندما تنعدم الطاقة المتبادلية ( $A = 0$ ) يصبح الزمن لا نهائيا ( $\tau = \infty$ ) . وفى الختام نشير إلى أن الطاقة المتبادلة لا تلعب دورا هاما إلا عندما تتداخل التوابع الموجية ومعها الكثافة الاحتمالية للسويات المختلفة مع بعضها بعضا\* . وإذا لم يكن تداخل التوابع ذا قيمة فستنعدم الطاقة المتبادلية ، وهذا ما يذكرنا بانتقال الطاقة من هزاز مرتبط إلى آخر . فمن المعلوم أنه إذا بدأ أحد الهزازات المرتبطة بالاهتزاز فإنه بعد فترة من الزمن ستندعم سعته . لأنه يعطى كل طاقة اهتزازة إلى الهزازات الأخرى ، وعندئذ سيتوقف زمن تبادل الطاقة على النسبة بين تواترات اهتزازاتها الذاتية ويأخذ الزمن قيمة عظمى عندما يتطابق التواتران (حالة الرنين) ، ويجب التأكيد على أن هذا التشابه ظاهرى صرف ولا يتحقق إلا بوجود الصفات الموجية للظاهرتين .

\* ندل الحسابات أن زمن التغير فى ذرة الهليوم فى الحالتين  $1s$  و  $2s$  هو فى حدود  $10^{-15}$  . أما إذا وقع الالكترون الثانى فى الحالة  $10s$  فلا تتداخل التوابع الموجية فى الواقع ، ويمتد زمن التغير حتى سنين أى عمليا حتى اللانهاية .

## البند ٢٤ . وجود المغزل في الذرات الشبيهة بالهليوم

أ) الحالات المتناظرة واللامتناظرة . ان للنظرية الكوانتية لمجموعات جسيمات متطابقة سلسلة خواص نوعية ليس لها شبيهه كلاسيكى كما أشرنا سابقا ، وترتبط الخاصة الأساسية بمبدأ تطابق الجسيمات الذى بموجبه لا تتغير حالة الجملة عند تبديل مكان الجسيمات ، ولندرس ظهور هذه الخاصة على أبسط جسيمين متطابقين وهذا ما يعتبر أبسط مثال على ذلك . وسنميز حالة الجسيم ذى نصف القطر الشعاعى  $r$  بثلاثة أعداد كوانتية فراغية (  $n$  - الأساسى ،  $l$  - المدارى ،  $m$  - المغناطيسى ) . نرمز لها اختصارا بالرمز  $n$  أما الرابع فهو العدد الكوانتى المغزلى  $s$  ويكتب التابع الموجى طبقا لهذه الرموز المختصرة بالشكل التالى :

$$\Psi(n_1, s_1, r_1; n_2, s_2, r_2) \quad (24.1)$$

حيث ينسب الوسيطان 1 و 2 إلى الجسيم الأول والجسيم الثانى على الترتيب . ولنفرض الآن مؤثرا  $P$  ينحصر تأثيره على التابع الموجى فى تبديل مواضع الأعداد أو الكوانتية  $n_1, s_1, n_2, s_2$  للجسيمين\* أى

$$P\Psi(n_1, s_1, r_1; n_2, s_2, r_2) = \Psi(n_2, s_2, r_1; n_1, s_1, r_2) \quad (24.2)$$

وليس من الصعب حساب القيم الخاصة لهذا المؤثر بالشكل التالى :

$$P\Psi(n_1, s_1, r_1; n_2, s_2, r_2) = \lambda\Psi(n_1, s_1, r_1; n_2, s_2, r_2) \quad (24.3)$$

وفى الحقيقة ان تطبيق المؤثر مرتين كما ينتج من (24.2) يجب أن يؤدي إلى عودة الجملة إلى حالتها الأولى ، أى أن :

\* وهذا مكافئ لتبديل الجسيمين ببعضهما .

$$P^2\Psi(n_1, s_1, r_1; n_2, s_2, r_2) = \Psi(n_1, s_1, r_1; n_2, s_2, r_2) \quad (24.4)$$

ومن جهة أخرى نجد من (24.3) أن :

$$P^2\Psi(n_1, s_1, r_1; n_2, s_2, r_2) = \lambda^2\Psi(n_1, s_1, r_1; n_2, s_2, r_2) \quad (24.5)$$

وهكذا تساوى القيمة الخاصة لمؤثر التبديل :

$$\lambda = \pm 1 \quad (24.6)$$

وتعنى هذه النتيجة أن تغيير موضعى الجسيمين يؤدي إلى أحد أمرين ، الأول : لا يتغير فيه التابع الموجى ( $\lambda = 1$ ) وتسمى مثل هذه التوابع بالمتناظرة

$$\Psi^{rs}(n_1, s_1, r_1; n_2, s_2, r_2) = \Psi^s(n_2, s_2, r_1; n_1, s_1, r_2) \quad (24.7)$$

والثانى : يتغير فيه التابع الموجى  $\lambda = -1$  ( تسمى مثل هذه التوابع

باللامتناظرة )

$$\Psi^a(n_1, s_1, r_1; n_2, s_2, r_2) = -\Psi^a(n_2, s_2, r_1; n_1, s_1, r_2) \quad (24.8)$$

وتؤكد الميكانيكا الكوانتية أن جملة الجسيمات المتطابقة لا يمكن أن تتواجد إلا فى أوضاع ذات نوع معين من التناظر ، وبصورة خاصة تتحقق فى الطبيعة أما حالات متناظرة ( التابع الموجى متناظر ) ، أو حالات غير متناظرة ( التابع الموجى لامتناظر ) .

ب) احصاء فيرمى - ديراك واحصاء بوزى - اينشتين . من المعلوم أن الجسيمات المتطابقة تنقسم إلى صنفين رئيسيين يكون لكل منهما خواص احصائية مختلفة وهذا الاختلاف يعود بصورة رئيسية إلى مغزل الجسيمات ، ويبدو أن الجسيمات ذات المغزل  $s = 1/2, 3/2, \dots$  (بوحدهات ثابت بلانك  $h$ ) تخضع لاحصاء فرمى - ديراك (فيرميونات) ومنها الالكترونات والبروتونات والنترونات والميزونات  $\mu$  (مغزل كل منها يساوى  $1/2$ ). وخلافا لهذه الفيرميونات توجد جسيمات مغزلهما  $s = 0, 1, \dots$

تخضع لاحصاء بوزى - اينشتين (بوزونات) وينسب لهذا النوع الجسيمات ، الميزونات -  $p$  والميزونات -  $k$  (مغزلهما يساوى الصفر) والفوتونات (مغزلهما يساوى الواحد) إلى آخره . وبغض النظر عن تحليل الخواص الاحصائية للجسيمات سنشير إلى أنه فى احصاء بوزى - اينشتين يمكن أن يقع فى كل حالة كوانتية أى عدد من الجسيمات (دون تحديد) أما فى احصاء فيرمى - ديراك فلا يمكن أن يقع فى حالة موصوفة بأربعة أعداد كوانتية أكثر من جسيم واحد ، وقد اكتشف هذه الخاصة المميزة للفوتونات تجريبيا العالم باولى عام ١٩٢٣ حتى قبل ظهور الاحصاء الكوانتى وعرف بمبدأ باولى ، ولكى نوجد العلاقة بين تناظر الحالة والاحصاء ندرس جملة مؤلفة من جسيمين يوصف كل منهما بأحد التابعين

$$\psi_{n_1, s_1}(r_1) , \psi_{n_2, s_2}(r_2)$$

ولوصف الفيرميونات يجب أن نؤلف من هذين التابعين حلالمتناظرا\*

$$\Psi^a = \frac{1}{\sqrt{2}} (\psi_{n_1, s_1}(r_1) \psi_{n_2, s_2}(r_2) - \psi_{n_2, s_2}(r_1) \psi_{n_1, s_1}(r_2)) \quad (24.9)$$

لأن الحالة التى تكون فيها لكل من الجسيمين نفس الأعداد الكوانتية

$$n_1 = n_2, \quad s_1 = s_2 . \quad (24.10)$$

تصبح محظورة بسبب انعدام التابع الموجى

$$\Psi^a(n_1, s_1, r_1; n_1, s_1, r_2) = 0 \quad (24.11)$$

وهذا ما يتوافق تماما مع مبدأ باولى ، أما بالنسبة للبوزونات فيجب أن تأخذ

الحل المتناظر :

$$\Psi^a = \frac{1}{\sqrt{2}} (\psi_{n_1, s_1}(r_1) \psi_{n_2, s_2}(r_2) + \psi_{n_2, s_2}(r_1) \psi_{n_1, s_1}(r_2)) \quad (24.12)$$

\* يفرض أن التابعين  $\psi_{n_1, s_1}$  و  $\psi_{n_2, s_2}$  متعامدان ومعياران على الواحد ولهذا وضعنا  $\frac{1}{\sqrt{2}}$  كمعامل معيارية للتابع  $\Psi^a$ .

وهذا لا يمنع وجود الجسيمين في حالة كوانتية واحدة ، انظر ( 24.10 ) ، لأن

$$\Psi^s(n_1, s_1, r_1; n_1, s_1, r_2) \neq 0 \quad (24.13)$$

ج ) رابطة رسيل - ساوندرس والرابطة - JJ . بما أننا سنتعامل فيما يلي مع الكترنين فيجب أن نستعمل لدراستهما الحل اللاتناظري ( 24.9 ) ، ومن أهم المسائل التي تنتج عن ذلك هي مسألة جمع أربعة عزوم : اثنان مداريان  $(l_1, l_2)$  واثنان مغزليان  $(s_1, s_2)$  وليست هناك أية مشكلة فيما يخص هذه المسألة في النظرية الكلاسيكية ولكن الأمر لا يبدو كذلك في النظرية الكوانتية ( ! ) ، فطبقاً للنموذج الشعاعي يجب أن تجمع المتجهات حسب زوايا معينة بحيث يساوى المجموع الهندسي قيمة صحيحة أو نصف صحيحة بحسب ما يكون المجموع الجبري صحيحاً أو نصف صحيح ولهذا يمكن اجراء عملية الجمع بطريقتين :

من الممكن أولاً جمع كل العزوم المدارية المغزلية لوحدها ( يجب أن نحصل على أعداد صحيحة )

$$L = l_1 + l_2 \quad (24.14)$$

$$S = s_1 + s_2 \quad (24.15)$$

ثم نحسب العزم الكلي ( عدد صحيح ) :

$$J = L + S \quad (24.16)$$

نسمى مثل هذه الرابطة : الرابطة - SL أو برابطة رسيل - ساوندرس . وهي تفترض وجود قانوني مصونية مستقلين أحدهما للعزوم المدارية ، انظر ( 24.14 ) ، والثاني للعزوم المغزلية ، انظر ( 24.15 ) ، وتتحقق هذه الرابطة أكثر ما يمكن في العناصر الخفيفة . ومن الممكن استخدام مخطط آخر للجمع : نجمع أولاً العزم المداري والعزم المغزلي لكل من الألكترونين ( قيم نصف صحيحة )



$$j_1 = l_1 + s_1 \quad (24.17)$$

$$j_2 = l_2 + s_2 \quad (24.18)$$

ثم نحسب العزم الكلى للالكترونين معا ( قيم صحيحة )

$$J = j_1 + j_2 \quad (24.19)$$

وهذا ما يسمى بالرابطة -  $jj$  التي تطبق أكثر ما يمكن على العناصر الثقيلة ، ومن الواضح أن المجموعين الكليين للعزوم في الحالتين مختلفان طبقا للهندسة الكوانتية

$$L + S \neq j_1 + j_2 \quad (24.20)$$

ويتوقف تحقق أى من الرابطين السابقين على النسبة بين الطاقة الكولونية وطاقة التفاعل المدارى المغزلى للالكترونين فيما تعطى طاقة التفاعل الكولونية لالكترونين ، انظر ( 23.39 ) ، بالعلاقة التالية :

$$K = e_0^2 \int \frac{\rho_{11}(r_1) \rho_{22}(r_2) d^6x}{|r_1 - r_2|} \sim ZR\hbar \quad (24.21)$$

أما طاقة التفاعل المغزلى المدارى ، انظر ( 20.9 ) ، فتساوى :

$$E^{so} = \frac{Ze_0^2}{2m_0^2c^2} \left\langle (LS) \frac{1}{r^3} \right\rangle \sim R\hbar Z^4 \alpha^2 \quad (24.22)$$

وهي أصغر بكثير من الطاقة الكولونية عندما  $Z = 2$  ولهذا تتحقق رابطة رسيل - ساوندرس في ذرة الهليوم ، ويتضح من الصيغة الأخيرة أن التفاعل المغزلى المدارى يزداد بقوة عند ازدياد شحنة النواة  $Z$  ( $\sim Z^4$ ) ( العناصر الثقيلة ) وبالتالي يمكن أن تزيد طاقة التفاعل المغزلى المدارى عن الطاقة الكولونية ، وفي هذه الحالة تتحقق الرابطة -  $jj$  .

د) التابع الموجى لذرة الهليوم بوجود المغزل . لندرس بالتفصيل التابع الموجى لذرة الهليوم حيث يجب أن يحمل تفاعل العزوم المغزلية والمدارية ميزات رابطة رسيل - ساوندرس ، وبما أنه في هذه الحالة تجمع

العزوم المدارية المغزلية كل على حدة ، فيمكن للتابع الموجى أن يكتب بشكل جداء قسامين الأول تابع لمغزل الجسيمات والثانى تابع لاحداثياتها ، ولنعتبر أن التابع الموجى يجب أن يكون لامتناظرا بالنسبة لتبديل الأعداد الكوانتية الأربعة :

$$\begin{aligned}\Psi &= C(s_1, s_2) \psi_{n_1 n_2}(r_1, r_2) = -C(s_2, s_1) \psi_{n_2 n_1}(r_1, r_2) = \\ &= -C(s_2, s_1) \psi_{n_1 n_2}(r_2, r_1) \quad (24.23)\end{aligned}$$

وهكذا يكون تبديل الاحداثيات مكافئا لتبديل ثلاثة أعداد كوانتية فراغية فقط لا أربعة ( فراغية مغزلية ) وهذا يتحقق فى حالتين الأولى أن يكون التابع متناظرا بالنسبة للمغازل وغير متناظر بالنسبة للاحداثيات ، والثانية أن يكون التابع متناظرا بالنسبة للاحداثيات وغير متناظر بالنسبة للمغازل ، ولهذا نحصل على نموذجى الحل التاليين \* :

$$\Psi^{s^s} = C^s(s_1, s_2) \psi_{n_1 n_2}^s(r_1, r_2) \quad (24.24)$$

$$\Psi^{s^a} = C^a(s_1, s_2) \psi_{n_1 n_2}^a(r_1, r_2) \quad (24.25)$$

مع العلم أننا حصلنا على القسم الاحداثى من التابع الموجى ، انظر البند ٢٣ ، عندما  $n_1 \neq n_2$  ويكون :

$$\psi_{n_1 n_2}^{s^s}(r_1, r_2) = \frac{1}{\sqrt{2}}(u + v) \quad (24.26)$$

$$\psi_{n_1 n_2}^{s^a}(r_1, r_2) = \frac{1}{\sqrt{2}}(u - v) \quad (24.27)$$

حيث

$$\begin{aligned}u &= \psi_{n_1}(r_1) \psi_{n_2}(r_2) \\ v &= \psi_{n_1}(r_2) \psi_{n_2}(r_1)\end{aligned} \quad (24.28)$$

ولنبحث الآن عن القسم المغزلى التابع الموجى لالكترونين ، فى حالة رابطة رسيل - ساوندرس تجمع العزوم المغزلية بالاستقلال عن المدارية ، ونختار

\* يكون كل من التابعين  $\Psi^{s^s}$  و  $\Psi^{s^a}$  لا متناظرا بالنسبة لتبديل أربعة أعداد كوانتية ، وفى حالتنا هذه يعكس هذا الاختيار ميزات التناظر بالنسبة لاحداثيات الفراغية .

التوابع المغزلية لكل من الالكترونين كتوابع خاضعة لمؤثر المغزل على

. 2

$$S_z = \frac{\hbar}{2} \sigma_3 \quad (24.29)$$

ولمؤثر مربع العزم المغزلي :

$$S^2 = \frac{\hbar^2}{4} (\sigma_1^2 + \sigma_2^2 + \sigma_3^2) \quad (24.30)$$

حيث نكتب مصفوفات باولي ثنائية الأسطر  $\sigma$  بدون شرطة ، انظر (16.26) ، أى أن :

$$\sigma_1 = \begin{pmatrix} 0 & 1 \\ 1 & 0 \end{pmatrix}, \quad \sigma_2 = \begin{pmatrix} 0 & -i \\ i & 0 \end{pmatrix}, \quad \sigma_3 = \begin{pmatrix} 1 & 0 \\ 0 & -1 \end{pmatrix}$$

وهكذا يحقق التابع المغزلي لجسيم واحد  $C = \begin{pmatrix} c_1 \\ c_2 \end{pmatrix}$  المعادلتين التاليتين :

$$S_z C = \frac{\hbar}{2} \sigma_3 C = \frac{\hbar}{2} \sigma_3 \begin{pmatrix} c_1 \\ c_2 \end{pmatrix} = \hbar \lambda_1 \begin{pmatrix} c_1 \\ c_2 \end{pmatrix} \quad (24.31)$$

$$S^2 C = \frac{\hbar^2}{4} (\sigma_1^2 + \sigma_2^2 + \sigma_3^2) \begin{pmatrix} c_1 \\ c_2 \end{pmatrix} = \hbar^2 \lambda_2 \begin{pmatrix} c_1 \\ c_2 \end{pmatrix} \quad (24.32)$$

فإذا اعتبرنا أن  $\sigma_1 = 1$  ، فيمكن أن نحسب  $\lambda_2$  من المعادلة (24.32) حيث نجد  $\lambda_2 = 3/4$  ، أما المعادلة المصفوفية (24.31) لحساب  $\lambda_1$  فهي مكافئة لمجموعة معادلتين جبريتين ولذلك :

$$\begin{aligned} c_1 (1/2 - \lambda_1) &= 0 \\ c_2 (1/2 + \lambda_1) &= 0 \end{aligned} \quad (24.33)$$

إذ ينتج منهما الحلان المقابلان لامكانيتي توجيه المغزل بالنسبة لـ  $z$  وهما :

$$c_2 = 0 , \quad c_1 = 1 , \quad \lambda_1 = 1/2 \quad (1)$$

وهنا يتوجه المغزل باتجاه المحور  $z$  ويكون للتابع المغزلي المقابل للقيمة الخاصة  $1/2$  الشكل التالي :

$$C(1/2) = \begin{pmatrix} 1 \\ 0 \end{pmatrix} \quad (24.34)$$

$$c_2 = 1, \quad c_1 = 0, \quad \lambda_1 = -1/2 \quad (2)$$

وفي هذه الحالة يتوجه المغزل بعكس اتجاه المحور  $z$  ويساوى التابع الموجي المقابل :

$$C(-1/2) = \begin{pmatrix} 0 \\ 1 \end{pmatrix} \quad (24.35)$$

ويدل ما بين القوسين في الحلين (24.34) و (24.35) على قيمة مسقط المغزل على  $z$  ، وليس من الصعب التأكد أن الأقسام المغزلية من التابع الموجي تحقق شرط التعامد والتعاير ، وفي الحقيقة إذا اعتبرنا أن المرافق ، (أو بعبارة أدق المرافق الهرميني) للتابع المغزلي المصفوفة ذات السطر الواحد :

$$C^+ = (c_1^* c_2^*)$$

لذا ، فإنه ينتج من (24.34) و (24.35) أن :

$$C^+ (1/2) C(1/2) = C^+ (-1/2) C(-1/2) = 1$$

$$C^+ (1/2) C(-1/2) = 0$$

أما تأثير مصفوفة باولى على التابعين المغزليين (24.34) و (24.35) فيكون كما يلي :

$$\begin{aligned} \sigma_1 C(\pm 1/2) &= C(\mp 1/2), & \sigma_2 C(\pm 1/2) &= \pm i C(\mp 1/2) \\ \sigma_3 C(\pm 1/2) &= \pm C(\pm 1/2) \end{aligned} \quad (24.36)$$

وعند وجود الكترولين فسيعطى كل من مؤثر مسقط المغزل الكلى على  $z$  ومؤثر مربع المغزل الكلى بالعلاقتين على الترتيب :

$$S_z = S'_z + S''_z = 1/2 \hbar (\sigma'_3 + \sigma''_3) \quad (24.37)$$

$$S^2 = \hbar^2 (3/2 + 1/2 (\sigma' \sigma'')) \quad (24.38)$$

وهنا تعنى الشرطة والشرطتان الموضوعتان على مصفوفات باولى أن هذه المصفوفات يجب أن تؤثر على التوابع المغزلية الموافقة للالكترون الأول ( $C'(\pm 1/2)$ ) وللالكترون الثانى ( $C''(\pm 1/2)$ ) ، ويمكن تأليف ثلاثة تراكيب

متناظرة من التابعين المغزليين للالكترونين هي :

$$\begin{aligned} C_1^s &= C' (1/2) C'' (1/2) \\ C_2^s &= C' (-1/2) C'' (-1/2) \\ C_3^s &= \frac{1}{\sqrt{2}} [C' (1/2) C'' (-1/2) + C' (-1/2) C'' (1/2)] \end{aligned} \quad (24.39)$$

وتركيب واحد لامتناظر هو التالي :

$$C^s = \frac{1}{\sqrt{2}} [C' (1/2) C'' (-1/2) - C' (-1/2) C'' (1/2)] \quad (24.40)$$

ولإيجاد اتجاه المغزل بالنسبة للمحور  $z$  نؤثر بالموثر (24.37) على التوابع المغزلية المتناظرة، وبلاستفادة من (24.36) نجد أن :

$$S_z C_1^s = \hbar C_1^s \quad (24.41)$$

$$S_z C_2^s = -\hbar C_2^s \quad (24.42)$$

$$S_z C_3^s = 0 \quad (24.43)$$

أى أن المغزليين في الحالة  $C_1^s$  يتجهان باتجاه المحور  $z$  (11) ولكنهما يتجهان بعكس المحور  $z$  (11) في الحالة  $C_2^s$  وهما يتعامدان مع المحور  $z$  ( $\Rightarrow$ ) في الحالة  $C_3^s$ ، ولحساب القيمة المطلقة للمغزل الكلى نستفيد من العلاقة التي يمكن الحصول عليها بملاحظة (24.36) وهي :

$$S^2 C_{1,2,3}^s = \hbar^2 [3/2 + 1/2 (\sigma' \sigma'')] C_{1,2,3}^s = \hbar^2 S(S+1) C_{1,2,3}^s \quad (24.44)$$

حيث  $S = 1$ ، أى أن المغزل الكلى للحالة المتناظرة يساوى الواحد (مغزلا الالكترونين متوازيان)، ويمكن الحصول على المتساويات (24.41) - (24.44) بملاحظة (24.36) حسب المخطط التالي :

$$\begin{aligned} (\sigma'_3 + \sigma''_3) C_1^s &= C'' (1/2) \sigma'_3 C' (1/2) + C' (1/2) \sigma''_3 C'' (1/2) = 2C' (1/2) C'' (1/2) = 2C_1^s \\ (\sigma'_1 \sigma''_1) C_1^s &= \sigma'_1 C' (1/2) \sigma''_1 C'' (1/2) + \sigma'_2 C' (1/2) \sigma''_2 C'' (1/2) + \\ &+ \sigma'_3 C' (1/2) \sigma''_3 C'' (1/2) = C' (-1/2) C'' (-1/2) - C' (-1/2) C'' (-1/2) + \\ &+ C' (1/2) C'' (1/2) = C_1^s \end{aligned} \quad (24.45)$$

ويمكن البرهان عند تأثير المؤثرات المغزلية على التركيب المغزلي اللامتناظر (24.40) بطريقة مشابهة ، أى أن :

$$S^2 C^s = \hbar^2 (3/2 + 1/2 (\sigma' \sigma'')) C^s = 0 \quad (24.46)$$

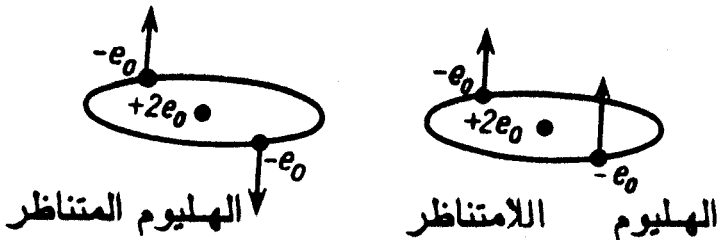
$$S_z C^s = 0 \quad (24.47)$$

أى أن الوضع المغزلي اللامتناظر عندما يتعكس اتجاه مغزلي الإلكترونين يوصف بالحالة  $C^s$  ويوجد حل وحيد متناظر عندما يقع كلا من الإلكترونين فى نفس الحالة الكوانتية ( $n_1 = n_2$ ) ، انظر الملاحظة المتعلقة بالصيغة (24.24) ، وهذا الحل هو التالى :

$$\Psi^s = C^s (s_1, s_2) \psi^s \quad (24.48)$$

$$\psi^s = u = \psi_{n_1}(r_1) \psi_{n_1}(r_2) \quad (24.49)$$

٥) الهليوم المتناظر والهليوم اللامتناظر . لقد حصلنا على التتابع الموجية التى تميز مجموعتين من الحالات فى الأولى ( الهليوم المتناظر ) يكون التابع الموجى متناظرا بالنسبة لتبديل الاحداثيات ، انظر (24.24) ، والمغزل الكلى يساوى الصفر ، وفى الثانية ( الهليوم اللامتناظر ) يكون التابع الموجى لامتناظرا بالنسبة لتبديل الاحداثيات ، انظر (24.1) ، أما المغزل الكلى فيساوى الواحد ( الشكل ٢٤ - ١ ) ، ونلاحظ انغلاق كل من



الشكل ٢٤ - ١ . توجه مغازل الإلكترونات فى ذرة الهليوم .

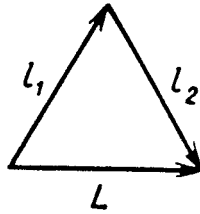
النوعين السابقين بمعنى أن أى منهما لا يتحول إلى الآخر ، ويمكن التأكد من ذلك بالحساب المباشر : إذ لو حسبنا عنصر المصفوفة الموافق لانتقال ثنائى الأقطاب من الهليوم المتناظر إلى الهليوم اللامتناظر فى ذرة الهليوم ( يتناسب عزم ثنائى الأقطاب للجملة مع  $r_1 + r_2$  ) لوجدنا أن :

$$\begin{aligned} \langle r_{c.a} \rangle &= \int \psi^{*s}(r_1, r_2)(r_1 + r_2) \psi^a(r_1, r_2) d^6x = \\ &= \int \psi^{*s}(r_2, r_1)(r_2 + r_1) \psi^a(r_2, r_1) d^6x = \\ &= - \int \psi^{*s}(r_1, r_2)(r_1 + r_2) \psi^a(r_1, r_2) d^6x \quad (24.50) \end{aligned}$$

وهو يساوى الصفر لأن\*

$$\langle r_{s.a} \rangle = - \langle r_{s.a} \rangle = 0 \quad (24.51)$$

و ( الطيف الطاقوى لذرة الهليوم . ان العزم المدارى العام  $L$  ) الذى حصلنا عليه نتيجة لجمع العزمين المدارين للالكترونين  $l_1$  و  $l_2$  رابطة رسيل - ساوندرس ) يجب أن يأخذ قيما صحيحة ، وفى الحالة الخاصة عندما  $l_1 = l_2 = 1$  ( يقع كلا الالكترونين فى الحالة  $p$  ) ويمكن للعزم المدارى الكلى أن يساوى  $L = 2, 1, 0$  . وهذا ما يوافق جمع العزوم حسب النموذج التالى :



\* لقد أجرينا تميرا فى متحولات التكامل فى ( 24.50 ) واستفدنا من خاصية تناظر التوابع الموجية .

$$L = 2 \text{ يكون العزمان متوازيين } l_1 \uparrow l_2, l_1 + l_2 = 2, L = l_1 + l_2$$

$$L = 1 \text{ يتوضع العزمان بحيث تكون الزاوية بينهما } 60^\circ$$

$$L = l_1 + l_2 - 1 = 1$$

$$L = 0 \text{ العزمان متعاكسان } l_1 \uparrow l_2, l_1 - l_2 = 0$$

وفي الحالة العامة عندما  $l_1 \geq l_2$  يأخذ  $L$  جميع القيم الممكنة التالية :

$$L = l_1 + l_2, l_1 + l_2 - 1, l_1 + l_2 - 2, \dots, l_1 - l_2 \quad (24.52)$$

وخلافا للذرات الشبيهة بالهيدروجين يرمز لحدود الذرات المركبة ذات العزم المدارى المعين بحروف لاتينية كبيرة :

$$L = 0 \quad \text{الحالة } S$$

$$L = 1 \quad \text{الحالة } P$$

$$L = 2 \quad \text{الحالة } D$$

$$L = 3 \quad \text{الحالة } F$$

أما كثرة هذه الحدود فتتبعين طبقا للنموذج الشعاعى بعدد القيم التى يمكن أن يأخذها العزم الكلى لكمية الحركة من أجل القيمة  $L$  المعطاة :

$$J = L + S, L + S - 1, \dots, |L - S| \quad (24.53)$$

ومنه نجد أن عدد هذه القيم عندما  $L \geq S$

$$v = 2S + 1 \quad (24.54)$$

وعندما  $L < S$  يكون

$$v = 2L + 1 \quad (24.55)$$

ولهذا يجب أن تكون جميع سويات الهليوم المتناظر  $S = 0$  أحادية  $J = L$  ،  $v = 1$  ويجب أن نحدث ظاهرة زيمان العادية فى أى حقل مغناطيسى ، أما بالنسبة للهليوم اللامتناظر  $S = 1$  فيجب أن تكون السويات ، كقاعدة عامة ، ثلاثية  $(J = L + 1, L - 1, J = 3)$  ما عدا الحالة  $L = 0$  ، انظر



(24.55) ، التي تكون السويات فيها أحادية\* ، بغض النظر عن هذا الاستثناء . ولنرمز لكل من سويات الهليوم اللامتناظر بالدليل  $\nu = 3$  ، ويجب أن نلاحظ ظاهرة زيمان الشاذة عندما تطبق حقل مغناطيسى ضعيف على هذا النوع من الهليوم . ولنحسب الآن أخفض سوية ممكنة لذرة الهليوم عندما  $n_1 = 1$  و  $n_2 = 1, 2$  ، ويمكن كتابة الحدود فى حالة الهليوم المتناظر بالشكل التالى :

$$(1s, 1s)^1S_0$$

$$(1s, 2s)^1S_0$$

$$(1s, 2p)^1P_1$$

وتدل الرموز بين القوسين على حالات الالكترونات التى تؤلف ذرة الهليوم كل على حده ، كما ويرمز بحرف كبير إلى العزم المدارى ويرمز الدليل فى الأعلى إلى نوع التعدد (  $\nu = 1$  هليوم متناظر ،  $\nu = 3$  هليوم لامتناظر ) وأخيرا يرمز الدليل فى الأسفل إلى قيمة العزم الكلى ، وبنفس الطريقة نحسب أخفض سويات الهليوم اللامتناظر فنجد الحدود التالية :

$$(1s, 2s)^3S_1$$

$$(1s, 2p)^3P_2$$

$$(1s, 2p)^3P_1$$

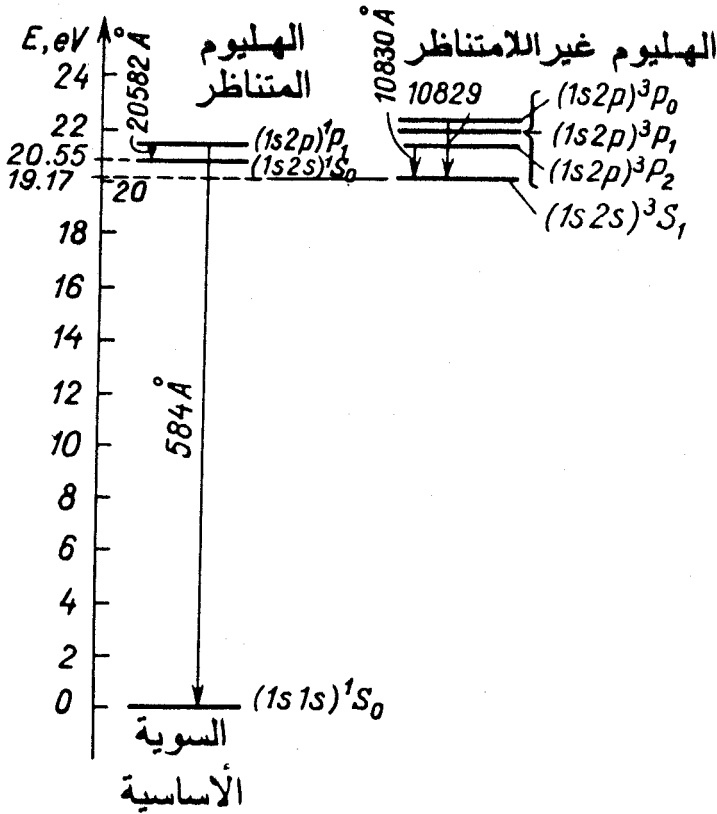
$$(1s, 2p)^3P_0$$

ومن الواضح أن الحالة  $n_1 = n_2 = 1$  فى الهليوم اللامتناظر محظورة

---

\* ويحدث نفس الشيء بالنسبة لذرة الهيدروجين ، فالحالتان  $l = 1$  ( الحد -  $p$  ) و  $l = 2$  ( الحد -  $d$  ) هما ثنائيتان ، إلى أخره أما الحالة  $l = 0$  ( الحد -  $s$  ) فتبقى أحادية .

بسبب مبدأ باولي ولهذا تكون أخفض سوية للهليوم اللامتناظر هي السوية  $S_1 (1s, 2s)^3$  التي تبدو شبه مستقرة ، لأن الانتقال منها إلى السوية الأخفض  $(1s, 1s)$  للهليوم المتناظر محظور بسبب قواعد الانتقاء ، ويبين



الشكل ٢٤ - ٢. مخطط سويات الطاقة في ذرة الهليوم . الانشطار للسويات -  $^3P$  معطى بمقياس الرسم ، طول الموجة مقدر بالانجستروم ( $\text{Å}$ ) ، حيث  $1 \text{ Å} = 10^{-8} \text{ cm}$  .

الشكل ٢٤ - ٢. المخطط العام للسويات الطاقوية لذرة الهليوم بنوعها المتناظر والامتناظر ، وسنرى بالنسبة لعناصر المجموعة الثالثة ( $S = 1/2$  أو  $3/2$ ) ثنائيات ورباعيات . . . وهكذا نرى أن العدد الكوانتي الكلي لالكترونات التكافؤ يحدّد تماما بالميزات العامة لانشطار الخطوط الطيفية .

## البند ٢٥ - بنية الذرات المعقدة

( أ ) معلومات عامة . تتألف الذرة ، طبقاً للمفاهيم المعاصرة ، من نواة تدور حولها الكترونات فيما يتعين العدد الذرى بعدد البروتونات  $Z$  ، أما العدد الكلى للبروتونات والنترونات ( أى النوكلونات ) فيعين العدد الكلى  $A$  ( نموذج ايفانكو - هايزنبرغ ١٩٣٢ ) . وبما أن عدد الالكترونات يجب أن يساوى عدد البروتونات فى الذرة المعتدلة ( نذكر بأن شحنتى الالكترون والبروتون متساويتان بالقيمة المطلقة ولكنهما مختلفتان بالاشارة ) فإن العدد الذرى  $Z$  يجب أن يحدد الخواص الأساسية للذرة ، أما الذرات التى لها نفس القيمة  $Z$  ولكنها تختلف بقيمة  $A$  فتؤلف نظائر ( فمثلاً لنظير  ${}_{92}^{238}\text{U}$  و  ${}_{92}^{235}\text{U}$  نفس عدد البروتونات والالكترونات (  $Z = 92$  ) ولكنهما يختلفان بعدد النترونات (  $143; 146 = A - Z$  ) . وستتحدث الآن باختصار عن كتلة الذرة ووحدة قياسها . يعبر فى الفيزياء الذرية عن كتل الجسيمات بوحدات طاقتها الخاصة التى تقدر بالميجا الكترون فولط ( MeV ) ، وبالحساب البسيط نجد أن :  $1 \text{ MeV} = 1,8 \cdot 10^{-27} \text{g}$  وأن كتلة كل من الالكترون  $m_0$  والبروتون  $M_p$  والنترون  $M_n$  تقاس بوحدات طااقوية تساوى على الترتيب :

$$m_0 = 0,51 \text{ MeV}$$

$$M_p = 938,3 \text{ MeV}$$

$$M_n = 939,5 \text{ MeV}$$

وتبرهن المعطيات التجريبية أن كتلة الذرة أقل دوماً من مجموع كتل الالكترونات والبروتونات والنترونات الحرة ( يمكن اهمال كتلة الالكترونات فى التقريب الأول ) ، ويعود سبب هذا النقصان إلى التفاعل النووى بين النوكلونات ، فالطاقة التى تجعل النوكلونات متماسكة فى النواة هى طاقة سالبة ولهذا يجب أن تعطى كتلة النواة بالعلاقة :

$$M = M_p Z + M_n (A - Z) - \frac{|E|}{c^2}$$

حيث يتناسب نقصان الكتلة  $\Delta M = \frac{|E|}{c^2}$  ، طبقا للمعطيات التجريبية مع العدد الكلى  $A$  ، وهكذا تتراوح النسبة  $\frac{\Delta M}{A} = \Delta M_0$  (النقصان النوعى للكتلة) لغالبية العناصر بين 7 MeV و 8,5 MeV ، ويستثنى من ذلك أخف النوى (نوى  ${}^1_1\text{H}$  و  ${}^2_1\text{H}$  و  ${}^3_1\text{H}$  و  ${}^4_2\text{He}$  و  ${}^6_3\text{Li}$  و  ${}^7_3\text{Li}$  و  ${}^9_4\text{Be}$  و  ${}^{10}_5\text{B}$  و  ${}^{12}_6\text{C}$  و  ${}^{16}_8\text{O}$  و  ${}^{18}_8\text{O}$  و  ${}^{20}_{10}\text{Ne}$  و  ${}^{24}_{12}\text{Mg}$  و  ${}^{28}_{14}\text{Si}$  و  ${}^{32}_{16}\text{S}$  و  ${}^{36}_{18}\text{Ar}$  و  ${}^{40}_{20}\text{Ca}$  و  ${}^{44}_{22}\text{Ti}$  و  ${}^{48}_{24}\text{Cr}$  و  ${}^{52}_{26}\text{Fe}$  و  ${}^{56}_{28}\text{Ni}$  و  ${}^{60}_{30}\text{Zn}$  و  ${}^{64}_{32}\text{Ge}$  و  ${}^{68}_{34}\text{Se}$  و  ${}^{72}_{36}\text{Kr}$  و  ${}^{76}_{38}\text{Sr}$  و  ${}^{80}_{40}\text{Zr}$  و  ${}^{84}_{42}\text{Mo}$  و  ${}^{88}_{44}\text{Ru}$  و  ${}^{92}_{46}\text{Pd}$  و  ${}^{96}_{48}\text{Cd}$  و  ${}^{100}_{50}\text{Sn}$  و  ${}^{104}_{52}\text{Te}$  و  ${}^{108}_{54}\text{Xe}$  و  ${}^{112}_{56}\text{Ba}$  و  ${}^{116}_{58}\text{La}$  و  ${}^{120}_{60}\text{Nd}$  و  ${}^{124}_{62}\text{Sm}$  و  ${}^{128}_{64}\text{Gd}$  و  ${}^{132}_{66}\text{Dy}$  و  ${}^{136}_{68}\text{Er}$  و  ${}^{140}_{70}\text{Yb}$  و  ${}^{144}_{72}\text{Hf}$  و  ${}^{148}_{74}\text{W}$  و  ${}^{152}_{76}\text{Os}$  و  ${}^{156}_{78}\text{Pt}$  و  ${}^{160}_{80}\text{Hg}$  و  ${}^{164}_{82}\text{Pb}$  و  ${}^{168}_{84}\text{Po}$  و  ${}^{172}_{86}\text{Rn}$  و  ${}^{176}_{88}\text{Ra}$  و  ${}^{180}_{90}\text{Th}$  و  ${}^{184}_{92}\text{U}$  و  ${}^{188}_{94}\text{Pu}$  و  ${}^{192}_{96}\text{Cm}$  و  ${}^{196}_{98}\text{Cf}$  و  ${}^{200}_{100}\text{Fm}$  و  ${}^{204}_{102}\text{No}$  و  ${}^{208}_{104}\text{Og}$  و  ${}^{212}_{106}\text{Lv}$  و  ${}^{216}_{108}\text{Og}$  و  ${}^{220}_{110}\text{Uu}$  و  ${}^{224}_{112}\text{Uub}$  و  ${}^{228}_{114}\text{Uuq}$  و  ${}^{232}_{116}\text{Uub}$  و  ${}^{236}_{118}\text{Uut}$  و  ${}^{240}_{120}\text{Uuq}$  و  ${}^{244}_{122}\text{Uub}$  و  ${}^{248}_{124}\text{Uut}$  و  ${}^{252}_{126}\text{Uuq}$  و  ${}^{256}_{128}\text{Uub}$  و  ${}^{260}_{130}\text{Uut}$  و  ${}^{264}_{132}\text{Uuq}$  و  ${}^{268}_{134}\text{Uub}$  و  ${}^{272}_{136}\text{Uut}$  و  ${}^{276}_{138}\text{Uuq}$  و  ${}^{280}_{140}\text{Uub}$  و  ${}^{284}_{142}\text{Uut}$  و  ${}^{288}_{144}\text{Uuq}$  و  ${}^{292}_{146}\text{Uub}$  و  ${}^{296}_{148}\text{Uut}$  و  ${}^{300}_{150}\text{Uuq}$  و  ${}^{304}_{152}\text{Uub}$  و  ${}^{308}_{154}\text{Uut}$  و  ${}^{312}_{156}\text{Uuq}$  و  ${}^{316}_{158}\text{Uub}$  و  ${}^{320}_{160}\text{Uut}$  و  ${}^{324}_{162}\text{Uuq}$  و  ${}^{328}_{164}\text{Uub}$  و  ${}^{332}_{166}\text{Uut}$  و  ${}^{336}_{168}\text{Uuq}$  و  ${}^{340}_{170}\text{Uub}$  و  ${}^{344}_{172}\text{Uut}$  و  ${}^{348}_{174}\text{Uuq}$  و  ${}^{352}_{176}\text{Uub}$  و  ${}^{356}_{178}\text{Uut}$  و  ${}^{360}_{180}\text{Uuq}$  و  ${}^{364}_{182}\text{Uub}$  و  ${}^{368}_{184}\text{Uut}$  و  ${}^{372}_{186}\text{Uuq}$  و  ${}^{376}_{188}\text{Uub}$  و  ${}^{380}_{190}\text{Uut}$  و  ${}^{384}_{192}\text{Uuq}$  و  ${}^{388}_{194}\text{Uub}$  و  ${}^{392}_{196}\text{Uut}$  و  ${}^{396}_{198}\text{Uuq}$  و  ${}^{400}_{200}\text{Uub}$  و  ${}^{404}_{202}\text{Uut}$  و  ${}^{408}_{204}\text{Uuq}$  و  ${}^{412}_{206}\text{Uub}$  و  ${}^{416}_{208}\text{Uut}$  و  ${}^{420}_{210}\text{Uuq}$  و  ${}^{424}_{212}\text{Uub}$  و  ${}^{428}_{214}\text{Uut}$  و  ${}^{432}_{216}\text{Uuq}$  و  ${}^{436}_{218}\text{Uub}$  و  ${}^{440}_{220}\text{Uut}$  و  ${}^{444}_{222}\text{Uuq}$  و  ${}^{448}_{224}\text{Uub}$  و  ${}^{452}_{226}\text{Uut}$  و  ${}^{456}_{228}\text{Uuq}$  و  ${}^{460}_{230}\text{Uub}$  و  ${}^{464}_{232}\text{Uut}$  و  ${}^{468}_{234}\text{Uuq}$  و  ${}^{472}_{236}\text{Uub}$  و  ${}^{476}_{238}\text{Uut}$  و  ${}^{480}_{240}\text{Uuq}$  و  ${}^{484}_{242}\text{Uub}$  و  ${}^{488}_{244}\text{Uut}$  و  ${}^{492}_{246}\text{Uuq}$  و  ${}^{496}_{248}\text{Uub}$  و  ${}^{500}_{250}\text{Uut}$  و  ${}^{504}_{252}\text{Uuq}$  و  ${}^{508}_{254}\text{Uub}$  و  ${}^{512}_{256}\text{Uut}$  و  ${}^{516}_{258}\text{Uuq}$  و  ${}^{520}_{260}\text{Uub}$  و  ${}^{524}_{262}\text{Uut}$  و  ${}^{528}_{264}\text{Uuq}$  و  ${}^{532}_{266}\text{Uub}$  و  ${}^{536}_{268}\text{Uut}$  و  ${}^{540}_{270}\text{Uuq}$  و  ${}^{544}_{272}\text{Uub}$  و  ${}^{548}_{274}\text{Uut}$  و  ${}^{552}_{276}\text{Uuq}$  و  ${}^{556}_{278}\text{Uub}$  و  ${}^{560}_{280}\text{Uut}$  و  ${}^{564}_{282}\text{Uuq}$  و  ${}^{568}_{284}\text{Uub}$  و  ${}^{572}_{286}\text{Uut}$  و  ${}^{576}_{288}\text{Uuq}$  و  ${}^{580}_{290}\text{Uub}$  و  ${}^{584}_{292}\text{Uut}$  و  ${}^{588}_{294}\text{Uuq}$  و  ${}^{592}_{296}\text{Uub}$  و  ${}^{596}_{298}\text{Uut}$  و  ${}^{600}_{300}\text{Uuq}$  و  ${}^{604}_{302}\text{Uub}$  و  ${}^{608}_{304}\text{Uut}$  و  ${}^{612}_{306}\text{Uuq}$  و  ${}^{616}_{308}\text{Uub}$  و  ${}^{620}_{310}\text{Uut}$  و  ${}^{624}_{312}\text{Uuq}$  و  ${}^{628}_{314}\text{Uub}$  و  ${}^{632}_{316}\text{Uut}$  و  ${}^{636}_{318}\text{Uuq}$  و  ${}^{640}_{320}\text{Uub}$  و  ${}^{644}_{322}\text{Uut}$  و  ${}^{648}_{324}\text{Uuq}$  و  ${}^{652}_{326}\text{Uub}$  و  ${}^{656}_{328}\text{Uut}$  و  ${}^{660}_{330}\text{Uuq}$  و  ${}^{664}_{332}\text{Uub}$  و  ${}^{668}_{334}\text{Uut}$  و  ${}^{672}_{336}\text{Uuq}$  و  ${}^{676}_{338}\text{Uub}$  و  ${}^{680}_{340}\text{Uut}$  و  ${}^{684}_{342}\text{Uuq}$  و  ${}^{688}_{344}\text{Uub}$  و  ${}^{692}_{346}\text{Uut}$  و  ${}^{696}_{348}\text{Uuq}$  و  ${}^{700}_{350}\text{Uub}$  و  ${}^{704}_{352}\text{Uut}$  و  ${}^{708}_{354}\text{Uuq}$  و  ${}^{712}_{356}\text{Uub}$  و  ${}^{716}_{358}\text{Uut}$  و  ${}^{720}_{360}\text{Uuq}$  و  ${}^{724}_{362}\text{Uub}$  و  ${}^{728}_{364}\text{Uut}$  و  ${}^{732}_{366}\text{Uuq}$  و  ${}^{736}_{368}\text{Uub}$  و  ${}^{740}_{370}\text{Uut}$  و  ${}^{744}_{372}\text{Uuq}$  و  ${}^{748}_{374}\text{Uub}$  و  ${}^{752}_{376}\text{Uut}$  و  ${}^{756}_{378}\text{Uuq}$  و  ${}^{760}_{380}\text{Uub}$  و  ${}^{764}_{382}\text{Uut}$  و  ${}^{768}_{384}\text{Uuq}$  و  ${}^{772}_{386}\text{Uub}$  و  ${}^{776}_{388}\text{Uut}$  و  ${}^{780}_{390}\text{Uuq}$  و  ${}^{784}_{392}\text{Uub}$  و  ${}^{788}_{394}\text{Uut}$  و  ${}^{792}_{396}\text{Uuq}$  و  ${}^{796}_{398}\text{Uub}$  و  ${}^{800}_{400}\text{Uut}$  و  ${}^{804}_{402}\text{Uuq}$  و  ${}^{808}_{404}\text{Uub}$  و  ${}^{812}_{406}\text{Uut}$  و  ${}^{816}_{408}\text{Uuq}$  و  ${}^{820}_{410}\text{Uub}$  و  ${}^{824}_{412}\text{Uut}$  و  ${}^{828}_{414}\text{Uuq}$  و  ${}^{832}_{416}\text{Uub}$  و  ${}^{836}_{418}\text{Uut}$  و  ${}^{840}_{420}\text{Uuq}$  و  ${}^{844}_{422}\text{Uub}$  و  ${}^{848}_{424}\text{Uut}$  و  ${}^{852}_{426}\text{Uuq}$  و  ${}^{856}_{428}\text{Uub}$  و  ${}^{860}_{430}\text{Uut}$  و  ${}^{864}_{432}\text{Uuq}$  و  ${}^{868}_{434}\text{Uub}$  و  ${}^{872}_{436}\text{Uut}$  و  ${}^{876}_{438}\text{Uuq}$  و  ${}^{880}_{440}\text{Uub}$  و  ${}^{884}_{442}\text{Uut}$  و  ${}^{888}_{444}\text{Uuq}$  و  ${}^{892}_{446}\text{Uub}$  و  ${}^{896}_{448}\text{Uut}$  و  ${}^{900}_{450}\text{Uuq}$  و  ${}^{904}_{452}\text{Uub}$  و  ${}^{908}_{454}\text{Uut}$  و  ${}^{912}_{456}\text{Uuq}$  و  ${}^{916}_{458}\text{Uub}$  و  ${}^{920}_{460}\text{Uut}$  و  ${}^{924}_{462}\text{Uuq}$  و  ${}^{928}_{464}\text{Uub}$  و  ${}^{932}_{466}\text{Uut}$  و  ${}^{936}_{468}\text{Uuq}$  و  ${}^{940}_{470}\text{Uub}$  و  ${}^{944}_{472}\text{Uut}$  و  ${}^{948}_{474}\text{Uuq}$  و  ${}^{952}_{476}\text{Uub}$  و  ${}^{956}_{478}\text{Uut}$  و  ${}^{960}_{480}\text{Uuq}$  و  ${}^{964}_{482}\text{Uub}$  و  ${}^{968}_{484}\text{Uut}$  و  ${}^{972}_{486}\text{Uuq}$  و  ${}^{976}_{488}\text{Uub}$  و  ${}^{980}_{490}\text{Uut}$  و  ${}^{984}_{492}\text{Uuq}$  و  ${}^{988}_{494}\text{Uub}$  و  ${}^{992}_{496}\text{Uut}$  و  ${}^{996}_{498}\text{Uuq}$  و  ${}^{1000}_{500}\text{Uub}$  و  ${}^{1004}_{502}\text{Uut}$  و  ${}^{1008}_{504}\text{Uuq}$  و  ${}^{1012}_{506}\text{Uub}$  و  ${}^{1016}_{508}\text{Uut}$  و  ${}^{1020}_{510}\text{Uuq}$  و  ${}^{1024}_{512}\text{Uub}$  و  ${}^{1028}_{514}\text{Uut}$  و  ${}^{1032}_{516}\text{Uuq}$  و  ${}^{1036}_{518}\text{Uub}$  و  ${}^{1040}_{520}\text{Uut}$  و  ${}^{1044}_{522}\text{Uuq}$  و  ${}^{1048}_{524}\text{Uub}$  و  ${}^{1052}_{526}\text{Uut}$  و  ${}^{1056}_{528}\text{Uuq}$  و  ${}^{1060}_{530}\text{Uub}$  و  ${}^{1064}_{532}\text{Uut}$  و  ${}^{1068}_{534}\text{Uuq}$  و  ${}^{1072}_{536}\text{Uub}$  و  ${}^{1076}_{538}\text{Uut}$  و  ${}^{1080}_{540}\text{Uuq}$  و  ${}^{1084}_{542}\text{Uub}$  و  ${}^{1088}_{544}\text{Uut}$  و  ${}^{1092}_{546}\text{Uuq}$  و  ${}^{1096}_{548}\text{Uub}$  و  ${}^{1100}_{550}\text{Uut}$  و  ${}^{1104}_{552}\text{Uuq}$  و  ${}^{1108}_{554}\text{Uub}$  و  ${}^{1112}_{556}\text{Uut}$  و  ${}^{1116}_{558}\text{Uuq}$  و  ${}^{1120}_{560}\text{Uub}$  و  ${}^{1124}_{562}\text{Uut}$  و  ${}^{1128}_{564}\text{Uuq}$  و  ${}^{1132}_{566}\text{Uub}$  و  ${}^{1136}_{568}\text{Uut}$  و  ${}^{1140}_{570}\text{Uuq}$  و  ${}^{1144}_{572}\text{Uub}$  و  ${}^{1148}_{574}\text{Uut}$  و  ${}^{1152}_{576}\text{Uuq}$  و  ${}^{1156}_{578}\text{Uub}$  و  ${}^{1160}_{580}\text{Uut}$  و  ${}^{1164}_{582}\text{Uuq}$  و  ${}^{1168}_{584}\text{Uub}$  و  ${}^{1172}_{586}\text{Uut}$  و  ${}^{1176}_{588}\text{Uuq}$  و  ${}^{1180}_{590}\text{Uub}$  و  ${}^{1184}_{592}\text{Uut}$  و  ${}^{1188}_{594}\text{Uuq}$  و  ${}^{1192}_{596}\text{Uub}$  و  ${}^{1196}_{598}\text{Uut}$  و  ${}^{1200}_{600}\text{Uuq}$  و  ${}^{1204}_{602}\text{Uub}$  و  ${}^{1208}_{604}\text{Uut}$  و  ${}^{1212}_{606}\text{Uuq}$  و  ${}^{1216}_{608}\text{Uub}$  و  ${}^{1220}_{610}\text{Uut}$  و  ${}^{1224}_{612}\text{Uuq}$  و  ${}^{1228}_{614}\text{Uub}$  و  ${}^{1232}_{616}\text{Uut}$  و  ${}^{1236}_{618}\text{Uuq}$  و  ${}^{1240}_{620}\text{Uub}$  و  ${}^{1244}_{622}\text{Uut}$  و  ${}^{1248}_{624}\text{Uuq}$  و  ${}^{1252}_{626}\text{Uub}$  و  ${}^{1256}_{628}\text{Uut}$  و  ${}^{1260}_{630}\text{Uuq}$  و  ${}^{1264}_{632}\text{Uub}$  و  ${}^{1268}_{634}\text{Uut}$  و  ${}^{1272}_{636}\text{Uuq}$  و  ${}^{1276}_{638}\text{Uub}$  و  ${}^{1280}_{640}\text{Uut}$  و  ${}^{1284}_{642}\text{Uuq}$  و  ${}^{1288}_{644}\text{Uub}$  و  ${}^{1292}_{646}\text{Uut}$  و  ${}^{1296}_{648}\text{Uuq}$  و  ${}^{1300}_{650}\text{Uub}$  و  ${}^{1304}_{652}\text{Uut}$  و  ${}^{1308}_{654}\text{Uuq}$  و  ${}^{1312}_{656}\text{Uub}$  و  ${}^{1316}_{658}\text{Uut}$  و  ${}^{1320}_{660}\text{Uuq}$  و  ${}^{1324}_{662}\text{Uub}$  و  ${}^{1328}_{664}\text{Uut}$  و  ${}^{1332}_{666}\text{Uuq}$  و  ${}^{1336}_{668}\text{Uub}$  و  ${}^{1340}_{670}\text{Uut}$  و  ${}^{1344}_{672}\text{Uuq}$  و  ${}^{1348}_{674}\text{Uub}$  و  ${}^{1352}_{676}\text{Uut}$  و  ${}^{1356}_{678}\text{Uuq}$  و  ${}^{1360}_{680}\text{Uub}$  و  ${}^{1364}_{682}\text{Uut}$  و  ${}^{1368}_{684}\text{Uuq}$  و  ${}^{1372}_{686}\text{Uub}$  و  ${}^{1376}_{688}\text{Uut}$  و  ${}^{1380}_{690}\text{Uuq}$  و  ${}^{1384}_{692}\text{Uub}$  و  ${}^{1388}_{694}\text{Uut}$  و  ${}^{1392}_{696}\text{Uuq}$  و  ${}^{1396}_{698}\text{Uub}$  و  ${}^{1400}_{700}\text{Uut}$  و  ${}^{1404}_{702}\text{Uuq}$  و  ${}^{1408}_{704}\text{Uub}$  و  ${}^{1412}_{706}\text{Uut}$  و  ${}^{1416}_{708}\text{Uuq}$  و  ${}^{1420}_{710}\text{Uub}$  و  ${}^{1424}_{712}\text{Uut}$  و  ${}^{1428}_{714}\text{Uuq}$  و  ${}^{1432}_{716}\text{Uub}$  و  ${}^{1436}_{718}\text{Uut}$  و  ${}^{1440}_{720}\text{Uuq}$  و  ${}^{1444}_{722}\text{Uub}$  و  ${}^{1448}_{724}\text{Uut}$  و  ${}^{1452}_{726}\text{Uuq}$  و  ${}^{1456}_{728}\text{Uub}$  و  ${}^{1460}_{730}\text{Uut}$  و  ${}^{1464}_{732}\text{Uuq}$  و  ${}^{1468}_{734}\text{Uub}$  و  ${}^{1472}_{736}\text{Uut}$  و  ${}^{1476}_{738}\text{Uuq}$  و  ${}^{1480}_{740}\text{Uub}$  و  ${}^{1484}_{742}\text{Uut}$  و  ${}^{1488}_{744}\text{Uuq}$  و  ${}^{1492}_{746}\text{Uub}$  و  ${}^{1496}_{748}\text{Uut}$  و  ${}^{1500}_{750}\text{Uuq}$  و  ${}^{1504}_{752}\text{Uub}$  و  ${}^{1508}_{754}\text{Uut}$  و  ${}^{1512}_{756}\text{Uuq}$  و  ${}^{1516}_{758}\text{Uub}$  و  ${}^{1520}_{760}\text{Uut}$  و  ${}^{1524}_{762}\text{Uuq}$  و  ${}^{1528}_{764}\text{Uub}$  و  ${}^{1532}_{766}\text{Uut}$  و  ${}^{1536}_{768}\text{Uuq}$  و  ${}^{1540}_{770}\text{Uub}$  و  ${}^{1544}_{772}\text{Uut}$  و  ${}^{1548}_{774}\text{Uuq}$  و  ${}^{1552}_{776}\text{Uub}$  و  ${}^{1556}_{778}\text{Uut}$  و  ${}^{1560}_{780}\text{Uuq}$  و  ${}^{1564}_{782}\text{Uub}$  و  ${}^{1568}_{784}\text{Uut}$  و  ${}^{1572}_{786}\text{Uuq}$  و  ${}^{1576}_{788}\text{Uub}$  و  ${}^{1580}_{790}\text{Uut}$  و  ${}^{1584}_{792}\text{Uuq}$  و  ${}^{1588}_{794}\text{Uub}$  و  ${}^{1592}_{796}\text{Uut}$  و  ${}^{1596}_{798}\text{Uuq}$  و  ${}^{1600}_{800}\text{Uub}$  و  ${}^{1604}_{802}\text{Uut}$  و  ${}^{1608}_{804}\text{Uuq}$  و  ${}^{1612}_{806}\text{Uub}$  و  ${}^{1616}_{808}\text{Uut}$  و  ${}^{1620}_{810}\text{Uuq}$  و  ${}^{1624}_{812}\text{Uub}$  و  ${}^{1628}_{814}\text{Uut}$  و  ${}^{1632}_{816}\text{Uuq}$  و  ${}^{1636}_{818}\text{Uub}$  و  ${}^{1640}_{820}\text{Uut}$  و  ${}^{1644}_{822}\text{Uuq}$  و  ${}^{1648}_{824}\text{Uub}$  و  ${}^{1652}_{826}\text{Uut}$  و  ${}^{1656}_{828}\text{Uuq}$  و  ${}^{1660}_{830}\text{Uub}$  و  ${}^{1664}_{832}\text{Uut}$  و  ${}^{1668}_{834}\text{Uuq}$  و  ${}^{1672}_{836}\text{Uub}$  و  ${}^{1676}_{838}\text{Uut}$  و  ${}^{1680}_{840}\text{Uuq}$  و  ${}^{1684}_{842}\text{Uub}$  و  ${}^{1688}_{844}\text{Uut}$  و  ${}^{1692}_{846}\text{Uuq}$  و  ${}^{1696}_{848}\text{Uub}$  و  ${}^{1700}_{850}\text{Uut}$  و  ${}^{1704}_{852}\text{Uuq}$  و  ${}^{1708}_{854}\text{Uub}$  و  ${}^{1712}_{856}\text{Uut}$  و  ${}^{1716}_{858}\text{Uuq}$  و  ${}^{1720}_{860}\text{Uub}$  و  ${}^{1724}_{862}\text{Uut}$  و  ${}^{1728}_{864}\text{Uuq}$  و  ${}^{1732}_{866}\text{Uub}$  و  ${}^{1736}_{868}\text{Uut}$  و  ${}^{1740}_{870}\text{Uuq}$  و  ${}^{1744}_{872}\text{Uub}$  و  ${}^{1748}_{874}\text{Uut}$  و  ${}^{1752}_{876}\text{Uuq}$  و  ${}^{1756}_{878}\text{Uub}$  و  ${}^{1760}_{880}\text{Uut}$  و  ${}^{1764}_{882}\text{Uuq}$  و  ${}^{1768}_{884}\text{Uub}$  و  ${}^{1772}_{886}\text{Uut}$  و  ${}^{1776}_{888}\text{Uuq}$  و  ${}^{1780}_{890}\text{Uub}$  و  ${}^{1784}_{892}\text{Uut}$  و  ${}^{1788}_{894}\text{Uuq}$  و  ${}^{1792}_{896}\text{Uub}$  و  ${}^{1796}_{898}\text{Uut}$  و  ${}^{1800}_{900}\text{Uuq}$  و  ${}^{1804}_{902}\text{Uub}$  و  ${}^{1808}_{904}\text{Uut}$  و  ${}^{1812}_{906}\text{Uuq}$  و  ${}^{1816}_{908}\text{Uub}$  و  ${}^{1820}_{910}\text{Uut}$  و  ${}^{1824}_{912}\text{Uuq}$  و  ${}^{1828}_{914}\text{Uub}$  و  ${}^{1832}_{916}\text{Uut}$  و  ${}^{1836}_{918}\text{Uuq}$  و  ${}^{1840}_{920}\text{Uub}$  و  ${}^{1844}_{922}\text{Uut}$  و  ${}^{1848}_{924}\text{Uuq}$  و  ${}^{1852}_{926}\text{Uub}$  و  ${}^{1856}_{928}\text{Uut}$  و  ${}^{1860}_{930}\text{Uuq}$  و  ${}^{1864}_{932}\text{Uub}$  و  ${}^{1868}_{934}\text{Uut}$  و  ${}^{1872}_{936}\text{Uuq}$  و  ${}^{1876}_{938}\text{Uub}$  و  ${}^{1880}_{940}\text{Uut}$  و  ${}^{1884}_{942}\text{Uuq}$  و  ${}^{1888}_{944}\text{Uub}$  و  ${}^{1892}_{946}\text{Uut}$  و  ${}^{1896}_{948}\text{Uuq}$  و  ${}^{1900}_{950}\text{Uub}$  و  ${}^{1904}_{952}\text{Uut}$  و  ${}^{1908}_{954}\text{Uuq}$  و  ${}^{1912}_{956}\text{Uub}$  و  ${}^{1916}_{958}\text{Uut}$  و  ${}^{1920}_{960}\text{Uuq}$  و  ${}^{1924}_{962}\text{Uub}$  و  ${}^{1928}_{964}\text{Uut}$  و  ${}^{1932}_{966}\text{Uuq}$  و  ${}^{1936}_{968}\text{Uub}$  و  ${}^{1940}_{970}\text{Uut}$  و  ${}^{1944}_{972}\text{Uuq}$  و  ${}^{1948}_{974}\text{Uub}$  و  ${}^{1952}_{976}\text{Uut}$  و  ${}^{1956}_{978}\text{Uuq}$  و  ${}^{1960}_{980}\text{Uub}$  و  ${}^{1964}_{982}\text{Uut}$  و  ${}^{1968}_{984}\text{Uuq}$  و  ${}^{1972}_{986}\text{Uub}$  و  ${}^{1976}_{988}\text{Uut}$  و  ${}^{1980}_{990}\text{Uuq}$  و  ${}^{1984}_{992}\text{Uub}$  و  ${}^{1988}_{994}\text{Uut}$  و  ${}^{1992}_{996}\text{Uuq}$  و  ${}^{1996}_{998}\text{Uub}$  و  ${}^{2000}_{1000}\text{Uut}$  و  ${}^{2004}_{1002}\text{Uuq}$  و  ${}^{2008}_{1004}\text{Uub}$  و  ${}^{2012}_{1006}\text{Uut}$  و  ${}^{2016}_{1008}\text{Uuq}$  و  ${}^{2020}_{1010}\text{Uub}$  و  ${}^{2024}_{1012}\text{Uut}$  و  ${}^{2028}_{1014}\text{Uuq}$  و  ${}^{2032}_{1016}\text{Uub}$  و  ${}^{2036}_{1018}\text{Uut}$  و  ${}^{2040}_{1020}\text{Uuq}$  و  ${}^{2044}_{1022}\text{Uub}$  و  ${}^{2048}_{1024}\text{Uut}$  و  ${}^{2052}_{1026}\text{Uuq}$  و  ${}^{2056}_{1028}\text{Uub}$  و  ${}^{2060}_{1030}\text{Uut}$  و  ${}^{2064}_{1032}\text{Uuq}$  و  ${}^{2068}_{1034}\text{Uub}$  و  ${}^{2072}_{1036}\text{Uut}$  و  ${}^{2076}_{1038}\text{Uuq}$  و  ${}^{2080}_{1040}\text{Uub}$  و  ${}^{2084}_{1042}\text{Uut}$  و  ${}^{2088}_{1044}\text{Uuq}$  و  ${}^{2092}_{1046}\text{Uub}$  و  ${}^{2096}_{1048}\text{Uut}$  و  ${}^{2100}_{1050}\text{Uuq}$  و  ${}^{2104}_{1052}\text{Uub}$  و  ${}^{2108}_{1054}\text{Uut}$  و  ${}^{2112}_{1056}\text{Uuq}$  و  ${}^{2116}_{1058}\text{Uub}$  و  ${}^{2120}_{1060}\text{Uut}$  و  ${}^{2124}_{1062}\text{Uuq}$  و  ${}^{2128}_{1064}\text{Uub}$  و  ${}^{2132}_{1066}\text{Uut}$  و  ${}^{2136}_{1068}\text{Uuq}$  و  ${}^{2140}_{1070}\text{Uub}$  و  ${}^{2144}_{1072}\text{Uut}$  و  ${}^{2148}_{1074}\text{Uuq}$  و  ${}^{2152}_{1076}\text{Uub}$  و  ${}^{2156}_{1078}\text{Uut}$  و  ${}^{2160}_{1080}\text{Uuq}$  و  ${}^{2164}_{1082}\text{Uub}$  و  ${}^{2168}_{1084}\text{Uut}$  و  ${}^{2172}_{1086}\text{Uuq}$  و  ${}^{2176}_{1088}\text{Uub}$  و  ${}^{2180}_{1090}\text{Uut}$  و  ${}^{2184}_{1092}\text{Uuq}$  و  ${}^{2188}_{1094}\text{Uub}$  و  ${}^{2192}_{1096}\text{Uut}$  و  ${}^{2196}_{1098}\text{Uuq}$  و  ${}^{2200}_{1100}\text{Uub}$  و  ${}^{2204}_{1102}\text{Uut}$  و  ${}^{2208}_{1104}\text{Uuq}$  و  ${}^{2212}_{1106}\text{Uub}$  و  ${}^{2216}_{1108}\text{Uut}$  و  ${}^{2220}_{1110}\text{Uuq}</$

توزع الالكترونات على السويات الطاقوية للذرة ، ومن الضروري أن نأخذ بعين الاعتبار ، عند حساب طاقة السويات في الذرة ، تجانب الالكترونات الكولوني مع النواة والذي يؤدي إلى طاقة الذرات الشبيهة بالهيدروجين :

$$E = - \frac{Z^2 R h}{n^2} \quad (25.1)$$

كما نأخذ بعين الاعتبار أيضا التفاعل بين كل الالكترونات الذي يؤدي إلى نقصان القيمة المطلقة لهذه الطاقة . ويميز كل الكترون في الذرة المعقدة ، كما هو الحال في ذرة الهيدروجين ، بأربعة أعداد كوانتية ، وفي حالة رابطة رسيل - ساوندرس عندما تجمع العزوم المغزلية والمدراية كل على حده ، يجب أن تؤخذ الأعداد الكوانتية الأربعة المذكورة كما يلي :

— العدد الكوانتي الرئيسي  $n = 1, 2, 3, \dots$

— المدارى  $l = 0, 1, 2, \dots, (n - 1)$

— المغناطيسى  $m = 0, \pm 1, \dots, \pm l$

— المغزلى  $m_s = \pm 1/2$  وهو يختص بمسقط المغزل على المحور z .

وفي حالة الرابطة - (jj) يجب أن نختار هذه الأعداد الكوانتية بالشكل

التالى :

— الرئيسى  $n$

— المدارى  $l$

— الداخلى  $j = |l \pm 1/2|$

—  $m_j = -j, -j+1, \dots, j-1, j$  وهذا العدد يختص بمسقط العزم

الحركى الكلى على المحور z .

ومن المعلوم أن رابطة رسيل - ساوندرس تتحقق فى العناصر الخفيفة

أما الرابطة  $zz$  فيتحقق في العناصر الثقيلة ، ويبدو أن كلا من النوعين يعطى عددا متشابها من الحالات من أجل قيمة معينة لـ  $n$  و  $l$  ، فيما تقابل مجموعة السويات الطاقوية قيمة واحدة للعدد الكوانتى الرئيسى  $n$  وتؤلف طبقة ، ويرمز للطبقات المختلفة بالعدد  $n$  ، بالرموز ( تصنيف روتينجن للطبقات ) التالية :

$$K(n=1), L(n=2), M(n=3), N(n=4), O(n=5), P(n=6), Q(n=7)$$

أما الكترونات الطبقة الواحدة التى تكون لها قيم مختلفة بالعدد الكوانتى المدارى  $l = 0, 1, 2, 3, \dots$  ، فتؤلف الغمامات ( الأغلفة )  $s-, p-, d-, f-$  إلى آخره . ويجب تطبيق مبدأ باولى عند ملء الطبقات والغمامات المختلفة ، وطبقا لهذا المبدأ لا يمكن أن توجد فى حالة كوانتية مميزة بأربعة أعداد كوانتية أكثر من الكترون واحد ، ولهذا يمكن أن توجد فى حالة ذات قيم ثابتة لـ  $n$  و  $l$  و  $m$  الكترونان فقط يختلفان فيما بينهما باتجاه المغزل  $(m_l = \pm 1/2)$  . فإذا لاحظنا أن العدد الكوانتى  $m$  الذى يتحول من  $-l$  إلى  $+l$  يأخذ  $2l + 1$  قيمة ، فإننا نجد لحساب النهاية العظمى لعدد الالكترونات فى غمامة معينة العبارة التالية :

$$N_{nl} = N_l = 2(2l + 1) \quad (25.2)$$

وينتج من ذلك أن أكبر عدد ممكن للالكترونات فى الغمامات  $(l = 3)$   $s(l = 0), p(l = 1), d(l = 2)$  ، يساوى على الترتيب :

$$N_s = 2, N_p = 6, N_d = 10, N_f = 14$$

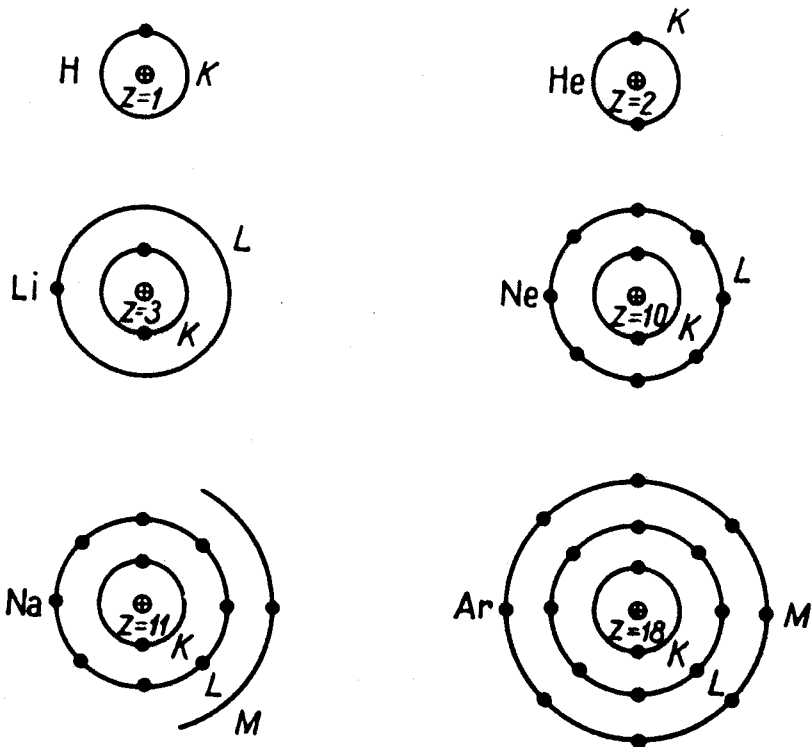
ولا تصادف غمامات ذات قيم  $l$  أكبر من هذه ، فى الذرات غير المهيجة . ولنحسب أخيرا أكبر عدد للالكترونات فى طبقة معينة :

$$N_n = \sum_{i=0}^{n-1} N_i = 2(1 + 3 + \dots + (2n-1)) = 2n \frac{1+2n-1}{2} = 2n^2 \quad (25.2a)$$

ومنه نجد أنه يمكن وجود الكترينين لا غير في الطبقة  $K$  و 8 في الطبقة  $L$  و 18 في الطبقة  $M$  و 32 في الطبقة  $N$  إلى آخره ، ولكي نضع النظام الذي بموجبه تمتلئ الطبقات وخاصة غمامات الذرات المعقدة من الضروري أن نأخذ بعين الاعتبار التفاعل بين الالكترونات ، وقد أمكن بواسطة الميكانيكا الكوانتية تطوير طرائق تقريبية ساعدت في وضع قاعدة يتم بموجبها ملء الغمامات الالكترونية والحصول على طاقة التماسك ، وأبسط هذه الطرائق هي الطريقة التي نكرناها في البند ٢٣ ألا وهي طريقة التغيرات ( ريتس وهيلراس وآخرون ) التي تطبق على الذرات الخفيفة ( حتى البوتاسيوم ) . أما طريقة الحقل ذاتي التناسق فتسمح بدراسة أكثر تفصيلا لبنية النواة وهو ما فعله هارترى وفوك ، وقد أمكن بواسطة هذه الطريقة معرفة توزع الالكترونات ليس في الذرات الخفيفة وحدها وإنما في الذرات الثقيلة أيضا ، حتى أن هذه الطريقة سمحت باكتشاف التركيب الغمامي للذرات متعددة الالكترونات ، غير أن استخدام هذه الطريقة ، وللأسف الشديد يتطلب عملا حسابيا كبيرا لا يمكن انجازه إلا بواسطة الآلات الحاسبة ، لأنها لا تعطي عبارات تحليلية للتوابع الموجية التي تميز توزع الالكترونات وإنما جداول عددية . كما ويمكن الحصول على نتائج أقل دقة بطريقة توماس - فيرمي الاحصائية التي طبقت على نطاق واسع ، بسبب بساطتها ، في حساب الذرات المعقدة أو كثيرة الالكترونات .

ب) طيف المعادن القلوية . عند دراسة الخطوط الطيفية للذرات متعددة الالكترونات يجب التمييز بين الطبقات الداخلية والطبقات الخارجية ، فمثلا لا توجد في ذرة الهيدروجين سوى الطبقة الخارجية التي تحوى على الكترون واحد ( الطبقة  $K$  ) وفي الهليوم ( $Z = 2$ ) تمتلئ الطبقة  $K$

تماما ، ولهذا يكون الهليوم غازا خاملا ، وفي الليثيوم ( $Z = 3$ ) تمتلئ الطبقة الداخلية ( $K$  الطبقة) كما يوجد الكترون واحد في الطبقة  $L$  الخارجية (معدن قلوى ، عنصر من الفصيلة الأولى) ، وفي النيون ( $Z = 10$ ) تختتم الطبقة  $L$  ، وفي الصوديوم تمتلئ الطبقات  $K$  و  $L$  تماما ولكن يبقى الكترون واحد على الطبقة الخارجية (معدن قلوى) إلى آخره . ويوضح الشكل ٢٥ - ١ امتلاء طبقات هذه الذرات . هذا ويجب ملاحظة أن



الشكل ٢٥ - ١ . مخطط امتلاء الغمامات الالكترونية في مختلف الذرات . على اليسار الذرات التي فيها يبدأ امتلاء الغمامات الخارجية (الهيدروجين ، المعادن القلوية) ، وعلى اليمين الذرات ممثلة الغمامات (الغازات الخاملة) ، أما النقاط السوداء فتتمرر إلى الالكترونات ، والدوائر الصغيرة بإشارة + ترمز إلى النوى .



طاقة ارتباط الكترون موجود على الطبقات الداخلية أكبر بكثير من طاقة ارتباط الكترون آخر موجود على الطبقات الخارجية ، فمثلا يتطلب نزع الكترون التكافؤ الأول من ذرة الليثيوم صرف طاقة  $5.39 \text{ eV}$  ، بينما نحتاج لطاقة مقدارها  $76 \text{ eV}$  و  $122 \text{ eV}$  لنزع الالكترولين الثاني والثالث اللذين يقعان على الطبقات الداخلية . وبما أن لجميع ذرات الفصيلة الأولى (Li, Na, K, Rb, Cs) والتي تسمى المعادن القلوية ، الكترون واحد على الطبقة الخارجية ، كما هو الحال في الهيدروجين فلا بد أن تتشابه في صفاتها الضوئية والكيميائية مع ذرة الهيدروجين ( نذكر على سبيل المثال ما هو معلوم عن جميع هذه العناصر أنها وحيدة التكافؤ ، ويظهر لها جميعا انقسام ثنائي للحدود الطيفية ) . وينشأ الطيف الضوئي عند انتقال الكترون التكافؤ ( أى الكترون الطبقة الخارجية ) إلى حالته الأساسية من سوية طاوية أعلى نتيجة لاثارة الذرة ، وتتطلب اثاره الكترونات الطبقات الداخلية ، كقاعدة عامة ، طاقة أكبر بكثير من الطاقة التي تتطلبها اثاره الكترونات الطبقات الداخلية كما أن انتقال الالكترونات الداخلية من حالات مثارة إلى حالاتها الأساسية في المدارات الداخلية يترافق باشعاعات رونتجن ( أشعة  $x$  ) . وتشكل نواة الذرة مع الكترونات الطبقات الداخلية ما يسمى الهيكل الذرى الذى شحنته  $Z$  تساوى  $A_p = Z - N$  ، حيث  $N$  عدد الكترونات الطبقات الداخلية . وفى المعادن القلوية ( ... Li, Na ) يكون  $N = Z - 1$  وأما شحنة الهيكل الذرى لهذه المعادن فتساوى الواحد (  $Z_p = 1$  ) ، ولهذا نرى أن القسم الرئيسى من الطاقة الكامنة الذى يمنع الالكترون من الهروب بعيدا عن النواة فى هذه المعادن سيكون كما فى ذرة الهيدروجين أى أن :

$$V_0 = -\frac{e_0^2}{r} Z_a = -\frac{e_0^2}{r}$$

وبذلك أمكننا اختيار الطاقة نفسها ( التى حصلنا عليها عند دراسة ذرة

الهيدروجين) كأساس لدراسة طيوف المعادن القلوية ، انظر البند ١٢ ،  
وهي :

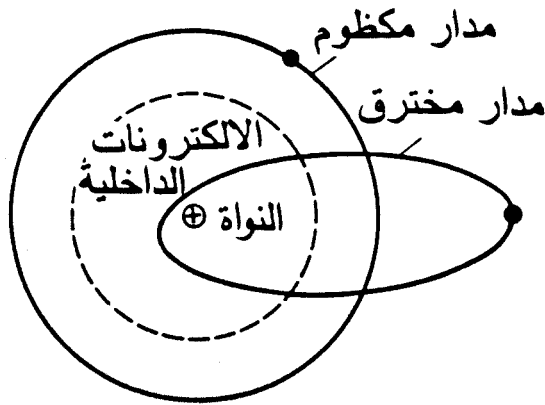
$$E_n^0 = - \frac{R\lambda}{n^2} \quad (25.3)$$

وعلى هذا المنوال أخذنا التقريب الأساسي (الصفري) للتتابع الموجية  
هنا ، تماما كما في ذرة الهيدروجين :

$$\psi^0 = \psi_{nlm} \quad (25.4)$$

إلا أنه أثناء دراسة التفاعل بين الالكترونات والذرة في المعادن القلوية يجب  
أن تؤخذ بعين الاعتبار قوى الاستقطاب وتأثير انتشار الهيكل الذري في  
حجم ما بالإضافة إلى التفاعل الكولوني ، وهذا ما يعطى تصحيحا ما على  
الطاقة (25.3) ، مما ينزع الانطباق بالعدد الكوانتي  $l$  ، ذلك الانطباق الذي  
يحصل لذرة الهيدروجين .

وتقسم المدارات في نظرية بور شبه الكلاسيكية بشكل صارم إلى مدارات  
«تخترق» الهيكل الذري ومدارات «لا تخترق» هذا الهيكل ، وفي حالة  
المدارات «غير المخترقة» أو المكظومة (وهي قريبة من الدائرية) يجب  
اعتبار قوى الاستقطاب وحدها لأن الكمون خارج حدود الهيكل الذري (أي  
وراء حدود المدارات الداخلية) لا يتوقف مطلقا على توزيع الشحنة بالنسبة  
لنصف القطر إذا كان توزيع هذه الشحنة متناظرا كرويا ، أما بالنسبة  
للمدارات التي «تخترق» الهيكل (قطوع ناقصة) فإن قانون توزيع الشحنة  
سيكون ذا أهمية كبيرة (الشكل ٢٥ - ٢). وبما أن مفهوم المسار في  
النظرية الكوانتية يفقد معناه فإن التقسيم السابق إلى مدارات «مخترقة» وغير  
مخترقة ، هو مجرد اصطلاح يعنى ما يلي : هل يمكن ضمن الهيكل الذري  
أن نضع تابعا موجيا يصف حركة الكترون التكافؤ ويساوى الصفر



الشكل ٢٥-٢. المدارات ، المخترفة ، و غير المخترفة ، في ذرات المعادن القلوية .

( للمدارات غير المخترفة ) أم لا ؟ وبهذا الصدد يجب ملاحظة أن المدار  $s$  للالكترون في الذرة هو دائما ، مخترق ، لأن تابعه الموجي لا يساوى الصفر لا داخل الهيكل الذري ولا في القسم المركزي للذرة ، أى في مجال النواة

$$|\psi(0)|^2 = \frac{1}{\pi n^3 a_0^3} \quad (25.5)$$

ولنحسب قبل كل شيء قوى الاستقطاب التي تظهر بين الالكترونات الخارجية والهيكل الذري ، إذ يجب على الالكترون الخارجى أن يتدافع مع الكترونات الطبقات الداخلية ويتجاذب مع النواة ، ونتيجة لذلك يستقطب الهيكل الذري وتنشأ بينه وبين الالكترونات الخارجية قوى استقطاب اضافية :

$$F_{pol} = -(Z-1)e_0^2 \times \left[ \frac{1}{r^2} - \frac{1}{(r+x)^2} \right] = -\frac{2e_0^2(Z-1)x}{r^3} \quad (25.6)$$

وتمثل القيمة  $e_0(Z-1)x = p$  استقطاب الهيكل الذري ، ومن جهة ثانية إذا اعتبرنا الهيكل الذري ثنائى الأقطاب ومرن فيمكن أن نجعل :

$$p = \beta \mathcal{E} \quad (25.7)$$

حيث  $\beta$  هي استقطابية الذرة و

$$\mathcal{E} = \frac{e_0}{r^2} \quad (25.8)$$

هي القيمة المطلقة للحقل الكهربائي الناشئ عن الكترون الطبقة الخارجية في مركز الهيكل النري ، وبملاحظة العلاقات الأخيرة نحصل على الطاقة الكمونية للاستقطاب .

$$V_{\text{pol}} = \int_r^{\infty} F_{\text{ipol}} dr = - \int_r^{\infty} \frac{2\beta e_0^2}{r^6} dr = - \frac{\beta e_0^2}{2r^4} \quad (25.9)$$

وعندئذ نحصل على طاقة استقطاب اضافية ، يمكن اعتبارها في مسألتنا هذه طاقة اضطرابية وهي :

$$\Delta E_{\text{pol}} = \int \psi_{nlm}^* V_{\text{ipol}} \psi_{nlm} d^3x = - \frac{\beta e_0^2}{2} \left\langle \frac{1}{r^4} \right\rangle \quad (25.10)$$

وبما أنه ، طبقا لـ ( 12.40a ) ، يكون لدينا :

$$\left\langle \frac{1}{r^4} \right\rangle = \frac{3}{2a_0^4} \frac{1 - \frac{l(l+1)}{3n^2}}{n^3 (l - 1/2) l (l + 1/2) (l + 1) (l + 3/2)}$$

فإنه العلاقة ( 25.10 ) تتحول إلى الشكل التالي :

$$\Delta E_{\text{pol}} = - \frac{e_0^2}{2a_0} \frac{2\delta}{n^3} \quad (25.11)$$

حيث

$$\delta = \delta_1 - \frac{\delta_2}{n^2}$$

$$\delta_1 = \frac{3\beta}{4a_0^3 (l - 1/2) l (l + 1/2) (l + 1) (l + 3/2)} \quad (25.12)$$

$$\delta_2 = \frac{l(l+1)}{3} \delta_1$$

ومنه نجد الطاقة الكلية ، التي لا تتعلق هذه المرة بـ  $n$  وحدها وإنما بـ  $l$  أيضا ( لم نأخذ بعين الاعتبار حتى الآن التصحيحات المغزلية ) :

$$E_{nl} = - \frac{R\hbar}{n^2} + \Delta E_{\text{pol}}$$

وبتعويض  $\Delta E_{\text{pol}}$  بقيمتها من (25.11) وملاحظة أن :

$$\frac{R\hbar}{n^2} = \frac{e_0^2}{2a_0 n^2}$$

فإننا نجد :

$$E_{nl} = -\frac{e_0^2}{2a_0 n^2} - \frac{e_0^2}{2a_0} \frac{2\delta}{n^3} \approx -\frac{e_0^2}{2a_0 (n-\delta)^2} \quad (25.13)$$

لأن :

$$\frac{1}{(n-\delta)^2} = \frac{1}{n^2} \left(1 - \frac{\delta}{n}\right)^{-2} \approx \frac{1}{n^2} + \frac{2\delta}{n^3}$$

وبفرض عدد كوانتى رئيسى مثال  $n - \delta = n_{\text{eff}}$  فإننا نجد أن :

$$E_{nl} = -\frac{e_0^2}{2a_0 n_{\text{eff}}^2}$$

نلاحظ أنه لا يمكن الاستفادة من (25.12) من أجل الحالة  $s$  ، لأن المعامل  $\delta_l$  ينتهى إلى اللانهاية عندما  $l = 0$  ، ويعود السبب فى ذلك إلى أنه لا يمكن اعتبار قوى الاستقطاب موجودة إلا فى الحالة التى يكون فيها الالكترون بعيدا بعدا كافيا عن الهيكل الذرى ويلاحظ أن التابع الموجى للمدار  $s$  لا يندعم حتى عندما  $r = 0$  ، انظر (25.5) ، لكن تأثير الالكترونات الداخلية على المدار  $s$  الذى يعتبر «مخترقا» يرتبط بصورة رئيسية ، بانتشار الغمامة الالكترونية للهيكل الذرى . وعلى العموم تتعين الطاقة الاضافية الناتجة عن انتشار الالكترونات فى حجم الهيكل الذرى بالعبارة التالية :

$$\Delta E_{\text{vol}} = \int |\psi(r)|^2 V_{\text{vol}} d^3x \quad (25.14)$$

حيث  $V_{\text{vol}}$  هو الفرق بين الطاقنتين الكامنتين الناتجتين عن الكترونات الهيكل الذرى ( إذا اعتبرنا أن هذه الالكترونات موزعة بالفعل ضمن

حجم ما ) والشحنة المكافئة المجمعة في المركز . ولكي نقيم المقدار  $\delta$  للمدار  $s$  ، نفرض أن  $(Z - 1)$  من الكترونات المدارات الداخلية تملؤ بانتظام حجما نصف قطره  $R$  ، وعندئذ نجد أن :

$$V_{\text{vol}} = - \frac{(Z-1)e_0^2}{r} \left( 1 - \frac{3}{2} \frac{r}{R} + \frac{1}{2} \frac{r^3}{R^3} \right) \quad (25.15)$$

فإذا عوضنا عن التابع الموجي بقيمته في النقطة صفر ، انظر (25.5) ، نجد لحساب الطاقة الاضافية الخاصة بالمدار  $s$  العبارة التقريبية التالية :

$$\Delta E_{\text{vol}} \approx - \frac{2}{5} \frac{Z e_0^2 R^2}{a_0^3 n^3} = - \frac{e_0^2}{2a_0} \frac{2\delta}{n^3} \quad (25.16)$$

مع العلم أن المقدار  $\delta$  الذي يعطى بالعلاقة :

$$\delta = \frac{2}{5} \frac{Z R^2}{a_0^2} \quad (25.17)$$

لا يتباعد الآن ، وهنا يجب الانتباه إلى أنه ، طبقا لنموذج توماس - فيرمي ، فإن نصف قطر الذرة يساوي

$$R = \frac{\gamma a_0}{Z^{1/3}} \quad (25.18)$$

حيث  $\gamma$  معامل يتعلق بقانون توزع الشحنة داخل الذرة وهو من رتبة الواحد ، وبالتالي نحصل من جديد على صيغة من النوع (25.13) ، لحساب الطاقة الكلية للكترون في حالة المدارات  $s$  (المخترفة) ، وهي التالية :

$$E_{n, l=0} = - \frac{Rn}{(n-\delta)^2} = - \frac{e_0^2}{2a_0 n_{\text{eff}}^2} \quad (25.19)$$

حيث  $n_{\text{eff}} = n - \delta$  ، أما  $\delta$  فتعرف بالعلاقة (25.17) ، ولكي نبحث اختلاف التصحيحات للمدارات (المخترفة) و (غير المخترفة) ، وندرس كمثال ذرة الليثيوم  $Li$  حيث يكون المدار  $l = 0$  (غير مخترف) ، إذ تعطى العلاقة (25.12) النتيجة  $\delta_p = 0,04$  لأخفض حالة ( $n = 2$ ) وبنفس الوقت نرى أن

قيمة  $\delta$  للمدار  $s$  « المخترق » المحسوبة بالصيغة (25.17) بحيث أن تكون أكبر بمرتبة . هذا ويجب ملاحظة أن التباعد المركزي للمسار يقترب من الواحد عندما تكبر  $n$  وتبقى  $l$  ثابتة ، أى أن المدارات الأهلجية تصبح أكبر طولاً ، انظر (12.63) ، أو

$$\varepsilon^2 = 1 - \frac{l^2 + l + 1}{n^2} \quad (25.20)$$

ونتيجة لذلك يجب أن نضم بالتدرج كل المدارات وندخلها فى عداد المدارات « المخترقه » عندما تكبر  $l$  باستثناء المدارات ذات القيمة  $l = 0$  وحدها .

ملاحظة : نلاحظ أن التصحيح  $\delta$  للمدارات « المخترقه » أكبر بكثير من هذا التصحيح  $\delta$  للمدارات « غير المخترقه » . ويوضح الجدول (25.1) قيم  $\delta$  التى يتم الحصول عليها تجريبياً ( حيث وضعت نجمة للمدارات المخترقه ) .

الجدول ٢٥ - ١ التصحيح  $\delta$  على طيوف المعادن القلوية

$\delta_f$	$\delta_d$	$\delta_p$	$\delta_s$	العنصر	Z
0,000	0,000	0,000	0,000	H	1
0,000	0,002	0,041	0,412*	Li	3
0,001	0,010	0,883*	1,373*	Na	11
0,007	0,146*	1,776*	2,230*	K	19
0,012	1,233*	2,711*	3,195*	Rb	37
0,022	2,448*	3,649*	4,131*	Cs	55

ولندرس الآن السلاسل الطيفية الأساسية لذرات المعادن القلوية ، من المعروف أن الحدود الذرية لذرة الهيدروجين بدون حساب التصحيحات المغزلية ، تعرف بالعلاقة :

$$(nl) = -\frac{E_{nl}}{h} = \frac{R}{n^2} \quad (25.21)$$

ومنه نجد أن :

$$(1s) = \frac{R}{1^2} = R$$

$$(2s) = (2p) = \frac{R}{2^2} = \frac{R}{4} \quad (25.22)$$

$$(3s) = (3p) = (3d) = \frac{R}{3^2} = \frac{R}{9}$$

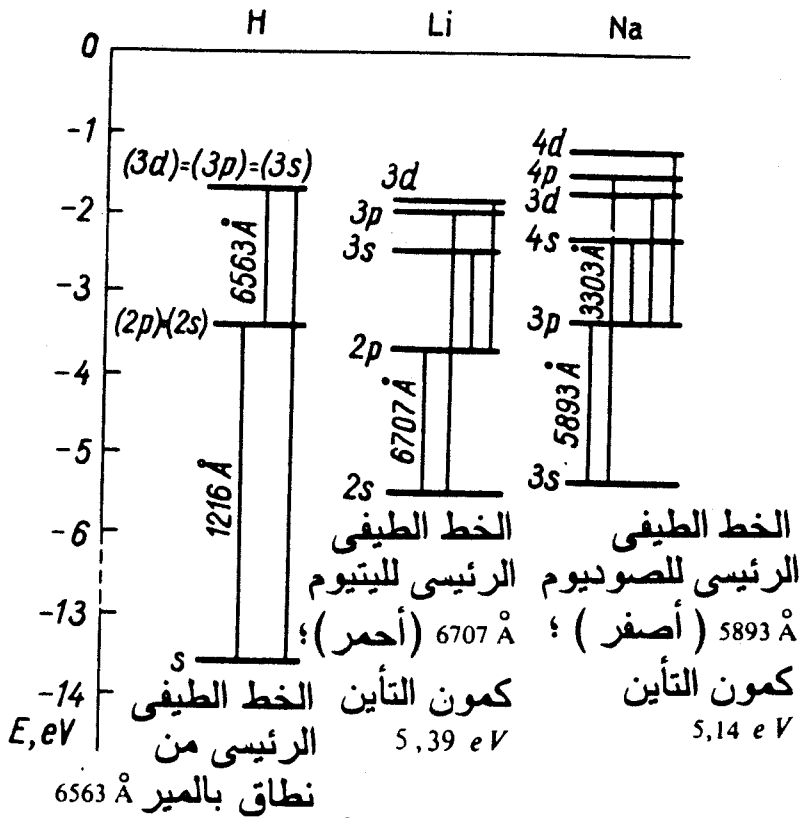
أى أن الحالات الكوانتية فى ذرة الهيدروجين منطبقة ليس بـ  $m$  وحده وإنما بـ  $l$  أيضا . ويبين الشكل ٢٥ - ٣ السويات الطاقوية لذرة الهيدروجين . ونرى عند دراسة ذرة الليثيوم أن السويات الطاقوية للطبقة  $K$  ( $n = 1$ ) مملوءة ( الشكل ٢٥ - ١ ) ولهذا تكون الطبقة الخارجية هى الطبقة  $L$  ، ويظهر أكبر تأثير للطبقة  $K$  على المدار  $s$  ، ويبدو أن الانزياح المقابل يكون كبيرا لدرجة يصعب تجريبيا معرفة فيما إذا كان ينتمى إلى الحالة  $n$  أم إلى الحالة  $n - 1$  . ولكى يحتفظ تشكل الحدود بنفس الحدود الذرية للهيدروجين فقد نسب علماء الطيوف فى البدء إلى الحالة  $n - 1$  .

$$(ns) = (n^*s) = \frac{R}{(n - \delta_s)^2} = \frac{R}{(n^* + s)^2} \quad (25.23)$$

حيث  $n^* = n - 1$  و  $\delta_s = 0,412$  و  $s = 1 - \delta_s = 0,588$  ولكى نميز هذا الحد  $(n^*s)$  عند الحد الأسمى  $(ns)$  فنسنع نجمة ، أما انزياح الحدود الأخرى لذرة الليثيوم ( $l = 1, 2$ ) فيمكن اهماله بالمقارنة مع الحدود المقابلة لذرة الهيدروجين ، ولذلك تحل مشكلة انتمائه إلى حالة ما أو إلى أخرى

• إذا أخذ العدد الكوانتى الرئيسى فى ذرة الليثيوم القيم  $n = 2, 3, 4$  ( الحالة  $n = 1$  مشغولة بالكرونيين وهى تؤلف طبقة داخلية ) فإن العدد الكوانتى  $n^*$  بأخذ القيم  $n^* = (n - 1) = 1, 2, 3, \dots$





### خط الطيف الرئيسي للصوديوم

الخط الطيف الرئيسي للصوديوم (أصفر) ؛ 5893 Å  
 كومون التآين 5.14 eV

الخط الطيف الرئيسي لليتيوم (أحمر) ؛ 6707 Å  
 كومون التآين 5.39 eV

نطاق بالمير 6563 Å  
 الخط الطيف الرئيسي من

الشكل ٢٥ - ٣ . مخطط سويات الطاقة في الذرات وحيدة التكافؤ . يقدر الكمون عادة بـ eV ابتداء من السوية الأخفض وإلى أعلى . وقد أوردنا هنا مقارنة سويات الطاقة في مختلف الذرات ولذلك اعتبرنا كمون الفراغ الخارجى مساويا للصفر .

بشكل وحيد التعيين . وهكذا نرى أنه بينما تأخذ الحدود الذرية  $p, d$  لذرة الليثيوم (في الرموز القديمة) مكانها تماما في تلك الطبقات الموافقة للحسابات النظرية ( $n^* = n$ ) ، فإن العدد الكوانتى الرئيسى للحد  $s$  ينقص بمقدار الواحد ( $n^* = n - 1$ ) ، الشكل ٢٥ - ٣ . وتعتبر السلاسل الطيفية معلومة في طيوف المعادن القلوية ، وقد رمز لها بحروف مختلفة ، فالرئيسية  $p$  (principal) والحادة  $s$  (sharp) والانتشارية  $d$  (diffuse) والأساسية  $r$  .

١ - السلسلة (النطاق) الرئيسية . الحد المتغير فيها هو الحد  $p$  ،  
ويمكن أن نكتب من أجلها ما يلي :

$$\omega = (1^*s) - (n^*p)$$

وهذا يعنى أنه :

من أجل H نجد :  $(1s) - (n^*p)$  (سلسلة لايمان) ،  $n^* = n$   
 (25.24) من أجل Li نجد :  $(2s) - (np)$  ،  $n^* = n$   
 من أجل Na نجد :  $(3s) - (np)$  ،  $n^* = n - 1$

٢ - السلسلة الثانوية الثانية (أو الحادة) (*sharp*) . المتغير فيها هو  
الحد  $s$  وعليه

$$\omega = (2^*p) - (n^*s)$$

وهذا يعنى أنه :

من أجل H :  $(2p) - (ns)$  (سلسلة بالمير) ،  $n^* = n$   
 (25.25) من أجل Li :  $(2p) - (ns)$  ،  $n^* = n - 1$   
 من أجل Na :  $(3p) - (ns)$  ،  $n^* = n - 2$

٣ - السلسلة الثانوية الأولى (أو الانتشارية) (*diffuse*) والمتغير فيها  
هو الحد  $d$  :

$$\omega = (2^*p) - (n^*d) \quad (25.26)$$

٤ - السلسلة الأساسية  $f$  .

$$\omega = (3^*p) - (n^*f) \quad (25.27)$$

والمتغير فيها هو الحد  $f$  .

وقد تم الحصول على هذه السلسلة طبقاً لقواعد الانتقاء التى ينتج منها  
أن :

$$\Delta l = \pm 1$$

هذا وتعكس تسمية هذه السلاسل طبيعة بنيتها المضاعفة ، وكما هو الحال في ذرة الهيدروجين يعود سبب هذه البنية المضاعفة إلى التأثيرات المغزلية والنسبية . ولكي نحسب تباعد الحدود نستفيد من الصيغة التي تأخذ بعين الاعتبار التصحيحات النسبية والتصحيحات الناتجة عن التفاعلات المغزلية المدارية للذرات الشبيهة بالهيدروجين ، انظر ( 20.18 ) ، أى أن :

$$-\frac{\Delta E_{nl}}{h} = \frac{RZ^4\alpha^2}{n^4} \left( \frac{n}{j+1/2} - 3/4 \right) \quad (25.28)$$

حيث  $\alpha = e_0^2 / \hbar c = 1/137$  ثابت البنية الدقيقة ، ويمكن حساب تأثير الكترولونات الطبقات الداخلية فى المعادن القلوية بأن نغير  $Z$  بقيمة فعالة ما  $Z_{eff} < Z$  :

$$-\frac{\Delta E_{nl}}{h} = \frac{R\alpha^2}{n^4} Z_{eff}^4 \left( \frac{n}{j+1/2} - 3/4 \right) \quad (25.29)$$

ومن الواضح أنه يمكن أن نضع  $Z_{eff} = 1$  للمدارات  $l$  غير المختزقة ، لأن  $(Z - 1)$  الكترولونات كاف لحجب شحنة النواة الموجبة ، ومن الأفضل اختيار  $Z_{eff}$  للمدارات  $l$  المختزقة ، بالمقارنة مع التجربة ، وبما أن العدد الكوانتى  $l$  يأخذ القيم :

$$\begin{aligned} j = 1/2, & \quad l = 0 \\ j = l \pm 1/2, & \quad l \neq 0 \end{aligned}$$

فيمكن الآن الاستنتاج أن جميع الحدود الطيفية للمعادن القلوية يجب أن تكون ثنائية عدا الحد الذى يجب أن لا ينقسم ، ولكى نجد مقدار التباعد ( الفرق بين الحدين ) نحسب قيمة الحدود الطيفية فى حالتين ، الأولى : عندما يتوازى المغزل والعزم المدارى ، أى أن

$$-\frac{\Delta E_{l=l+1/2}}{h} = \frac{R\alpha^2 Z_{eff}^4}{n^4} \left( \frac{n}{l+1} - 3/4 \right) \quad (25.30)$$

والثانية : عندما يتعاكسان مباشرة ( $l \neq 0$ ) ، أى أن

$$-\frac{\Delta E_{l=l-1/2}}{h} = \frac{Ra^2 Z_{eff}^4}{n^4} \left( \frac{n}{l} - \frac{3}{4} \right) \quad (25.31)$$

وهكذا نحصل لتباعد الحدين الذى يساوى الفرق بين العلاقتين (25.31) و (25.30) على العلاقة التالية :

$$\Delta\omega_n = \frac{Ra^2 Z_{eff}^4}{n^3 l (l+1)} \quad (25.32)$$

ومنه نرى أن التباعد  $\Delta\omega_n$  يتضاءل بتناسب عكسيا مع مكعب العدد الكوانتى الرئيسى  $n$  . وبما أن الحد  $s$  الابتدائى لا ينقسم فى السلسلة الرئيسية والحد  $p$  هو الذى ينقسم ( $l = 1$ ) فإن الخطوط الطيفية هى الثنائيات التالية :

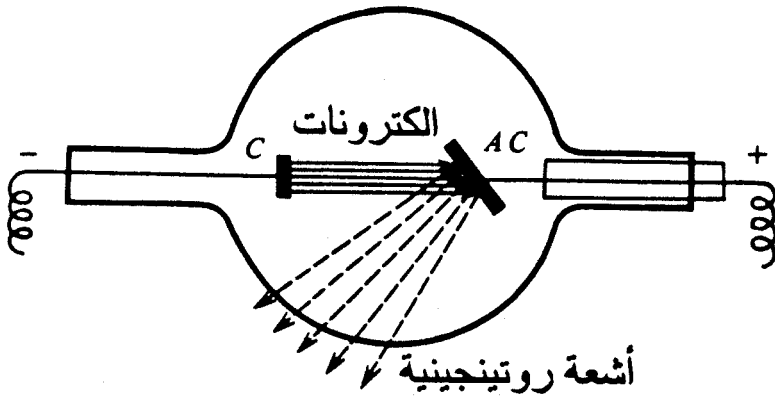
$$\Delta\omega_n = \frac{Ra^2 Z_{eff}^4}{2n^3}$$

وعلى العكس من ذلك نجد فى السلسلة الثانوية أن الحد  $p$  ينقسم بينما لا ينقسم الحد  $s$  ، ولهذا لا يتغير التباعد لكل الخطوط الطيفية لهذه السلسلة ، أى أن :

$$\Delta\omega_2 = \frac{Ra^2 Z_{eff}^4}{16}$$

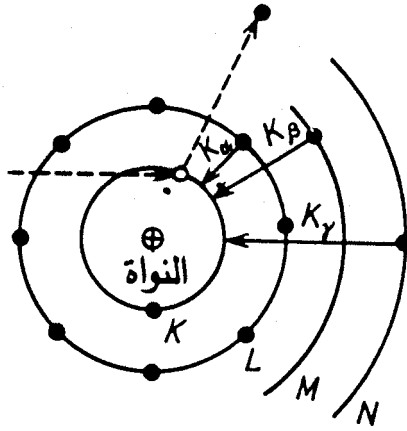
أما بالنسبة للسلاسل الباقية فتكون للتباعد طبيعة أكثر تعقيداً بسبب انقسام الحدين البدائى والنهائى .

ج) الطيوف الروتجينية للذرات . لقد تم الحصول على معلومات تجريبية عن تركيب الطبقات الداخلية للذرات بواسطة دراسة الطيوف الروتجينية ، ونذكر بأن هذه الأشعة تنشأ عن قذف المهبط المضاد فى أنبوبة الكترونية بتيار من الالكترونات السريعة ، الشكل ٢٥ - ٤ ، وقد أظهرت التحاليل التى أجريت على طيوف الأشعة الروتجينية على وجود نوعين من



الشكل ٢٥ - ٤ . مخطط أنبوب رونتجين :  $K$  - الكاتود ( المهبط ) ،  $AK$  - الكاتود المضاد الموصل مع الأنود ( المصد ) .

الطيف : متصل ومنتقطع ، وينشأ الطيف المتصل نتيجة لتوقف الالكترونات عند سقوطها على المهبط المضاد ، ولهذا يسمى أيضا طيف التوقف ، وينشأ الطيف المنتقطع أو الطيف المميز عندما تزداد طاقة الالكترونات الساقطة على المهبط المضاد بحيث تتجاوز قيمة حرجة معينة ، ولا تتغير خواص الطيف المميز في جميع المركبات الكيميائية للمادة . وهنا يظهر اختلاف هذا الطيف عن الطيف الضوئي لأن الأخير يتعلق ببنية المادة الذرية أو الجزيئية ، وتترتب الخطوط الطيفية للاشعاع المميز ، كالخطوط الضوئية للذرات ، طبقا لقانونية معينة أو سلاسل يرمز لها بالحروف اللاتينية  $K, L, M, N$  . . . وتكون السلسلة ذات الأطوال الموجية الأدنى هي السلسلة  $K$  ثم السلسلة  $L$  . ولقد فسر كوسل عام ١٩٢٤ آلية ظهور الطيف المميز الرونتجيني التابع للمادة التي صنع منها المهبط المضاد فقال إن الالكترونون إذ يقتلع عند سقوطه الكترونا من المهبط المضاد ولانتقاله من الطبقة  $K$  لاحدى الذرات ، فإنه يترك مكانا فارغا في هذه الطبقة ، الشكل ٢٥ - ٥ ، يمكن أن يشغله الكترون آخر من الطبقات  $K, L, M$  ،



الشكل ٢٥ - مخطط ظهور الطيف المميز (طبقا لكرسيل) ، الكترولونات ، أما الخط المتقطع فيبين عملية ترك الالكترولون للغمامة - K .

وهذا بالضبط ما يسبب الخطوط الطيفية التي نرمز لها  $K_\alpha, K_\beta, K_\gamma, \dots$  . ويظهر الطيف المميز عند انتقال الالكترولونات من طبقة داخلية إلى أخرى . وبما أن طاقة ارتباط الالكترولونات الموجودة على المدارات الداخلية أكبر بكثير من طاقة ارتباط الالكترولونات الموجودة على المدارات الخارجية فلا بد للحصول على طيف الاشعاع المميز من استخدام الكترولونات ذات طاقة أكبر بكثير ( عشرات الكيلوفولتات ) من الطاقة اللازمة ( عشرات الفولتات ) للحصول على الطيوف الضوئية ، وتوجد طريقتان تقريبتان لبناء نظرية الذرة المعقدة دون اهمال تفاعل الالكترولونات فيما بينها ، نعتبر في الأولى أن الكمون الأساسي هو كمون النواة الذي يحجب تأثيره تماما الالكترولونات الداخلية ، وقد استخدمت هذه الطريقة لبناء نظرية الطيوف الضوئية للمعادن القلوية ، وعندئذ يساوى الكمون الأساسي بشحنة النواة  $Z e_0$  وشحنة الكترولونات المدارات الداخلية  $(Z - 1) e_0$  ، إلى الكمون الكلي في هذه الحالة :

$$\Phi = \frac{e_0}{r} (Z - (Z - 1)) = \frac{e_0}{r} \quad (25.33)$$

ثم نختار كمونا اضافيا بمثابة كمون اضطرابي يأخذ بعين الاعتبار الاستقطاب وتوزع الغمامة الالكترونية ، وقد كانت هذه الطريقة مناسبة لوصف حركة الالكترونات الخارجية أى ذرات المعادن القلوية مثلا ، وعلى العكس من ذلك عند دراسة حركة الكترونات الطبقات الداخلية ، من المناسب أن نأخذ كمونا أساسيا بالشكل التالي :

$$\Phi = \frac{Ze_0}{r} \quad (25.34)$$

أما الكمون الاضافى الذى تصنعه الطبقة الالكترونية فيضيف تصحيحا على الكمون  $\Phi$  وهذا ما يودى إلى حجب ( انخفاض فعال ) شحنة النواة بمقدار  $S_n e_0$  بحيث يمكن كتابة الكمون الكلى بالشكل التالي :

$$\Phi = \frac{(Z - S_n) e_0}{r} \quad (25.35)$$

ومثال على ذلك ، ما برهناه عند دراسة الذرات الشبيهة بالهليوم ، انظر البند ٢٣ ، حيث رأينا أن أخذ تفاعل الكترونات الطبقة  $K$  بعين الاعتبار يودى إلى تقليص الشحنة الفعالة للنواة التى يمكن وضعها بصورة شكلية كما يلى  $Z' = Z - \frac{5}{16}$  أى أن المقدار  $S_n$  يساوى فى هذه الحالة  $5/16$  . وقد لا يكون التصحيح على  $S_n$  تابعا ل  $n$  وحده وإنما ل  $m$  أيضا ، ويزداد هذا التصحيح بازدياد  $n$  لأنه يجب عندئذ أخذ أعداد أكبر من الالكترونات التى تحجب النواة بعين الاعتبار ، كما يزداد التصحيح السابق أيضا بازدياد  $l$  ( لا يعتبر تأثير ذلك كبيرا ) ، لأن المدارات ستصبح أقل اختراقا ، ولهذا يجب أن تتناقص الشحنة الفعالة وسطيا بعض الشيء . هذا ويمكن كتقريب أول ، اهمال هذا التصحيح ( أى اعتبار أن التصحيح لا يتعلق ب  $l$  ) . ويودى استخدام الكمون (25.35) إلى ايجاد الصيغة نفسها لحساب الحدود الطيفية ، وهى التى حصلنا عليها لذرة الهيدروجين ، ولكن بتبديل المقدار  $Z$  ب  $(Z - S_n)$  ، أى أن

$$E_n = - \frac{(Z - S_n)^2 R h}{n^2} \quad (25.36)$$

ومن العلاقة الأخيرة نجد لحساب تواتر اشعاع الخط  $K_\alpha$  العبارة التالية :

$$\omega_{K_\alpha} = \frac{E_2 - E_1}{h} = R \left[ \frac{(Z - S_1)^2}{1^2} - \frac{(Z - S_2)^2}{2^2} \right] \quad (25.37)$$

ومن هنا نرى أن تواتر طيف الأشعة الرونتجينية يزداد باضطراد مع تزايد العدد الذرى  $Z$  ، وكان أول من اكتشف هذا القانون عند تحليل المعطيات التجريبية ، هو العالم موزلى الذى كتب القانون السابق بشكل يختلف قليلا عن (25.37) وذلك كما يلى :

$$\omega_{K_\alpha} = R(Z - S)^2 \left( \frac{1}{1^2} - \frac{1}{2^2} \right)$$

ويمكن الحصول على هذه العلاقة من (25.37) إذا فرضنا فى الأخيرة أن التصحيح على الحجب لا يتغير بالنسبة للطبقات  $K$  و  $L$  ، أى أن :  $S_1 = S_2 = S$  . ولكننا نعلم أن القضية ليست بهذه السهولة ولذلك يجب أثناء دراسة الطيوف الرونتجينية ، تماما كما هو الحال فى الطيوف الضوئية ، اعادة حساب تواترات الحدود التى يمكن كتابتها طبقا لـ (25.36) بالشكل التالى :

$$\sqrt{\frac{T_n}{R}} = \sqrt{-\frac{E_n}{R h}} = \frac{Z - S_n}{n} \quad (25.38)$$

وقد سميت التبعية الأخيرة بقانون موزلى ويتم التحقق منه بيانيا (الشكل ٢٥ - ٦) ، فإذا أعطينا للعدد الكوانتى  $n$  قيما مختلفة نجد أن :

— بالنسبة للحد  $K$  ( $n = 1$ )

$$\sqrt{\frac{T_1}{R}} = \frac{Z - S_1}{1} \quad (25.38a)$$

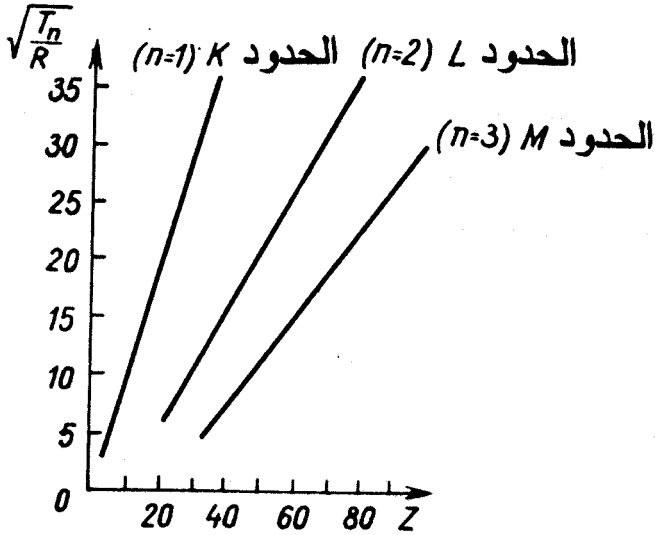
— بالنسبة للحد  $L$  ( $n = 2$ )

$$\sqrt{\frac{T_2}{R}} = \frac{Z - S_2}{2} \quad (25.38b)$$



— بالنسبة للحد  $M$  ( $n = 3$ )

$$\sqrt{\frac{T_3}{R}} = \frac{Z - S_3}{3} \quad (25.38c)$$



الشكل ٦-٢٥ . مخطط موزلى .

وقد أدى استقراء المنحنيات التجريبية  $\sqrt{\frac{T_n}{R}} \approx f(Z)$  إلى حساب التصحيحات على الحجب التي تساوى وسطيا :  $S_1 = 1, S_2 = 3.5, S_3 = 10.5$  . وقد ثبت بالاضافة إلى ذلك ، تغير طيوف الاشعة الرونتجينية باضطراد مع تزايد  $Z$  . ولم يلاحظ أى قوانين دورية لهذا التغير وهذا بحد ذاته يمثل اختلافا آخر عن الطيوف الضوئية ، حيث لوحظ سلوكها الدورى فيما بينت الدراسة المفصلة وجود البنية التعددية لطيوف الاشعة الرونتجينية . ومن جهة يجب ملاحظة أن التصحيح على الحجب لا يتعلق بالعدد الكوانتى الرئيسى وحده وإنما بالعدد الكوانتى المدارى  $l$  أيضا ، ومن جهة ثانية يجب أن تعتمد العلاقة ( 20.18 ) أساسا للدراسة عند حساب التصحيحات النسبية التي تتبع أيضا العدد الكوانتى الداخلى  $z$  ، وعندئذ نجد عوضا عن ( 25.38 ) الصيغة التالية :

$$\sqrt{\frac{T_{nlj}}{R}} = \frac{Z - S_{nl}}{n} + \frac{1}{2} \frac{(Z - S_{nl})^3 a^2}{n^3} \left( \frac{n}{j + 1/2} - \frac{3}{4} \right) \quad (25.39)$$

ومن ( 25.39 ) نجد أنه لا يوجد تباعد فى الحدود  $K$  لأنه لا توجد سوى حالة واحدة (  $n = 1, l = 0, j = 1/2$  ) بينما توجد ثلاث مركبات للحد  $L$  هى :

$$L_I (2s_{1/2}), \quad L_{II} (2p_{1/2}), \quad L_{III} (2p_{3/2})$$

فإذا اعتبرنا تبعية التصحيح على الحجب إلى العدد  $l$  ، عندما  $S_{2s} = 3$  و  $S_{2s} = 4$  فإننا نحصل لحساب الحدود  $L$  على العلاقات التالية :

$$\begin{aligned} L_I: \quad \sqrt{\frac{T_{2s1/2}}{R}} &= \frac{Z-3}{2} + \frac{5a^2}{64} (Z-3)^3 \\ L_{II}: \quad \sqrt{\frac{T_{2p1/2}}{R}} &= \frac{Z-4}{2} + \frac{5a^2}{64} (Z-4)^3 \\ L_{III}: \quad \sqrt{\frac{T_{2p3/2}}{R}} &= \frac{Z-4}{2} + \frac{a^2}{64} (Z-4)^3 \end{aligned} \quad (25.39a)$$

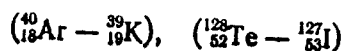
وتسمى الثنائيات المتوازنية  $L_I, L_{II}$  والمرتبطة بالحجب المختلف للنواة بالثنائيات الشاذة ، بينما تسمى الثنائيات المتباعدة  $L_I, L_{III}$  التى حصلنا عليها باعتبار وجود التأثيرات النسبية والمغزلية بالثنائيات النظامية . وبنفس الطريقة نرى أن الحدود  $M$  تحوى على خمس مركبات :

$$(3s_{1/2}, 3p_{1/2}, 3p_{3/2}, 3d_{1/2}, 3d_{3/2})$$

ولدراسة طيوف  $\alpha$  شعة روتنجين المميزة أهمية عملية بالاضافة إلى أهميتها النظرية الكبيرة لأن منحنيات موزلى برهنت أن الخواص الدورية للذرة ناشئة عن الكترونات التكافؤ وحدها وليس عن الالكترونات الداخلية ، كما ثبت نهائيا أن الرقم الدورى  $Z$  الذى فرضه مندليف يتعين تماما بشحنة النواة ، ولقد أعطت دراسة بعض منحنيات موزلى الشاذة معلومات هامة عن امتلاء الغمامات الداخلية : مثل الغمامة  $3d$  ( العناصر ذات المغناطيسية

الحديدية) والغمامة  $4d$  (اللانثانيدات) ، كما أمكن بشكل صحيح تفسير البنية التعددية والتصحيحات المغزلية النسبية بعد ادخال مفهوم المغزل ، وهكذا تنسجم بشكل جيد نظرية طيوف رونتجين مع النظرية الكوانتية للذرات المبنية على أساس نظرية ديراك ودراسة الجسيمات .

د) اكتشاف قانون مندلييف الدورى . لقد رتب مندلييف العناصر المعروفة فى زمنه طبقا لتزايد وزنها الذرى وبرهن أن الصفات الكيميائية لهذه العناصر تتكرر بعد عدد معين من العناصر ، فمثلا يكرر الصوديوم والبوتاسيوم . . . ( المعادن القلوية ) الصفات الكيميائية لليثيوم ، أما الكلور والبروم واليود . . . ( زمرة الهالوجينات ) فتكرر الصفات الكيميائية للفلور ولذلك أعطى مندلييف لكل عنصر رقما دوريا يحدد مكانه فى الجدول الدورى ، وبالرغم من أن تزايد  $Z$  ينسجم مع زيادة الكتلة الذرية للعنصر فقد يوجد بعض الشذوذ ، مثل :



حيث سبق فيها العنصر ذو الوزن الذرى الأعلى العنصر ذا الوزن الذرى الأخف . واطافة إلى ذلك فقد اكتشفت مجموعة نظائر فى الوقت الحاضر وهى عبارة عن ذرات لها نفس العدد  $Z$  ولكنها تختلف بالكتلة ، فمثلا  $({}^1_1\text{H}, {}^2_1\text{H}, {}^3_1\text{H})$  . لقد أكد مندلييف نفسه أكثر من مرة أنه لا يوجد أى خطر على القانون الدورى باكتشاف عناصر جديدة إذ أن هذه الاكتشافات تعمه وتطوره ، ولقد اكتسب القانون الدورى أهميته الخاصة بهدى الاكتشافات الجديدة فى بنية الذرة والنواة لأن دراسة طيوف أشعة رونتجين وتجارب التشتت برهنت بشكل قاطع أن العدد  $Z$  يميز شحنة النواة كما يميز عدد الالكترونات فى الذرة المعتدلة ، عدا ذلك لقد كان معروفا 63 عنصرا لا غير فى زمن اكتشاف القانون الدورى وقد تنبأ مندلييف ، بوجود عشر

عناصر أخرى بالإضافة إلى أنه تنبأ بالخواص الفيزيائية والكيميائية لثلاثة منها : السكندريوم ( ${}_{21}\text{Sc}$ ) والهاليوم ( ${}_{31}\text{Ga}$ ) والجرمانيوم ( ${}_{32}\text{Ge}$ ) ثم اكتشفت الغازات الخاملة في نهاية القرن التاسع عشر ، ولم تعرف في عصر مندلييف سوى ثلاثة عناصر من رمزة اللانثانيدات (العناصر الترابية النادرة) : السيريوم ، الديديوم (خليط من البراسيوديوميوم والنيوديميوم) والاربيوم ، أما في عصرنا هذا فقد درست خواص أكثر من ١٤ عنصرا ترابيا نادرا ، وفي عام ١٩٣٧ عرف ٩٢ عنصرا وتبين أن أربعة منها مشعة وهي لا توجد عمليا في الطبيعة ، وقد تم الحصول عليها في الظروف المخبرية ، فقد حصل سيفري عام ١٩٣٧ على العنصر المسمى بالتكنيزيوم ذي الوزن الذري  $Z = 43$  وذلك بقذف عنصر الموليبدن بالديترونات وتبين أن نصف عمره يساوي  $2 \cdot 10^6$  سنة ، وقد ورد أول نبأ عن اكتشاف نظير العنصر النادر الأخير ذي  $Z = 61$  نتيجة لقذف النيوديميوم بالديترونات سنة ١٩٣٨ ولكن لم يتم الحصول عليه بشكل كاف ( $1,5g$ ) إلا في ١٩٤٧ حيث سمي البروميثيوم ، أما نصف عمر هذا النظير المستقر  ${}_{81}^{147}\text{Pm}$  فيساوي 2,5 عام . كما اكتشف سيفري عام ١٩٤٠ عنصرا ( $Z = 85$ ) سماه استاتيوم حيث تم الحصول عليه بتعريض البزموت لاشعاع الجسيمات  $\alpha$  ، أما نصف عمر النظير  ${}_{85}^{210}\text{At}$  الأكثر استقرارا فيساوي 8,3 ساعة ، واكتشف عام ١٩٣٩ العنصر قليل العمر المسمى بالفرانسيوم ( $Z = 87$ ) من قبل العالم الفرنسي بيري ، أما نصف عمر النظير  ${}_{87}^{223}\text{Fr}$  الأكثر استقرارا فيساوي 22 دقيقة . وأخيرا يجب التأكيد على أنه بتطور الفيزياء النووية أمكن الحصول على عناصر ما بعد اليورانيوم اعتبارا من النبتونيوم ( $Z = 93$ ) ، وفي عصرنا هذا استطاع العلماء تركيب 14 عنصرا من عناصر ما بعد اليورانيوم ، ولعل آخر هذه العناصر هو العنصر الكيميائي نو الرقم الدوري  $Z = 106$  . ولقد ورد أخيرا نبأ من مدينة دوبنا السوفيتية باكتشاف نظير قصير العمر ينقسم ذاتيا ( $Z = 107$ ) .

٥) تعبئة (ملء) الطبقات . تتم تعبئة سويات الطبقات الالكترونية في الميكانيكا الكوانتية حسب القواعد التالية :

- ١ - طبقا لمبدأ باولي ، لا يمكن أن يوجد أكثر من الكترون واحد في كل حالة كوانتية ، ولهذا فإن أكبر عدد من الالكترونات ذات  $l$  معينة يساوي  $2(2l + 1)$  الكترونا ، وهكذا يمكن أن يوجد كحد أعظمي في الغمامات  $s, p, d, f$  عدد من الالكترونات يساوي 2, 6, 10, 14 الكترونا على الترتيب .
- ٢ - ترغيب ، الالكترونات في اشغال السويات الأكثر انخفاضا ولهذا يجب أن تعبأ أولا الطبقات  $n = 1$  ثم الطبقة  $n = 2$  ثم  $n = 3$  . . . وتحدث مثل هذه التعبئة ، طبقا لما يسمى بالشكل المثالي عندما يتعين في الذرة ذات العدد الذري  $Z$  تأثير النواة مع  $(Z - 1)$  الكترونا بالكومون ( 25.33 ) ، وذلك بفرض أن كل هذه الشحنات تقع في المركز ، وعندئذ تكون طاقة الالكترون الباقي عبارة عن مجموعة سويات منطبقة ، كما في ذرة الهيدروجين ، بالعدد  $l$  ، كما برهنا سابقا ، أما غمامات الطبقة الواحدة ( أي ذات العدد الكوانتي الرئيسي المثبت  $n$  ) فتتوضع حسب ازدياد  $l$  ، ولهذا تمتلىء أولا الغمامة  $s$  ثم  $p$  ثم  $d$  ، ولكن يبدو أن الغمامة  $4s$  تتوضع تحت الغمامة  $3d$  وكذلك بالضبط الغمامة  $5s$  تحت  $4d$  ، وتتوضع الغمامة  $6s$  تحت  $5d$  و  $4f$  ، وبصورة مشابهة تكون  $7s$  تحت  $5f$  . ويبدو أن الطبقة الخارجية ( للذرات غير المهيجة ) تتألف من الغمامتين  $s, p$  وحدهما ، هذا ويمكن للغمامتين  $d$  و  $f$  أن تمتلئا عندما تقعان في الطبقتين الأولى والثانية على الترتيب ، وذلك إذا اعتبرت الطبقة الأولى الداخلية هي الطبقة المتوضعة مباشرة قرب الخارجية .

ملاحظة : تتم تعبئة الغمامات الالكترونية بالتتالي طبقا للقاعدة التالية : يتم تعبئة السويات كقاعدة عامة حسب تزايد مجموع العددين الكوانتيين الرئيسي والمدارى  $n + l$  أما إذا تساوى مجموع هذين العددين لعالتين مختلفتين فتم التعبئة كقاعدة عامة حسب تزايد  $n$  ( قاعدة كلينشكوفسكى ) . فلذا علمنا أن  $l$  تأخذ القيم  $0, 1, 2, \dots, n - 1$  فلننا نجد قاعدة لتعبئة الحدود الذرية في كل طبقة فمثلا يجب أن تتم تعبئة الدور الرابع بالترتيب التالي :  $4s (n + 1 = 4)$  ,  $3d (n + 1 = 5)$  ,  $4p (n + 1 = 5)$

$$6s (n + l = 6), 4f (n + l = 7), 5d (n + l = 7), 6p (n + l = 7)$$

ولنحاول برهان ذلك بواسطة أمثلة معينة ، تتم تعبئة الدورين الأول والثاني طبقا لقانون مندلييف تماما كما يجرى فى سويات ذرة الهيدروجين ، وتمتلئ الغمامة  $s$  فقط فى الطبقة  $n = 1$  أما فى الطبقة  $n = 2$  فتمتلئ الغمامة  $s$  أولا ثم الغمامة  $p$  ولو طبق هذا المخطط على الذرات المعقدة لتوجب أن تتوقع امتلاء الغمامة  $3d$  أولا ولكنه طبقا للجدول (25.1) يكون  $\delta_p = 0,146$  للكاليسيوم  $\delta_d = 2.23$  ولهذا تكون طاقتا الالكترولين الواقعين فى الحالتين  $3d, 4s$  على الترتيب :

$$E_{3d} = - \frac{Rh}{(3 - 0,146)^2} = - \frac{Rh}{2,854^2}$$

$$E_{4s} = - \frac{Rh}{(4 - 2,23)^2} = - \frac{Rh}{1,77^2}$$

ومنه ينتج أن  $E_{3d} > E_{4s}$  ولهذا يجب أن تمتلئ أولا السوية الأعمق  $4s$  وبعدها السوية  $3d$  ، وبالتالي يحوى الدور الأول كالدور الثانى تماما ثمانية عناصر ( $_{11}\text{Na} - _{18}\text{Ar}$ ) ويتألف من الغمامتين  $3s, 3p$  ، ويتوقع ، بعد أن تمتلئ الغمامة  $4s$  فى الكاليسيوم ، وجوب امتلاء الغمامة  $4p$  ولكن دراسة الطيوف تثبت امتلاء الغمامة  $3d$  فى العناصر التى تلى الكاليسيوم ( $_{21}\text{Sc} - _{28}\text{Ni}$ ) (ومن ضمنها العناصر ذات المغناطيسية الحديدية) ثم تستمر التعبئة النظامية ابتداء من  $_{29}\text{Cu}$  وانتهاء بـ  $_{30}\text{Zn}$  وهكذا يحوى الدور الرابع على 18 عنصرا ويتألف من الغمامات  $4s, 3d, 4p$  ويتكرر فى الدور الخامس ( $_{37}\text{Rb} - _{54}\text{Xe}$ ) أى أنه يحوى 18 عنصرا (تمتلئ الغمامات  $5s, 4d, 5p$ ) ويحوى الدور السادس على 32 عنصرا ( $_{55}\text{Cs} - _{86}\text{Rn}$ ) وذلك بسبب تعبئة الغمامة الأولى  $5d$  (عشر الكترونات) والغمامة الداخلية الثانية  $4f$

( 14 عنصرا من زمرة اللانتانيدات ) هذا بالإضافة إلى الطبقة الخارجية  $6s$  ، ويجب أن يكرر الدور السابع ما يحدث في الدور السادس أى أنه يحوى على 32 عنصرا ( الغمامات  $6s, 5f, 6d, 7p$  ) من هذا الدور ، أما ما يسمى بالاكينينات التى تملئ بالنسبة لها الغمامة الداخلية الثانية  $5f$  ( $_{90}\text{Th} - _{103}\text{Lr}$ ) فيجب أن تكرر اللانتانيدات ، وهكذا يحوى الدور الأول عنصرين ويحوى كلا من الثانى والثالث 8 ، أما الرابع والخامس فيحوى كلا منهما 18 والسادس والسابع 32 ( ولم يختم الدور السابع ) . والشكل ٢٥ - ٧ يبين ترتيب امتلاء الطبقات فى الذرات .

( و ) الدورية فى خواص العناصر . لقد أعطت الميكانيكا الكوانتية تفسيرا طبيعيا للدورية التى أكتشفها مندلييف فى خواص العناصر ، ويرتبط هذا التفسير للدورية فى تعبئة الطبقة الخارجية التى يمكن أن تحوى 8 الكترونات ( الحدود  $s, p$  ) والتى لا تحدد الخواص الضوئية وحدها وإنما الخواص الكيميائية للذرات أيضا ، ولهذا تقسم كل العناصر إلى ثمان فصائل ( انظر جدول مندلييف ) تبعا لعدد الالكترونات على المدار الخارجى ، حيث يوجد الكترون واحد على الطبقة الخارجية لعناصر الزمرة الأولى ( الهيدروجين والمعادن القلوية ) وهذا يؤدى إلى البنية التعددية للحدود الضوئية ( ما عدا الحد  $s$  ) أما العناصر نفسها فهى ، كما سنبرهن فيما بعد ، وحيدة التكافؤ\* . ويوجد الكترونا تكافؤ على الطبقة الخارجية فى عناصر الزمرة الثانية أى المعادن القلوية الترابية ( البيريليوم ، المغنزيوم ، الكالسيوم . . . ) ولهذا تكون الحدود الطيفية مفردة وثلاثية ، أما تكافؤها فيساوى 2 ، كما توجد ثلاثة الكترونات على الطبقة الخارجية فى عناصر

\* سندرس مسألة التكافؤ بشكل أكثر تفصيلا فى البند ٢٧ المخصص لبنية الجزيئات وهنا سنقتصر على ملاحظة صغيرة لأن التكافؤ الأيونى الموجب والمغزلى الأصغرى يتبعين بعدد الالكترونات فى الطبقة الخارجية ، أما التكافؤ الأيونى السالب فيتبعين بعدد الالكترونات الناقصة .

113* - 118*	7p	} (32) الدور السابع
<sup>104</sup> Ku, 105* - 112*	6d	
<sup>90</sup> Th - <sup>103</sup> Lr	5f	
<sup>89</sup> Ac	6d	
<sup>87</sup> Fr - <sup>88</sup> Ra	7s	
<sup>81</sup> Tl - <sup>80</sup> Rn	6p	} (32) الدور السادس
<sup>72</sup> Hf - <sup>80</sup> Hg	5d	
<sup>58</sup> Ce - <sup>71</sup> Lu	4f(14)	
<sup>57</sup> La	5d	
<sup>55</sup> Cs - <sup>56</sup> Ba	6s	
<sup>49</sup> In - <sup>54</sup> Xe	5p	} (18) الدور الخامس
<sup>39</sup> Y - <sup>48</sup> Cd	4d	
<sup>37</sup> Rb - <sup>38</sup> Sr	5s	
<sup>31</sup> Ga - <sup>36</sup> Kr	4p	} (18) الدور الرابع
<sup>21</sup> Sc - <sup>30</sup> Zn	3d(10)	
<sup>19</sup> K - <sup>20</sup> Ca	4s	
<sup>13</sup> Al - <sup>18</sup> Ar	3p	} (8) الدور الثالث
<sup>11</sup> Na - <sup>12</sup> Mg	3s	
<sup>5</sup> B - <sup>10</sup> Ne	2p(6)	} (8) الدور الثانى
<sup>3</sup> Li - <sup>4</sup> Be	2s	
<sup>1</sup> H - <sup>2</sup> He	1s(2)	(2) الدور الاول

الشكل ٢٥ - ٧ . مخطط امتلاء مستويات الطاقة بالالكترونات فى ذرات جدول مندليف للتصنيف الدورى للعناصر . الغمامتان *s* و *p* قد تتوضعان فى الطبقة الخارجية ، أما الغمامات *d* فقد تتوضع ابتداء من الطبقة الداخلية الاولى ، أما الغمامات *f* فقد تتوضع ابتداء من الطبقة الداخلية الثانية ( النجمة ترمز إلى أرقام بعض العناصر غير المكتشفة بعد ) .



الزمرة الثانية ولهذا يجب أن تنقسم حدودها الضوئية إلى أربعة أقسام كحد اعظمى ( رباعيات ) وهى ثلاثية التكافؤ ، وعلى العكس من ذلك نجد أنه يلزم لعناصر المجموعة الرابعة ( الفلور ، الكلور ، . . . إلخ ) الكترون واحد لكى تمتلئ طبقاتها ، ولهذا نرى أنه بجانب التكافؤ الموجب الأعظمى الذى يساوى سبعة ، يمكن أن يتواجد ما يسمى بالمركبات الايونية وحيدة التكافؤ ، أى أن لها تكافؤا احاديا سالبا وأخيرا تكون الطبقة الأخيرة فى الغازات الخاملة ( النيون ، الأرجون ، الكريبتون . . . ) مملوءة تماما بينما الطبقة الجديدة التى تأتى بعدها مباشرة لم تبدأ بالامتلاء بعد ، ولهذا السبب تنتسب هذه العناصر إلى الزمرة الثانية . ولهذه القاعدة العامة ( وجود ثمانية عناصر فى كل دور ) بعض الشذوذ ، ويكون الشذوذ الأول بالنسبة للهيدروجين  $Z = 1$  والهليوم  $Z = 2$  ، اللذان يؤلفان الدور الأول إذ لا توجد فى هذا الدور ثمانية عناصر وإنما عنصران لاغير ، وهذا ناتج عن عدم وجود الغمامة  $m$  فى الطبقة  $K$  ، ولهذا تكون لهذين العنصرين خواص مزدوجة إلى حد ما ، وفى الحقيقة يجب على الهيدروجين أن يكرر الخواص الكيميائية والضوئية للمعادن القلوية لأن له نفس عدد الالكترونات فى الطبقة الخارجية كما رأينا ، ومن المعلوم أن لكل منهما انقساماً أعظمية للحدود الطيفية يساوى اثنين وتكافؤ يساوى الواحد ، إلا أن الأمر يختلف إذا أخذنا عدد الالكترونات الناقصة فالهيدروجين ينكرنا بزمرة الهالوجينات ( ينقص الكترون واحد لامتلاء الطبقة الخارجية ) ولهذا يمكن أن يضم الكترونا واحدا إليه ليشكل شاردة سالبة تشبه الهالوجينات ويجب على الهليوم أن ينكرنا بخواص المعادن القلوية الترابية للفصيلة الثانية طالما أنه يملك نفس عدد الالكترونات على الطبقة الخارجية ( اثنان ) ويجب أن تكون لهذا العنصر كما للمعادن القلوية الترابية حدود طيفية احادية ( المغزل يساوى الصفر ) أو ثلاثية ( المغزل يساوى الواحد ) غير أن الهليوم يشبه تماما الغازات الخاملة فى خواصه الكيميائية لأن طبقة الخارجة مملوءة ، ولهذا يجب أن

لا يدخل من حيث المبدأ فى أى تفاعل كيميائى ويتضح من جدول مندلييف الدورى أنه ابتداء من السكانديوم ( $Z = 21$ ) وانتهاء بالنيكل ( $Z = 28$ ) (انظر جدول مندلييف فى أول الكتاب وآخره) تمتلئ الغمامة  $3d$  الداخلية ، فإذا عرفنا فى هذه احالة الفصيلة بعدد الالكترونات الواقعة على الغمامات  $3d, 4s$  فإنه يجب أن نضم إلى هذه الفصيلة فصيلتين اثنتين هما التاسعة (IX) والعاشرة (X) غير أن لهذه الأخيرة صفات تقليدية خاصة بها ولا ينطبق عليها التكافؤ المعرف ، بصورة عامة ، بعدد المغازل غير المعادلة التى لا يمكن أن تكون أكثر من ثمانية . هذا وتتشابه العناصر التالية : الحديد ( $Z = 26$ ) والكوبلت ( $Z = 27$ ) والنيكل ( $Z = 28$ ) فيما بينها ولهذا إذا اعتبرنا الخواص الفيزيائية والكيميائية كأساس لتشكيل زمرة ، فيمكن أن نضم جميعها فى فصيلة واحدة ولهذه العناصر خواص مغناطيسية حديدية مميزة ناتجة عن المغازل غير المعادلة للالكترونات فى الطبقة الداخلية ، وهذا يعود إلى أنه عند تشكيل الشبكة البلورية يبدو الحد  $3d$  أكثر توافقا (من وجهة نظر طاقوية) من الحدود الباقية التى تتعادل مغازل الكتروناتها\* . وتليها العناصر المغناطيسية الحديدية ، وابتداء من النحاس ( $Z = 29$ ) وانتهاء بالكريبتون ( $Z = 29$ ) تبدأ بالامتلاء الغمامة  $4s$  ثم الغمامة  $4p$  وعندئذ تختم الطبقة  $M$  ( $n = 4$ ) ولهذا ينتسب الكريبتون فى خواصه الفيزيائية والكيميائية إلى الغازات الخاملة . ويكرر الدور الخامس الذى يبدأ من المعدن القلوى الروبيديوم ( $Z = 37$ ) وينتهى بالغاز الخامل كزينون ( $Z = 54$ ) الذى يكرر ، كما نوهنا سابقا الدور الرابع ، ولا يحوى أى خواص جديدة . ولقد ساعدت الميكانيكا الكوانتية أيضا بلكتشاف الخاصة المميزة لتعبئة الطبقات الالكترونية لعناصر فصيلة اللانثانيدات ، وتتميز

\* نلاحظ بهذه المناسبة أنه يمكن للعناصر التى لا تحوى مغازل متعادلة فى الطبقة الداخلية لثنائية (الغمامة  $4p$ ) أن تكون مغناطيسية حديدية ولقد اكتشف هذا العنصر فى فصيلة للمعدن الترابية للثائرة وهو الجالوانينيوم ( $Z = 64$ ) .

عناصر هذه الزمرة بامتلاء الغمامة الالكترونية  $4f$  الأكثر عمقا ( الطبقة الداخلية الثانية  $N$  ) ابتداء من السيزيوم ( $Z = 58$ ) وانتهاء باللوتسيوم ( $Z = 71$ ) ، وبما أن الخواص الكيميائية تتحدد بصورة رئيسية بالكترونات الطبقة الخارجية فستكون جميع عناصر زمرة اللانتانيدات أكثر قربا فى خواصها الكيميائية من العناصر التى تمتلئ غمامتها الداخلية الأولى  $d$  . ومن الضرورى بهذا الصدد ، ملاحظة أن العلماء ظنوا لفترة طويلة أن الهافنيوم من فصيلة اللانتانيدات لكن التحليل النظرى الذى أجراه بور أثبت أنه لا يمكن أن تتواجد فى هذه الفصيلة أكثر من 4 عناصر ( العدد الممكن للحالات  $f$  ) ، وقد أكدت التجارب الدقيقة أن الهافنيوم يكرر خواص السيركونيوم ، وأن زمرة الاكتينيدات الموجودة فى الدور السابع تشبه زمرة اللانتانيدات حيث تتميز عناصر هذه الفصيلة التى تلى الاكتينيوم ، والتى تبدأ بالثوريوم ( $Z = 90$ ) ، تتميز بامتلاء الحدود العميقة  $5f$  من الطبقة 0 ( 14 عنصرا ) بينما تكون الحدود  $6s, 6p, 7s$  مملوءة تماما وتختتم زمرة الاكتينيدات باللورانسيم ( $Z = 103$ ) .

ز ) طريقة توماس - فيرمى الاحصائية . بجانب الطرائق التقريبية التى تشكلت فى الميكانيكا الكوانتية طورت طريقة احصائية جديدة تنطبق بصورة خاصة على الذرات الثقيلة ، وهى الطريقة التى وضعها كلا من توماس وفيرمى . وفيها ندرس الالكترونات بشكل مشابه لما فى نظرية المعادن فنعتبرها غازا الالكترونيا منطبقا ذا  $T = 0$  ، وهذه الطريقة تكون أقل دقة من طريقة هارترى - فوك فى الحقل الذاتى التناسق لأنها لا يمكن أن تأخذ بعين الاعتبار كثيرا من التفاصيل الخاصة بسلوك الالكترونات الفردية ، وبغض النظر عن هذا النقص فإن لطريقة توماس - فيرمى أهمية كبيرة لأنها تؤدى إلى تفسير بعض الخواص العامة للذرات بأسلوب بسيط ، وبالرغم من أن هذه الطريقة لا تستطيع اظهار البنية الغمامية للذرة فقد أمكن بواسطتها

تفسير الخواص العامة لامتلاء الغمامات الالكترونية . ولننتقل بعد هذه الملاحظات إلى استخراج معادلة توماس - فيرمي . تحيط النواة المشحونة ايجابيا في الذرات المشردة ( المؤينة ) غمامة الكترونات مشحونة سلبيا مما يحجب جزئيا الشحنة الموجبة للنواة ، وفي الذرات المشردة يتعين الكمون على مسافات تفوق ابعادها بالتقريب الأول بالعلاقة :

$$\Phi_{\infty} = \frac{(Z - N)e_0}{r} \quad (25.40)$$

حيث  $Z$  العدد الذري و  $N$  عدد الالكترونات ، وتكون  $Z = N$  للذرات المعتدلة ولهذا نجد  $\Phi_{\infty} = 0$  أى أن الالكترونات تحجب تماما تأثير النواة . نأخذ بعين الاعتبار ثلاثة أنواع من طاقات التفاعل عند بناء النظرية الاحصائية وهى التالية :

١ - الطاقة الكهربائية الساكنة . أى طاقة تجاذب النواة مع الالكترونات وهى ترتبط بكثافة الالكترونات  $\rho_0$  ( عدد الالكترونات الموجودة فى وحدة الحجم ) وتتحدد بالعلاقة :

$$V_{n.-e} = -e_0 \int \rho_0 \Phi_n d^3x \quad (25.41)$$

حيث  $e = -e_0$  هى شحنة الالكترون و  $\Phi_n = \frac{Ze_0}{r}$  هو الكمون .  
٢ - الطاقة الكهربائية الساكنة لتدافع الالكترونات فيما بينها :

$$V_{e.-e} = -\frac{e_0}{2} \int \rho_0 \Phi_e d^3x \quad (25.41a)$$

حيث

$$\Phi_e(r) = -e_0 \int \frac{\rho_0(r')}{|r - r'|} d^3x'$$

٣ - الطاقة الحركية لالكترونات الذرة . وقد اتبعت نفس الطريقة أثناء بناء نظرية الجسم الصلب فى الدرجة صفر ، حيث يرتبط متوسط الطاقة

الحركية لالكترون منفرد طبقا للعلاقات\* (5.78) و (5.79) مع كثافة الالكترونات  $\rho_0$  بالعلاقات ( $T_{av} = E_{av}$ ) ، أى أن :

$$T_{av} = \chi \rho_0^{3/2} \quad (25.41b)$$

حيث

$$\chi = \frac{3}{10} \frac{\hbar^2}{m_0} (3\pi^2)^{3/2} = \frac{3}{10} e_0^2 a_0 (3\pi^2)^{3/2} \quad (25.42)$$

ومنه نجد لحساب الطاقة الحركية للالكترونات العبارة التالية :

$$T = \chi \int \rho_0^{3/2} d^3x \quad (25.43)$$

وهكذا تساوى الطاقة الكلية لالكترونات الغاز فى حقل الذرة ، مجموع القسمين (25.41) و (25.41a) والطاقة الحركية ، انظر (25.43) ، أى أن :

$$E = T + V_{n.-e.} + V_{e.-e.} = \chi \int \rho_0^{3/2} d^3x - e_0 \int \rho_0 \Phi_n d^3x + \frac{1}{2} e_0^2 \int \frac{\rho_0(r) \rho_0(r') d^3x d^3x'}{|r-r'|} \quad (25.44)$$

وعندئذ يجب أن تحقق كثافة الالكترونات الشرط التالى :

$$\int \rho_0 d^3x = N \quad (25.45)$$

وبالانطلاق من مبدأ التغيرات الذى يمكن صياغته ، مع تحقق الشرط (25.45) بالشكل التالى :

$$\delta (E + e_0 \Phi_0 N) = 0 \quad (25.46)$$

فإنه يمكن ايجاد العلاقة بين الكمون الكلى  $\Phi = \Phi_n + \Phi_e$  وكثافة الالكترونات  $\rho_0$  أى أن :

\* لقد حصلنا على هاتين العلاقتين بعد أن فرضنا أنه لا يوجد أكثر من الكترونين فى حالة كوانتية مميزة بثلاثة اعداد كوانتية ، أى أن نظرية توماس - فهرمي الاحصائية تأخذ بعين الاعتبار مبدأ باولى بصورة آلية والذى يلعب دورا أساسيا فى نظرية الذرات متعددة الالكترونات .

$$\rho_0 = \frac{1}{3\pi^2 \hbar^3} (2m_0 e_0 (\Phi - \Phi_0))^{3/2} \quad (25.47)$$

حيث يجب أن نحسب مضروب لاغرانج  $\Phi_0$  (الذي يلعب دور كمون ما ثابت) ، من الشروط الحدية ، ولقد استفدنا عند استنتاج المعادلة الأخيرة من العلاقات التالية :

$$\begin{aligned} \delta \int \rho_0^{3/2} d^3x &= \frac{5}{3} \int \rho_0^{1/2} \delta \rho_0 d^3x, \\ \delta \int \rho_0 \Phi_0 d^3x &= \int \Phi_0 \delta \rho_0 d^3x, \quad \delta N = \int \delta \rho_0 d^3x \\ \delta \frac{e_0^2}{2} \int \frac{\rho_0(r) \rho_0(r')}{|r-r'|} d^3x d^3x' &= \\ &= \frac{e_0^2}{2} \int \frac{[\delta \rho_0(r) \rho_0(r') + \rho_0(r) \delta \rho_0(r')]}{|r-r'|} d^3x d^3x' = -e_0 \int \Phi_0 \delta \rho_0 d^3x \end{aligned} \quad (25.48)$$

وبتبديل عبارة كثافة الالكترونات (25.47) التي حصلنا عليها في معادلة بواصون (عندما يكون توزيع الالكترونات متناظرا كرويا) فإننا نجد :

$$\nabla^2 \Phi = \frac{1}{r} \frac{d^2}{dr^2} r \Phi = 4\pi e_0 \rho_0 \quad (25.49)$$

فإذا لاحظنا بعد ذلك أن  $\Phi_0 = \text{const}$  نحصل على معادلة توماس - فيرمي التي تعتبر أساس النموذج الاحصائي للذرة ، أى أن :

$$\frac{1}{r} \frac{d^2}{dr^2} r (\Phi - \Phi_0) = \frac{4e_0}{3\pi \hbar^3} (2m_0 e_0)^{3/2} (\Phi - \Phi_0)^{3/2} \quad (25.50)$$

ولكى ندرس مسائل محددة على أساس المعادلة (25.50) لا بد من حلها حسب شروط حدية معينة فإذا كانت الذرة مشردة فيمكن أن تكتب الشروط الحدية بالشكل التالي :

$$\Phi - \Phi_0 = \frac{Ze_0}{r}, \quad r \rightarrow 0 \quad (25.51)$$

$$\Phi = \frac{(Z - N) e_0}{r_0}, \quad r = r_0 \quad (25.52)$$

حيث يحسب المقدار  $r_0$  بتطبيق شرط انعدام كثافة الالكترونات عند  $r = r_0$  أى  $\rho_0(r_0) = 0$  ومنه نجد ل (25.47) أن :

$$\Phi_0 = \frac{(Z - N) e_0}{r_0} \quad (25.53)$$

وإذا أخذنا بعين الاعتبار معادلة بواصون (25.49) ، انظر أيضا (25.50) ، فإنه يمكن كتابة الشرط (25.45) بالشكل التالى :

$$\int_0^{r_0} r \frac{d^2 r (\Phi - \Phi_0)}{dr^2} dr = Ne_0. \quad (25.54)$$

وينتج من (25.53) ، عندما تكون الذرة معتدلة ( $N = Z$ ) أن  $\Phi_0 = 0$  ، ولهذا نحصل عوضا عن (25.54) على العلاقة التالية :

$$\int_0^{\infty} r \frac{d^2 r \Phi}{dr^2} dr = Ze_0,$$

وعوضا عن (25.52) :

$$\lim_{r \rightarrow \infty} r \Phi = 0 \quad (25.55)$$

ونلاحظ أن لمعادلة توماس - فيرمى الحل الدقيق التالى :

$$\Phi - \Phi_0 = \frac{81\pi^2 \hbar^4}{8m_0^3 e_0^5} \frac{1}{r^4} \quad (25.56)$$

وليس من الصعب التحقق من ذلك بتعويض (25.56) فى (25.50) ، والحل الذى حصلنا عليه للذرة المعتدلة يحقق أحد الشرطين الحديين وهو الشرط  $r \rightarrow \infty$  (25.55) ولكنه لا يحقق الشرط الثانى عندما  $r \rightarrow 0$  ، انظر (25.51) . ومع الأسف نقول أنه لا يمكن التعبير بشكل تحليلى بسيط عن حلول لمعادلة توماس - فيرمى تحقق كلا الشرطين السابقين .

ملاحظة : نلاحظ أن حل التكامل فى هذه الحالة بالطريقة العددية أسهل من حل معادلة هارترى - فوك لمببين : الأول هو أن معادلة توماس - فيرمى أبسط بكثير من معادلة هارترى - فوك والثانى أنه يمكن تحويل هذه المعادلة وشروطها الحدية (مثلا للذرة المعتدلة  $\Phi_0 = 0$  ،  $Z = N$ ) إلى الشكل العام غير المتعلق بـ  $Z$  ، ولهذا يجب فرض تابع جديد عوضا عن التابع  $\Phi(r)$  طبقا للعلاقة :

$$\Phi(r) = \frac{Ze_0}{r} f(x)$$

حيث

$$x = \frac{r}{a}, \quad a = a_0 \left( \frac{9\pi^2}{128Z} \right)^{1/3}$$

وعندئذ تأخذ المعادلة (25.50) الشكل التالي :

$$\sqrt{x} \frac{d^2 f}{dx^2} = f^{3/2} \quad (25.50a)$$

وينتج من الشروط الحدية (25.51) و (25.55) أن :

$$f(x) = 1, \quad x \rightarrow 0; \quad f(x) = 0, \quad x \rightarrow \infty \quad (25.51a)$$

والمعادلة الأخيرة عامة فهي لا تتعلق بـ  $Z$  (ولهذا يمكن تغيير المقياس المتعلق بـ  $Z$ ) عند استكمال معادلة توماس - فيرمي بالطريقة العددية ثم تطبيق المعادلة لدراسة أي ذرة ثقيلة .

وإذا بدلنا (25.51) في (25.47) نحصل لتغير الكثافة  $\rho_0$  عندما  $r \rightarrow 0$  على القانون التالي :

$$\rho_0 = \text{const } r^{-4/3} \quad (25.57)$$

ان تعميم الحل (25.56) على الذرة المعتدلة يعطى قيمة كبيرة لـ  $\Phi$  عندما  $r \rightarrow \infty$  وقد برهنت طريقة هارترى - فوك الأكثر دقة أن كثافة الالكترونات يجب أن تتغير بقانون أسى عندما  $r \rightarrow \infty$  ، وبما أننا نهتم بهذه المشكلة من الناحية الكيفية فقط فسنبين النظرية الاحصائية للذرة بشكل تقريبي بواسطة طريقة التغيرات وهذا ما يؤمن صياغة الحل بطريقة تحليلية ، ولكن هذا لا يخلو من بعض الأخطاء الكمية التي لن نهتم بها .

(د) حل معادلة توماس - فيرمي بطريقة التغيرات . عند حل المسألة الخاصة بالتغيرات يمكن فرض عدد غير محدود من توابع الاختبار التي تتبع وسطاء متغيرة مختلفة  $\lambda$  ، ونختار تابع الاختبار انطلاقاً من التصورات التالية : تتطلب منه أن يتطابق مع حل معادلة توماس - فيرمي عندما  $r \rightarrow 0$  (ويعتبر هذا المجال هاما عند حل هذه المسألة بصورة كلية) وأن يكون



لهذا التابع شكل بسيط يؤمن اجراء تكامل دقيق عند حساب الطاقة ، ولناخذ بمثابة تابع الاختبار الذى يحقق هذه الشروط ، التابع التالى :

$$\rho_0 = \frac{N\lambda^{1/2}}{16\pi r^{3/2}} e^{-\sqrt{\lambda}r} \quad (25.58)$$

حيث يعبر هذا التابع على العدد العام للالكترونات بالشكل التالى :

$$\int \rho_0 d^3x = \frac{N\lambda^{1/2}}{4} \int_0^{\infty} \sqrt{r} e^{-\sqrt{\lambda}r} dr = N \quad (25.58a)$$

ولهذا يتحقق الشرط (25.45) آليا ، ويبدو أن تابع الاختبار (25.58) يتغير بنفس الطريقة التى تتغير فيها الكثافة ( $\rho_0 \sim r^{-1/2}$ ) ، أنظر (25.57) ، وهذا ما يفسر بوضوح كما سنرى فيما بعد التوافق المقدارى لنتائج المحسوبة من جهة أولية بواسطة تابع الاختبار ، ومن جهة ثانية بواسطة الكمون المحقق لمعادلة توماس - فيرمى. ان الكمون الذى تخلقه الكترونات الذرة يساوى :

$$\Phi_e = -\frac{Ne_0}{r} (1 - e^{-\sqrt{\lambda}r} - \sqrt{\lambda}r e^{-\sqrt{\lambda}r}) \quad (25.59)$$

وليس من الصعب التأكد من ذلك إذا بدلنا على الترتيب عبارتى (25.58) و (25.59) وعبارة  $\rho_0, \Phi_e$  فى المعادلة :

$$\nabla^2 \Phi_e = 4\pi e_0 \rho_0$$

ثم إذا اعتبرنا  $\Phi_e = Ze_0/r$  فإننا نجد أن الكمون الكلى يحقق الشروط الحدية (25.52) من أجل  $r = r_0 - \infty$  وعندما تنعدم كثافة الشحنة وينعدم معها الحد الأسى  $e^{-\sqrt{\lambda}r}$  ونحسب بعد ذلك عبارة الطاقة الحركية من خلال الوسيط المتغير  $\lambda$  فنجد ، طبقا للعلاقات (25.43) و (25.58) ما يلى :

$$T = 4\pi\chi \left(\frac{N}{16\pi}\right)^{1/2} \lambda^{1/2} \int_0^{\infty} \frac{e^{-1/2\sqrt{\lambda}r}}{\sqrt{r}} dr = \frac{9}{400} \left(\frac{3\pi}{2}\right)^{1/2} N^{1/2} \lambda^2 e_0^2 a_0 \quad (25.60)$$

أما عبارتا طاقة التفاعل الكامنة للنواة مع الالكترونات ، أنظر ( 25.41 ) ،  
وطاقة التفاعل بين الالكترونات فهما على الترتيب :

$$V_{n.-e} = -\frac{ZNe_0^2}{8} \lambda^{1/2} \int_0^{\infty} \frac{e^{-\sqrt{\lambda}r}}{\sqrt{r}} dr = -\frac{ZNe_0^2\lambda}{2} \quad (25.61)$$

$$V_{e.-e} = \frac{N^2e_0^2}{8} \lambda^{1/2} \int_0^{\infty} \frac{dr}{\sqrt{r}} e^{-\sqrt{\lambda}r} (1 - e^{-\sqrt{\lambda}r} - \sqrt{\lambda}r e^{-\sqrt{\lambda}r}) = \frac{N^2e_0^2\lambda}{16} \quad (25.62)$$

وبجمع العلاقات ( 25.62 ) - ( 25.60 ) نحصل على الطاقة الكلية للغمامة  
الالكترونونية ( 25.44 ) وهى التالية :

$$E = A\lambda^2 - B\lambda$$

حيث

$$A = \frac{9}{400} \left(\frac{3\pi}{2}\right)^{1/2} N^{1/2} e_0^2 a_0, \quad B = \frac{1}{2} Ne_0^2 \left(Z - \frac{N}{8}\right) \quad (25.63)$$

ويمكن حساب الوسيط المتغير  $\lambda$  الذى يلعب دور مقلوب قيمة نصف القطر  
الفعال بتطبيق شرط النهاية للطاقة  $E$  ، أى  $\frac{dE}{d\lambda} = 0$  ومنه نجد أن :

$$R_{eff} = \frac{1}{\lambda} = \frac{9}{100} \left(\frac{3\pi}{2}\right)^{1/2} \frac{N^{1/2}}{\left(Z - \frac{N}{8}\right)} a_0 \quad (25.64)$$

$$E = \frac{1}{2} V = -\frac{B^2}{4A} = -\frac{25}{9} \left(\frac{2}{3\pi}\right)^{1/2} \frac{e_0^2}{a_0} N^{1/2} \left(Z - \frac{N}{8}\right)^2 \quad (25.65)$$

كما ونجد بصورة خاصة إذا كانت النرة معتدلة أن :

$$R_{eff} \approx 0,3 \frac{a_0}{Z^{1/2}}$$

$$E = -\frac{25}{9} \frac{49}{64} \left(\frac{2}{3\pi}\right)^{1/2} \frac{e_0^2}{a_0} Z^{1/2} = -0,758 \dots \frac{e_0^2}{a_0} Z^{1/2} \quad (25.66)$$

ومن الطريف ملاحظة أن الاستكمال العددي لمعادلة توماس - فيرمى  
يؤدى إلى نتيجة قريبة جدا وهى :

$$E^{T.-F.} = -0,769 \dots \frac{e_0^2}{a_0} Z^{1/2} = -20,94 Z^{1/2} eV \quad (25.66a)$$

وتعتبر هذه القيمة الأخيرة مقدارا مميزا لطاقة الارتباط الكلية ( طاقة التشرّد ) للذرة المعتدلة ، أى أنها الطاقة اللازمة لابعاد الإلكترونات من حول النواة ، هذا وبالرغم من أن القيم النظرية السابقة تعطى نتائج معقولة حتى بالنسبة لذرة الهيدروجين فهى تفوق القيم التجريبية ، زد على ذلك أن الأخطاء النسبية تصغر عندما تكبر  $Z$  ، انظر الجدول ٢٥ - ٢ .

### الجدول ٢٥ - ٢

القيم النظرية والتجريبية لطاقة التشرّد الكلية بوحدات  $e_0^2/a_0$

القيم التجريبية	القيم النظرية	العنصر
0,5	0,769	H
7,5	9,982	Li
162	206,9	Na
18130	21207	Hg

ط ( تطبيق طريقة توماس - فيرمى على نظرية الجدول الدورى للعناصر . لنحاول تحليل الترتيب الذى بموجبه تتم تعبئة الغمامات الالكترونية بطريقة توماس - فيرمى ، وبصورة خاصة سنحسب القيمة العنصرية لـ  $Z$  التى من أجلها تمتلئ الحالات  $s, p, d, f$  فى الذرات ، ويمكن حساب قيم  $Z$  هذه انطلاقا من اعتبارات فيرمى ١٩٢٨ . من المعلوم فى النظرية الكلاسيكية أن العزم الحركى  $L$  يرتبط بالاندفاع  $p$  بالعلاقة :

$$L = [rp]$$

ومنه نجد :

$$p_n^2 = \frac{L^2}{r^2}$$

حيث  $p_n$  مسقط الاندفاع على اتجاه متعامد مع نصف القطر  $r$  ، ومن الواضح أن مربع مسقط الاندفاع  $p_n^2$  لا يمكن أن يتجاوز قيمة مربع العزم الأعظمى الذى سنرمز له  $P = p_{\max}$  ، وإذا علم كل من  $r$  و  $P$  تكون للمقدار  $L$  قيما تحقق العلاقة :

$$P^2 > \frac{L^2}{r^2} \quad (25.67)$$

لقد رأينا فى البند ١٢ أثناء الدراسة شبه الكلاسيكية لمشكلة الذرة أن مربع العزم الحركى ، انظر ( 12.99 ) ، يساوى :

$$L^2 = \hbar^2 (l + 1/2)^2 \quad (25.68)$$

وتعتبر العلاقة الأخيرة عمليا كحد وسط بين علاقة بور حيث يكون  $L^2 = \hbar^2 l(l + 1)$  والعلاقة الكوانتية  $L^2 = \hbar^2 (l + 1)^2$  الخاصة بحساب مربع العزم الحركى . ومن المعلوم أن الاندفاع الأعظمى  $P = p_{\max}$  يرتبط بكثافة الغاز الالكترونى  $\rho_0$  بالعلاقة ( 5.77 ) ، أى أن :

$$P^2 = \hbar^2 (3\pi^2 \rho_0)^{2/3} \quad (25.69)$$

ويمكن حساب كثافة الالكترونات من معادلة توماس - فيرمى التى تحل كما رأينا بطريقة عددية أو تقريبية ، وهناك تقريب جيد لحساب  $\rho_0$  ينتج من حل معادلة توماس - فيرمى ، انظر ( 25.58 ) ، يعطى بالعلاقة التالية :

$$\rho_0 = \frac{2\lambda^{3/2}}{16\pi r^{1/2}} e^{-\sqrt{\lambda} r} \quad (25.70)$$

مع العلم أننا حسبنا المضروب  $\lambda$  بطريقة التغيرات ( طريقة ريتس ) ، وإذا بدلنا قيم  $r$  و  $L^2$  السابقة من المتراجحة ( 25.67 ) نجد أن :

$$\left(\frac{3\pi Z}{16}\right)^{1/2} \frac{\lambda}{r} e^{-1/2 \sqrt{\lambda r}} > \frac{(l + 1/2)^2}{r^2} \quad (25.71)$$

وبفرض متحول جديد  $\lambda r = x$  نجد

$$e^{-1/2 \sqrt{x}} > \frac{D}{x} \quad (25.72)$$

حيث :

$$D = (l + 1/2)^2 \left(\frac{16}{3\pi Z}\right)^{1/2} \quad (25.73)$$

ويبدو من المعادلة (25.72) أن الطرف الأيمن من (25.72) يصبح أكبر من الطرف الأيسر في الحالتين عندما  $(r \rightarrow 0)$  و  $(x \rightarrow 0)$  وعندما  $x \rightarrow \infty$  ، ولهذا يمكن أن تكون للالكترونات في الذرة قيمة معينة لـ  $l$  عندما يقع  $x$  في المجال  $x_1 < x < x_2$  بحيث تتحقق المترابحة (25.72) حيث  $x_1$  و  $x_2$  هما جزرا المعادلة :

$$e^{-1/2 \sqrt{x}} = \frac{D}{x} \quad (25.74)$$

أما شرط وجود حالة ذات قيمة معينة لـ  $l$  فهو إن يتساوى الجزران السابقان :

$$x_1 = x_2$$

وعندئذ لا يمكن مساواة التابعين نفسيهما فقط وإنما مشتقاتهما أيضا وهذا يعنى الحصول على علاقة ثانية بجانب العلاقة (25.74) وهى :

$$\frac{1}{3\sqrt{x}} e^{-1/2 \sqrt{x}} = \frac{D}{x^2} \quad (25.75)$$

وتحقق هاتان المساواتان عندما  $\sqrt{x} = 3$  المعادلة التالية :

$$D = 9e^{-2}$$

وبتبديل قيمة  $D$  هنا من (25.73) نجد قيمة  $Z$  التي من أجلها تظهر الكترونات ذات قيمة معينة  $l$  للمرة الأولى :

$$Z = \frac{2e^2}{81\pi} (2l + 1)^3 = \gamma (2l + 1)^3 \quad (25.76)$$

حيث  $e = 2,718 \dots$  أساس اللوغاريتم الطبيعي ، أما المعامل  $\gamma$  فيساوى 0,158. وإذا استفدنا من معادلة توماس - فيرمى لإجراء نفس الحسابات نجد أن المعامل  $\gamma$  يساوى  $\gamma_1 = 0,155$  ، وهنا نتأكد مرة ثانية أن الكثافة (25.70) هي بالفعل تقريب جيد وهي نفسها التي استنتجت من معادلة توماس - فيرمى . ولنحسب بالصيغة قيم  $Z$  التي من أجلها تبدأ بالامتلاء الحالات  $s, p, d, f$  ، ولقد لخصت نتائج الحسابات في الجدول ٢٥ - ٣ ، الذي يحوى بالسطر الأول قيمة كسرية لـ  $Z$  حسب الصيغة (25.76) .

الجدول ٢٥ - ٣

الأعداد  $Z$  التي من أجلها تظهر الكترونات ذات  $l$  معينة .

$f$	$d$	$p$	$s$	$l$
3	2	1	0	
53,2	19,4	4,2	0,15	القيمة النظرية لـ $Z$ طبقا لتوماس - فيرمى القيمة التجريبية لـ $Z$
54	20	5	1	
58 (Ce)	21 (Sc)	5 (B)	1 (H)	

حيث اعتبرت  $\gamma_{T-F} = 0,155$  . وقد أعطيت في السطر الثاني أقرب قيم صحيحة لـ  $Z$  ولكن من الجهة الأعلى أما في السطر الأخير فقد وضعت القيم التجريبية لـ  $Z$  التي من أجلها تظهر الالكترونات ذات  $l$  معينة ثم ذكر اسم العنصر المقابل لذلك ، ويبدو من هذا الجدول ، التوافق الجيد لهذه النظرية التقريبية مع المعطيات التجريبية ، ويلاحظ بهذا الصدد أننا نحصل على توافق دقيق تماما مع التجربة إذا وضعنا أن  $\gamma$  تساوى 0,169 بدلا من 0,155 .

ومن المعلوم أن إمكانية تعبئة الحدود  $s$  في العناصر الخفيفة وحدها ( $Z = 1,2,3,4$ ) أما تعبئة الحد  $p$  فيبدأ من البورن ( $Z = 5$ ) ، وهذا ما يتوافق كليا مع المعطيات التجريبية . ويبدو من الجدول ٢٥ - ٣ ( بغض النظر عن « خشونة ، النموذج الاحصائي ) أن امتلاء الغمامة  $3d$  لا يبدأ ، كما يمكن أن نتوقع ، من البوتاسيوم ( $Z = 19$ ) ولكنه ينسحب حتى العنصر Sc ( $Z = 21$ ) أى حتى تبنى الغمامة  $4s$  ، وبنفس الشكل يفسر نموذج توماس - فيرمى ، التوقف ، الحاصل في تعبئة الغمامة التي كان يمكن أن تمتلىء عند Ag ( $Z = 47$ ) إلا أنه طبقا للنظرية ، يجب أن يتأجل ذلك ويبدأ عند السيزيوم ( $Z = 58$ ) الذى ينتمى إلى زمرة اللانتانيدات ، وينتج أيضا من الصيغة (25.76) أن امتلاء الغمامة  $5g$  ( $l = 4$ ) للمرة الأولى سيكون ممكنا عندما  $Z = 124$  ، وهكذا نرى أن نموذج توماس - فيرمى يعطى تفسيراً مقنعا جدا لترتيب امتلاء الغمامات في الذرات المعقدة ، وبالإضافة إلى ذلك استطعنا بواسطة هذا النموذج ، حساب نصف قطر الذرات وطاقتات ارتباطها . هذا ويساعد نموذج توماس - فيرمى على حساب تأثير حجب الطبقات الالكترونية على تناثر الالكترونات السريعة على الذرات ، كما يساعد على حساب تأثير هذه الطبقات على اشعاع الايقاف وعلى خلق الأزواج الالكترونية - البوزيترونية .

## البند ٢٦ - الطيوف الجزيئية

أ) التقريب الادياباتي . الجزيء هو جملة تتألف من الكتلونات وبعض النوى ، وبما أن لنواة الهيدروجين ( البروتون ) وهو أخف العناصر ، كتلة أكبر من كتلة الالكترتون فيبدو من الممكن تقسيم حركة الجزيء ككل إلى حركتين : حركة النوى البطيئة وحركة الالكترونات السريعة ، إذ تتغير احداثيات النوى تغيرا بطيئا جدا عندما تتحرك الالكترونات بحيث يمكن اعتبار هذه النوى غير متحركة ( التقريب الادياباتي ) ، ولنكتب المعادلة الموجية لحركة الجسيمات في الذرة بالشكل التالي :

$$(E - H) \psi(r_i, R_j) = 0 \quad (26.1)$$

حيث  $r_i$  إحداثيات الالكترونات و  $R_j$  إحداثيات الذرات ويرتبط الهاملتونيان للجملة مع مؤثر الطاقة الحركية للالكترونات ( ذات الكتلة  $m_0$  ) .  
الآتي :

$$T_r = -\frac{\hbar^2}{2m_0} \sum_i \nabla_{r_i}^2 \quad (26.2)$$

ومع مؤثر الطاقة الحركية للنوى  $T_R$  الآتي :

$$T_R = -\frac{\hbar^2}{2} \sum_j \frac{1}{M_j} \nabla_{R_j}^2 \quad (26.3)$$

ومع مؤثر الطاقة الكامنة لكل الجسيمات  $V(r_i, R_j)$  ، بالعلاقة التالية :

$$H = T_r + T_R + V(r_i, R_j) \quad (26.4)$$

ولنبحث عن حل للمعادلة (26.1) بالشكل :

$$\psi(r_i, R_j) = \psi_r \psi_R \quad (26.5)$$



حيث  $\psi_r$  تابع لاحداثيات الالكترونات بينما يتعلق التابع الثانى  $\psi_R$  بإحداثيات النوى  $R_i$  ونلاحظ أن  $\psi_r$  يتبع  $R$  وسيطيا أيضا ، إلا أنه يمكن اعتبار  $R_i = \text{const}$  بالمقارنة مع الحركة السريعة للاكترونات ( التقريب الادياباتى ) ، ولنعوض ( 26.5 ) فى ( 26.1 ) ثم نفصل المتحولات فنجد أن :

$$\frac{1}{\psi_r} (E - T_r - V(r_i, R_j)) \psi_r = \frac{1}{\psi_R} T_R \psi_R = E_R - U(R_j) \quad (26.6)$$

حيث  $E_R - U(R_j)$  هو مقدار الفصل الذى يجب أن يعتبر ثابتا\* . وهكذا يؤمن التقريب الادياباتى فصل معادلة شرودينجر للجزيئات إلى معادلتين الأولى للنوى :

$$(E_R - U(R_j) - T_R) \psi_R = 0 \quad (26.7)$$

والثانية للاكترونات :

$$(E_r(R_j) - T_r - V(r_i, R_j)) \psi_r = 0 \quad (26.8)$$

حيث

$$E_r = E - E_R + U(R_j)$$

مع تحقق شرط سكون النواة التالى :

$$R_j = \text{const} \quad (26.9)$$

وسنقتصر فيما يلى على دراسة الجزيئات ثنائية الذرة وعندئذ يجب اعتبار أن  $U$  هى طاقة ترابط الذرات فى الجزيء ، أما بالنسبة للجزيئات المعقدة فمن السهل حساب  $U$  بقانون نصف تجريبى بالرغم من أنه يمكن فى بعض الحالات ( جزيء الهيدروجين مثلا ) حساب  $U$  انطلاقا من تصورات نظرية عن طريق حل المعادلة ( 26.8 ) .

\* يمكن أن يكون مقدار الفصل فى تعريفنا هذا تابعا لـ  $R_j$  ، غير أننا عزلنا من هذا التابع القسم  $E_R$  غير المتعلق بـ  $R_j$  وهو عبارة عن طاقة حركة النواة بينما يمثل المقدار  $U(R_j)$  طاقة التفاعل الكامنة .

ب) طيف الجزيئات ثنائية الذرة . لندرس أولا حركة النواة في الجزيء ثنائي الذرة بفرض أن كتلة إحدى النواتين  $M_1$  وكتلة الثانية  $M_2$  ، أما طاقة التفاعل بينهما فتساوى :

$$U(R_1 - R_2).$$

وإذا وضعنا مبدأ الاحداثيات في مركز العطالة وفرضنا احداثيا نسبيا ، انظر البند ١٢ ، فإننا نجد :

$$r = R_1 - R_2 \quad (26.10)$$

وعندئذ يمكن أن نكتب

$$P_1 = -P_2 = -i\hbar\nabla$$

حيث

$$\nabla_x = \frac{\partial}{\partial x}, \quad \nabla_y = \frac{\partial}{\partial y}, \quad \nabla_z = \frac{\partial}{\partial z} \quad (26.11)$$

ولذلك تأخذ معادلة شرودينجر التي تصف حركة النوى ، انظر ( 26.7 ) ، الشكل التالي :

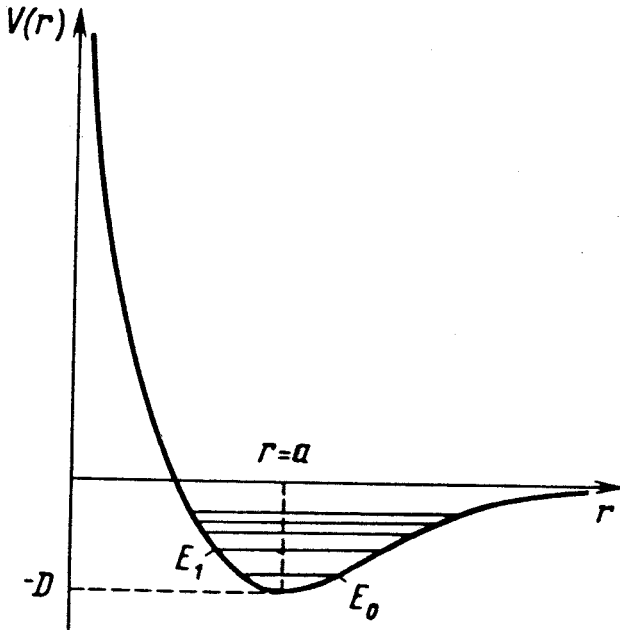
$$\nabla^2 \psi_R + \frac{2M_{red}}{\hbar^2} (E_R - U(r)) \psi_R = 0 \quad (26.12)$$

حيث  $M_{red}$  الكتلة المختزلة التي تعطى بالعلاقة :

$$\frac{1}{M_{red}} = \frac{1}{M_1} + \frac{1}{M_2} \quad (26.13)$$

وبالرغم من أننا لا نعرف الطاقة  $U(r)$  فمن الممكن الحصول على بعض خصائصها العامة التي تبدو ضرورية لكي يكون الجزيء مستقرا ، ولنفرض أولا أن للطاقة الكامنة تناظرا مركزيا أي أنها تتبع فقط القيمة المطلقة لـ  $r$  ثم إذا فرضنا أنه لا يمكن للذرات أن تكون قريبة جدا فيجب أن نفرض أن  $U(r \rightarrow 0) \rightarrow \infty$  هذا بالإضافة إلى أنه يجب أن يهمل تفاعل الذرات على

مسافات بعيدة ولهذا يكون  $U(r \rightarrow \infty) = 0$  ، وباعتبار أن الجزيء يجب أن يكون جملة مستقرة عندما يكون البعد بين الذرتين مساويا قيمة معينة  $(r = a)$  فإن الطاقة الكامنة عند هذه النقطة ستصبح سالبة وتأخذ قيمة صغرى ( إذا لم يتحقق ذلك فإن الجزيء يتحطم ) . ويوضح الشكل ٢٦ - ١ الخواص العامة للطاقة الكامنة فإذا كان المقدار  $x = r - a$  ( يمثل انحراف



الشكل ٢٦ - ١ . منحني الطاقة الكامنة للجزيء ثنائي الذرة .

الجزيء عن وضع توازنه المعين بالمقدار  $a$  ( صغيرا  $(x \ll a)$  فإنه يمكن نشر الطاقة الكامنة  $U(r)$  في سلسلة بجوار النقطة  $r = a$  ، أى أن :

$$U(r) = U(a + x) = U(a) + xU'(a) + \frac{x^2}{2}U''(a) + \dots \quad (26.14)$$

وبالاقتصار على الحدود الثلاثة الأولى في النشر واعتبار أن للتابع  $U$  نهاية صغرى في النقطة  $r = a$  وبالتالي  $U'(a) = 0$  و  $U''(a) > 0$  نرى أن العبارة

(26.14) تكتب بالشكل \* التالي :

$$U(r) = -D + \frac{M_{\text{red}} \omega^2 x^2}{2} \quad (26.15)$$

ويمثل المقداران  $U''(a) = M_{\text{red}} \omega^2$  و  $U(a) = -D$  عامل مرونة الجزيء وطاقة تفككه \*\*. ولكي نحسب سويات طاقة هذا الجزيء ( أى طيفه ) نستخدم معادلة شرودينجر الخاصة بالقسم القطرى من أتابع الموجى لأن للطاقة الكامنة (26.15) تناظرا مركزيا ، وبما أن ما يهمنا هو الحركة النسبية وحدها لذلك نستبدل فى (10.21) بـ  $m_0$  ، وعندئذ نحصل على المعادلة :

$$\nabla_r^2 R + \left[ \frac{2M_{\text{red}}}{\hbar^2} (E - U(r)) - \frac{l(l+1)}{r^2} \right] R = 0 \quad (26.16)$$

وإذا لاحظنا أن :

$$\nabla_r^2 R = \frac{1}{r} \frac{d^2(rR)}{dr^2}$$

وبفرض أتابع

$$rR = u \quad (26.17)$$

نجد بعد تبديل (26.15) فى (26.16) المعادلة أتالية :

$$\frac{d^2 u}{dr^2} + \frac{2M_{\text{red}}}{\hbar^2} \left\{ E + D - M_{\text{red}} \frac{\omega^2 x^2}{2} - \frac{\hbar^2 l(l+1)}{2M_{\text{red}} r^2} \right\} u = 0 \quad (26.18)$$

وبما أن  $x \ll a$  فى الحد الأخير اعتبار أن

$$\frac{1}{r^2} = \frac{1}{(a+x)^2} \approx \frac{1}{a^2}$$

\* يختار الكون  $U(r)$  عادة بالشكل  $U(r) = D \left( 1 - e^{-\sqrt{\frac{M_{\text{red}}}{2D}} \omega x} \right)^2 - D$  وهو فكتور تجريبى اقترحه مورس وباختيار مناسب للثابتين يمكن لهذا الكون أن يمثل تقريبا تبعية الكون للمسافة بين الذرتين وسندرس فى البند القادم كيفية تشكل القوى بين الجزيئات من وجهة النظر الكوانتية .

\*\* تعرف طاقة التفكك بأنها العمل الذى يجب صرفه ( بالتقريب إلى طاقة الامتزاز الصفرية ) لى تتمزق الذرة وتكون هذه الطاقة ، كقاعدة عامة ، من رتبة عدة الكترون فولطت .

وإذا فرضنا أن :

$$E + D - B\hbar l(l+1) = E' \quad (26.19)$$

حيث  $B = \frac{\hbar}{2J}$  و  $J = M_{\text{red}} a^2$  فيمكن تحويل (26.18) إلى الشكل التالي :

$$u'' + \frac{2M_{\text{red}}}{\hbar^2} \left( E' - M_{\text{red}} \frac{\omega^2 r^2}{2} \right) u = 0 \quad (26.20)$$

وتتطابق هذه المعادلة مع معادلة الهزاز التوافقي (7.14) ولهذا يكون

$$E' = \hbar\omega (\kappa + 1/2) \quad (26.21)$$

حيث  $\kappa$  هو العدد الكوانتي  $\kappa = 0, 1, 2, 3, \dots$  وهكذا نحصل على طاقة الجزيء  $E$  ، بما فيها الطاقة الدورانية والاهتزازية ، وهي :

$$E = -D + B\hbar l(l+1) + \hbar\omega (\kappa + 1/2) \quad (26.22)$$

وهنا يمثل الحد الأول طاقة التفكك بينما يتعلق الحدان الثاني والثالث بدوران الجزيء واهتزازه على الترتيب ونلاحظ بالمناسبة أن عدد السويات للطاقة المنقطعة للجزيء محدود لأن الجزيء يتحطم عندما تتحقق العلاقة :

$$B\hbar l(l+1) + \hbar\omega (\kappa + 1/2) \geq D$$

ومن الممكن تفسير تحطم الجزيء عندما تكبر الأعداد الكوانتية بما يلي : تصبح سعة الاهتزاز عندما  $k \gg 1$  كبيرة إلى درجة أن الذرات على هذه المسافة لا تتفاعل مع بعضها وبالتالي لن يبق الجزيء كجمله مترابطة وهذا ما يحدث أيضا ( تحطم الجزيء ) عندما تكبر الأعداد الكوانتية المدارية  $l$  التي تختص بطاقة الدوران .

ولنتنقل الآن إلى دراسة الطيف الدوراني الاهتزازي ، وهنا سنعتبر أن وضع الخط الطيفي على سلم الطيف يتعين بصورة رئيسية بالطاقة الاهتزازية لأنها تفوق ، بالقيمة ، الدورانية (  $\lambda_{\text{vib}} \sim 10^{-3} \text{cm}$  ،  $\lambda_{\text{rot}} \sim 10^{-2} \text{cm}$  ) وعندئذ إذا لاحظنا أن الانتقالات التلقائية تحدث فقط من الأعلى إلى الأسفل

أى بتغيير  $k$  إلى  $k-1$  وأن العدد الكوانتى المدارى يتغير ، طبقا لقواعد الانتقاء ، أما إلى القيم الأصغر  $(l-1)$  أو إلى القيم الأكبر  $(l+1)$  ، فيمكن حساب تواتر الاشعاع بالعلاقة :

$$\omega' = \frac{E(\kappa, l) - E(\kappa - 1, l \pm 1)}{\hbar}$$

وطبقا لـ (26.22) نجد أن

$$\omega' = \omega + \omega_{ll'} \quad (26.23)$$

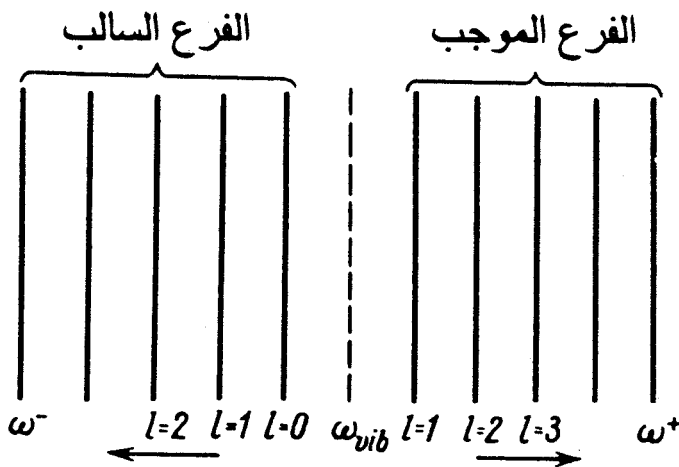
وهنا فرضنا أسوة بـ (11.29) و (11.30) أن  $\omega_{l, l-1} = 2Bl$

وأن

$$\omega_{l, l+1} = -2B(l+1)$$

أما  $\omega$  فتساوى

$$\omega = \frac{E_{\kappa} - E_{\kappa-1}}{\hbar}$$



الشكل ٢٦ - ٢ . الطيف الاهتزازى الدورانى للجزيء ثنائى الذرة .

وهكذا نحصل ، كما هو مبين على الشكل ٢٦ - ٢ ، على الفرعين التاليين :

$$\omega^+ = \omega_{\text{vib}} + 2Bl \quad , \quad \omega^- = \omega_{\text{vib}} - 2B(l+1) \quad (26.24)$$

وتشاهد مثل هذه الطيوف في جزيئات CO و HCl .

وتعتبر دراسة طيوف الجزيئات الاهتزازية الدورانية ذات أهمية كبرى ، فيمكن مثلا من خلال هذه الدراسة حساب عزوم عطالة هذه الجزيئات وتركيبها النظري ( وتختلف عزوم عطالة الجزيئات المؤلفة من نظائر مختلفة تبعا لاختلاف هذه النظائر ) ، ولندرس أخيرا طيف جزيء عندما تقع إحدى ذراته في وضع مهيج ، أى عندما ينتقل أحد الكترونات هذه الذرة من سوية طاوية أعلى  $n$  إلى أنى  $n'$  ولذلك يمكن كتابة طاقة هذا الجزيء بالشكل :

$$E_x = E_n + E_k + E_l \quad (26.25)$$

حيث  $E_n$  طاقة الذرة المهيجة التى تحسب ، لذرة الهيدروجين مثلا ، ( بصيغة بالمير )

$$E_n = - \frac{R\hbar}{n^2} \quad (26.26)$$

أما الطاقتان الاهتزازية والدورانية فتعطيان على الترتيب بالعلاقتين

$$E_k = -D + \hbar\omega(k + 1/2) \quad (26.27)$$

$$E_l = B\hbar l(l+1) \quad (26.28)$$

وتتغير طاقة الجزيء نتيجة للانتقالات الاشعاعية فتصبح :

$$E_{x'} = E_{n'} + E_{k'} + E_{l'} \quad (26.25a)$$

وبما أن القسم الأكبر من طاقة الاشعاع سينتج عن انتقال الالكترون من  $n$  إلى  $n'$  فى الذرة فيمكن لكل من العددين الكوانتيين  $k, l$  أن يزداد أو ينقص

$$\kappa' = \kappa \pm 1, \quad l' = l \pm 1 \quad (26.29)$$

حصوله عامة لذلك سيحدث ضياع طاقة بالاشعاع على حساب انتقال الإلكترون في الذرة ، وهنا تبرز مسألة هامة وهي أن ارتباط الذرات في الجزيء يتعلق ، بشكل أساسي ، بترتيب الغمامة التي يقع فيها الإلكترون ، ولهذا من الطبيعي أن تتغير طاقة الارتباط نتيجة لانتقال الإلكترونات وهذا ما يؤدي بدوره إلى تغير البعد بين الذرات ، ولندرس بالتحديد قبل كل شيء ما يحدث عندما ينتقل الإلكترون من سوية مهيجة إلى السوية الأساسية حيث تزداد المسافة بين الذرتين وبالتالي تزداد  $J = M_{red} a^2$  ويصغر المقدار  $B = \frac{\hbar}{2J}$  ونتيجة لذلك تقل الطاقة الدورانية بعض الشيء وتصبح :

$$E_{l'} = B' \hbar l' (l' + 1) \quad (26.28a)$$

وسنجرى التحليل اللاحق من أجل  $B' < B$  أما تواتر الاشعاع فيحسب بدون إهمال الانتقالات الدورانية والاهتزازية بالعلاقة :

$$\omega_{\mu} = \frac{E_n - E_{n'}}{\hbar} \pm \omega + \omega_{l, l'} \quad (26.30)$$

حيث

$$\omega_{l, l'} = Bl(l+1) - B'l'(l'+1) \quad (26.31)$$

وإذا رمزنا للمقدار  $\omega_0 = \frac{E_n - E_{n'}}{\hbar} \pm \omega$  نجد أن (26.30) تصبح كما يلي :

$$\omega_{\mu} = \omega_0 + \omega_{l, l'}$$

ومن هنا نحصل على ثلاثة تواترات فرعية للطيف المخططة ( الشريطية ) للجزيئات :

$$\omega^+ = \omega_0 + \omega_{l, l-1} \quad (\text{الفرع } R) \quad (26.32)$$

$$\omega^- = \omega_0 + \omega_{l, l+1} \quad (\text{الفرع } P) \quad (26.33)$$

$$\omega^0 = \omega_0 + \omega_{l, l} \quad (\text{الفرع } Q) \quad (26.34)$$



حيث يقابل الفرع الأول الموجب ( الفرع  $R$  ) من هذه العلاقات الانتقالات بين السويات الطاقوية الدورانية من الأعلى إلى الأسفل ، بينما يقابل الفرع السالب ( الفرع  $P$  ) الانتقالات من الأسفل إلى الأعلى ، أما الفرع الثالث ( الفرع  $Q$  ) المسمى الفرع الأصغرى فينشأ عندما لا تحدث الانتقالات بين السويات الدورانية وهو ناتج كلياً عن تغير عزم العطالة الناجم عن الانتقالات داخل الذرة ، وبملاحظة (26.31) نستطيع كتابة الفروع السابقة بالشكل :

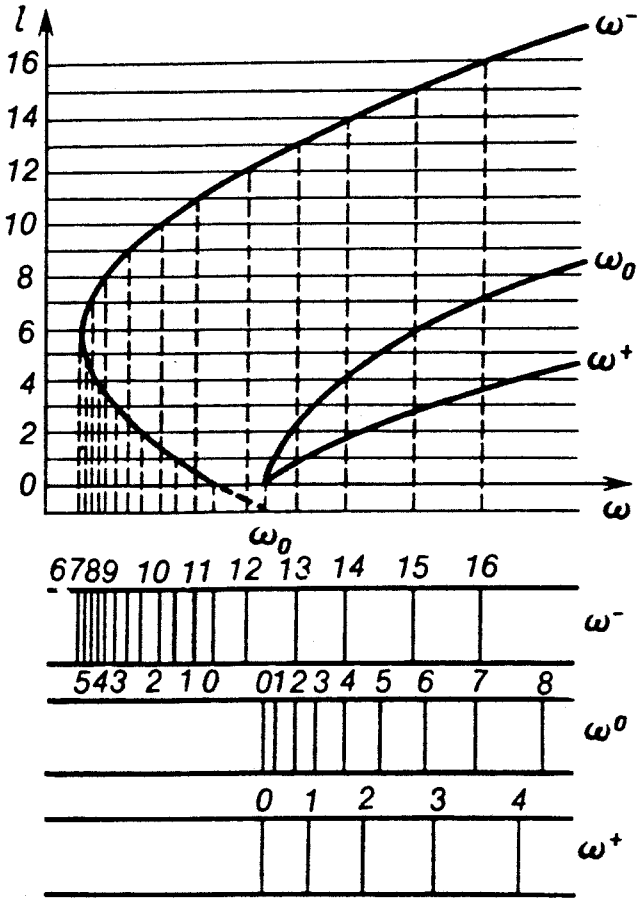
$$\omega^+ = \omega_0 + (B - B')l^2 + (B + B')l \quad (26.32a)$$

$$\omega^- = \omega_0 + (B - B')(l + 1)^2 - (B + B')(l + 1) \quad (26.33a)$$

$$\omega^0 = \omega_0 + (B - B')(l^2 + l) \quad (26.34a)$$

ولقد تم تمثيلها بيانياً على الشكل ٢٦ - ٣ حيث وضعنا  $\omega$  على محور الفواصل ( السينات ) و  $l$  على محور الترتيب ( العينات ) ( مخطط فورتر ) ، وهكذا نرى أنه نتيجة لتراكب الخطوط الدورانية  $\omega_{l,l}$  على الخط الاهتزازى الالكترونى نجد شريطاً كاملاً طرفه حاد من اليسار وطرفه انسيابى من اليمين وهذا ما يتوافق مع النتائج \* التجريبية . وفى الختام نلاحظ وجود ثلاثة أنواع مختلفة من الطيوف : الطيف المستمر : الصادر عن الأجسام المسخنة ( مثلاً الاشعاع الصادر عن الجسم الأسود الذى يعطى توزعه الطيفى بصيغة بلانك ) ، والطيف الخطى أو الذرى الناتج عن انتقالات الالكترونات فى الذرات من سوية إلى أخرى ( كمثال على ذلك سلسلة بالميرفى نرة الهيدروجين ) ، وأخيراً ( الطيف الشريطى الناتج عن اشعاع الجزيئات ) الذى يكون مضيئاً وذا نهاية حادة من جهة التواترات

\* من السهل إجراء مناقشة مشابهة عندما  $B < B'$  و  $B = B'$



الشكل ٢٦-٣: الطيف الشريطية (المخططة) للجزيئات  
 (مخطط فورتر):  $\omega^+$  - الفرع الموجب  $R$  و  $\omega^-$  - الفرع  
 السالب  $R$  و  $\omega^0$  - الفرع الصفري  $Q$ .

الأكبر . ولاتستطيع سوى أجهزة الطيف ذات التبريد القوى إظهار أن هذا الطيف يتألف من جملة خطوط طيفية منفصلة ، وترتبط هذه الطيف ، كما برهنا منذ قليل ، بالطبيعة الدورانية لحركة الجزيئات .

أ) الأنواع الرئيسية للروابط الكيميائية . تتعين الخواص الكيميائية للعناصر وطيوها الضوئية أيضا ، بشكل رئيسي ، بالكترونات الطبقة الخارجية التي يمكن أن تتألف من الغامتين  $s$  و  $p$  ، ولهذا يجب أن يستخدم التناسق الموجود في أساس الدورية الضوئية ( مثلا انقسام الحدود في الأطياف الذرية . . . ) كأساس لبناء نظرية الخواص الكيميائية للعناصر ، تلك الخواص التي تتكرر دوريا ، ونلاحظ بهذه المناسبة تكرار الخواص الأخيرة ليس للذرة المعزولة وحدها وإنما لعدة ذرات تؤلف جزيئا أيضا ، إذ لا تؤثر الكترونات الطبقات الداخلية تقريبا على العمليات الكيميائية لأنها ترتبط مع الذرة بشكل أقوى بكثير من الالكترونات الخارجية ، ولهذا تكون الطاقة المصروفة في التفاعلات الكيميائية أصغر بكثير من طاقة ارتباط الكترونات الطبقات الداخلية . ولا بد من التفريق بين نوعين رئيسيين من الارتباطات الكيميائية : الرابطة الأيونية (مختلفة الأقطاب) والذرية (متجانسة الأقطاب) وسندرس بالتفصيل كلا من النوعين .

ب) الجزيئات مختلفة الأقطاب . من المعلوم أن الأملاح اللاعضوية تتركب من طبقتين أيونيتين موجبة وسالبة تتجانبان بقوة كهربائية ( كولونية ) مما يجعل الذرات متماسكة ضمن الجزيء ، ويسمى مثل هذا الاتصال بالاتصال الأيوني فيما يسمى الجزيء في هذه الحالة : بجزيء مختلف الأقطاب ، ومن المعلوم أن الأيونات تكون على نوعين : موجبة وسالبة . وتتبع إشارة الأيون ( الشاردة ) من جهة كمون التشرد ، أي الطاقة اللازمة لاقتلاع الالكترون الخارجى ، ومن جهة أخرى تتبع الفة الالكترون أي أنها تتوقف على الطاقة التي تستطيع بواسطتها الذرة المعتدلة أن تحتفظ بالكترون إضافى على طبقتها الخارجية . ولنفترض أن ذرة معتدلة عددها

الذرى  $Z$  ولها  $N$  الكترونا على المدارات الداخلية و  $Z_0 = Z - N$  الكترونا على المدار الخارجى وعندئذ ستحجب تماما الكترولونات الطبقة الداخلية تأثير القسم المقابل من النواة على الكترولونات الطبقة الخارجية ولهذا تكون الطاقة الكامنة التى تحفظ الكترولونات الطبقة الخارجية بالشكل التالى :

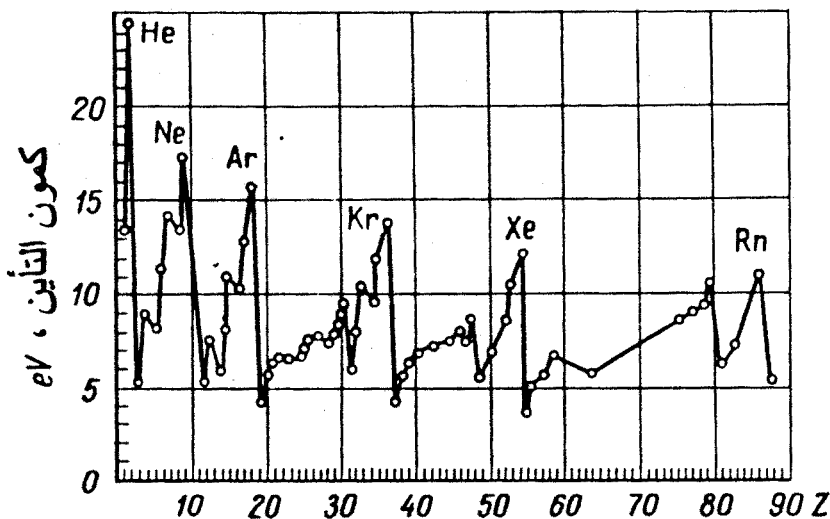
$$V = - \frac{Z_0 e_0^2}{r}$$

وبنفس الطريقة أيضا يجب أن تحجب تماما الكترولونات الطبقة الخارجية تأثير قسم النواة الباقى  $Z_0 e_0$  عن الغمامات الالكترونية الموجودة وراء الغمامة الخارجية ( أى غمامات الحالات المهيجة ) ولن يتعادل تماما القسم الباقى من شحنة النواة مع الطبقة الخارجية ، ولهذا تستطيع النواة أن تحتفظ بالكترولونات إضافية فى المدار الخارجى مما يؤدي إلى تشكل شاردة سالبة\* .

ويوضح الشكل ٢٧ - ١ تابعة طاقة التشردد  $Z$  التى تبلغ نهاية صغرى فى المعادن القلوية وعظمى فى الغازات الخاملة ، وهذا المنحنى يتكرر بصورة عامة مع تكرار الالكترولونات نفسها على الطبقة الخارجية ، ويجب أولا ملاحظة أنه ليس من الملائم لذرات الغازات الخاملة، طاقويا،والتى تبلغ عندها طاقة التشردد قيمة كبرى أن تعطى الكترونا خارجيا لنرة أخرى ، كما أنها لا تستطيع الاحتفاظ بالكترولون إضافى على الطبقة الخارجية التى تكون

---

\* ننكر على سبيل المثال أن عشر الكترولونات واقمة على المدارات الداخلية للصوديوم ( $Z = 11$ ) تحجب تماما تأثير عشرة وحدات شحنة من النواة ، أما الالكترولون الباقى فيحجب جزئيا شحنة النواة عن المدار الخارجى ، وفى ذرة الكلور ( $Z = 17$ ) فإن عشر الكترولونات داخلية تحجب تماما الطبقة الخارجية أما الالكترولونات المبعدة الباقية فتحجب جزئيا عن النواة ولهذا يكون من السهل على ذرة الكلور أن تحتفظ بالكترولون وتتحول إلى شاردة ( $Cl^-$ ) بينما يسهل على ذرة الصوديوم أن تترك الكترولون لتتحول إلى شاردة موجبة ( $Na^+$ ) .



الشكل ٢٧ - ١ . تابعة طاقة التأين للرقم الذري من أجل ذرة معتدلة .

مملوءة تماما ، ولهذا لا يمكن طبقا لمبدأ باولي أن يوجد الكترون تاسع ، وقد كان يعتقد دائما أن الغازات الخاملة لا يمكن أن تتواجد إلا في الحالة الذرية ، غير أنه تم اكتشاف بعض مركباتها الكيميائية منذ فترة قصيرة ، ويسهل على الكترولونات المعادن القلوية والقلوية الترابية أن تمنح الكترولون تكافؤها إلى ذرة أخرى ( طاقة التشرذ عندنا صغرى ) لتتحول بهذا إلى شاردة موجبة مثلا  $(Na^+)$  ، وعلى العكس من ذلك نرى أن لذرات الزمرة السابعة ( الهالوجينات ) وكذلك الزمرة السادسة ( الاكسجين وغيره ) طاقة تآلف عظمى مع الالكترولون بالمقارنة مع العناصر الأخرى ، انظر الجدول ٢٧ - ١ ، وأن طاقة تآلف الالكترولون في الصوديوم وفي الذرات الخاملة تنعدم عمليا . ولقد حاول كوسل لأول مرة بناء نظرية الارتباط الأيونى عام ١٩١٦ انطلاقا من نظرية بور في بنية الذرة ، فقد بنى كوسل نظريته على أساس انغلاق الطبقات ذات الثمانية الكترولونات في الغازات الخاملة التي ليس لها أى تكافؤ . ويعرف التكافؤ الموجب ( أو التكافؤ بالنسبة للهيدروجين )

## طاقة تآلف بعض العناصر مع الالكترن

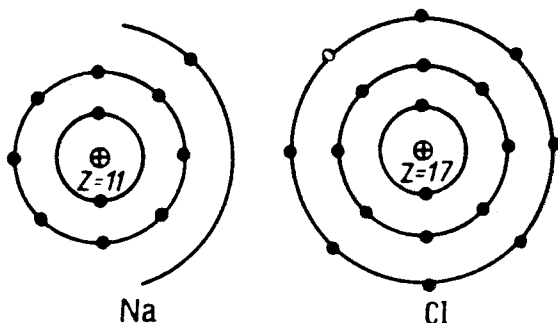
العنصر	طاقة التآلف مع الالكترن	العنصر	طاقة التآلف مع الالكترن
H	0,71	Cl	3,72
F	4,13	O	3,07

بعدد الالكترونات في الطبقة الخارجية التي يسهل الاستغناء عنها ( ذرات الزمرتين I و II ) ، أما التكافؤ السالب ( أى التكافؤ بالنسبة للفلور أو الثنائي بالنسبة للاكسجين ) فيعرف بعدد الالكترونات التي يمكن أن تنضم للذرة ، أى عدد الأمكنة الفارغة ( الناقصة عن 8 ) في الطبقة الخارجية ( انظر البند ٢٥ ) ، ويظهر التكافؤ السالب بوضوح تام عند عناصر الزمرتين IV و VII ، ويمكن من الناحية الكيفية أن يظهر النوعان السابقان معا عند كل عنصر ، ولسنا في صدد تطوير نظرية الارتباطات الكيميائية مختلفة الأقطاب بشكل مطول ، وإنما سنقتصر على الخطوط العامة لدراسة تشكل واحد من الجزئيات النموذجية المعروفة هو جزيء NaCl ، حيث يضيع قسم من الطاقة عندما ينتقل الكترن التكافؤ في الصوديوم إلى المدار الخارجى للكلور أى عند تشكل الشاردين  $Na^+$  و  $Cl^-$  ( الشكلان ٢٧ - ٢ ) و ( ٢٧ - ٣ ) ، وفي الحقيقة تفقد ذرة الصوديوم الطاقة  $E_{Na} = 5,1 \text{ eV}$  \* ( طاقة التشرذ ) وبنفس الوقت تكون لذرة الكلور طاقة تآلف

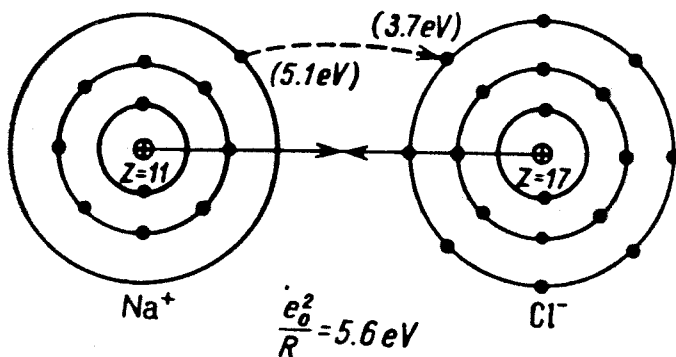
\* تسوى الطاقة  $E_{Na}$  عمل القوى الخارجية اللازم لانتقال الالكترن من الذرة  
 $( W = -E_{Na} > 0 )$

غير أن هذه الطاقة تعوضت أثناء تشكل الجزيء بطاقة التجاذب الكولونية  $E_{\text{coul}} = \frac{e_0^2}{R}$  بين الشارديتين  $\text{Na}^+$  و  $\text{Cl}^-$  (الشكل ٢٧ - ٣) ، ويمكن كتابة طاقة ارتباط الذرات في الجزيء كما يلي :

$$- E_{\text{NaCl}} = + E_{\text{Na}} - E_{\text{Cl}} - E_{\text{coul}}$$



الشكل ٢٧ - ٢ . فرنا الصوديوم والكلور المعتدلتان والمستقلتان . النقط السود تشير إلى الالكترونات ، النقط البيض تشير إلى الأمكنة الفارغة التي يمكن أن تشغلها الالكترونات نتيجة لطاقة التآلف .



الشكل ٢٧ - ٣ . تشكل جزيء  $\text{NaCl}$  من شارديتي  $\text{Na}^+$  و  $\text{Cl}^-$  ، ما بين الأفواس يشير إلى طاقة تأين الصوديوم (5,1eV) وطاقة التآلف لذرة الكلور مع الالكترون (3,7eV) ، حيث تساوى طاقة الارتباط الكولونية بين الشارديتين في الجزيء 5,6eV .

وهذه الطاقة معروفة جيدا من المعطيات التجريبية وتساوى  
 $-E_{\text{NaCl}} = 4,2\text{eV}$  ونستطيع حساب الطاقة الكولونية وأبعاد الجزيء على  
الترتيب كما يلي :

$$-E_{\text{coul}} = -E_{\text{NaCl}} - E_{\text{Na}} + E_{\text{Cl}} = 5,6\text{eV}$$

وبحساب  $R$  نجد أن :

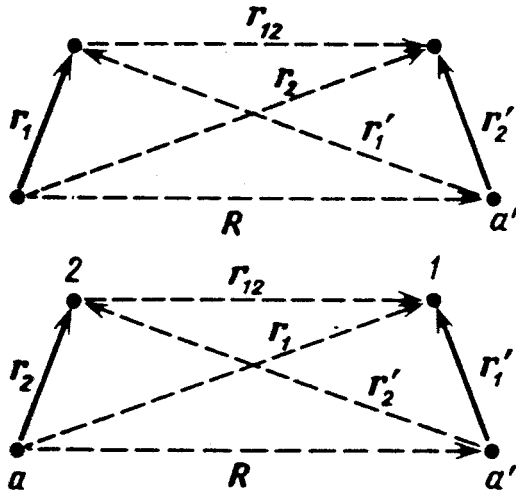
$$R = 2,5 \cdot 10^{-8}\text{cm}$$

وهما نتيجتان معقولتان جدا . هذا ويجب التنويه أنه في مناقشاتنا السابقة لم  
نحسب كل التفاعلات التي يمكن أن تحدث في الجزيئات مختلفة الأقطاب ،  
وفي الحقيقة يجب أن تؤثر بجانب القوى الكولونية قوى تدافع ( على مسافات  
قصيرة ) لا تسمح للذرات بالاقتراب من بعضها بأقل من  $R$  ، وعلى كل  
حال تسمح هذه الدراسة المبسطة باظهار الخطوط العامة ( من وجهة نظر  
فيزيائية ) لنشوء الجزيئات مختلفة الأقطاب وكذلك فهم تفكك ( ولو كفيًا )  
هذه الجزيئات إلى شوارد في المحاليل .

ج ( الجزيئات متجانسة الأقطاب . بجانب الرابطة الأيونية التي تحدثنا  
عنها توجد جزيئات لا تتشكل من الشوارد وإنما تتشكل مباشرة من الذرات  
المعتدلة ويعتبر جزيء الهيدروجين أبسطها ، وقد سميت مثل هذه الجزيئات  
بالجزيئات الذرية أو المتجانسة الأقطاب . ونلاحظ أنه لا يمكن فهم تشكل  
الجزيئات متجانسة الأقطاب ، حتى كفيًا ، على أساس كلاسيكي أو نصف  
كلاسيكي ( مفاهيم بور ) ، ويمكن لهذه النظريات أن تساهم في فهم  
الارتباطات الجزيئية عندما يكون تشكل هذه الجزيئات ناتجا عن قوى ذات  
منشأ كهربائي كالجزيئات مختلفة الأقطاب مثلا . ولقد وضع نظرية أبسط



الجزيئات متجانسة الأقطاب للمرة الأولى عام ١٩٢٧ كل من هايتلر ولندن حيث أخذوا فرضية القوى التبادلية الكوانتية بعين الاعتبار ، واستنادا في حساباتها على طرائق نظرية الاضطراب ، وبالرغم من أن هذه الطريقة لا تعطي نتائج مقدارية جيدة تماما ( لأن وسيط النشر ليس صغيرا جدا ) لكنها سمحت كليا بإكشاف الطبيعة الفيزيائية لنشوء الروابط متجانسة الأقطاب\* . ويتألف جزيء الهيدروجين من بروتونين ( نواتين )  $a$  و  $a'$  ( الشكل ٢٧ - ٤ ) والكترونين رقما بالدليلين 1 و 2 ، ولنرمز بـ  $R$  المسافة



الشكل ٢٧ - ٤ . مخططا التأثير المتبادل في جزيء  $H_2$  ، حيث تشير الخطوط لمتصلة إلى الجسيمات ذات التفاعل المحسوب في التقريب الصفري ، أما الخطوط المنقطعة فتشير إلى التفاعلات الشبيهة بالاضطرابات ١ ، و  $a'$  - نواتا ذرتي الهيدروجين ؛ 1 و 2 - الالكترونات .

بين النواتين ، تلك المسافة التي يمكن اعتبارها مقدارا ثابتا أثناء دراسة حركة الالكترونات ( التقريب الأديباتي ) ، ولنرمز بـ  $r_1$  و  $r_2$  لأنصاف الأقطار

\* يمكن الحصول على نتائج أكثر دقة باستخدام طريقة التبايرات ( كما فعلنا عند دراسة ذرة الهليوم ) التي تؤمن أيضا دراسة تشكل جزيئات متجانسة الأقطاب أكثر تعقيدا .

الشعاعية المحددة لمكان الالكترونين الاول والثاني بالنسبة للنواة  $a$  و  $r'_1$  ،  
 $r'_2$  - بالنسبة للنواة  $a'$  يكون عندئذ :

$$r'_1 = r_1 - R, \quad r'_2 = r_2 - R \quad (27.1)$$

ويمكن أن تكتب معادلة شرودينجر لجزء الهيدروجين بالشكل التالي :

$$(E - H)\psi(r_1, r_2) = 0 \quad (27.2)$$

مع العلم أنه توجد في الهاملتونيان التالي :

$$H = T + V_{aa'} + V_{a'a} + V_{12} \quad (27.3)$$

سنة طاقات كولونية ممكنة للتفاعل بين الالكترونات والنواتين وهى :

$$V_{a'a} = -\frac{e_0^2}{r'_1} - \frac{e_0^2}{r_2} \quad V_{aa'} = -\frac{e_0^2}{r_1} - \frac{e_0^2}{r'_2} \quad (27.4)$$

$$V_{12} = \frac{e_0^2}{R} + \frac{e_0^2}{r_{12}}$$

وباعتبار أنه عندما  $R = \text{const}$  يكون

$$\nabla_1 = \nabla'_1, \quad \nabla_2 = \nabla'_2 \quad (27.5)$$

ولذلك يمكن كتابة مؤثر الطاقة الحركية بدلالة الاحداثيات ذات الشرطة  
 $(r'_1)$  أو بدون الشرطة  $(r_1)$  أى أن :

$$T = T_1 + T_2$$

حيث :

$$T_1 = \frac{1}{2m_0} \left( \frac{\hbar}{i} \nabla_1 \right)^2 = \frac{1}{2m_0} \left( \frac{\hbar}{i} \nabla'_1 \right)^2 \quad (27.6)$$

$$T_2 = \frac{1}{2m_0} \left( \frac{\hbar}{i} \nabla_2 \right)^2 = \frac{1}{2m_0} \left( \frac{\hbar}{i} \nabla'_2 \right)^2 \quad (27.7)$$

ولحل هذه المسألة بطريقة نظرية الاضطراب يجب تقسيم الهاملتونيان

(27.3) إلى قسمين : قسم يتعلق بالتقريب الصفري وآخر يتعلق بالتقريب الأولى ، وهنا توجد حالتان :

الحالة الأولى : يتوضع الالكترون 1 بجانب النواة  $a$  ويقع الالكترون 2 بجانب النواة  $a'$  ( القسم العلوي من الشكل ٢٧ - ٤ ) وعندئذ نكتب الهاملتونيان الخاص بالتقريب الصفري كما يلي :

$$H_{aa'}^0 = T + V_{aa'} \quad (27.8)$$

أما طاقة الاضطراب فتساوى :

$$V'_{aa'} = V_{a'a} + V_{12} \quad (27.9)$$

ويحقق التابع الموجي ، في التقريب الصفري ، المعادلة :

$$(E^0 - T - V_{aa'}) \psi_{aa'} = 0 \quad (27.10)$$

وبما أن التقريب الصفري يصف ذرتين غير مرتبطين فيجب أن يساوى تابعهما الموجي جداء التابعين الموجيين اللذين يصفان حركة الالكترون في كل من ذرتي الهيدروجين المعزولتين ، أي أن :

$$\psi_{aa'} = \psi_a(r_1) \psi_{a'}(r_2') \quad (27.11)$$

مع العلم أن  $\psi_a$  و  $\psi_{a'}$  يحققان المعادلتين :

$$\left( E_a - \frac{1}{2m_0} \left( \frac{\hbar}{i} \nabla_1 \right)^2 + \frac{e_0^2}{r_1} \right) \psi_a(r_1) = 0 \quad (27.12)$$

$$\left( E_{a'} - \frac{1}{2m_0} \left( \frac{\hbar}{i} \nabla_2' \right)^2 + \frac{e_0^2}{r_2'} \right) \psi_{a'}(r_2') = 0 \quad (27.13)$$

أما الطاقة  $E^0$  فتساوى :

$$E^0 = E_a + E_{a'}$$

وإذا فرضنا أن الالكترونين في كل من الذرتين موجودان في الحالة الأساسية

1s (n = 1, l = m = 0) فيكون كل من تابعهما الموجي وطاقتهما ، انظر  
البند ١٢ ، عندئذ

$$\psi_a(r_1) = \psi_1(r_1), \quad \psi_{a'}(r'_2) = \psi_1(r'_2) \quad (27.14)$$

حيث

$$\psi_1(r) = \frac{1}{\sqrt{\pi a_0^3}} e^{-\frac{r}{a_0}}, \quad E_a = E_{a'} = -R\hbar = -\frac{e_0^2}{2a_0} \quad (27.15)$$

$$\psi_{aa'} = \frac{1}{\pi a_0^3} e^{-\frac{r_1+r'_2}{a_0}} \quad E^0 = -2R\hbar = -\frac{e_0^2}{a_0} \quad (27.16)$$

و  $a_0 = \frac{\hbar^2}{m_0 e_0^2}$  — نصف قطر مدار بور .

الحالة الثانية : يقع الالكترون 2 بجانب النواة a ويقع الالكترون 1 بجانب  
النواة a' ( القسم السفلى للشكل ٢٧ - ٤ ) وعندئذ يساوى الهاملتونيان  
الخاص بالتقريب الصفرى و طاقة الاضطراب ، على الترتيب ما يلى :

$$H_{a'a}^0 = T + V_{a'a} \quad (27.17)$$

$$V_{a'a} = V_{aa'} + V_{12} \quad (27.18)$$

ويعطى التابع الموجى والطاقة فى هذا التقريب الصفرى بالعلاقتين  
التاليتين :

$$\psi_{a'a} = \psi_a(r_2) \psi_{a'}(r'_1) = \frac{1}{\pi a_0^3} e^{-\frac{r_2+r'_1}{a_0}}, \quad E^0 = -2R\hbar = -\frac{e_0^2}{a_0} \quad (27.19)$$

وهكذا نستطيع كتابة الطاقة الكلية والتابع الموجى فى التقريب الصفرى  
بالشكل :

$$E^0 = -2R\hbar = -\frac{\epsilon_0^2}{a_0} \quad (27.20)$$

$$\psi^0 = C_1 \psi_{aa'} + C_2 \psi_{a'a}$$

ويعود عدم التعيين في عبارة  $\psi^0$  إلى أن وجود الالكترونين يخلق انطباقاً إضافياً سببه عدم إمكانية التفريق بين هذين الالكترونين ، ولحل المعادلة (27.2) بطريقة نظرية الاضطراب يجب أن نكتب :

$$\begin{aligned} E &= E^0 + E' + \dots \\ \psi &= \psi^0 + \psi' + \dots \end{aligned} \quad (27.21)$$

ولنبدل (27.21) في (27.2) ونقتصر على كتابة حدود التقريب الأول فقط فنجد :

$$\begin{aligned} (E^0 - T - V_{aa'} - V_{a'a}) \psi' &= \\ &= -C_1 (E' - V'_{aa'}) \psi_{aa'} - C_2 (E' - V'_{a'a}) \psi_{a'a} \end{aligned} \quad (27.22)$$

وإذا وصف التابع الموجي للتقريب الأول  $\psi'$  الوضع الذي يكون فيه الالكترون 1 قرب النواة  $a$  فإن الحد  $\psi_{aa'}$  الموجود في المعادلة (27.22) سيكون مقدارا من المرتبة الثانية في الصغر ويمكن أن يهمل ، وكذلك نستطيع إهمال الحد  $\psi_{a'a}$  إذا وقع الالكترون 2 قرب النواة  $a$  ، ومن المعادلة الأخيرة نحسب الطاقة الإضافية  $E'$  والعلاقة بين المعاملين  $C_1$  و  $C_2$  طالما أن طاقة الاضطراب كما في ذرة الهليوم تزيل الارتباط الناتج عن عدم إمكانية التفريق بين الالكترونين ، ولحل المسألة السابقة نستفيد (كما فعلنا في نظرية الهليوم) من النظرية التي تقول ان حل المعادلة ، وهي المعادلة (27.22) ، بدون طرف أيمن في حالتنا هذه يجب أن يكون متعامدا مع الطرف الأيمن من المعادلة ذات الطرف الثاني ، وإذا فرضنا أن الالكترون 1 يقع قرب النواة  $a$  نجد أن حل المعادلة (27.22) بدون طرف ثان هو التابع  $\psi_{aa'}$  الذي يعطى تعامده مع الطرف الأيمن ، المساواة التالية :

$$C_1 \int \Psi_{a'a'} (E' - V'_{a'a'}) \Psi_{aa'} d^6x + C_2 \int \Psi_{a'a'} (E' - V'_{a'a'}) \Psi_{a'a'} d^6x = 0 \quad (27.23)$$

حيث :  $d^6x = d^3x_1 d^3x_2$  وبنفس الطريقة تماما نرى أن التابع  $\Psi_{a'a}$  يجب أن يكون متعامدا مع الطرف الأيمن وهذا ما يؤدي إلى المعادلة التالية :

$$C_2 \int \Psi_{a'a'} (E' - V'_{a'a'}) \Psi_{a'a'} d^6x + C_1 \int \Psi_{a'a'} (E' - V'_{a'a'}) \Psi_{aa'} d^6x = 0 \quad (27.24)$$

ولنأخذ الآن بعين الاعتبار التكاملات التالية :

أ - شرط المعايرة :

$$\int \Psi_{aa'} \Psi_{aa'} d^6x = \int \Psi_1^2(r_1) d^3x_1 \int \Psi_1^2(r_2) d^3x_2 = 1 \quad (27.25)$$

ب - مربع تكامل التداخل :

$$\int \Psi_{aa'} \Psi_{a'a} d^6x = \int \Psi_{a'a} \Psi_{aa'} d^6x = S^2 \quad (27.26)$$

حيث

$$S = \int \Psi_1(r_1) \Psi_1(r_1 - R) d^3x_1 \quad (27.26a)$$

ج - تفاعل النرات الكولوني :

$$K = \int \Psi_{aa'}^2 (V_{a'a} + V_{12}) d^6x \quad (27.27)$$

د - التفاعل التبادلي للذرتين :

$$A = \int \Psi_{a'a} \Psi_{aa'} (V_{a'a} + V_{12}) d^6x \quad (27.28)$$

ويمكن في عبارات ما تحت التكامل السابقة استبدال  $r_2$  بـ  $r_1$  و  $r_1$  بـ  $r_2$  وهذا ما يكافئ تغيير الدليلين  $a$  و  $a'$  ، فإذا أخذنا بعين الاعتبار التكاملات (27.25) - (27.28) وكذلك الملاحظة الأخيرة فإنه يمكن كتابة المساويتين

(27.23) و (27.24) بالشكل التالي :

$$\begin{aligned} C_1(E' - K) + C_2(E'S^2 - A) &= 0 \\ C_2(E' - K) + C_1(E'S^2 - A) &= 0 \end{aligned} \quad (27.29)$$

مع العلم أن المعاملين  $C_1$  و  $C_2$  يرتبطان فيما بينهما بشرط المعايرة :

$$\int (\psi^0)^2 d^6x = C_1^2 + 2C_1C_2S^2 + C_2^2 = 1 \quad (27.30)$$

ومن المعادلة (27.29) نجد الحلين التاليين :

أ - الحل المتناظر :

$$\psi^s = \frac{1}{\sqrt{2(1+S^2)}} (\psi_{aa'} + \psi_{a'a}) \quad (27.31)$$

$$E^{s'} = U^s(R) = \frac{K+A}{1+S^2} \quad (27.32)$$

ب - الحل اللامتناظر :

$$\psi^a = \frac{1}{\sqrt{2(1-S^2)}} (\psi_{aa'} - \psi_{a'a}) \quad (27.33)$$

$$E^{a'} = U^a(R) = \frac{K-A}{1-S^2} \quad (27.34)$$

ويمثل التابعان  $U^a(R)$  و  $U^s(R)$  الطاقة الكمونية لتفاعل النترين ( انظر البند السابق ) والمقابلة للحالتين المتناظرة واللامتناظرة ولحسابهما لا بد قبل كل شيء من حل التكاملات التي تحدد تبعية كل من  $S$  و  $K$  و  $A$  لـ  $R$  ، ويمكن حل جميع هذه التكاملات بتعويض التوابع الموجية (27.16) و (27.19) بالعبارات (27.26) - (27.28) ، وهكذا نحصل بعد حسابات غير معقدة على العبارة التالية :

$$S = e^{-\frac{R}{a_0}} \left\{ 1 + \frac{R}{a_0} + \frac{1}{3} \left( \frac{R}{a_0} \right)^2 \right\} \quad (27.35)$$

وكما هو متوقع فإن هذا المقدار ينتهي إلى الواحد عندما  $R \rightarrow 0$  ( شرط

المعايرة) وينتهي إلى الصفر عندما  $R \rightarrow \infty$  (لذرات معزولة) ، وإذا تحققت العلاقة  $R \ll a_0$  (قيم  $R$  صغيرة جدا) نجد أن :

$$S^2 = 1 - \frac{1}{3} \left( \frac{R}{a_0} \right)^2 + \frac{1}{9} \left( \frac{R}{a_0} \right)^4 - \dots \quad (27.36)$$

ملاحظة : يمكن أن نحسب المقدار  $S$  كما يلي : نكتب التابع الموجى للحالة الاساسية لذرة الهيدروجين ، انظر ( 27.15 ) ، بشكل تكامل فورييه :

$$\Psi_1(r) = \frac{k_0^{3/2}}{\sqrt{\pi}} e^{-rk_0} = \left( \frac{k_0}{\pi} \right)^{1/2} \int \frac{e^{ikr}}{(k^2 + k_0^2)^2} d^3k$$

حيث

$$k_0 = \frac{1}{a_0}$$

ثم نعوض هذا النشر في ( 27.26a ) ونأخذ بعين الاعتبار العلاقة :

$$\int e^{i(k+k')r} d^3x = 8\pi^3 \delta(k+k')$$

فنجد أن

$$S = \frac{8k_0^5}{\pi^2} \int \frac{e^{ikR}}{(k^2 + k_0^2)^4} d^3k$$

ولحساب التكامل الأخير نمتفيد من المساواة :

$$\frac{1}{2\pi^2} \int \frac{e^{ikR}}{k^2 + k_0^2} d^3k = \frac{e^{-k_0 R}}{R}$$

والتي بمفاضلتها ثلاث مرات بالنسبة لـ  $k_0^2$  نحصل على المقدار المعطى  $S$  بالعلاقة ( 27.35 ) ، ولا يمكن للتفاعل التبادلي  $A$  أن يتمثل بشكل توابع بسيطة ، وقد برهن الفيزيائي الياباني سوجيورا أنه يمكن التعبير عن  $A$  بالشكل التالي :

$$A = 2A_1 S + A_2 + \frac{e_0^2}{R} S^2 \quad (27.36a)$$

حيث

$$A_1 = -\frac{e_0^2}{a_0} e^{-R/a_0} \left( 1 + \frac{R}{a_0} \right)$$

$$A_2 = \frac{1}{5} \frac{e_0^2}{a_0} \left\{ -e^{-2R/a_0} \left[ -\frac{25}{8} + \frac{23}{4} \frac{R}{a_0} + 3 \left( \frac{R}{a_0} \right)^2 + \frac{1}{3} \left( \frac{R}{a_0} \right)^3 \right] + 6 \frac{a_0}{R} \left[ S^2 \left( C + \ln \frac{R}{a_0} \right) + S'^2 \text{Ei} \left( -4 \frac{R}{a_0} \right) - 2SS' \text{Ei} \left( -2 \frac{R}{a_0} \right) \right] \right\}$$



حيث  $S$  هو تكامل التداخل (27.35) أما  $S'$  فيساوي :

$$S' = e^{R/a_0} \left[ 1 - \frac{R}{a_0} + \frac{1}{3} \left( \frac{R}{a_0} \right)^2 \right]$$

وأما  $C$  فهو ثابت أويلر التالي :

$$C = \int_0^1 \frac{1-e^{-t}}{t} dt - \int_1^{\infty} \frac{e^{-t}}{t} dt \approx 0.57722$$

وأخيرا  $Ei(-x)$  هو التابع الأسى التكاملى التالي :

$$Ei(-x) = - \int_x^{\infty} \frac{e^{-t}}{t} dt, \quad x > 0$$

وبطريقة مشابهة نحصل على عبارة الطاقة الكولونية (27.27) فنجد

أن :

$$K = \frac{e_0^2}{R} e^{-2R/a_0} \left\{ 1 + \frac{5}{8} \frac{R}{a_0} - \frac{3}{4} \left( \frac{R}{a_0} \right)^2 - \frac{1}{6} \left( \frac{R}{a_0} \right)^3 \right\} \quad (27.37)$$

ومن أجل قيم  $R$  الصغيرة جدا ( $R \ll a_0$ ) يكون :

$$K = \frac{e_0^2}{R} \left\{ 1 - \frac{11}{8} \frac{R}{a_0} + \frac{5}{4} \left( \frac{R}{a_0} \right)^3 + \dots \right\} \quad (27.38)$$

وبنفس الطريقة تماما نجد أن العبارة (27.36a) تؤول بعد حسابات معقدة

عندما  $R \ll a_0$  إلى ما يلى :

$$A = \frac{e_0^2}{R} \left\{ 1 - \frac{11}{8} \frac{R}{a_0} - \frac{1}{3} \left( \frac{R}{a_0} \right)^2 + \frac{13}{12} \left( \frac{R}{a_0} \right)^3 + \dots \right\} \quad (27.39)$$

ولنحسب أخيرا تغير الطاقة الكامنة لتفاعل نرتى الهيدروجين تبعا لتناظر

حالاتهما ، وهنا سنقتصر على قيم  $R$  الصغيرة جدا ( $R \ll a_0$ ) لأن هذا

التقريب كاف تماما لهذه النتائج التى لها طبيعة كمية ، والطاقة الكامنة فى

الحالة المتناظرة تساوى طبقا لـ (27.32) إلى :

$$U^s(R) = \frac{K+A}{1+S^2} = \frac{e_0^2}{R} \left( 1 - \frac{11}{8} \frac{R}{a_0} + \dots \right) \quad (27.40)$$

أما فيما يخص الحالة اللامتناظرة ، انظر ( 27.34 ) ، فإننا نحصل على ما يلي

$$U^*(R) = \frac{K-A}{1-S^2} = \frac{e_0^2}{R} \left( 1 + \frac{1}{2} \frac{R}{a_0} + \dots \right) \quad (27.41)$$

ومن الواضح من الصيغ السابقة أن التفاعل بين الذرات عندما  $R \rightarrow 0$  ناتج بصورة رئيسية عن طاقة التدافع الكولوني ( $U > 0$ ) للنواتين ، أما في الحالة اللامتناظرة عندما تكبر  $R$  ، انظر ( 27.41 ) ، فيصبح هذا التفاعل أكثر قوة ولهذا تتشكل الجزيئات ، وعلى العكس من ذلك نرى في الحالة المتناظرة أن طاقة التفاعل ( 27.40 ) أصغر من طاقة التدافع الكولونية حتى أن هذه الطاقة قد تصبح سالبة عندما تكون  $R > \frac{8}{11} a_0$  أي أنها تسبب تجاذبا ( $U < 0$ ) وبما أن المضروب  $e^{-2R/a_0}$  يجب أن يبدأ بالتأثير عندما  $R \rightarrow \infty$  فيجب أن تنتهي القيمة المطلقة للطاقة الكامنة إلى الصفر عند ازدياد  $R$  ويوضح الشكل ٢٧ - ٥ المنحنيات البيانية التي تم الحصول عليها نظريا ( دون النشر بـ  $R/a_0$  ) وتجريبيا ، وتعطى القيم النظرية التي تم الحصول عليها من الخطوط البيانية التي وضعها هايتلر ولندن للحالة المستقرة وتعطى قيمة  $R_0$  التالية :

$$R_0 = 1,518 a_0 = 0,80 \text{ \AA}$$

وعندئذ تساوى طاقة التفكك إلى :

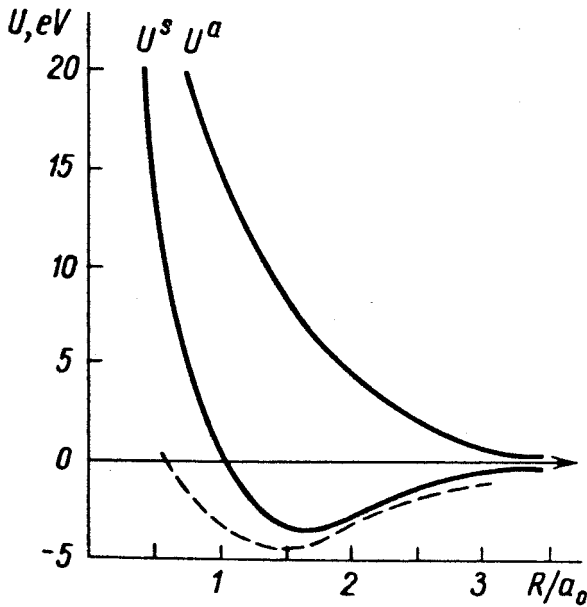
$$D = -U(R_0) = 3,14 \text{ eV}$$

وفي نفس الوقت نرى أن القيم التجريبية المقابلة هي التالية :

$$R_0^{\text{exp}} = 0,7395 \text{ \AA}, \quad D^{\text{exp}} = 4,48 \text{ eV}$$

( وقد استثنيت الطاقة الصفرية من هذه الدراسة \* ) . ويعود سبب هذا

\* يجب ملاحظة أنه إذا حسبنا التقريب الثاني بطريقة هايتلر ولندن تكون طاقة الاضطراب المقابلة ملائمة لوصف قوى فان ديروالس أي طاقة تفاعل الذرات على مسافات كبيرة نسبيا بين النوى .



الشكل ٢٧ - ٥ . منحنيات تغير الطاقة الكامنة في تفاعل ذرتين الهيدروجين للحالتين المتناظرة ( $U^s$ ) واللامتناظرة ( $U^a$ ) ولقد مثلت النتائج التجريبية بخط منقطع .

التباعد بين المعطيات التجريبية والنظرية في هذه الحالة ، كما في حالة ذرة الهليوم ، إلى أن لطاقة الاضطراب نفس مرتبة طاقة التقريب الصفري ، أما إذا حلت هذه المسألة بطريقة التغيرات ، ( كما تم دراسة ذرة الهليوم بطريقة هيلراس ) ، وذلك بأن نأخذ بمثابة تابع الأختبار التابع التالي :

$$\psi_0 = \left( \frac{Z'^3}{\pi a_0^3} \right)^{1/2} e^{-Z' r/a_0} \quad (27.42)$$

حيث  $Z'$  هي الشحنة الفعالة للنواة ( وهي تلك الشحنة التي تعتبر وسيط التغيرات ) ، فإننا سنحصل على القيمتين التاليتين لـ  $R_0$  و  $D$  ، واللتين حسبهما وانج ، واللتين تتطابقان أكثر مع التجربة وهما :

$$R_0 = 0,76 \text{ \AA}, \quad D^{\text{var}} = 3,76 \text{ eV}$$

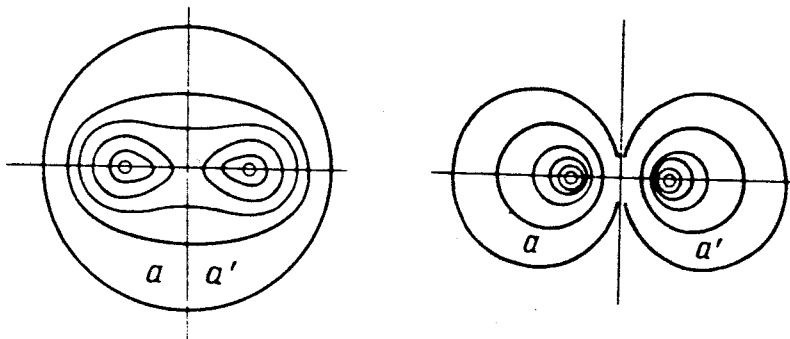
وقد أدى اختيار عدد أكبر من الوسطاء إلى بعض التحسين في هذه النتائج الحسابية\* وعليه فإن كثافة احتمال توزع الالكترونات في الحالة المتناظرة تساوى :

$$\rho_0^s = (\psi^s)^2 = \frac{1}{2(1+S^2)} [\psi_{aa'}^2 + \psi_{a'a}^2 + 2\psi_{aa'}\psi_{a'a}] \quad (27.43)$$

وإذا حسبنا نفس الكثافة للحالة اللامتناظرة فإننا نجد :

$$\rho_0^a = (\psi^a)^2 = \frac{1}{2(1-S^2)} [\psi_{aa'}^2 + \psi_{a'a}^2 - 2\psi_{aa'}\psi_{a'a}] \quad (27.44)$$

وإذا رسمنا المنحنيات التي تمثل كثافة الالكترونات ( الشكل ٢٧ - ٦ ) نجد أن احتمال وجود الالكترونات في منتصف الخط الواصل بين النواتين يكون



الحالة المتناظرة

الحالة اللامتناظرة

الشكل ٦ - ٢٧ . توزع كثافة الالكترونات في شاردة جزيء الهيدروجين .

أعظما من أجل الحل المتناظر وعلى العكس من ذلك ينتهي هذا الاحتمال إلى الصفر من أجل الحل اللامتناظر ، وبما أن الالكترونات تربط النواتين

\* توفر الآلات الحاسبة ( الكومبيوترات ) الحسابات العددية نظريا لجزيء الهيدروجين باستعمال أكثر من مئة وسيط وعندئذ لن يلاحظ عمليا أى اختلاف بين النظرية والتجربة . وهذا يعنى مبدئيا أن نظرية هايتلر ولندن نصف كل خواص تشكل جزيء الهيدروجين ، أما الفرق بين النظرية والتجربة فيمكن رده إلى النقص الرياضى لطريقة الاضطراب عند تطبيقها على هذه الذرة .

في النقطة المركزية بقوة أكثر ، فمن الطبيعي أن نتوقع أن الحل الأول يؤدي إلى تشكيل الجزيء بسرعة أكثر من الحل الثاني ، وعند اقتراب النواتين في حالة الحل الأول المتناظر فإن المنحنين اللذين يمثلان توزيع الإلكترونات حول النواة يبدوان وكأنهما يتمازجان ببعضهما ، وهذا ما يميز بوضوح الارتباط متجانس الأقطاب .

( د ) المغزل وتناظر الحالات . يلعب المغزل دورا جوهريا في نظرية ذرة الهيدروجين بالرغم من أن القيمة المطلقة للتفاعلين المغزلي المدارى والمغزلي المغزلي تعطى تصحيحا صغيرا ، وفي جزيء الهيدروجين ، كما في ذرة الهليوم ، تحدد الاتجاهات المشتركة لمغزل الإلكترونين خواص تناظر القسم الفراغى من التابع الموجى ، هذا التناظر الذى يلعب دورا هاما في مسائل استقرار الجزيئات ، ولهذا ندرس بالتفصيل مسألة ارتباط المغزل بخواص تناظر الجسيم ، حيث يحتوى التابع الموجى الكلى  $\psi$  على قسم مغزلي بجانب القسم الاحداثى ويمكن فى حالتنا اللانسيبية اهمال الطاقة الكامنة للتفاعل المغزلي المدارى ولهذا ، كما فى رابطة رسيل - ساندرس ، يمكن فصل التابع الكلى إلى جداء القسمين المغزلي والاحداثى ، فإذا اعتبرنا أن التابع الموجى للإلكترونات ( احصاءات فيرمى ) يجب أن يغير اشارته عند تبديل الاحداثيات والمغازل ( الحل اللامتناظر ) فإننا نجد الاحتمالين التاليين :

$$\psi_1 = C^a(s_1, s_2) \psi^c(r_1, r_2) \quad (27.45)$$

$$\psi_2 = C^b(s_1, s_2) \psi^a(r_1, r_2) \quad (27.46)$$

ولقد برهنا فى البند ٢٤ أن الحل الذى يحوى التابع المغزلي اللامتناظر  $\psi^c$  والتابع الاحداثى المتناظر ، انظر ( 27.45 ) ، هو الذى يوافق حالة مغزلهما يساوى الصفر ( المغازل متعاكسة مباشرة ) ، وهكذا نرى أن التابع المغزلي المتناظر  $\psi^a$  مع التابع الاحداثى اللامتناظر  $\psi^c$  يصف الحالة حيث

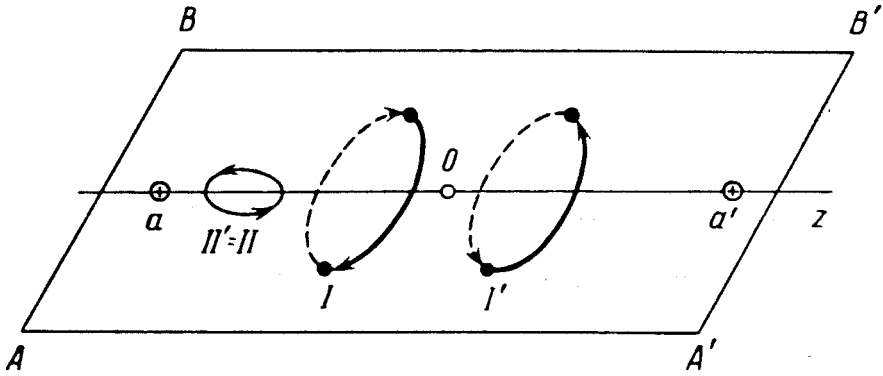
يكون المغزل الكلى مساو الواحد ( المغازل متوازية\* أو متسايرة ) ، وفى  
جزء الهيدروجين يقود الحل الاحداثى المتناظر إلى قوى التجانب ، فالحالة  
المستقرة للجزء تقابل المغازل المتعاكسة مباشرة للالكترونات . وننتقل  
الآن إلى التحليل العام لحالات الجزء على أساس التناظر ، وبهذه المناسبة  
نلاحظ أن الحقل القوى فى الجزيئات ذات النرتين تناظرا محوريا بالنسبة  
للخط الواصل بين النواتين ( محور تناظر الجزء ) ويرمز للقيمة المطلقة  
لمسقط العزم المدارى الكلى على محور التناظر بالرمز  $\Lambda$  ، أما الحالات  
الخاصة المختلفة بـ  $\Lambda$  فيرمز لها بالرموز  $\Sigma (\Lambda = 0)$  ،  $\Pi (\Lambda = 1)$  ،  
 $\Delta (\Lambda = 2)$  . . . إلى آخره . واطافة إلى ذلك يجب أن نميز كل حالة  
الكترونية بالمغزل الكلى  $S$  لكل الالكترونات فى الجزء حيث توجد  
 $\nu = 2S + 1$  حالة كوانتية من أجل قيمة محددة لـ  $S$  ، وكما فى حالة البفرة ،  
تتعين تعددية الحد بالمقدار  $\nu$  وإذا انعدم المغزل الكلى  $S = 0$  فإن  $\nu = 1$  ،  
وتساوى التعددية  $\nu = 3$  عندما  $S = 1$  ، وهكذا يتعين مغزل الالكترونات  
بالتعددية  $\nu$  ويرمز للحد المقابل بالرمز  $\Lambda^*$  ، وطبقا لهذه الرموز تقابل الحالة  
المتناظرة للقسم الاحداثى من التابع الموجى  $\Psi$  ( حالة واحدة ) الحد  
(  $\nu = 1, S = 0, \Lambda = 0$  )  $\Sigma^*$  ، أما الحالة اللامتناظرة  $\Psi^*$  ( ثلاث حالات )  
فتقابل الحد - (  $\nu = 3, S = 1, \Lambda = 0$  )  $\Sigma^*$  ، وسنرى كيف يتغير مسقط  
العزوم على محور التناظر  $z$  بالانعكاس المرأوى فى مستو يمر من هذا  
المحور  $z$  ، وسنقتصر توخيا للتبسيط دراسة الحالات التى ينعدم فيها

\* تعطى التوابع المغزلية المتناظرة واللامتناظرة ، كما فى ذرة الهليوم بالملاقين ( 24.39 )  
و ( 24.40 ) .

\*\* يمكن أن يكون اتجاه المغزل موازيا أو معاكسا أو معامنا لمحور التناظر .  
\*\*\* من المعلوم أن العزم العركى الذى يساوى الجداء الشعاعى  $L = [rp]$  هو شعاع محورى  
مشروط بالاتجاه ( له اتجاه فى جملة احداثية يمينية واتجاه آخر عكس الأول فى  $z$  لة يسارية ) ولكن  
اتجاه المنحنى المغلق الذى يحيط بالسطح المرسوم على المنجهين  $r, p$  لا يتغير بالنسبة للجملة يسارية  
كانت أم يمينية وبالعكس ، ونفس الملاحظة تطبق على المغزل الذى يميز إما بشعاع محورى أو بمنحنى  
مغلق يدل على اتجاه الاستقطاب الدائرى .

العزم المدارى أى  $A = 0$  ( الحد -  $\Sigma$  ) . فإذا انعدم أيضا المغزل الكلى  
للالكترونات أى  $S = 0$  فلن يحدث أى تغيير بالانعكاس المرآوى ، وعندما  
يتوازى مغزلا الالكترونين ( $S = 1$ ) نجد الأوضاع التالية :

١ - مسقط المغزل على محور التناظر يساوى الصفر ( $S_z = 0$ )  
وعندئذ لا يتغير الدوران المميز للمغزل فى المستوى الذى يقع فيه ، نتيجة  
لهذا الانعكاس المرآوى ( الشكل ٢٧ - ٧ ) حيث رمز للمغزل البدائى ( قبل



الشكل ٢٧ - ٧ . تغير العزم الحركى بالانعكاس فى المستوى  $AA'B'B$  المار من محور التناظر ،  
إذا حدث الدوران المميز للعزم الحركى فى المستوى المتعامد مع  $AA'B'B$  ( انظر I ) فلن اتجاه  
الدوران بعد الانعكاس سيكون معاكسا ( انظر I ) ، أما إذا حدث الدوران فى مستوى الانعكاس فلن اتجاه  
الدوران لا يتغير بالانعكاس المرآوى ( $II' = II$ ) .

الانعكاس ) بالرمز  $II$  الناتج عن الانعكاس المرآوى ( $II = II'$ ) . ونرمز  
للحدود المقابلة التى لا تتغير بالانعكاس المرآوى بالرمز  $\Sigma^+$  .

٢ - مسقط المغزل على محوى التناظر  $z$  لا يساوى الصفر  
(  $S_z = \pm 1$  ) . وفى هذه الحالة يغير المغزل الذى يميز الدوران اتجاهه  
إلى الاتجاه المعاكس وكنتيجة لهذا الانعكاس المرآوى ( انظر  
الشكل ٢٧ - ٧ ، المغزل الابتدائى I الذى يميز الدوران والمغزل المنعكس

مرآويا  $l'$  ) وسنرمز للحدود المقابلة التي يتغير اتجاه الدوران فيها بالرمز  $\Sigma^+$  وهكذا تكون ممكنة لجزء الهيدروجين الحدود التالية :

$$\begin{aligned} &^1\Sigma^+ \quad (\Lambda = 0, S = 0) \\ &^3\Sigma^+ \quad (\Lambda = 0, S = 1, S_z = 0) \\ &^3\Sigma^- \quad (\Lambda = 0, S = 1, S_z = \pm 1) \end{aligned} \quad (27.47)$$

وقد تظهر خاصة تناظر جديدة معها مميزات اضافية للحدود الجزئية عندما يتألف الجزء من ذرتين متشابهتين ، وفي الحقيقة يجب أن تكون للجزء المؤلف من ذرتين نواتان متشابهتان ومستوى تناظر ومركز تناظر وهذا المركز هو النقطة التي تقسم الخط الواصل بين النواتين إلى قسمين متساويين ، وهذه النقطة هي مركز الاحداثيات في الشكل ٢٧ - ٧ أى النقطة  $z = 0$  ، ويجب تغيير احداثيات كل الالكترونات أثناء التحويل التناظري وإذا طبقنا ذلك بصورة خاصة على جزء الهيدروجين ( بفرض ثبات النواتين ) فلا بد أن يتبادل الالكترonan 1 و 2 في هذا التحويل التناظري ( أى يأخذ الالكترون 1 احداثيات 2 وبالعكس ) ، وعندئذ لا يتغير التابع الموجي المتناظر  $\psi^+$  أى أنه سيكون زوجيا ( وهذا ما رمزنا له بالدليل  $g$  ) ولكن التابع الموجي اللامتناظر  $\psi^-$  يغير اشارته أى يكون فرديا ( وهذا ما رمزنا له بالدليل  $u$  ) ، وهكذا نرمز للحالات الممكنة لجزء الهيدروجين باعتبار الخاصتين التناظريتين بما يلي :

$$^1\Sigma^+, \quad ^3\Sigma^+, \quad ^3\Sigma^-$$

وتتضح بجلاء أهمية التناظر في تشكيل الجزيئات من أنه في أكثرية الجزيئات ذات الذرتين ( برهنا ذلك على جزء الهيدروجين ) تتحقق تلك الحالات التي لا يتغير تابعها الموجي بالنسبة لكل أنواع التحويلات التناظرية للجزء ، أى أن الحد الأساسي لجزء الهيدروجين هو الحد  $^1\Sigma^+$  ، ولن نستطيع في هذا الكتاب التوقف بالتفصيل عند كل مسائل التناظر ، ويجب

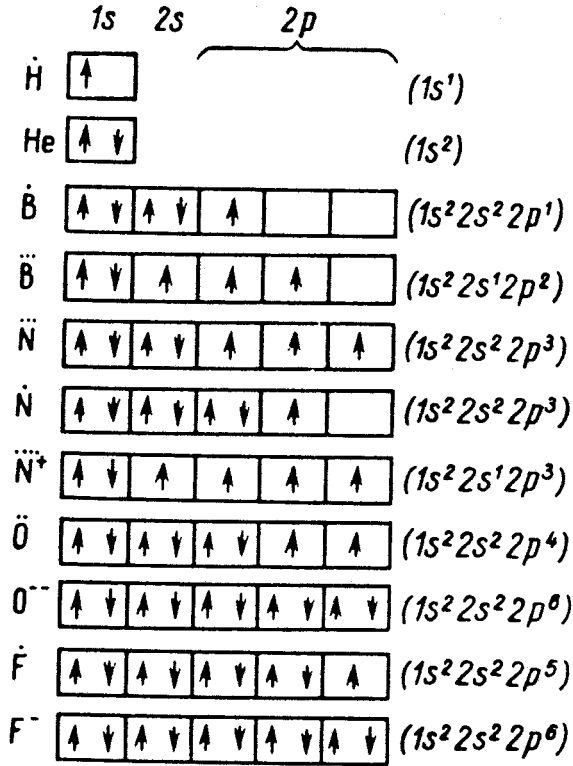


ملاحظة أن لمغزل الالكترونين اتجاهين مختلفين فى الوضع المستقر لجزىء الهيدروجين ومن الثابت أيضا وجود نوعين من جزيئات الهيدروجين سميا بالباراهيدروجين والأرتوهيدروجين ولا يعود هذا الاصطلاح إلى اتجاه مغازل الالكترونين وإنما إلى اتجاه مغازل النواتين ، فبالنسبة للباراهيدروجين يتعاكس مغزل النواتين ولكنهما يتوازيان فى الارتوهيدروجين . وبما أن عدد الحالات الممكنة لجسيمين مغزلاهما متوازيان أكبر بثلاث مرات عندما يكونان متعاكسين فإن الهيدروجين العادى فى درجة حرارة الغرفة يتركب من % 25 باراهيدروجين و % 75 أرتوهيدروجين ، وعند انخفاض درجة الحرارة ، وبوجود عامل مساعد ( الفحم مثلا ) ، تزداد نسبة الباراهيدروجين فى هذا المزيج المتوازن وتبلغ % 100 فى الدرجة 0 K ويكون الباراهيدروجين الذى تم الحصول عليه فى درجات الحرارة المنخفضة مستقرا جدا ويمكن أن يحتفظ به بدرجة حرارة الغرفة عدة أسابيع بهذا الشكل اللامتوازن ، ويستفاد من اختلاف الناقلية ( الموصلية ) الحرارية فى الدرجات المنخفضة ( الناقلية الحرارية أعلى عند الباراهيدروجين ) لحساب النسبة المئوية فى المزيج ، وهكذا يوجد بعض الاختلاف بين الباراهيدروجين والارتوهيدروجين فى طاقة التفكك وفى الخواص الضوئية .

٥ ( نظرية التكافؤ . سندرس الآن المفهوم الكيميائى من وجهة نظر الميكانيكا الكوانتية . ان التكافؤ هو خاصة من خواص ذرات عنصر ما يتم بموجبها الاتحاد بينه وبين عدد معين من ذرات عنصر آخر ، ولقد نكرنا سابقا أن النجاح الأول للنظرية الكوانتية فى مجال الخواص الكيميائية للذرات تبين أثناء تفسير المركبات الكيميائية مختلفة الأقطاب ( نظرية كوسل ) التى يعود سبب تشكلها إلى اعادة توزيع الالكترونات على الطبقات الخارجية للذرة ، وطبقا لهذه النظرية تتعين القيمة العددية للتكافؤ ( للجزيئات مختلفة

الأقطاب ) بعدد الالكترونات التي تعطىها ذرة ما إلى أخرى ( التكافؤ الأيونى الموجب ) أو تأخذها منها ( التكافؤ الأيونى السالب ) وعند تشكيل الجزيئات يعاد توزيع الالكترونات على الغمامات الخارجية للذرات بحيث يتشبع تكافؤ الذرات ، أما النجاح الآخر للنظرية الكوانتية فى أبحاث تشكل الذرات فقد تجسد فى نظرية هايتلر ولندن التى استطاعت تفسير تكوين أبسط جزيء متجانس الأقطاب وهذا ما يشكل بحد ذاته أساس المفاهيم الحديثة فى ما يسمى الرابطة المشتركة ، وطبقا لهذه النظرية يحدث تعويض متبادل لمغازل الكترونات التكافؤ ، ويمكن بتعميم هذه النتائج استخلاص أنه يتم تشكيل الجزيئات متجانسة الأقطاب ضمن شروط التعويض المتبادل لمغازل الكترونات التكافؤ ، فيجب تعيين التكافؤ الكيميائى ( متجانس الأقطاب ) بعدد الكترونات الطبقة الخارجية ذات المغازل غير المعوضة .

وسندرس بعض الأمثلة الملموسة توخيا لشرح هذه الموضوعات .  
يوضح الشكل ٢٧ - ٨ الحالات الأساسية لبعض عناصر الجدول الدورى ، وقد مثلت الحالات الالكترونية بخلايا والالكترونات بأسهم يوافق توجيهها اتجاه المغزل ، ويتضح من الشكل ٢٧ - ٨ أن شكل طبقة الهيدروجين الخارجية  $1s^2$  يوافق رابطة أحادية وأن تكافؤ الهيدروجين الذى يساوى الواحد هو أصغر بواحد من تعددية حدوده التى تساوى 2 ( يرمز للتعددية بدليل وضع إلى يسار وأعلى الحد  $s$  ) وبالنسبة لذرة الهليوم فلها الشكل  $1s^2$  ) ومنه نجد أن التعددية تساوى الواحد  $(1s)$  أما التكافؤ فيجب أن يندم ، أما ذرة البورون  $(Z = 5)$  فلها الحالة الأساسية  $(1s^2 2s^2 2p^1)$  وهذا ما يقابل الثنائية  $(^2p)$  وبالتالي يساوى تكافؤها الواحد ، وأما الحالة المثارة  $(1s^2 2s^2 2p^2)$  فتوافق الرباعية  $(^4p)$  وبالتالي فهى ثلاثية التكافؤ ، وهكذا بكل بساطة يعبر عن وجود عدة تكافؤات لدى عناصر الرموز المختلفة فى الجدول الدورى ، انظر الجدول ٢٧ - ٢ . ومن الطريف



الشكل ٢٧ - ٨ . مخطط امتلاء الغمامات الالكترونية لبعض الذرات دون اهمال المغزل ، حيث ترمز النقطة إلى التكافؤ متجانس الأقطاب و اشارنا + ، أو - ، للتكافؤ الأيونى .

ملاحظة أنه بينما تكون لذرة الاكسجين والهالوجينات طبقاً للتجربة عدة تكافؤات فإنه يظهر لذرتي 0 و F تكافؤ أساسى فقط ويفسر ذلك بالشكل التالى : يجب أن ينتقل الالكترون إلى طبقة ذات قيمة أكبر للعدد الكوانتى الرئيسى وهذا لا يعتبر مناسباً من الناحية الطاقوية ( لا توجد الغمامة  $d$  إلا عند هذين العنصرين ) ، ونلاحظ من الشكل ٢٧ - ٨ أن النتروجين فى الحالة الأساسية ( $1s^2 2s^2 2p^3$ ) هو ثلاثى التكافؤ ( لثلاثة الكترونات فى الغمامة  $2p$  مغازل متوازية) ولكن قد يكون أحادى ( مغزلا الكترونين فى

التعددية في التكافؤ متجانس الأقطاب

زمرة الجدول الدورى	I	II	III	IV	V	VI	VII
التعددية	2	1,3	2,4	1,3,5	2,4,6	1,3,5,7	2,4,6,8
التكافؤ	1*	0,2	1,3	0,2,4	1,3,5	0,2,4,6	1,3,5,7

\* رمز بالحروف السود للتكافؤ الأساسى .

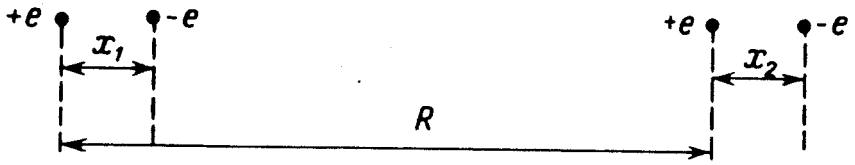
الغمامة  $2p$  متعاكسان مباشرة ) وحتى خماسى التكافؤ  $(1s^2 2s^2 2p^3)$  عندما يضاف إلى التكافؤات المغزلية الأربعة الناتجة عن توازى مغازل الالكترونات فى الغماتين  $2p$  ،  $2s$ ، ويضاف التكافؤ الأيونى الخامس الناتج عن اقضاء الالكترون الثانى من الغمامة  $2s$  ، وبهذا الصدد نلاحظ أن التكافؤ الأيونى للأكسجين والفلور متساويان ، ولا يجوز أن تدخل الغازات الخاملة مبدئيا فى أى اتحاد كيميائى لأن مغازل الطبقة الخارجية  $(s^2, p^6)$  يجب أن تعوض تماما ، ولكن منذ زمن غير بعيد فى ١٩٦٢ اكتشفت مركبات الغاز الخامل الثقيل  $^{54}\text{Xe}$  ( مثلا  $\text{XeF}_2$  ) . وظهور تكافؤ يساوى 2 ، 4 ، 6 أو 8 لدى الغازات الخاملة ناتج على ما يبدو من أن طاقة ارتباط الجزئ تقطع الارتباط المغزلى-المغزلى لالكترونات الطبقة الخارجية ، وتؤكد أيضا أن التقسيم الصارم للروابط الكيميائية إلى متجانسة ومختلفة الأقطاب بصورة عامة غير دقيق .

ويناسب النوعان السابقان الحالتين القصويين لتوزع الكثافة الالكترونية في الطبقات الممتلئة ، إذ تقابل حالة اللاتناظر القصى فى توزع الكثافة الالكترونية بين الذرات الجزىء مختلف الأقطاب، ويكون لهذا الجزىء عزم ثنائى أقطاب ، ويمكن دراسته كتشكيل أيونى ، أما حالة التوزع المتجانس للكثافة الالكترونية بالنسبة لنرتى الهيدروجين فى الجزىء فتقابل الرابطة متجانسة الأقطاب ( عزم ثنائى الأقطاب يساوى الصفر ) ويمكن أن يكون للهيدروجين تكافؤ أيونى سالب ( $H^-$ ) إذ انضم إليه عند تشكيل الجزىء ، كما فى الفلور ( $F^-$ ) الكترون ثان ( عزم ثنائى الأقطاب يختلف عن الصفر ) .

وتعطى النظرية الكوانتية مَدخلاً عاماً لفهم قوى التكافؤ التى تشكّل نوعى الارتباط ( المختلف الأقطاب والمتجانس الأقطاب ) فى مخطط واحد ، وان احدى حسنات النظرية الكوانتية لجزىء  $H_2$  هو أنها استطاعت تفسير اشباع المركبات متجانسة الأقطاب كأنه اشباع لمغازل الطبقات الالكترونية عند اتحاد الالكترونات فى أزواج ذات مغازل متعاكسة ، ونتيجة لذلك ننكر كحالة خاصة عدم امكانية تشكل الجزىء  $H_3$  لأنه لا يمكن تعويض مغازل ثلاثة الكترونات فى هذه الحالة ؛ ونؤكد فى الختام أن نظرية هايتلر ولندن أعدت فقط لجزىء الهيدروجين  $H_2$  وهو الأيسر ، وبالتالي يكون لتعميم هذه النظرية على الجزئيات المعقدة طبيعة كيفية فقط .

( و ) قوى فان ديروالس . بجانب قوى التكافؤ التى تحدثنا عنها سابقاً توجد قوى تجاذب خاصة تسمى بقوى فان ديروالس ، وهى تلعب دوراً جوهرياً فى التفاعل بين الجزئيات ، ويمكن حسابها فى جزىء الهيدروجين إذا انتقلنا إلى نظرية الاضطراب ، لكننا سنقتصر على مثال واحد ألا وهو تفاعل هزازين . ليكن لهزازين متماثلين عزم ثنائى الأقطاب  $p_1 = ex_1$

و  $p_2 = ex_2$  ، والمسافة بينهما  $R$  أكبر بكثير من أبعاد ثنائي الأقطاب ( الشكل ٢٧ - ٩ ) وعندئذ نكتب طاقة التفاعل الكامنة بالشكل التالي :



الشكل ٢٧ - ٩ . التأثير المتبادل بين ثنائي أقطاب كهربائيين ( قوة فان ديروالس ) .

$$V = \frac{e^2}{R} + \frac{e^2}{R + x_2 - x_1} - \frac{e^2}{R + x_2} - \frac{e^2}{R - x_1} \approx \frac{2e^2}{R^3} x_1 x_2 \quad (27.48)$$

وطبقا للنظرية الكلاسيكية ينعلم التأثير بينهما  $V = 0$  عندما لا يهتز الهزازان ( $x_1 = x_2 = 0$ ) وطبقا للميكانيكا الكوانتية ( انظر البند ٧ ) يجب أن تحدث اهتزازات صفرية وهذا ما يبقى على التفاعل بين الهزازين حتى ولو لم يكونا متهيجين ، ولندرس الاهتزاز المرتبط لهزازين توافقيين تؤثر بينهما قوى تجاذب طاقتها الكامنة من الشكل ( 27.48 ) ، وعندئذ تأخذ معادلة شرودينجر لهذه الجملة الشكل التالي :

$$\left\{ \frac{\partial^2}{\partial x_1^2} + \frac{\partial^2}{\partial x_2^2} + \alpha - \beta^2 (x_1^2 + x_2^2) - 2\gamma x_1 x_2 \right\} \psi(x_1, x_2) = 0 \quad (27.49)$$

حيث

$$\alpha = \frac{2m_{red}E}{\hbar^2}, \quad \beta = \frac{m_{red}\omega}{\hbar}, \quad \gamma = \frac{2m_{red}e^2}{\hbar^2 R^3}$$

و  $m_{red}$  - الكتلة المختزلة و  $\omega$  تواتر اهتزاز كل من الهزازين ، أما طاقة الجملة  $E$  فتساوى ، عندما ينعلم التأثير بين الالكترونين ، ما يلي :

• سنختبر فيما بعد أن الكتلة المختزلة تساوى كتلة الالكترون ( $m_{red} = m_0$ ) .

$$E = E_1 + E_2 = \hbar\omega(n_1 + n_2 + 1) \quad (27.50)$$

وعندما لا توجد اثارة ( $n_1 = n_2 = 0$ ) تكون الطاقة الصفرية

$$E_0 = m_0\omega^2 a^2 = \hbar\omega \quad (27.51)$$

حيث  $a$  سعة الاهتزاز الصفرى ، ولنأخذ بعين الاعتبار التفاعل بين الهزازين ، ولنفرض الاحداثيات النظامية التالية :

$$x_1 = \frac{1}{\sqrt{2}}(y_1 + y_2), \quad x_2 = \frac{1}{\sqrt{2}}(y_1 - y_2)$$

وعندئذ تتحول المعادلة (27.49) إلى المعادلة ذات المتحولات المفصولة التالية :

$$\left\{ \frac{\partial^2}{\partial y_1^2} + \frac{\partial^2}{\partial y_2^2} + \alpha - (\beta^2 - \gamma)y_1^2 - (\beta^2 + \gamma)y_2^2 \right\} \psi(y_1, y_2) = 0 \quad (27.52)$$

أما الطاقة الصفرية فتساوى عندئذ :

$$E'_0 = \frac{1}{2} \hbar\omega \left( \sqrt{1 - \frac{\gamma}{\beta^2}} + \sqrt{1 + \frac{\gamma}{\beta^2}} \right) \quad (27.53)$$

وينشر العبارة الأخيرة فى سلسلة بالنسبة للمقدار الصغير :

$$\frac{\gamma}{\beta^2} = \frac{2e^2}{m_0\omega^2} \frac{1}{R^3} \quad (27.54)$$

نجد أن الطاقة الصفرية للهزازين تتحول (دون اهمال التفاعل بين الهزازين) إلى الشكل التالى :

$$E'_0 = \hbar\omega + V$$

حيث يعطى المقدار  $V$  بالعلاقة :

$$V = -\frac{1}{2} \hbar \omega \frac{e^4}{m_0^2 \omega^4} \frac{1}{R^6} \quad (27.55)$$

ويفسر هذا المقدار على أنه طاقة قوى فان ديروالس تملك طبيعة كوانتية لأنها تنعدم عندما  $h \rightarrow 0$  ، وبحذف تواتر الاهتزاز بواسطة العلاقة (27.55) وبفرض أن سعة الاهتزاز تتناسب مع نصف قطر مدار بور الأول  $a = \gamma \frac{\hbar^2}{m_0 e^2} = \gamma a_0$  (  $\gamma$  هو معامل من رتبة الواحد ) نجد للكُمون  $V$  الصيغة التالية :

$$V = -\frac{\gamma^6}{2} \frac{e^2 a_0^5}{R^6} \quad (27.56)$$

هذا وقد تم الحصول على الصيغة (27.56) عن طريق الحسابات التي أجريت على تفاعل نرتي الهيدروجين غير المتتهيجتين بطريقة نظرية الاضطراب ، ووجد أن المعامل :  $\frac{1}{2} \gamma^6 = 8$  ، وتتضاءل قوى فان ديروالس بسرعة كبيرة مع  $R^{-7}$  - وليس بقانون أسى كما يحدث مع قوى التكافؤ ، وهذا يؤدي إلى الاستنتاج التالي : تلاحظ القوى بين الجزيئات لا على مسافات من رتبة قطر الجزيء بل على مسافات أكبر ( خارج الجزيء ) أيضا ، وهذه القوى تلعب دورا هاما عند استخراج معادلة فان ديروالس للحالة .

## البند ٢٨ - بعض مسائل النظرية الكوانتية للجسم الصلب

يبدو أن تطبيق طرائق الميكانيكا الكوانتية مفيدة جدا لتفسير كثير من خواص الجسم الصلب ، تلك الخواص التي لا تفهم على أساس النظرية الكلاسيكية ، وكما في كثير من الحالات فقد استطاعت الميكانيكا الكوانتية



أن تصف كيفية وكما أهم القوانين الناتجة عن الخواص البنيوية للجسم الصلب .

أ ) حركة الإلكترون في حقل دورى . توابع بلوخ . من المعلوم أن أهم ما يميز الاجسام الصلبة هو تركيبها البلورى - بنية الشبكة ، أى توضع نوى الذرات الذى يمكن الحصول عليه بتكرار الخلية الابتدائية ، وبحكم هذه الخاصة ( الازاحة اللامتغيرة ) نستطيع حساب بنية الشبكة إذا علمنا بنية بلورة واحدة منها ، وفى الحقيقة إذا فرضنا متجه الشبكة :

$$n = n_1 a_1 + n_2 a_2 + n_3 a_3 \quad (28.1)$$

حيث  $a_1, a_2, a_3$  متجهات الوحدة اللامستوية الأساسية أما  $n_1, n_2, n_3$  فهى أعداد صحيحة ، ويمكن القول أن لاتغير البلورة سيظهر عند ثبات بنيتها بالنسبة للانزياحات على المتجه  $n$  مهما كانت الأعداد الصحيحة  $n_i$  . وتتحرك الكترونات الجسم الصلب فى الحقل الكهربائى للنوى الذرية وتتفاعل أيضا فيما بينها . ويبدو من بين الطرائق التقريبية المستخدمة لدراسة المسألة العامة المعقدة ، طريقة موفقة جدا وهى طريقة تقريب الإلكترون الواحد ، وطبقا لهذه الطريقة يتم تغيير حركة كثير من الإلكترونات بحركة الكترون واحد فى حقل كمون فعال معين يأخذ بعين الاعتبار التفاعل بين الإلكترونات الباقية بشكل جزئى ، بالاضافة إلى حقل النواة . وهكذا يجب أن يحقق التابع الموجى للمسألة وحيدة الإلكترون ، معادلة شرودينجر الراسخة التالية :

$$H\psi(r) = E\psi(r) \quad (28.2)$$

حيث  $H$  الهاملتونيان التالى :

$$H = -\frac{\hbar^2}{2m_0} \nabla^2 + V(r) \quad (28.3)$$

الذى يحوى طاقة الكمون الفعّال  $V(r)$  ، ويحكم ما نكرناه الآن يجب أن يكون للتابع  $V(r)$  تناظر انزياحى أى أن يكون تابعا دوريا ، دوره يساوى دور الشبكة البلورية :

$$V(r+n) = V(r) \quad (28.4)$$

وسنفرض فيما بعد أن البلورة غير محدودة وهذا ما يؤمن استخدام الشروط الحدية الدورية ، ولنناقش الآن بعض الخواص العامة للتابع الموجى الناجمة عن البنية الدورية للشبكة ، فندرس أولا مؤثر الانزياح  $T_n$  الذى يتلخص تأثيره على التابع الموجى فى ازاحة الاحداثيات بمقدار دور الشبكة ، أى أن

$$T_n \psi(r) = \psi(r+n) \quad (28.5)$$

ومن الواضح ، وفقا لـ (28.4) ، أن المؤثر  $T_n$  يتبادل مع الهاملتونيان (28.3) ولهذا يمكن أن يكون لهما معا تابع خاص :

$$\begin{aligned} (H - E) \psi &= 0 \\ (T_n - I_n) \psi &= 0 \end{aligned} \quad (28.6)$$

وأن طويلة القيم الخاصة للمؤثر  $T_n$  (أى  $I_n$ ) الذى يحقق العلاقة

$$T_n \psi(r) = \psi(r+n) = I_n \psi(r) \quad (28.7)$$

ويجب أن تساوى الواحد لأن معايرة التابع الموجى لا يمكن أن تتعلق بانزياح مبدأ الاحداثيات ، ولنكتب هذه القيمة بالشكل التالى :

$$I_n = e^{i k n} \quad (28.8)$$

حيث  $k$  المتجه الموجى ، أما المقدار  $\hbar k$  فيسمى شبه الاندفاع الذى سنتحدث عنه فيما بعد ، ولكننا نكتفى بالقول الآن أنه يساوى الاندفاع الحقيقى عندما تكون حركة الالكترون حرة  $\hbar k$  ( $V(r)=0$ ) . وسنميز

حالات الالكترن المختلفة بواسطة شبه الاندفاع  $\hbar k$  وهى الحالات التى تحقق المعادلة التالية :

$$T_n \psi_{k,\lambda}(r) = \psi_{k,\lambda}(r+n) = e^{ikn} \psi_{k,\lambda}(r) \quad (28.9)$$

حيث  $\lambda$  عدد كوانتى آخر ( غير  $k$  ) . ولننتقل الآن إلى صيغة أخرى للتابع الموجى (28.9) أسهل وأوضح من الناحية الفيزيائية فنكتبه بالشكل :

$$\psi_{k,\lambda}(r) = e^{ikr} U_{k,\lambda}(r) \quad (28.10)$$

ويسمى التوابع (28.10) بتوابع بلوخ وهى تعبر عن موجات مستوية معدلة وسعة التعديل فيها تتبع شكل الكمون الدورى  $V(r)$  وشبه الاندفاع ، وأن الخاصية الجوهرية لهذه التوابع (أى  $U_{k,\lambda}(r)$ ) هى دوريتها ، وفى الحقيقة إذا عدنا إلى المعادلة (28.9) وعوضنا فيها تابع بلوخ (28.10) نجد أن :

$$e^{ik(r+n)} U_{k,\lambda}(r+n) = e^{ikn} e^{ikr} U_{k,\lambda}(r) \quad (28.11)$$

ومنه نجد أن للتابع  $U_{k,\lambda}(r)$  الذى يميز سعة التعديل ، دورا يساوى دور الشبكة ، أى أن :

$$U_{k,\lambda}(r+n) = U_{k,\lambda}(r) \quad (28.12)$$

وإذا بدلنا تابع بلوخ (28.10) فى معادلة شرودينجر الأصلية (28.2) نحصل على المعادلة التى يحققها تابع بلوخ ، أى أن :

$$\left\{ \frac{\hbar^2}{2m_0} (\nabla + ik)^2 + E_\lambda(k) - V(r) \right\} U_{k,\lambda}(r) = 0 \quad (28.13)$$

ويكفى حل هذه المعادلة فى مجال خلية ابتدائية واحدة ، لأن الشروط الحدية الدورية تكفل الاستمرار الدورى لهذه الحلول فى الخلايا المجاورة .

ب) شبه الاندفاع . يسمى المتجه  $\hbar k$  ، الموجود فى تابع بلوخ (28.10) بشبه الاندفاع وهو يتحول إلى اندفاع حقيقى عند الانتقال إلى الحركة الحرة

للالكترون حيث  $V(r) \rightarrow 0$  . وفي الحالة العامة لا تكون توابع بلوخ توابع خاصة لمؤثر الاندفاع  $p = -i\hbar\nabla$  وبالتالي فإن  $\hbar k$  لن تكون القيم الخاصة لهذا المؤثر ، واطافة إلى ذلك لا يكون شبه الاندفاع وحيد التعيين لأن تابع الطاقة الكامنة هو تابع دورى ، وفي الحقيقة يتعين المتجه  $k$  من العلاقة :

$$\begin{aligned} k' &= \bar{k} + G, & G &= 2\pi\tau \\ \tau &= m_1 b_1 + m_2 b_2 + m_3 b_3 \end{aligned} \quad (28.14)$$

حيث  $m_i$  أعداد صحيحة ، أما  $\tau$  فيسمى بمتجه مقلوب الشبكة و  $b_i$  بالمتجهات الأساسية ( القاعدية ) المرتبطة مع المتجهات الأساسية للشبكة المباشرة بالعلاقة :

$$b_1 = \frac{[a_2 a_3]}{V_0}, \quad b_2 = \frac{[a_3 a_1]}{V_0}, \quad b_3 = \frac{[a_1 a_2]}{V_0} \quad (28.15)$$

حيث  $V_0 = |a_1 [a_2 a_3]|$  حجم الخلية الابتدائية ، وتنتج من التعريف السابق المساويات التالية :

$$a_i b_j = \delta_{ij} \quad (28.16)$$

وإذا نشرنا المتجهتين  $n$  و  $\tau$  بمتجهات القاعدة :

$$n = \sum_j n_j a_j, \quad \tau = \sum_i m_i b_i \quad (28.17)$$

فإننا نحصل على العلاقة :

$$e^{i\hbar k' \cdot n} = e^{i\hbar k \cdot n} e^{iG \cdot n} = e^{i\hbar k \cdot n} \quad (28.18)$$

ذلك لأن :

$$G \cdot n = 2\pi\tau n = 2\pi \sum_{ij} m_i n_j b_i a_j = 2\pi \sum_{ij} m_i n_j \delta_{ij} = 2\pi \sum_i m_i n_i \quad (28.19)$$

ومجموع جداءات الأعداد الصحيحة يساوى عددا صحيحا دوما ، ولندرس

الآن الحالة  $\psi_{k,\lambda}(r)$  ذات الطاقة  $E(k)$  ، طبقاً لـ (28.14) ، يمكن أن نكتب :

$$\psi_{k,\lambda}(r) = e^{ikr} U_{k,\lambda}(r) = e^{i(k+a)r} U_{k+a,\lambda}(r) \quad (28.20)$$

وهكذا يكون للتابع :

$$U_{k+a,\lambda}(r) = e^{-ia r} U_{k,\lambda}(r) \quad (28.21)$$

نفس دور الشبكة المباشرة ، أى أن التابعين  $\psi_{k+a,\lambda}$  و  $\psi_{k,\lambda}$  يقابلان نفس الحالة الطاقوية ، وبعبارة أخرى ، تكون القيم الخاصة لطاقة الإلكترون الواقع فى حقل دورى ، دورية ودورها يساوى دور مقلوب الشبكة ( الشبكة العكسية ) :

$$E(k) = E(k + G) \quad (28.22)$$

ولكى يتم حساب شبه الاندفاع بشكل وحيد التعيين نختار أصغر قيمة له  $k$  ، أى أننا نأخذ القيمة فى حدود الخلية الأساسية للشبكة العكسية والتي تضرب أبعادها الخطية بالمضروب  $2\pi$  ، وتسمى هذه الخلية بمنطقة بريليون ، ولكى نوضح المعنى الفيزيائى لشبه الاندفاع ندرس حركة الإلكترون فى حقل دورى تحت تأثير قوة خارجية  $F$  ( حقل كهربائى خارجى مثلاً ) ، ومن الممكن أن نصف حركة جسيم متمركز عن طريق تشكيل الرزمة الموجية من تابع بلوخ فى مجال الأعداد الموجية  $(k_0 - \Delta k, k_0 + \Delta k)$  ، أى أن :

$$\psi(r, t) = \int_{(\Delta k)} U_{k,\lambda}(r) e^{ikr - t \frac{Et}{\hbar}} d^3k; \quad E = E(k) \quad (28.23)$$

ومن المعلوم ، انظر (1.48) ، أن مركز ثقل هذه الرزمة الموجية ينتقل بالسرعة التى تعطى بالعلاقة :

$$v = \frac{1}{\hbar} \text{grad}_k E(k) \quad (28.24)$$

وهذه السرعة تتطابق مع سرعة حركة الجسيم ، وفي الحقيقة إذا اخترنا مجال الأعداد الموجية  $\Delta k$  صغير جدا :  $|k_0| \ll |\Delta k|$  فيمكن اعتبار السعة  $U_{k,\lambda}(r)$  ثابتة عمليا في هذا المجال وعندئذ يمكن الاستفادة من النتائج العامة لحركة الرزمة الموجية ، ومن جهة أخرى لا بد أن يغير عمل القوى الخارجية  $F$  من طاقة الجسيم وبصورة خاصة نجد أن :

$$\frac{dE(k)}{dt} = \text{grad}_k E(k) \frac{dk}{dt} = v F \quad (28.25)$$

وبتبديل  $v$  بقيمتها من (28.24) نجد أن :

$$\frac{1}{\hbar} \text{grad}_k E(k) F = \text{grad}_k E(k) \frac{dk}{dt} \quad (28.26)$$

ومنه ينتج أن :

$$F = \hbar \frac{dk}{dt} = \frac{d}{dt} \hbar k \quad (28.27)$$

ومن الواضح أن هذه المعادلة تمثل قانون نيوتن الذي استبدل فيه الاندفاع بشبه الاندفاع ، وهي لا تبقى صحيحة للإلكترون الحر وحده وإنما للإلكترون المتحرك في حقل دورى .

**ج ) البنية الشريطية لطيف الطاقة .** ان احدى الخواص الهامة لحركة الإلكترون في حقل دورى هي ما يسمى بالبنية الشريطية لطيف الطاقة ، ولبرهان ذلك نكتب معادلة شرودينجر فى أبسط حالة :

$$\left\{ -\frac{\hbar^2}{2m_0} \nabla^2 + V(r) - E_\lambda(k) \right\} \psi_{k,\lambda}(r) = 0 \quad (28.28)$$

ف نجد أن تابع بلوخ يؤول إلى موجة مستوية عادية عندما يكون الكمون  $V(r)$  ثابتا ؛ حيث نجد فى هذه الحالة أن :

$$\psi_{k,\lambda}(r) = e^{ikr} U_{k,\lambda}(r) \rightarrow C e^{ikr} = \psi_k(r) \quad (28.29)$$

لأن  $U_{k,\lambda}(r) \rightarrow \text{const}$  أما طاقة الالكترون فترتبط مع الارتفاع  $\hbar k$  بالعلاقة المميزة للحركة الحرة للجسيم بالمعادلة :

$$E(k) = \frac{\hbar^2 k^2}{2m_0} \quad (28.30)$$

ولا تكون الطاقة  $E(k)$  فى الحالة العامة تابعا مستمرا للارتفاع ، أثناء حركة جسيم فى حقل دورى ، بل تنقسم إلى عدد من المناطق الطاقوية ، أى أن الطاقة مستمرة فى مجالات عريضة حيث يتغير المقدار  $\hbar k$  ولكنها تعانى بعض الانقطاعات عند قيم معينة لـ  $k$  ، وهكذا ينقسم الطيف الطاقوى إلى عدد من المناطق أو المواضع والتي تسمى بقيم الطاقة المسموحة ، وتنقسم بثغرات طااقوية تمثل المجالات الطاقوية الممنوعة\* ، ولندرس بعض أمثلة حركة الالكترونات فى حقل دورى بهدف حساب طيف الطاقة .

( د ) حالة الالكترونات الحرة تقريبا . لكى نبسط المسألة سندرس حركة أحادية البعد لجسيم فى حقل كمونى  $V(x)$  له دور الشبكة  $a$  :

$$V(x+a) = V(x) \quad (28.31)$$

وعندئذ تأخذ معادلة شرودينجر ( 28.28 ) الشكل التالى :

$$\left\{ -\frac{\hbar^2}{2m_0} \frac{d^2}{dx^2} + V(x) - E(k) \right\} \psi_k(x) = 0 \quad (28.32)$$

وسنفرض أن الحقل  $V(x)$  ضعيف جدا لدرجة يمكن معها حساب تأثيره بواسطة نظرية الاضطراب ، وطبقا لهذه الفرضية ( عندما لا يوجد اضطراب ) ، فإن حل المعادلة ( 28.32 ) يعطى بموجة دوبرويل المستوية التالية :

$$\psi_k^0(x) = \frac{1}{\sqrt{L}} e^{ikx} \quad (28.33)$$

\* تعتبر البنية الشريطية لطيف الطاقة صفة مميزة لأى معادلة ( تتعلق بحساب القيم الخاصة ) وتبقى ثابتة بالنسبة لانزياح الشبكة .

حيث :  $L = Na$  هو طول الناظم ( العمود ) الذى يساوى المجال الموافق لأبعاد البلورة ، وعندئذ تساوى طاقة الإلكترون إلى :

$$E^0(k) \equiv \varepsilon(k) = \frac{\hbar^2 k^2}{2m_0} \quad (28.34)$$

وكل طيف الطاقة سيكون مستمرا ، ولنطبق الآن طريقة نظرية الاضطراب فمن المعلوم أن التصحيح على التابع الموجى وعلى الطاقة يعطى بالعلاقتين ، انظر ( 8.22 ) و ( 8.33 ) ، التاليتين :

$$\begin{aligned} \psi_k(x) &= \psi_k^0(x) + \sum_{k' \neq k} \frac{V_{k'k}}{\varepsilon(k) - \varepsilon(k')} \psi_{k'}^0(x) \\ E(k) &= \varepsilon(k) + V_0 + \sum_{k' \neq k} \frac{|V_{k'k}|^2}{\varepsilon(k) - \varepsilon(k')} \end{aligned} \quad (28.35)$$

حيث تساوى العناصر المصفوفية لمؤثر الطاقة الكامنة ما يلي :

$$V_{k'k} = \int \psi_{k'}^{0+} V \psi_k^0 dx = \frac{1}{L} \int_0^L e^{i(k-k')x} V(x) dx \quad (28.36)$$

وهنا حسبنا التصحيح على الطاقة كتقريب من المرتبة الثانية فى نظرية الاضطراب ، ذلك لأن تصحيح التقريب الأول  $V_0$  يساوى عنصر المصفوفة القطرى ( $V_0 = V_{kk}$ ) ولا يتعلق بـ  $k$  وهو يودى إلى انزياح صغير على كل قيم الطاقة بمقدار ثابت ، سنهمل هذا التصحيح فيما بعد ونعتبر أن  $V_0 = 0$  ، ونلاحظ بعدئذ أن الحدود غير القطرية فى عبارة العناصر المصفوفية ( 28.36 ) تحوى توابع دورية تحت إشارة التكامل ، ومن الواضح أن مثل هذه التكاملات تختلف عن الصفر عندما تكون للتوابع الأسية نفس دورية التابع  $V(x)$  أى  $a$  ، وعندئذ يجب أن يتحقق الشرط :

$$e^{i(k-k')(x+a)} = e^{i(k-k')x}$$

أو

$$e^{i(k-k')a} = 1$$

وبعبارة أخرى فإن العناصر المصفوفية ( 28.36 ) لمؤثر الطاقة الكامنة تعطى نتيجة مغايرة للصفر فقط عندما :



$$k - k' = \frac{2\pi m}{a} = G, \quad m = \pm 1, \pm 2, \dots \quad (28.37)$$

ولنذكر بأن المتجه  $G$  يرتبط مع متجه مقلوب الشبكة بالعلاقة (28.15) ،  
فإذا أخذنا كل هذه الملاحظات بعين الاعتبار فإننا نستطيع كتابة الطاقة  $E(k)$   
في (28.35) بالشكل التالي :

$$E(k) = v(k) + \sum_{m \neq 0} \frac{|V_{k - \frac{2\pi m}{a}, k}|^2}{\frac{\hbar^2}{2m_0} [k^2 - (k - \frac{2\pi m}{a})^2]} \quad (28.38)$$

وليس من الصعب أن نلاحظ وجود حدود في المجموع تكبر بسرعة وهي  
تلك التي من أجلها يقترب المقام ( مخرج الكسر ) من الصفر ، فإذا تحققت  
العلاقة :

$$k^2 = \left(k - \frac{2\pi m}{a}\right)^2; \quad k = \frac{\pi m}{a} = \frac{G}{2} \quad (28.39)$$

$(m = \pm 1, \pm 2, \dots)$

فلا يمكن تطبيق نظرية الاضطراب التي اتبعناها في هذا البند ، ولا تعتبر  
العلاقات التي حصلنا عليها صحيحة إلا بعيدا عن حدود مناطق بريليون \*  
، وسنبرهن أن هذه الحدود هي النقط التي يتقاطع فيها التابع

$k = \frac{\pi m}{a}$   
 $E(k)$  ، وللحصول على نتائج صحيحة بالقرب من نقط الانقطاع ، أى  
بالقرب من حدود بريليون نعود إلى فكرة تعددية التعيين لشبه الاندفاع  
(28.14) وعندئذ تبدو المسألة منطبقة في التقريب الصفري لأن للحالتين  
 $\psi_k^0(x)$  و  $\psi_{k-G}^0(x)$  الطاقة نفسها ، وهكذا نجد في التقريب الصفري أن :

$$E^0(k) = v(k) = \frac{\hbar^2 k^2}{2m_0}, \quad \psi_k^0(x) = A\psi_k(x) + B\psi_{k-G}(x) \quad (28.40)$$

١٢

\* يجب التفريق بين اصطلاحين ، الأول : مناطق بريليون التي تتعلق بالشبكة العكسية وهي تعرف  
في حالة البعد الواحد بالعلاقة :  $k = \frac{\pi m}{a}$  حيث تمتد المنطقة الأولى من  $-\frac{\pi}{a}$  حتى  $+\frac{\pi}{a}$  ،  
والثاني : المناطق الطاقوية ، أى مواضع الطاقة المسموحة والمنوعة .

حيث  $A$  و  $B$  معاملان اختياريان و  $\psi_k(x)$  الأمواج المستوية التالية :

$$\psi_k(x) = \frac{1}{\sqrt{L}} e^{ikx} \quad (28.41)$$

وهذه المسألة منطبقة ثنائيا من أجل قيمة ثابتة لـ  $m$  ، وطبقا للأسس العامة لنظرية الاضطراب عندما يوجد انطباق ، انظر البند ٨ ، نحصل في التقريب الأول على ما يلي :

$$E(k) = e(k) \pm \sqrt{|V_{k, k-G}|^2} = e(k) \pm \sqrt{\left| V \frac{\pi m}{a}, -\frac{\pi m}{a} \right|^2} \quad (28.42)$$

وكذلك

$$A = \pm B \quad (28.43)$$

ومنه ينتج أن الطاقة تعاني انقطاعا  $\Delta E$  يعطى بالعلاقة :

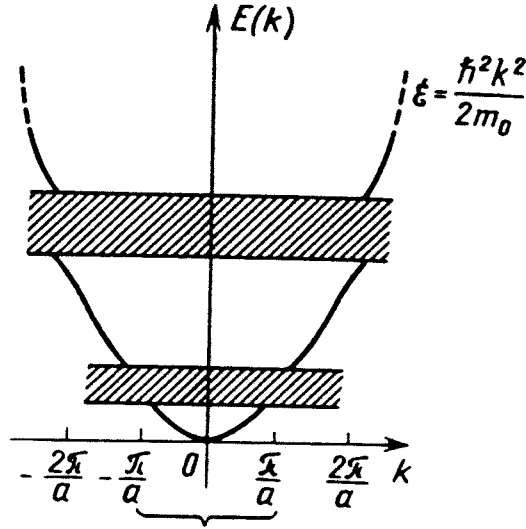
$$\Delta E = 2 \left| V \frac{\pi m}{a}, -\frac{\pi m}{a} \right| \quad (28.44)$$

أما التابع الموجي فيساوى :

$$\psi_k(x) = \frac{1}{\sqrt{2L}} \left( e^{\frac{i\pi m x}{a}} \mp e^{-\frac{i\pi m x}{a}} \right) \quad (28.45)$$

ويوضح الرسم البياني الشكل العام للتابع  $E(k)$  في حالة الالكترونات الحرة تقريبا ( الشكل ٢٨ - ١ ) . ويبدو أن الطاقة ليست تابعا مستمرا لشبه الاندفاع  $\hbar k$  ، وعوضا عن ذلك تتفكك الطاقة إلى مناطق وتعاني انقطاعا بجوار قيم معينة لـ  $k$  ( على حدود مناطق بريليون ) ، وتظهر في الطيف الطاقوى مجالات القيم الطاقوية المحظورة ( الثغرات الطاقوية ) ، هذا ويبقى التابع  $E(k)$  مستقرا في مجالات القيم المسموحة للطاقة ( ونلاحظ أن ظهور المناطق الطاقوية ناتج عن البنية الدورية للبلورة \* وهو يعكس

\* نلاحظ أن العلاقتين الموضعتين الهامتين :  $k' - k = G$  و  $k'^2 = k^2$  تصادفان أيضا في نظرية انعراج أشعة رونتجن على البلورات وهذا ما يسمى بمعاملة لاوى ، ويشير ذلك إلى العلاقة الوطيدة بين ظهور مناطق الطاقة والخواص الموجية للالكترونات .



### منطقة بريليون الاولى

الشكل ٢٨ - ١ . علاقة الطاقة من أجل حالة الالكترونات الحرة تقريبا ، حيث يرمز القسم المخطط على مجالات الطاقة الممنوعة .

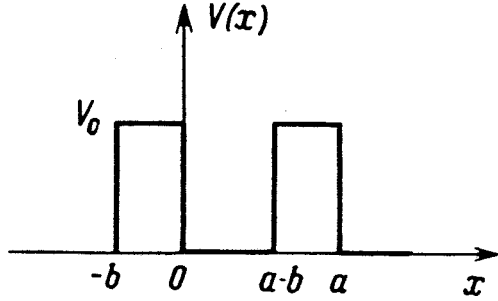
السمات الأساسية الخاصة بالبنية الالكترونية للجسم الصلب) . ويعتبر حساب المناطق الطاقوية في كل حالة مسألة معقدة وصعبة ، وسنقتصر على مثال واحد وهو ما يسمى بمسألة كرونينغ وبينى .

٥ ( مسألة كرونينغ و بيبنى . لقد درس كرونينغ وبيبنى أحد أبسط أمثلة الحقل الدورى أحادى البعد عام ١٩٣١ ، ويبدو أن لهذا المثال حلا دقيقا ، كما أنه يستدعى الاهتمام بالرغم من قربه من نموذج البلورة لأنه يوضح طبيعة ظهور البنية الشريطية للطيف الطاقوى . ولندرس حركة الالكترون فى حقل دورى أحادى البعد موضح على الشكل ٢٨ - ٢ ، ولنختر حلا لمعادلة شرودينجر ( فى المنطقة التى ينعدم فيها الكمون ) بالشكل التالى :

$$\psi_1(x) = Ae^{\alpha x} + Be^{-\alpha x}, \quad \alpha = \frac{\sqrt{2m_0E}}{\hbar} \quad (28.46)$$

أما في منطقة الحاجز فنختار الحل بالشكل التالي :

$$\psi_2(x) = Ce^{\beta x} + De^{-\beta x}, \quad \beta = \frac{\sqrt{2m_0(V_0 - E)}}{\hbar} \quad (28.47)$$



الشكل ٢٨ - ٢ . كيون كرونينغ - بينى .

ولنكتب شروط دمج التابع الموجي ومشتقاته على الحدود  $-b, 0, a-b$

بالشكل :

$$\psi_2(0) = \psi_1(0), \quad \psi_2'(0) = \psi_1'(0) \quad (28.48)$$

وكذلك :

$$\begin{aligned} \psi_2(-b) &= e^{-i\lambda a} \psi_1(a-b) \\ \psi_2'(-b) &= e^{-i\lambda a} \psi_1'(a-b) \end{aligned} \quad (28.49)$$

حيث  $\lambda$  مقدار حقيقي ، ولقد استفدنا في العلاقات الأخيرة من الخواص العامة للتوابع الموجية ، للاكترون في الحقل الدورى ، التى تخضع لقانون الانزياح :

$$\psi(x+a) = e^{i\lambda a} \psi(x)$$

نعوض حل معادلة شرودينجر (28.46) و (28.47) فى شروط الوصل (الاندماج) (28.48) و (28.49) فنحصل  $A, B, C, D, \lambda$  على المعادلات التالية :

$$\begin{aligned} C + D &= A + B \\ C - D &= i \frac{\alpha}{\beta} (A - B) \\ Ce^{-\beta b} + De^{\beta b} &= e^{-i\lambda a} [Ae^{i\alpha(a-b)} + Be^{-i\alpha(a-b)}] \\ Ce^{-\beta b} - De^{\beta b} &= \frac{i\alpha}{\beta} e^{-i\lambda a} [Ae^{i\alpha(a-b)} - Be^{-i\alpha(a-b)}] \end{aligned} \quad (28.50)$$

وليس من الصعب الحصول من المعادلات السابقة على المعادلات التالية :

$$\begin{aligned} (A + B) [\operatorname{ch} \beta b - e^{-i\lambda a} \cos \alpha (a - b)] &= \\ &= i(A - B) \left[ \frac{\alpha}{\beta} \operatorname{sh} \beta b + e^{-i\lambda a} \sin \alpha (a - b) \right] \end{aligned} \quad (28.51)$$

$$\begin{aligned} (A + B) \left[ \operatorname{sh} \beta b - \frac{\alpha}{\beta} e^{-i\lambda a} \sin \alpha (a - b) \right] &= \\ &= i(A - B) \left[ \frac{\alpha}{\beta} \operatorname{ch} \beta b - \frac{\alpha}{\beta} e^{-i\lambda a} \cos \alpha (a - b) \right] \end{aligned}$$

وتكون هذه المعادلات متوافقة (لها حل غير الصفر) إذا انعدم معين الأمثال ، ومنه نجد أن :

$$\cos \lambda a = \frac{\beta^2 - \alpha^2}{2\alpha\beta} \operatorname{sh} \beta b \sin \alpha (a - b) + \operatorname{ch} \beta b \cos \alpha (a - b) \quad (28.52)$$

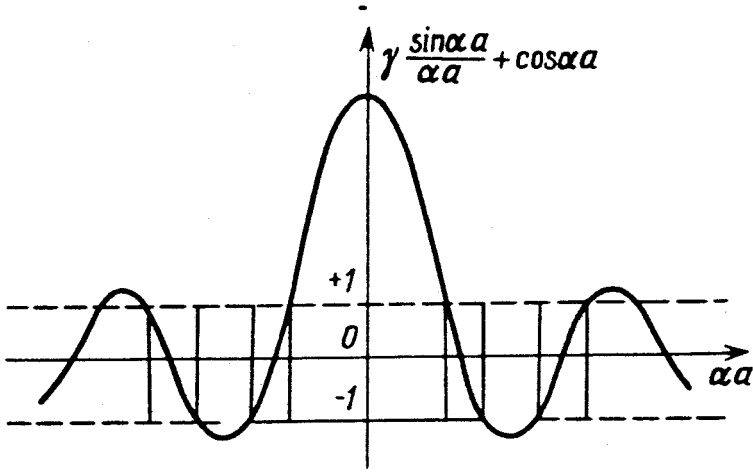
وعليه يمكن حساب طيف الطاقة بطريقة بيانية إذا اعتبرنا أن الطرف الأيمن للمساواة السابقة لا يمكن أن يتجاوز الواحد ، ولكي نبسط المسألة ونوضح حلها نقرب تابع الكمون ( الشكل ٢٨ - ٢ ) إلى التابع  $\delta$  وذلك بفرض أنه عندما  $b \rightarrow 0$  فإن  $V_0$  تنتهي إلى اللانهاية ( $V_0 \rightarrow \infty$ ) وعندئذ يتناسب المقدار :

$$\frac{m_0 V_0}{\hbar^2} ab = \gamma \quad (28.53)$$

مع المساحة المحصورة ضمن الحاجز والتي تبقى محدودة ، وعندئذ إذا لاحظنا أن :  $\operatorname{sh} \beta b \simeq b\beta$  ,  $\operatorname{ch} \beta b \simeq 1$  نجد عوضاً عن (28.52) العلاقة التالية :

$$\cos \lambda a = \gamma \frac{\sin \alpha a}{\alpha a} + \cos \alpha a \quad (28.54)$$

وبما أن  $\lambda$  قيمة حقيقية فإن هذه المعادلة تتحقق عندما يتغير طرفها الأيمن من  $-1$  إلى  $+1$  ( انظر الشكل ٢٨ - ٣ ) . وهكذا نرى في هذا المثال أن الطيف الطاقوى يظهر البنية الشريطية التي تتألف من مواضع متتالية من



الشكل ٢٨ - ٣ . الخط البياني لقيم الطاقة المسموحة وفق نموذج كرونينغ - بيني ، حيث يشير الخط الغامق إلى قيم الطاقة المسموحة .

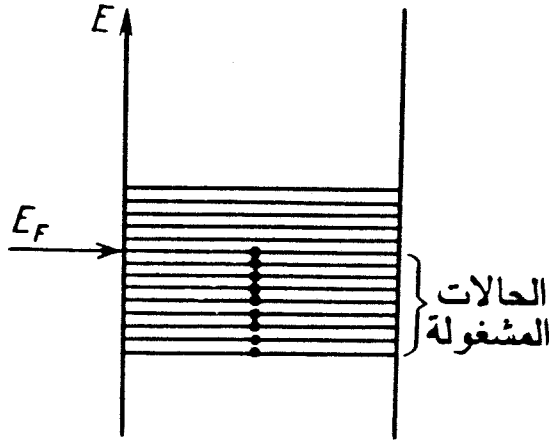
قيم الطاقة المسموحة والممنوعة ، وتنتضح من الحالتين الخاصتين المذكورتين سابقا والمتعلقتين بحركة الالكترونون في حقل دورى الخواص العامة المميزة لطيف الطاقة : مناطق متعاقبة ( أو شرائط ) للطاقات المسموحة أو المحظورة ، وتبقى هذه النتيجة صحيحة فى الحالة العامة ، مهما كانت نماذج الحقل الدورى ، ولكن بنية مناطق الطاقة يمكن أن تكون أكثر تعقيدا وخاصة مناطق القيم المسموحة التى قد تتقاطع أحيانا ، والجدير بالذكر أن حساب المناطق السابقة لبعض البلورات مسألة معقدة ومرهقة .

وسندرس الآن بعض المسائل العامة المتعلقة بتطبيقات الميكانيكا الكوانتية على حركة الالكترونونات فى البلورة ، وبغض النظر عن الحالة المثالية التى فرضناها عند حل هذه المسألة ، فإن للنتائج التى تتعلق ببنية الطيف الطاقوى أهمية كبيرة فى فيزياء الجسم الصلب ولعل أهم الانجازات الجوهرية للنظرية الكوانتية للجسم الصلب هو تفسير مجموعة القوانين المتعلقة بدراسة الناقلية ( الموصلية ) الكهربائية للأجسام الصلبة .

( و ) الناقلية ( الموصلية ) الكهربائية للأجسام الصلبة من وجهة نظر البنية الموضوعية لطيف الطاقة . سنحاول انطلاقاً من البنية الموضوعية لطيف طاقة الاجسام الصلبة تصنيف خواص الناقلية الكهربائية لهذه الأجسام تبعاً لخاصة-انشغال مناطقها المذكورة سابقاً بالالكترونات ، وسنفترض في دراسة الذرات أن الالكترونات في الوضع العادي للجسم الصلب « تنوق » إلى تعبئة الحالات الطاقوية الأكثر انخفاضاً ، ونذكر أنه في درجة الصفر المطلق ، انظر ( 5.78 ) ، تملأ الالكترونات كل السويات الطاقوية حتى أعلى سوية ( سوية فيرمي ) ، وهكذا تمتلئ جميع السويات في الحالة الأساسية للبلورة داخل سطح معين في فراغ المتجهات الموجبة ( الاندفاعات ) ، وكل السويات خارج هذا السطح ستكون فارغة فيما يسمى هذا السطح بـ سطح فيرمي أما الطاقة المقابلة  $E_F$  المقاسة من قاع المنطقة فتسمى بطاقة فيرمي ، ونلاحظ أنه في حالة الالكترونات الحرة تقريباً والتي تتعلق طاقتها بالاندفاع بشكل تربيعي ، انظر ( 28.40 ) ، حيث يكون سطح فيرمي عبارة عن كرة  $\hbar^2 k^2 \leq 2m_0 E_F$  ( كرة فيرمي ) ، كما تسمح بنية مناطق طاقة الجسم الصلب وطبيعة امتلائها ( وضع سوية فيرمي ) بتقسيم الأجسام الصلبة حسب طبيعة ناقليتها .

١ - النواقل ( الموصلات ) . إن الصفة المميزة للنواقل ( المعادن ) هي وجود مناطق طاقة مسموحة تكون مملوءة جزئياً في الحالة الأساسية ، انظر الشكل \* ٢٨ - ٤ ، وفي الحقيقة يمكن التصور أن الالكترونات في الجسم الصلب تنقسم إلى أزواج ، يتحرك كل الكترونين منها بسرعة واحدة ولكن باتجاهين مختلفين ، وعندئذ ينعدم متوسط التيارات التي تجرى في اتجاهين

\* بما أن لالكترونات مغزلاً يساوي  $\frac{1}{2}$  ( انظر البند ١٦ ) فطبقاً لمبدأ باولي ( انظر البند ٢٤ ) ، يمكن أن يوجد في كل حالة من الحالات المرسومة على الشكل ٢٨ - ٤ الكترونان يختلفان عن بعضها بمسقط المغزل .

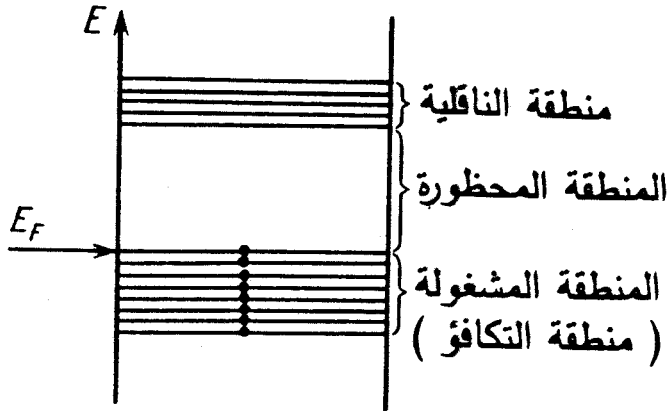


الشكل ٢٨ - ٤ . منطقة الطاقة المملوءة جزئيا الخاصة بالمعادن .

مختلفين لأنها تتعادل مثنى مثنى ، وفي هذا الوضع ( عندما تكون المناطق مملوءة جزئيا ) من السهل الاخلال بالتوازن الاحصائي وذلك بتطبيق حقل كهربائي ضعيف يسبب انتقال الالكترونات إلى أقرب سوية فارغة ، وعندئذ يختلف متوسط الالكترونات عن الصفر ويظهر التيار ، وبما أن سويات الطاقة بالقرب من حدود فيرمي تتوضع قريبة من بعضها فيمكن أن يظهر تيار حتى ولو كان الحقل ضعيفا جدا ، وأن مخطط امتلاء السويات الطاقوية هذا خاص بالمعادن فقط ، ويتغير هذا الوضع إذا كانت المنطقة الرئيسية التي تقع فوقها الثغرة الطاقوية مملوءة تماما .

٢ - العوازل . إذا كانت المنطقة الرئيسية ( منطقة التكافؤ ) في الجسم الصلب مملوءة تماما والحالات الفارغة اللاحقة مفصولة عنها بثغرة طاقوية ( مناطق الطاقة المحظورة ) ( انظر الشكل ٢٨ - ٥ ) فإننا نكون بحاجة إلى تيار قوى وإلى صرف مقدار كبير من الطاقة لكي تتم إثارة التيار واجتياز الثغرة ، ولهذا يكون الجسم الصلب في هذه الحالة عازلا بالرغم من أن الالكترونات تتحرك في الشبكة البلورية ، وإن مثل هذا الأمر ، أي وجود

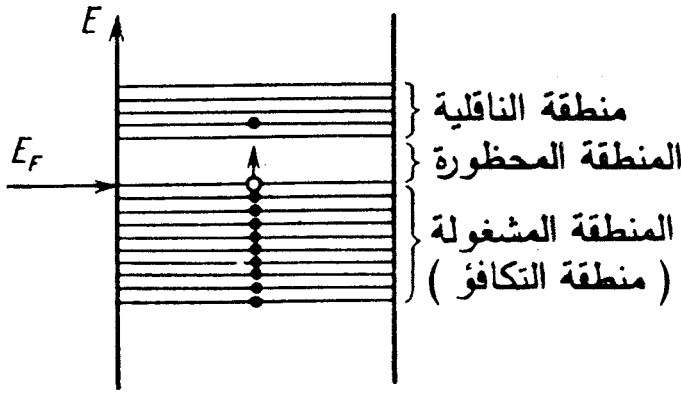




الشكل ٢٨ - ٥ . امتلاء مناطق الطاقة الخاصة بالعوازل .

مناطق فارغة أكثر ارتفاعا في الحالة الأساسية هو خاصية مميزة أيضا لأنصاف النواقل. والعوازل هي أنصاف نواقل ثغراتها الطاقوية ذات أبعاد كبيرة ، وفي الواقع أن جميع الأجسام ( النقية ) التي تمتلئ مناطقها الطاقوية ، تكون عازلة في درجة الصفر المطلق ، وبما أن أبعاد المنطقة المحظورة ( الثغرة الطاقوية ) مختلفة فلا بد أن يظهر اختلاف في خواص ناقليتها عند ارتفاع درجة الحرارة . وإن الثغرة الطاقوية للماس كبيرة نسبيا (6-7 eV) ولهذا لا يبقى الماس عازلا في درجة الصفر المطلق وحدها وإنما في درجة حرارة الغرفة أيضا ، أما في الجرمانيوم فتكون المنطقتان المملوءة والفارغة قريبتين من بعضهما ( 0,72 eV ) ولهذا نلاحظ أنه في درجة حرارة الغرفة ، وكنتيجة للتقلبات الحرارية ، ينتقل عدد كبير من الالكترونات ليترامى في منطقة الناقلية الفارغة ، وهكذا تصبح بلورة الجرمانيوم ناقلة ، لذا فأنصاف النواقل هي عبارة عن أجسام صلبة ناقليتها معدومة عندما  $T = 0$  ولكنها تزداد بشكل ملحوظ عند ارتفاع درجة الحرارة ، ولندرس الآن بشكل مفصل ناقلية أنصاف النواقل .

١ - الناقلية الذاتية . نلاحظ أن الالكترون ينتقل عند اثارته من منطقة منخفضة ويمر بثغرة طاقوية إلى منطقة أعلى ( انظر الشكل ٢٨ - ٦ )



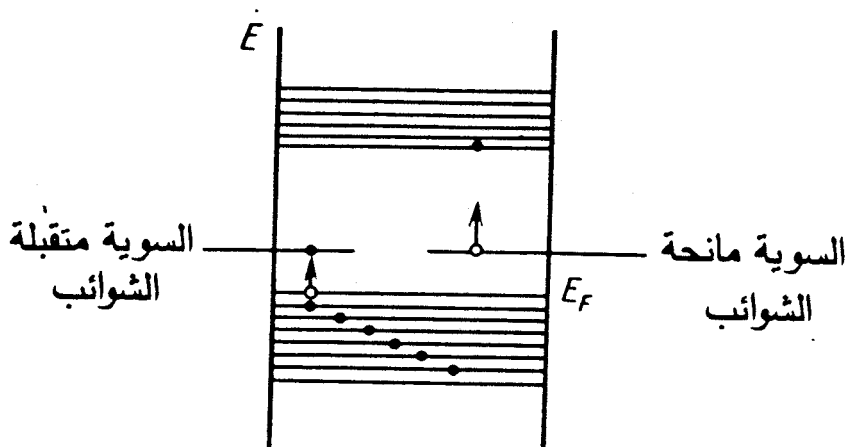
الشكل ٢٨ - ٦ . مخطط الناقلية الالكترونية والتعريفية ( النقية ) في نصف ( شبه ) ناقل .

وبنفس الوقت يتشكل مكان فارغ ، ثقب ، أو فجوة ، في المنطقة المملوءة ، ويبدو أنه يمكن تفسير حركة الثقب ، كأنجسم المشحون إيجابيا ( هايزنبرغ ١٩٣١ ) ، وهكذا يمكن دراسة ناقلية نصف الناقل النقي ( الناقلية الذاتية ) كأنها حركة الكترونات في المنطقة الأعلى ( الناقلية الالكترونية ) وحركة ثقب في المنطقة المملوءة تقريبا ( ناقلية الثقب ) \* .

٢ - ناقلية الشوائب . لقد تكلمنا حتى الآن عن النواقل النقية ، ولكن يجب ملاحظة أن إدخال أي شوائب إلى بلورة نصف الناقل يمكن أن يؤدي إلى تغيير جوهري في ناقليتها ، فمثلا إدخال ذرة واحدة من عنصر البورون إلى  $10^5$  ذرة يضاعف الناقلية الأصلية بمقدار ١٠٠٠ مرة ، وتستطيع ذرات الشوائب أن تعطي الكترونات إلى المنطقة الفارغة في البلورة وعندئذ تسمى الشوائب بالمانحة لأنها تشارك في عملية الناقلية ولأن الكترونات تتحرك في منطقة الناقلية غير المملوءة ، وتسمى هذه الالكترونات بالكترونات الناقلية فيما تسمى أنصاف النواقل المعالجة بالموانح بأنصاف نواقل من النموذج  $n$  . وتستطيع في بعض الأحيان ذرات الشوائب أن تأسر

\* يتشابه كثيرا هذا التصير مع طروحات ديرك ، انظر البند ٢٢ .

الالكترونات طبقة منخفضة مملوءة في البلورة وتسمى عندئذ بشوائب آخذة حيث يتشكل في المنطقة المملوءة تقريبا ، ثقب يمكن اعتبار حركته كحركة جسيم موجب ، ولأنصاف النواقل المعالجة بالأخذات ناقلية الثقوب وتسمى بأنصاف نواقل من النموذج -  $p$  ، ( الشكل ٢٨ - ٧ ) . وتفسر هذه النتائج



الشكل ٢٨ - ٧ . مخطط ناقلية الشوائب في نصف ناقل .

الأساسية لنظرية شرائط طيف الطاقة ناقلية الأجسام الصلبة ، وقد درسنا هنا البلورات المثالية فقط وأن أى خلل يمكن أن يؤدي إلى تأثير جوهري على الناقلية الكهربائية ، لكن هذه المسائل المختلفة تخرج عن إطار بحثنا . ونلاحظ أن النظرية الشريطية لطيف طاقة الأجسام الصلبة هي نموذج تقريبي وتسمح نتائجها والتي حصلنا عليها بوصف كثير من خواص الجسم الصلب الهامة بطريقة بسيطة وواضحة ، ولكن هذا الوصف لا يعتبر تاما لأن المنطلقات الأساسية له هي عبارة عن مجرد افتراضات .

( ز ) حركة الكترون في منطقة الناقلية . الكتلة الفعالة . لندرس الآن حركة الالكترونات في منطقة الناقلية ، ولنعرف مفهوم الكتلة الفعالة أولا : إن للطاقة الكامنة والطاقة الحركية أثناء حركة الالكترونات في البلورة شكلا

معقدا جدا وبالتالي لا يمكن التعبير عن الطاقة الكلية للجسيم بشكل بسيط كما فعلنا عندما كانت الحركة حرة ، ولندرس توخيا للتبسيط بلورة أحادية البعد ولننشر الطاقة  $E(k)$  بسلسلة تايلور بجوار النقطة  $k_0$  ، أى أن :

$$E(k) = E(k_0) + (k - k_0) \frac{\partial E(k_0)}{\partial k_0} + \frac{1}{2} (k - k_0)^2 \frac{\partial^2 E}{\partial k_0^2} + \dots \quad (28.55)$$

ثم نختار النقطة  $k_0$  بحيث تتوافق نهاية التابع  $E(k)$  فنكتب :

$$E(k) = E(k_0) + \frac{\hbar^2}{2m^*} (k - k_0)^2 + \dots \quad (28.56)$$

وتعطى الكتلة الفعالة  $m^*$  عندئذ بالشكل التالي :

$$m^* = \frac{\hbar^2}{\partial^2 E / \partial k_0^2} \quad (28.57)$$

وهذا يعنى أن الالكترون ضمن هذا التقريب ( تقريب بلوخ ) ، يتحرك داخل شرائط بحيث تكون الطاقة مسموحة كجسيم كتلته الفعالة معرفة بالعلاقة (28.57) ومن السهل ملاحظة اختلاف الكتلة الفعالة للالكترون عن كتلته الحقيقية ، وهذا الاختلاف يتعلق بالقيمة المطلقة وبالاشارة . وفى الحقيقة ، لنفرض أن الالكترون يتحرك فى منطقة الناقلية التى تحوى عددا غير كبير من الجسيمات ، وعندئذ يقع الالكترون فى حالات قريبة من قاع المنطقة أى بجوار النهاية الصغرى للطاقة ولهذا تكون  $k_0$  نقطة النهاية الصغرى للتابع  $E(k)$  و  $\frac{\partial^2 E}{\partial k^2} > 0$  ، وبالتالي تتميز الناقلية الالكترونية فى هذه

الحالة بكتلة فعالة موجبة ، وعلى العكس من ذلك إذا وجد عدد كبير من الالكترونات فى المنطقة الطاقوية ( المنطقة المملوءة تقريبا ) فإن  $k_0$

\* تؤول هذه العلاقة فى حال البلورة ثلاثية الأبعاد إلى رتل ( تنزور ) الكتلة الفعالة

$$m_{ij}^* = \hbar^2 / \frac{\partial^2 E}{\partial k_i \partial k_j}$$

يقابل نهاية عظمى للطاقة ، ومن الواضح عندئذ أن  $\partial^2 E / \partial k^2 < 0$  وبالتالي تكون الكتلة الفعالة سالبة ، والالكترونون يسلك سلوك جسيم كتلته الفعالة سالبة :  $m^* < 0$  . من المستحسن كما ذكرنا سابقا فى المناطق الطاقوية المملوءة تقريبا بالالكترونونات أن لا نحسب الحالات المشغولة وإنما الفارغة أى الثقوب وأن عدم وجود الالكترونون فى المنطقة المملوءة مكافىء لظهور جسيم مشحون إيجابيا كتلته الفعالة  $m_{\text{hole}}^* = -m > 0$  ولهذا تقابل حركة الالكترونونات ذات الكتلة الفعالة السالبة ما يسمى بناقلية الثقوب ، وليس من الصعب تفسير ذلك بواسطة العلاقة-التي تشبه قانون نيوتن فى الميكانيكا الكلاسيكية ، إذ يمكن الحصول من العلاقة التى تعطى سرعة الالكترونون ( 28.24 ) والعلاقة التى تعطى شبه الاندفاع على ما يلى :

$$\frac{dv}{dt} = \frac{1}{\hbar} \frac{d}{dt} \frac{\partial E}{\partial k} = \frac{1}{\hbar^2} \frac{\partial^2 E}{\partial k^2} \frac{d\hbar k}{dt} = \frac{1}{\hbar^2} \frac{\partial^2 E}{\partial k^2} F = \frac{1}{m^*} F \quad (28.58)$$

حيث  $m^*$  الكتلة الفعالة ، وإذا تحدثنا الآن عن حركة الالكترونون تحت تأثير قوى كهربائية فإن  $F$  هى قوة لورنتز التالية :

$$F = -e_0 \mathcal{E} - \frac{e_0}{c} [v \times \mathcal{H}] \quad (28.59)$$

وينتج عندئذ من ( 28.58 ) أن الالكترونون ذا الكتلة الفعالة السالبة مكافىء لجسيم شحنته موجبة وكتلته الفعالة موجبة \* .

ولقد ذكرنا سابقا أنه عندما يرمى الكترون العوازل فى منطقة الناقلية فسيبقى مكانه فارغا ( ثقب ) فى المنطقة المنخفضة ، وقد تم التحقق من أن لهذا الثقب شحنة موجبة ، وهكذا لا بد أن يتعرض الالكترونون لتفاعل مع الثقب المشحون إيجابيا ، ومن الممكن أن نتصور جملة مؤلفة من الكترون وثقب يدوران بالنسبة لبعضهما وتسمى هذه الجملة المرتبطة إكسيتون .

\* قارن مع خلفية ديراك .

ج) اهتزاز الشبكة البلورية ( الفونونات ) . لقد درسنا في بداية هذا البند حركة الالكترتون في حقل دورى وتعتبر هذه المسألة من المسائل الأساسية فى نظرية الجسم الصلب لأن البنية الشبكية لجسم ما تميزه عن غيره من الأجسام وتحدد كثيرا من خواصه الهامة ، وقد استندت النتائج العامة للنظرية على فرضية ثبات الذرات ( الأيونات ) المشكلة للشبكة ولكن هذه الفرضية فى الحقيقة ، تخيلية لأن ذرات ( أيونات ) البلورة تتعرض للاهتزاز فعلا ويبدو أن هذه الاهتزازات هامة جدا لأنها تحدد الخواص الفيزيائية للأجسام الصلبة كالسعة الحرارية والمقاومة وغيرها ، ولندرس حركة الشبكة بالتفصيل ولهذا نفرض أن الذرات تقوم باهتزاز توافقى حول وضع توازنها فى عقد البلورة ، أما اتوصف التفصيلى لحركة الذرات فهو صعب جدا لأنه يتطلب معرفة خواص بنية البلورة المدروسة ، بينما يسهل وصف الاهتزاز الصوتى للجسم الصلب ويمثل ( أمواج صوتية ) تنتشر فى الجسم الصلب دون الاهتمام بحركة كل ذرة بمفردها ، وسنفترض منذ البداية توخيا للتبسيط إمكانية حدوث اهتزاز أحادى البعد وأنه توجد فى كل خلية ذرة واحدة ، أما وضع الخلية فيميز بالمتجه ( 28.1 ) ، أى أن :

$$n = n_1 a_1 + n_2 a_2 + n_3 a_3 \quad (28.60)$$

حيث  $a_i$  هى متجهات القاعدة للشبكة و  $n_i$  أعداد صحيحة ، ولنرمز بـ  $X_n$  لانزياح الذرة عن وضع توازنها فى الخلية  $n$  ، وعندئذ يمكن كتابة طاقة اهتزازات الشبكة بالشكل التالى :

$$H = \sum_n \frac{M}{2} \dot{X}_n^2 + \frac{1}{2} \sum_n \sum_m C_m X_n X_{n+m} \quad (28.61)$$

حيث  $M$  كتلة الذرة و  $C_m$  معامل يحقق الشرط التالى :

$$C_m = C_{-m} \quad (28.62)$$

ويمثل الحد الثاني فى الجمع (28.61) الطاقة الكامنة لتفاعل الذرات فيما بينها ، أما شكله الصريح وكذلك الشرط (28.62) الموضوع على المعامل  $C_m$  فيتعينان إذا فرضنا أن قوى التفاعل بين الذرات لا تتبع إلا للمسافة النسبية بين الخليتين الحاويتين للذرتين ، أما المعادلة الكلاسيكية لحركة الخلية  $n$  المقابلة للطاقة (28.61) ، وباعتبار تحقق الشرط (28.62) ، فنحصل عليها بالشكل :

$$M\ddot{X}_n = - \sum_m C_m X_{n+m} \quad (28.63)$$

وأما حل المعادلة الأخيرة فنفرضه بشكل نشر فورييه :

$$X_n = \frac{1}{\sqrt{N}} \sum_q (X_q e^{iqn} + X_q^* e^{-iqn}) \quad (28.64)$$

حيث  $N$  عدد الخلايا فى البلورة أما الجمع فيقتصر على المتجهات الموجية  $q$  الواقعة ضمن المجال :  $-\pi \leqq qa_i \leqq \pi$  ( $i = 1, 2, 3$ ) ، أى فى حدود خلايا الشبكة العكسية ، وأما معاملات النشر  $X_q$  فيجب أن تتبع الزمن حسب العلاقة :

$$X_q(t) = X_q^0 e^{-i\omega_q t} \quad (28.65)$$

وعندئذ نحصل لحساب التواترات  $\omega_q$  على المعادلة التالية :

$$M\omega_q^2 = \sum_m C_m e^{iqm} \quad (28.66)$$

وإذا رمزنا لحاصل تحويل فورييه للمعاملات  $C_m$  بالرمز  $C_q$

$$C_q = \sum_m C_m e^{iqm} \quad (28.67)$$

فإننا سنجد التواترات الخاصة بالاهتزاز ، أى أن :  $\omega_q^2 = C_q / M$  ولنحول الآن عبارة الطاقة (28.61) بواسطة النشر (28.64) والمساواة (28.65) وهكذا نحصل على الطاقة الحركية التالية :

$$\sum_n \frac{1}{2} M \dot{X}_n^2 = \sum_q \frac{1}{2} M \omega_q^2 (X_q X_q^* + X_q^* X_q - X_q X_{-q} - X_q^* X_{-q}^*) \quad (28.68)$$

مع العلم أننا استخدمنا العلاقة :

$$\sum_n e^{i(q+q')n} = N \delta_{q, -q'}$$

حيث :  $\delta_{q, -q'} = \delta_{q_x, -q'_x} \delta_{q_y, -q'_y} \delta_{q_z, -q'_z}$  رمز كرونكر ثلاثى الأبعاد ،  
وبصورة مشابهة نجد لحساب الطاقة الكامنة العبارة التالية :

$$\begin{aligned} \frac{1}{2} \sum_n \sum_m C_m X_n X_{n+m} &= \\ &= \frac{1}{2} \sum_m \sum_q C_m (X_q X_q^* e^{-iqm} + X_q^* X_q e^{iqm} + X_q X_{-q} e^{-iqm} + X_q^* X_{-q}^* e^{iqm}) \end{aligned} \quad (28.69)$$

ثم إذا استفدنا من معادلة تواترات الاهتزاز (28.66) فإنه يمكن كتابة الطاقة الكامنة فى نفس الشكل الذى حصلنا عليه للطاقة الحركية ، لكن الاشارة قبل الحدين الأخيرين ستكون موجبة طبقا لـ (28.69) وبالجمع نجد طاقة الاهتزاز التالية :

$$H = \sum_q (X_q X_q^* + X_q^* X_q) M \omega_q^2$$

ولنتقل الآن إلى تكميم اهتزاز البلورة ولهذا لا بد من تحويل الانزياحات الكلاسيكية :  $X_q$  و  $X_q^*$  إلى مؤثرات  $X_q^+$  و  $X_q^-$  ( انظر تكميم الحقل الكهرطيسى ) فنكتب المعادلة الكوانتية للحركة (28.65) دون اهمال تابعة  $X_q^-$  بالشكل :

$$\frac{dX_q}{dt} = \frac{i}{\hbar} [H, X_q] = -i\omega_q X_q$$

وتتحقق هذه المعادلة عندما يحقق المؤثران  $X_q^+$  و  $X_q^-$  العلاقات التبادلية التالية :

$$[X_q, X_q^+] = \frac{\hbar}{M\omega_q} \delta_{q', q}$$

$$[X_q, X_q^-] = [X_q^+, X_q^+] = 0$$



ونستبدل المؤثرين  $X_q$  و  $X_q^+$  بالمؤثرين \* :

$$a_q = \sqrt{\frac{M\omega_q}{\hbar}} X_q, \quad a_q^+ = \sqrt{\frac{M\omega_q}{\hbar}} X_q^+ \quad (28.70)$$

الذين يحققان العلاقة :

$$[a_q, a_q^+] = \delta_{q, q'} \quad (28.71)$$

مع ملاحظة أن نفس هذه العلاقات التبادلية يحققها المؤثران اللذان فرضناهما سابقا ( انظر البند ٧ ) عند دراسة الهزاز التوافقي ، وباستخدام المؤثرين  $a_q$  و  $a_q^+$  يمكن كتابة هاملتونيان الجملة مع تحقق الشرط ( 28.71 ) بالشكل :

$$H = \sum_q \hbar\omega_q (a_q^+ a_q + 1/2) \quad (28.72)$$

وقد برهنا في البند ٧ أن التركيب التربيعى  $a_q^+ a_q$  هو عبارة عن مؤثر نظرى قيمه الخاصة أعداد صحيحة  $n = 0, 1, 2, \dots$  ولهذا تكون طاقة الجملة أى القيم الخاصة للهاملتونيان ( 28.72 ) تساوى :

$$E = \sum_q (n_q + 1/2) \hbar\omega_q. \quad (28.73)$$

وتفسر هذه العبارة بالشكل التالى : تفهم الأعداد الصحيحة  $n_q$  الواقعة مباشرة بعد اشارة المجموع كأنها عدد الاضطرابات الأولية وأشباه الجسيمات التى لكل منها طاقة  $\hbar\omega_q$  قد أطلق عليها اسم فونونات وهى تقابل الاهتزاز الصوتى للبلورة ، أما المجموع بكل قيم  $q$  فيمثل الطاقة الاهتزازية للبلورة باعتباره الطاقة الكلية للفونونات الموجودة فى حالات ذات طاقة  $\hbar\omega_q$  وشبه الاندفاع  $\hbar\omega_q$  ، ويمكن فهم المؤثر  $a_q^+$  الذى ينحصر فى زيادة  $n_q$  بواحد  $(n_q \rightarrow n_q + 1)$  ( البند ٧ ) كأنه مؤثر خلق الفونونات أما المؤثر  $n_q$

\* من المناسب أن نرمز للمؤثرين  $a$  و  $a^+$  بحروف قائمة ( غير مانلة ) .

\*\* يمكن أن نستبدل طاقة السوية الأساسية  $1/2 \sum_q \hbar\omega_q$  بالصفر إذاغيرنا مبدأ قياس الطاقة .

الذى يقل العدد  $n_q$  بواحد ( $n_q \rightarrow n_q - 1$ ) فهو مؤثر فناء الفونونات . ولقد درسنا هنا حالة خاصة وهى حالة الاهتزازات أحادية البعد بحيث يتحقق شروط وجود نرة واحدة فى كل خلية ، وبنفس الطريقة يجرى التكميم فى الحالة العامة عندما يتساوى عدد الذرات فى الخلية بحيث تستطيع كل منها أن تهتز فى ثلاثة اتجاهات متعامدة ، ولذلك يجب علينا ، طبقا لازدياد عدد درجات الحرية ، أن ندخل الدليل  $\alpha$  الذى يشير إلى نوع الاهتزاز ويتغير من 1 إلى 3 ، بحيث تبقى صيغة الهاملتونيان من نفس النوع ، أى مثلما فى ( 28.72 ) بعد تبديل  $\omega_q \rightarrow \omega_{q,\alpha}$  و  $a_q \rightarrow a_{q,\alpha}$  و  $n_q \rightarrow n_{q,\alpha}$  علما أن الجمع سيتم لا وفق  $q$  فقط وإنما وفق الدليل  $\alpha$  أيضا أما طاقة الجملة فتساوى :

$$E = \sum_{q,\alpha} (n_{q,\alpha} + 1/2) \hbar \omega_{q,\alpha} \quad (28.74)$$

( ط ) التأثير المتبادل بين الالكترونات والفونونات . الناقلية ( الموصلية ) الكهربائية . تتأثر الكترونات الناقلية أثناء حركتها بأى خلل يطرؤ على الدورية المثالية للشبكة ولذلك فإن تنذب الشبكة يعتبر عاملا اضافيا هاما للوحة العامة لحركة الالكترونات فى البلورة ، ومن المفيد دراسة التأثير المتبادل بين الالكترونات والذرات المتذبذبة بطريقة النظرية الكوانتية للتأثير المتبادل بين الالكترونات والفونونات لأن ثمة تماثلاً معروفاً بين هذه الدراسة ومسألة التأثير المتبادل بين الالكترونات والمجال الكهرطيسى المكتم ، إذ يتجلى التأثير بين الالكترونات والشبكة بلغة النظرية الكوانتية عندئذ فى الانتقالات الكوانتية للالكترونات عند امتصاص الفونونات واصدارها ، وقد يؤدى هذا التأثير إلى ظواهر عديدة سنتوقف على اثنتين منها ، هما : تبدد الالكترونات على الفونونات ( تعتبر هذه العملية أساسا لظاهرة المقاومة الكهربائية ) والناقلية المفرطة ( الموصلية فوق العالية ) . فمن المعروف أن الطول الوسطى لمدى حركة الالكترونات يجب أن يبلغ

في الشبكة البلورية المثالية الساكنة الأجزاء اللانهائية ، لأنه بالفعل ، في نموذج بلوخ تعطى حالة الالكترون بالتابع  $\psi_k = U_k(r) e^{i k r}$  علما أن سرعته في هذه الحالة تحسب بالعلاقة  $v = \frac{1}{\hbar} \text{grad}_k E(k)$  وعند غياب التأثيرات الأخرى يبقى الالكترون في الحالة المذكورة مهما طال الزمن .

غير أنه في الظروف العادية تختلف الشبكات المعدنية عن الشبكة المثالية لأنها تخضع للتذبذبات الحرارية التي قد تؤدي إلى تبدد\* الالكترونات ولما كان الالكترون في شوطى امتصاص الفونونات واصدارها يغير اندفاعه شبه الذاتى لذا فإنه سيتحرك بشكل عشوائى وهذا ما يخلق المقاومة الكهربائية في المعادن . ولندرس الآن مسألة تبدد الالكترونات في الاهتزازات الطولانية ( الصوتية ) للشبكة بطريقة نظرية الاضطرابات معتبرين طاقة الاضطراب كمونا فعلا ما يحوى السعات المكعبة لاهتزازات الشبكة ، فلنفترض أن لدينا بلورة متأينة وأن الايونات الموجبة والسالبة تتذبذب وفق قانون دورى بسعة واحدة ، عندها نستطيع كتابة انزياح الايونات المذكورة في الاتجاهات المتعاكسة على شكل مركبات فورييه ( فوريير ) التالية :

$$\delta r_i^+ = \frac{Q}{\sqrt{N}} e^{i(qr_i^+ - \omega t)}, \quad \delta r_i^- = -\frac{Q}{\sqrt{N}} e^{i(qr_i^- - \omega t)} \quad (28.75)$$

حيث  $N$  عدد أيونات البلورة و  $Q$  سعة الاهتزازات و  $q$  المتجه الموجى . وباهمال الفرق بين احداثيات أيونات الخلية الواحدة نستطيع كتابة صيغة العزم ثنائى الأقطاب لجملة مؤلفة من أيونين بالشكل التالى :

$$\mathcal{P} = \frac{2Ze_0}{\Omega_0} \frac{Q}{\sqrt{N}} e^{i(qr - \omega t)} \quad (28.76)$$

حيث  $\Omega_0$  حجم الخلية و  $Ze_0$  شحنة الأيون و  $\mathcal{P}$  متجه الاستقطاب ( وفق

\* سندرس التأثيرات ( التوهجات ) الأساسية للشبكة ، والتي تلعب دورا هاما في عملية تبدد الالكترونات .

التعريف الالكتروديناميكي ) ، وعندئذ تظهر كثافة الشحنة الموضعية  $\rho$  ،  
 أى أن :

$$\text{div } \mathcal{P} = -\rho$$

وباختصارها بواسطة معادلة بواصون :

$$\nabla^2 \Phi = -4\pi\rho \quad (28.77)$$

نجد عبارة الكمون الكهربيائي الساكن ، أى أن

$$\Phi_q = \frac{4\pi \text{div } \mathcal{P}}{\nabla^2} = -\frac{8\pi Z e_0}{\Omega_0 \sqrt{N}} \frac{iqQ}{q^2} e^{iqr-iot} \quad (28.78)$$

اذن نستطيع كتابة الطاقة الاضافية للتأثير الالكتروني الفونوني بالشكل  
 التالي :

$$V(r) = -e\Phi = \frac{8\pi Z e_0^2}{\Omega_0 \sqrt{N}} \sum_q \frac{iqQ}{q^2} e^{i(qr-\omega t)} = \sum_q D_q \frac{iqQ}{\sqrt{N}} e^{i(qr-\omega t)} \quad (28.79)$$

حيث

$$D_q = \frac{8\pi Z e_0^2}{\Omega_0 q^2} \quad (28.80)$$

ويعتمد هذا الاستنتاج على المحاكمة المطبقة على البلورات الايونية فقط ،  
 غير أننا نستطيع أن نعممه باذخال ما يسمى بكمون التشوه الذى يصف التأثير  
 الالكتروني الفونوني ، أى أن :

$$V(r) = \sum_q D \frac{iqQ}{\sqrt{N}} e^{i(qr-\omega t)} \quad (28.81)$$

ومن الآن فصاعدا سنقتصر على الاهتزازات الطولانية فقط ( الاهتزازات  
 الصوتية ) التى من أجلها يكون  $q$  و  $Q$  متوازيين ولذلك فلن :

$$V(r) = \sum_q D \frac{iqQ}{\sqrt{N}} e^{i(qr-\omega t)} \quad (28.82)$$

ويجب علينا الآن أن نبذل سعة الاهتزازات البسيطة  $Q$  بمثيلاتها بواسطة

مؤثرات توليد الفونونات وافنائها (28.70) ، أى أن :

$$Q = \frac{X_q + X_q^+}{\sqrt{2}} = \sqrt{\frac{\hbar}{2M\omega_q}} (a_q + a_q^+) \quad (28.83)$$

ولنذكر هنا أن  $a_q$  هو مؤثر الافناء و  $a_q^+$  هو مؤثر توليد الفونون بتردد  $\omega_q$  و  $M$  هي كتلة الذرة ( الأيون ) المتذبذبة . ولندرس الآن امتصاص الفونونات بطريقة نظرية الاضطرابات ، ولذلك نكتب الحد المقابل للامتصاص فى المؤثر الالكترونى الفونونى بالشكل التالى :

$$V^{abs}(\mathbf{r}) = \sum_q V_q^{abs}, \quad V_q^{abs} = D \sqrt{\frac{\hbar}{2NM\omega_q}} iq a_q e^{i\mathbf{q}\cdot\mathbf{r} - i\omega_q t} \quad (28.84)$$

وبادخال الرمز :

$$V_q = iqD \left( \frac{\hbar}{2M\omega_q} \right)^{1/2} \quad (28.85)$$

نكتب الصيغة النهائية من أجل طاقة الاضطراب بعد أن نزل فيها القسم المستقل عن الزمن ، أى أن :

$$V_q^{abs} = V_q^{0\ abs} a_q e^{-i\omega_q t}, \quad V_q^{0\ abs} = \frac{V_q}{\sqrt{N}} e^{i\mathbf{q}\cdot\mathbf{r}} \quad (28.86)$$

وباستخدام النظرية غير الراسخة للاضطراب ( البند ٨ ) وبشكل مماثل لنظرية الاشعاع ( البند ٩ ) نحصل من أجل احتمال الانتقالات الكوانتية للالكترونون من الحالة  $k$  إلى الحالة  $k'$  مع امتصاص الفونونات على العبارة التالية :

$$\omega_{k, k'} = \frac{2\pi n_q}{\hbar} |\langle k' | V_q^{0\ abs} | k \rangle|^2 \delta(e(k') - e(k) - \hbar\omega_q) \quad (28.87)$$

حيث  $n_q$  - عدد الفونونات التى طاقتها  $\hbar\omega_q$  و  $e(k) = \frac{\hbar^2 k^2}{2m}$  طاقة الالكترون الطليق فى منطقة الناقلية ، أما العنصر المصفوفى  $V_q^{0\ abs}$  فيجب أن يحسب بواسطة التوابع الموجية الالكترونية للحركة الطليقة ، أى أن

$$\psi_k(r) = \frac{1}{\sqrt{L^3}} e^{ikr} \quad (28.88)$$

كان علينا بغية الدقة أن نأخذ توابع بلوخ لحالة الالكترونات في البلورة غير المضطربة كتوابع موجية ، لكن وبتقريب جيد نستطيع أن نحسب حركة الالكترونات في منطقة الناقلية بالموجات المستوية (28.88) ، وعندئذ نحصل من أجل العناصر المصفوفية (28.87) على أن :

$$\langle k' | V_q^{0,abs} | k \rangle = \frac{V_q}{\sqrt{N}} \frac{1}{L^3} \int_{-L/2}^{L/2} e^{i(k+q-k)r} d^3x = \frac{V_q}{\sqrt{N}} \delta_{k+q, k'} \quad (28.89)$$

وعليه فإن عملية امتصاص الفونون تخضع لقانوني مصونية الطاقة والاندفاع :

$$e(k') = e(k) + \hbar\omega_q \quad (28.90)$$

$$k' = k + q \quad (28.91)$$

ولذلك نجد من أجل احتمال الانتقال المتعلق بامتصاص الفونونات ما يلي :

$$\omega_{k, k+q}^{abs} = \frac{2\pi}{\hbar} \frac{|V_q|^2}{N} n_q \delta(e(k+q) - e(k) - \hbar\omega_q) \quad (28.92)$$

لقد درسنا الآن عملية امتصاص الالكترون لفونون اندفاعه  $\hbar q$  ، أى الانتقال الكوانتي  $k' = k + q$  ، ومن الواضح أن عملية اصدار فونون اندفاعه  $\hbar q$  ( عندئذ  $k' = k - (-q) = k + q$  ) ستماثل الانتقال  $k' = k + q$  ، وبحساب مماثل سنحصل على الصيغة التالية :

$$\omega_{k, k+q}^{em} = \frac{2\pi}{\hbar} \frac{|V_q|^2}{N} (n_q + 1) \delta(e(k+q) - e(k) + \hbar\omega_q) \quad (28.93)$$

ويمكن الحصول على الاحتمال الكلى للانتقال الكوانتي المذكور بتبسيط النتائج أيضا لأن طاقة الفونون  $\hbar\omega_q$  أصغر بكثير من طاقة الالكترون  $\varepsilon(k)$  ، فيفرض أن  $\hbar\omega_q = \hbar q v_0$  حيث  $v_0$  سرعة الصوت ، وأن طاقة الالكترون تساوى  $\frac{\hbar^2 k^2}{2m} = \frac{\hbar k v_0}{2}$  ، ولما كانت سرعة الالكترونات  $v_0$  أكبر بكثير من سرعة الصوت لذا في الحسابات القادمة سنهمل الحدود

$\hbar\omega_q$  التي تدخل في متغير التابع - دلنا ، وبرمج المعادلتين ( 28.92 ) و ( 28.93 ) نجد أن :

$$\begin{aligned} \omega_{k, k+q} &= \frac{4\pi}{\hbar} \frac{|V_q|^2}{N} n_q \delta[\varepsilon(k+q) - \varepsilon(k)] = \\ &= \frac{2\pi}{\hbar} \frac{D^2 n_q}{NMv_0^2} \hbar\omega_q \delta[\varepsilon(k+q) - \varepsilon(k)] \quad (28.94) \end{aligned}$$

وإذا اعتبرنا عدد الفونونات كبيرا جدا  $n_q \gg 1$  لاستظننا أن نهمل الواحد في ( 28.94 ) بالمقارنة مع  $n_q$  ، عدا ذلك تبين من العلاقة ( 28.93 ) أن عملية التبدد قد تجرى حتى ولو خلت الحالة الابتدائية من الفونونات ، ومن السهل التأكد من ذلك لأن المضروب  $n_q + 1$  لا يساوى الصفر ؛ كما ويمكن كتابة تبعية العدد الوسطى للفونونات لدرجة حرارة الشبكة بواسطة توزيع بوزي - اينشتين :

$$\bar{n}_q = \frac{1}{e^{\hbar\omega_q/k_B T} - 1} \quad (28.95)$$

وهكذا نستخلص عبارة احتمال الانتقالات الكوانتية للالكترونات  $k \rightarrow k' = k + q$  في عملية التبدد ، أي :

$$\omega_{k, k+q} = \frac{2\pi}{\hbar} \frac{D^2 \hbar\omega_q}{NMv_0^2} \frac{1}{e^{\hbar\omega_q/k_B T} - 1} \delta[\varepsilon(k+q) - \varepsilon(k)] \quad (28.96)$$

ولكن ، عند حساب المقاومة الحرارية للمعادن يجب تركيز الاهتمام على مايسمى بعشوائية الاندفاع :

$$\frac{d\langle k \rangle}{dt} = \sum_{k'} (k' - k) \omega_{k, k'} = - \frac{\langle k \rangle}{\tau} \quad (28.97)$$

حيث  $\tau$  البارامتر المسمى بزمن الارتخاء . وينتج معناه الفيزيائي من التعريف مباشرة لأن حل ( 28.97 ) يعتبر من النوع التالي :

$$\langle k(t) \rangle = k(0) e^{-t/\tau} \quad (28.98)$$

ونلاحظ هنا أن ناقلية المعدن  $\sigma$  تتعلق بزمن الارتخاء  $\tau$  بالعلاقة التالية :

$$\sigma = \frac{N_e e_0^2 \tau}{m} \quad (28.99)$$

حيث  $N_q$  عدد الالكترونات الحرة في وحدة الحجم . وعليه نستنتج أنه لاستخلاص الناقلية لا بد من ايجاد المجموع (28.97) معتبرين أن  $k' = k + q$  ، وبعد ادخال الزاوية  $\theta$  الواقعة بين المتجهين  $k$  و  $q$  نجد بواسطة (28.97) أن :

$$\frac{1}{\tau} = - \sum_q w_{k, k+q} \frac{q}{k} \cos \theta \quad (28.100)$$

ولندرس بعد ذلك الحالتين الحديتين :

١ - حالة درجات الحرارة العالية . في هذه الحالة يكون  $k_B T \gg \hbar \omega_q$  ولذلك نجد بواسطة (28.95) أن :

$$\bar{n}_q = \frac{k_B T}{\hbar \omega_q} \quad (28.101)$$

وبتعويض هذه العلاقة في الصيغة (28.96) والانتقال من المجموع (28.100) وفق  $q$  إلى التكامل ، أى أن :

$$\frac{1}{N \Omega_0} \sum_q = \frac{1}{(2\pi)^3} \int d^3 q \quad (28.102)$$

نجد أن

$$\frac{1}{\tau} = - \frac{\Omega_0}{(2\pi)^3} \int_0^\infty q^2 dq \int_0^{2\pi} d\varphi \int_0^\pi \sin \theta d\theta \times \\ \times \left\{ \frac{q}{k} \cos \theta - \frac{2\pi}{\hbar} \frac{D^2 k_B T}{M v_0^2} \hbar \left[ \frac{\hbar^2}{2m} (2kq \cos \theta + q^2) \right] \right\} \quad (28.103)$$

علما أننا اعتبرنا أن  $\omega_q = qv_0$  حيث  $v_0$  سرعة الصوت ، وباجراء التكامل وفق الزاوية  $\theta$  بواسطة التابع - دالتا ، وبالاختيار المناسب لحدى التكامل وفق  $dq$  ( وفق قواعد تكامل التوابع - دلتا ) نستخلص أن :

$$\frac{1}{\tau} = \frac{\Omega_0 D^2 k_B T}{4\pi \hbar M v_0^2} \frac{m}{k^3 \hbar^2} \int_0^{2k} q^3 dq = \frac{\Omega_0}{\pi} \frac{D^2 k_B T m k}{\hbar^3 M v_0^2} \quad (28.104)$$

وينتج من هذه الصيغة أن زمن الارتخاء يتعلق بطاقة الالكترون المتبدد التي



تحتوي المضروب  $k$  المتناسب طردا مع اندفاع الإلكترون  $\hbar k$  . بعدئذ ،  
بملاحظة ( 28.99 ) نستنتج أن مقاومة المعادن تتعلق مع  $T$  بشكل خطي عند  
درجات الحرارة العالية .

٢ - حالة درجات الحرارة المنخفضة . في هذه الحالة لا بد من استخدام  
الشكل الكامل لتوزيع بوزي - اينشتين ( 28.95 ) ، وعندئذ لا داع لاجراء  
التكامل وفق الزاوية  $\theta$  في ( 28.103 ) ، وأما التكامل وفق  $q$  فيكون بالشكل  
الآتي :

$$\frac{1}{\tau} = \frac{\Omega_0}{4\pi} \frac{D^2}{\hbar^3} \frac{m}{Mv_0^2 k^3} \frac{(k_B T)^5}{(\hbar v_0)^4} \int_0^\infty \frac{x^4 dx}{e^x - 1} \quad (28.105)$$

حيث

$$x = \frac{\hbar \omega_q}{k_B T} = \frac{\hbar q v_0}{k_B T} \quad (28.106)$$

علما أن حد التكامل العلوي بملاحظة الأسية تحت التكامل يسعى إلى اللانهاية  
 $\infty$  عندما  $kT \ll \hbar \omega_q$  . ولقد تبين أن العلاقة المميزة هذه تصلح من أجل  
معادن كثيرة عند درجات الحرارة المنخفضة ، ويمكننا أن نستخلص دون  
الدخول في الدراسة التفصيلية لمسألة المقاومة الكهربائية للأجسام الصلبة ،  
أنها تتجلى نتيجة لتبدد الكترونات الناقلية أثناء تفاعلها مع الفونونات أي مع  
الاهتزازات الصوتية للشبكة .

• لأن التكامل في المساواة ( 28.105 ) يساوي :

$$\int_0^\infty \frac{x^4 dx}{e^x - 1} = 24 \zeta(5) \quad (5)$$

حيث  $\zeta(5) = 1.037$  - وهي قيمة تابع ريمان  $\zeta(x)$  عندما  $x = 5$  .

## البند ٢٩ - النظرية الأولية للناقلية (الموصلية) المفرطة

( أ ) حالة الناقلية المفرطة . يبدو غريبا للوهلة الأولى أن الناقلية المفرطة تنتج أيضا عن تفاعل الالكترونات مع الفونونات ، وهكذا يمكن أن يؤدي تفاعل الالكترونات مع اهتزازات الشبكة إلى تشتت يسبب مقاومة كهربائية أو ناقلية مفرطة ، ومن الطريف ملاحظة أن النواقل الجيدة ( الفضة والذهب والنحاس ) لا تتحول إلى حالة الناقلية المفرطة وبالمقابل نرى أن التفاعل الالكتروني الفونوني القوي في ( Pb, Sn ) الذي يؤدي إلى مقاومة كبيرة يمهد السبيل لتشكيل الناقلية المفرطة ، ومن المعلوم أن اكتشاف ظاهرة الناقلية المفرطة تم قبل انشاء النظرية المجهرية لهذه الظاهرة بكثير ، إذ تبين في عام ١٩١١ أن مقاومة بعض المعادن تتضاءل ( إلى قيمة لا يمكن قياسها في الدرجات المنخفضة  $( T - 0 )$  ) ( كاميرلينغ - أونست ) ، وقد ثبت أيضا بالتجربة عام ١٩٢٣ أن الجسم مفرط الناقلية يدفع الحقل المغناطيسي المطبق عليه من الخارج وقد سميت هذه الظاهرة بظاهرة ميسنر ، أما تطور النظرية فقد بدأ متأخرا جدا عندما وضع لانداو وجينزبرغ نظرية فريدة لفرط الناقلية عام ١٩٥٠ وقد كان ذلك خطوة هامة في هذا المجال لأن نظريتهما أحتوت على بعض النجاحات وبتت أداة جيدة في التطبيق إلا أن محاولة الاقتراب من هذه الظاهرة من وجهة نظر مجهرية لم تنجح لزم من طویل ففي عام ١٩٥٠ ظهر اقتراح يعتبر أن التفاعل غير المباشر للالكترونات عن طريق الفونونات يؤدي إلى تجاذب خاص ( فربليخ ، عام ١٩٥٠ ) وبعد أربعين سنة من الاكتشاف التجريبي لظاهرة الناقلية المفرطة أمكن الحصول على تفسيرها في اطار النظرية المجهرية ، وقد تم ذلك بجهود ( باردين وكوبر وشريفر وبوغولوبوف ) حيث أن الأخير أعطى أفضل نظرية متكاملة لهذه الظاهرة . وقد كانت النظرية المجهرية لفرط الناقلية نجاحا عظيما للنظرية الكوانتية ومازال تطور هذه النظرية

يستمر حتى يومنا هذا ، ويجب ملاحظة أن الأداة الرياضية للنظرية شديدة التعقيد ، ويعود السبب في ذلك إلى أن الوصف المتتالي للتفاعل الإلكتروني-الإلكتروني عن طريق حمل الإلكترونات الفونونات لا يتطلب تكميم الحقل الصوتي وحده وإنما حقل الإلكترونات والبوزيترونات أيضا ، وتعتبر مسألة حساب التفاعل الإلكتروني-الإلكتروني معقدة أيضا لأنه لا يمكن تطبيق الطرائق العادية لنظرية الاضطراب في دراسة التفاعل الإلكتروني الفونوني . ولنحاول استخلاص المعنى الفيزيائي للنظرية طالما أننا لن نستطيع حلها بشكل كامل . ان إحدى المراحل الهامة في هذه النظرية هو التفاعل الإلكتروني الفونوني أو تبادل الفونونات الافتراضية بزواج الكتروني وهذا يعني أن الكترون يتعرض للتشوه الشبكي الناتج عن الكترون آخر وعندئذ سيبدو ( كوبر ، عام ١٩٥٦ ) أن اصدار الفونون  $q$  من قبل الكترون اندفاعه  $\hbar k$  وامتصاص هذا الفونون من قبل الكترون آخر اندفاعه  $\hbar k'$  يسبب تفاعل الإلكترونات ولهذا التفاعل طبيعة تجاذبية ، وهذا ما يقود إلى تشكيل حالة مرتبطة من الإلكترونات تسمى بالأزواج الإلكترونية ( أزواج كوبر ) ومن المهم ملاحظة أن أصغر طاقة تصل إليها هذه الأزواج تتم ضمن شروط تعاكس الاندفاعات والمغازل للإلكترونين وعندئذ تتغير المميزات العامة لحركة الإلكترونات ضمن هذه الشروط : حيث يتحركان بشكل مترابط أى أنهما يتحركان كأنهما مرتبطان وهذا يعني من الناحية الطاقوية أن الطاقة العنصرية لزواج كوبر تصبح أخفض من  $E_f$  للإلكترونات العادية وعندئذ يصبح الحد الأعلى للحالة الأساسية ( حد فيرمي الأعلى ) غير مستقر ويصبح تشكل الأزواج عملية مناسبة طاويا ، ولنبرهن أن التفاعل بين الإلكترونات يؤدي إلى عدم استقرار الحالة الأساسية ( الناقلية غير المفردة ) للإلكترونات ولذلك ندرس الكترونين معزولين عن غيرهما من الإلكترونات ولكنهما يتفاعلان مع بعضهما ، وسنهمل التفاعلات الأخرى مع بقية الإلكترونات ويمكن في هذه الحالة كتابة التابع الموجي

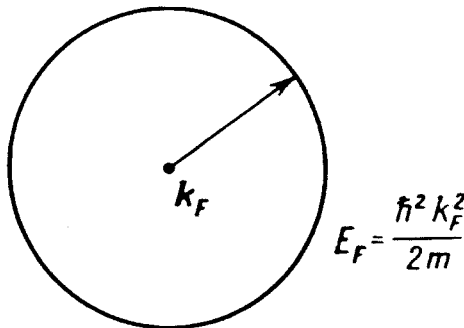
للالكترونين بدلالة احداثياتهما ، وبما أن للالكترونات ذات الاندفاعات والمغازل المتعاكسة أصغر طاقة ممكنة في حالة الأزواج فيمكن أن نكتب ما يلي :

$$k = k_1 + k_2 = 0, \quad s = s_1 + s_2 = 0. \quad (29.1)$$

أما التابع الموجي لهذا الزوج :

$$\Phi(r_1, r_2) = \frac{1}{\Omega} e^{i k_1(r_1 - r_2)} \quad (29.2)$$

حيث  $\Omega$  مضروب المعايرة . وهذا التابع الموجي يصف الحالة الأساسية بدون أى تفاعل بين الالكترونات ، أما طاقة هذه الحالة فتساوى  $2E_F$  ، ولندرس الآن حالة الناقلية المفرطة لجملة الكترولين دون أهمال تفاعلها مع العلم أننا لن نتعرض الآن لطبيعة هذا التفاعل ولهذا نفرض أن جميع السويات ذات الطاقة ( $E_F > E$ ) مملوءة بالالكترونات الأخرى أما الطاقة الصغرى للالكترونين المعزولين فتساوى  $2E_F$  ، أنظر (29.2) ، ولحساب أخفض طاقة لجملة الالكترولين دون أهمال تفاعلها سنبحث عن التابع الموجي بشكل تراكم حالات من أزواج الالكترونات التي تقع اندفاعاتها خارج كرة فيرمي ، أنظر الشكل ٢٩ - ١ ، أى أن :



الشكل ٢٩ - ١ . كرة فيرمي . الحالات من  $k < k_F$  كلها مشغولة .

$$\psi(r_1, r_2) = \sum_{|k| > k_F} a_{k'} e^{ik'R} \quad (29.3)$$

حيث  $R = r_1 - r_2$  . وإذا لم يحدث التفاعل الالكترونى الالكترونى فإن طاقة هذه الحالة ستكون طبعاً أعلى من  $2E_F$  ولكن وجود التفاعل يغير من هذه الصورة ، ولنحاول حساب المعاملات  $a_{k'}$  دون اهمال تفاعل الالكترونات مع بعضها وعندئذ يجب أن يحقق التابع  $\psi$  (29.3) معادلة شرودينجر التالية :

$$\{H_0 + V\} \psi = E\psi \quad (29.4)$$

حيث  $V = V_{ii}$  طاقة التفاعل الالكترونى و  $H_0$  هاملتونيان الجملة بدون تفاعل ، أى أنه يساوى مؤثر الطاقة الحركية ، وبتبديل المعادلة (29.3) فى (29.4) نجد أن

$$\sum_{k' > k_F} a_{k'} (E - H_0) e^{ik'R} = \sum_{k' > k_F} e^{ik'R} V a_{k'} \quad (29.5)$$

وإذا لاحظنا أن :

$$H_0 e^{ik'R} = 2e(k') e^{ik'R}, \quad e(k') = \frac{\hbar^2 k'^2}{2m_0} \quad (29.6)$$

فإننا نحصل من (29.5) على المعادلة :

$$\sum_{k' > k_F} a_{k'} (E - 2e(k')) e^{ik'R} = \sum_{k'} a_{k'} e^{ik'R} V \quad (29.7)$$

ولنضرب الآن طرفى (29.7) بالتابع المرافق :

$$\Phi^* = \frac{1}{\Omega} e^{-ik'R} \quad (R = r_1 - r_2) \quad (29.8)$$

ثم نستكمل بكل الفراغ فنجد أن :

$$\begin{aligned} \frac{1}{\Omega} \sum_{k' > k_F} a_{k'} (E - 2e(k')) \int e^{iR(k'-k)} d^3x_1 d^3x_2 = \\ = \frac{1}{\Omega} \sum_{k' > k_F} a_{k'} \int e^{iR(k'-k)} V d^3x_1 d^3x_2 \quad (29.9) \end{aligned}$$

وباعتبار صحة العلاقة :

$$\int e^{iR(k'-k)} d^3x_1 d^3x_2 = \Omega^2 \delta_{kk'} \quad (29.10)$$

فاننا نحصل أخيرا على ما يلي :

$$a_k (E - 2e(k)) = \frac{1}{\Omega^2} \sum_{k' > k_F} a_{k'} \int e^{iKR} V d^3x_1 d^3x_2$$

حيث  $K = k' - k$  و  $R = r_1 - r_2$  وهكذا حصلنا على معادلة لحساب المعاملات  $a_{k'}$  فى شكل عام . ونلاحظ أنه لا يمكن تطبيق نظرية الاضطراب لأنها تؤدي إلى تناقض وإلى نتائج غير صحيحة ، ولنفرض بعض الفرضيات التى تؤمن لنا اجراء الحسابات حتى النهاية ، إذ يبدو أن الحل بشكل عام غير ممكن فلنفرض أن للتفاعل  $V$  شكلا بسيطا للغاية بحيث يمكن وضع التكامل ( 29.11 ) بشكل جءاء ، أى أن :

$$\frac{1}{\Omega^2} \int e^{iKR} V d^3x_1 d^3x_2 = \lambda W_k W_{k'} \quad (29.12)$$

حيث يقابل المضروب  $\lambda$  حالة تجاذب الالكترونات ( $\lambda < 0$ ) أو حالة تدافعا ( $\lambda > 0$ ) وهكذا نحصل من ( 29.11 ) على ما يلي :

$$a_k (E - 2e(k)) = \lambda W_k \sum_{k' > k_F} a_{k'} W_{k'} \quad (29.13)$$

مع العلم أن المجموع فى الطرف الأيمن لا يحوى  $k$  أى أنه يساوى مقدارا ثابتا

$$C = \sum_{k'} a_{k'} W_{k'} \quad (29.14)$$

وبالتالى يكون

$$a_k = \frac{\lambda C W_k}{E - 2e(k)} \quad (29.15)$$

ولنعوض (29.15) في (29.14) وتحذف  $a_k$  فنحصل على شرط وجود حل لا يساوى الصفر في المعادلة :

$$1 = \lambda \sum_{k > k_F} \frac{W_k^2}{E - 2e(k)} \quad (29.16)$$

ومن هذه المعادلة ينتج أنه إذا تدافعت الالكترونات ( $\lambda > 0$ ) فلا يوجد أي حل للمعادلة من أجل  $E < 2E_F$  لأن الطرف الأيمن سيكون سالبا أما إذا تجاوزت الالكترونات فإننا نحصل بعد ملاحظة  $E < 2E_F$  في المعادلة (29.16) على مجموع حدود موجبة لأن  $\lambda < 0$  أي أنه يوجد حل لجملة الكترونيين طاقتهما أخفض من  $2E_F$  عندما تكون قيمة  $\lambda$  سالبة وهذه الطاقة أصغر من طاقة فيرمي للجملة بدون تفاعل ، وبالتالي توجد حالة خاضعة متوافقة طاقتها صغيرة تقع تحت طاقة الحالة الأساسية ، وهكذا نرى أن تشكل الأزواج عملية مناسبة طاقويا ، ومن الممكن الآن تقييم طاقة ارتباط الزوج الالكتروني ولهذا نعود إلى العبارة (29.16) ونحاول اجراء الحسابات حتى نصل إلى النتائج المقدارية فنفرض أولا أن :

$$W_k = \begin{cases} G, & E_F \leq e \leq E_{i\max} \equiv E_m \\ 0, & e > E_{i\max} \end{cases} \quad (29.17)$$

حيث  $G$  ثابت ما و  $\varepsilon = \hbar^2 k^2 / 2 m_0$  ، أما الجمع فيتم في مجال صغير جدا  $k$  بجوار سطح كرة فيرمي ، ثم ندخل كثافة حالات أزواج الالكترونات  $g(\varepsilon)$  وننتقل من المجموع إلى التكامل فنجد أن :

$$1 = \frac{\lambda G^2}{2} \int_{E_F}^{E_m} \frac{g(e) de}{E - 2e} \quad (29.18)$$

وهنا ادخلنا المضروب  $1/2$  للدلالة على أننا نأخذ من جميع الحالات الالكترونية تلك الحالات التي يكون فيها المغزلان متعاكسين لا غير ،

وبسبب صغر مجال التكامل يمكن اخراج التابع  $g$  خارج التكامل فى النقطة  $\varepsilon = E_F$  وعندئذ نجد

$$1 = \frac{|\lambda|G^2g(E_F)}{4} \ln \left| \frac{2E_m - 2E_F + \Delta}{\Delta} \right|$$

حيث  $\Delta = 2E_F - E$  المقدار المميز لطاقة ارتباط الزوج . وعند تزواج الالكترونات وانتقالها إلى الحركة المرتبطة ينخفض حد فيرمى. الأعلى بمقدار

$$E = 2E_F - \Delta \quad (29.20)$$

ولنفترض أن  $E_m - E_F = E_D$  حيث  $E_D = h\omega_D$  و  $\omega_D$  هما على الترتيب طاقة وتواتر ديباى ويمثل هذا التواتر ، طبقا لنموذج ديباى ، أكبر تواتر لاهتزاز الشبكة البلورية أى أكبر تواتر للفونون وفى هذه الحالة نكتب المعادلة (29.19) بالشكل

$$1 = \frac{|\lambda|G^2g}{4} \ln \left| \frac{2E_D + \Delta}{\Delta} \right| \quad (29.21)$$

ومنه نجد طاقة الارتباط

$$\Delta = \frac{2E_D}{e^{\frac{4}{|\lambda|G^2g}} - 1} \quad (29.22)$$

وبما أن تفاعل الالكترونات يتميز بالمعامل الضعيف  $\lambda G^2$  فإن الأس يكون كبيرا جدا وعندئذ نحصل لطاقة الارتباط على العبارة التالية :

$$\Delta = 2E_D e^{-\frac{4}{|\lambda|G^2g}} \quad (29.23)$$

وهكذا تتناسب طاقة ارتباط الحالة المتوافقة ، أى طاقة ازواج كوبر ، مع طاقة ديباى  $E_D = h\omega_D$  . وينتج من العبارة (29.23) أنه لا يجوز وضعها بشكل سلسلة ( لأن الأس أكبر بكثير من الواحد ) وبهذا نتأكد من عدم امكانية



تطبيق نظرية الاضطراب ، ونستنتج من كل ذلك أنه إذا تواجدت قوى تجاذب بين الالكترونات التي تتحرك في الشبكة فإن هذه الالكترونات تبدأ بالتحول إلى الوضع المترابط : أي أنها تتحرك أزواجا أزواجا ، ويتألف كل زوج منها من الكترونين متعاكسي الاندفاع  $(k_1 \uparrow k_2)$  ومتعاكسي المغزل  $(s_1 \downarrow s_2)$  وهذه الحركة المترابطة هامة جدا لسبب آخر أيضا وهو أن المغزل الكلي للزوج يساوى الصفر أي أن زوج الالكترونات يخضع لاحصاءات بوزى - اينشتين ، فالزوج هو شبه جسيم بوزى - اينشتين ، ولهذا يمكن لجميع هذه الأزواج ( عددها غير ثابت ) أن تقع في حالة كوانتية واحدة. ولم نتطرق عمدا في المثال السابق إلى طبيعة التفاعل  $\lambda G^2$  بين الالكترونات . لقد ذكرنا سابقا أن الالكترونات تتفاعل مع بعضها عن طريق الكوانتات الافتراضية للحقل الصوتى للبلورة ، أي الفونونات العرضانية الافتراضية ولهذا التفاعل طبيعة تجاذبية ويمكن أن يفوق التفاعل الكولونى ويظهر في مجال صغير لشبه الاندفاع بالجوار المباشر لحدود فيرمى جوار محدد بالشرط التالى :

$$\left| \frac{\hbar^2 k^2}{2m_0} - \frac{\hbar^2 k_F^2}{2m_0} \right| < \hbar \omega_D$$

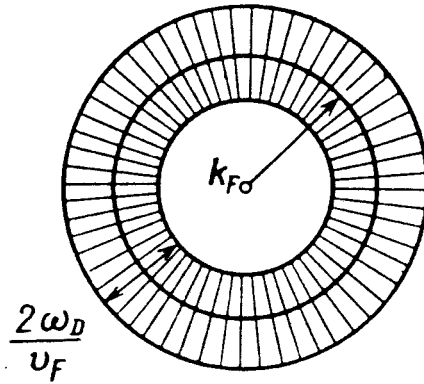
ومنه نحصل بعد الأخذ بعين الاعتبار العلاقة التالية :

$$\frac{\hbar k + \hbar k_F}{2m_0} \simeq \frac{\hbar k_F}{m_0} = v_F$$

( انظر الشكل ٢٩ - ٢ ) على الشرط التالى :

$$|k - k_F| < \frac{\omega_D}{v_F} \quad (29.24)$$

وهكذا تنشأ الآلية التى تخلق الشروط المناسبة لتشكيل أزواج كوبر حيث تصبح حركة الالكترونات مرتبطة وتسلك سلوك جسيمات بوزى - اينشتين ، وان طاقة الأزواج صغيرة جدا بصورة عامة ويكفى رفع درجة الحرارة



الشكل ٢٩ - ٢ . مجال التفاعل الفعال بين الالكترونات في عملية تشكل الأزواج .

قليلا حتى يبدأ الاضطراب الحرارى بتهديم الزوج أى أنه يفك الحالة المتوافقة ، ولكن لا بد من صرف طاقة ليست أقل من  $\Delta$  حتى يتفكك الزوج ، ولهذا تصبح الحركة المتوافقة للأزواج مستقرة فى درجات الحرارة المنخفضة وتكون الأزواج الالكترونية التى تخضع لاحصاءات بوزى - اينشتين فى نفس الحالة ، بحيث تظهر أزواج تتحرك بشكل متوافق . ولندخل فى النظرية المجهرية الكوانتية للناقلية المفرطة مفهومًا جديدًا بجانب مفهوم الحالة الأساسية للعنصر مفرط الناقلية ( أزواج كوبر ) وهو مفهوم الاشارات أو أشباه الجسيمات التى يعطى طيف طاقتها بالعلاقة التالية :

$$E(k) = \sqrt{\xi^2(k) + \Delta^2(k)} \quad (29.25)$$

حيث  $\xi(k) = \hbar^2 k^2 / 2m_0 - \hbar^2 k_F^2 / 2m_0$  هى الطاقة الحركية للاضطراب محسوبة اعتبارًا من سطح فيرمى و  $\Delta$  هى الثغرة الطاقوية التى تتبع شبه الاندفاع بحدّة ، ويمكن اعتبار  $\Delta$  مقدارًا ثابتًا معينًا بالعلاقة ( 29.22 ) ضمن المجال الفعال لتفاعل الالكترونات  $\hbar\omega_D$  ( طاقة دييباي ) ، ولكن  $\Delta$  لا تبلغ هذه القيمة إلا فى الدرجات المنخفضة جدًا (  $T - 0$  ) وبارتفاع درجات الحرارة تبدأ  $\Delta$  بالتناقص ، وعند الوصول إلى درجة حرارة  $T_c$  تنعدم  $\Delta$  بعد

هذه الدرجة  $T > T_c$  لا يمكن أن تحدث حالة فرط الناقلية بسبب غياب الثغرة الطاقوية ( $\Delta = 0$  عندما  $T > T_c$ ) ، وترتبط النهاية العظمى للطاقة  $\Delta$  مع درجات الحرارة الحرجة للانتقال الطورى فى حالة الناقلية المفرطة بالعلاقة :

$$\Delta \approx k_B T_c \quad (29.26)$$

حيث  $K_B$  ثابت بولسمان  $T_c \sim 20$  K و  $(T_D \sim 100$  K) . ويعتبر وجود فجوة ( ثغرة ) طاقوية فى طيف الطاقة المثار ( المهيج ) نقطة انعطاف فى نظرية فرط الناقلية ولا توجد هنا حالات تقع على بعد صغير جدا من الحالة الأساسية ، كما يحدث فى المعدن العادى ولهذا تكون حالات الناقلية المفرطة ضمن هذا المفهوم شبيهة بنصف ناقل عرض منطقته المحظورة  $\Delta$  2 (نكر فى العلاقة (29.25) الفرع الموجب من الجذر التربيعى وهو الفرع الموافق لطاقة اثاره الكترون ، أما طاقة اثاره الثغرة فتوصف بالفرع السالب) وبالتالي تكون أصغر طاقة اثاره مساوية  $\Delta$  2 عندما  $k = k_F$  . أما إذا حرصنا تيارا فى النواقل مفرطة الناقلية فلا يمكن لعمليات التشتت العادية أن تسبب تخامد التيار لأن الحالات الأساسية المتوافقة مستقرة ولكى يزول استقرارها وتحدث الاشارة لا بد من صرف طاقة تساوى طاقة ارتباط أزواج كوبر  $\Delta$  2 ، وهذا ما يفسر الخواص الغريبة لمثل هذه النواقل . ولندرس الآن مفهوما يتعلق بالتابع الموجى للحالة مفرطة الناقلية ، فلقد نكرنا سابقا أنه يحدث فى درجات الحرارة المنخفضة تنظيم داخلى لحركة الالكترونات ، أى تزواج ينشأ عنه جملة كوانتية مرئية هى عبارة عن مكثف يمثل الحالة الأساسية لجملة أزواج الالكترونات الخاضعة لاحصاءات بوزى ، وانطلاقا من فكرة التنظيم الكلى الداخلى لحركة الأزواج ، من الطبيعى فرض تابع موجى  $\psi$  منسوب للمكثف المرتبط بحالة الناقلية المفرطة يمكن كتابته بالشكل التالى :

$$\psi = \sqrt{\rho} e^{i\varphi} \quad (29.27)$$

حيث  $\rho(r, t)$  و  $\varphi(r, t)$  تابعان حقيقيان . وعندئذ نحسب من العبارة العامة للكثافة الاحتمالية لتيار الأزواج ذى الشحنة  $q = 2e$  فى الحقل المغناطيسى أن  $\mathcal{H} = \text{rot } A$

$$j = -\frac{i\hbar}{2m_0} \{ \psi^* \nabla \psi - \psi \nabla \psi^* \} - \frac{qA}{m_0 c} \psi^* \psi \quad (29.28)$$

وإذا بدلنا التابع (29.27) فى هذه العبارة فإننا نجد

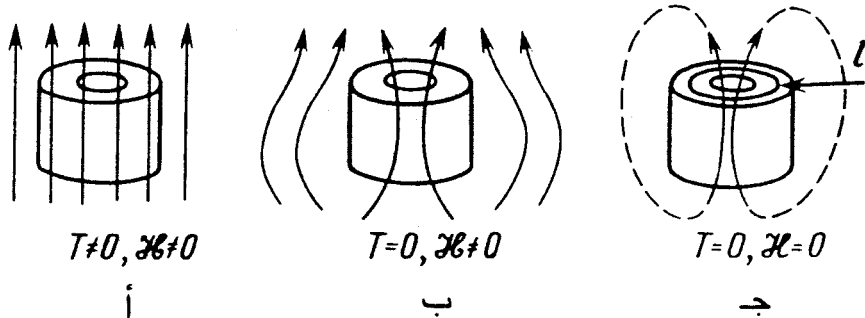
$$j = \left\{ \frac{\hbar}{m_0} \nabla \varphi - \frac{q}{m_0 c} A \right\} \rho \quad (29.29)$$

ويكون الطور  $\varphi$  هنا مقدارا قابلا للقياس ، ومن المهم التأكيد مرة أخرى أن حالات فرط الناقلية تتميز بالتوافق المرئى ( الماكروسكوبى ) ولهذا يكون التابع الموجى (29.27) مناسباً لكل النماذج ويصف كل المجموعة ، هذا ويتألف التابع الموجى فى النظرية الدقيقة لفرط الناقلية من توابع الكترونية عادية شديدة التعقيد ، والقيمة المطلقة للتابع  $\psi$  فى إطار التكميم الثانى تعطى بالعلاقة :

$$\langle \psi \rangle \simeq \frac{\Delta}{v_{int}} \quad (29.30)$$

حيث  $\Delta$  طاقة ارتباط الزوج و  $v_{int}$  متوسط طاقة تفاعل الالكترونات وهكذا ينعدم التابع الموجى لحالة فرط الناقلية عندما  $\Delta = 0$  .

ب) تكميم التدفق المغناطيسى فى النواقل المفرطة . يمكن الاستفادة من خواص الناقلية لتوضيح مجموعة ظواهر تحدث فى هذه النواقل المفرطة . فلندرس أولاً ظاهرة تستدعى الاهتمام وهى تكميم التدفق المغناطيسى المار خلال حلقة مفرطة الناقلية ، ولتكن حلقة من هذا النوع موضوعة فى حقل مغناطيسى فى الدرجة العادية ( الشكل ٢٩ - ٣ ، أ )



الشكل ٢٩ - ٣ . مرور التدفق المغناطيسي عبر حلقة مائتة الناقلية .

حيث تمر خطوط الحقل المغناطيسية من خلال جسم الحلقة ، ولكن عندما تبرد الحلقة إلى درجة قريبة من الصفر المطلق فإن الحقل المغناطيسي يدفع منها ( ظاهرة ميزنر ، عام ١٩٣٣ ) ( انظر الشكل ٢٩ - ٣ ، ب ) . وبعد الدخول في حالة فرط الناقلية يبقى قسم من التدفق المغناطيسي مارا عبر ثقب الحلقة حتى ولو نزعنا الحقل تماما ( الشكل ٢٩ - ٣ ، ج ) ، حيث يبقى تيار فرط الناقلية المار عبر جسم الحلقة من التدفق المغناطيسي ثابتا ؛ فكان الحقل المغناطيسي « جمد » في هذه الحلقة ، وبما أن كثيرا من الالكترونات تتحرك في الحلقة في وضع مرتبط ، فيجب أن تظهر الخواص الكوانتية في الجملة الماكروسكوبية ، وبالفعل يبدو أن التدفق المغناطيسي « الاسير » وكأنه ظاهرة كوانتية ، ولندرس هذه الظاهرة انطلاقا من تابع فرط الناقلية ( 29.27 ) وكثافة التيار ( 29.29 ) ، وفي الدرجة  $T=0$  في حالة غياب الحقل المغناطيسي ضمن مادة الحلقة ، ولهذا يكون

$$\mathcal{H} = 0, \quad \text{rot } \mathcal{H} = \frac{4\pi}{c} j = 0, \quad j = 0 \quad (29.31)$$

ويمكن أن يلاحظ التيار المختلف عن الصفر قرب سطح الحلقة فقط وعلى العمق الذي يستطيع الحقل المغناطيسي الوصول إليه . ولنختار المنحنى المغلق  $l$  الذي نستكمل عليه ، في جسم الحلقة ( الشكل ٢٩ - ٣ ، ج ) ، وعندئذ يكون

$$\oint_I j dl = 0 \quad (29.32)$$

ثم نأخذ كثافة التيار من (29.29) والتي حصلنا عليها لحالة الناقلية المفرطية وهي

$$j = \left( \frac{\hbar}{m_0} \nabla \varphi - \frac{q}{m_0 c} A \right) \rho$$

وبما أن  $\rho = \rho_0$  كمية ثابتة على المنحنى التكاملي فيمكن كتابة (29.32) بالشكل التالي :

$$\frac{\hbar c}{q} \oint_I \text{grad } \varphi dl = \oint_I A dl \quad (29.33)$$

وبما أن

$$\oint_I A dl = \int \text{rot } A dS = \int \mathcal{H} dS = \Phi \quad (29.34)$$

حيث  $\Phi$  التدفق المغناطيسي المغصوب في الحلقة ، وأن

$$\oint_I \text{grad } \varphi dl = \oint \frac{d\varphi}{dl} dl = \oint d\varphi = 2\pi n \quad (29.35)$$

حيث  $n=0,1,2,\dots$  عدد يميز التغير الكلي للطور فإننا نجد أخيرا أن :

$$\Phi = 2\pi n \frac{\hbar c}{q} \quad (29.36)$$

أى أن التدفق المغناطيسي المغصوب هو ظاهرة كوانتية لأنها تساوى أضعاف تكميم التدفق  $\Phi_0$  الذى يساوى

$$\Phi_0 = \frac{2\pi \hbar c}{q} \quad (29.37)$$

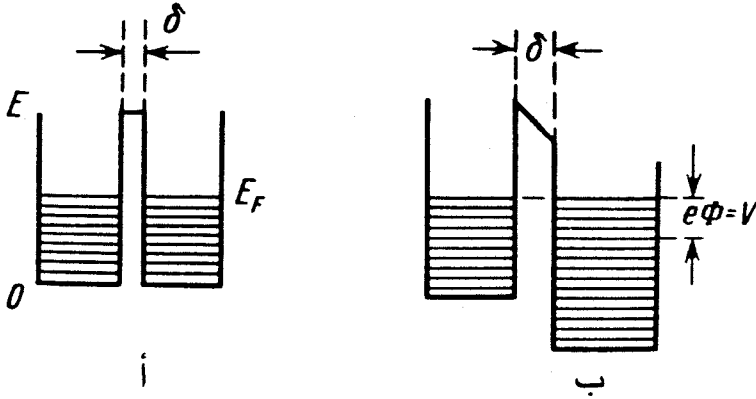
وهذا مقدار صغير جدا ويمكن كتابته بالشكل :

$$\Phi_0 = \frac{2\pi \mu_0}{r_0}$$

حيث  $\mu_0 = e_0 \hbar / 2m_0 c$  مغناطيون بور و  $r_0 = e^2 / m_0 c^2$  نصف القطر الكلاسيكي للإلكترون ، ولهذا ينبغي لكشف هذه الظاهرة تجريبيا إجراء قياسات فائقة الدقة إذ أن التدفق المغناطيسي الناتج عن الكترون وحيد ، ويكون الحقل المغناطيسي ( 29.36 ) فى الواقع أجزاء مئوية من الحقل المغناطيسى الأرضى وقد بزهن التحقيق التجريبى للعلاقة ( 29.36 ) كل من دول ونابور وفيربانك وديفر عام ١٩٦١ على صحة النتائج النظرية. وتبين أن الشحنة  $q$  تساوى ضعف شحنة الإلكترون  $q = 2e_0$  وهذا دليل حاسم لصالح فرط الناقلية التى تؤكد أن التدفق المغناطيسى يتشكل نتيجة لحركة الإلكترونات المتزاوجة ، وهكذا اكتشف مظهر جديد لقوانين الميكانيكا الكوانتية فى الظواهر المجهرية .

**ج ) ظاهرة النفق فى النواقل المفرطة ( ظاهرة جوزيفسون ) .** تعتبر ظاهرة النفق إحدى أبرز ظواهر الخواص الموجية للجسيمات كما وتعتبر من أهم نجاحات الميكانيكا الكوانتية فى كشف قانونية « العالم المجهرى » ، وقد بدأ الباحثون مؤخرا بإعطاء أهمية خاصة لظاهرة النفق فى النواقل المفرطة لأن التنبؤات النظرية والخواص المحققة تجريبيا تؤكد أن لهذه الظاهرة أهمية \* تطبيقية كبرى . ولكى نفهم ظاهرة جوزيفسون بشكل أفضل ، ندرس أولا ظاهرة النفق العادية فى المعادن ، وتعتبر هذه العملية معاكسة تماما لظاهرة فرق الكمونات التماسى . ولندرس أولا نمونجا مؤلفا من معدنين موصولين بعازل ثخنه  $\delta$  ، وبما أننا سنفرض تشابه حدود فيرمى فى الناقلين ( لن يوجد تيار ) فإن الإلكترونات ستكون فى وضع متوازن ( انظر الشكل ٢٩ - ٤ ، ١ ) وبتطبيق فرق الكمون  $V = \Phi e$  على المعدنين فإن حدود فيرمى ستزاح بالنسبة لبعضها ، ( انظر الشكل ٢٩ - ٤ ، ب ) وعندئذ يظهر تيار تتناسب قيمته مع فرق الكمونين ، وفى الحقيقة يؤدى

\* لقد تنبأ جوزيفسون نظريا بظاهرة النفق فى النواقل المفرطة ، وقد لوحظت هذه الظاهرة تجريبيا ، وقد نال جوزيفسون جائزة نوبل عام ١٩٧٣ تقديرا لدوره فى أبحاث ظاهرة النفق فى الأجسام الصلبة .



الشكل ٢٩ - ٤ . عملية النفق من أجل الالكترونات في المعادن .

انزياح مستويات طاقة الالكترونات بمقدار  $\Delta E = e\Phi = V$  إلى ظهور حقل كهربائي  $\mathcal{E} = \Phi/\delta$  في منطقة التماس وهذا ما يسبب تيارا ، ومن الواضح أنه لا يجرى شحن المعدنين في هذه الحالة ولهذا لا تتغير كثافة الالكترونات كما لا يتغير وضعى سويتى فيرمى ، ولنحسب الآن تيار عملية النفق وذلك نفرض أن الكترونا يقع في حالة ذات شبه اندفاع  $\hbar k$  أى أن  $E = E(k)$  وعندئذ يمكن كتابة تيار عملية النفق بالشكل التالى :

$$J(k) = D(k) \frac{1}{\hbar} \frac{\partial E(k)}{\partial k} \frac{e}{L} = D(k) \frac{ev}{L} \quad (29.38)$$

حيث  $D(k)$  معامل شفافية الحاجز و  $e$  شحنة الالكترون و  $L$  ثخن المعدن أما  $v = \frac{\partial E}{\partial \hbar k}$  فهي سرعة الالكترون ، وعندئذ يساوى التيار الكلى  $J$  إلى :

$$J = \sum_s \sum_k \frac{eD(k)}{L} \frac{\partial E}{\partial \hbar k} = \frac{2e}{2\pi\hbar} \int D(k) \frac{\partial E}{\partial k} dk = \frac{e}{\pi\hbar} \int_{E_F - e\Phi}^{E_F} D(E) dE, \quad (29.39)$$

حيث يعطى فعل المغازل بالمعامل 2 كما أننا انتقلنا من المجموع إلى التكامل لأن معامل الشفافية  $k$  الذى يعطى بالعلاقة ( انظر 5.56 ) :



$$D = \exp \left[ -\frac{2}{\hbar} \int^x \sqrt{2m_0(V-E)} dx \right] \quad (29.40)$$

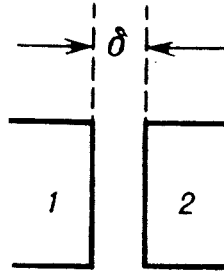
يحوى الكمون  $\Phi$  ( مقدار صغير ) وهو تابع انسيابي بشكل، كاف فيمكن اعتبار  $D$  ثابتا تقريبا وإخراجه خارج التكامل حيث يكون

$$D(E) = D(E_F) = \bar{D} \quad (29.41)$$

وعندئذ نجد

$$I = \frac{e}{\pi \hbar} \bar{D} e \Phi = \text{const } \Phi = \frac{V}{R} \quad (29.42)$$

حيث  $R = \frac{\pi \hbar}{e \bar{D}}$  المقاومة الكهربائية . وهكذا نرى أن عملية النفق في المعادن العادية تؤدي إلى ظهور تيار كهربائي يتناسب مقداره مع فرق الكمون أي أن قانون أوم صحيح في هذه الحالة ، ولندرس الآن هذه الظاهرة في النواقل المفرطة ، ويعتبر هذا مثالا جديدا على عبور الجسيمات خلال حاجز كموني ( نقصد بالجسيمات في حالتنا هذه أزواج الالكترونات ) ، فعندما نقرب ناقلين مفرطين من بعضهما ( الشكل ٢٩ - ٥ ) ، نلاحظ أن



الشكل ٢٩ - ٥ . مخطط الظاهرة النفقية في النواقل المفرطة .

انتقالات جوزيفسون الكوانتية تبدو للوهلة الأولى ذات خواص غير متوقعة . وسنعطى الآن وصفا تقريبا كفيها لهذه الظاهرة ولهذا نتبع الطريقة إلى اقتراحها فينمان وهي الطريقة التي لاقت الآن عدة تطبيقات ، حيث سندرس سلوك الالكترونات المتزاوجة ( أزواج الالكترونات ) في حالة الناقلية المفرطة بواسطة التابع الموجي ( 29.27 ) وعندئذ يجب أن يحقق التابعان الموجيان  $\psi_1$  و  $\psi_2$  للناقلية المفرطة معادلتى شرودينجر التاليتين :

$$i\hbar \frac{\partial}{\partial t} \psi_1 = V_1 \psi_1 + k \psi_2$$

(29.43)

$$i\hbar \frac{\partial}{\partial t} \psi_2 = V_2 \psi_2 + k \psi_1$$

وهنا لن ندرس سوى الحالة الأساسية ولهذا يمكن أن نهمل الطاقة الحركية بسبب صغر الاندفاعين ، أما  $V_2$  و  $V_1$  فهما كمونا الناقلين المفرطين الأول والثاني على الترتيب و  $k$  ثابت ما يتعلق بالانتقال ، أى أنه يحدد علاقة الناقلين ببعضهما ، ولقد فهم طبيعة هذا الثابت تماما فى ضوء النظرية المجهرية أما هنا فيكون استخدامنا لـ  $k$  شكليا لا غير ، ولنفرض الآن أننا طبقنا على الناقل المفرط فرق كمون يساوى

$$V_1 - V_2 = qV \quad (29.44)$$

حيث  $q = 2e$  شحنة الزوج و  $V$  فرق كمون البطارية ، ولكى تكون الحسابات أكثر تناسقا نكتب  $V_1 = qV/2$  و  $V_2 = -qV/2$  وعندئذ تتحول مجموعة معادلتى شرودينجر إلى الشكل التالى :

$$i\hbar \dot{\psi}_1 = \frac{qV}{2} \psi_1 + k \psi_2 \quad (29.45)$$

$$i\hbar \dot{\psi}_2 = -\frac{qV}{2} \psi_2 + k \psi_1$$

ثم ننقل إلى عبارة التابع الموجى (29.27) لحالة فرط الناقلية ، أى أن :

$$\Psi(r, t) = \sqrt{\rho} e^{i\varphi}, \quad \rho = \rho(r, t), \quad \varphi = \varphi(r, t) \quad (29.46)$$

فنحصل على مجموعة أربع معادلات تربط  $\rho$  و  $\varphi$  وهى التالية :

$$\dot{\rho}_1 = \frac{2k}{\hbar} \sqrt{\rho_1 \rho_2} \sin \alpha, \quad \dot{\varphi}_1 = -\frac{k}{\hbar} \sqrt{\frac{\rho_2}{\rho_1}} \cos \alpha - \frac{qV}{2\hbar} \quad (29.47)$$

$$\dot{\rho}_2 = -\frac{2k}{\hbar} \sqrt{\rho_1 \rho_2} \sin \alpha, \quad \dot{\varphi}_2 = -\frac{k}{\hbar} \sqrt{\frac{\rho_1}{\rho_2}} \cos \alpha + \frac{qV}{2\hbar}$$

حيث  $\dot{\rho}_1 + \dot{\rho}_2 = 0$  نجد مباشرة أن  $\alpha = \varphi_2 - \varphi_1$  وفى هذه المعادلات نجد مباشرة أن  $\dot{\rho}_1 + \dot{\rho}_2 = 0$  أى أن أحد الناقلين يفقد شحنته بنفس السرعة التى يكتسبها الآخر منه ، وبما

أن أى تناقص فى الشحنة يجب أن يعوضه مصدر الجهد ( البطارية ) فلا بد أن يبقى متوسط الشحنة الشكلية ثابتا ونستطيع أن نكتب :

$$\rho_1 \approx \rho_2 = \rho_0 \quad (29.48)$$

وهكذا يمر بين الناقلين المفرطين التيار التالى :

$$J = \dot{\rho}_1 = -\dot{\rho}_2 = \frac{2k}{h} \rho_0 \sin \alpha = J_0 \sin \alpha \quad (29.49)$$

ونلاحظ أنه فى النظرية الدقيقة لفرط الناقلية يكون  $J_0 \sim D\Delta$  حيث  $\Delta$  عرض الثغرة الطاقوية للناقل المفرط ، وطبقا لهذه الفرضيات نستطيع الحصول من الزوج الثانى من المعادلات ( 29.47 ) على ما يلى :

$$\dot{\phi}_2 - \dot{\phi}_1 = \dot{\alpha} = \frac{qV}{h} \quad (29.50)$$

حيث  $\rho_2 = \rho_1 = \rho_0$  ، ولهذا نجد أن :

$$\alpha = \alpha_0 + \frac{q}{h} \int_0^t V dt \quad (29.51)$$

وهكذا نرى أن المعادلتين التاليتين :

$$\begin{aligned} J &= J_0 \sin \alpha, \\ \alpha &= \alpha_0 + \frac{q}{h} \int_0^t V dt \end{aligned} \quad (29.52)$$

تصفان ظاهرة النفق فى النواقل مفرطة الناقلية ( ظاهرة جوزيفسون ) ، ولذلك ندرس نتائجها :

١ - ظاهرة جوزيفسون الراسخة : لنفرض أنه لم يطبق أى فرق كمون على جملة الناقلين المفرطين أى أن  $V = 0$  وبالرغم من ذلك يختلف التيار فى هذه الحالة عن الصفر

$$-J_0 \leq J \leq J_0 \quad (29.53)$$

أما قيمة هذا التيار فتتغير بفرق الطورين  $\varphi_2 - \varphi_1$  ، ويجدر التنويه إلى أن الطور  $\varphi$  الذى يدخل فى عبارة التابع (29.27) هو مقدار مقاس لأن التابع نفسه يقابل الحالة المتوافقة للناقلية المفرطة ، وتبدو هذه النتيجة ( $V = 0$ ) ، فى تناقض حاد مع القوانين العادية لظاهرة النفق ، أنظر (29.42) .

٢ - ظاهرة جوزيفسون غير الراسخة . لنفرض أننا طبقنا على مجموعة النواقل المفرطة فرق الكمون  $V = V_0$  وعندئذ نجد من (29.52) أن :

$$\alpha = \alpha_0 + \frac{q}{\hbar} \int_0^t V dt = \alpha_0 + \frac{qV_0}{\hbar} t \quad (29.54)$$

أما التيار فيساوى عندئذ

$$J = J_0 \sin \alpha = J_0 \sin \left( \alpha_0 + \frac{qV_0 t}{\hbar} \right) \quad (29.55)$$

ونلاحظ أن  $\omega_j = \frac{2e V_0}{\hbar}$  هو مقدار كبير (تواتر جوزيفسون) ، وهكذا

نرى أنه عندما يتلامس ناقلان مفرطان ويطبق بينهما كمون ثابت  $V_0$  فلا بد أن ينشأ تيار بينهما يتذبذب بسرعة مع الزمن بتواتر  $\omega_j = \frac{2e V_0}{\hbar}$  وينعدم هذا التيار عندما نوسط بالزمن .

٣ - الظاهرة التجاوبية : لندرس ما يحدث عندما نطبق على الناقلين

المذكورين التواتر التالى

$$V = V_0 + v \cos(\Omega t + \theta) \quad (29.56)$$

وعندئذ نجد أن :

$$\alpha = \alpha_0 + \frac{q}{\hbar} \int_0^t V dt = \alpha_0 + \omega_j t + \frac{qv}{\hbar \Omega} \sin \Omega t \quad (29.57)$$

(وقد جعلنا  $\theta = 0$  توخياً للتبسيط) وهكذا نحصل على تيار ظاهرة النفق التالى :

$$J = J_0 \sin \left\{ \alpha_0 + \omega_f t + \frac{qv}{\hbar\Omega} \sin \Omega t \right\} \quad (29.58)$$

ولكى تتم مناقشة هذه العلاقة نختار  $v \ll V_0$  وعندئذ نجد بالنشر أن :

$$\sin \left[ \alpha_0 + \omega_f t + \frac{qv}{\hbar\Omega} \sin \Omega t \right] \simeq \sin (\alpha_0 + \omega_f t) + \frac{qv}{\hbar\Omega} \sin \Omega t \cos (\alpha_0 + \omega_f t) + \dots \quad (29.59)$$

أما التيار  $J$  فيساوى

$$J = J_0 \left[ \sin(\alpha_0 + \omega_f t) + \frac{qv}{\hbar\Omega} \cos(\alpha_0 + \omega_f t) \sin \Omega t \right] \quad (29.60)$$

وينعدم الحد الأول عند التوسيط بالزمن نتيجة للتذبذب السريع أما الحد الثانى فلا يساهم فى التيار إلا عندما تتحقق شرط التجاوب  $\Omega = \omega_f$  . وهكذا تمت دراسة الانتقالات النفقية لأزواج الالكترونات فى النواقل المفرطة ، ولا تعتبر ظاهرة جوزيفسون نتيجة هامة للنظرية العامة للنواقل المفرطة فحسب بل انجازا هاما للنظرية على طريق التطبيقات العملية فى كثير من المجالات والتي من أهمها مسائل التوليد الكوانتى للأمواج الكهرطيسية ، واختراع الصمامات الثنائية النفقية مفرطة الناقلية التى تستخدم فى الأمواج الدقيقة والمناطق تحت الحمراء وفى خلايا الذاكرة فى الحاسبات الالكترونية وفى عدد آخر من المسائل التطبيقية .

### البند ٣٠ - حركة الكترون فى حقل مغناطيسى ثابت ومتجانس

من المهم فى كثير من المسائل النظرية المعاصرة لتفاعل الجسيمات والحقول إيجاد حلول لمعادلة ديراك التى تدرس الحالات الكوانتية للفرميونات فى حقل خارجى وبواسطة هذه الحلول يمكن تحليل سلوك الجسيمات فى ظروف الطاقات العالية وبحث الظواهر اللاخطية فى مسألة الاشعاع ودراسة تفاعل الجسيمات مع الأمواج الكهرطيسية القوية ( حزم

اللازير) وغيرها . وفي جميع هذه المسائل يفرض أن الجسم مقيد ويدخل الحقل الكهرومغناطيسي في الوصف الدقيق للحالة الكوانتية . وترتكز مراحل حل مسألة تفاعل الجسيمات مع الفونونات على المعرفة الدقيقة للتابع الذي لا يهمل تأثير الحقول الخارجية عند استنتاجه ( تمثيل فرى ) .

أ) التابع الموجي . لنبدأ بحل معادلة ديراك للإلكترون النسبي المتحرك في حقل مغناطيسي ثابت ومتجانس وموجه باتجاه المحور  $z$  في جملة الاحداثيات الاسطوانية  $r, \varphi, z$  ويبدو أن هذه الاحداثيات أكثر ارتباطاً بخواص الإلكترون وطبقاً لذلك سنختار الكمون  $A$  للمسألة بالشكل :

$$A_x = -\frac{1}{2} y \mathcal{H}, \quad A_y = \frac{1}{2} x \mathcal{H}, \quad A_z = 0 \quad (30.1)$$

ولا يتعلق هذا المقدار بالزمن وهذا ما يؤمن الانتقال من معادلة ديراك التالية :

$$(i\hbar \frac{\partial}{\partial t} - H) \psi = 0 \quad (30.2)$$

إلى المسألة الراسخة لأن الهاملتونيان :

$$H = c(\alpha P) + \rho_3 m_0 c^2, \quad P = p + \frac{e_0}{c} A = -i\hbar \nabla + \frac{e_0}{c} A \quad (30.3)$$

لا يتعلق بصورة صريحة بالزمن ، ولنفرض :

$$\psi(r, t) = e^{-\frac{i}{\hbar} eEt} \psi(r) \quad (30.4)$$

حيث يختص المقدار  $\varepsilon = \pm 1$  بإشارة الطاقة و  $E = c\hbar K > 0$  هي القيمة المطلقة للطاقة ، أما مركبات التابع الموجي  $\psi(r)$  فهي تحقق جملة المعادلتين :

$$\begin{aligned} (eE \mp m_0 c^2) \psi_{1,3} - c(P_x - iP_y) \psi_{4,2} - cP_z \psi_{3,1} &= 0 \\ (eE \mp m_0 c^2) \psi_{2,4} - c(P_x + iP_y) \psi_{3,1} + cP_z \psi_{4,2} &= 0 \end{aligned} \quad (30.5)$$

وحيث تفصل المتحولات  $r, \varphi, z$  (وهنا تكمن البساطة الناتجة عن تجانس الحقل المغناطيسي) ، ولنكتب التابع الموجى  $\psi(r)$  بالشكل التالى :

$$\psi(r) = \psi(l, k_3) f \quad (30.6)$$

حيث تكون التوابع

$$\psi(l, k_3) = \frac{e^{ik_3 z}}{\sqrt{L}} \frac{e^{i(l-1/2)\varphi}}{\sqrt{2\pi}} \quad (30.7)$$

متعامدة ، أى أن :

$$\int_0^{2\pi} d\varphi \int_{-L/2}^{L/2} dz \psi^*(l', k'_3) \psi(l, k_3) = \delta_{k'_3 k_3} \delta_{l' l} \quad (30.8)$$

مع العلم أن  $k_3 = 2\pi n_3/L$  ,  $n_3 = 0, \pm 1, \pm 2, \dots$  ,  $l = 0, \pm 1, \pm 2, \dots$  هو العدد المدارى الذى يختص بمسقط العزم الكلى على المحور  $z$  ، أى على اتجاه الحقل المغناطيسى ، ولعل من المناسب أن نكتب العناصر المصفوفية  $r$  للقسم القطرى من التابع الموجى بالشكل التالى :

$$f = \begin{pmatrix} f_1 e^{-i\varphi/2} \\ f_2 e^{i\varphi/2} \\ f_3 e^{-i\varphi/2} \\ f_4 e^{i\varphi/2} \end{pmatrix} \quad (30.9)$$

وعند الانتقال إلى مجموعة الاحداثيات الاسطوانية  $(x = r \cos \varphi, y = r \sin \varphi, z)$  يتحول مؤثر الاندفاع الحركى إلى الشكل :

$$P_x \pm iP_y = -i\hbar e^{\pm i\varphi} \left[ \frac{\partial}{\partial r} \pm \frac{i}{r} \frac{\partial}{\partial \varphi} \mp \gamma r \right] \quad (30.10)$$

$$P_z = -i\hbar \frac{\partial}{\partial z}, \quad \gamma = \frac{e_0 \mathcal{H}}{2ch}$$

وتم من المناسب فرض متحول جديد عديم الأبعاد  $\rho = \gamma r^2$  ، وعندئذ تأخذ مجموعة المعادلات اللازمة لحساب مركبات  $f$  الشكل التالى :

$$\begin{aligned} (eK \mp k_0) f_{1,3} + iR_2 f_{4,2} - k_3 f_{3,1} &= 0 \\ (eK \mp k_0) f_{2,4} + iR_1 f_{3,1} + k_3 f_{4,2} &= 0 \end{aligned} \quad (30.11)$$

حيث تقابل الإشارة العليا الدليل الأول الموضوع بجانب التابع  $f$  وتقابل الإشارة السفلى الدليل الثاني ، أما المؤثران  $R_1$  و  $R_2$  فهما

$$R_1 = \sqrt{\gamma\rho} \left[ 2 \frac{d}{d\rho} - 1 - \frac{l-1}{\rho} \right], \quad R_2 = \sqrt{\gamma\rho} \left[ 2 \frac{d}{d\rho} + 1 + \frac{l}{\rho} \right] \quad (30.12)$$

وبتربيع (30.11) أى بحذف مركبتى التابع الموجى  $f_{1,3}$  أو  $f_{2,4}$  بالتالى نحصل على مجموعة من معادلات من المرتبة الثانية :

$$\left\{ \rho \frac{d^2}{d\rho^2} + \frac{d}{d\rho} + \lambda - \frac{l}{2} - \frac{\rho}{4} - \frac{(l-1)^2}{4\rho} \right\} f_{1,3} = 0$$

$$\left\{ \rho \frac{d^2}{d\rho^2} + \frac{d}{d\rho} + \lambda - \frac{l-1}{2} - \frac{\rho}{4} - \frac{l^2}{4\rho} \right\} f_{4,2} = 0 \quad (30.13)$$

مع العلم أن :

$$\lambda = \frac{K^2 - k_0^2 - k_3^2}{4\gamma}$$

ويوجد تشابه تام فى حل هاتين المعادلتين . ولنأخذ المعادلة الثانية من (30.13) ، ولنأخذ بعين الاعتبار السلوك التقريبي للتابع الموجى فى مبدأ الاحداثيات

$$f \rightarrow f_0 = \rho^{l/2} \quad (30.14)$$

وفى اللانهاية (  $\rho \rightarrow \infty$  ) :

$$f \rightarrow f_\infty = e^{-\rho/2} \quad (30.15)$$

ثم بالانتقال إلى التابع الموجى  $u(\rho)$  حسب العلاقة :

$$f = f_0 f_\infty u = e^{-\rho/2} \rho^{l/2} u(\rho) \quad (30.16)$$

نجد أن  $u(\rho)$  يكون حلا للمعادلة التفاضلية التالية :

$$\rho u'' + (l+1-\rho)u' + (\lambda-l)u = 0$$

وهذا الحل سيعطى كما هو معروف بالتابع المتسامى المنطبق التالى :

$$u = \Phi \{ -(\lambda-l), l+1, \rho \} \quad (30.17)$$



ومن الضروري قطع السلسلة المتسامية كما فعلنا في حالة الذرات الشبيهة بالهيدروجين ، وذلك من أجل الحلول المتناقصة عندما  $p \rightarrow \infty$  وهذا يتحقق إذا كان  $s = l - \lambda$  حيث  $s = 0, 1, 2, \dots$  هو العدد الكوانتى القطرى ولهذا يأخذ الوسيط  $\lambda$  قيما صحيحة  $\lambda = s + l = n = 0, 1, 2, \dots$  حيث  $n$  هو العدد الكوانتى الرئيسى أو الطاقوى ونحصل على طيف الطاقة بواسطة ( 30.13 ) ، حيث نجد أن :

$$K = \sqrt{k_0^2 + k_3^2 + 4\gamma n} \quad (30.18)$$

مع العلم أن العدد الكوانتى  $n$  يقابل حركة الالكتران الدورية فى مستو متعامد مع الحقل المغناطيسى ( سويات لاندوا ) ، أما  $hk_3$  فهى القيمة الخاصة لمؤثر مسقط الاندفاع على اتجاه الحقل المغناطيسى ( الحركة الحرة باتجاه الحقل ) وان فرضية أن يكون الوسيط  $\lambda$  عددا صحيحا تحول التابع المتسامى إلى كثير حدود لاجير  $Q'_s(\rho)$  ، أى أن :

$$\Phi(-s, l+1, \rho) = \frac{l!}{(s+l)!} Q'_s(\rho)$$

$$Q'_s(\rho) = e^{\rho} \rho^{-l} \frac{d^s}{d\rho^s} (\rho^{s+l} e^{-\rho}) = \sum_{j=0}^s (-1)^{l+s-j} \frac{s! (s+l)!}{(s-j)! (s+l-j)! j!} \rho^{s-l} \quad (30.19)$$

فالتوابع الموجية للحركة القطرية يجب أن تتناسب مع تابع لاجير ، انظر ( 13.24 ) ، أى أن :

$$I_{n,s}(\rho) = \frac{1}{\sqrt{n!s!}} e^{-\rho/2} \rho^{\frac{n-s}{2}} Q'_s(\rho) \quad (30.20)$$

ولنعود الآن إلى مجموعة المعادلات ( 30.11 ) ونأخذ بعين الاعتبار تأثير المؤثرين  $R_1$  و  $R_2$  التالى :

$$R_1 I_{n-1,s}(\rho) = -\sqrt{4n\gamma} I_{n,s}(\rho), \quad R_2 I_{n,s}(\rho) = \sqrt{4n\gamma} I_{n-1,s}(\rho) \quad (30.21)$$

فنجد لحساب التابع القطري  $f(\rho)$  العبارة :

$$f = \sqrt{2\gamma} \begin{pmatrix} C_1 I_{n-1,s}(\rho) e^{-i\varphi/2} \\ iC_2 I_{n,s}(\rho) e^{i\varphi/2} \\ C_3 I_{n-1,s}(\rho) e^{-i\varphi/2} \\ iC_4 I_{n,s}(\rho) e^{i\varphi/2} \end{pmatrix} \quad (30.22)$$

حيث يحقق  $C_\mu$  المعادلات الجبرية التالية :

$$(eK \mp k_0) C_{1,3} - \sqrt{4n\gamma} C_{4,2} - k_3 C_{3,1} = 0 \quad (30.23)$$

$$(eK \mp k_0) C_{2,4} - \sqrt{4n\gamma} C_{3,1} + k_3 C_{4,2} = 0$$

ومن شرط معايرة نجد القسم القطري :

$$\int_0^\infty r dr f^+ f = 1 \quad (30.24)$$

وباعتبار صحة المساواة :

$$\int_0^\infty I_{ns}^2(\rho) d\rho = 1 \quad (30.25)$$

فإننا نجد :

$$\sum_{\mu=1}^4 C_\mu C_\mu = 1 \quad (30.26)$$

ب) الحالات المغزلية . نلاحظ أن التابع الموجي  $\psi$  الذي حصلنا عليه هو التابع الخاص لمؤثر الطاقة

$$H\psi = eE\psi \quad (30.27)$$

ولمؤثر مسقط الاندفاع على اتجاه الحقل المغناطيسي :

$$p_z \psi = \hbar k_3 \psi \quad (30.28)$$

وهو تابع خاص أيضا لمؤثر مسقط العزم الكلي على اتجاه الحقل المغناطيسي

$$J_z \psi = \hbar \left( l - \frac{1}{2} \right) \psi \quad (30.29)$$

ويتبادل المؤثران  $p_2$  و  $J_2$  مع بعضهما كما يتبادل كلا منهما مع الهاملتونيان  $H$  ولذلك يكون لهما تابع مشترك مع الهاملتونيان وتكون المقادير الميكانيكية المقابلة لهذه المؤثرات تكاملات للحركة، ومن الضروري لتعيين الحالة الكوانتية لجسيمات فيرمي تعيينا تاما فرض مؤثر رابع يميز الخواص المغزلية للإلكترون، ويجب أن يكون لمؤثر مسقط المغزل - مؤثر الاستقطاب - صفات « كوفاريانتيية » وان يكون تكاملا للحركة، وفي هذه الحالة وحدها يكون له توابع خاصة مشتركة مع الهاملتونيان، هذا وتعتبر مسألة اختيار مؤثر الاستقطاب ذات أهمية خاصة عند دراسة الجسيم المتحرك في حقل مغناطيسي ( لا يكون الجسيم حرا )، وفي مثالنا هذا توصف الخواص المغزلية بعدة طرائق :

١ - بفرض أن متجه المغزل ثلاثي الأبعاد

$$\sigma^0 = \rho_3 \sigma + c \rho_1 \frac{P}{E} - \frac{c^2 \rho_3 (\sigma P) P}{E(E + m_0 c^2)} \quad (30.30)$$

وليس هذا المقدار « كوفاريانتييا » ( لا يوجد له مركبة رابعة ) ولكن المسقط  $\sigma^0$  على الحقل  $H$  يكون تكاملا للحركة وبحكم ذلك يمكن اختيار  $\sigma^0$  بمثابة مؤثر الاستقطاب .

٢ - يفرض مؤثر استقطاب رباعي الأبعاد ( بارغمان - فيغنر ) ، أى

أن :

$$S_\mu = (S, iS_t)$$

$$S = \rho_3 \sigma + \rho_1 \frac{P}{m_0 c}, \quad S_t = \frac{(\sigma P)}{m_0 c} \quad (30.31)$$

وتكون المركبة الرابعة لهذا المتجه الرباعي تكاملا للحركة فى الحقل المغناطيسى وهى تصف حالة الاستقطاب الطولانى أى مسقط المغزل على الاندفاع الحركى ( اتجاه \* سرعة الجسيم ) كما أن مسقط المغزل على اتجاه الحقل ( أى المركبة  $S_3$  ) يكون تكاملا للحركة أيضا .

\* نلاحظ أن حالة الاستقطاب الطولانى للإلكترون المتحرك فى حقل مغناطيسى تصبح غير راسخة بسبب العزم الشاذ ( الفراغى ) المغناطيسى للإلكترون .

٣ - بواسطة تنزور (رتل) الاستقطاب ، أى أن :

$$\begin{pmatrix} M_{23} & M_{31} & M_{12} \\ M_{41} & M_{42} & M_{43} \end{pmatrix} = \begin{pmatrix} \mu_1 & \mu_2 & \mu_3 \\ i\varepsilon_1 & i\varepsilon_2 & i\varepsilon_3 \end{pmatrix} \quad (30.32)$$

حيث

$$\mu = \sigma + \rho_2 \frac{[\sigma P]}{m_0 c}, \quad \varepsilon = \rho_3 \frac{[\sigma P]}{m_0 c} \quad (30.33)$$

هما المركبتان الفراغية والزمنية للارتال ، وعندما يتحرك الالكترون فى حقل مغناطيسى ثابت متجانس تصبح المركبة  $\mu_3$  ( مسقط المغزل على اتجاه الحقل المغناطيسى ) تكاملا للحركة ويصف المؤثر عندئذ حالة الاستقطاب العرضى ( إن لم توجد حركة باتجاه الحقل ) ، ويجب ملاحظة أن جميع هذه المؤثرات  $\mu_3$  ،  $S_3$  ،  $S_3^0$  فى التقريب اللانسى تتحول إلى مؤثر باولى العادى للعزم المغناطيسى ، وبالتالي يكون لها تفسير واضح وبسيط جدا . ولا يوجد مثل هذا التفسير البسيط فى الحالة العامة لحركة الالكترون النسبية ويعود السبب فى ذلك إلى عدم امكانية فصل الحزكتين المغزلية والمدارية للالكترون عندما تكون طاقته كبيرة . ولهذا إذا أردنا فصل معادلة ديراك بالحالات المغزلية فإننا سنستفيد من مؤثر رتل الاستقطاب الذى تتبادل مركبته  $\mu_3$  مع الهاملتونيان ويخضع التابع الموجى عندئذ للمعادلة الاضافية التالية :

$$\mu_3 \psi = \frac{K_0}{k_0} \xi \psi, \quad K_0 = \sqrt{K^2 - k_3^2}, \quad \xi = \pm i \quad (30.34)$$

فعندما تأخذ  $\xi$  القيمة  $\xi = 1$  يكون اتجاه مغزل الالكترون باتجاه الحقل المغناطيسى أما عندما  $\xi = -1$  فيكون اتجاه المغزل بعكس اتجاه الحقل المغناطيسى ، وطبقا لـ (30.34) نجد مجموعة معادلات لحساب المعاملات  $C_r$  ، انظر (30.22) ، أى أن :

$$\begin{aligned} (\varepsilon K \mp \xi K_0) C_{1,3} &= k_3 C_{3,1} \\ (\varepsilon K \pm \xi K_0) C_{2,4} &= -k_3 C_{4,2} \end{aligned} \quad (30.35)$$

ومن الضروري حل هذه المجموعة بالاشتراك مع المجموعة (30.23) ،  
وان حل هذه المعادلات يؤدي إلى النتيجة التالية :

$$\begin{pmatrix} C_1 \\ C_2 \\ C_3 \\ C_4 \end{pmatrix} = \frac{1}{2\sqrt{2}} \begin{pmatrix} B_3 (A_3 + A_4) \\ B_4 (A_4 - A_3) \\ B_3 (A_3 - A_4) \\ B_4 (A_4 + A_3) \end{pmatrix} \quad (30.36)$$

حيث

$$\begin{aligned} A_3 &= \sqrt{1 + \varepsilon k_y / K}, & A_4 &= \varepsilon \zeta \sqrt{1 - \varepsilon k_y / K} \\ B_3 &= \sqrt{1 + \zeta k_0 / K_0}, & B_4 &= \zeta \sqrt{1 - \zeta k_0 / K_0} \end{aligned} \quad (30.37)$$

وهكذا حصلنا على الحل العام لمعادلة ديراك للالكترون المتحرك في حقل  
مغناطيسي ثابت ومتجانس وقد انفصل هذا الحل إلى عدة أقسام يوافق كل  
منها إحدى حالات الاستقطاب للالكترون ، أي أن :

$$\Psi_{n s k, \zeta}(r, t) = e^{-\frac{i}{\hbar} e E t} \frac{e^{i k_y z}}{\sqrt{L}} \frac{e^{i(l-1/2)\varphi}}{\sqrt{2\pi}} f \quad (30.38)$$

ج) طيف الطاقة . المعنى الفيزيائي للعدد الكوانتي القطري . يبدو أن  
طيف طاقة الالكترون في الحركة النسبية يتبع بشكل غير خطي شدة الحقل  
المغناطيسي ، انظر (30.18) ، ويتعين بالعدد الرئيسي أو الطاقوي  
 $n = l + s$  ، أي أن :

$$K = E/c\hbar = \sqrt{k_0^2 + k_3^2 + 4\gamma n} \quad (30.39)$$

ويصبح الطيف متساوي البعد في التقريب اللانسيبي

$$E \simeq m_0 c^2 + \frac{p_3^2}{2m_0} + n\hbar\Omega \quad (30.40)$$

، ونلاحظ ، حيث  $\Omega = e_0 \mathcal{H} / m_0 c$  هي التواتر السيكلوتروني  
أن لطيف طاقة الالكترون انطباقا بالعدد الكوانتي القطري  $s = 0, 1, 2, \dots$   
ويعود سبب هذا الانطباق إلى أنه عندما تعطى طاقة معينة للحركة في حقل  
مغناطيسي فيمكن أن يكون نصف قطر المدار ثابتا ولكن مركزه لا يكون

كذلك ، ويمكن حساب نصف القطر إذا استفدنا من العلاقة المعروفة لنصف القطر الكلاسيكي :

$$\beta E = e_0 \mathcal{E} R \quad (30.41)$$

ثم إذا فرضنا أن الحركة تحدث في مستوى مسار الدوران ( $k_3 = 0$ ) وقارنا هذه العلاقة مع (30.39) نجد أن :

$$R = \sqrt{\frac{n}{\gamma}} \quad (30.42)$$

وهكذا يتعين نصف قطر الدوران شبه الكلاسيكي بمعرفة العدد الكوانتي الرئيسي  $n$  ، وإذا كان المسار دائرة مركزها يبعد عن مركز الاحداثيات بمقدار  $a$  فإن متوسط مربع نصف القطر يساوى :

$$\overline{r_{cl}^2} = \frac{1}{2\pi} \int_0^{2\pi} d\varphi (R^2 + a^2 - 2aR \cos \varphi) = R^2 + a^2 \quad (30.43)$$

ولتحسب هذا المقدار طبقاً للنظرية الكوانتية فنجد أن

$$\langle r^2 \rangle_{qu} = \sum_{\xi} \int r^2 \psi_{nsh,\xi}^+ \psi_{nsh,\xi} d^3x = \frac{n+s+1/2}{\gamma} \quad (30.44)$$

ومنه نجد أن العدد الكوانتي  $s$  يميز المسافة بين مركز الاحداثيات ومركز المسار الدائري ، أى أن :

$$a \simeq \sqrt{\frac{s}{\gamma}} \quad (30.45)$$

وعليه يمكن اعتبار حركة شحنة في حقل مغناطيسي ( بفرض أن كلا من  $n$  و  $s$  لهذه الشحنة معلومان ) بمثابة مدارات دائرية مرتبة قطرها متساوى ( $n = \text{const}$ ) إلا أن مراكزها مختلفة وتقع على أبعاد  $a$  من مركز الاحداثيات ( $s = 0, 1, 2, \dots$ ) ولكي نفهم طبيعة الاهتزازات لنصف القطر على ضوء النظرية الكوانتية نعرّف التآرجح التربيعي لهذا المقدار ، طبقاً للقواعد العامة لذلك ، فنجد أن :

$$\bar{\xi}^2 = \sum_{\xi} \int (r - \langle r \rangle_{qu})^2 \Psi_{nsk, \xi}^+ \Psi_{nsk, \xi} d^3x = \langle r^2 \rangle_{qu} - \langle r \rangle_{qu}^2 \simeq \frac{s}{2\gamma} \quad (30.46)$$

حيث استخدمت هذه العلاقة :

$$\langle r \rangle_{qu} = \sum_{\xi} \int r \Psi_{nsk, \xi}^+ \Psi_{nsk, \xi} d^3x \simeq \sqrt{\frac{n}{\gamma}} \left(1 + \frac{s + 1/2}{4n}\right) \quad (30.47)$$

وفرضنا أن للحركة طبيعية ماكروسكوبية ( $n \gg 1$ ) وان اهتزازات المركز ضئيلة بما فيه الكفاية (تأرجح نصف القطر) ( $n \gg s$ ).

د) النظرية الكوانتية للاشعاع السينكروتروني. الظواهر الاستقطابية.

سندرس تفاعل الكترون يتحرك في حقل مغناطيسي ، مع حقل فوتونات كوانتي مكم ، وفي هذه الحالة تخضع الالكترونات لمعادلة ديراك ذات الهاملتونيان (30.3) بحيث يكون :

$$i\hbar \frac{\partial \Psi}{\partial t} = H_0 \Psi, \quad H_0 = c(\alpha P) + \rho_3 m_0 c^2 \quad (30.48)$$

ويمكن تمثيل حقل الفوتونات المغناطيسي بشكل أمواج مستوية ، أما طاقة تفاعل الالكترون التي يجب أن تضاف إلى (30.48) فهي  $u$  بحيث يكون :

$$H = H_0 + u, \quad u = u^+ + u^-$$

حيث :

$$u^- = \frac{e_0}{L^{3/2}} \sum_{\mathbf{x}} \sqrt{\frac{2\pi c \hbar}{\kappa}} (aa) e^{-i\kappa x t + i\mathbf{x}r}$$

$$u^+ = \frac{e_0}{L^{3/2}} \sum_{\mathbf{x}} \sqrt{\frac{2\pi c \hbar}{\kappa}} (aa^+) e^{i\kappa x t - i\mathbf{x}r} \quad (30.49)$$

وهنا يكون مؤثر خلق  $a^+$  وفناء  $a$  الفوتونات بمثابة ساعات متجه الكمون ، ولنأخذ الآن حالتين كوانتيتين  $a$  و  $b$  ( $E_b > E_a$ ) وتحسب طبقا للطرائق العامة لنظرية الاضطراب غير الراسخة احتمال الانتقال الكوانتي ( $b - a$ ) في وحدة  $\hbar_{\omega_0}$  الزمن فنجد أن :

\* يقصد بكلمة الإشعاع ، في هذا البند ، الإشعاع السينكروتروني . (المراجع) .

$$w_{ba} = \frac{e_0^2}{2\pi\hbar} \int \frac{d^3x}{x} \delta(x - x_{ba}) \Phi \quad (30.50)$$

حيث :

$$\Phi = (\bar{\alpha}^* \bar{\alpha}) - (x^0 \bar{\alpha}^*) (x^0 \bar{\alpha}) \quad (30.51)$$

وحيث فرضنا أن  $x^0 = x/|x|$  هو متجه الوحدة في اتجاه انتشار الفوتون ، أما المقدار  $c\hbar x_{ba} = E_b - E_a$  فيختص بتغيير  $E$  للإلكترون (تعتبر الانتقالات تلقائية) ويساوى العنصر المصفوفى لمصفوفة ديراك  $\alpha$  في (30.51) إلى :

$$\bar{\alpha} = \int \psi_a^+ \alpha e^{-ixr} \psi_b d^3x \quad (30.52)$$

وبما أن طاقة الفوتون الصادر تتناسب مع التواتر ( $\varepsilon = c\hbar x$ ) فإننا نحصل بواسطة (30.50) على الصيغة التى تعطى كثافة الاشعاع وذلك بعد الجمع بكل الحالات النهائية للإلكترون ، أى أن :

$$W = \sum_b c\hbar x_{ba} w_{ba} = \frac{ce_0^2}{2\pi} \sum_b \int d^3x \delta(x - x_{ba}) \Phi. \quad (30.53)$$

ولنوضح كيف يمكن أن تؤخذ الخواص الاستقطابية للاشعاع بعين الاعتبار ، ولهذا من الضروري تمثيل سعة متجه الكمون  $a$  للفوتونات المستقطبة خطيا بشكل مجموع مركبتين متعامدتين :

$$a = \beta_2 q_2 + \beta_3 q_3 \quad (30.54)$$

حيث يختلف عن الصفر التركيب التربيعى للسعات المكممة ثانية

$$q_s q_{s'}^+ = \delta_{ss'}, \quad (s, s' = 2, 3) \quad (30.55)$$

أما  $\beta_2$  و  $\beta_3$  فهما متجهها وحدة ، اختياريان ومتعامدان مع بعضهما ومع اتجاه متجه اندفاع الفوتون  $x$

$$\beta_3 = [x^0 \beta_2], \quad (x^0 \beta_\lambda) = (\beta_2 \beta_3) = 0 \quad (\lambda = 2, 3) \quad (30.56)$$



وبحكم هذه العلاقات نكتب  $\beta_2$  و  $\beta_3$  بالشكل التالي :

$$\beta_2 = \frac{[x^0 j^0]}{\sqrt{1 - (x^0 j^0)^2}}, \quad \beta_3 = \frac{x^0 (x^0 j^0) - j^0}{\sqrt{1 - (x^0 j^0)^2}} \quad (30.57)$$

حيث  $z^0$  هو اتجاه معزول في الفراغ ( $j^0$  متجه وحدة) : ومن الطبيعي أن نعتبر في مسألتنا المتعلقة باشعاع شحنة متحركة في جقل مغناطيسى أن الاتجاه المدروس مطابق لاتجاه الحقل\* . فإذا أردنا الآن أن نأخذ بعين الاعتبار استقطاب الفوتونات في شدة الاشعاع (30.53) فمن الضروري أن نكتب :

$$W_i = \frac{ce_0^2}{2\pi} \sum_b \int d^3x \delta(x - x_{ba}) \Phi_i \quad (30.58)$$

حيث تتبع  $\Phi_i$  نوع الاستقطاب وبصورة خاصة نجد في حالة الاستقطاب الخطى :

$$\Phi_\lambda = (\bar{\alpha}^\lambda \beta_\lambda) (\bar{\alpha} \beta_\lambda) \quad (30.59)$$

وهنا  $\lambda = 2$  توافق  $W_2$  أى ما يسمى بالمركبة  $\sigma$  للاشعاع وهى الحالة التى يقع فيها المتجه الكهربائى لحقل الاشعاع فى مستوى مسار الدوران ويتجه إلى مركز المسار ، أما  $\lambda = 3$  فتوافق المركبة  $\pi$  للاشعاع ، حيث يتجه المتجه الكهربائى لحقل الاشعاع باتجاه الحقل الخارجى ( الشكل ٣٠ - ١ )

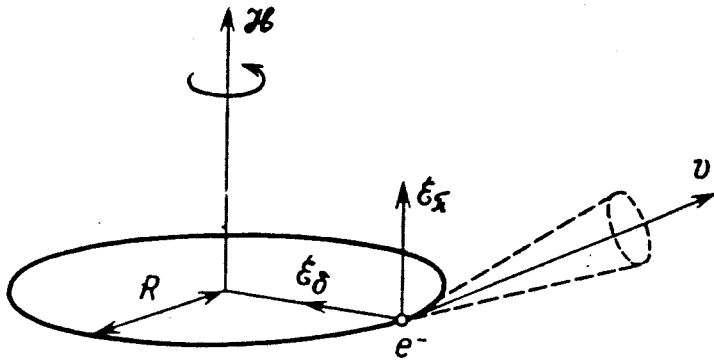
\* من المناسب عند دراسة الاستقطاب الدائرى للسعة الفوتونية  $a$  أن نصلها إلى مركبتين :

$$a = \beta_1 q_1 + \beta_{-1} q_{-1}$$

مع العلم أن التركيبات التربيعية  $\delta_{11} q_1 q_1^\dagger = q_1 q_1^\dagger$  التى تختلف عن الصفر أما متجهها الوحدة  $\beta_2$  و  $\beta_3$  فيرتبطان مع  $\beta_1$  بالعلاقة :

$$\beta_1 = \frac{1}{\sqrt{2}} (\beta_2 + i\beta_3)$$

حيث  $1 = 1$  تقابل الاستقطاب اليمىنى و  $1 = -1$  تقابل الاستقطاب اليسارى .



الشكل ٣٠. ١ . الاشعاع السينكروتروني

وعندما يكون الاستقطاب دائريا (  $l \pm 1$  ) توافق الاستقطاب اليميني واليساري ( فإنتا نجد :

$$\Phi_l = (\bar{\alpha} \beta_i^*) (\bar{\alpha} \beta_i) = \frac{1}{2} \{ [\kappa^0 \bar{\alpha}^*] [\kappa^0 \bar{\alpha}] - \frac{l}{2} l (\kappa^0 [\bar{\alpha}^* \bar{\alpha}]) \} \quad (30.60)$$

ومن الواضح أن المقدار  $\Phi$  الذي يمثل شدة الاشعاع الكلية ( بعد الجمع بحالتي الاستقطاب ) ، انظر ( 30.53 ) ، يساوي :

$$\Phi = \Phi_2 + \Phi_3 = \Phi_1 + \Phi_{-1} \quad (30.61)$$

ان النتائج التي حصلنا عليها لكل من احتمال الانتقال الكوانتي وكثافة الاشعاع هي نتائج عامة ، ولندرس الآن مسألة الاشعاع ، أي عندما تتعين كل من الحالة الابتدائية  $E_a(\psi_{nsk_3z})$  والحالة النهائية  $E_b(\psi_{n's'k_3z'})$  بشكل حل دقيق لمعادلة ديراك للالكترون المتحرك في حقل مغناطيسي ثابت ومتجانس ، انظر ( 30.22 ) و ( 30.36 ) - ( 30.38 ) ، وعندئذ يسهل حساب العنصر المصفوفي في مصفوفة ديراك  $\alpha$  ( 30.52 ) بالشكل التالي :

$$\bar{\alpha} = \int \psi_{n's'k_3z'}^+ e^{-i\kappa r} \alpha \psi_{nsk_3z} d^3x \quad (30.62)$$

وباستعمال الاحداثيات الكروية للمتجه  $\kappa$  ، أى أن :

$$\kappa_1 = \kappa \sin \theta \cos \varphi', \quad \kappa_2 = \kappa \sin \theta \sin \varphi', \quad \kappa_3 = \kappa \cos \theta \quad (30.63)$$

نرى أنه لا يمكن أن تتعلق شدة الاشعاع بالزاوية  $\varphi'$  بسبب التناظر المحورى للحقل المغناطيسى الخارجى ولهذا يمكن وضع هذه الزاوية بالشكل الذى نريده مع العلم أن هذا لا يغير فى شىء من الحالة العامة ، فلنفرض  $\varphi' = \pi / 2$  وعندئذ نجد أن :

$$\kappa_1^0 = 0, \quad \kappa_2^0 = \sin \theta, \quad \kappa_3^0 = \cos \theta \quad (30.64)$$

أما بالنسبة لـ  $\Phi_i$  فنحصل ، انظر ( 30.59 ) ، على ما يلى :

$$\Phi_2 = \bar{a}_1 \bar{a}_1 \quad (30.65)$$

$$\Phi_3 = (\bar{a}_2 \cos \theta - \bar{a}_3 \sin \theta)^2 \quad (30.66)$$

$$\Phi_4 = \frac{1}{2} (\Phi_2 + \Phi_3 - i\Phi_4) \quad (30.67)$$

$$\Phi_4 = (\bar{a}_1 \bar{a}_2 - \bar{a}_2 \bar{a}_1) \cos \theta - (\bar{a}_1 \bar{a}_3 - \bar{a}_3 \bar{a}_1) \sin \theta \quad (30.68)$$

وتعتبر هذه العلاقات أساسا لنظرية الاشعاع . ولنحسب الآن احتمال الانتقال وكثافة الاشعاع دون اهمال استقطاب الفوتونات ، فمن السهل حساب العنصر المصفوفى لمصفوفة ديراك ( 30.62 ) إذا فرضنا أنه لم تكن للالكترون فى الحالة الابتدائية حركة على طول الحقل (  $k_3 = 0$  ) حيث نجد أن :

$$\bar{a} = \frac{1}{L} \int_{-L/2}^{L/2} \exp[-iz(k'_3 + \kappa \cos \theta)] dz \frac{1}{2\pi} \int_0^{2\pi} d\varphi \int_0^\infty r dr \times \\ \times \exp[-i\kappa r \sin \theta \sin \varphi + i(l-l')\varphi] f'^+ a f \quad (30.69)$$

حيث  $\theta$  الزاوية التى يصنعها  $\kappa$  مع المحور  $z$  و  $\varphi$  الزاوية القطبية فى مجموعة الاحداثيات الاسطوانية للالكترون ، ولنستخدم الآن العلاقتين :

$$\frac{1}{L} \int_{-L/2}^{L/2} dz \exp[-iz(k'_3 + \kappa \cos \theta)] = \delta_{k'_3, -\kappa \cos \theta} \quad (30.70)$$

$$\frac{1}{2\pi} \int_0^{2\pi} d\varphi \exp[-i\kappa r \sin \theta \sin \varphi + i(l-l')\varphi] = J_{l-l'}(\kappa r \sin \theta) \quad (30.71)$$

حيث  $\delta$  رمز كرونكر - فايرشتراس و  $J_{l-l'}$  هو تابع بيسل ، ونكتب تكامل تابع لاجير  $I_{ns}(\rho)$  (30.20) التالي :

$$\int_0^{\infty} J_{l-l'}(2\sqrt{x\rho}) I_{ns}(\rho) I_{n's'}(\rho) d\rho = I_{nn'}(x) I_{ss'}(x) \quad (30.72)$$

$$n' = l' + s', \quad n = l + s, \quad x = \kappa^2 \frac{\sin^2 \theta}{4\gamma} \quad \text{حيث}$$

وأخيرا إذا جمعنا بالدليل  $k'_3$  فإننا نحصل على العناصر المصفوفية التالية :

$$\left. \begin{aligned} -\frac{i\bar{\alpha}_1}{\bar{\alpha}_2} \right\} &= \frac{1}{4} (A'_3 A_4 + A'_4 A_3) (B'_3 B_4 I_{n, n'-1}(x) \mp \\ &\mp B'_4 B_3 I_{n-1, n'}(x)) I_{ss'}(x) \\ \bar{\alpha}_3 &= \frac{1}{4} (A'_3 A_3 - A'_4 A_4) (B'_3 B_3 I_{n-1, n'-1}(x) + \\ &+ B'_4 B_4 I_{nn'}(x)) I_{ss'}(x) \quad (30.73) \end{aligned}$$

حيث تعطى المعاملات المغزلية للحالة الابتدائية  $(A, B)$  والنهائية  $(A', B')$  بالعلاقات (30.73) ، وسنفرض أن الطاقة موجبة دوماً ونضع  $\varepsilon = \varepsilon' = 1$  أما المحول  $x$  في تابع لاجير الموجود في (30.73) فيتبع تواتر الفوتون  $\omega = cx$  حسب العلاقة :

$$x = \frac{\kappa^2 \sin^2 \theta}{4\gamma} \quad (30.74)$$

فإذا فرضنا أن حركة الالكترون تحدث في اللحظة الابتدائية ( قبل الاشعاع )

في مستوى مسار الدوران أى  $k_3 = 0$  فإننا نحصل على العبارات الدقيقة  
لحساب المعاملات (30.37) بالشكل البسيط التالي :

$$\begin{aligned} \begin{pmatrix} A_3 \\ A_4 \end{pmatrix} &= \begin{pmatrix} 1 \\ \xi \end{pmatrix}, & \begin{pmatrix} A'_3 \\ A'_4 \end{pmatrix} &= \begin{pmatrix} 1 \\ \xi' \end{pmatrix} \sqrt{1 \mp \frac{x \cos \theta}{K'}} \\ \begin{pmatrix} B_3 \\ B_4 \end{pmatrix} &= \begin{pmatrix} 1 \\ \xi \end{pmatrix} \sqrt{1 \pm \xi \sqrt{\epsilon_0}}, & \begin{pmatrix} B'_3 \\ B'_4 \end{pmatrix} &= \begin{pmatrix} 1 \\ \xi' \end{pmatrix} \sqrt{1 \pm \xi' \frac{\sqrt{\epsilon_0} K}{\sqrt{K'^2 - 4\gamma v}}} \end{aligned} \quad (30.75)$$

حيث  $\epsilon_0 = 1 - \beta^2$ ,  $\beta = v/c$  ويمكن الحصول على شدة الاشعاع باجراء  
الجمع بـ  $\nu = n - n'$  ( الرقم التوافقي ) ثم بـ  $s'$  و  $l'$  ، أى أن :

$$W = \sum_{i=2,3} W_i$$

$$W_i = \frac{ce_0^2}{2\pi} \sum_{\nu, s', l'} \int d^3x \delta(x - x_{nn'}) \Phi_i \quad (30.76)$$

حيث يعرف كلا  $cx_{nn'} = \frac{1}{\hbar} (E_n - E_{n'})$  و  $\Phi_i$  بالعلاقتين (30.65) -  
(30.68) . هذا وتعتبر العلاقة المكتوبة آنفا دقيقة وتؤمن كليا دراسة كل  
مسائل النظرية الكوانتية للاشعاع دون أى تحديد لطاقة الالكترتون .

#### هـ ( صيغة شوت الكلاسيكية دون اهمال استقطاب الاشعاع .

لندرس النظرية الكلاسيكية للاشعاع المتواقت بغض النظر عن الظواهر  
الكوانتية ، فإذا فرضنا أن الالكترتون يتحرك بمسار مرئى وان للجسيم طاقة  
كبيرة ( $E \gg m_0 c^2$ ) فإننا نصادف حالة شبه كلاسيكية فى الميكانيكا  
الكوانتية وتتميز هذه الحالة بكبر الأعداد الكوانتية ولهذا نحسب أولا العلاقات  
التقريبية لتوابع لاجير  $I_{nn'}(x)$  الموجودة فى مصفوفة ديراك  $\alpha$  ، فمن

المعلوم أنه يمكن التعبير عن توابع لاجير في الحالة الحدية للأعداد الكوانتية الكبيرة بدلالة توابع بيسل

$$\lim_{n \rightarrow \infty} I_{n, n-\nu} \left( \frac{x^2}{4n} \right) = J_\nu(x) \quad (30.77)$$

التي تحقق العلاقات التكرارية التالية :

$$\begin{aligned} J'_{\nu-1}(x) + J_{\nu+1}(x) &= \frac{2\nu}{x} J_\nu(x) \\ J_{\nu-1}(x) - J_{\nu+1}(x) &= 2J'_\nu(x) \end{aligned} \quad (30.78)$$

وفى النظرية الكلاسيكية لا يؤثر قلب المغزل فى قوة الاشعاع لأن هذا الاسهام يتناسب مع  $\hbar^2$  ولهذا يمكن أن نضع  $\xi' = \xi$  فى كل الحسابات اللاحقة وعندئذ نحصل على مصفوفة ديراك التالية :

$$\left. \begin{aligned} -i\bar{\alpha}_1 \\ \bar{\alpha}_2 \end{aligned} \right\} &= \frac{1}{2} \beta (I_{n, n'-1} \mp I_{n-1, n'}) I_{ss'} \\ \bar{\alpha}_3 &= 0 \end{aligned} \quad (30.79)$$

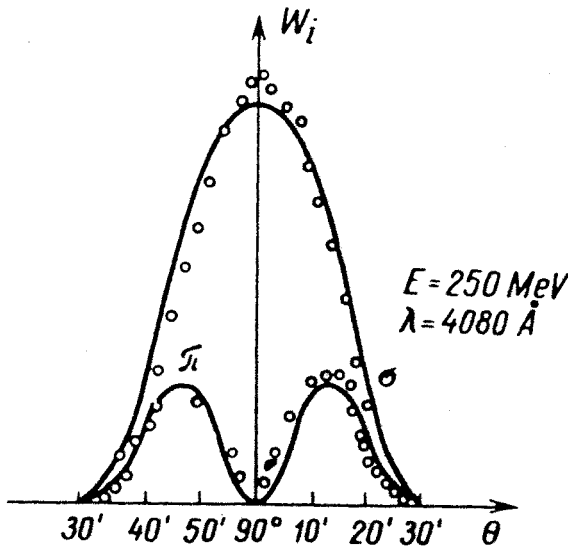
وكل هذه التوابع تتبع المتحول  $x$  المعرف بالعلاقة (30.74) ، ونعوض هذه العبارة فى (30.76) التى تعطى شدة الاشعاع وعندئذ إذا جمعنا بالنسبة للمغزل ( أى إذا فرضنا  $\xi' = \xi$  ) والعدد الكوانتى القطرى  $s'$  فإننا نجد :

$$\sum_{s'=0}^{\infty} I_{ss'}^2(x) = 1 \quad (30.80)$$

ثم إذا انتقلنا إلى النهاية الكلاسيكية (30.77) فإننا نحصل على علاقة شوت المعممة التى لا تأخذ بعين الاعتبار الخواص الزاوية الطيفية فحسب وإنما الخواص الاستقطابية للاشعاع أيضا :

$$W_{\sigma, n}^{cl} = \frac{e^2 \omega_0^2}{c} \sum_{\nu=1}^{\infty} \nu^2 \int_0^\pi \sin \theta d\theta \{ I_0 \beta J'_\nu(\nu \beta \sin \theta) + I_\pi \text{ctg} \theta J_\nu(\nu \beta \sin \theta) \}^2 \quad (30.81)$$

حيث  $\omega_0 = c\beta/R = e_0\mathcal{H}c/E$  تواتر دوران الالكترون على المسار وهو يرتبط مع تواتر الدوران بالعلاقة:  $\omega = \nu\omega_0$  بشكل توافقي ( $\nu = 1, 2, 3, \dots$ ). وإذا جعلنا  $l_p = 0, l_s = 1$  في هذه العلاقة فإننا نحصل على شدة المركبة  $\sigma$  لاستقطاب الاشعاع الخطى الذى يتميز بأن متجه حقل إشعاعه الكهربائى يقع فى مستوى مدار الالكترون ويتجه تقريبا باتجاه المركز، ويمكن الحصول على شدة مركبة الاستقطاب  $\pi$  الخطى للاشعاع إذا جعلنا  $l_p = 0$  و  $l_s = 1$  فى (30.81)، أما متجه الحقل الكهربائى للاشعاع المقابل لهذه المركبة فيتجه عمليا على طول الحقل المغناطيسى الخارجى (المحور  $z$ ) وأما التوزيع الزاوى لمركبات الاستقطاب الخطى فيبدو مختلفا جوهريا (الشكل ٣٠ - ٢)، إذ أن للمركبة



الشكل ٣٠ - ٢ . المعطيات التجريبية والنظرية التى تميز الاستقطاب الخطى للاشعاع.

$\sigma$  نهاية عظمى حادة في مستوى المدار بينما تنعدم المركبة  $\pi$  في هذا المستوى ، أما النهايتان العظميان للمركبة  $\pi$  فتكونان متساويتين إلى الأعلى والأسفل من المستوى  $z = 0$  ( وهو وضع المسار المتوازي للالكترونات ) ، ومن المناسب تحليل الخواص الطيفية والزاوية للاشعاع عن طريق تقريب تابع بيسل في ( 30.81 ) لأن هذه العبارة بشكلها العام غير مناسبة لاجراء الحسابات ، إذ يوجد المقدار الكبير  $1 \gg \nu$  في الدليل وفي متحول التابع  $(\nu \beta \sin \theta)$  ، وقد برهن بطريقة W.K.B. عندما  $(x - \nu - 0)$  أنه :

$$J_{\nu}(\nu \beta \sin \theta) = \frac{e^{1/2}}{\pi \sqrt{3}} K_{1/2} \left( \frac{\nu}{3} e^{1/2} \right) \quad (30.82)$$

$$J'_{\nu}(\nu \beta \sin \theta) = \frac{e}{\pi \sqrt{3}} K_{3/2} \left( \frac{\nu}{3} e^{1/2} \right)$$

حيث  $k_{\nu}$  تابع بيسل ذو الوسيط العقدي (تابع ماكdonald) و  $e = 1 - \frac{x^2}{\nu^2}$  و  $x = \nu \beta \sin \theta$  وقد أخذ المشتق  $J'_{\nu}$  بكل المتحول ، وعندئذ يمكن كتابة ( 30.81 ) بشكل أنسب لمناقشتها ، وهو التالي :

$$W_{\sigma, \pi} = \frac{c_0^2}{3\pi^2 R^2} \sum_{\nu=1}^{\infty} \nu^2 \int_0^{\pi} \sin \theta d\theta \left\{ I_{\sigma} \beta e K_{1/2} \left( \frac{\nu}{3} e^{1/2} \right) + I_{\pi} \text{ctg } \theta \sqrt{e} K_{3/2} \left( \frac{\nu}{3} e^{1/2} \right) \right\}^2 \quad (30.83)$$

وباستكمال هذه العبارة بالزاوية  $\theta$  نحصل على :

$$W_{\sigma, \pi} = \int_0^{\infty} W_{\sigma, \pi}(y) dy \quad (30.84)$$

حيث يكون لكل من التوزيع الطيفي لمركبتي الاستقطاب  $\sigma$  و  $\pi$  الشكل التالي :

$$W_{\sigma, \pi}(y) = 1/2 W_{\sigma, \pi}^{cl} \frac{9\sqrt{3}}{8\pi} y \left\{ \int_y^{\infty} K_{1/2}(x) dx \pm K_{1/2}(y) \right\} \quad (30.85)$$



وقد انتقلنا في المساواة (30.83) من الجمع إلى التكامل (المجال الفعال للتوافقيات  $v \gg 1$ )  $\sum_{v=1}^{\infty} \rightarrow \int_0^{\infty} dv$  ، هذا بالإضافة إلى أننا فرضنا

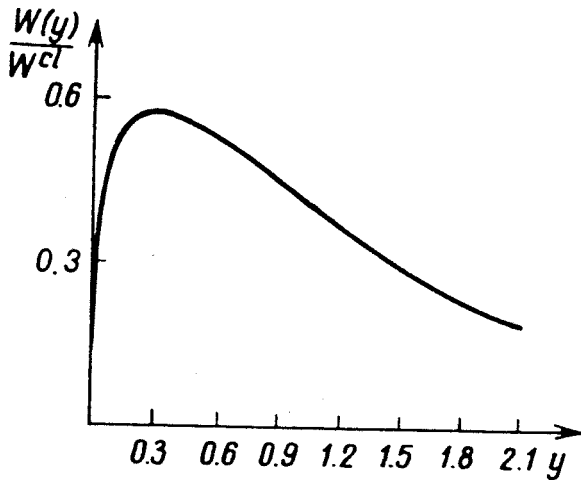
$$y = \frac{2}{3} v e_0^{1/2} = \frac{2}{3} \frac{\omega}{\omega_0} e_0^{1/2}, \quad e_0 = 1 - \beta^2$$

وقد رمزنا بـ  $W^{cl}$  للشدة الكلية للاشعاع في التقريب الكلاسيكي :

$$W^{cl} = \frac{2}{3} \frac{ce_0^2}{R^2} \left( \frac{E}{m_0 c^2} \right)^4 \quad (30.86)$$

وبجمع العبارات (30.85) نحصل على التوزيع الطيفي لمجموع شدتي كل من المركبتين :

$$W(y) = W^{cl} \frac{9\sqrt{3}}{8\pi} y \int_y^{\infty} K_{3/2}(x) dx \quad (30.87)$$



الشكل ٣٠-٣. المنحنى العام الذي يبين علاقة شدة الاشعاع بالتواتر .

ويمثل الشكل ٣٠-٣ منحنى التوزيع الطيفي بدلالة  $y$  ، ومن الملاحظ ان لهذا التوزيع نهاية عظيمة عندما  $y \sim 1$  (بالضبط عندما  $y \approx 0,3$ ) وهذا ما يوافق أن تواتر الاشعاع  $\omega_{max}$  يساوى :

$$\omega_{max} \approx 0,5 \frac{c}{R} \left( \frac{E}{m_0 c^2} \right)^3$$

وفي الحالة فوق النسبية  $E \gg m_0 c^2$  يتألف الاشعاع بصورة رئيسية من توافقيات  $\nu$  عالية جدا ومن التواتر  $\omega_0 = c/R$  وهي من رتبة  $(E / m_0 c^2)^3$   $\nu \sim$  ( وهذا يؤكد صحة الانتقال الذي فعلناه منذ قليل ) من التوزع بالتوافقيات المتقطعة إلى التوزع المستمر بالتواترات  $\omega$  ثم إلى التكامل بالمتحول الذي يساوى :

$$y = \frac{2}{3} (\omega/\omega_0) (m_0 c^2/E)^3$$

وإذا استكملنا ( 30.85 ) بالطيف ، أى بالمتحول  $y$  نجد أن :

$$W_0 = \frac{7}{8} W^{cl}, \quad W_{\pi} = \frac{1}{8} W^{cl} \quad (30.88)$$

عدا عن ذلك أن للاشعاع استقطابا خطيا قويا ، وأن للخواص الاستقطابية للاشعاع أهمية خاصة ، لأن الاستقطاب الذى يشكل أحد المعالم الرئيسية للاشعاع يمكن أن يستخدم فى الدراسة التجريبية للاشعاع\* الوارد إلينا من المجرات . ولقد اقتصرنا فى حساباتنا على التقريب الكلاسيكى مع العلم أن النظرية التى ذكرناها هنا تؤمن حساب شدة الاشعاع فى الحالة الكوانتية ، ونشير هنا دون التعمق فى ذلك إلى أنه فى النظرية الكوانتية يلعب دورا هاما الوسيطان :

$$\xi = \frac{3}{2} \frac{\mathcal{H}}{\mathcal{H}_0} \frac{E}{m_0 c^2} = \left( \frac{E}{E_{1/2}} \right)^2$$

$$f = \frac{\mathcal{H}}{\mathcal{H}_0} \quad (30.88)$$

حيث  $\mathcal{H}_0 = m_0^2 c^3 / \hbar e_0 = 4,41 \cdot 10^{13} Gs$  وهو ما يسمى بحقل شرودينجر المغناطيسى أما القيمة الحرجة للطاقة  $E_{1/2}$  فتساوى :

$$E_{1/2} = m_0 c^2 \left( \frac{2}{3} \frac{m_0 c R}{\hbar} \right)^{1/2} \quad (30.89)$$

\* لقد تمكن كروليف وكوليكوف فى تجاربهما من التحقق من الصيغ النظرية المميزة لاستقطاب الاشعاع .

وإذا كان  $1 \ll \xi$  أى  $E \ll E_{1/2}$  و  $\mathcal{H} \ll \mathcal{H}_0$  ( الطاقة والحقل أصغر بكثير من المقادير الحرجة ). فإن الظواهر الكوانتية تبدو بشكل تصحيحات صغيرة على شدة الاشعاع الكلاسيكية ، وبما أن الالكترتون هو جسيم فوق نسبي ( $E \gg m_0c^2$ ) فسيكون الوسيط  $r$  صغيرا بالمقارنة مع  $(f \ll \xi)$  وفى هذه الحالة تبدو الظواهر الكوانتية فى حدود النشر ب  $\xi$  متناسبة مع  $\hbar$  ، وبصورة خاصة إذا اقتصرنا على الحدود الخطية ب  $\xi$  فإننا نجد :

$$W_{\xi}^{qu} = W^{cl} \left\{ 1 - \left( \frac{55\sqrt{3}}{24} + \xi \right) \xi + \dots \right\} \quad (30.90)$$

حيث  $\xi = \pm 1$  تميز الاستقطاب العرضانى للالكترونات و  $\xi$  الوسيط الكوانتى (30.88) وإذا كانت امكانيات الاستقطاب متساوية بالنسبة للالكترتون فإننا نحصل للوسيط (30.90) على ما يلي :

$$W^{qu} = \frac{1}{2} (W_1 + W_{-1}) = W^{cl} \left\{ 1 - \frac{55\sqrt{3}}{16} \frac{\hbar}{m_0cR} \left( \frac{E}{m_0c^2} \right)^2 + \dots \right\} \quad (30.91)$$

ويبدو من هذه النتائج أن النظرية الكلاسيكية للاشعاع السريع تبقى صحيحة حتى قيم الطاقة  $E \sim E_{1/2}$  وهذا ما يحدث عندما  $\mathcal{H} \sim 10^4$  Gs حيث يكون  $E_{1/2} = 10^{13}$  eV ولهذا الحد تفسير فيزيائى واضح وهو أن النظرية الكلاسيكية تبقى مناسبة طالما أن طاقة الفوتون الصادر أصغر من طاقة الالكترتون :

$$E_{ph} = \hbar\nu\omega_0 \sim \hbar\omega_0 \left( \frac{E}{m_0c^2} \right)^3 \ll E \quad (30.92)$$

ومنه تنتج القيمة الحرجة للطاقة التى تتحقق بالعلاقة :

$$E \ll E_{1/2}$$

وقد حصلنا على هذه النتائج بفرض أن الأعداد الكوانتية قبل وبعد الاشعاع تبقى كبيرة  $n \gg 1, n' \gg 1$  ( الحركة شبه كلاسيكية ) وبشرط أن

تكون شدة الحقل  $\mathcal{H}$  صغيرة بالنسبة للقيمة الحرجة ( $f \ll 1$ )  $\mathcal{H}_0$  ، وتعتبر الطرائق المستخدمة في هذه الحالة مغلقة وتصف العلاقات التي حصلنا عليها لطيف الاشعاع كله لأن طاقة الالكترون تفرض نسبة أيضا بعد الاشعاع ( $E' \gg m_0c^2, n' \gg 1$ ) ، أما الانتقالات إلى الحالة الأساسية أو إلى الحالة الأقل تهيجا ( $n = 0, 1, 2, \dots$ ) فتنضاعل أسيا وتعطى اسهاما مهملا في شدة الاشعاع عندما  $\mathcal{H} \ll \mathcal{H}_0$ . ولكن الوضع يتغير تماما عندما يقترب الحقل  $\mathcal{H}$  من القيمة الحدية  $\mathcal{H}_0$  أو يزيد عليها ( $\mathcal{H} \gtrsim \mathcal{H}_0$ ) ، إذ أن الحالة النهائية للالكترون لا تصبح عندئذ شبه كلاسيكية لأن الانتقالات إلى حالات ذات أعداد كوانتية صغيرة  $n' = 0, 1, 2, \dots$  تسهم في الاحتمال الكلى للانتقال ، وفي الحالة فوق الكوانتية عندما  $\mathcal{H} \gg 1$  تغلب الظواهر الكوانتية ولهذا لا يمكن الانتقال إلى التقريب الكلاسيكى :

$$W^{u-qu} = \frac{2^{1/2}}{9} \Gamma(2/3) W^{cl} \xi^{-1/2} \quad (30.93)$$

ويقترض حدوث الحالة فوق الكوانتية في الاشعاعات الاحرارية للنجوم النابضة لأن هناك أساسا للتنبؤ بأن يبلغ الحقل المغناطيسى مقدارا كبيرا : ( $\mathcal{H} \sim 10^{10} - 10^{13} \text{Gs}$ ) من أجل هذه النجوم .

( و ) تأثير الترجحات الكوانتية على مسار حركة الالكترون . لنحسب عدد الفوتونات الوسطى الصادر عن الالكترون خلال دورة واحدة  $\tau = 2\pi R/c$  ولهذا نحسب نسبة الطاقة التي يشعها الالكترون في دورة واحدة :

$$W^{rev} = W^{cl} \frac{2\pi R}{c} \quad (30.94)$$

إلى طاقة الفوتون في النهاية العظمى للاشعاع  $\hbar\omega_m = \hbar(c/R) (E/m_0c^2)^3$

وهذه النسبة تساوى

$$N = \frac{W^{rev}}{\hbar\omega_m} \sim \frac{e_0^2}{\hbar c} \frac{E}{m_0c^2} \quad (30.95)$$

ومن هنا نجد أن الكوانتات المتوافقة تصدر ( تشع ) بشكل ترجحي فمثلا عندما  $E = 500\text{MeV}$  يكون عدد الفوتونات المشعة خلال دور واحد ٢٠ فوتونا وهكذا يتميز الاشعاع في الطاقات العالية بالاصدار المتقطع للفوتونات ذات الطاقات العالية ، وتتأثر حركة الالكترن بالطبيعة الترجحية للاشعاع ، وهذا يعود فيزيائيا إلى أنه يجب على الالكترن أن يحصل على دفعة كوانتية لا تساوى الصفر عندما يصدر الفوتون على التواتر ( ارتجاج خاص ) ، وعندئذ تنشأ ظاهرة ترجحات نصف قطر المسار الكوانتية للالكترن ، ويتحرك الالكترن حركة شبيهة بحركة جسيم عشوائي مستلما بذلك لصدمات من قبل الفوتونات المشعة . ولندرس احتمال الانتقالات في وحدة الزمن ، ويمكن الحصول على هذا الاحتمال من ( 30.83 ) وذلك بتقسيم شدة الاشعاع على طاقة الفوتون  $chx$  ثم الجمع بحالات الاستقطاب الخطي ، أى أن :

$$w(v, s', \theta) = \frac{e_0^2}{\hbar R} \frac{1}{3\pi^2} v \left[ \cos^2 \theta e K_{1/2}^2 \left( \frac{v}{3} \varepsilon^{1/2} \right) + e^2 K_{1/2}^2 \left( \frac{v}{3} \varepsilon^{1/2} \right) \right] I_{ss'}^2(x) \quad (30.96)$$

ونلاحظ أنه يدخل في هذه العبارة المضروب  $I_{ss'}^2(x)$  الذى يتناسب متحوله مع ثابت بلانك ، انظر ( 30.74 ) ، وهذا المضروب لا يؤثر على شدة الاشعاع عند حسابها كلاسيكيا لأن  $\sum_s I_{ss'}^2(x) = 1$  ، غير أن الدفع الناتج عن الفوتونات الصادرة يؤدي إلى قفزات لمركز المسار الدائرى أى إلى زيادة التراجع التربيعى  $\xi^2 = s/2\gamma$  ، ولنحسب تغيير العدد القطرى الكوانتى بالنسبة للزمن :

$$\frac{ds}{dt} = \sum_{s', v} \int_0^\pi \sin \theta d\theta (s' - s) w(v, s', \theta) \quad (30.97)$$

وإذا علمنا أن

$$\sum_{s'} (s' - s) I_{ss'}^2(x) = x \quad (30.98)$$

فإننا نجد بواسطة (30.96) أن :

$$\frac{ds}{dt} = \frac{55}{48\sqrt{3}} \frac{ce_0^2}{m_0c^2R^2} \left( \frac{E}{m_0c^2} \right)^6 \quad (30.99)$$

ومنه ينتج أن الترحج التربيعي لنصف القطر يزداد مع الزمن

$$\frac{d\xi^2}{dt} = \frac{55}{48\sqrt{3}} c \frac{e_0^2}{m_0c^2} \frac{\hbar}{m_0cR} \left( \frac{E}{m_0c^2} \right)^5 \quad (30.100)$$

وهذا التغيير يتناسب مع ثابت بلانك أى أنه فى الواقع ظاهرة كوانتية ، ويبرهن تحليل النتائج التى تم الحصول عليها ان اضطراب الترحجات الكوانتية للقطر يكون ممكنا عندما تحقق طاقة الالكترتون العلاقة

$$E \geq E_{1/3} = m_0c^2 \left( \frac{2}{3} \frac{m_0cR}{\hbar} \right)^{1/3} \quad (30.101)$$

( مع العلم أن  $E_{1/3}$  تساوى تقريبا 500MeV ) وهذا ما يمكن ملاحظته فى مسرعات الالكترونات والبوزيترونات ، وهكذا نرى أنه عندما تكون طاقة الالكترتون من رتبة  $E_{1/3}$  يمكن أن تنشأ وضعية غير متوقعة بوصف دوران الالكترتون حول اتجاه الحقل المغناطيسى بالنظرية الكلاسيكية ، بينما تخضع الحركة فى الاتجاه القطرى إلى قوانين الميكانيكا الكوانتية لأن هذه الحركة مجهرية فى طبيعتها ، إذ لا يمكن حساب الاحداثيات القطرية إلا باحتمال معين . ومن الطبيعى أن نسمى مثل ذلك بالذرة الماكروسكوبية لأن لترجحات المسار الكوانتية فى حقل مغناطيسى أهمية عملية كبرى وخاصة عند وضع ما يسمى بالحلقات التجمعية الالكترونية والبوزيترونية ، فمن المعلوم أنه ينشأ فى الحقل المغناطيسى غير المتجانس، الذى يطبق فى المجمعات بغرض التركيز المحرقى ( البورى ) للالكترونات والبوزيترونات، تخامد اضافى يقلل من سعتها ، وينتج عن ذلك توازن بين التوسيع الكوانتى والتضييق الكلاسيكى للمسار ، وهذا ما يؤدي إلى أبعاد قطرية محدودة لحزمة الجسيمات المسرعة .

(د) ظاهرة الاستقطاب الذاتي للالكترونات . إذا انتبهنا إلى العلاقة (30.90) التي تعطى شدة الإشعاع دون إهمال التصحيحات الكوانتية فليس من الصعب ملاحظة أن طاقة الإشعاع تتبع اتجاه مغزل الإلكترون بالنسبة إلى اتجاه الحقل المغناطيسي ، ومن هنا نستنتج أن الإشعاع يجب أن يمد السبيل لظهور استقطاب عرضي للالكترونات ، ولكي نحلل هذه الظاهرة نعود إلى احتمال الانتقال في ثانية واحدة ، أي أن :

$$w(\xi, \xi') = \frac{e_0^2}{2\pi\hbar} \int_0^n dv \int_0^\infty x dx \oint d\Omega \delta(x + K' - K) (\Phi_2 + \Phi_3) \quad (30.102)$$

وهنا تم الجمع بـ  $s'$  ( العدد القطري ) وكذلك باستقطاب الفوتونات أما الجمع برقم التوافقي فغير بتكامل ، ولنأخذ عبارة الانتقالات الكوانتية هذه ولندرس الانتقالات التي تترافق بتغيير اتجاه المغزل أي دوماً  $\xi = -\xi'$  في كل العناصر المصفوفية للمصفوفة  $\alpha$  ، وعندئذ نحصل ، بالمحافظة على الحدود التي لا تنعدم عندما نهي  $\hbar$  إلى الصفر ، على ما يلي :

$$\left. \begin{aligned} -i\bar{\alpha}_1 \\ \bar{\alpha}_2 \end{aligned} \right\} = -\frac{1}{4} \xi y \cos \theta (I_{n, n'-1}(x) \pm I_{n-1, n'}(x)) I_{ss'}(x) = \\ = -\frac{\xi y \cos \theta}{2\pi \sqrt{3}} \left\{ \begin{aligned} \sqrt{e} K_{1/2} \left( \frac{\nu}{3} e^{1/2} \right) \\ - e K_{1/2} \left( \frac{\nu}{3} e^{1/2} \right) \end{aligned} \right\} I_{ss'}(x) \quad (30.103)$$

$$\bar{\alpha}_3 = \frac{1}{2} \left\{ I_{n-1, n'-1}(x) - I_{nn'}(x) - \right. \\ \left. - \frac{1}{2} \xi \sqrt{e_0} \xi y (I_{n-1, n'-1}(x) + I_{nn'}(x)) \right\} I_{ss'}(x) = \\ = -\frac{\xi y}{2\pi \sqrt{3}} \left[ e K_{1/2} \left( \frac{\nu}{3} e^{1/2} \right) + \xi \sqrt{e e_0} K_{1/2} \left( \frac{\nu}{3} e^{1/2} \right) \right] I_{ss'}(x) \quad (30.104)$$

وهنا غيرنا متحول التكامل بالشكل التالي :

$$\frac{x}{K} = \xi y \quad (30.105)$$

وبما أن العناصر المصفوفية بالمصفوفات الثلاثة تتناسب مع  $\xi$  ( أي مع ثابت  $\hbar$  ) فيمكن تطبيق التقريب نصف الكوانتي على توابع لاجير بدلالة توابع

ببمس (30.77) والتعبير عنها بدلالة  $K_{1/3}$  و  $K_{2/3}$  ، ويجب الأخذ بعين الاعتبار العلاقة التكرارية التالية :

$$I_{n-1, n'-1}(x) = \frac{x}{\sqrt{nn'}} \left( \frac{n+n'-x}{2x} I_{nn'}(x) - I'_{nn'}(x) \right) \quad (30.106)$$

التي ينتج منها  $(x \ll n+n', n+n' \approx 2\sqrt{nn'})$  أن :

$$I_{n-1, n'-1}(x) - I_{nn'}(x) = -\frac{x}{n} I'_{nn'}(x) = -\xi y J'_\nu(\nu\beta \sin \theta) \quad (30.107)$$

وذلك بسبب تحقق العلاقتين

$$I_{nn'}(x) = J_\nu(2\sqrt{xn}), \quad I'_{nn'}(x) = \frac{\sqrt{n}}{\sqrt{x}} J'_\nu(2\sqrt{xn}) \quad (30.108)$$

وهكذا نحصل على معادلة لحساب احتمال الانتقالات ، إذ يدخل فيها تابع ببمس ذو الوسيط العقدي  $K_{1/3}$  و  $K_{2/3}$  ، وإذا استكملنا بالزوايا  $d\Omega$  في (30.102) فإننا نحصل على العلاقة التالية :

$$w(\xi, -\xi)^{\uparrow\downarrow} = \frac{\sqrt{3}}{2\pi h} \frac{e_0^2}{R} \frac{E}{m_0 c^2} \int_0^\infty dy \xi^2 y^2 \frac{1}{2} [K_{1/3}(y) + \xi K_{2/3}(y)] \quad (30.109)$$

ومنه نجد أخيرا النتيجة النهائية :

$$w^{\uparrow\downarrow} = \frac{1}{2\tau_0} \left[ 1 + \xi \frac{8\sqrt{3}}{15} \right] \quad (30.110)$$

التي يعطى فيها زمن الاستقطاب  $\tau_0$  بالعلاقة :

$$\tau_0 = \frac{8h^2}{5\sqrt{3}m_0 c e_0^2} \left( \frac{m_0 c^2}{E} \right)^2 \left( \frac{\mathcal{X}_0}{\mathcal{X}} \right)^3 \quad (30.111)$$

وينتج من هذه العبارة أن احتمال الانتقال من الحالة  $\xi = 1$  ( يتجه المغزل باتجاه الحقل ) إلى الحالة  $\xi' = -1$  ( يتجه المغزل بعكس اتجاه الحقل المغناطيسي ) سيكون أكبر بكثير من الاحتمال المعاكس ، ولنحسب قانون تغيير المغزل الوسطى ( أى الاستقطاب ) بالنسبة للزمن فنجد أن :



$$\frac{d\xi}{dt} = \sum_{\xi'} (\xi' - \xi) \omega(\xi, \xi') = -2\xi\omega = -\frac{\xi}{\tau_0} \left(1 + \xi \frac{8\sqrt{3}}{15}\right) \quad (30.112)$$

وباستكمال هذه المعادلة نجد أن :

$$\xi(t) = -\frac{8\sqrt{3}}{15} + \left[\xi(0) + \frac{8\sqrt{3}}{15}\right] e^{-\frac{t}{\tau_0}} \quad (30.113)$$

وهكذا نرى أنه بالنسبة للفترات الزمنية  $t \gg \tau_0$  الأكبر من زمن الاستقطاب  $\tau_0$  ، نحصل على الكترونات تكتسب أفضلية توجيه المغزل بعكس اتجاه الحقل المغناطيسي الخارجى مهما كان وضع مغزلها الابتدائى :

$$\xi = -\frac{8\sqrt{3}}{15} = -0,924 \quad (30.114)$$

وإذا كان التيار الابتدائى غير مستقطب  $\xi(0) = 0$  فإن (30.113) نكتب بالشكل التالى :

$$\xi(t) = -\frac{8\sqrt{3}}{15} (1 - e^{-t/\tau_0}) \quad (30.115)$$

ونلاحظ أن مغزل البوزيترونات سيتجه بعكس اتجاه مغزل الالكترونات أما الزمن  $\tau_0$  الذى يحدث خلاله الاستقطاب فهو من رتبة ساعة واحدة عندما  $E \sim 1\text{GeV}$  و  $\mathcal{H} \sim 10^4\text{Gs}$  ، ولهذا يمكن لهذه الظاهرة أن تستدعى الاهتمام عند حركة الحزم الالكترونية البوزيترونية فى الحلقات التجميعية ، وقد أكدت التجارب التى أجريت فى فرنسا والاتحاد السوفيتى والولايات المتحدة على وجود ظاهرة الاستقطاب الذاتى للالكترونات والبوزيترونات ، هذه الظاهرة التى تكتسب أهمية كبيرة عند الحصول على حزم من الجسيمات السريعة وهذا ما يزيد من امكانيات اجراء التجارب الفيزيائية فى فيزياء الطاقات العالية .

## المحتويات

### القسم الأول . الميكانيكا الكوانتية اللانسبية

#### البند ١ - المدخل ..... ٥

أ) النظرية التقليدية ( الكلاسيكية ) ( ٥ ) ؛ ب) النظرية الكوانتية للضوء . ( ٧ ) ؛ ج) الخواص الموجية للالكترونات ( ١٣ ) ؛ د) السرعة الطورية ( ١٥ ) ؛ هـ) السرعة الزمية والرزيم الموجية ( ١٧ ) .

#### البند ٢ - معادلة شرودينجر ..... ٢٤

أ) معادلة هاملتون - جاكوبى ( ٢٤ ) ؛ ب) المعادلة الموجية للالكترونات ( ٢٥ ) ؛ ج) المعنى الفيزيائى للتابع الموجى  $\psi$  ( ٢٨ ) ؛ د) المؤثرات الخطية فى نظرية شرودينجر ( ٣٠ ) .

#### البند ٣ - حل معادلة شرودينجر ..... ٣٢

أ) الحالة المستقرة ( ٣٢ ) ؛ ب) الحل العام ( ٣٤ ) ؛ ج) الجوقات الكونتية ( ٣٧ ) ؛ د) التفسير الاحصائى للتابع الموجى ( ٣٨ ) .

#### البند ٤ - طيفا معادلة شرودينجر المنقطع والمستمر ..... ٤١

أ) الحفرة الكمونية ( الجهدية ) ( ٤١ ) ؛ ب) الطيف المستمر ( ٤٦ ) ؛ ج) طريقة بورن ( ٤٧ ) ؛ د) طريقة دلتا - تابع

ديراك (٥٠) ؛ هـ ) تغيير الطيف المستمر بواسطة التابع -  
دالتا (٥٧) ؛ و ) حل معادلة بواصون من أجل شحنة نقطية (٦٠) .

٥ البند - بعض الطرائق التقريبية لحل معادلة شرودينجر .. ٦٢  
أ ) طريقة التقريب شبه التقليدى (٦٢) ؛ ب ) طريقة وينتسل -  
كراميرس - بريليون (١٣) ؛ ج ) تكميم الحفرة الكمونية بالتقريب  
شبه التقليدى (٦٩) ؛ د ) مرور الجسيم عبر الحاجز الكمونى  
( ظاهرة النفق ) (٧٢) ؛ هـ ) حالة الحاجز المستطيل (٧٦) ؛  
و ) انتزاع الالكترونات من المعدن . الإصدار البارد (٨٠) ؛  
ز ) الانشطار - ألفا (٨٧) ؛ ح ) مفهوم أشباه السويات ( أشباه  
الأطياف ) (٩٢) .

٦ البند - الطبيعة الاحصائية للميكانيكا الكوانتية ..... ٩٧  
أ ) القيم الوسطية للمؤثرات (٩٧) ؛ ب ) استنتاج علاقات اللاتعيين  
( الشك ) (١٠٣) ؛ ج ) أقواس بواصون الكلاسيكية والكوانتية  
(١٠٨) ؛ د ) نظرية هرينفست (١١٢) ؛ هـ ) الانتقال من  
المعادلات الكوانتية للحركة إلى المعادلات الكلاسيكية (١١٤) .

٧ البند - الهزاز التوافقى الخطى ..... ١١٦  
أ ) الهزاز التوافقى فى النظرية الكلاسيكية بتقريب  
*W.K.B.* (١١٦) ؛ ب ) التوابع الخاصة والقيم الخاصة للطاقة  
(١١٩) ؛ ج ) الحالات المنسجمة (١٢٧) ؛ د ) مبادئ  
( عناصر ) التمثيل ( التصورات ) فى الميكانيكا الكوانتية  
(١٣٢) ؛ هـ ) تبعية التمثيلات المختلفة لاستقرارية متجه الحالة  
(١٤٧) .

البند ٨ . نظرية الاضطرابات ..... ١٥٢

أ) صياغة المسألة (١٥٢) ؛ ب) المعادلات الأساسية للنظرية المستقرة للاضطرابات (نظرية شرودينجر) (١٥٣) ؛ ج) التقريب الأول (١٥٤) ؛ د) الحالة اللانطبقة (١٥٥) ؛ هـ) الحالة المنطبقة (١٥٨) ؛ و) التقريب الثانى لنظرية الاضطرابات ، الهزاز اللاتوافقى (١٦٠) ؛ ز) النظرية غير المستقرة للاضطرابات (١٦٣) .

البند ٩ . نظرية الاشعاع الكوانتية ..... ١٦٦

أ) الانتقالات التلقائية والقسرية (١٦٦) ؛ ب) تكميم الحقل الكهرطيسى الحر (١٧٢) ؛ ج) استنتاج معاملى أينشتين فى النظرية الكوانتية للاشعاع (١٨٣) ؛ د) الاشعاع ثنائى الأقطاب والاشعاع المغناطيسى (ثنائى الأقطاب) والاشعاع رباعى الأقطاب (١٩٠) ؛ د) إشعاع الهزاز التوافقى (١٩٤) ؛ و) لمحة عن المضخات والمولدات الكوانتية (١٩٨) ؛ ز) أسس نظرية التبدد (القتت) (٢٠١) ؛ ح) التبدد التوزيعى للضوء (٢٠٩) .

البند ١٠ . النظرية العامة لحركة الجسيم فى الحقل المركزى

المتناظر ..... ٢١١

أ) معادلة شرودينجر فى الاحداثيات المنحنية المتعامدة (٢١٢) ؛ ب) التوابع الكروية (٢١٦) ؛ ج) المعنى الفيزيائى للعديدين الكوانتيين  $m$  و  $l$  وعزم كمية الحركة (٢٢٧) ؛ د) تحليل النتائج (٢٣٠) .

البند ١١ - حل أبسط المسائل فى الاحداثيات الكروية ..... ٢٣٢  
أ) الدوارة (٢٣٢) ؛ ب) قواعد الانتقاء (٢٣٦) ؛ ج) الانطباق  
بالعدد الكوانتى المغناطيسى (٢٤٠) ؛ د) الحل التقارىبى فى القوى  
قصرة المدى (٢٤٤).

البند ١٢ - نظرية الذرة الشبيهة بالهيدروجين (مسألة كبلر) ٢٤٧  
أ) المعادلة القطرية (٢٤٧) ؛ ب) المدارات الدائرية (٢٥٢) ؛  
ج) المدارات الاهليجية (٢٥٥) ؛ د) دراسة الانطباق ب/ فى الحقل  
الكولونى (٢٦١) ؛ هـ) قوانين الاصطفاء (الانتقاء) وطيف اشعاع  
الذرات الشبيهة بالهيدروجين (٢٦٥) ؛ و) اعتبار حركة النواة  
(٢٧٠) ؛ ز) ذرة الهيدروجين فى التقريب شبه  
الكلاسيكى (٢٧٦) .

البند ١٣ - ذرة الهيدروجين فى الحقل الكهربائى ..... ٢٧٨  
أ) تكميم ذرة الهيدروجين فى الاحداثيات القطعية (٢٧٨) ؛  
ب) ظاهرة شتارك (٢٨٤) .

البند ١٤ - تبدد (تشتت) الجسيمات المرنة تحت تأثير مركز قوى ٢٨٩  
أ) تقريب بور (٢٩٠) ، ب) التبدد فى كمون يوكاوا (٢٩٤) ؛  
ج) المقطع الجزئى الفعال (٢٩٨) ؛ د) التبدد على حاجز  
كمونى (٣٠١) ؛ هـ) التبدد فى حقل كولونى (٣٠٦) .

البند ١٥ - طريقة ريجى فى نظرية التبدد ..... ٣١٥  
أ) مفهوم أقطاب ريجى (٣١٥) ؛ ب) التجاوب  
(الطنين) (٣٢٢) .

البند ١٦ - الذرة في حقل مغناطيسي ..... ٣٢٤  
أ) ظاهرة زيمان (٣٢٥) ؛ ب) مغزل الالكترن (٣٢٨) ؛  
ج) معادلة باولى (٣٣٠) ؛ د) فصل التوابع المغزلية عن  
الاحداثية (٣٣٤) ؛ هـ) الالكترن في الحقل المغناطيسي (٣٣٦) ؛  
و) ذرة الهيدروجين في حقل مغناطيسي قوى (٣٤٢) .

### القسم الثانى . الميكانيكا الكوانتية النسبية

البند ١٧ - معادلة كلين - جوردون الموجية النسبية العددية . ٣٤٧  
أ) الميكانيكا الكلاسيكية النسبية ومعادلة كليف - جوردون (٣٤٧) ؛  
ب) كثافة الشحنة وكثافة التيار (٣٤٩) ؛ ج) النظرية النسبية لذرة  
الهيدروجين ( بإهمال مغزل الالكترن ) (٣٥٠) .

البند ١٨ - معادلة ديراك ..... ٣٥٤  
أ) تخطيط ، مؤثر الطاقة (٣٥٥) ؛ ب) معادلة ديراك ، كثافة  
الشحنة وكثافة التيار (٣٥٧) ؛ ج) الخواص التحويلية للتابع  
الموجى عند تطبيق تحويلات لورنتز والدورانات الفراغية (٣٦٠) .

البند ١٩ - حركة الكترن ديراك فى حقل القوى المركزية .... ٣٦٠  
أ) العزوم الحركية المدارى والمغزلى والكلسى (٣٦٢) ؛  
ب) العلاقات التبادلية لمؤثر العزم (٣٦٣) ؛ ج) جمع  
العزوم (٣٦٥) ؛ د) حركة الجسيمات ذات المغزل فى حقل  
مركزى ( الدوارة ) (٣٦٩) ؛ هـ) معادلة ديراك فى التقريب  
اللانسبى ( الباولى ) والتقريب النسبى الضعيف (٣٧١) ؛  
و) معادلة ديراك للنترون والبروتون (٣٧٩) .

البند ٢٠ - البنية الدقيقة لطيف الذرات الشبيهة بالهيدروجين ٣٨٣  
أ) ضياغة المسألة (٣٨٣) ؛ ب) حساب التأثيرات النسبية  
والمغزلية (٣٨٣) ؛ ج) دراسة البنية الدقيقة طبقاً لنظرية  
ديراك (٣٨٨) ؛ د) التحقيق التجريبي لنظرية البنية الدقيقة  
(٣٩٢) ؛ هـ) البنية فوق الدقيقة لطيف نرة الهيدروجين (٣٩٥) ؛  
و) ظاهرتنا زيمان العادية والشاذة (٣٩٨) ؛ ز) الحقول  
المغناطيسية القوية . ظاهرة باشن - باك (٤٠٣) .

البند ٢١ - انزياح السويات اللامبي ..... ٤٠٦  
أ) الفراغ ( التخلخل ) الكهرطيسى (٤٠٦) ؛ ب) طريقة  
ويلتون (٤٠٧) .

البند ٢٢ - الحل الكامل لمعادلة ديراك ..... ٤١٢  
أ) حل معادلة ديراك للجسيم بوجود الطاقات الموجبة  
والسالبة (٤١٢) ؛ ب) دراسة الخواص المغزلية للالكترونون  
الحر (٤١٦) ؛ ج) الحالات ذات الطاقة السالبة . نظرية ديراك فى  
، الثقوب ، ، اكتشاف البوزيترون (٤١٨) ؛ د) مفهوم فراغ  
الالكترونون - البوزيترون (٤٢٣) ؛ هـ) المعادلة الموجية  
للپوزيترون (٤٢٤) ؛ و) ملول نظرية ليوديرس - باولى (٤٢٥) ؛  
ز) المعادلة الموجية للنيترينو (٤٢٦) ؛ ح) التكيم الثانى لمعادلة  
ديراك (٤٢٨) .

### القسم الثالث . النظرية الكوانتية للجسيمات

البند ٢٣ - نظرية نرة الهليوم بإهمال الحالات المغزلية ..... ٤٣٤  
أ) مبادئ عامة (٤٣٤) ؛ ب) المعادلات الأساسية (٤٣٥) ؛

ج) تفاعل الالكترونات الكولونى (٤٤٢) ؛ د) طريقة التغيرات  
(٤٤٤) ؛ هـ) الحصول على معادلة شرودينجر  
بطريقة التغيرات (٤٤٨) ؛ و) طريقة هارترى - فوك (طريقة  
الحقل ذاتى التناسق) أو طريقة الحساب العدى (٤٤٩) ؛  
ز) دراسة الطاقة التبادلية (٤٤٩) .

البند ٢٤ - وجود المغزل فى الذرات الشبيهة بالهليوم ..... ٤٥٦  
أ) الحالات المتناظرة واللامتناظرة (٤٥٦) ؛ ب) إحصاء فيرمى  
- ديراك وإحصاء بوزى - أينشتين (٤٥٧) ؛ ج) رابطة رسيل -  
ساوندرس والرابطة - Jz (٤٥٩) ؛ د) التابع الموجى لذرة الهليوم  
بوجود المغزل (٤٦٠) ؛ هـ) الهليوم المتناظر والهليوم  
اللامتناظر (٤٦٥) ؛ و) الطيف الطاقوى لذرة الهليوم (٤٦٦) .

البند ٢٥ - بنية الذرات المعقدة ..... ٤٧٠  
أ) معلومات عامة (٤٧٠) ؛ ب) طيف المعادن القلوية (٤٧٤) ؛  
ج) الطيوف الروتجينية للذرات (٤٨٧) ؛ د) اكتشاف قانون  
مندلييف الدورى (٤٩٤) ؛ هـ) تعبئة (ملء) الطبقات (٤٩٦) ؛  
و) الدورى فى خواص العناصر (٤٩٨) ؛ ز) طريقة توماس -  
فيرمى الاحصائية (٥٠٢) ؛ ح) حل معادلة توماس - فيرمى  
بطريقة التغيرات (٥٠٧) ؛ ط) تطبيق طريقة توماس - فيرمى  
على نظرية الجدول الدورى للعناصر (٥١٠) .

البند ٢٦ - الطيوف الجزيئية ..... ٥١٥  
أ) التقريب الادياباتى . (٥١٥) ؛ ب) طيف الجزيئات ثنائية  
الذرة (٥١٧) .



البند ٢٧ - أبسط الجزينات ..... ٥٢٦

أ) الأنواع الرئيسية للروابط الكيميائية (٥٢٦) ؛ ب) الجزينات مختلفة الأقطاب (٥٢٦) ؛ ج) الجزينات متجانسة الأقطاب (٥٣١) ؛ د) المغزل وتناظر الحالات (٥٤٤) ؛ هـ) نظرية التكافؤ (٥٤٨) ؛ و) قوى فان ديروالس (٥٥٢) .

البند ٢٨ - بعض مسائل النظرية الكوانتية للجسم الصلب ..... ٥٥٥

أ) حركة الالكترن في حقل تورى . توابع بلوخ (٥٥٦) ؛ ب) شبه الاندفاع (٥٥٨) ؛ ج) البنية الموضعية لطيف الطاقة (٥٦١) ؛ د) حالة الالكترونات الحرة تقريبا (٥٦٢) ؛ هـ) مسألة كرونينغ وبينى (٥٦٦) ؛ و) الناقلية (الموصلية) الكهربائية للأجسام الصلبة من وجهة نظر البنية الشريطية لطيف الطاقة (٥٧٠) ؛ ز) حركة الكترون في منطقة الناقلية . الكتلة الفعالة (٥٧٤) ؛ ح) اهتزاز الشبكة البلورية (الفونونات) (٥٧٧) ؛ ط) التأثير المتبادل بين الالكترونات والفونونات . الناقلية (الموصلية) الكهربائية (٥٨١) .

البند ٢٩ - النظرية الأولية للناقلية (الموصلية) المفرطة .... ٥٨٩

أ) حالة الناقلية المفرطة (٥٨٩) ؛ ب) تكميم التدفق المغناطيسى فى النواقل المفرطة (٥٩٩) ؛ ج) ظاهرة النفق فى النواقل المفرطة (ظاهرة جوزيفسون) (٦٠٢) .

البند ٣٠ - حركة الكترون فى حقل مغناطيسى ثابت ومتجانس ٦٠٨

أ) التابع الموجى (٦٠٩) ؛ ب) الحالات المغزلية (٦١٣) ؛ ج) طيف الطاقة . المعنى الفيزيائى للعدد الكوانتسى

القطرى (٦١٦) ؛ د ) النظرية الكوانتية للاشعاع السينكروترونى،  
الظواهر الاستقطابية (٦١٨) ؛ هـ ) صيغة شوت الكلاسيكية دون  
إهمال استقطاب الاشعاع (٦٢٤) ؛ و ) تأثير الترجحات  
الكوانتية على مسار حركة الالكترتون (٦٣١) ؛ د ) ظاهرة  
الاستقطاب الذاتى للالكترونات (٦٣٤) .

أيها القارىء العزيز .

تصدر دار «مير» للطباعة والنشر مختلف الكتب فى مجالات  
العلم والهندسة والطب . والمختارة من أفضل المراجع الجامعية  
وكذلك بعض الكتب العلمية المبسطة . وهذه الكتب تصدر باللغة  
العربية واللغات الأجنبية الأخرى .

ويسر الدار معرفة رأيكم فى هذه الكتب وتكون شاكرة لكم  
لو أبديتم لها ملاحظاتكم حول مضمونها وترجمتها وتصميمها  
الفنى .

## قاموس المصطلحات

method of hooks	طريقة المنعطفات ، طريقة المشابك	action function	تابع الفعل (التأثير)
modulus	قيمة مطلقة، طويلة	adiabatic	أدياباتي، مكظوم، كظوم
momentum	اندفاع، دفع، زخم، كمية الحركة	bands	شرائط، عصابات
quantum ensembles	جوقات كوانتية، جمل كوانتية	canonical equation	معادلة قانونية، معادلة قياسية
rotator	دوارة، دوّار	cathode	كاتود، مهبط
scattering	تبدد، تشتت، تبعثر، تناثر	coherent	مترايط، متماسك، مرصوص
smearing function	تابع (دالة) غامض تابع موسع	commutative	تبدلي، تبادلي
spin	مغزل، سبين	conservation	مصونية، حفظ
stationarity	استقرار، رسوخ	decay	تفكك، انشطار
tensor	تنسور، تنزور، رتل	density	كثافة، غزارة
transmitted wave	موجة خارقة (نافذة)	diffraction	انعطاف، انعراج
unit interval	مجال الواحدة، مجال واحد، مجال الوحدة	dispersion	تشتت، تبدد
unitary operator	مؤثر واحد، وحداني	energy level	سوية طاقة، سوية طاقة
variational method	طريقة التغيرات، طريقة التغيرات	fluctuation	ترجح، تقلب
wave packet	رزمة موجية، باقة موجية	frequency	تردد، تواتر
zona	منطقة، موضع	group velocity	سرعة رزمية، سرعة المجموعة
		hermite conjugate	مؤثر هيرميتي مقترن،
		operator	مؤثر مرافق هيرميتياً
		intensity	تشديد، تقوية، تسعير
		interaction	تأثير متبادل، تفاعل